ANEXO 5.4.2.2

Validación del Modelo Anidado en Estaciones de Velocidad

ADCP 4

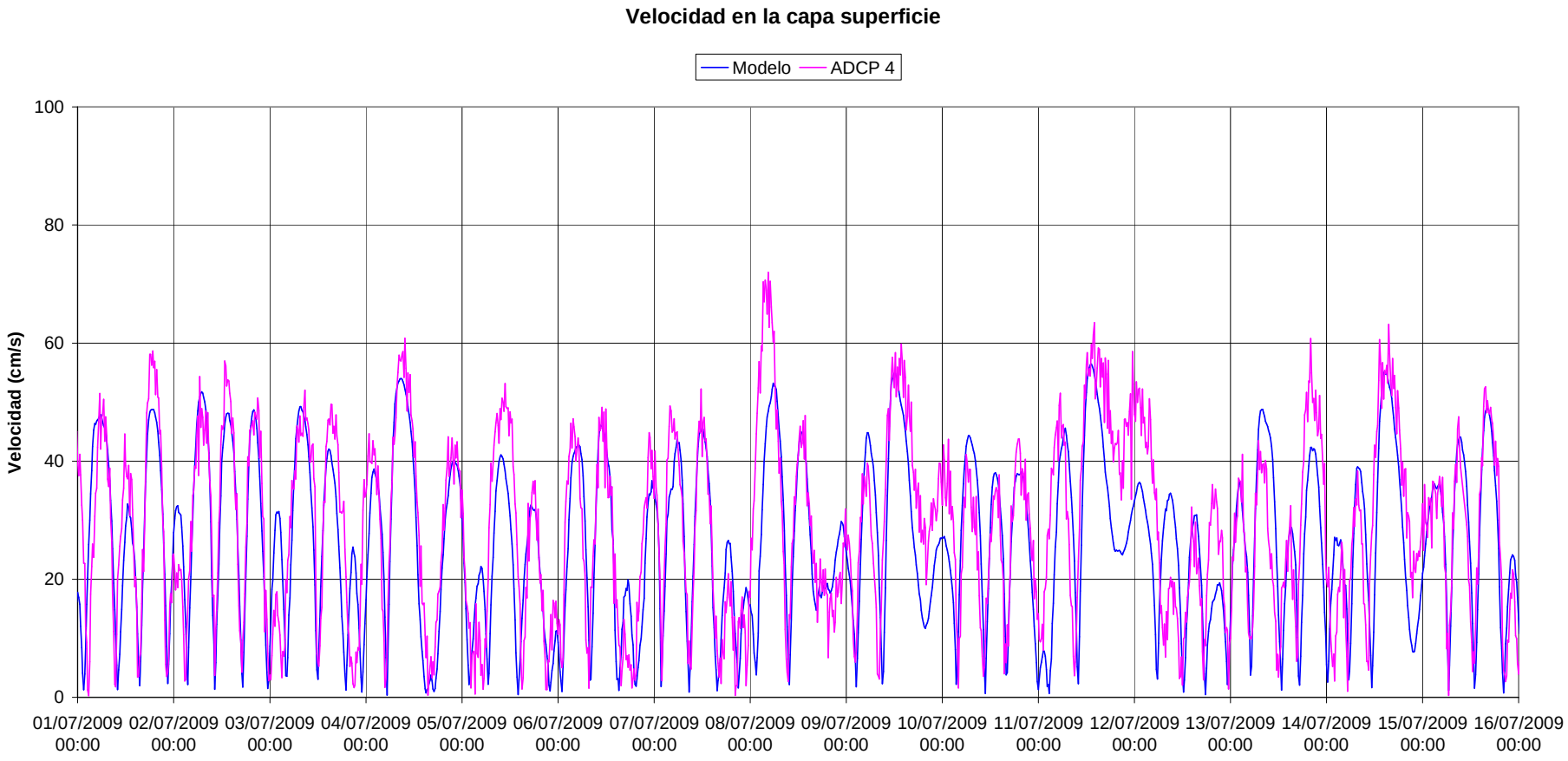

Figura A.5.4.2.2.1 – Comparación entre resultados del modelo y mediciones de velocidad en ADCP 4. Capa superficial.

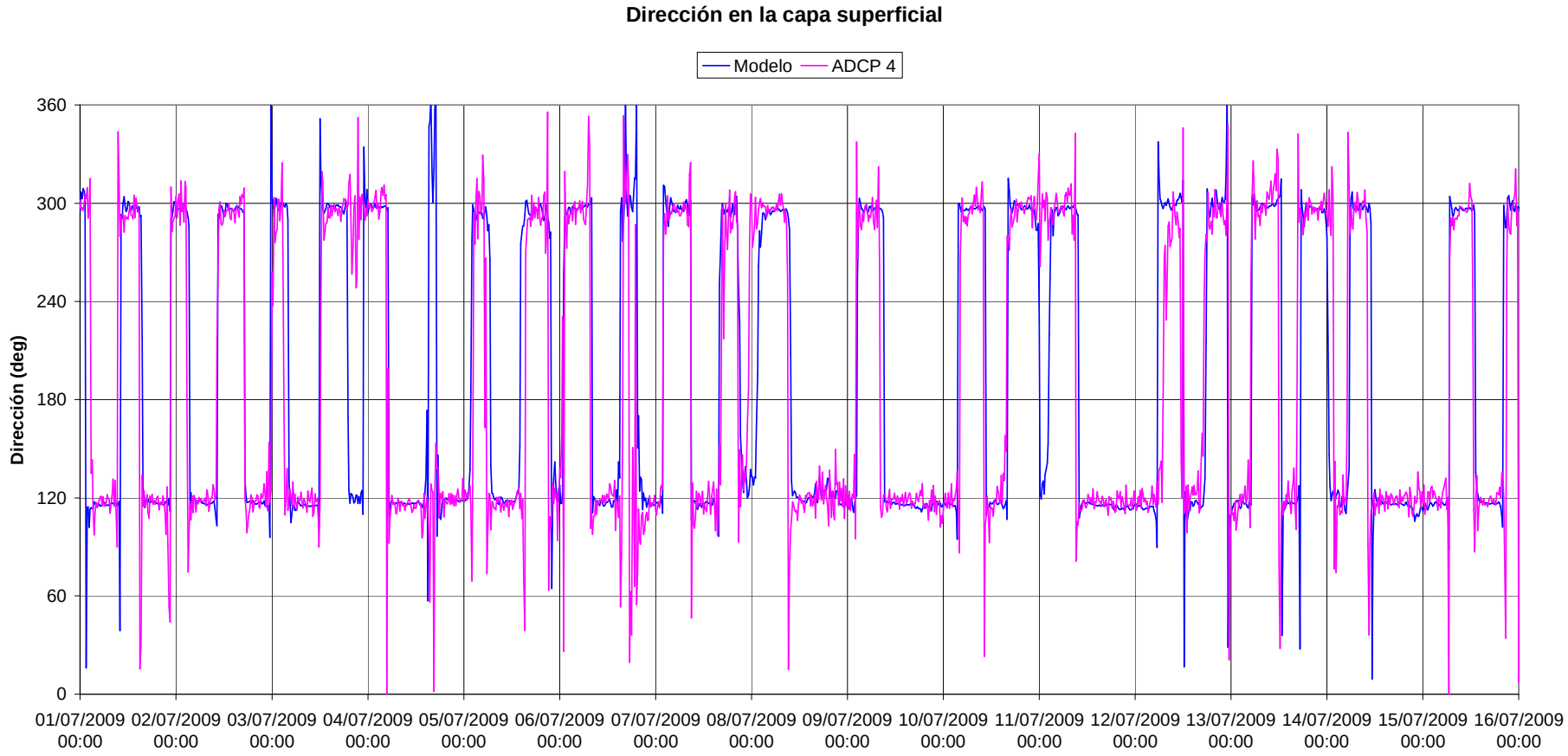

Figura A.5.4.2.2.2 – Comparación entre resultados del modelo y mediciones de nivel de dirección de corriente en ADCP 4. Capa superficial.

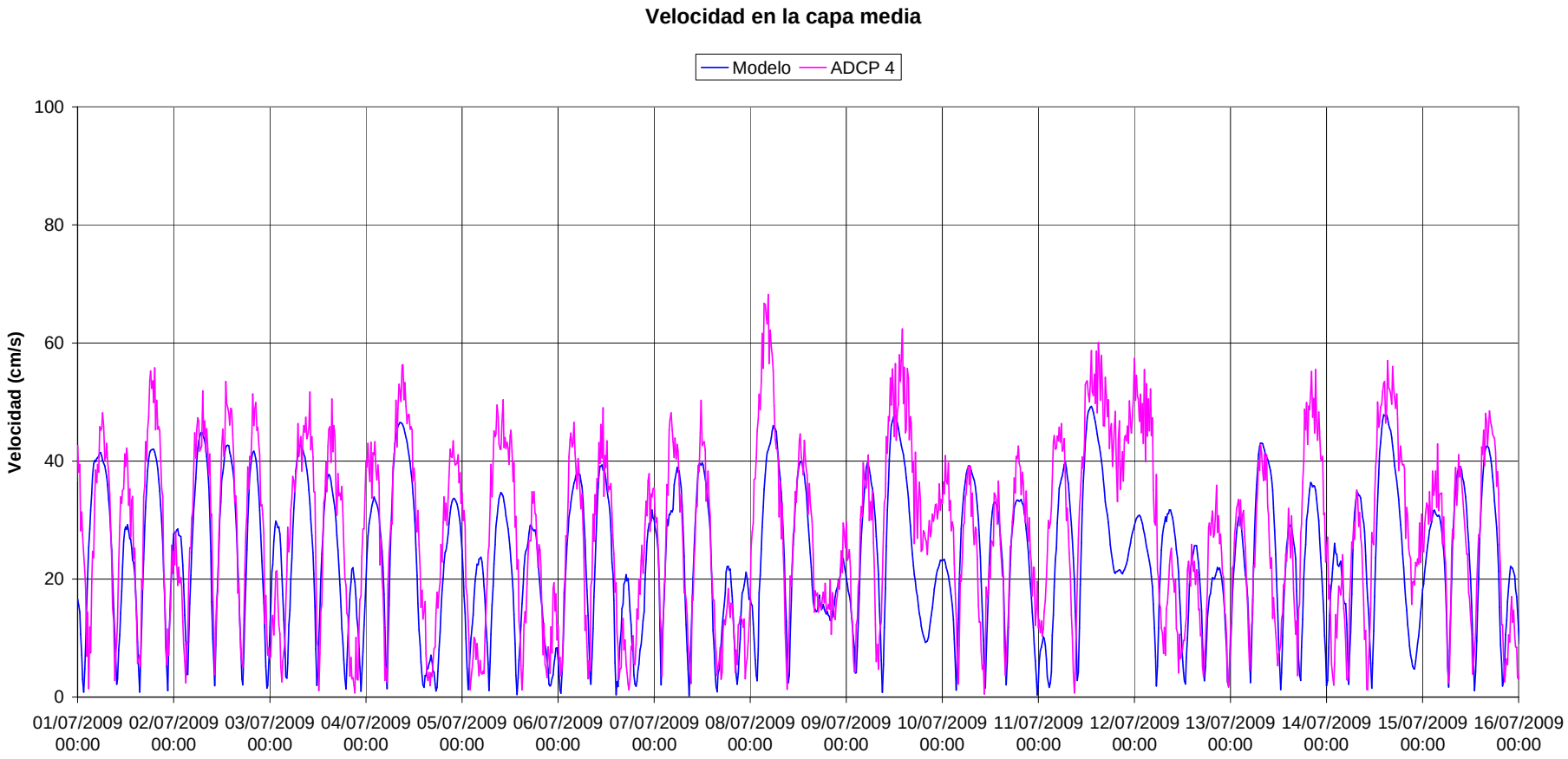

Figura A.5.4.2.2.3 – Comparación entre resultados del modelo y mediciones de nivel de velocidad en ADCP 4. Capa intermedia.

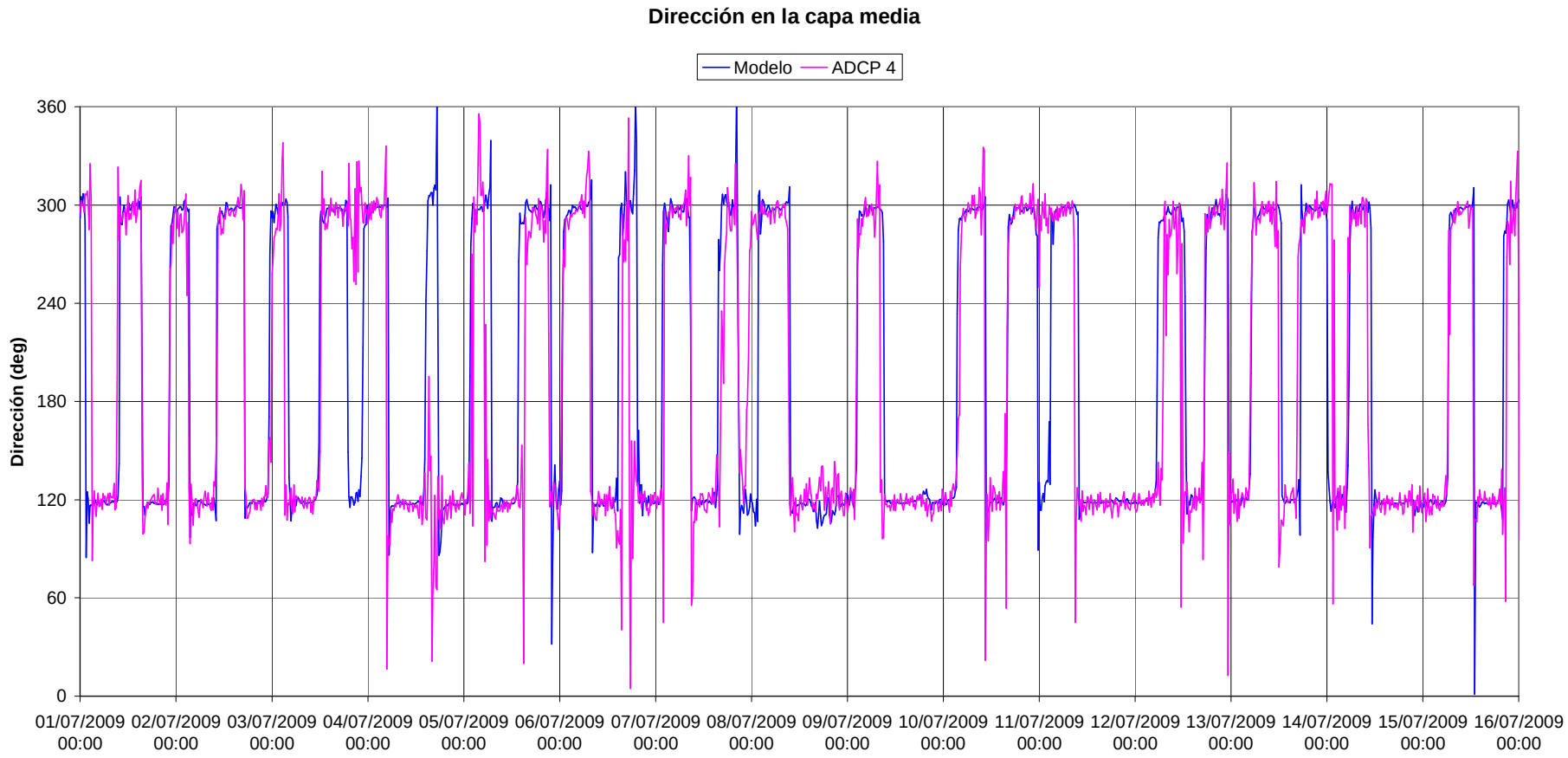

Figura A.5.4.2.2.4 – Comparación entre resultados del modelo y mediciones de nivel de dirección de corriente en ADCP 4. Capa intermedia.

ADCP 5

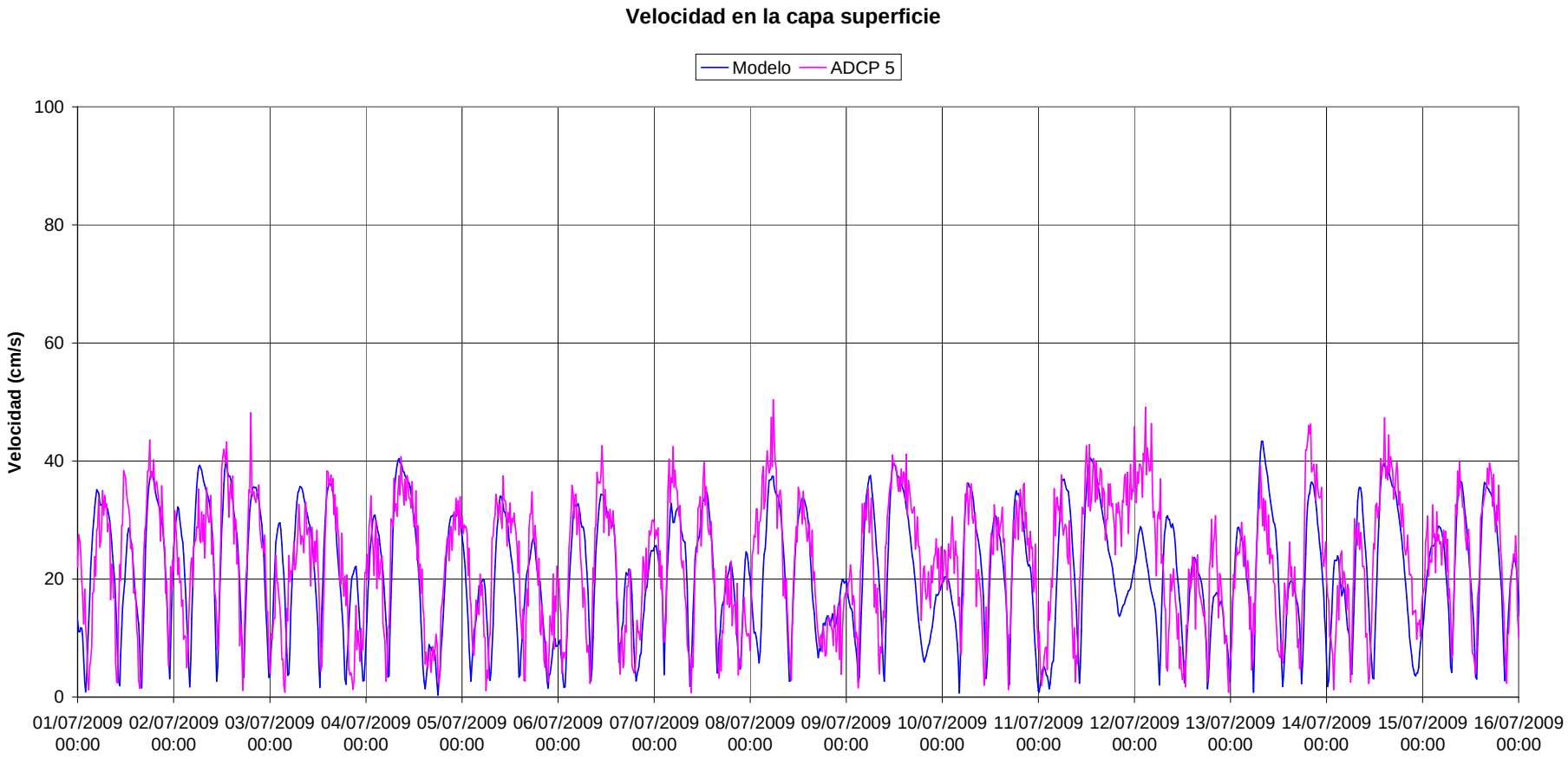

Figura A.5.4.2.2.5 – Comparación entre resultados del modelo y mediciones de velocidad en ADCP 5. Capa superficial.

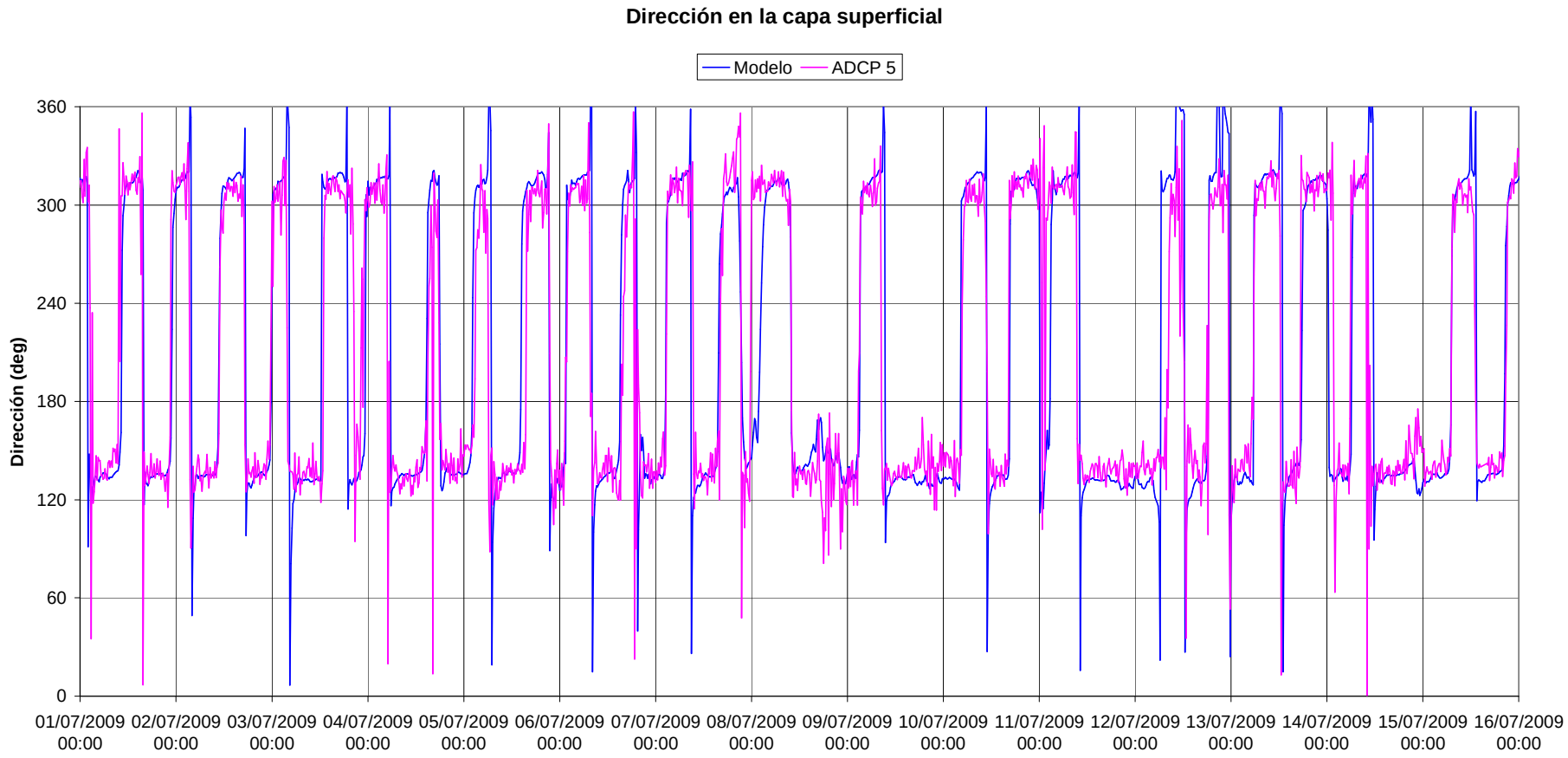

Figura A.5.4.2.2.6 – Comparación entre resultados del modelo y mediciones de nivel de dirección de corriente en ADCP 5. Capa superficial.

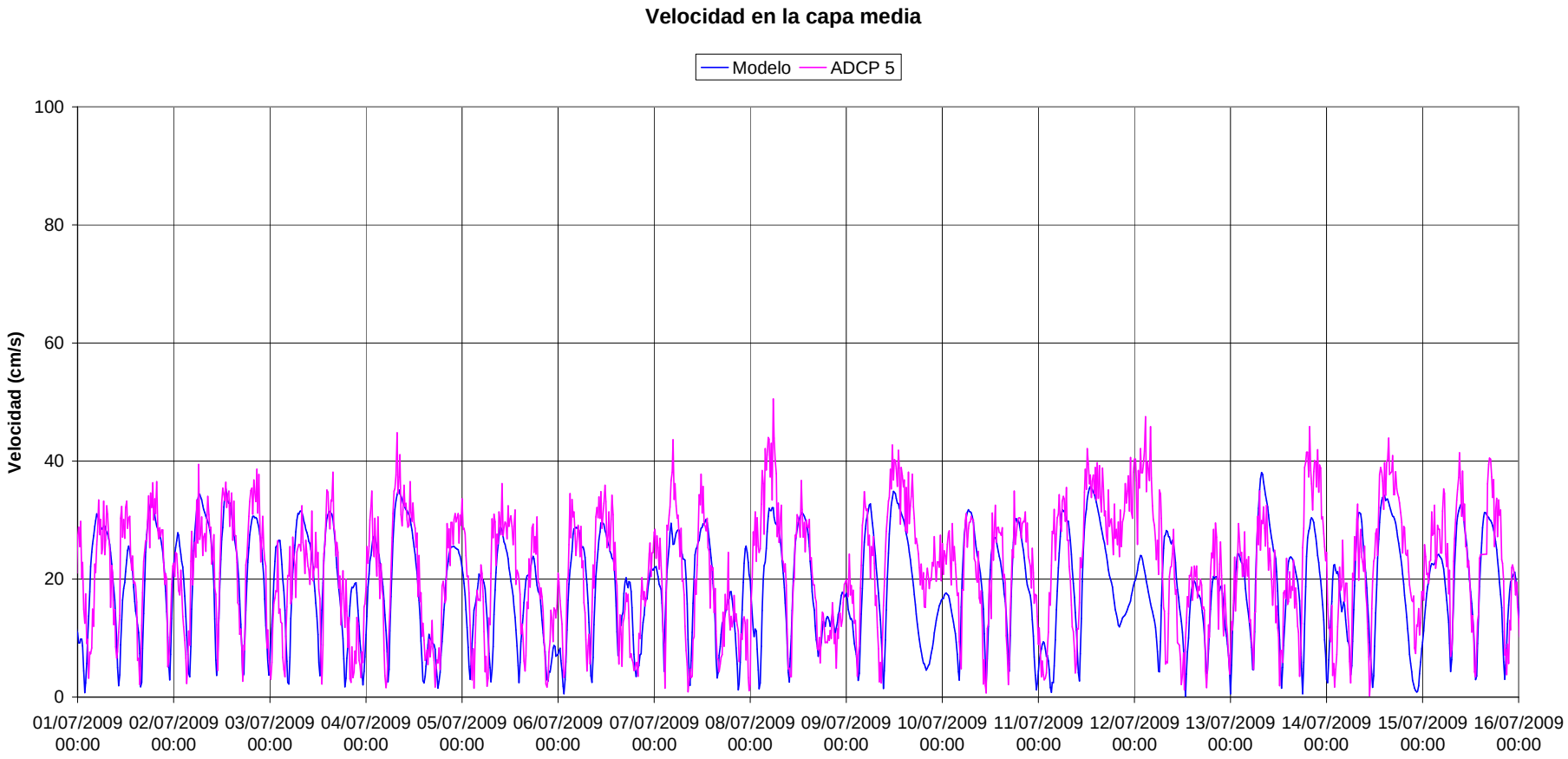

Figura A.5.4.2.2.7 – Comparación entre resultados del modelo y mediciones de nivel de velocidad en ADCP 5. Capa intermedia.

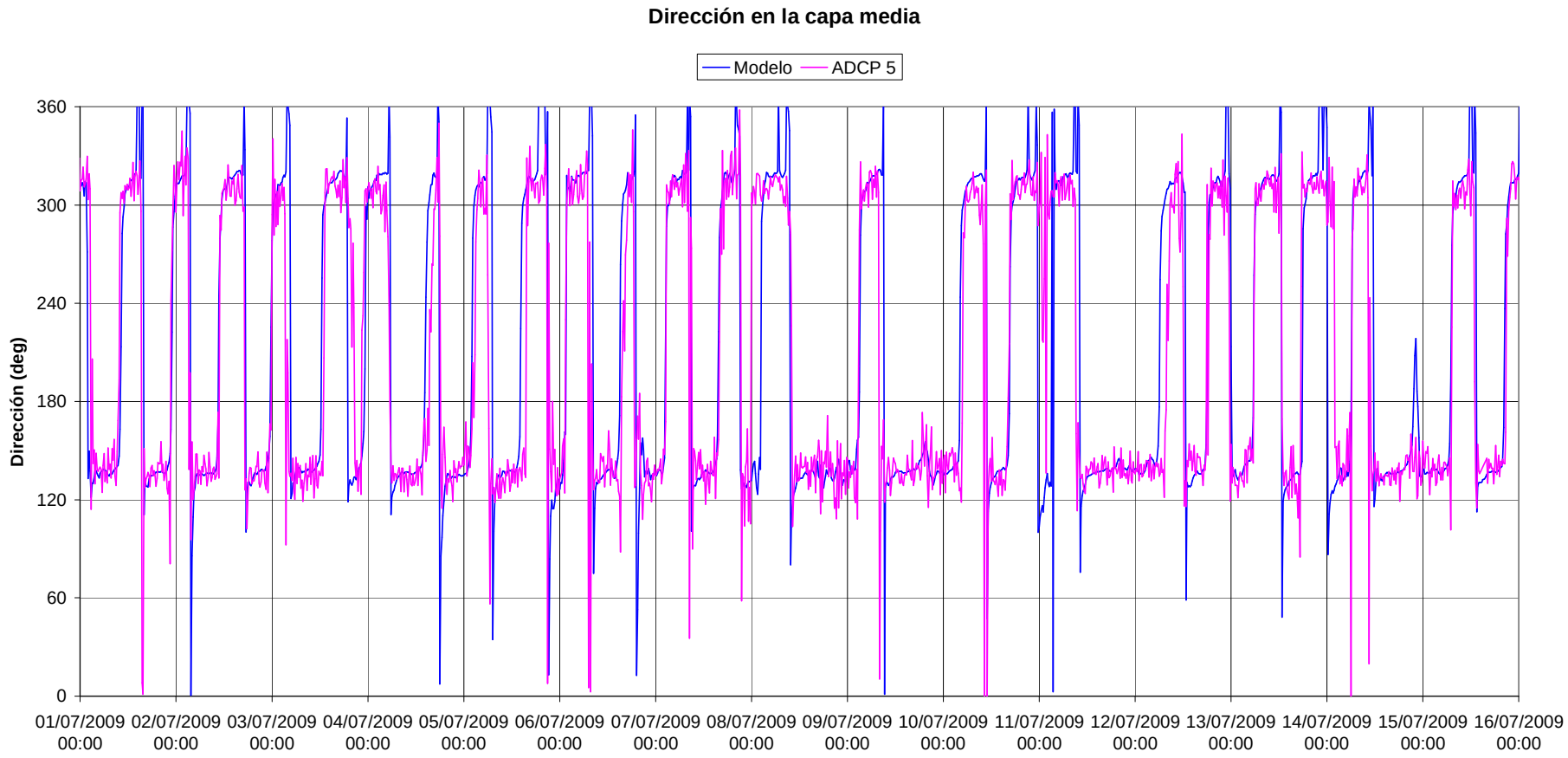

Figura A.5.4.2.2.8 – Comparación entre resultados del modelo y mediciones de nivel de dirección de corriente en ADCP 5. Capa intermedia.

ADCP 6

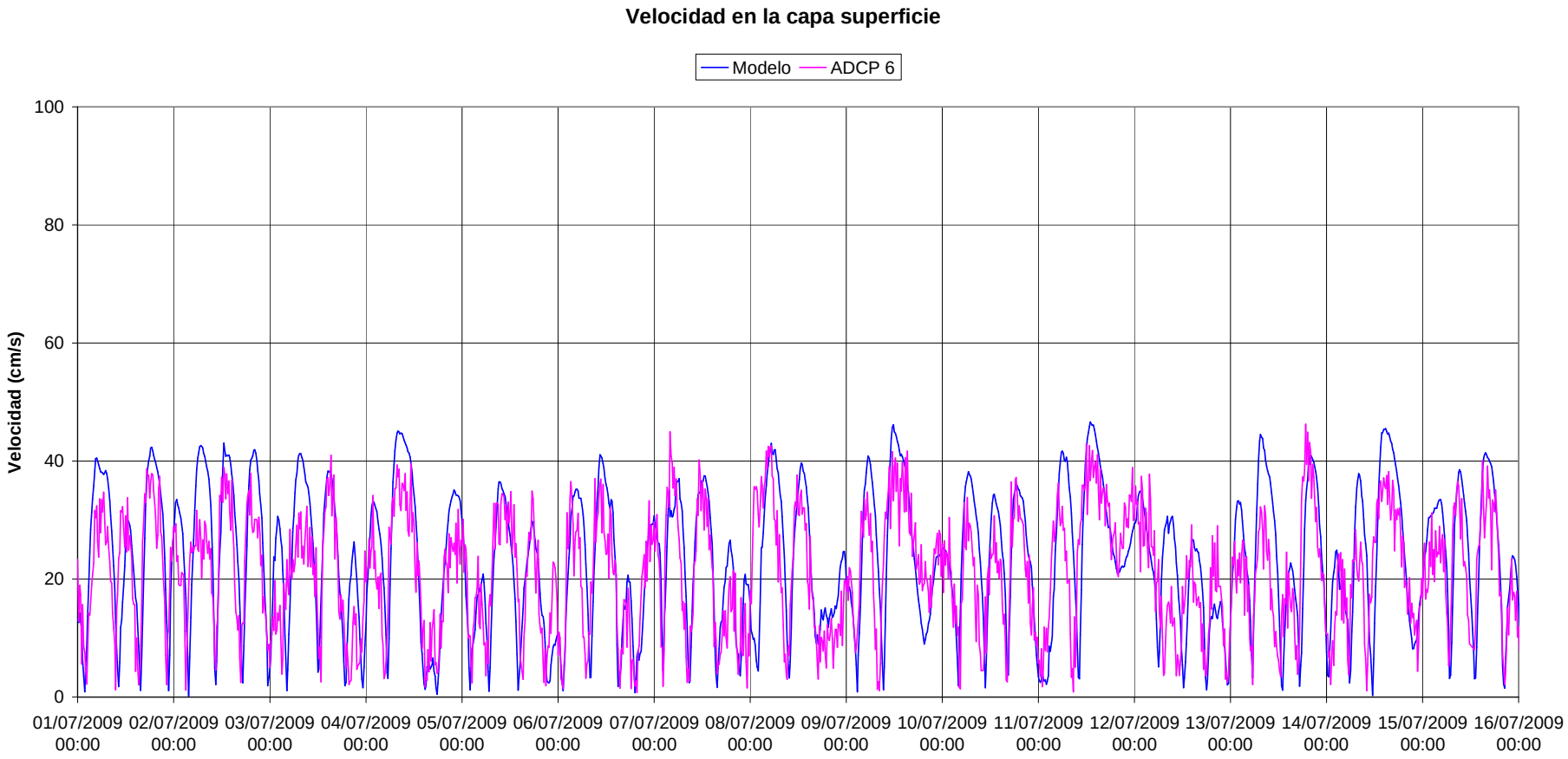

Figura A.5.4.2.2.9 – Comparación entre resultados del modelo y mediciones de velocidad en ADCP 6. Capa superficial.

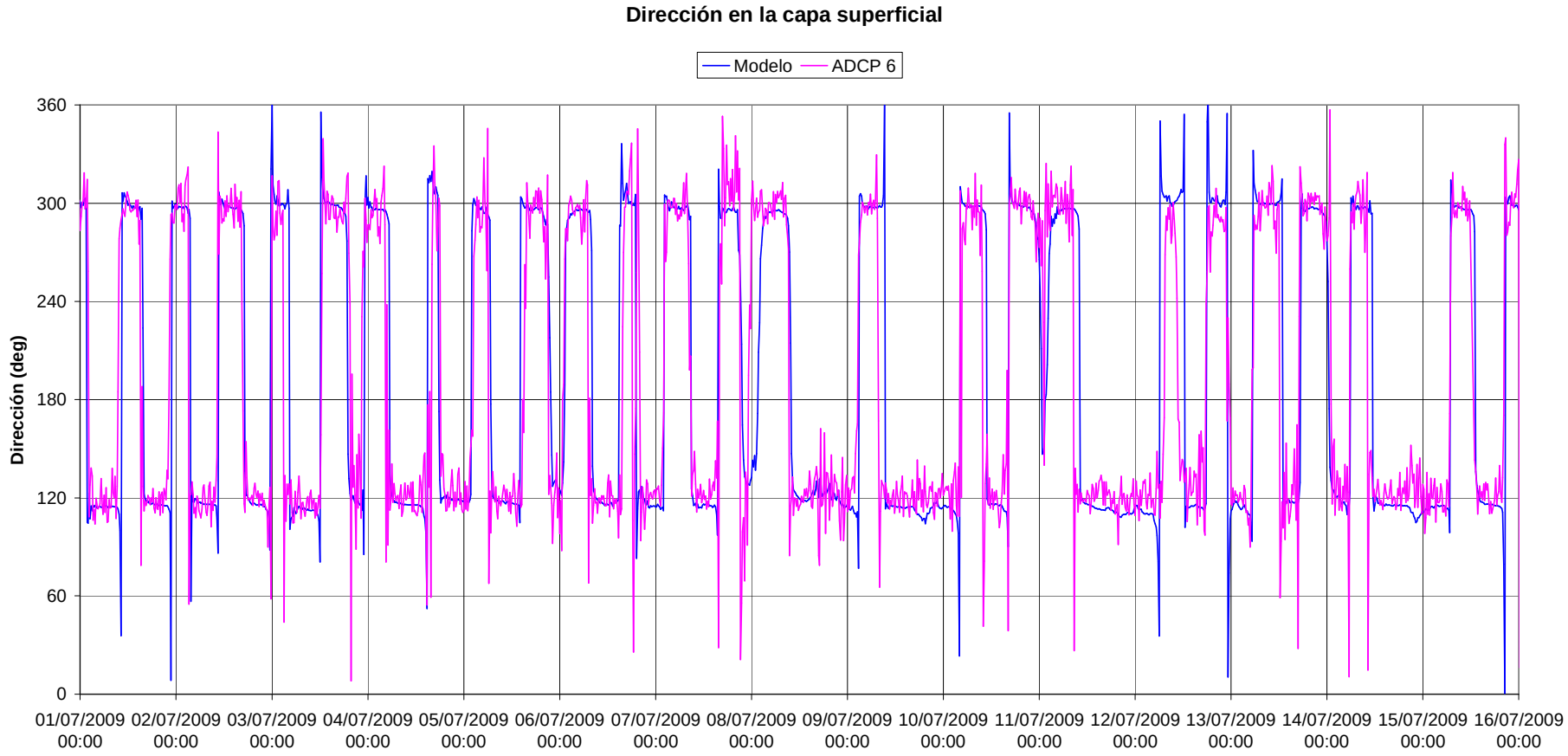

Figura A.5.4.2.2.10 – Comparación entre resultados del modelo y mediciones de nivel de dirección de corriente en ADCP 6. Capa superficial.

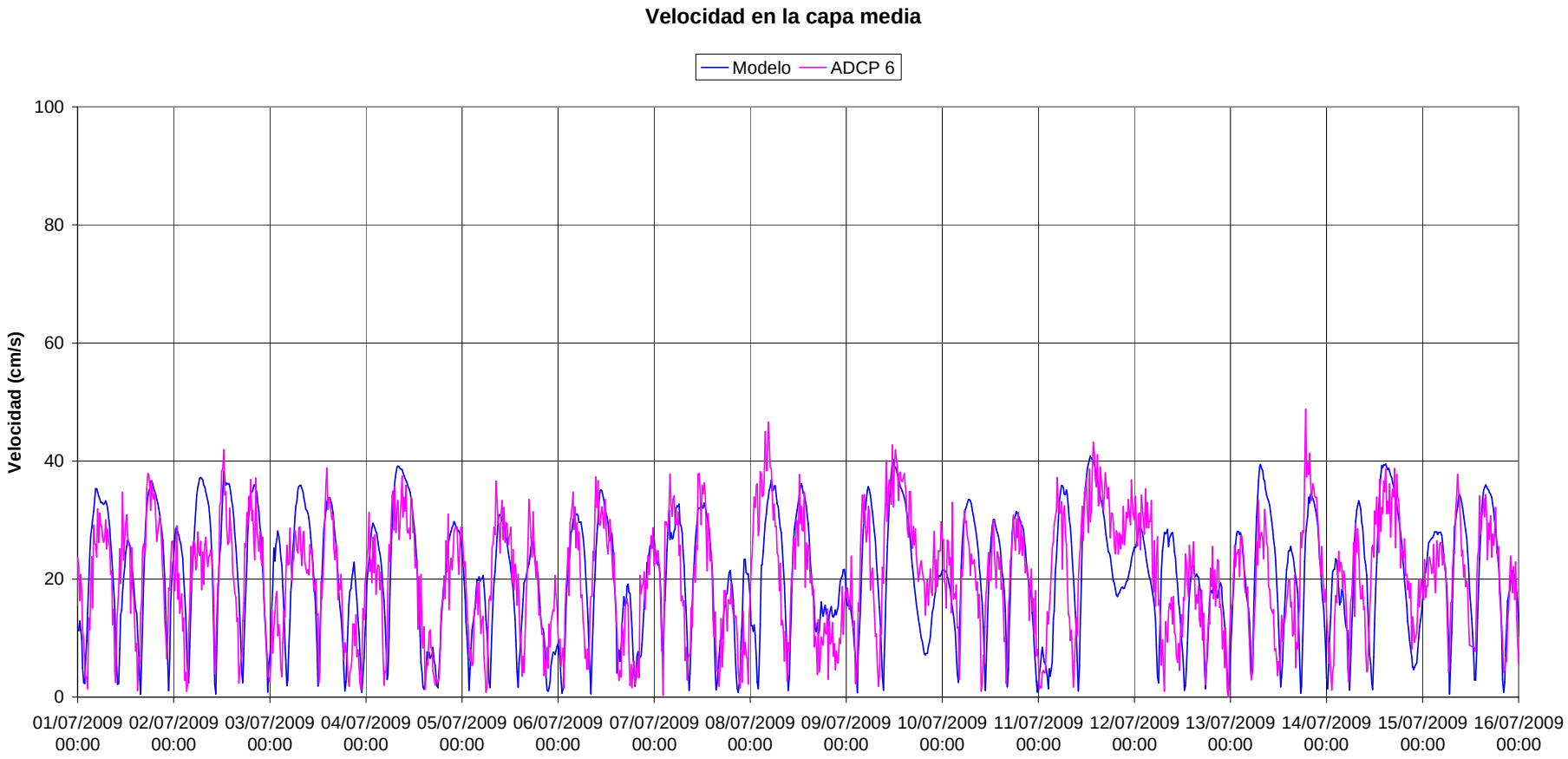

Figura A.5.4.2.2.11 – Comparación entre resultados del modelo y mediciones de nivel de velocidad en ADCP 6. Capa intermedia.

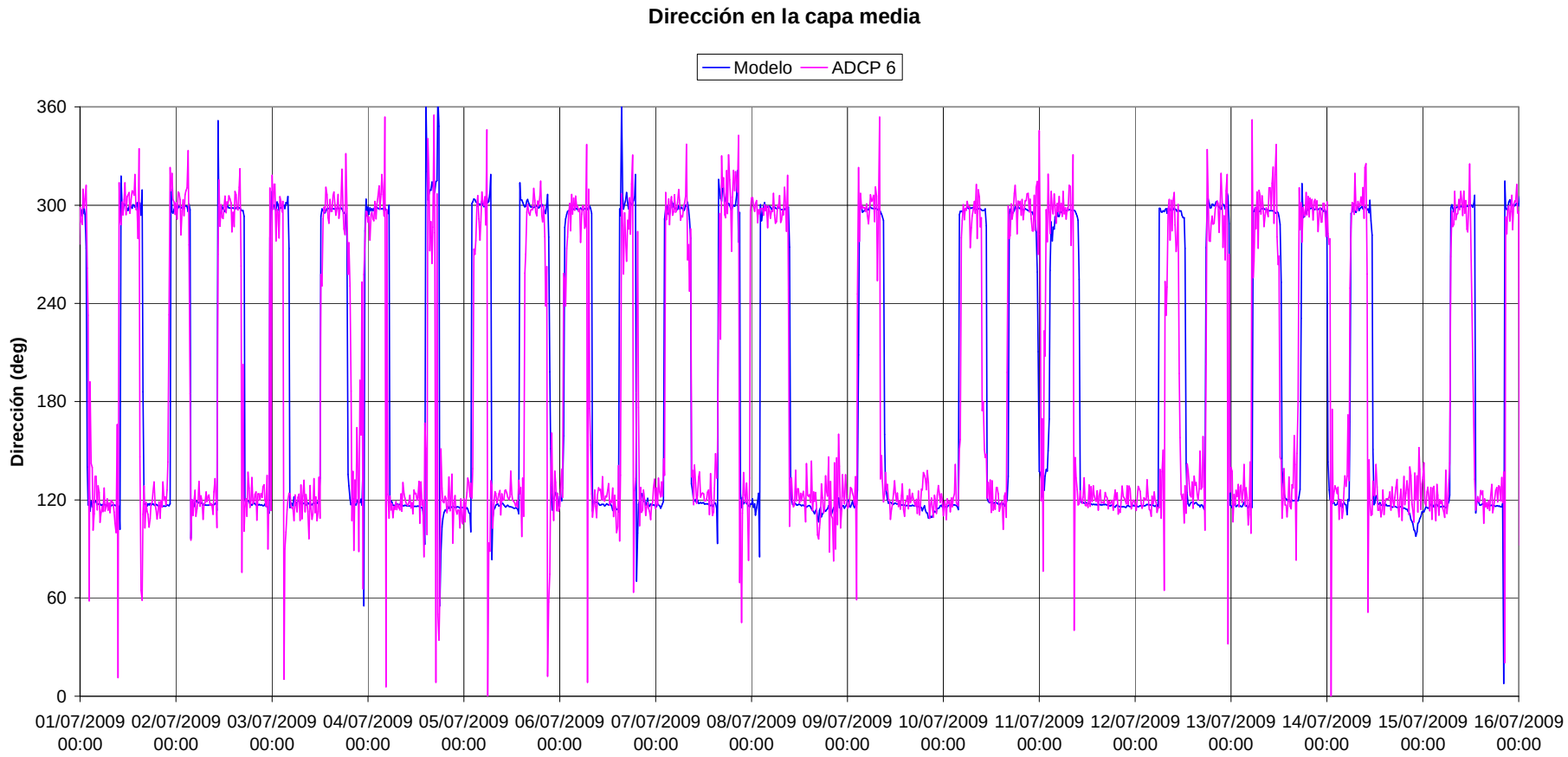

Figura A.5.4.2.2.12 – Comparación entre resultados del modelo y mediciones de nivel de dirección de corriente en ADCP 6. Capa intermedia.

Modelación Matemática de Dispersión de Sedimentos en el Río de la Plata por Construcción de los Emisarios Riachuelo y Berazategui

TOMO II

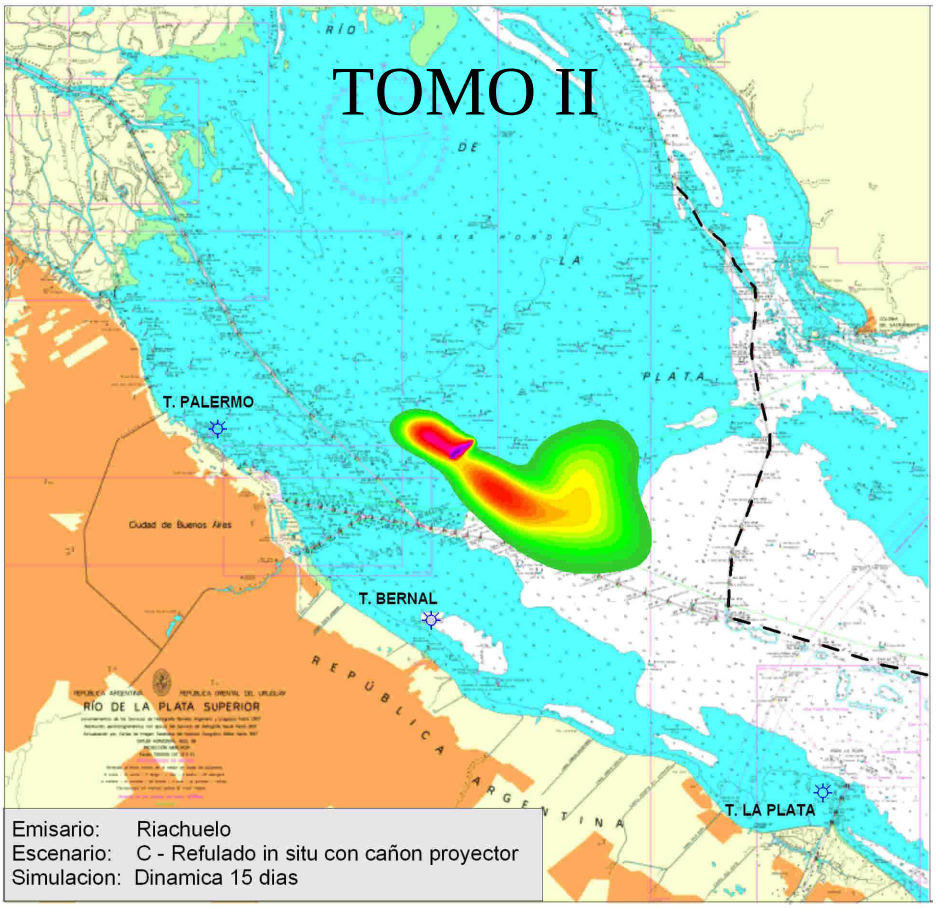

Realizado para

Informe Final - Enero 2010

CCyA Ingeniería Junín 1804 - San Martín - Buenos Aires
info@ccyaingenieria.com.ar Telefax +54 11 4753 8660 www.ccyaingenieria.com.ar

ANEXO 6.5.1.1

Dragado con cortadora y vaciado por cañería satélite en emisario Riachuelo

Evolución de parámetros en estaciones fijas.

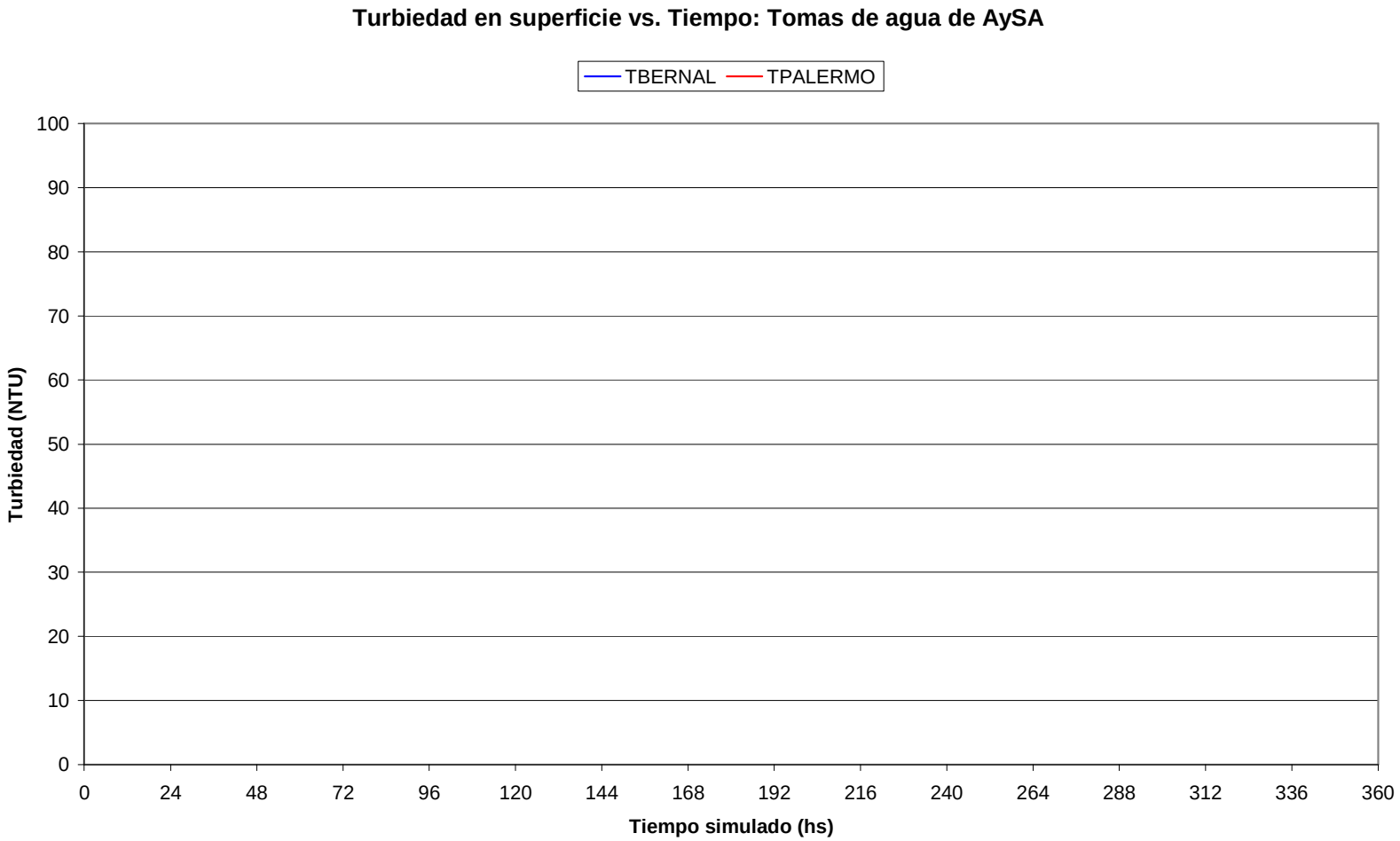

Figura A.6.5.1.1.1 – Turbiedad en tomas de agua. Capa superficial. No se observan niveles mensurables de sobre-concentración.

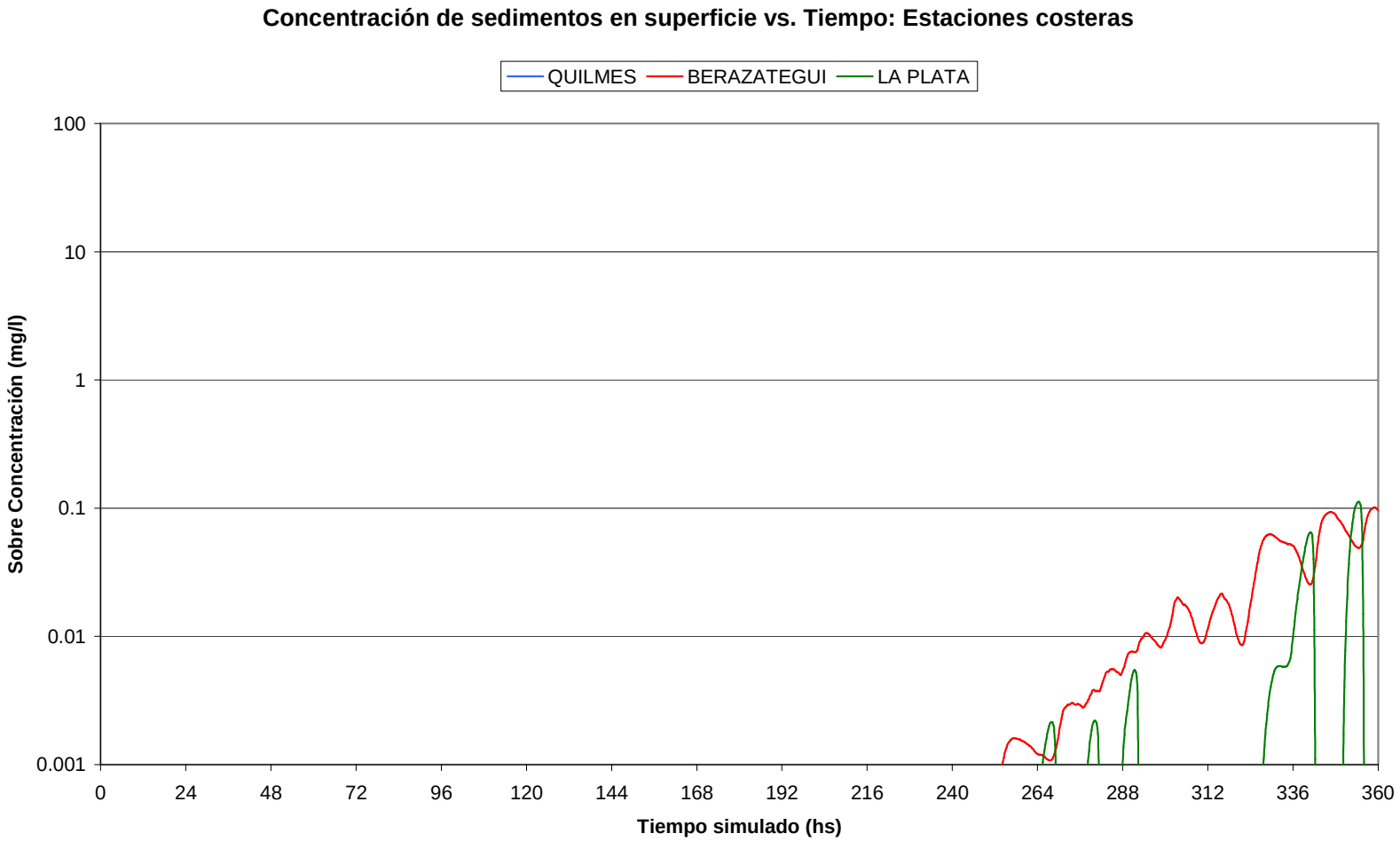

Figura A.6.5.1.1.2 – Concentración de sedimentos en áreas costeras. Capa superficial.

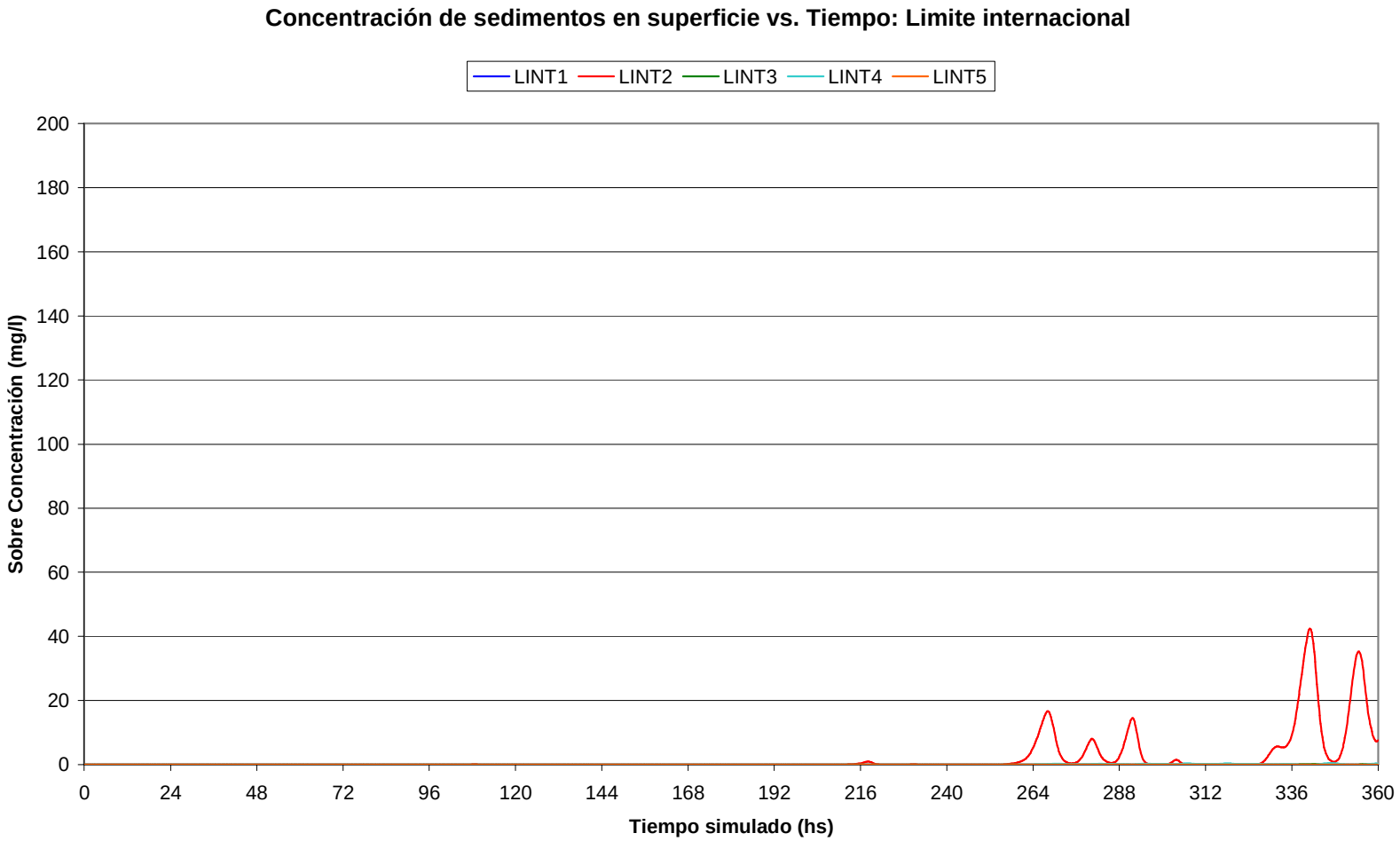

Figura A.6.5.1.1.3 – Concentración de sedimentos en el límite internacional. Capa superficial.

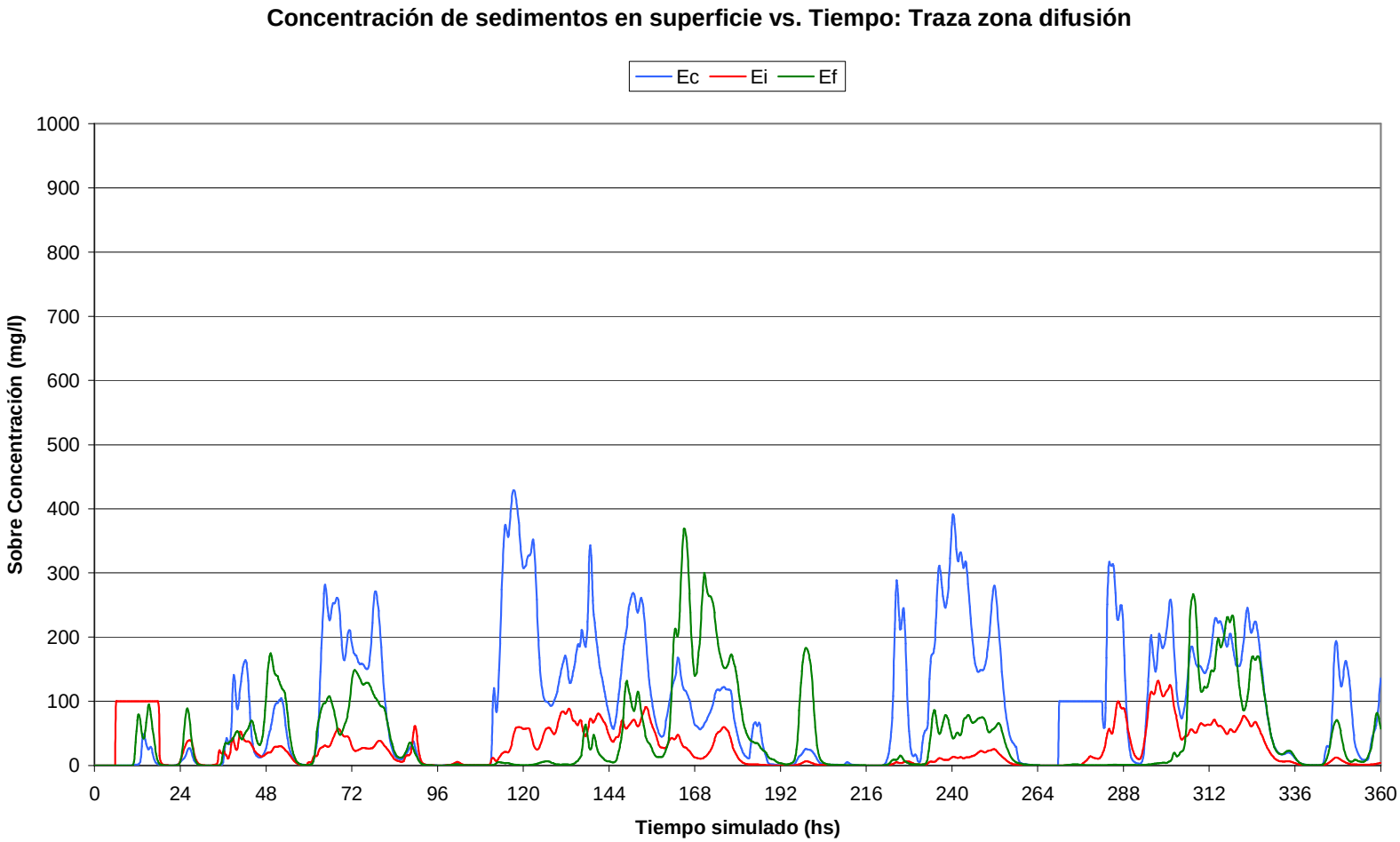

Figura A.6.5.1.1.4 – Concentración de sedimentos en la traza del emisario. Capa superficial.

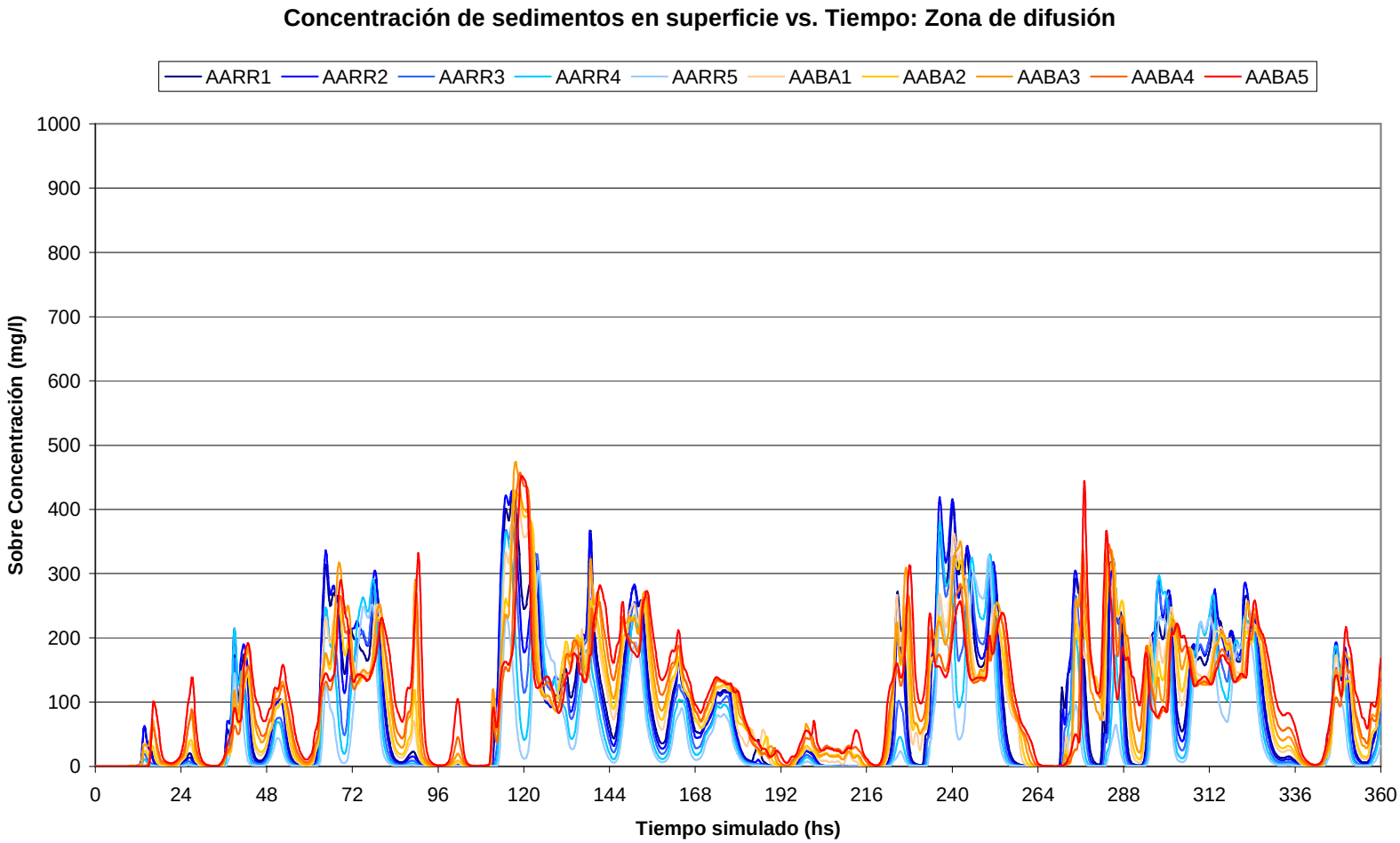

Figura A.6.5.1.1.5 – Concentración de sedimentos en la zona de difusión del emisario. Capa superficial.

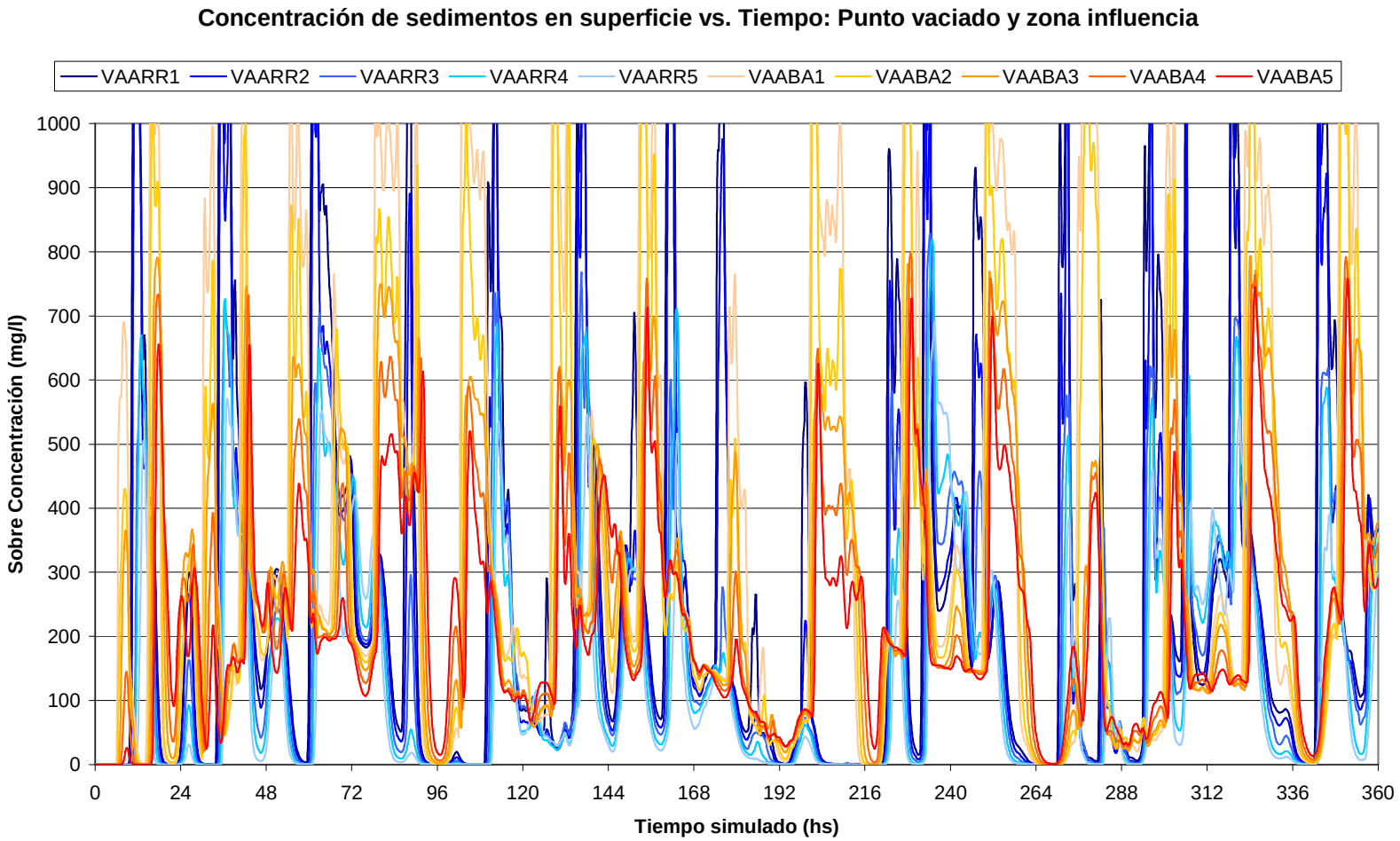

Figura A.6.5.1.1.6 – Concentración de sedimentos en la zona de refulado. Capa superficial.

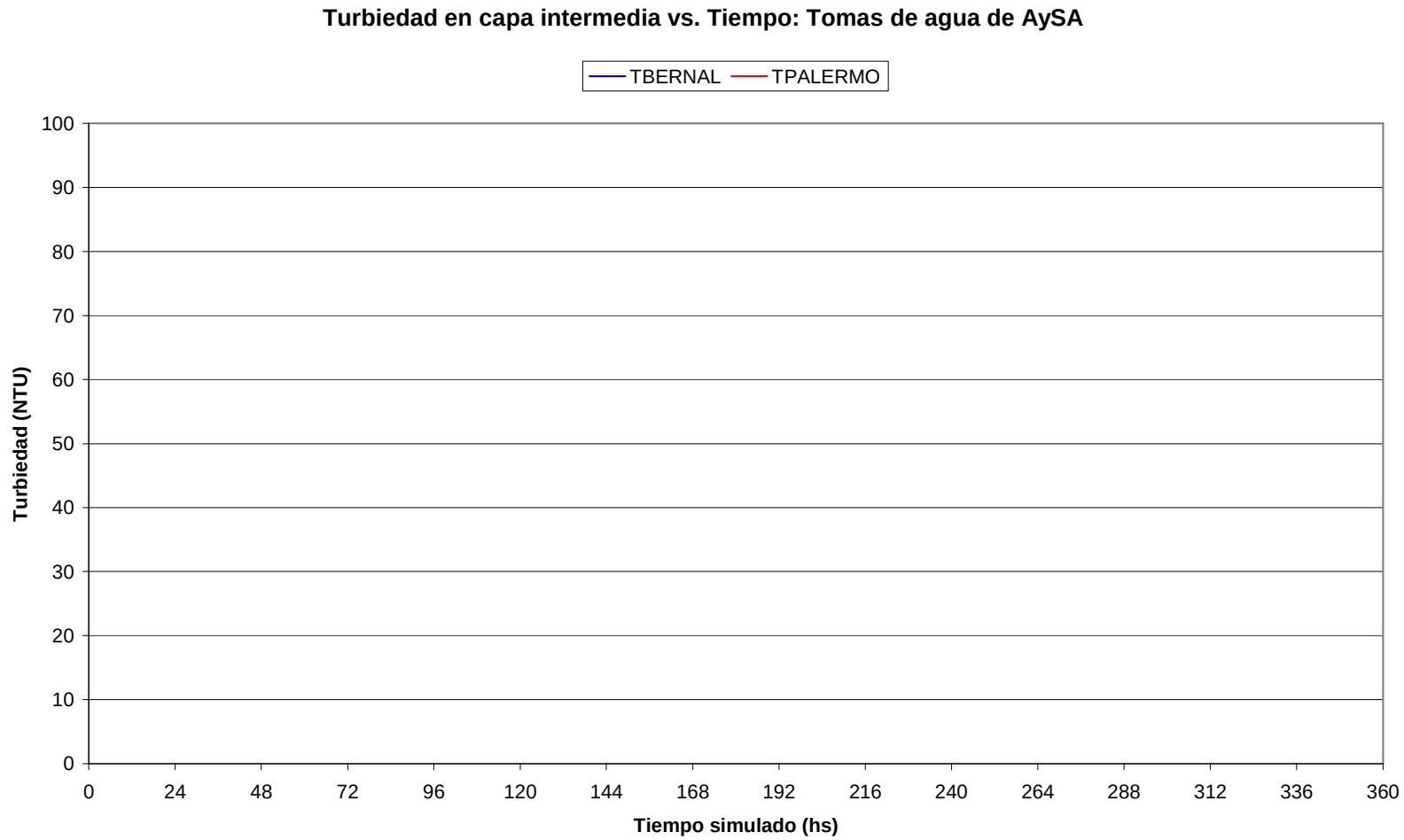

Figura A.6.5.1.1.7 – Turbiedad en tomas de agua. Capa intermedia. No se observan niveles mensurables de sobre-concentración.

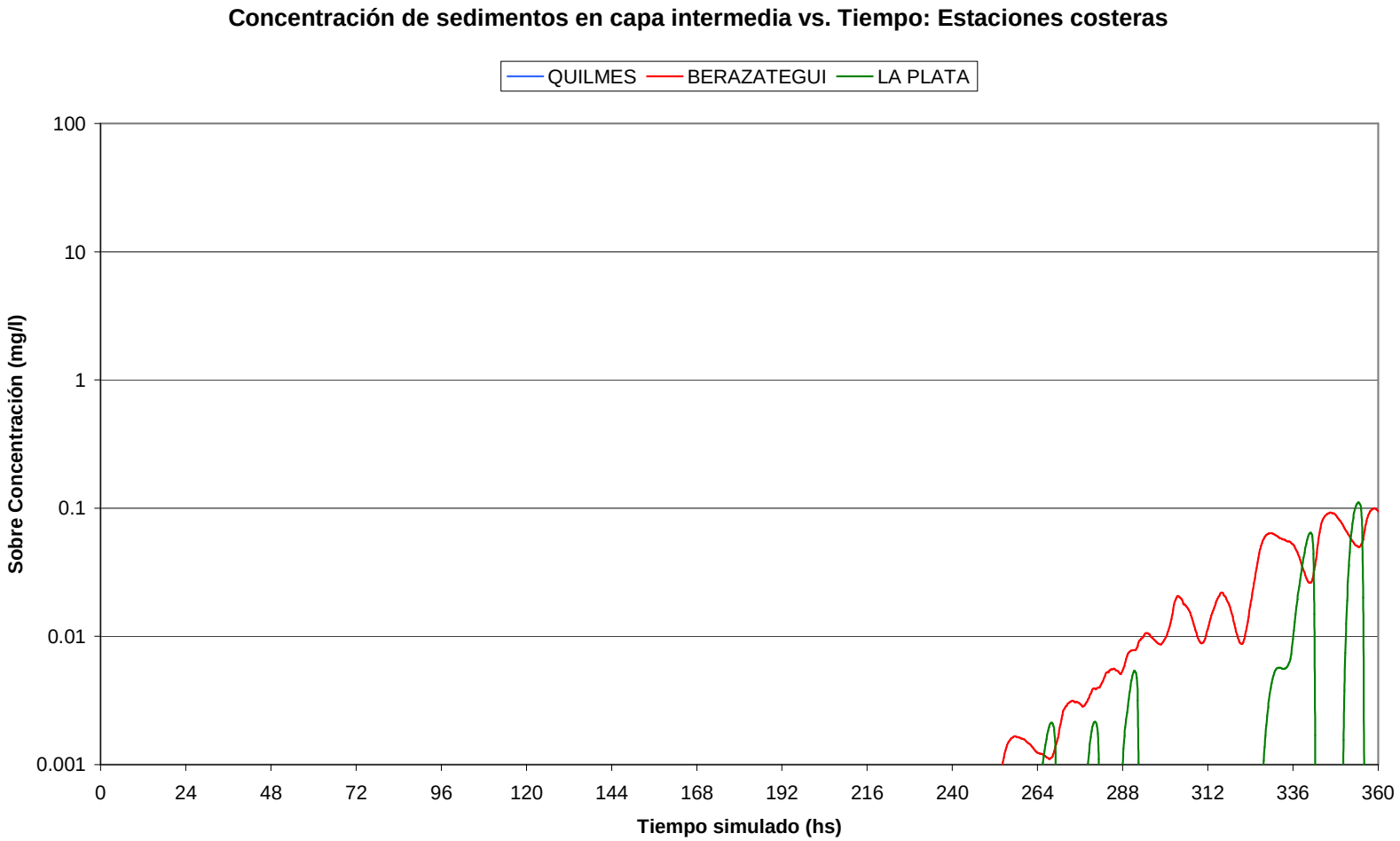

Figura A.6.5.1.1.8 – Concentración de sedimentos en áreas costeras. Capa intermedia.

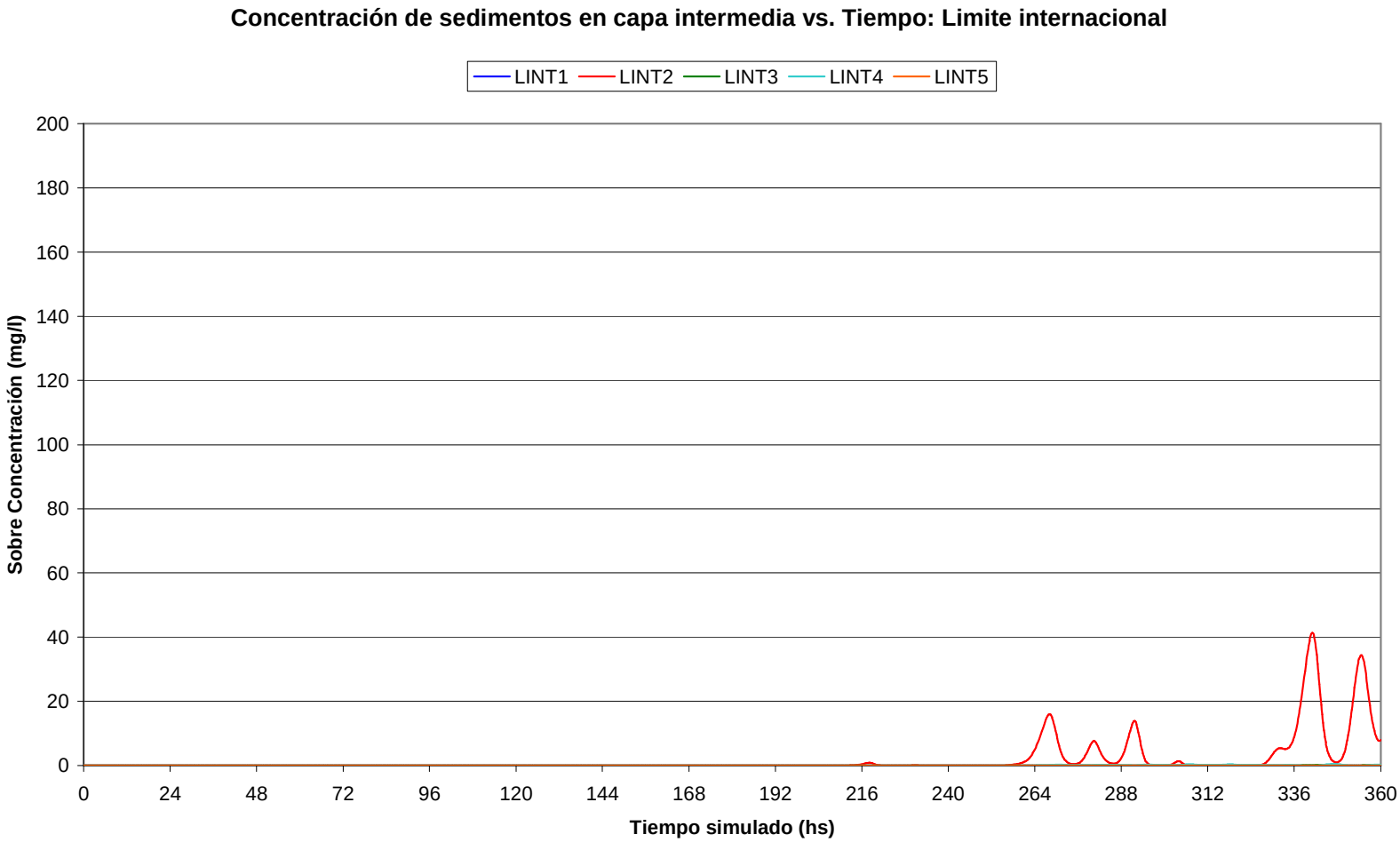

Figura A.6.5.1.1.9 – Concentración de sedimentos en el límite internacional. Capa intermedia.

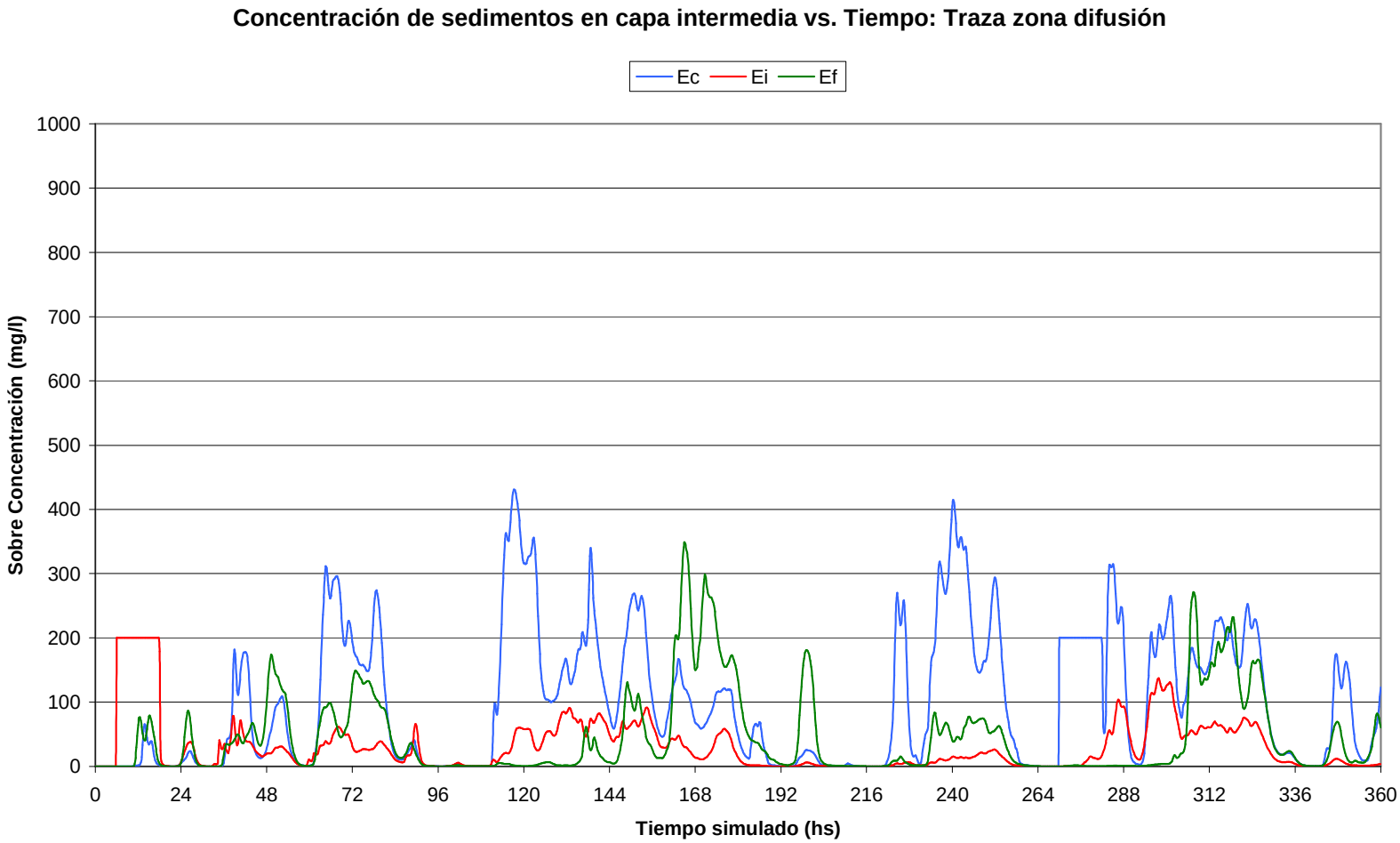

Figura A.6.5.1.1.10 – Concentración de sedimentos en la traza del emisario. Capa intermedia.

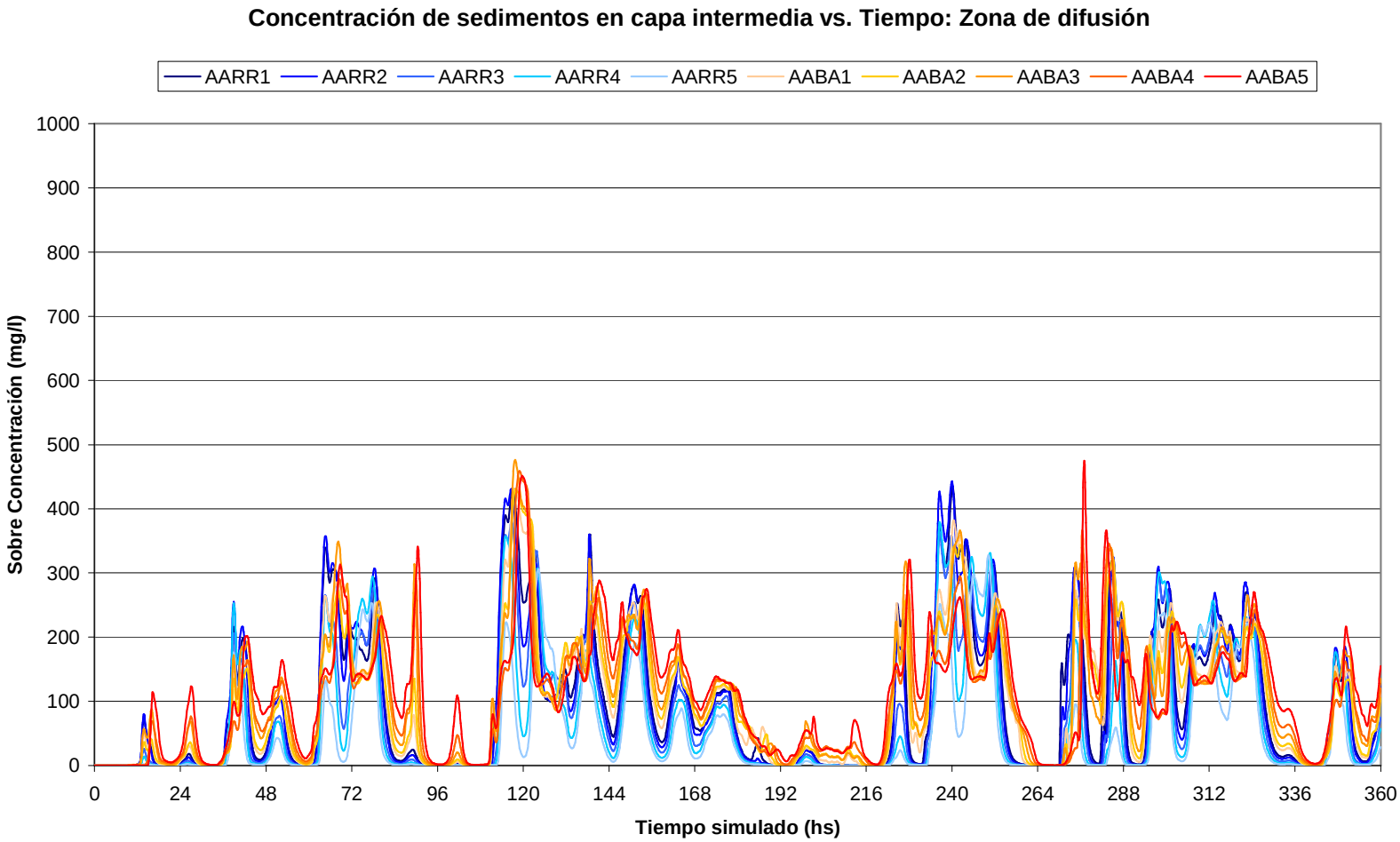

Figura A.6.5.1.1.11 – Concentración de sedimentos en la zona de difusión del emisario. Capa intermedia.

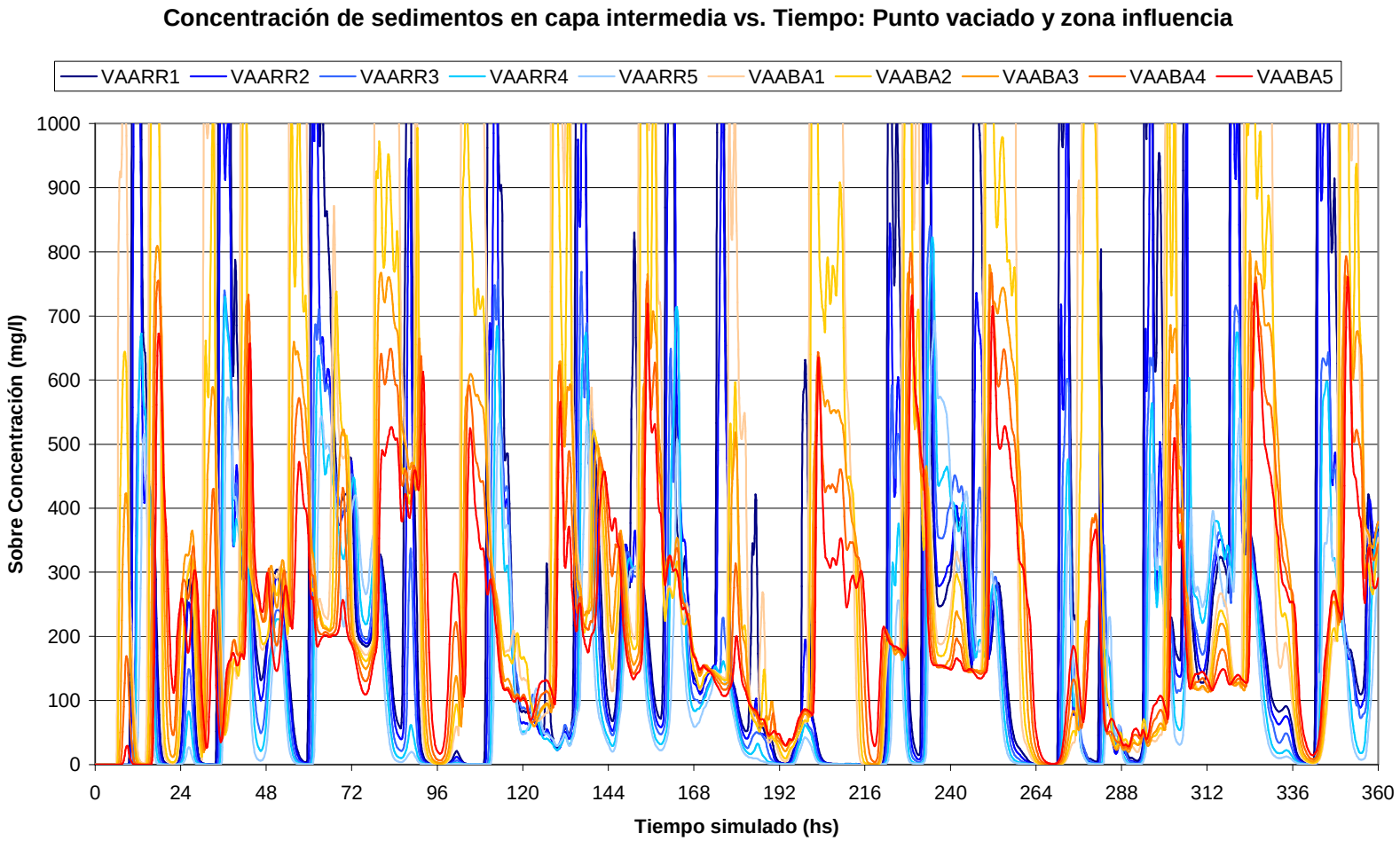

Figura A.6.5.1.1.12 – Concentración de sedimentos en la zona de refulado. Capa intermedia.

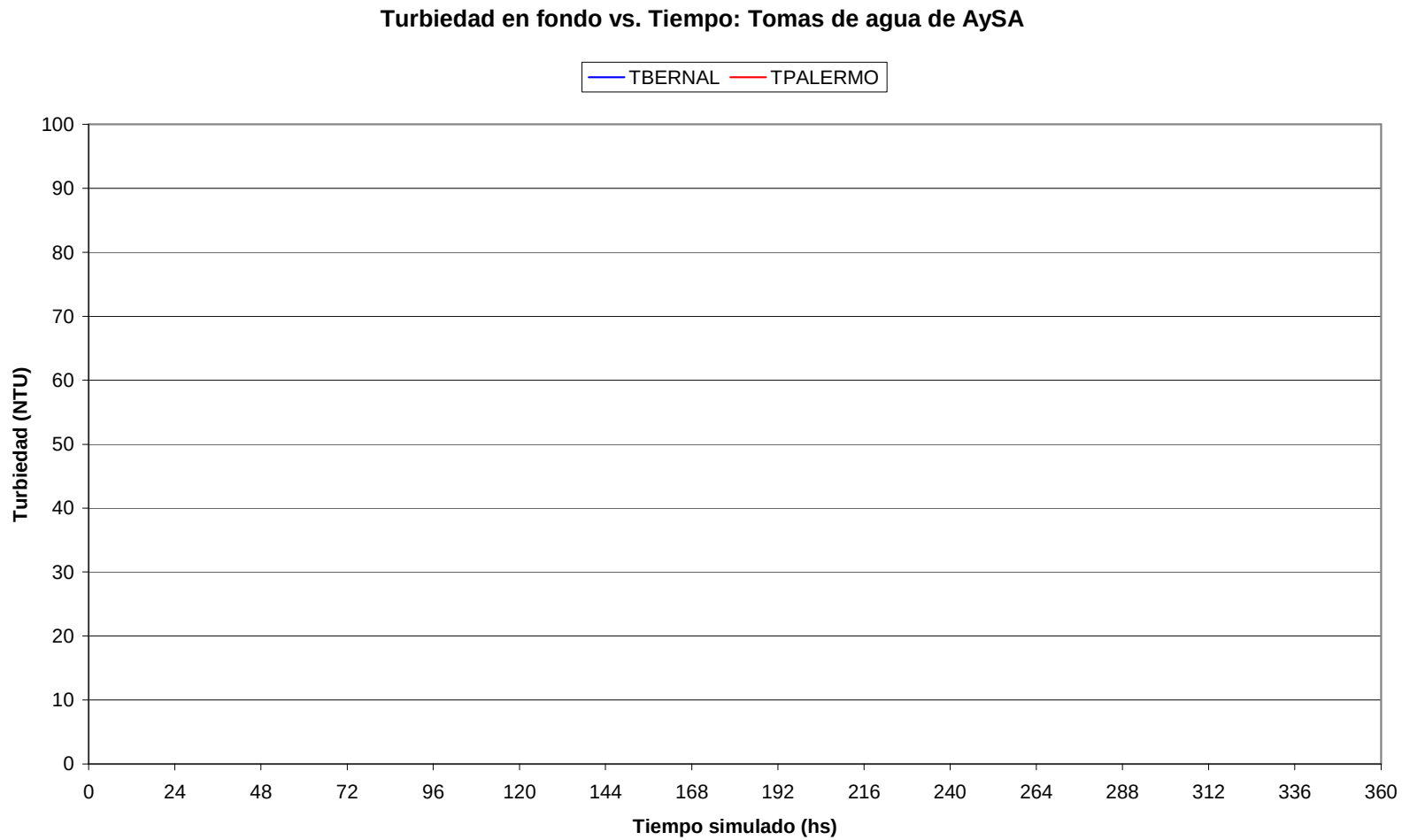

Figura A.6.5.1.1.13 – Turbiedad en tomas de agua. Capa de fondo. No se observan niveles mensurables de sobre-concentración.

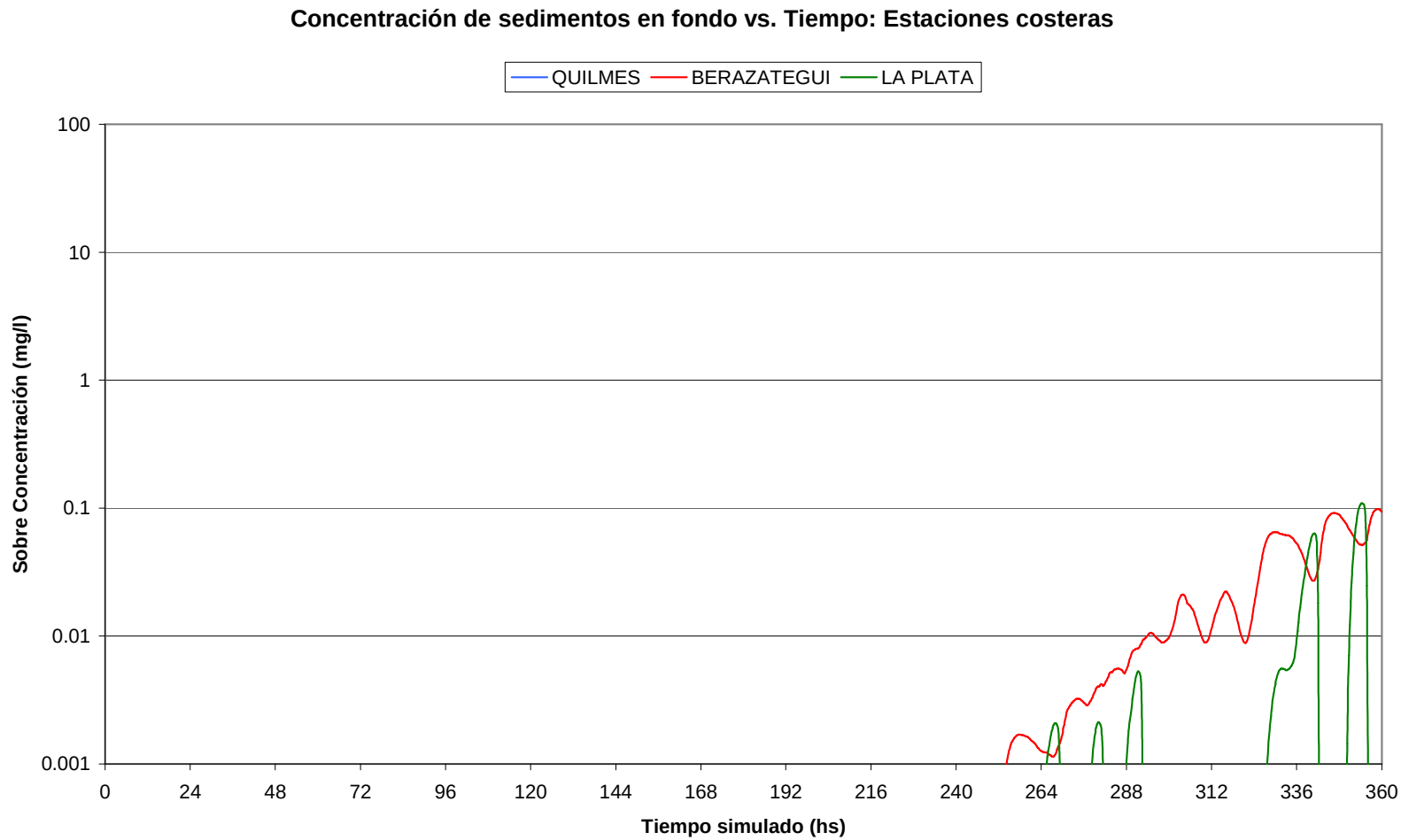

Figura A.6.5.1.1.14 – Concentración de sedimentos en áreas costeras. Capa de fondo.

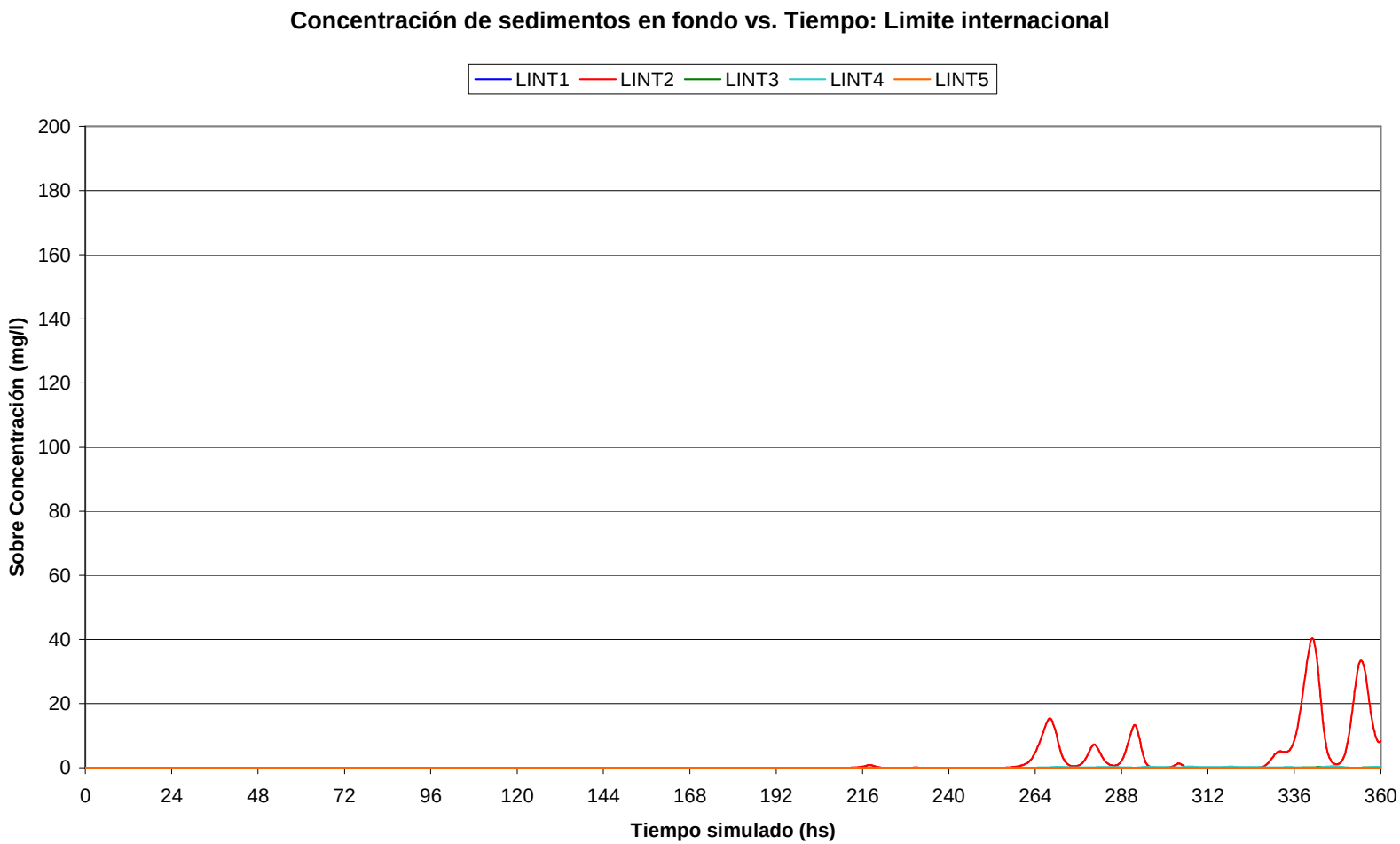

Figura A.6.5.1.1.15 – Concentración de sedimentos en el límite internacional. Capa de fondo.

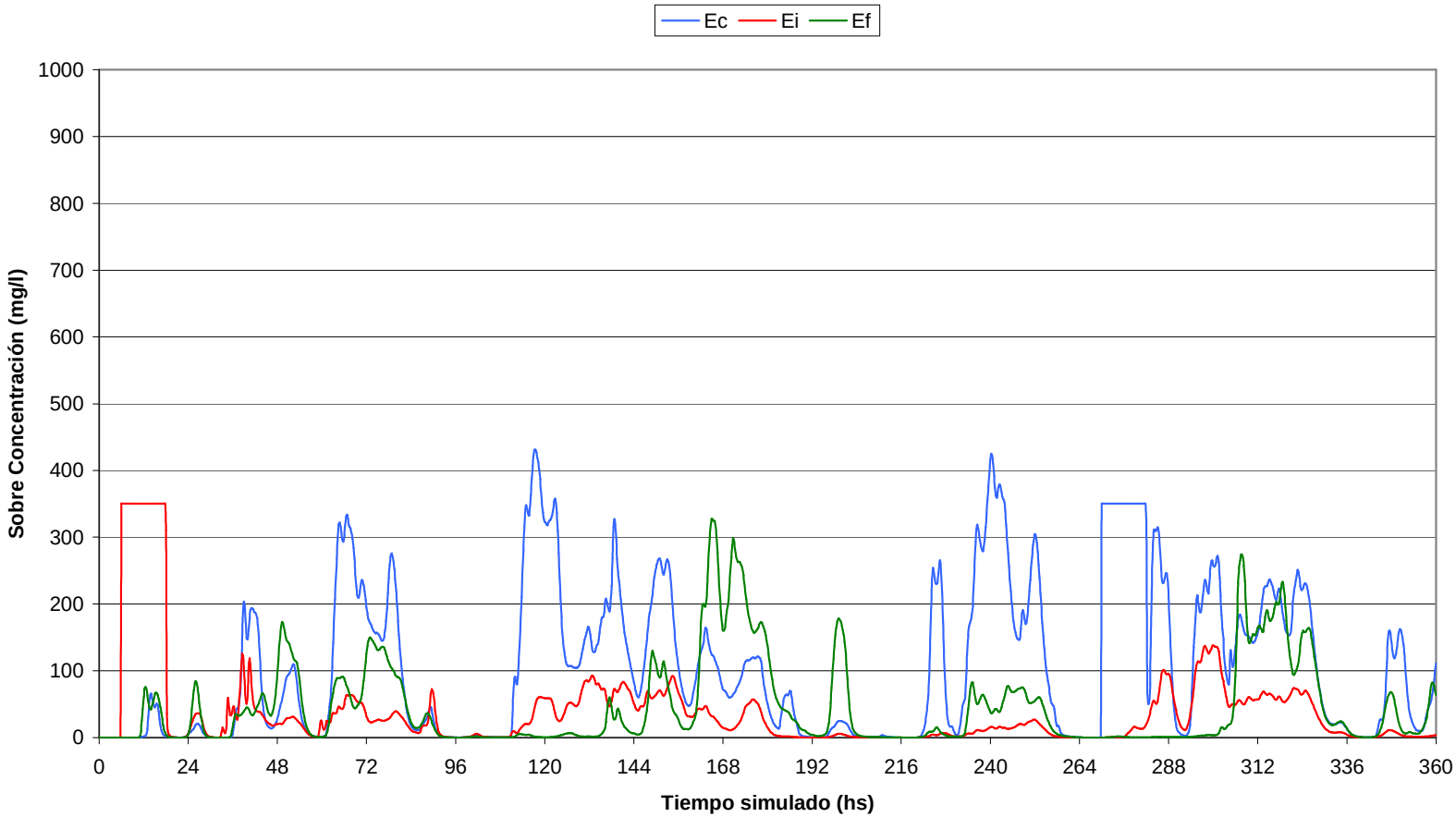

Figura A.6.5.1.1.16 – Concentración de sedimentos en la traza del emisario. Capa de fondo.

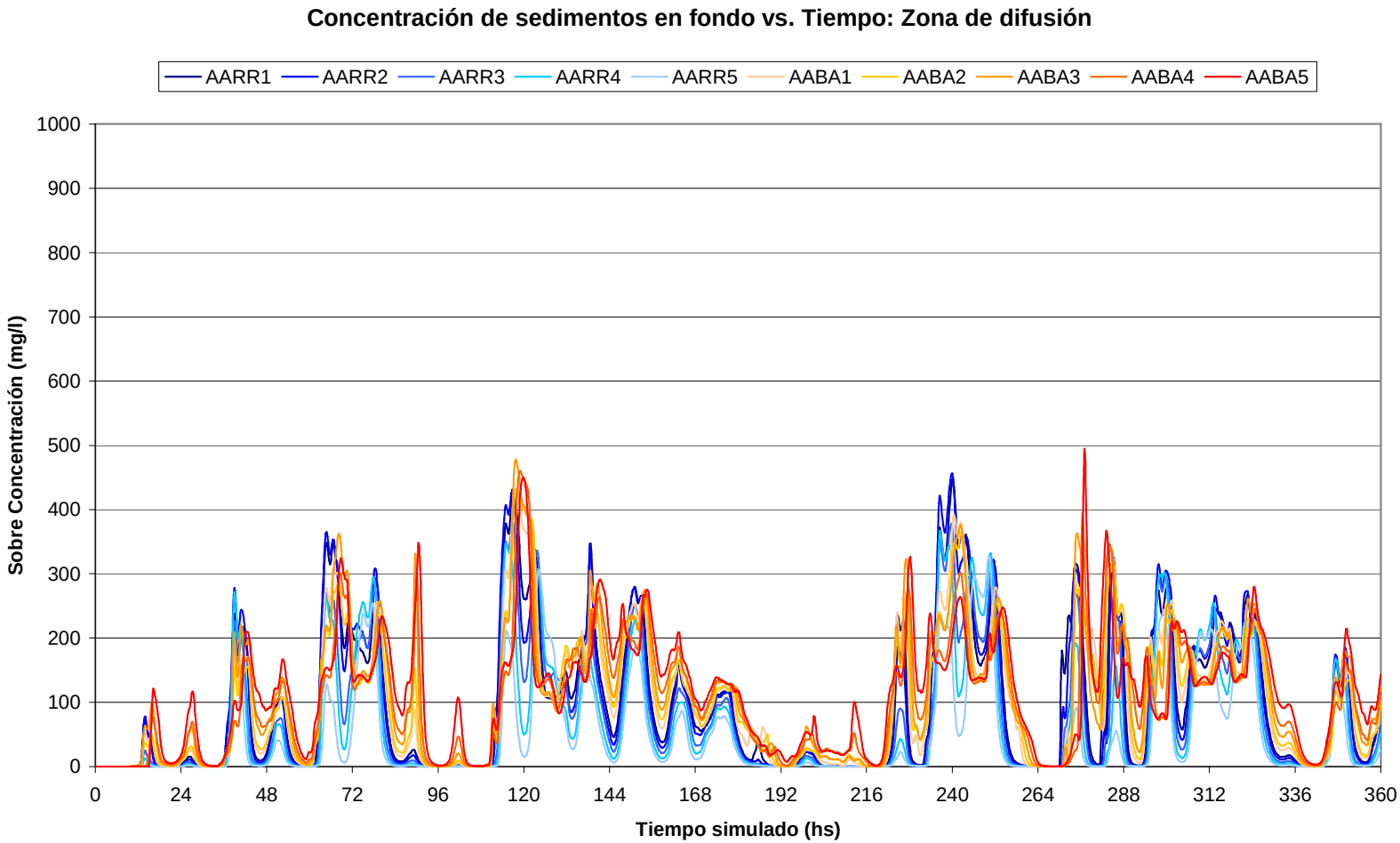

Figura A.6.5.1.1.17 – Concentración de sedimentos en la zona de difusión del emisario. Capa de fondo.

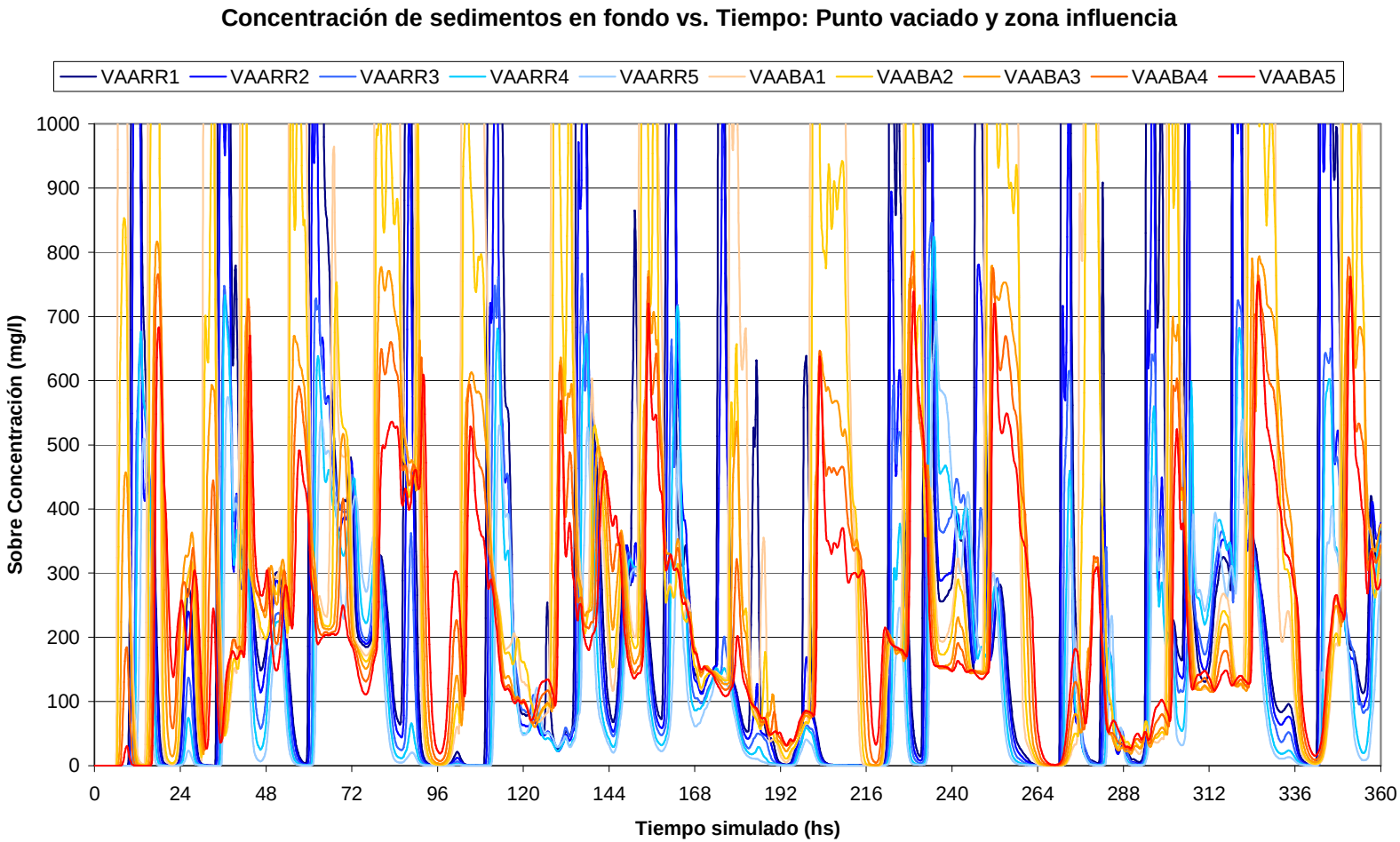

Figura A.6.5.1.1.18 – Concentración de sedimentos en la zona de refulado. Capa de fondo.

ANEXO 6.5.1.2

Dragado con cortadora y vaciado por cañería satélite en emisario Riachuelo.

Distribución espacial de concentraciones y material sedimentado.

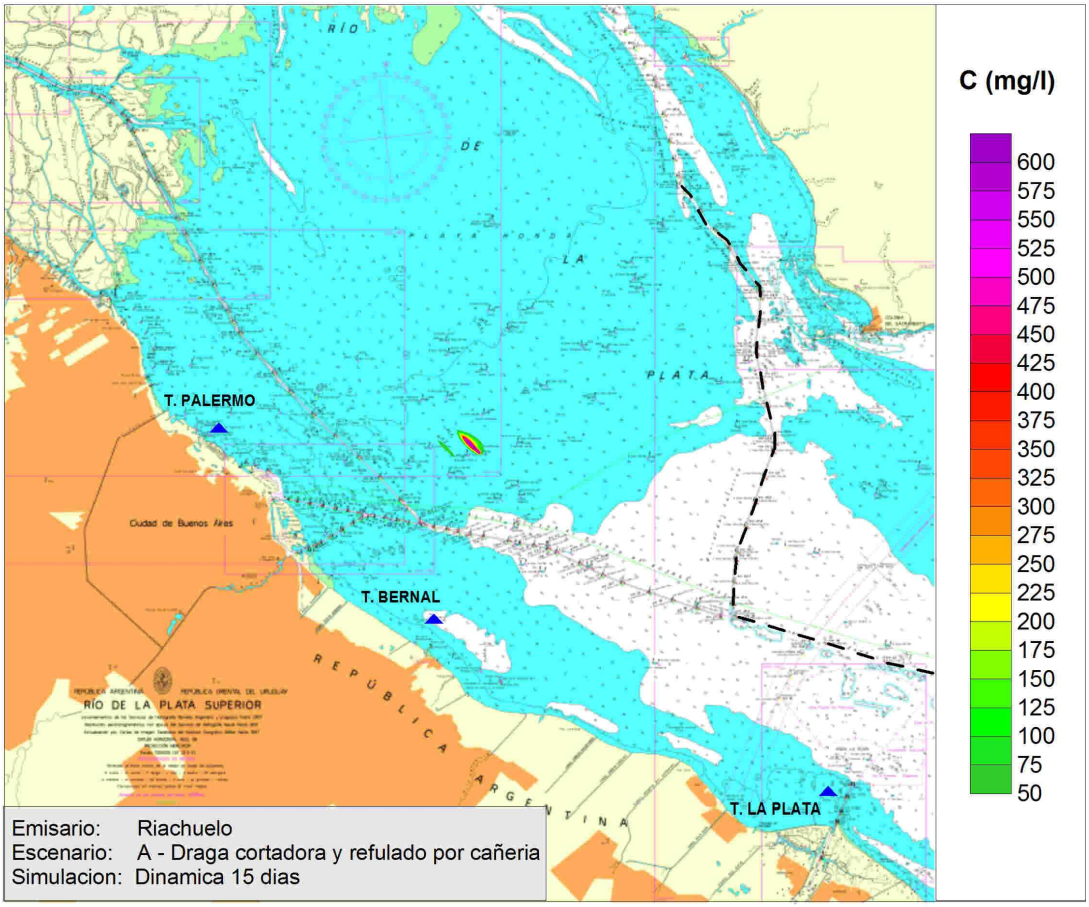

Figura A.6.5.1.2.1 – Distribución superficial de la concentración: día 1 hora 12.

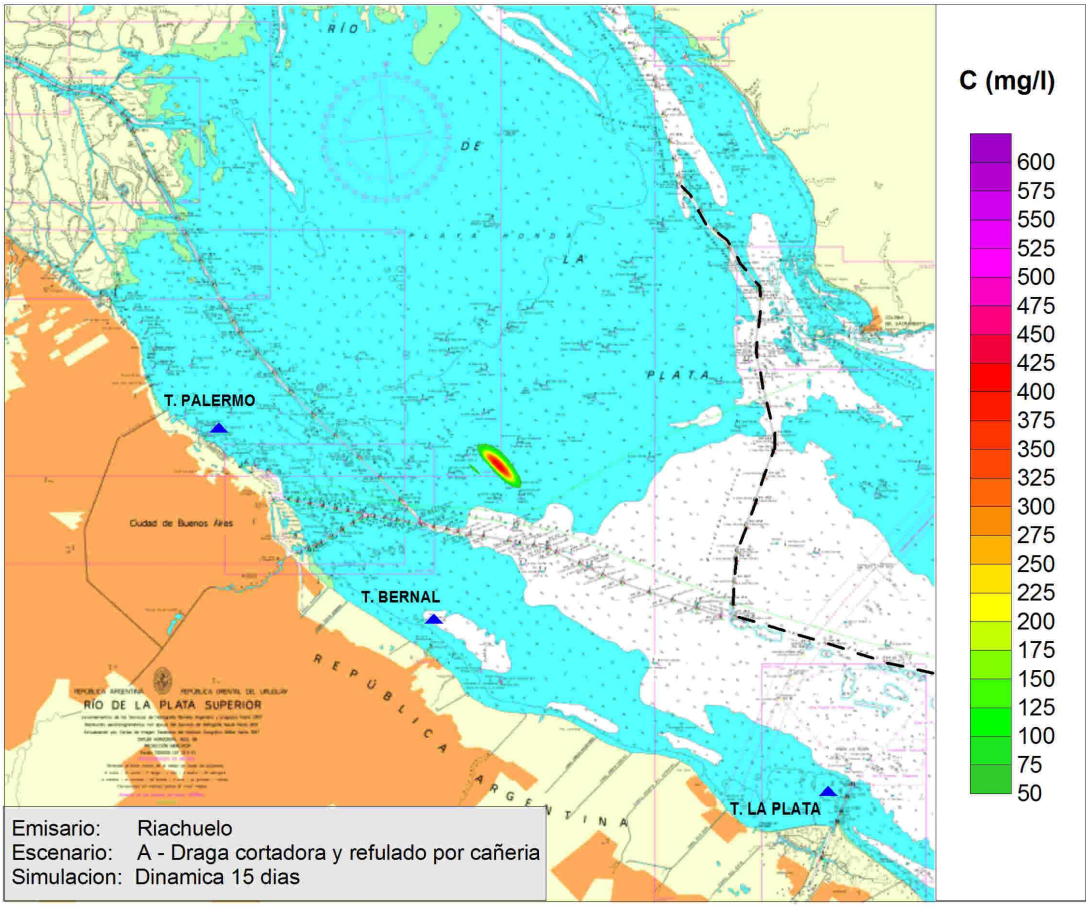

Figura A.6.5.1.2.2 – Distribución superficial de la concentración: día 1 hora 24.

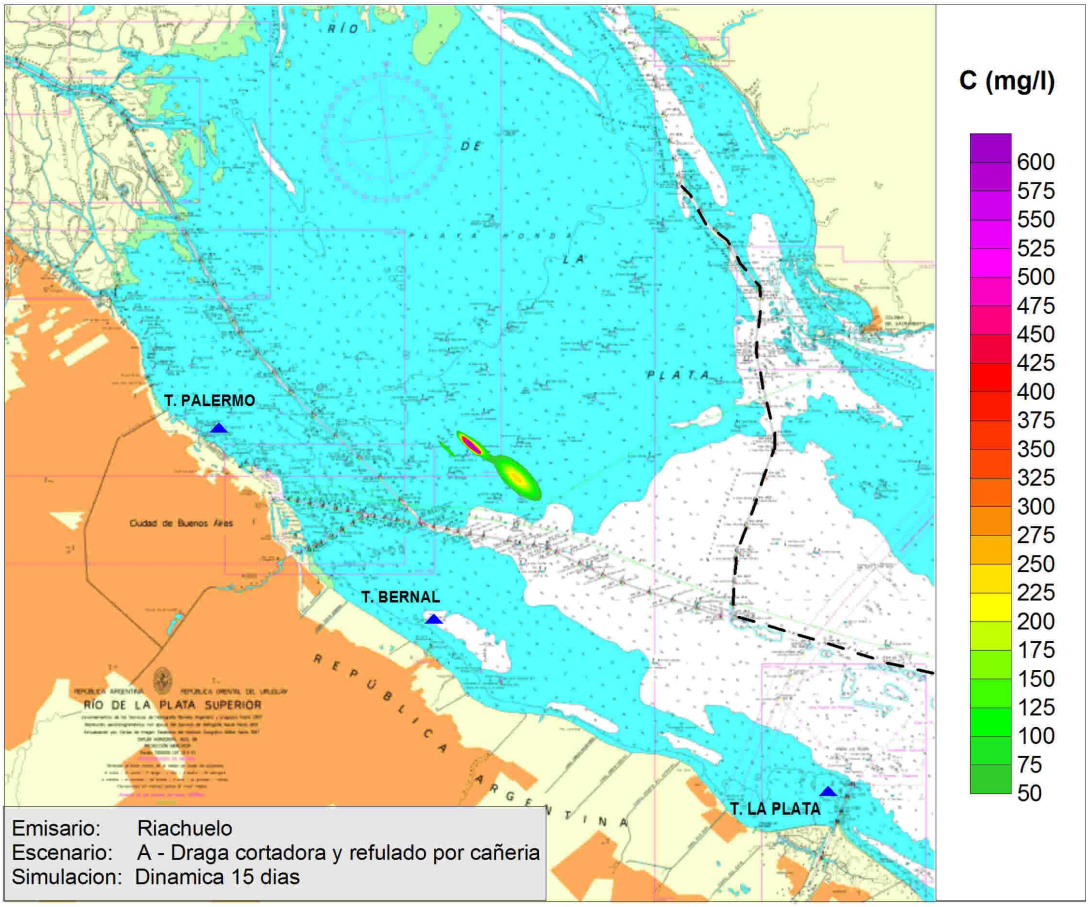

Figura A.6.5.1.2.3 – Distribución superficial de la concentración: día 2 hora 12.

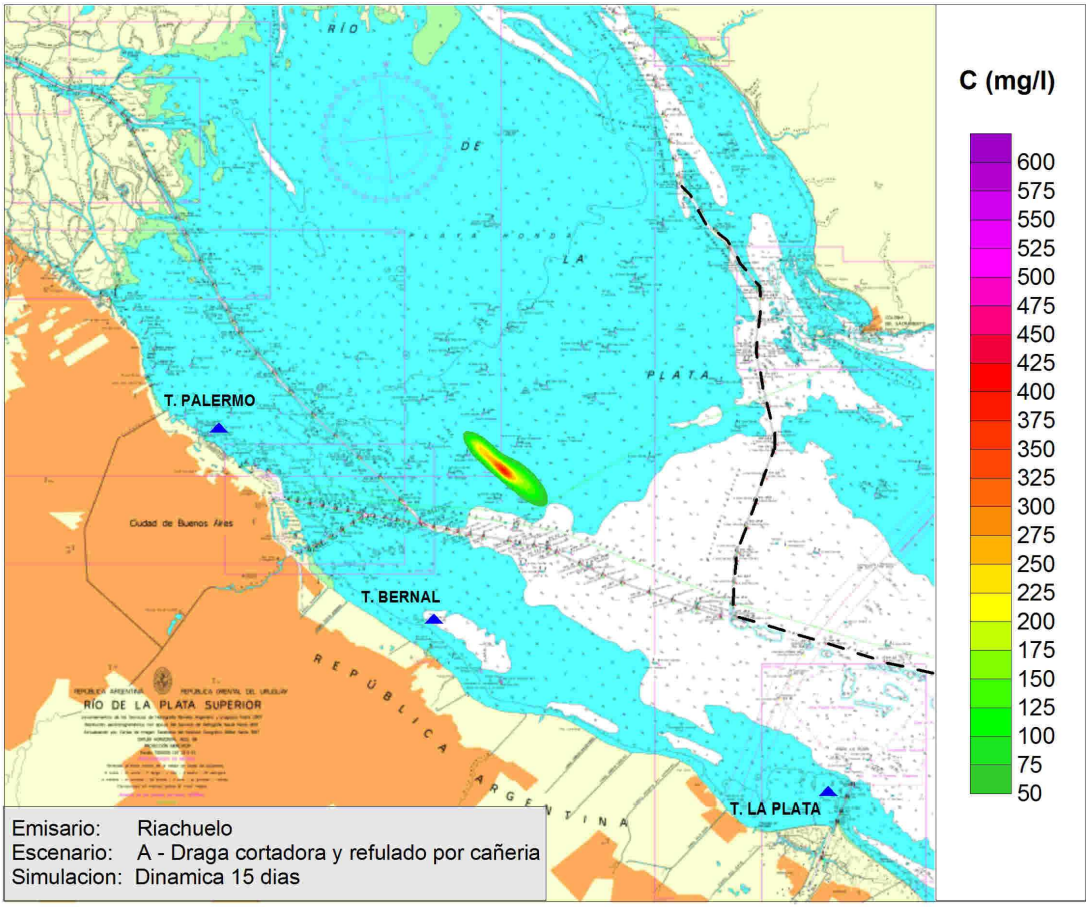

Figura A.6.5.1.2.4 – Distribución superficial de la concentración: día 2 hora 24.

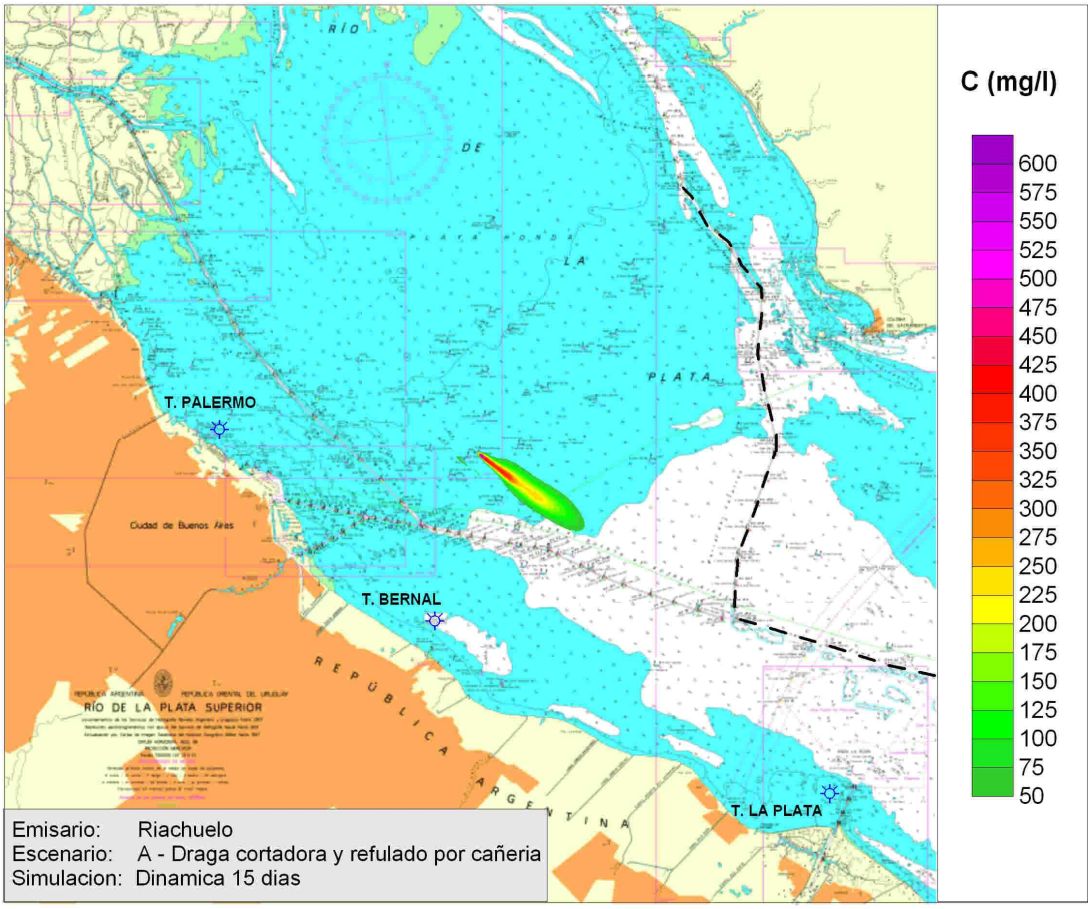

Figura A.6.5.1.2.5 – Distribución superficial de la concentración: día 3 hora 12.

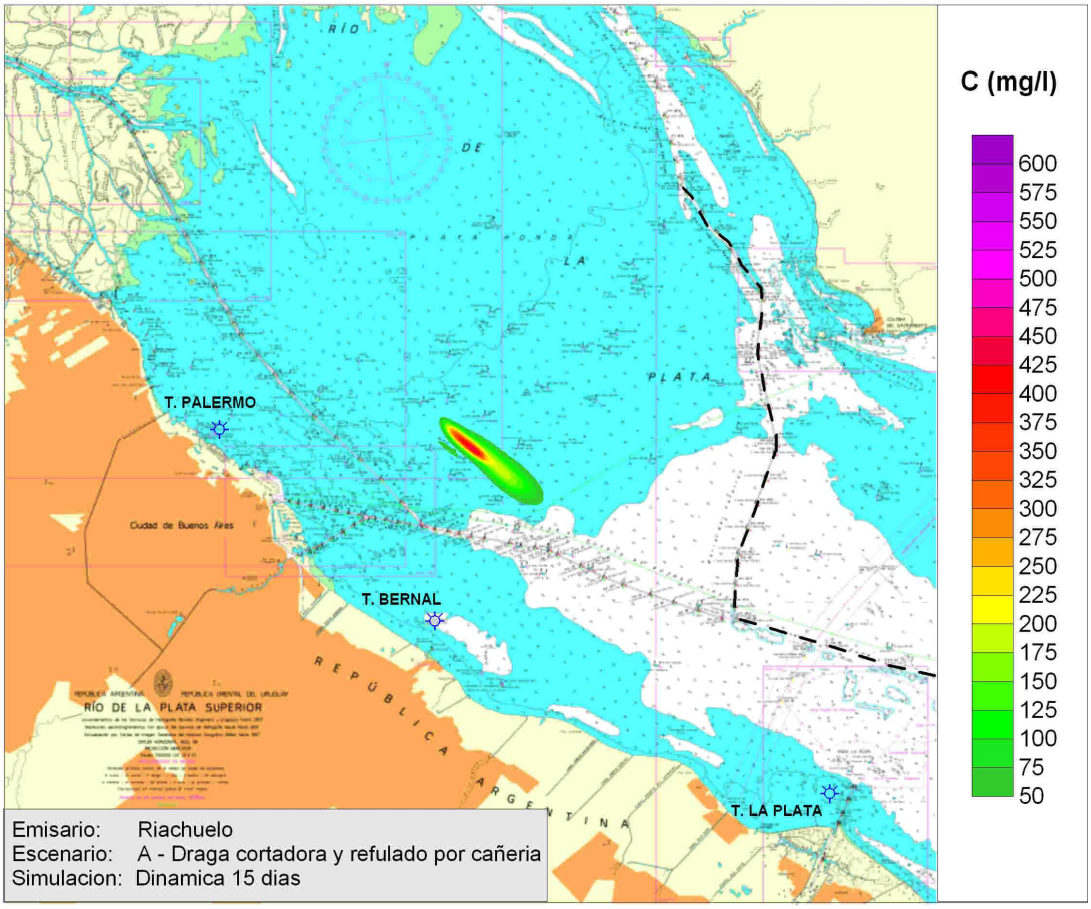

Figura A.6.5.1.2.6 – Distribución superficial de la concentración: día 3 hora 24.

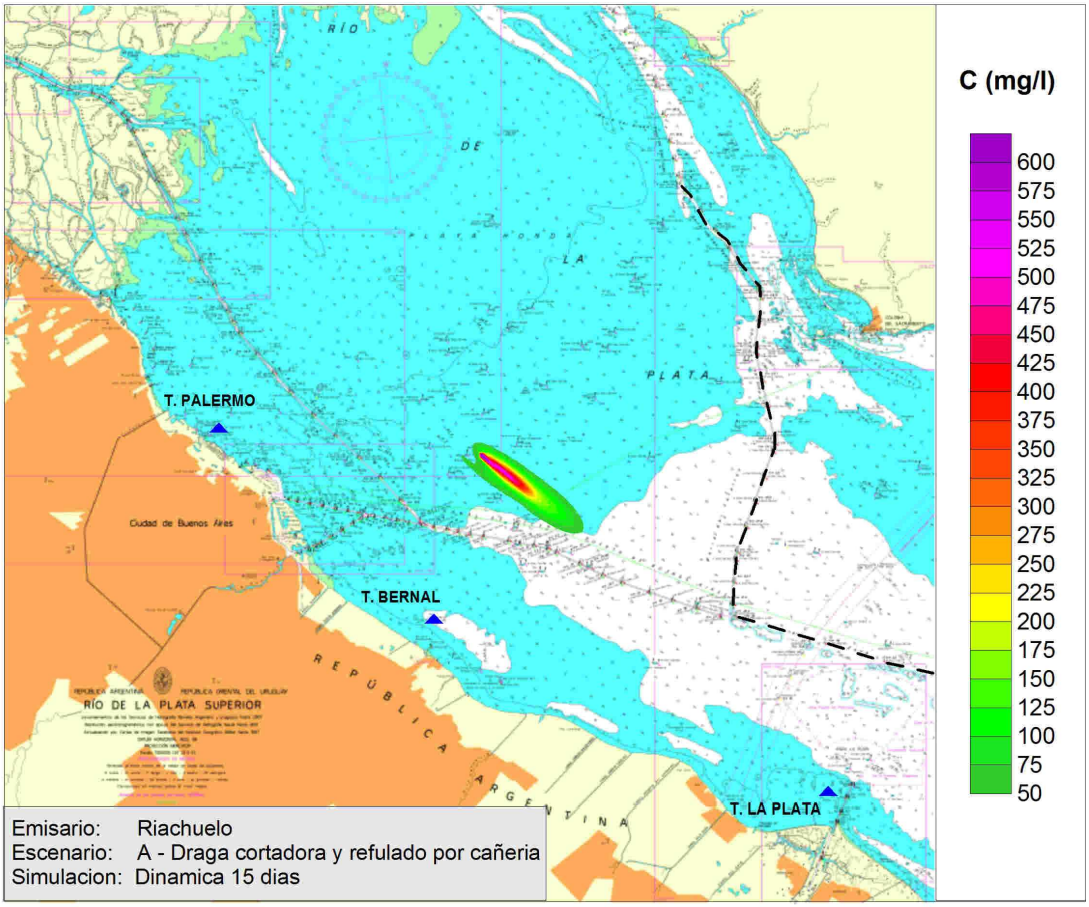

Figura A.6.5.1.2.7 – Distribución superficial de la concentración: día 4 hora 12.

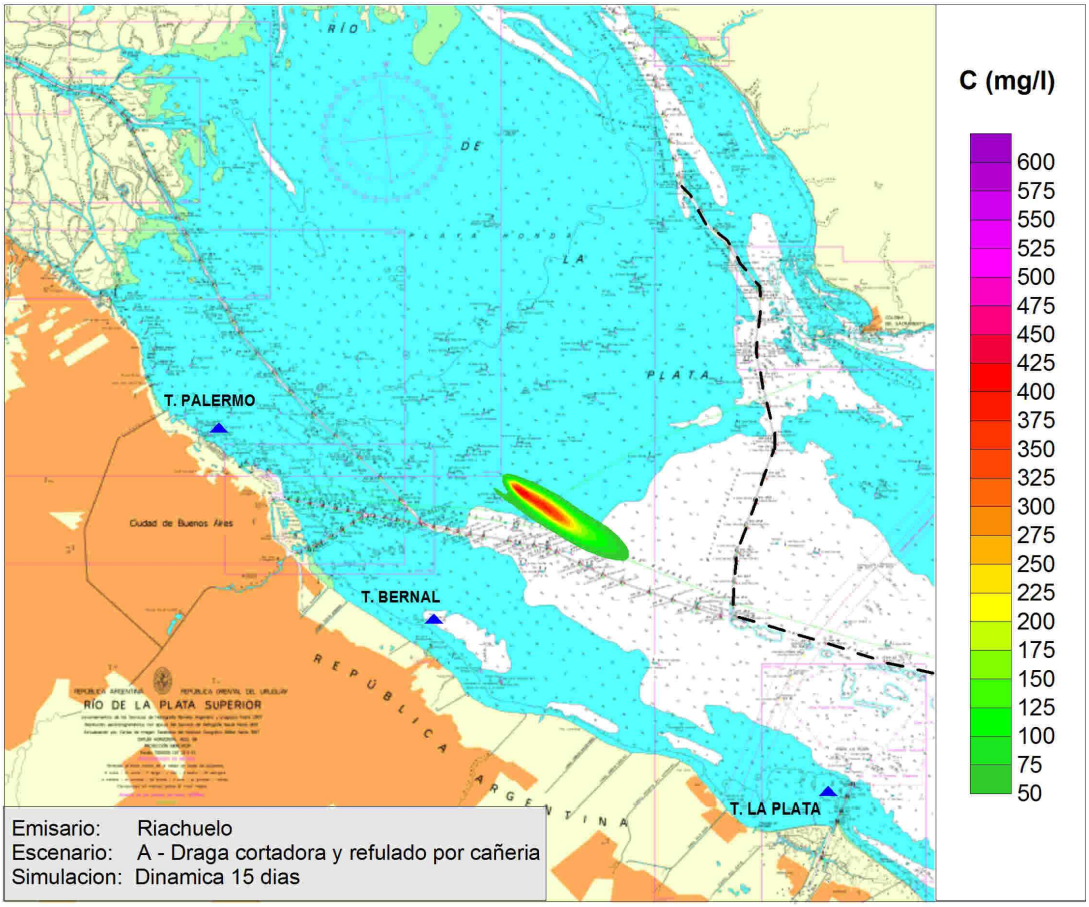

Figura A.6.5.1.2.8 – Distribución superficial de la concentración: día 4 hora 24.

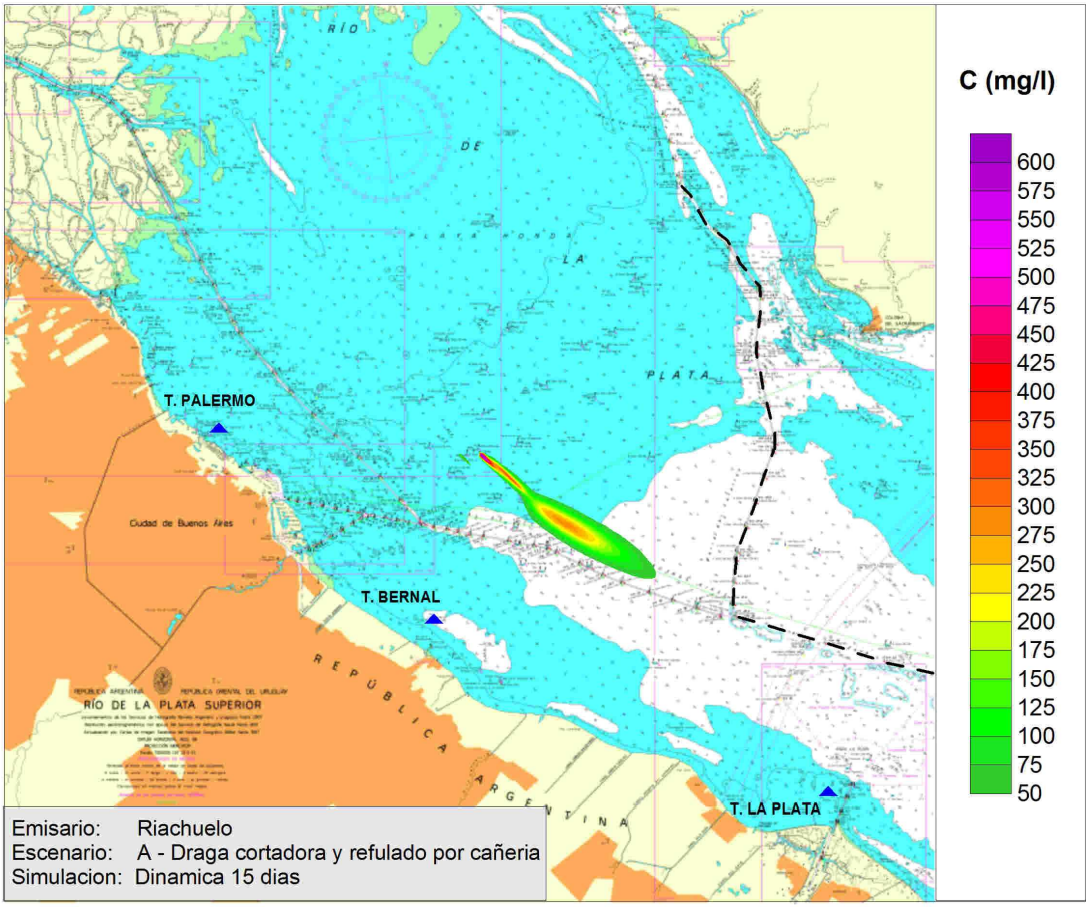

Figura A.6.5.1.2.9 – Distribución superficial de la concentración: día 5 hora 12.

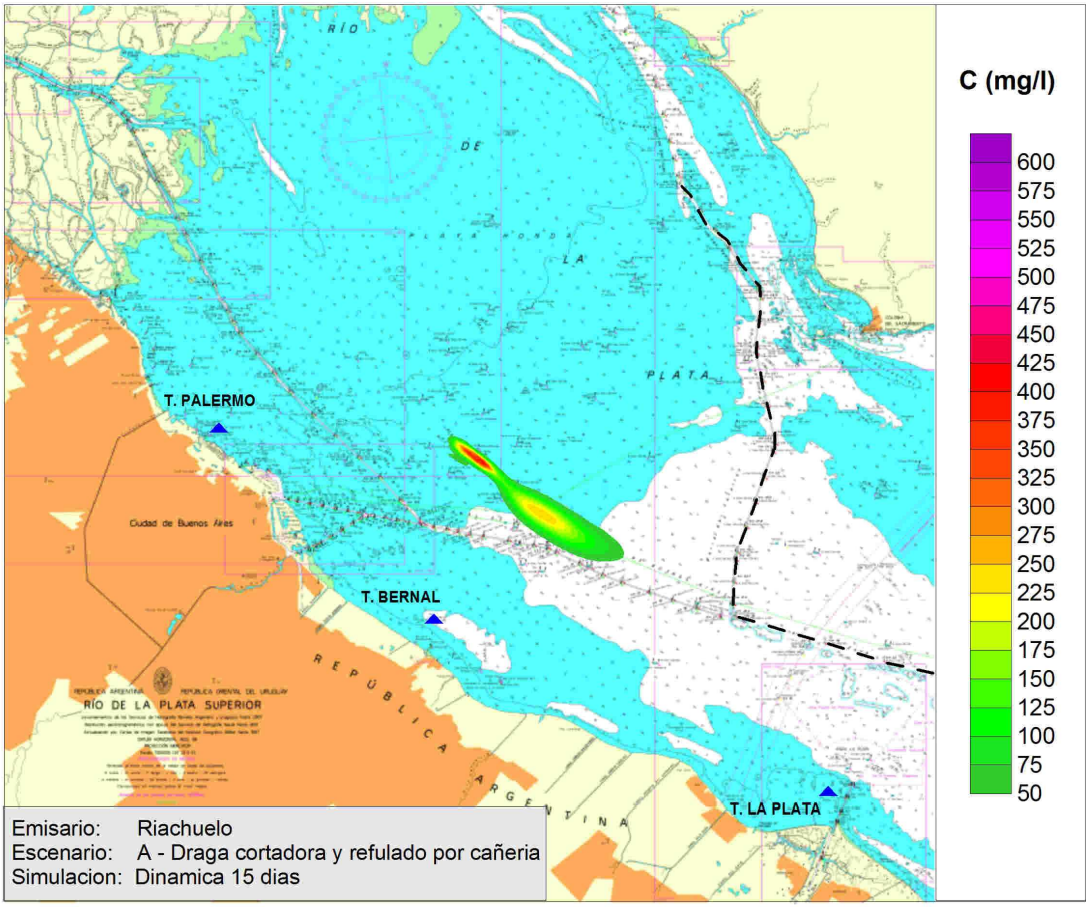

Figura A.6.5.1.2.10 – Distribución superficial de la concentración: día 5 hora 24.

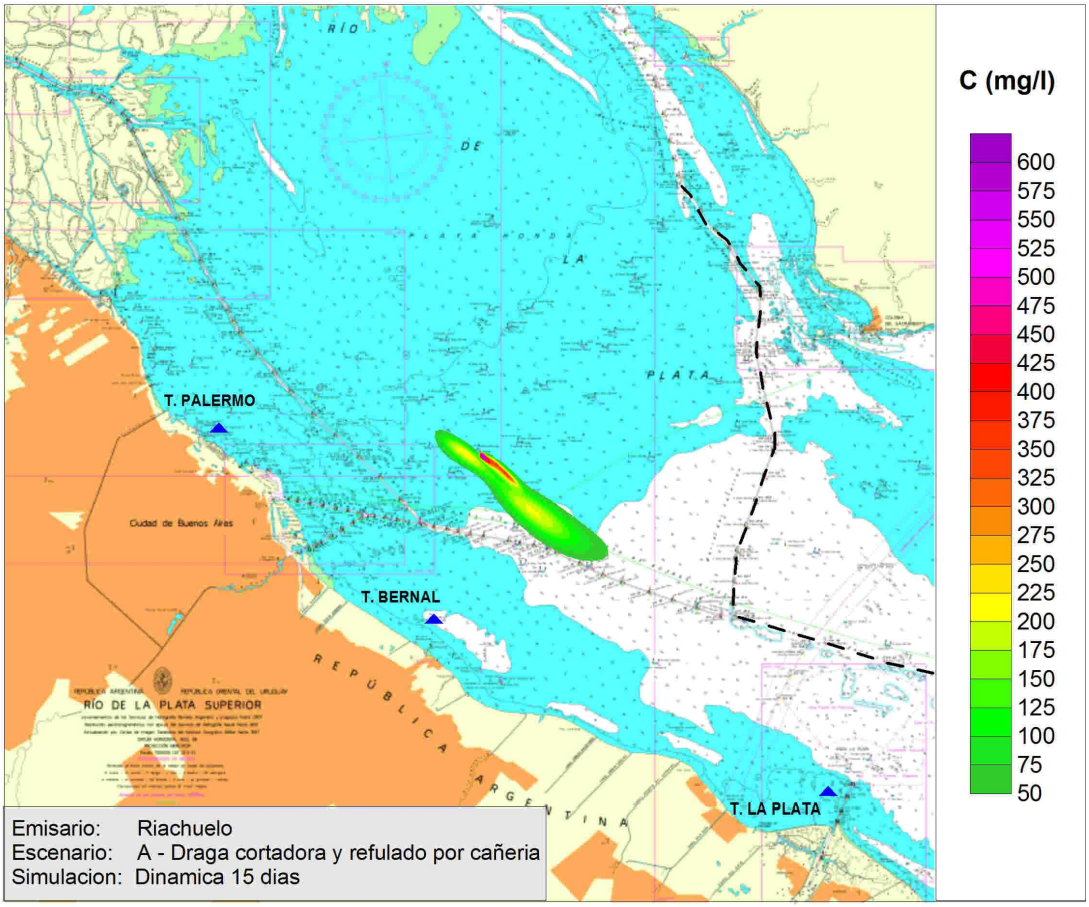

Figura A.6.5.1.2.11 – Distribución superficial de la concentración: día 6 hora 12.

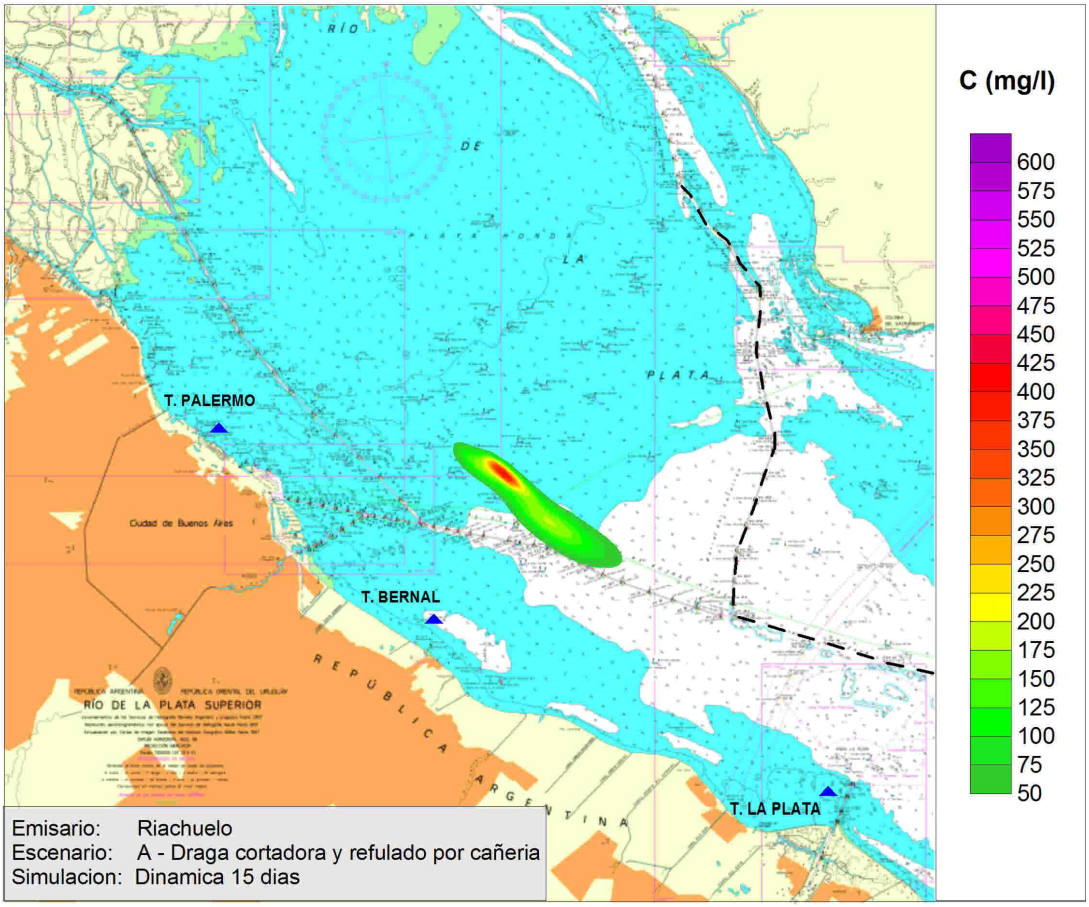

Figura A.6.5.1.2.12 – Distribución superficial de la concentración: día 6 hora 24.

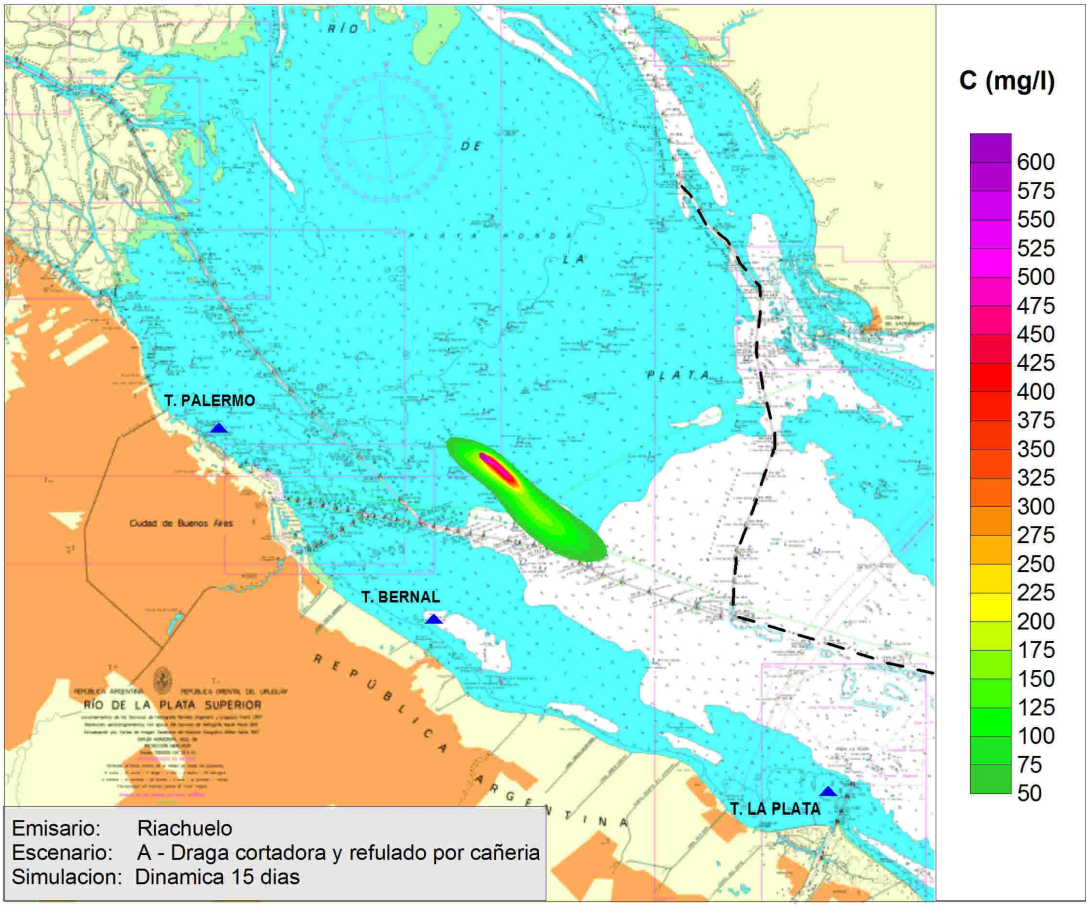

Figura A.6.5.1.2.13 – Distribución superficial de la concentración: día 7 hora 12.

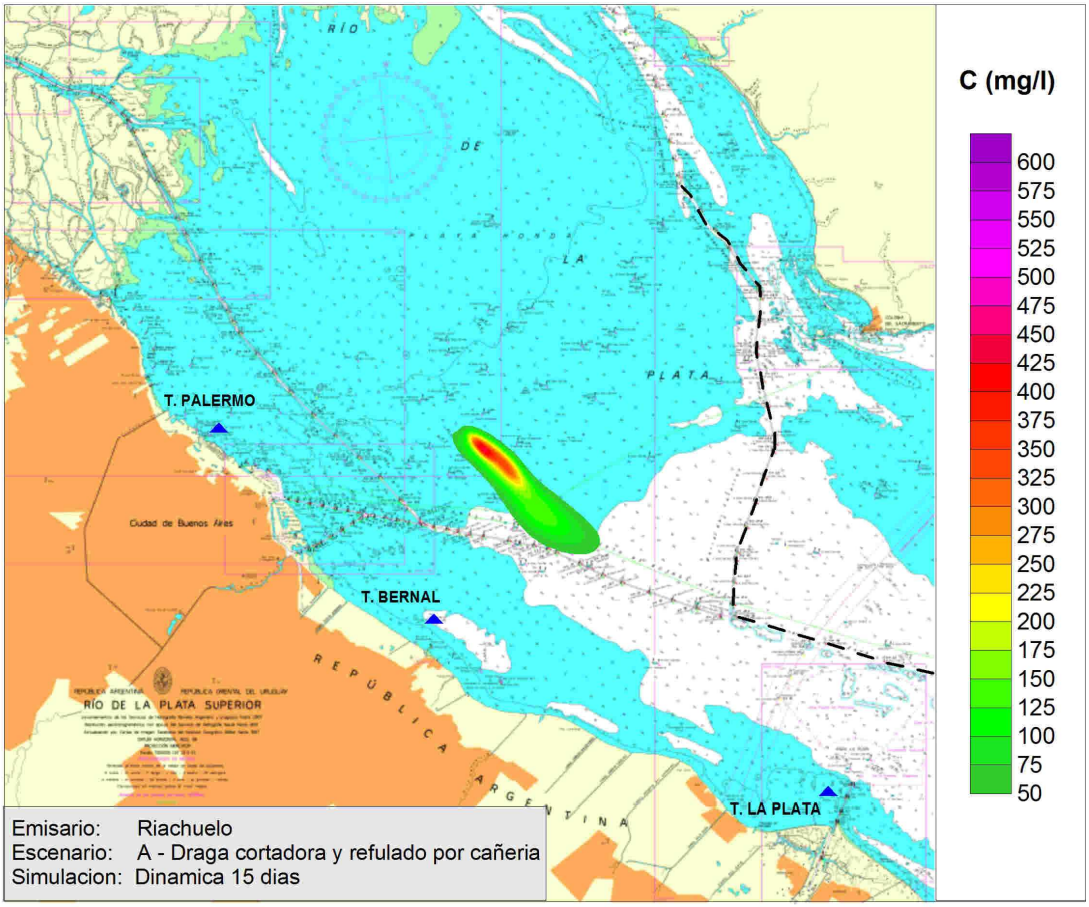

Figura A.6.5.1.2.14 – Distribución superficial de la concentración: día 7 hora 24.

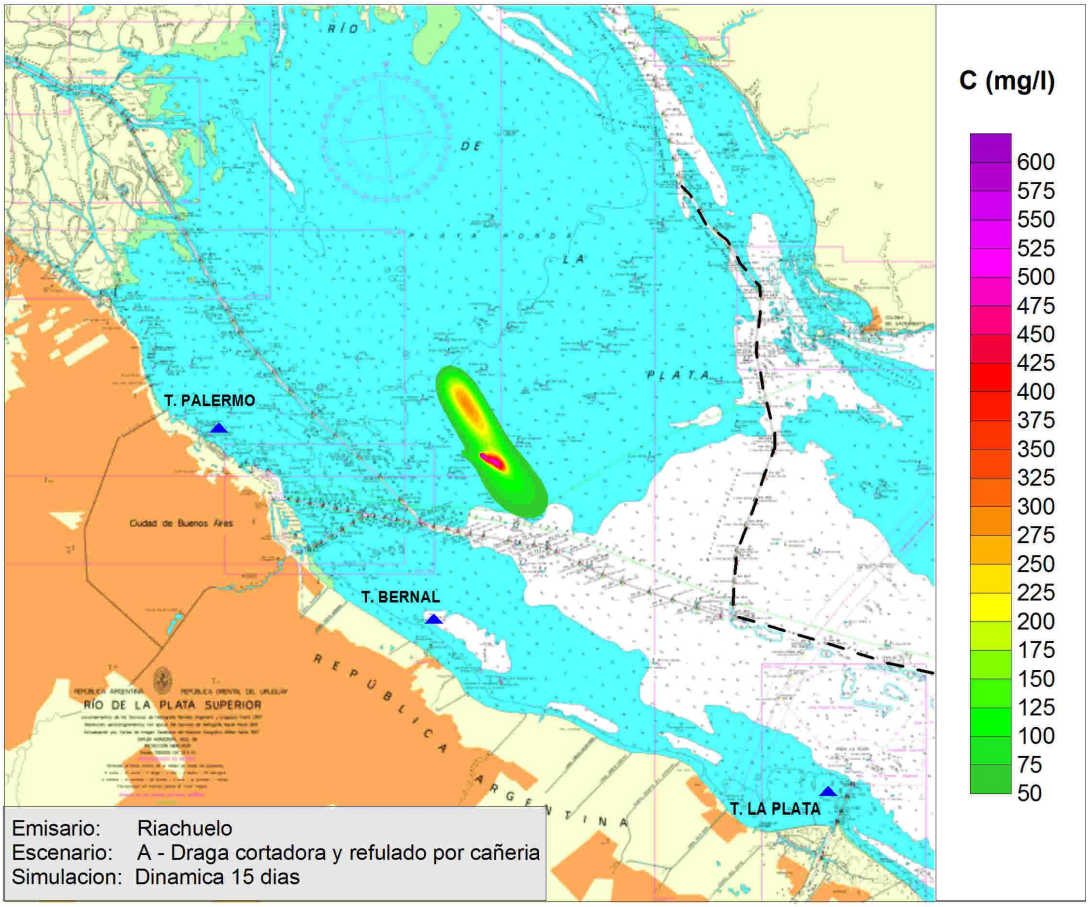

Figura A.6.5.1.2.15 – Distribución superficial de la concentración: día 8 hora 12.

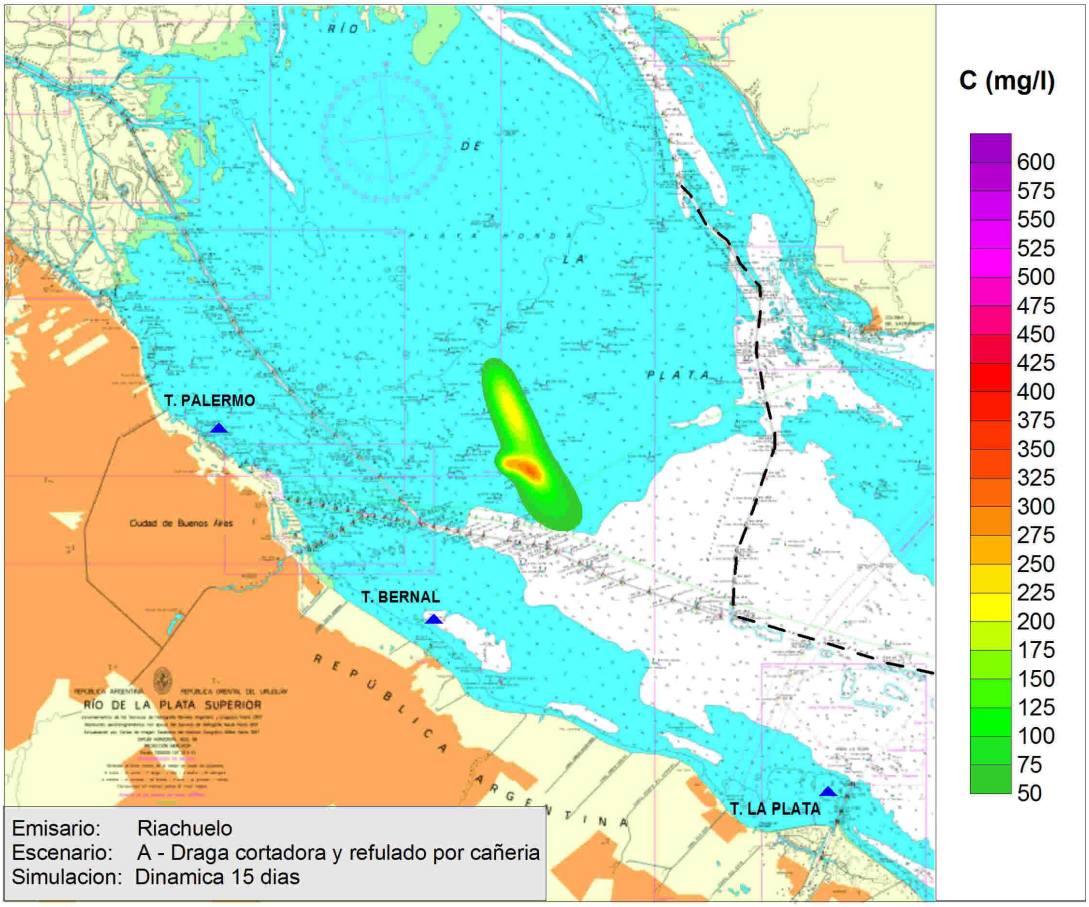

Figura A.6.5.1.2.16 – Distribución superficial de la concentración: día 8 hora 24.

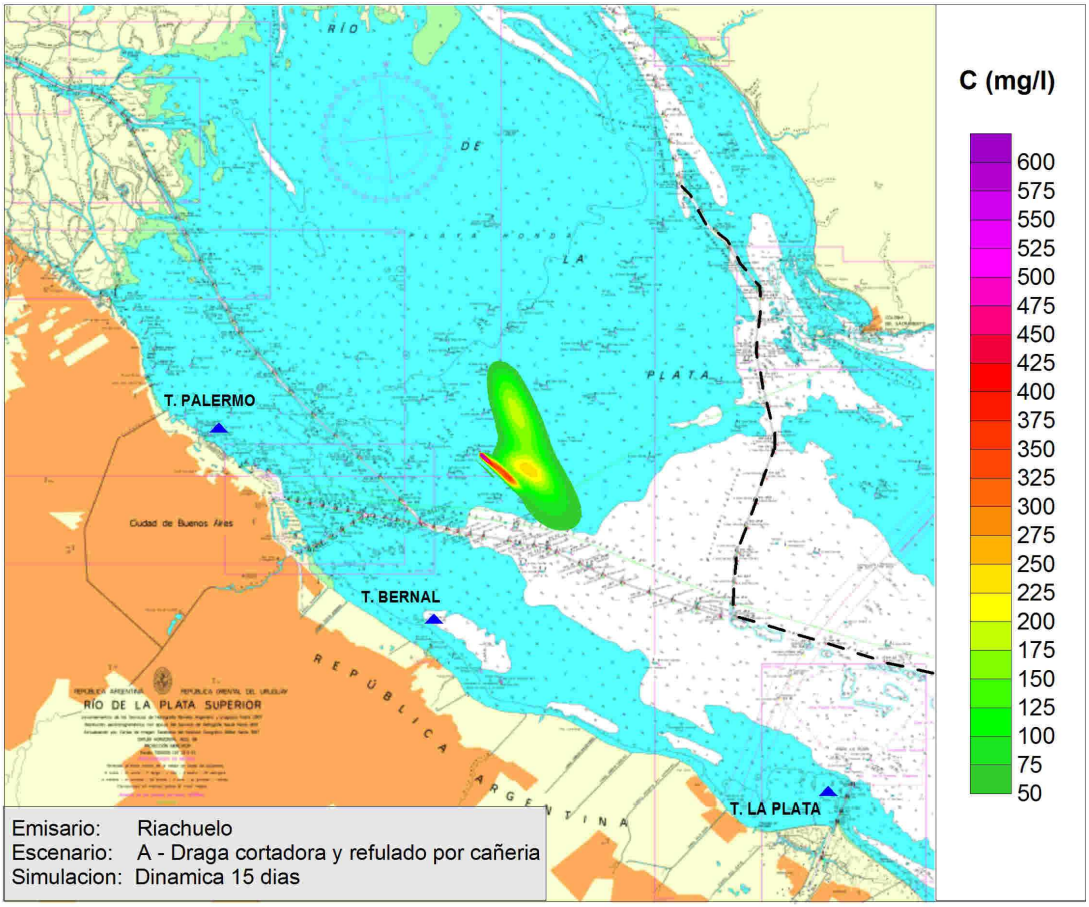

Figura A.6.5.1.2.17 – Distribución superficial de la concentración: día 9 hora 12.

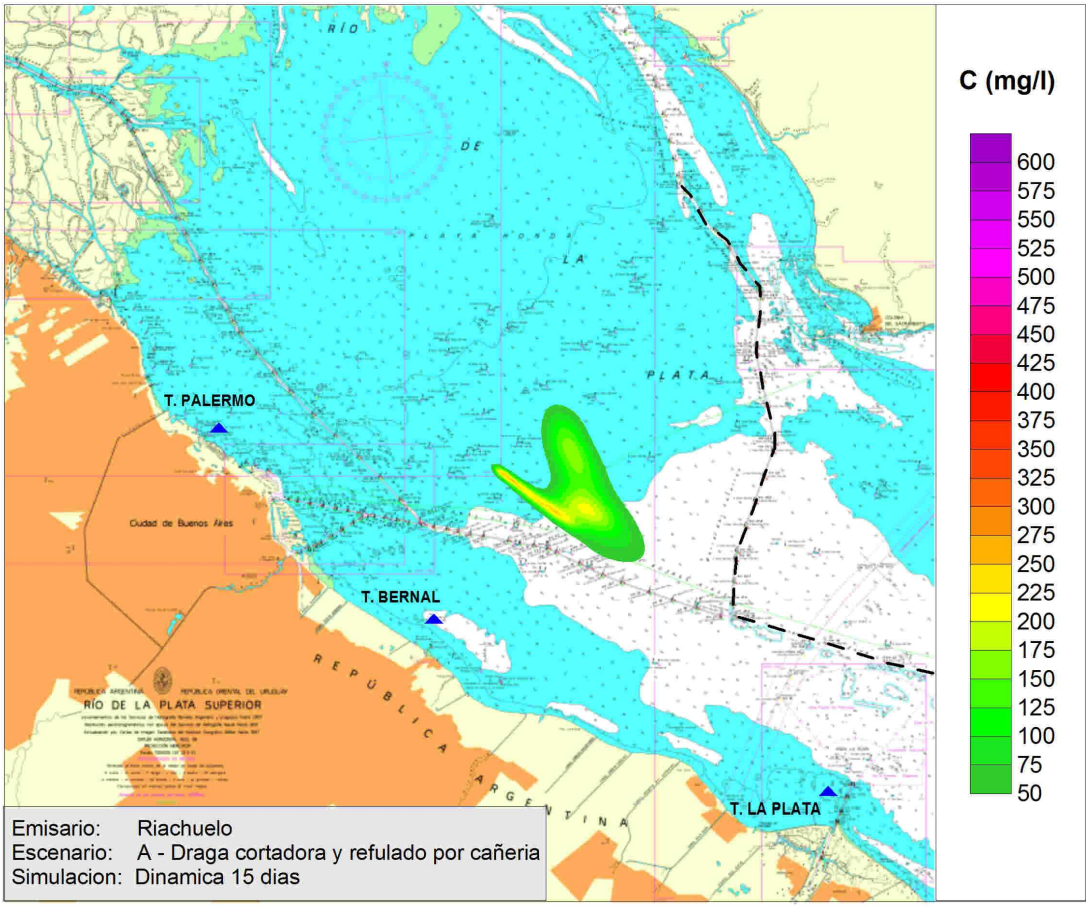

Figura A.6.5.1.2.18 – Distribución superficial de la concentración: día 9 hora 24.

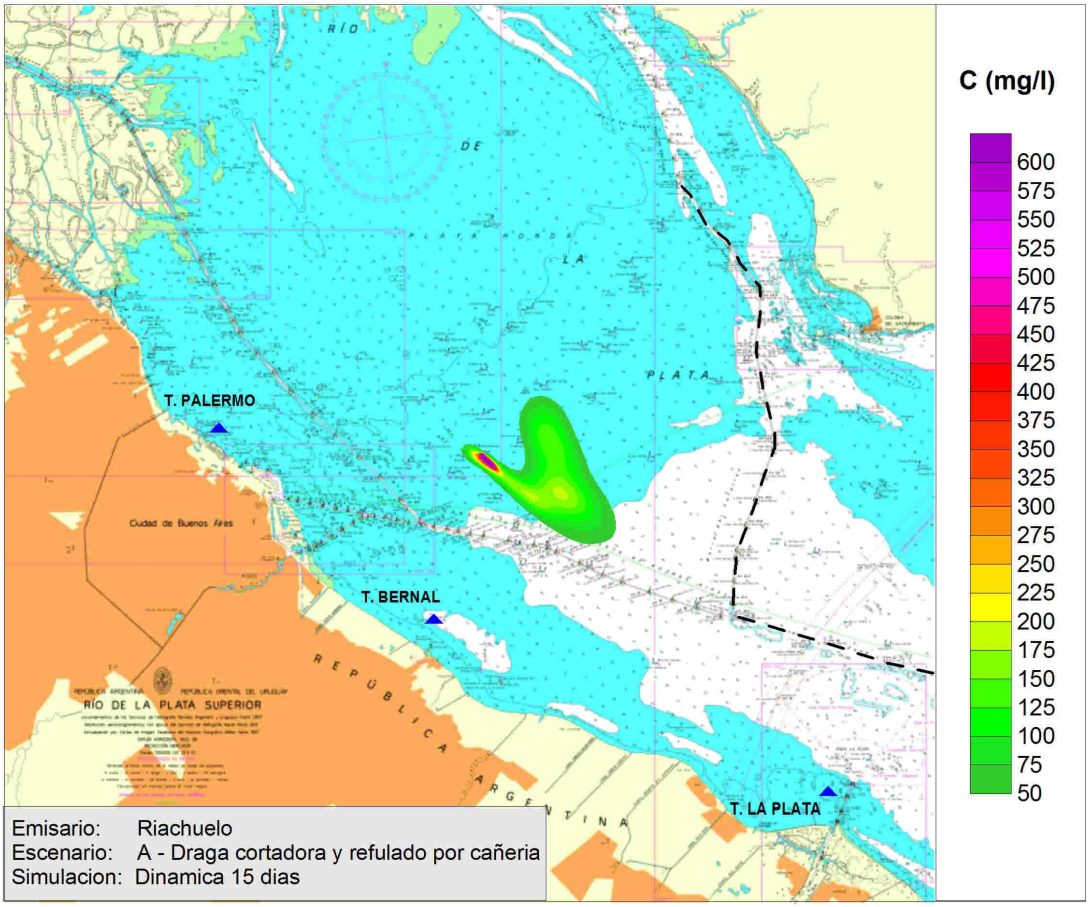

Figura A.6.5.1.2.19 – Distribución superficial de la concentración: día 10 hora 12.

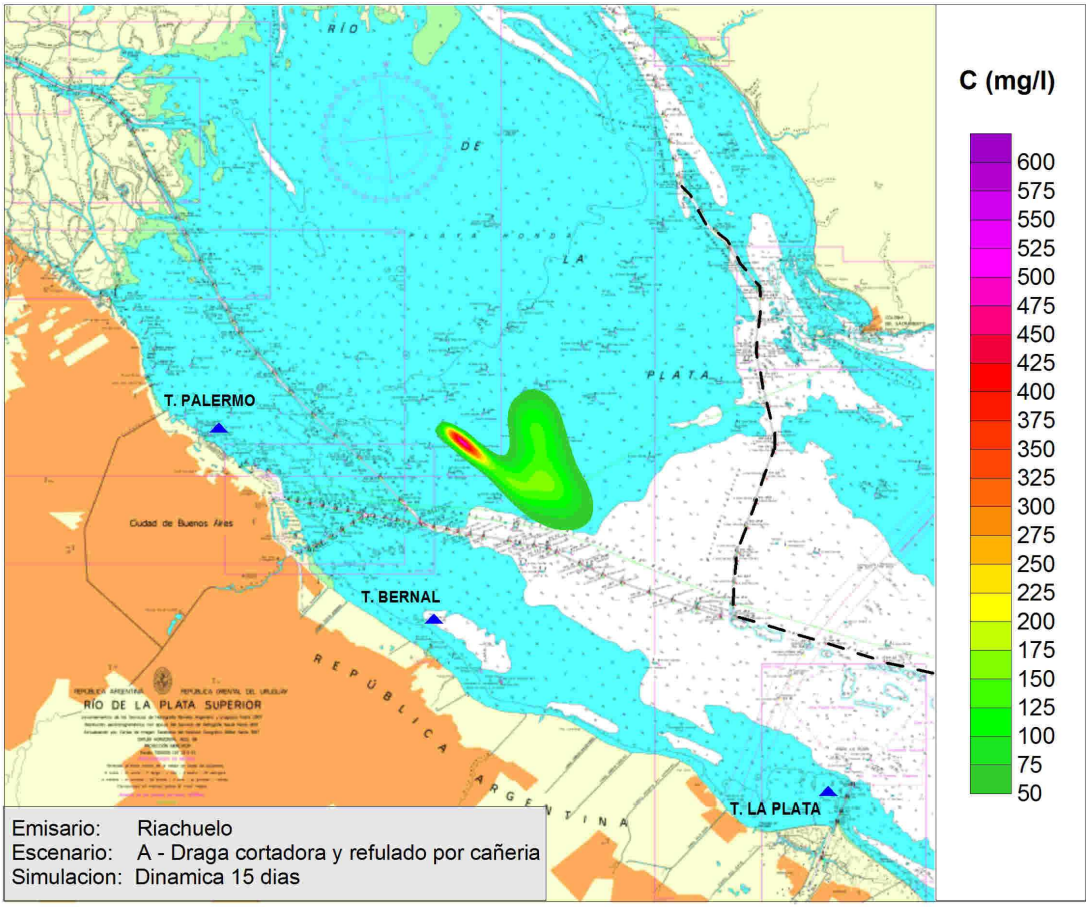

Figura A.6.5.1.2.20 – Distribución superficial de la concentración: día 10 hora 24.

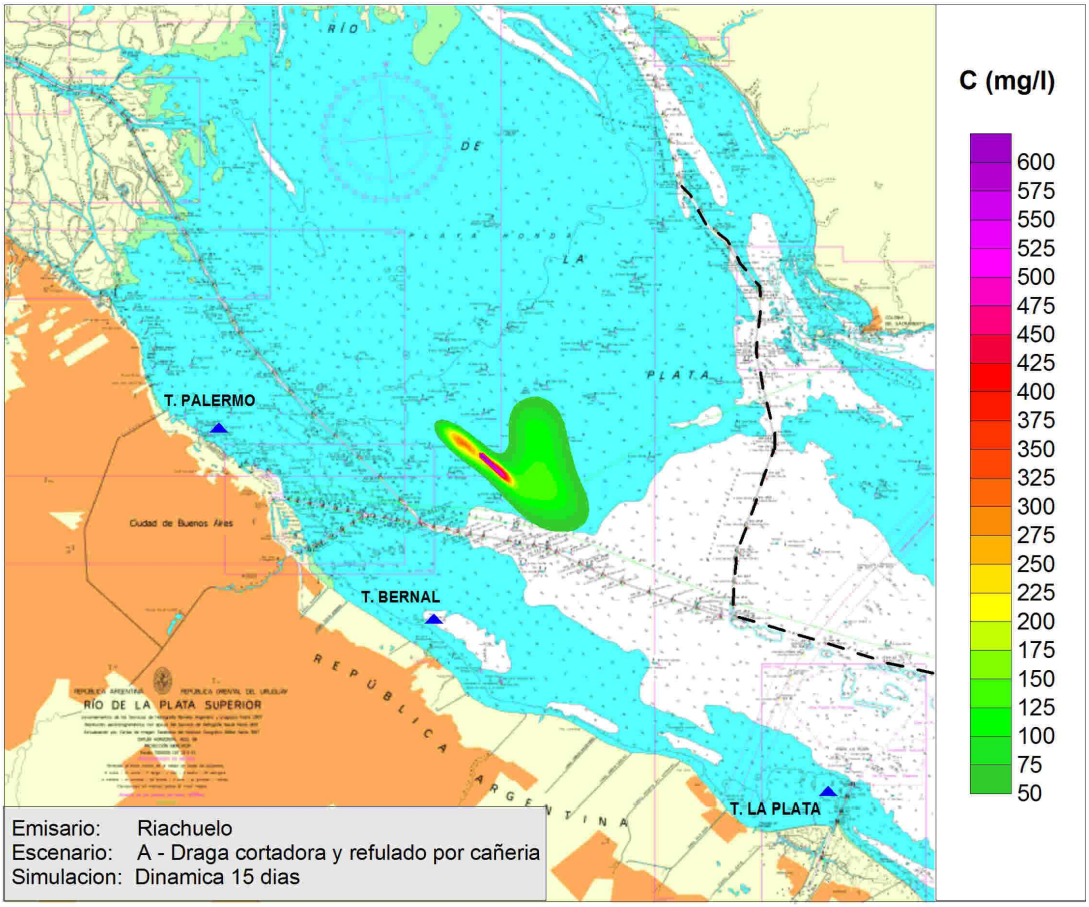

Figura A.6.5.1.2.21 – Distribución superficial de la concentración: día 11 hora 12.

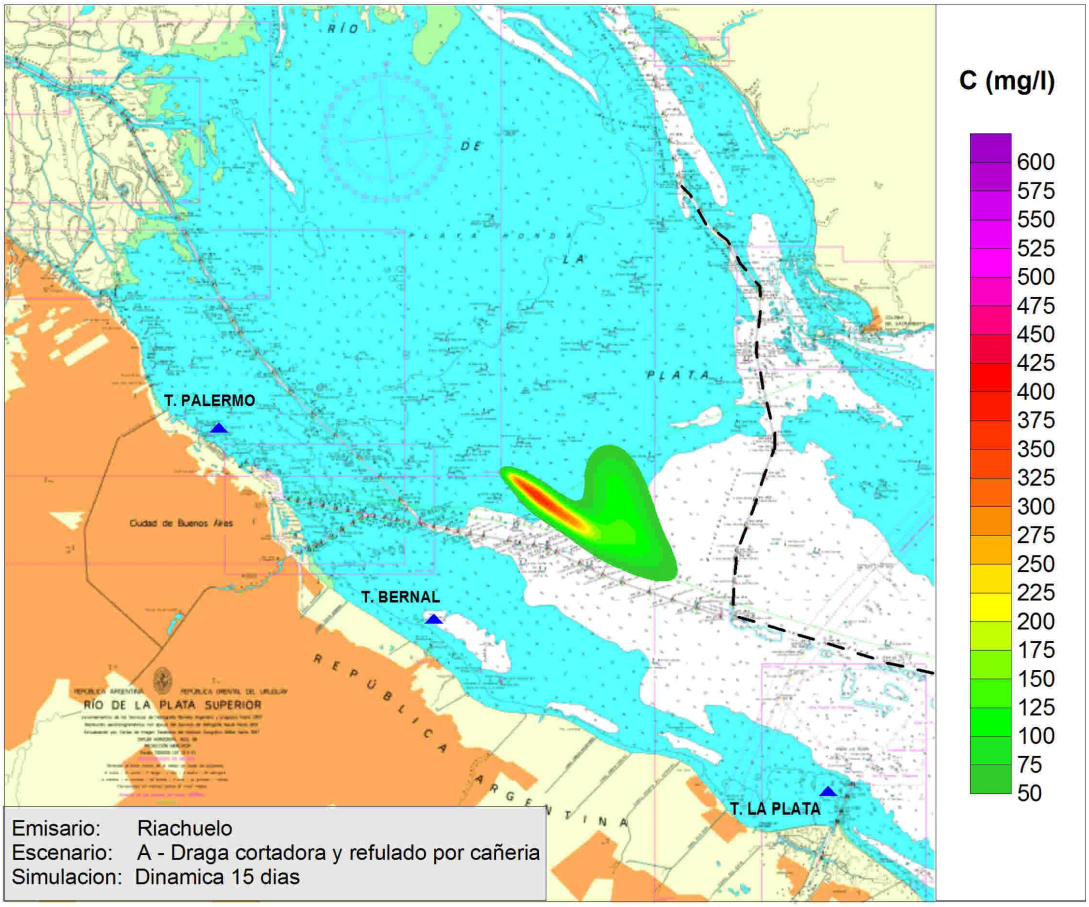

Figura A.6.5.1.2.22 – Distribución superficial de la concentración: día 11 hora 24.

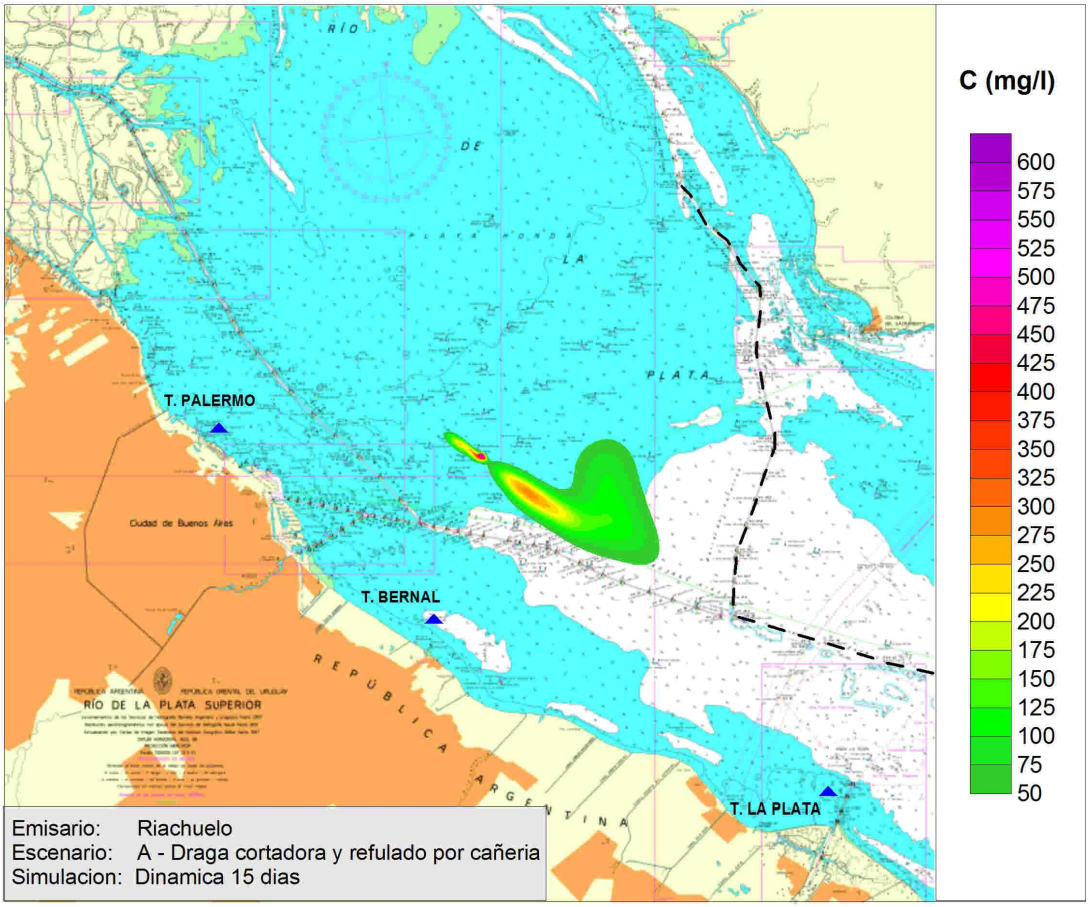

Figura A.6.5.1.2.23 – Distribución superficial de la concentración: día 12 hora 12.

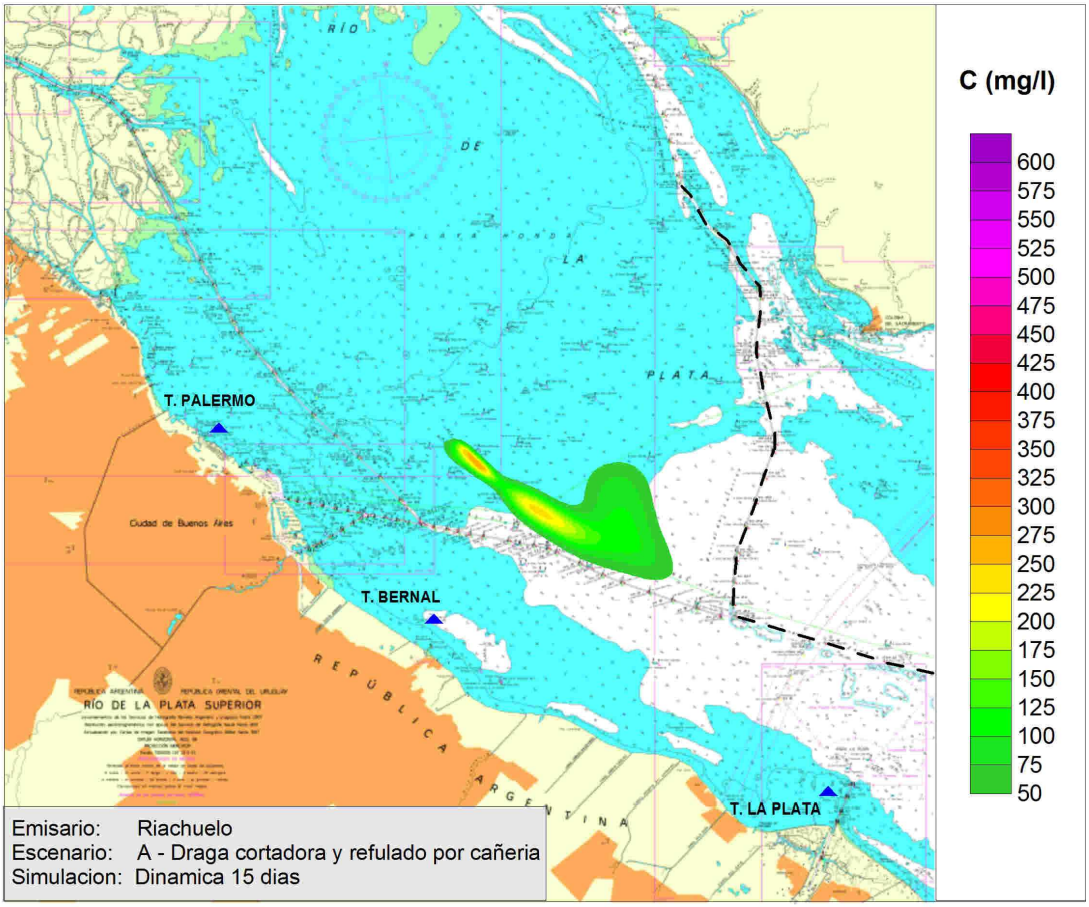

Figura A.6.5.1.2.24 – Distribución superficial de la concentración: día 12 hora 24.

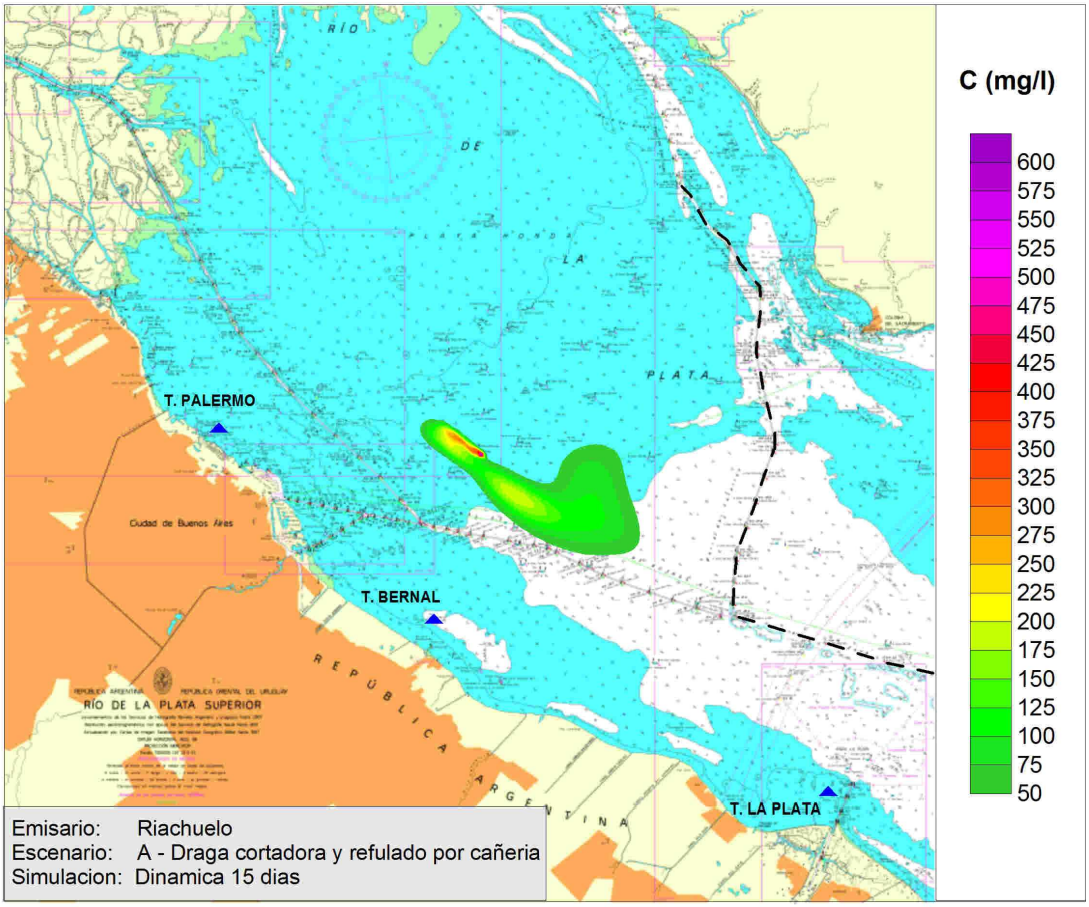

Figura A.6.5.1.2.25 – Distribución superficial de la concentración: día 13 hora 12.

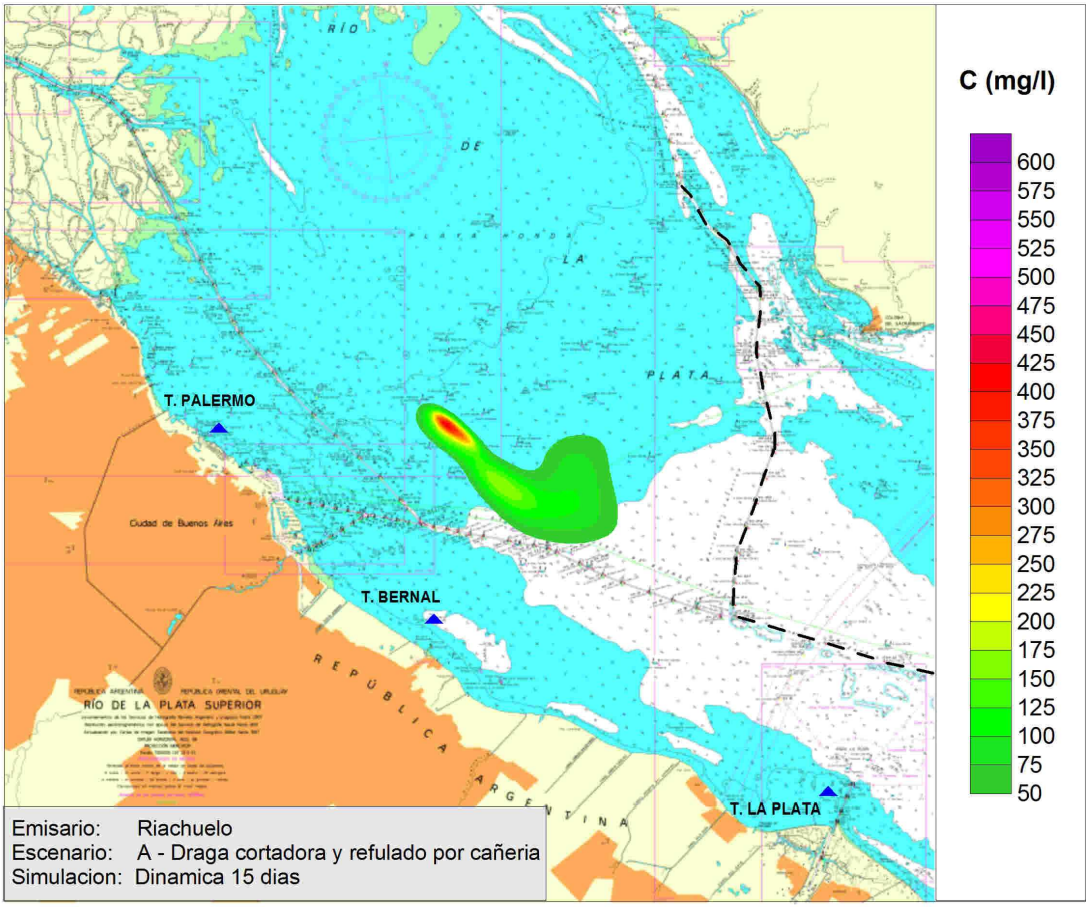

Figura A.6.5.1.2.26 – Distribución superficial de la concentración: día 13 hora 24.

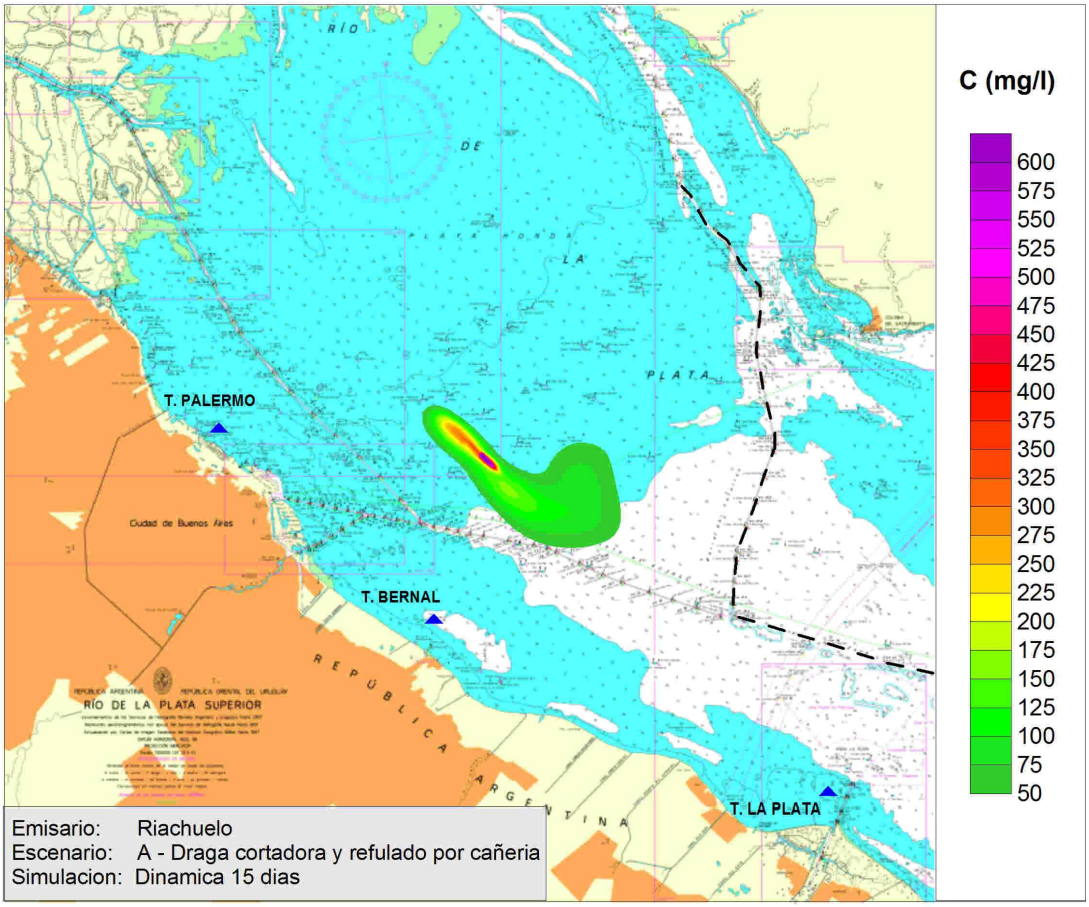

Figura A.6.5.1.2.27 – Distribución superficial de la concentración: día 14 hora 12.

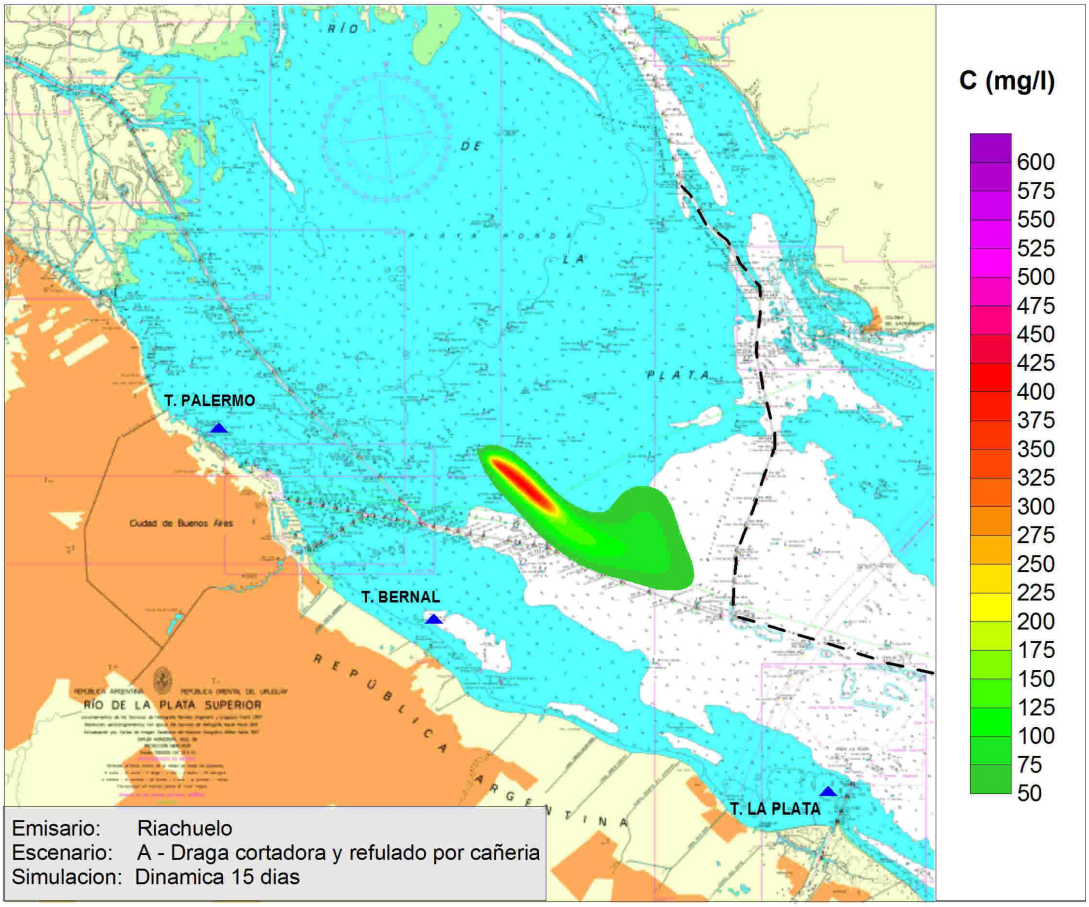

Figura A.6.5.1.2.28 – Distribución superficial de la concentración: día 14 hora 24.

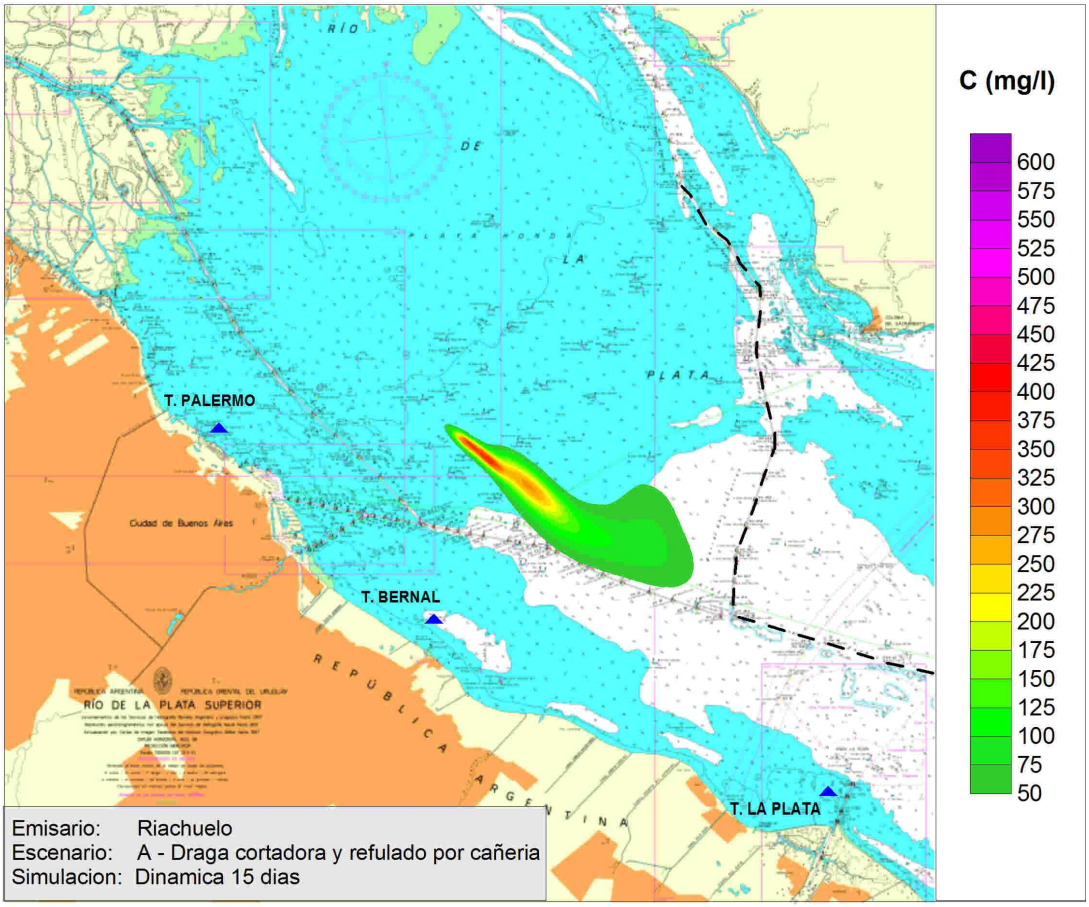

Figura A.6.5.1.2.29 – Distribución superficial de la concentración: día 15 hora 12.

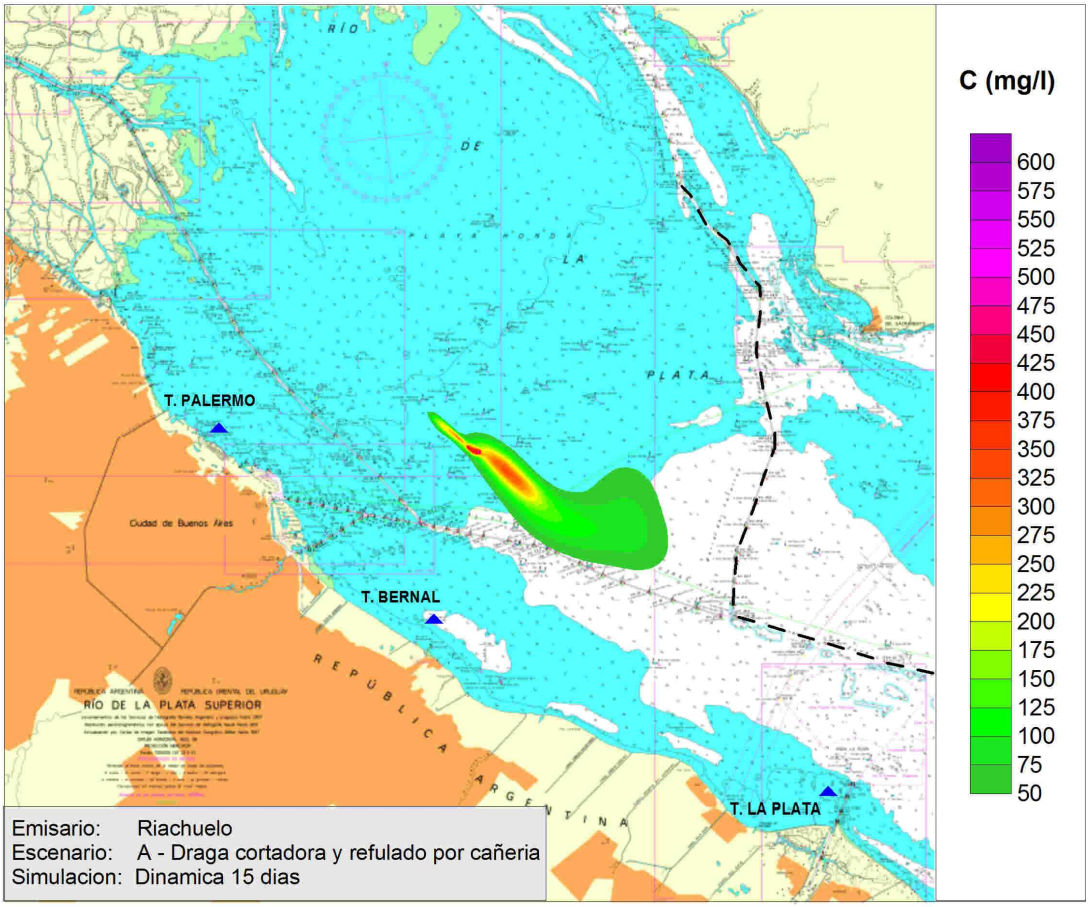

Figura A.6.5.1.2.30 – Distribución superficial de la concentración: día 15 hora 24.

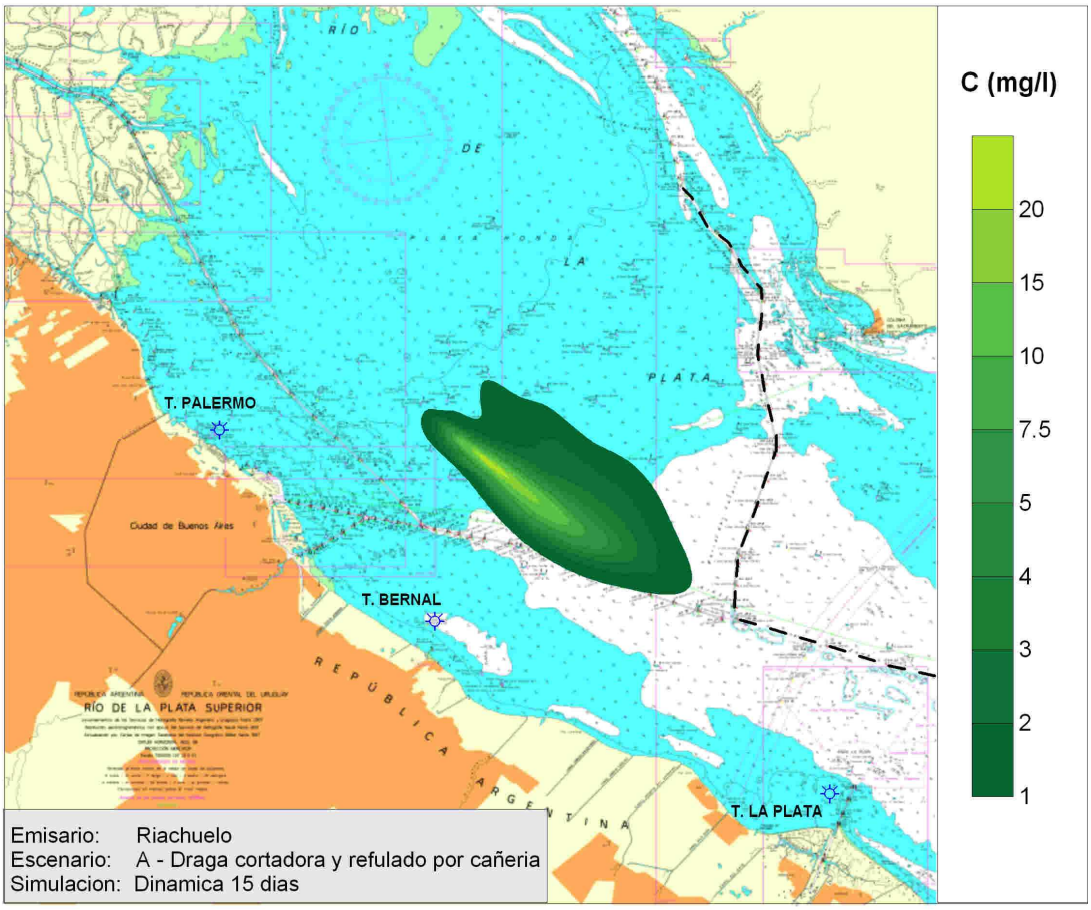

Figura A.6.5.1.2.31 – Distribución superficial de la concentración promedio durante los 15 días de la simulación.

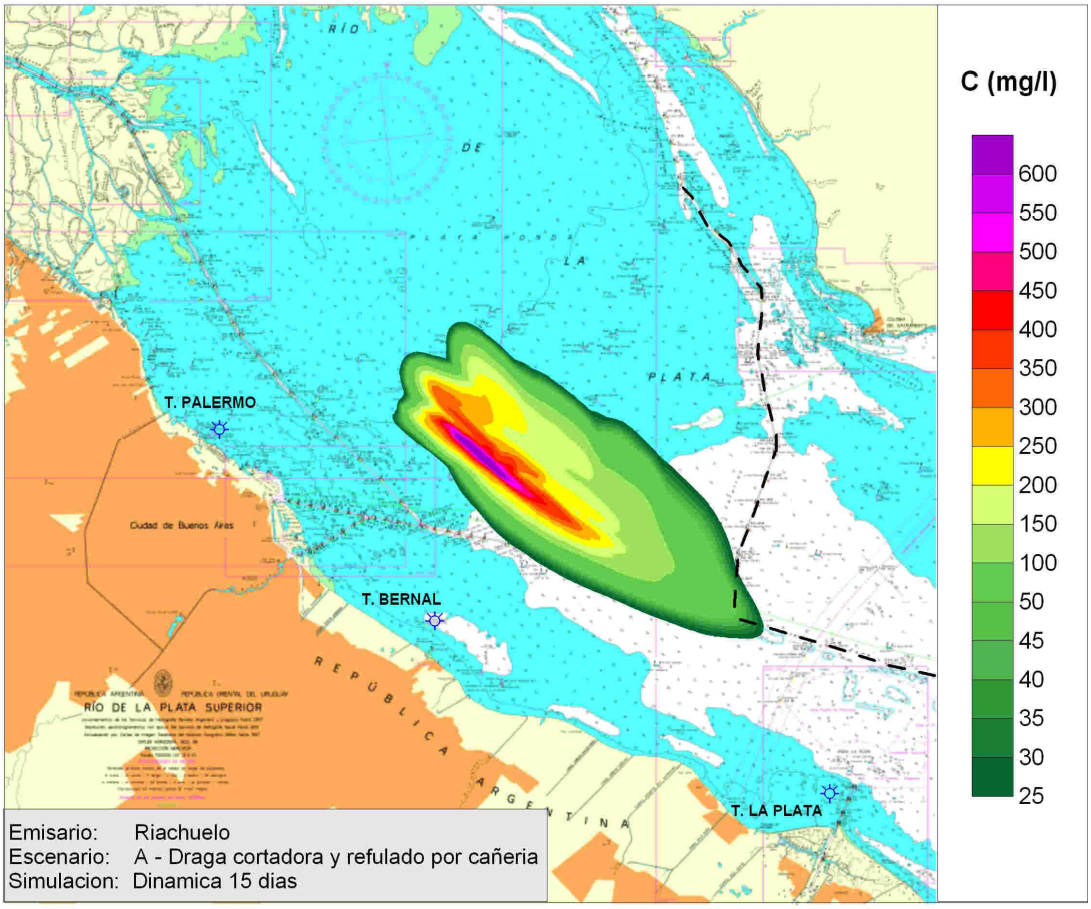

Figura A.6.5.1.2.32 – Distribución superficial de la concentración máxima durante los 15 días de la simulación.

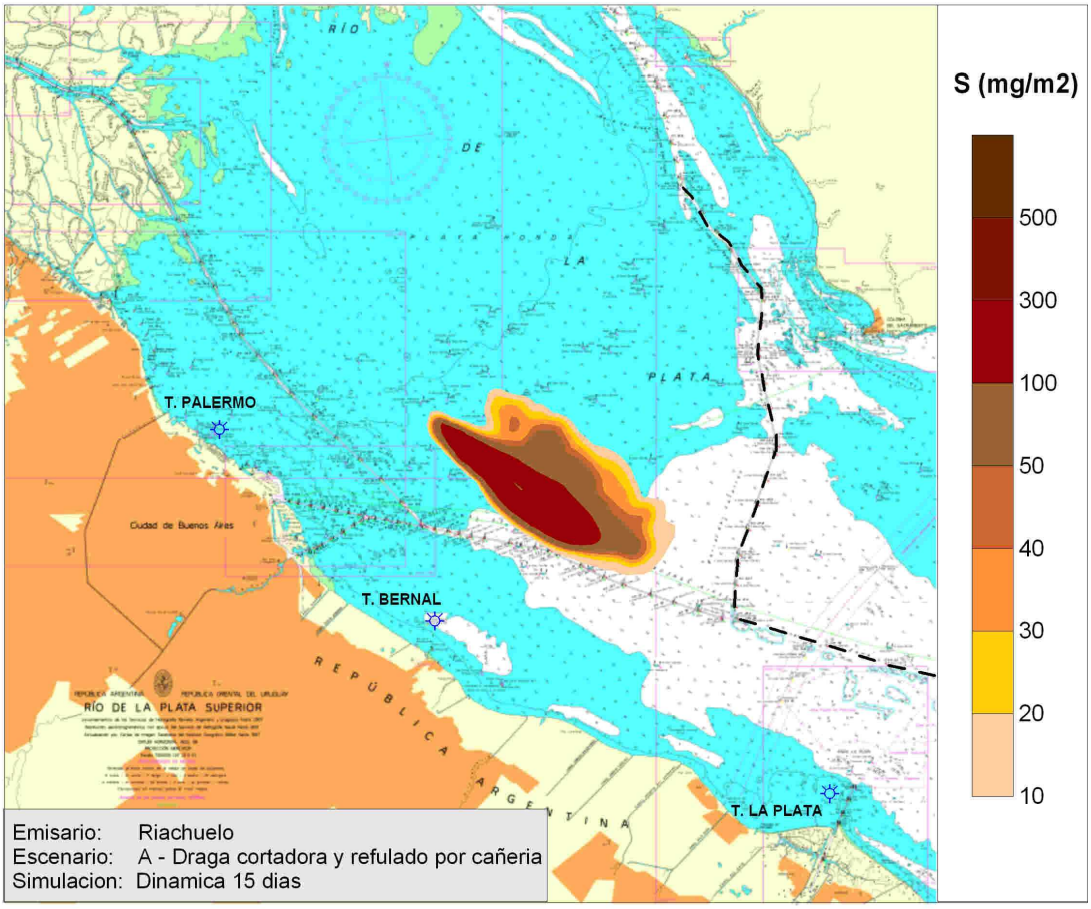

Figura A.6.5.1.2.33 – Distribución superficial de la masa sedimentada durante los 15 días de la simulación.

ANEXO 6.5.2.1

Dragado con succión por arrastre y vaciado lejano con cántara en emisario Riachuelo

Evolución de parámetros en estaciones fijas.

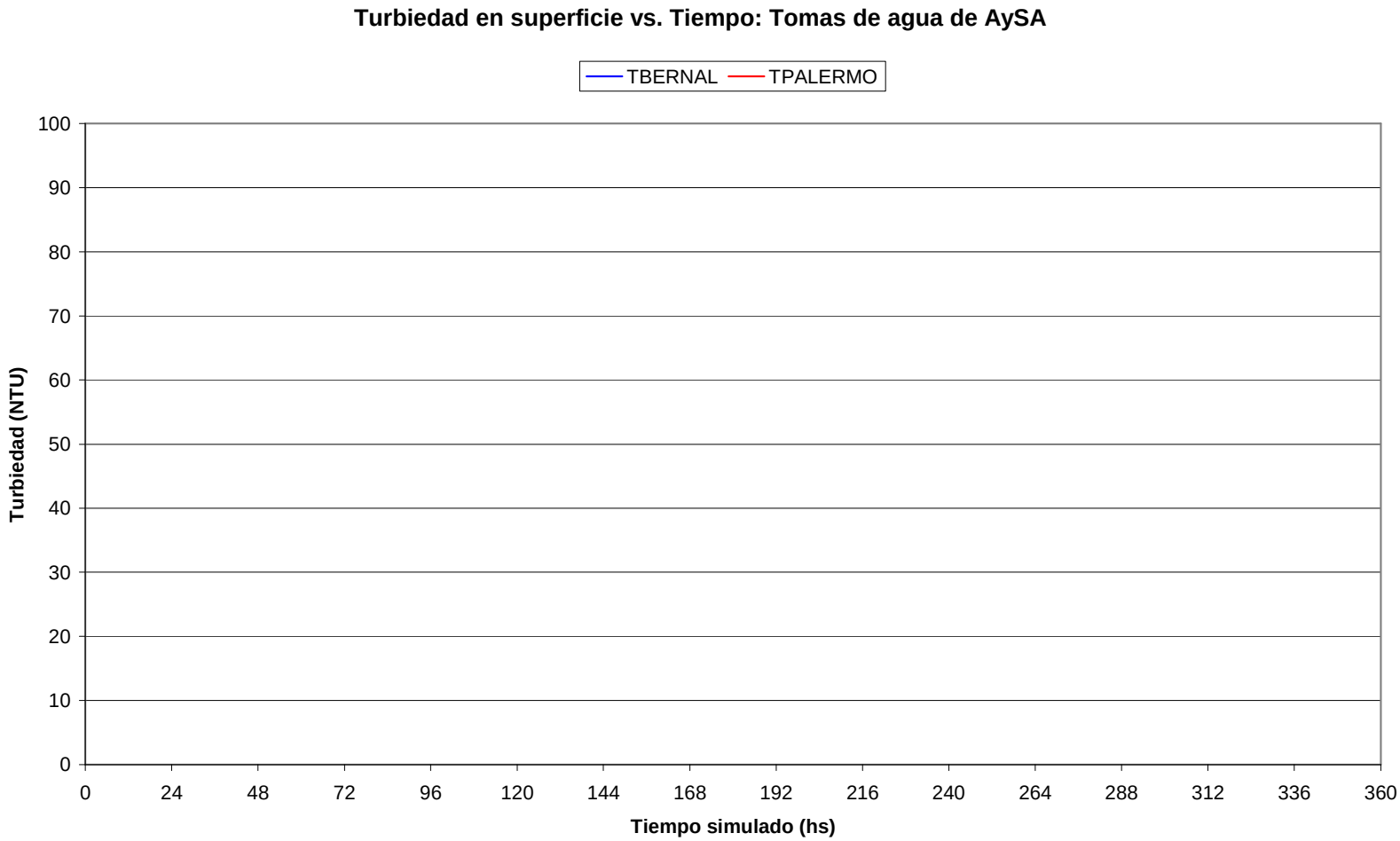

Figura A.6.5.2.1.1 – Turbiedad en tomas de agua. Capa superficial. No se observan niveles mensurables de sobre-concentración.

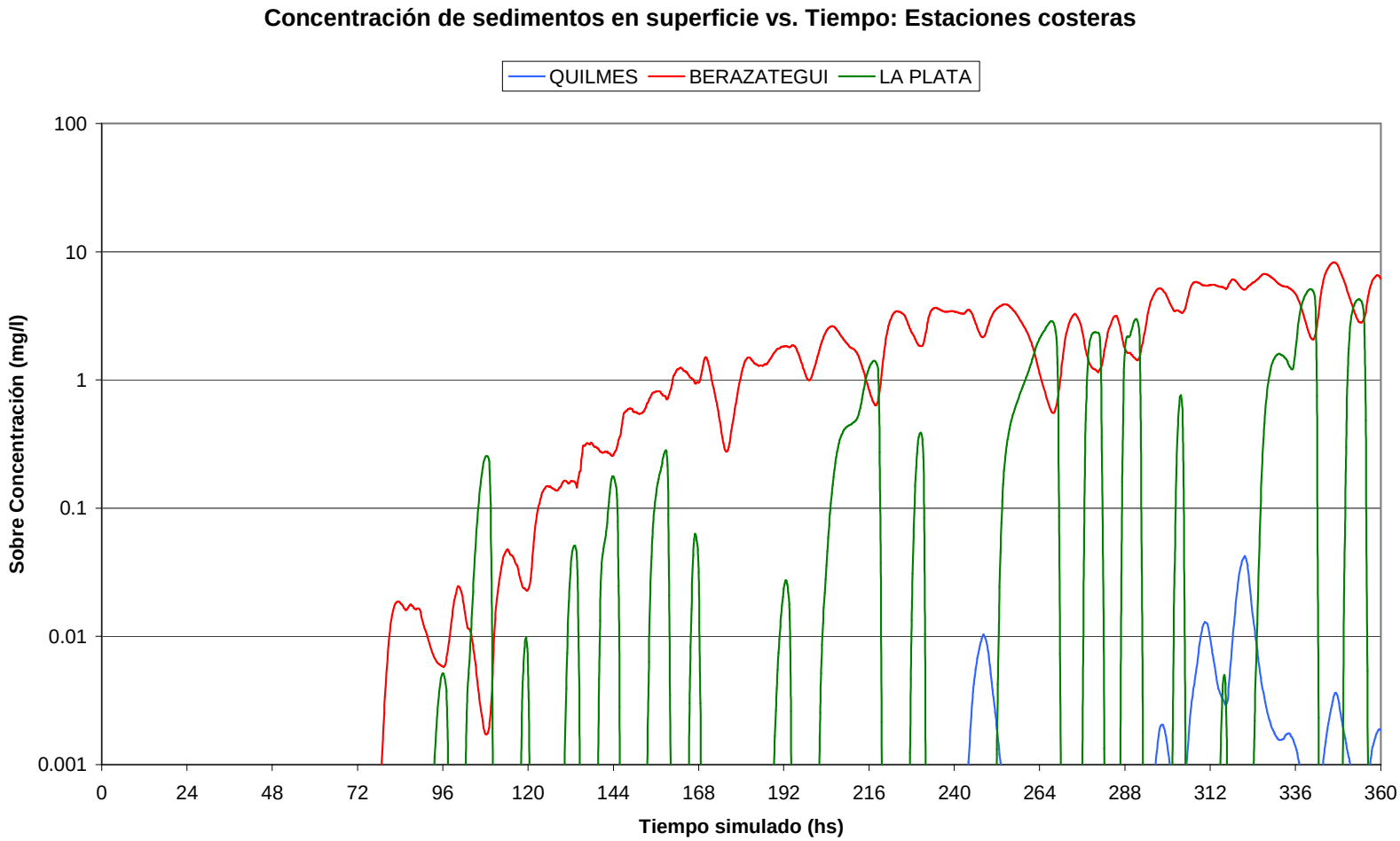

Figura A.6.5.2.1.2 – Concentración de sedimentos en áreas costeras. Capa superficial.

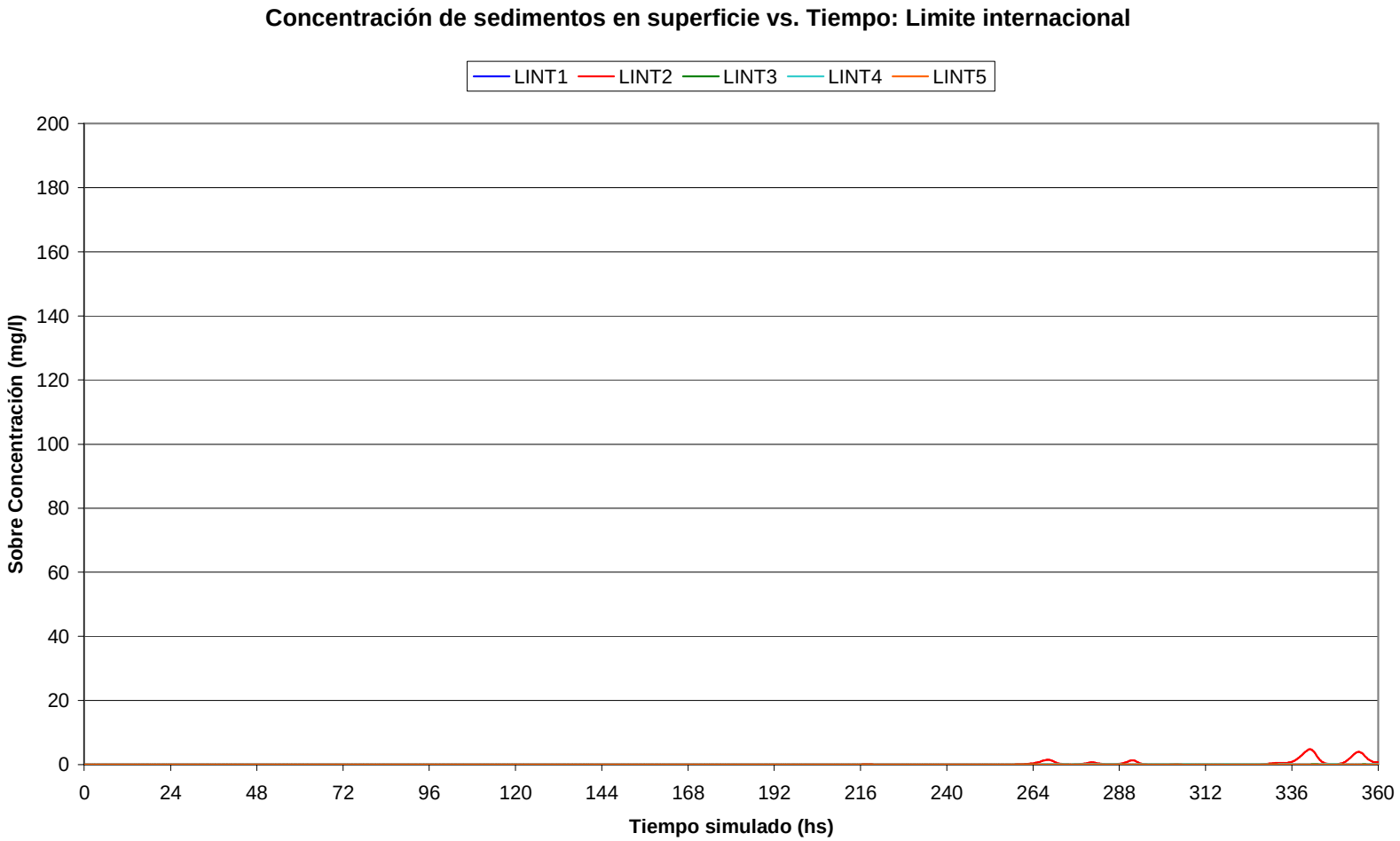

Figura A.6.5.2.1.3 – Concentración de sedimentos en el límite internacional. Capa superficial.

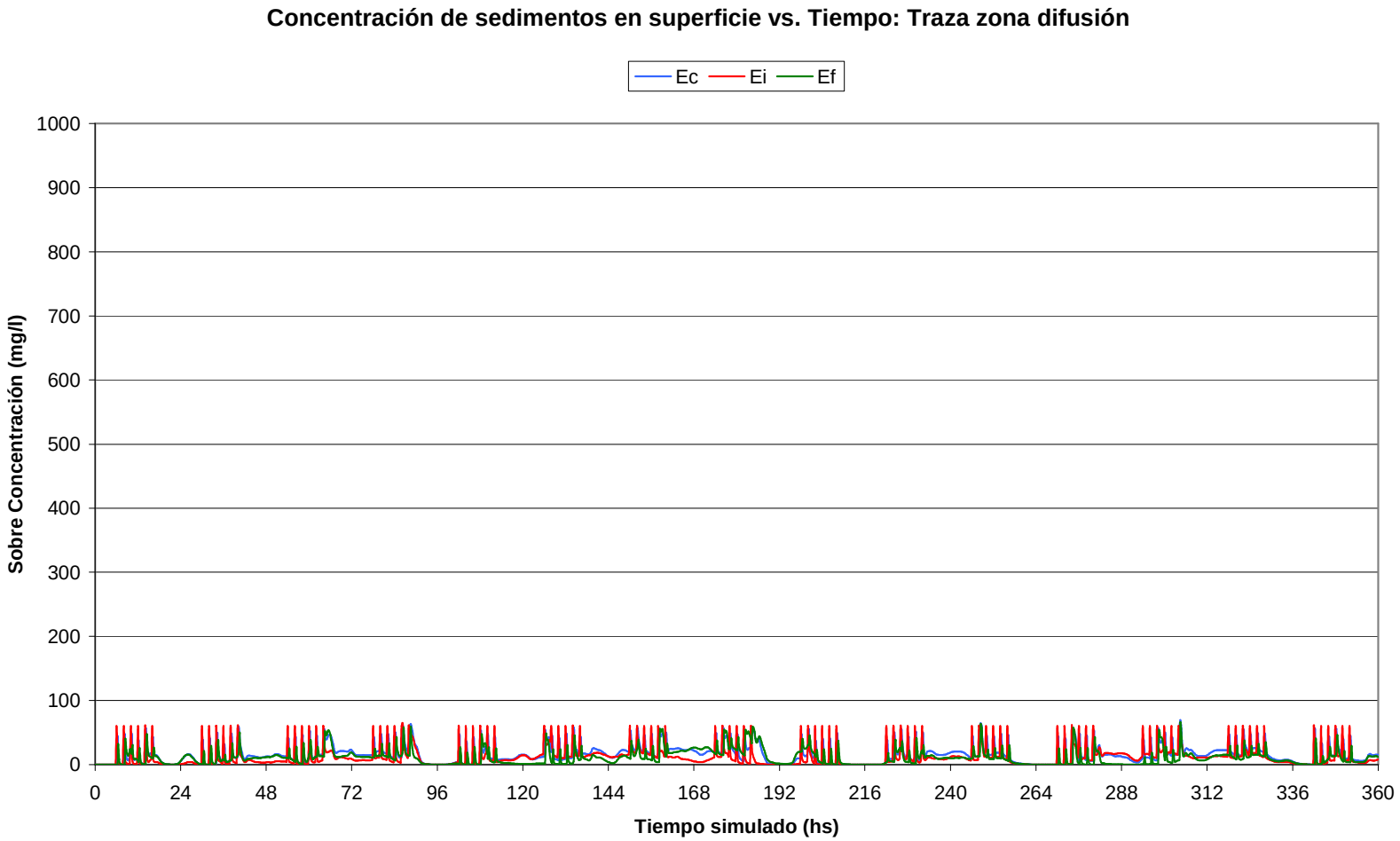

Figura A.6.5.2.1.4 – Concentración de sedimentos en la traza del emisario. Capa superficial.

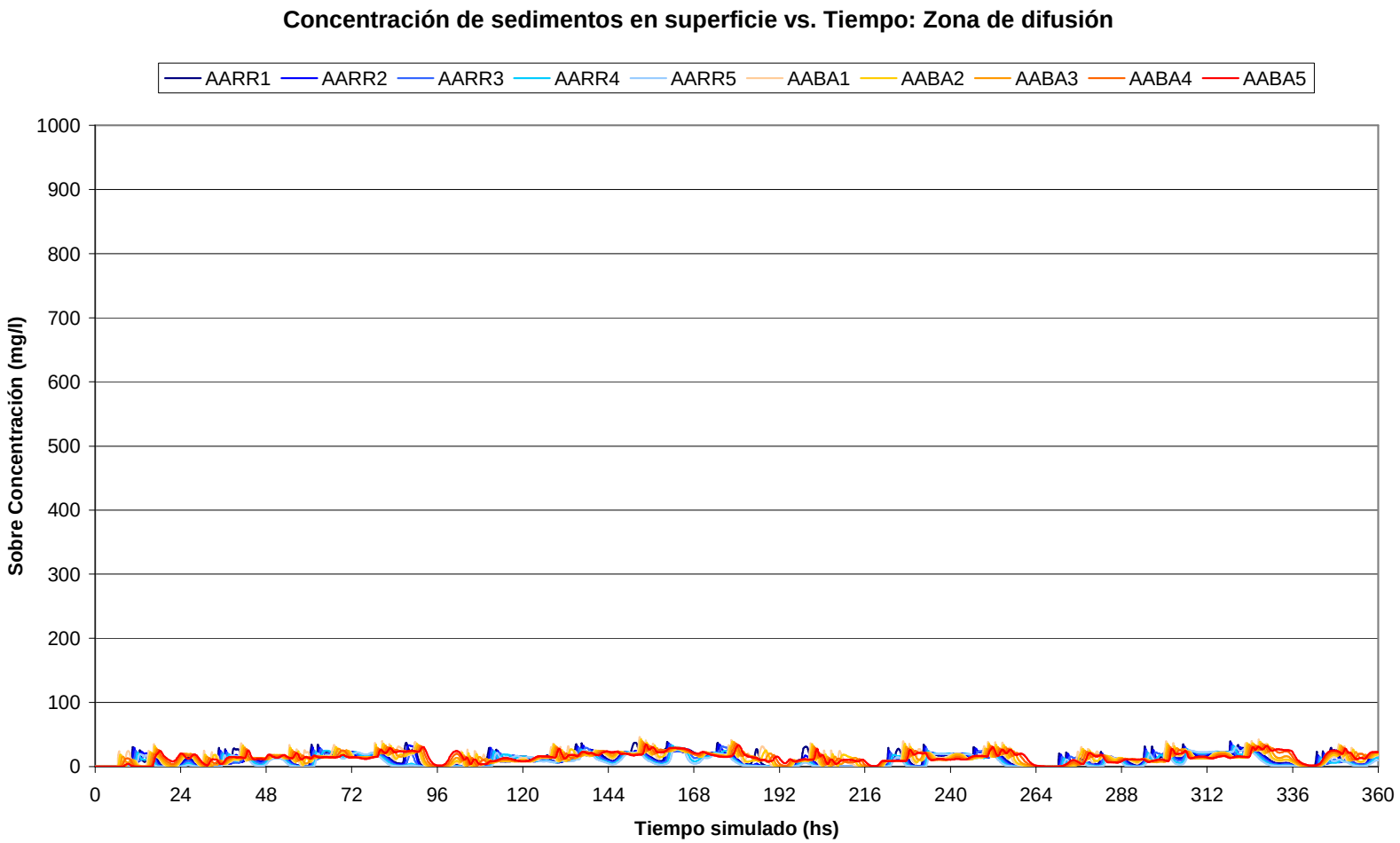

Figura A.6.5.2.1.5 – Concentración de sedimentos en la zona de difusión del emisario. Capa superficial.

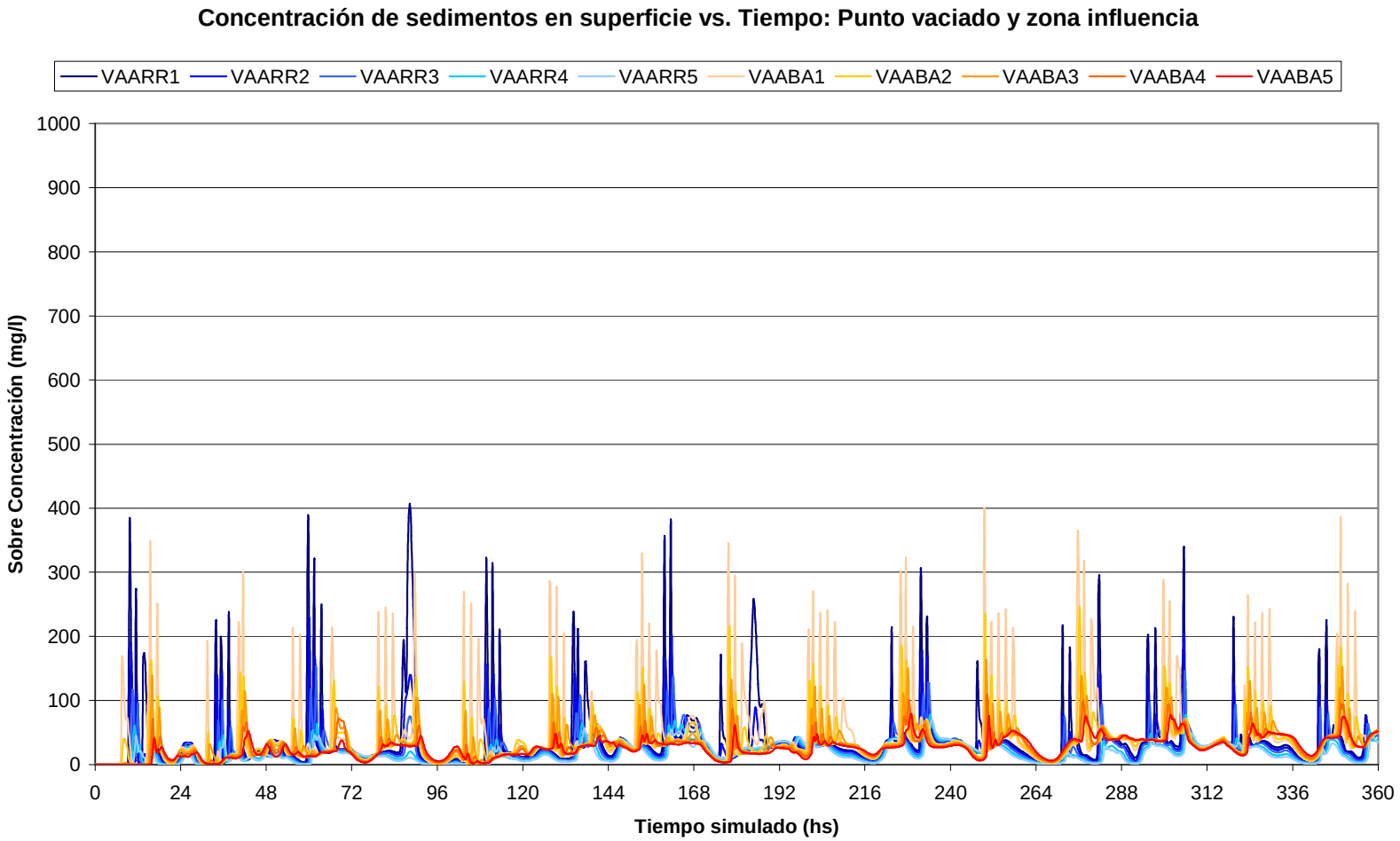

Figura A.6.5.2.1.6 – Concentración de sedimentos en la zona de refulado. Capa superficial.

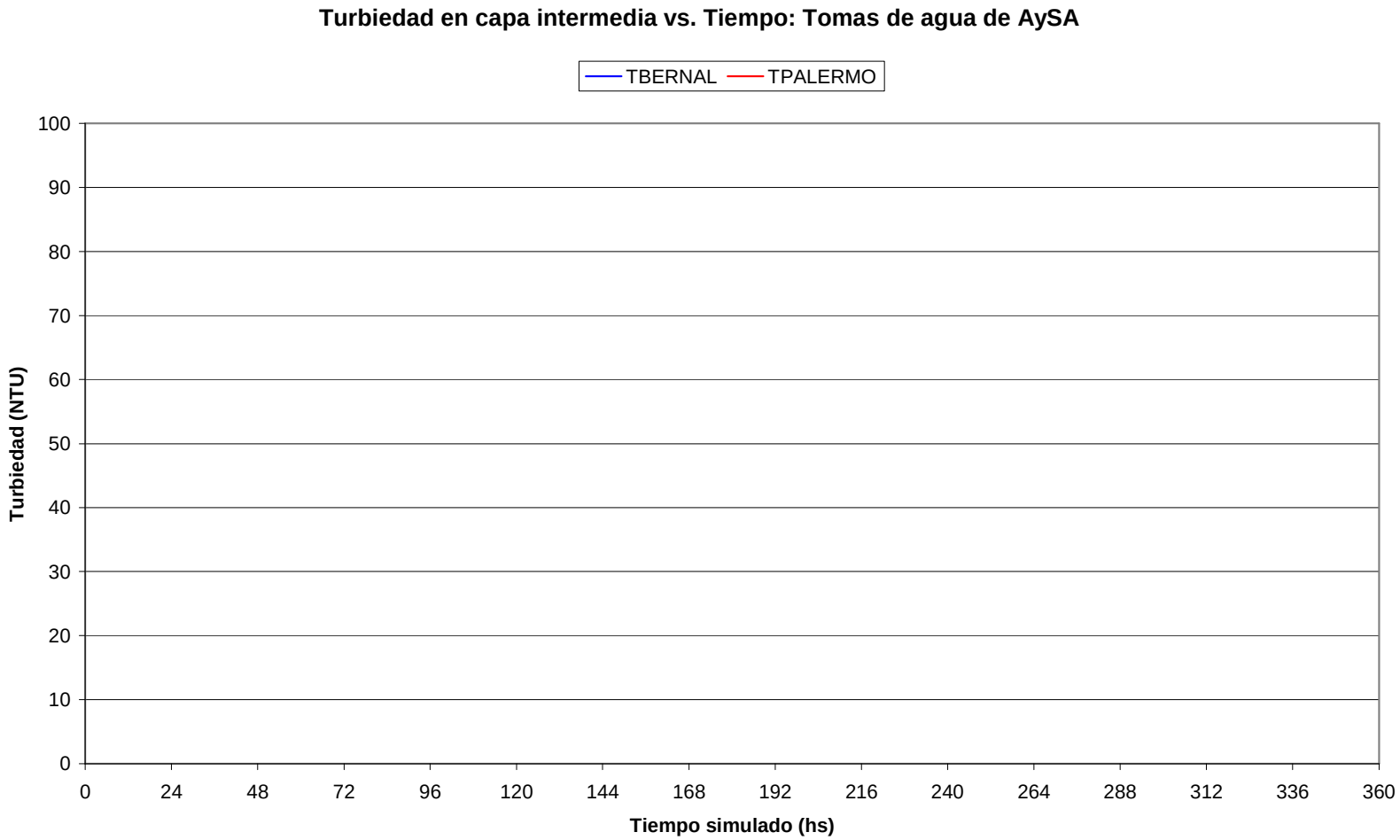

Figura A.6.5.2.1.7 – Turbiedad en tomas de agua. Capa intermedia. No se observan niveles mensurables de sobre-concentración.

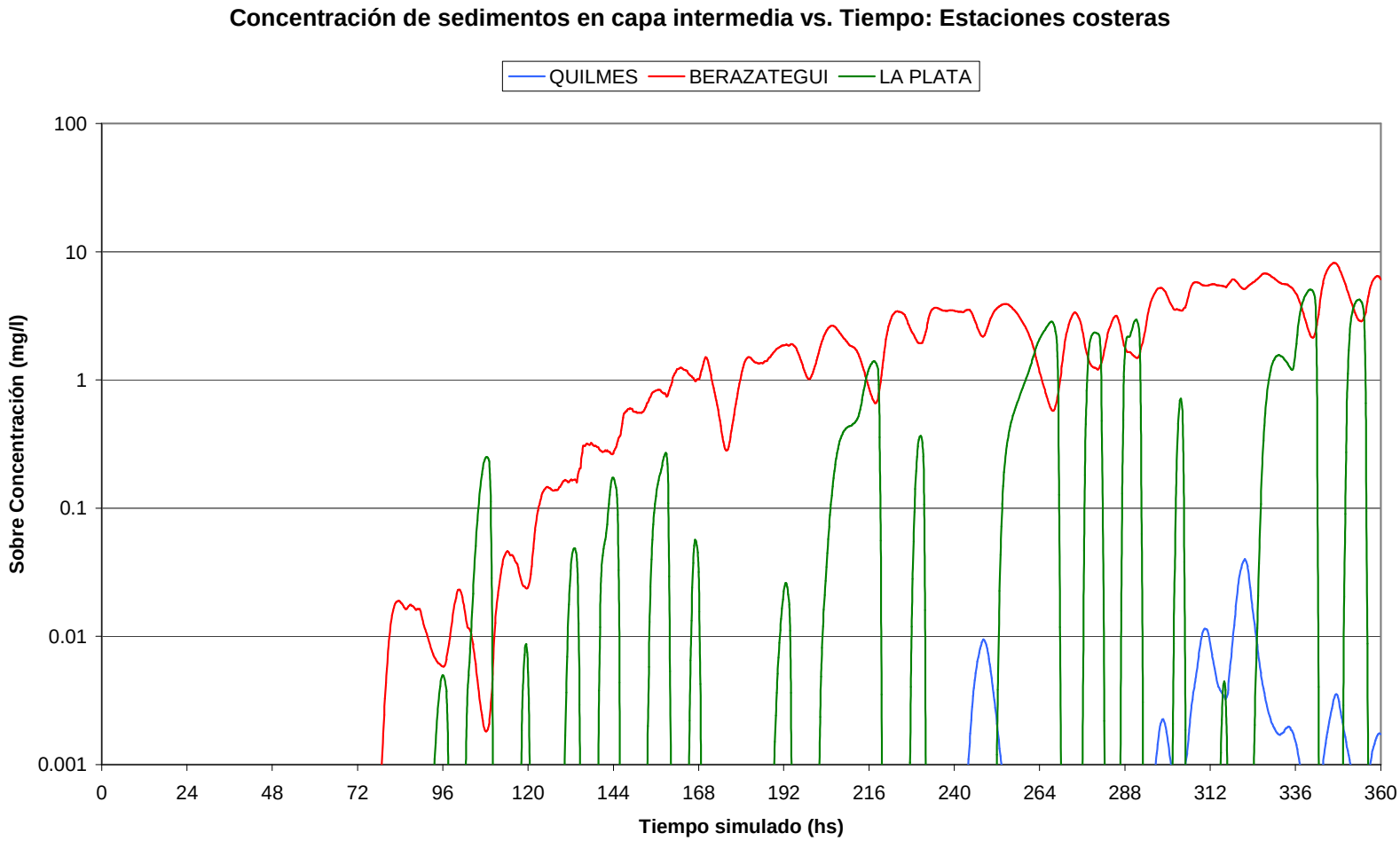

Figura A.6.5.2.1.8 – Concentración de sedimentos en áreas costeras. Capa intermedia.

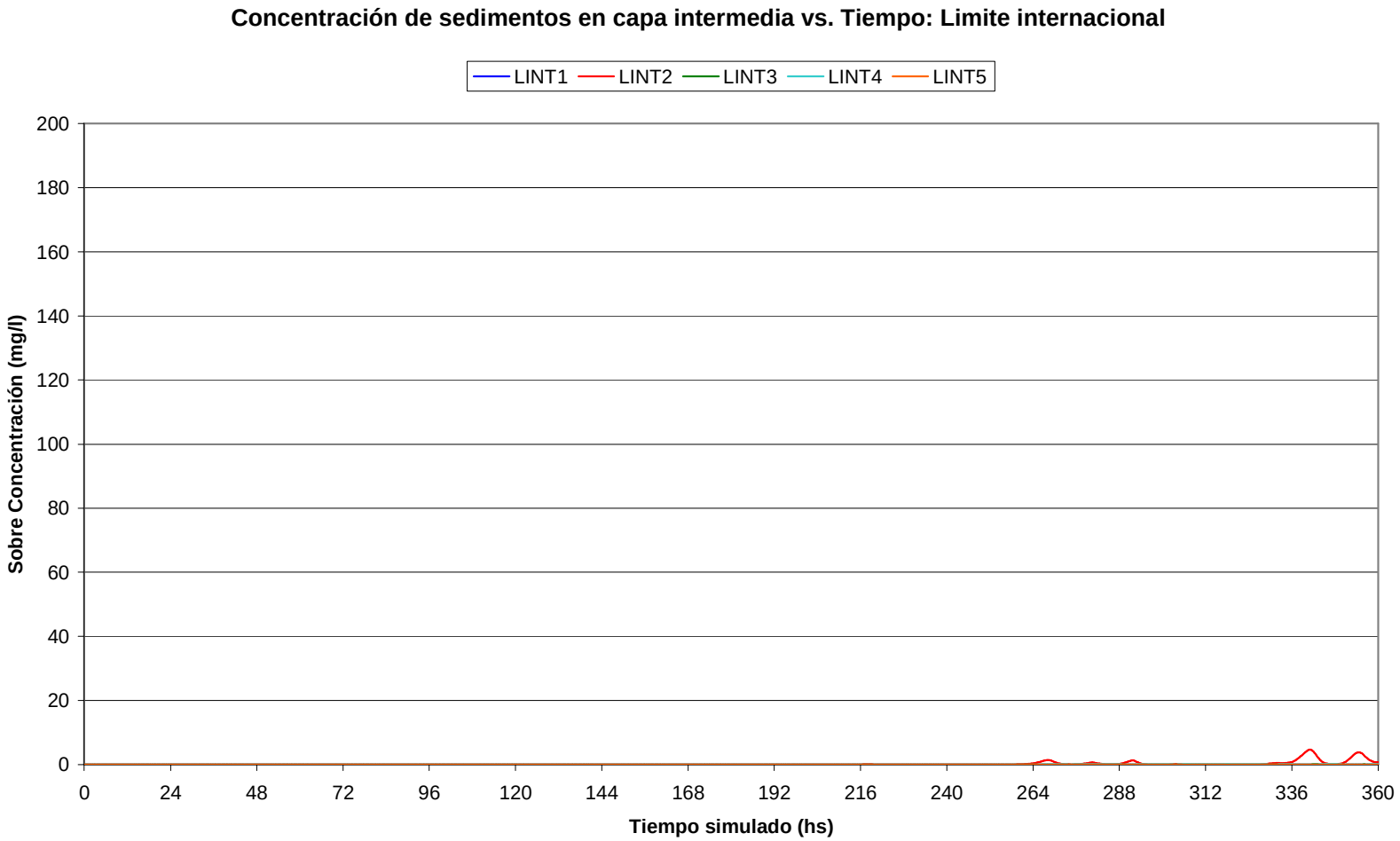

Figura A.6.5.2.1.9 – Concentración de sedimentos en el límite internacional. Capa intermedia.

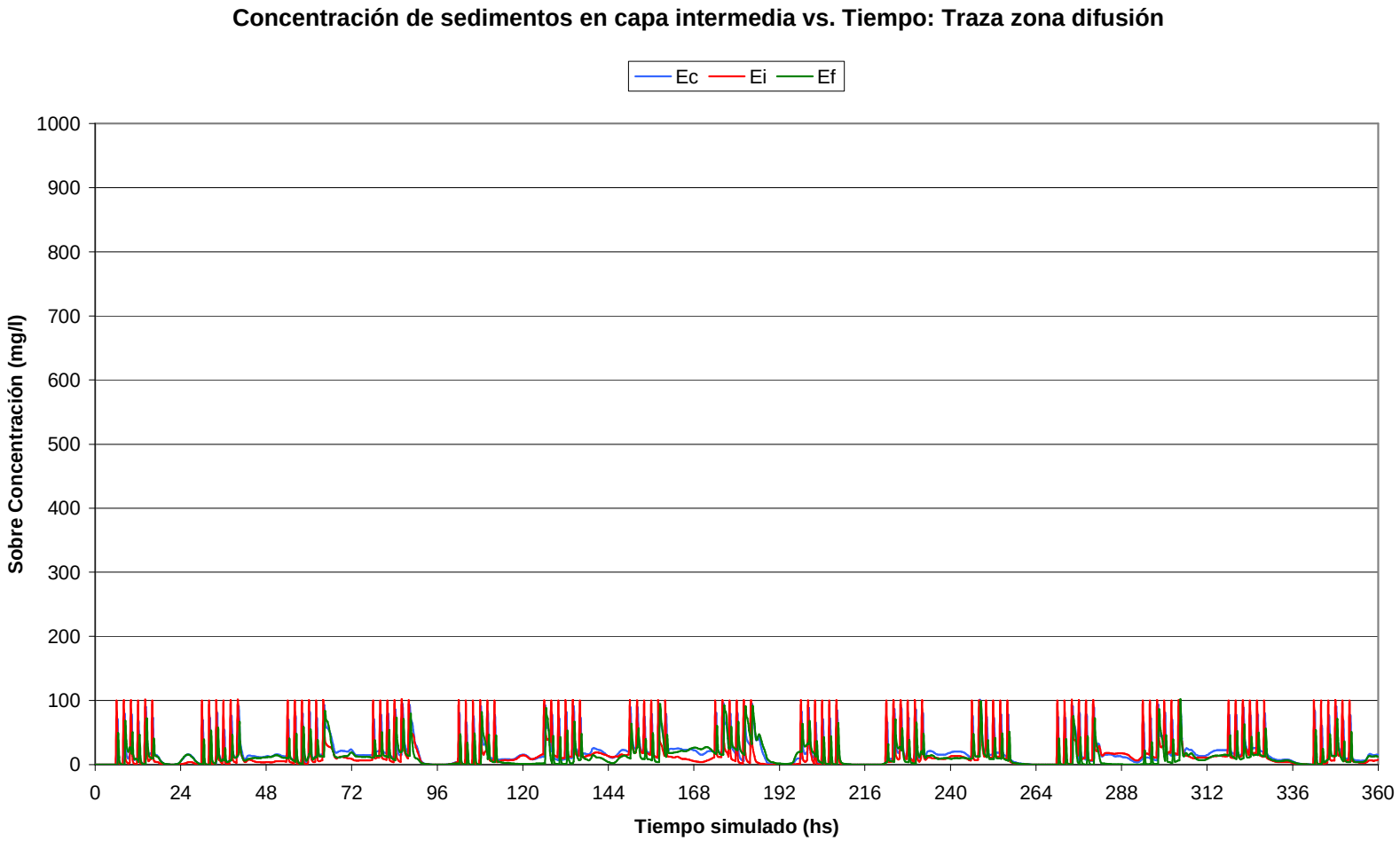

Figura A.6.5.2.1.10 – Concentración de sedimentos en la traza del emisario. Capa intermedia.

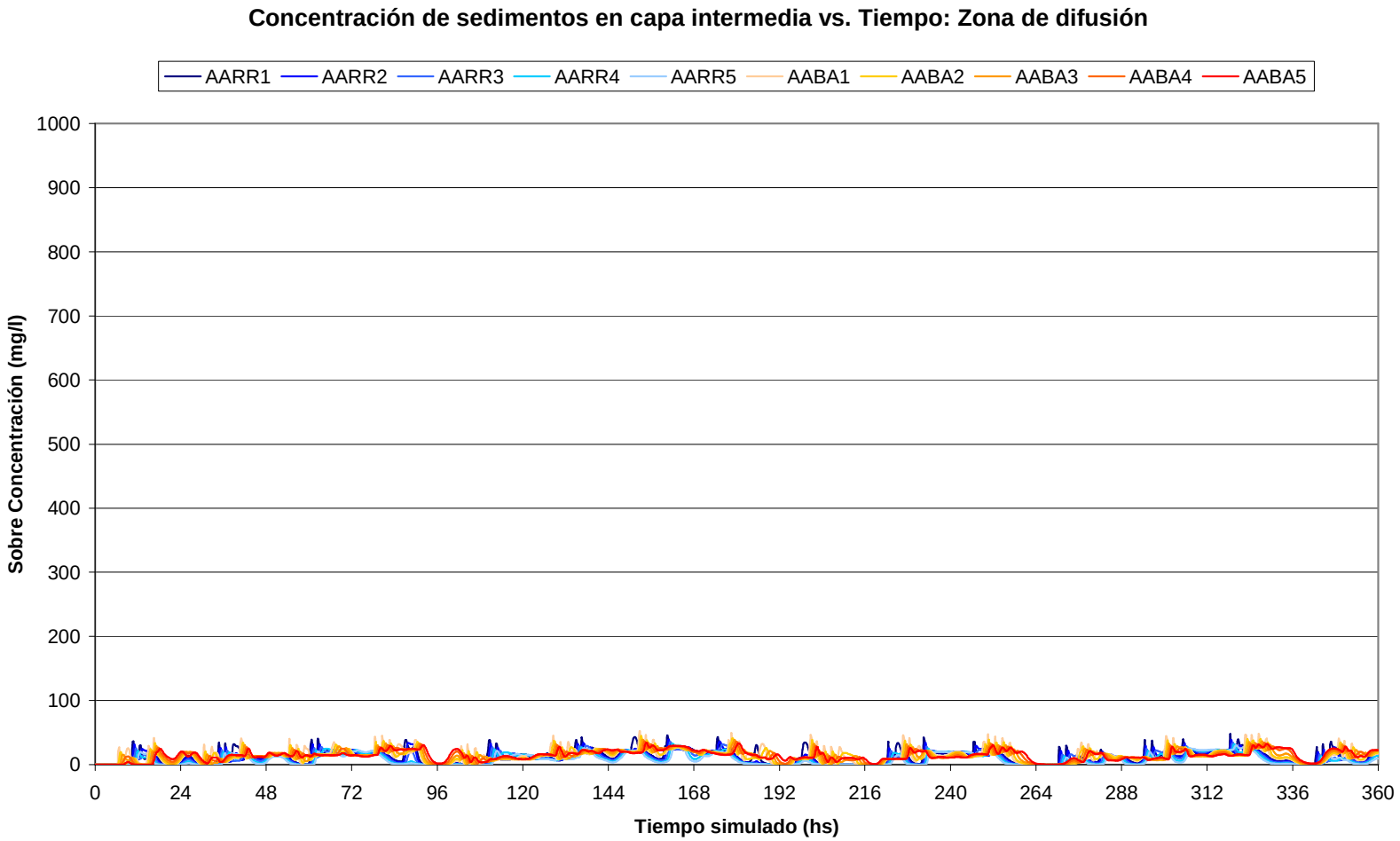

Figura A.6.5.2.1.11 – Concentración de sedimentos en la zona de difusión del emisario. Capa intermedia.

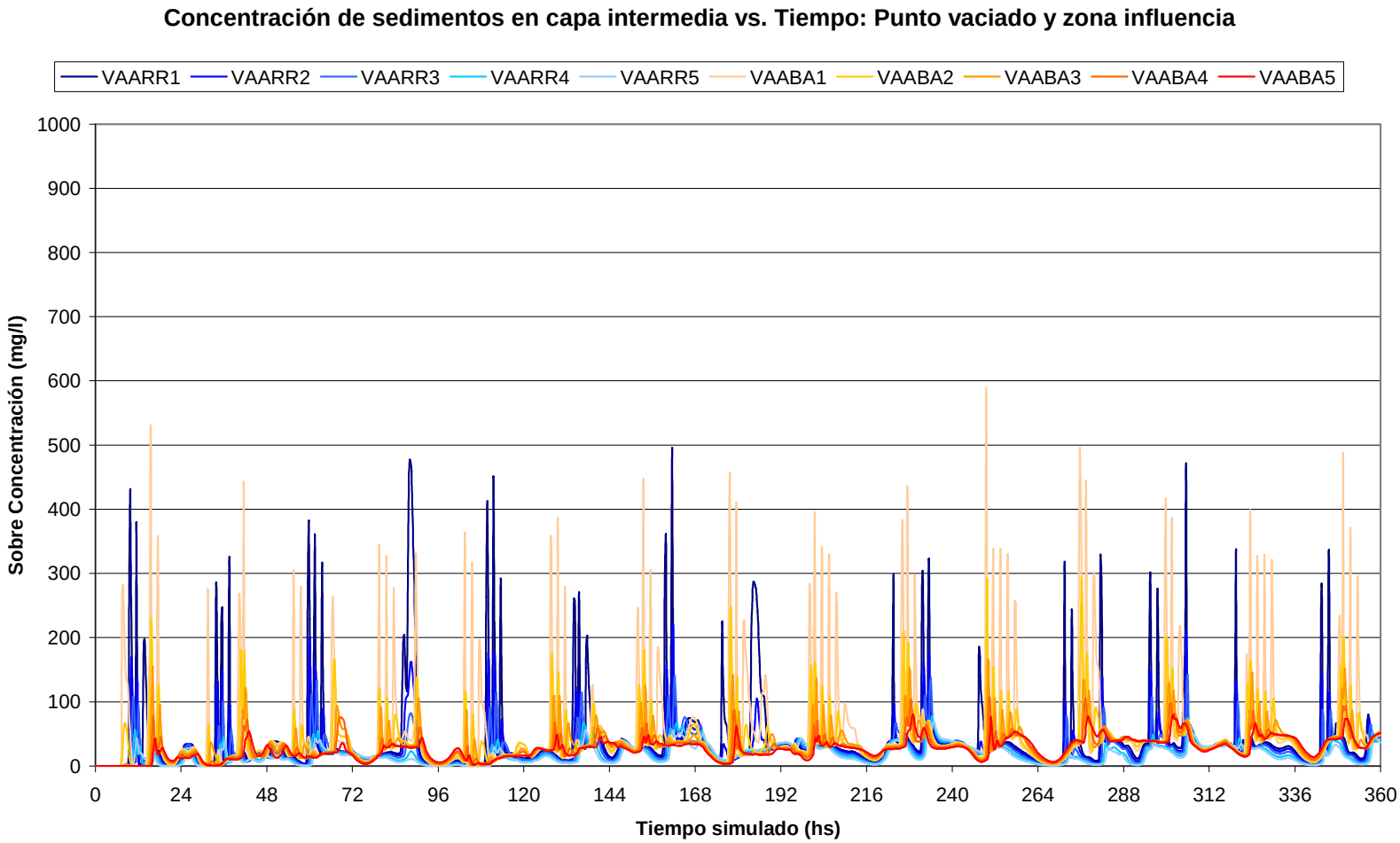

Figura A.6.5.2.1.12 – Concentración de sedimentos en la zona de refulado. Capa intermedia.

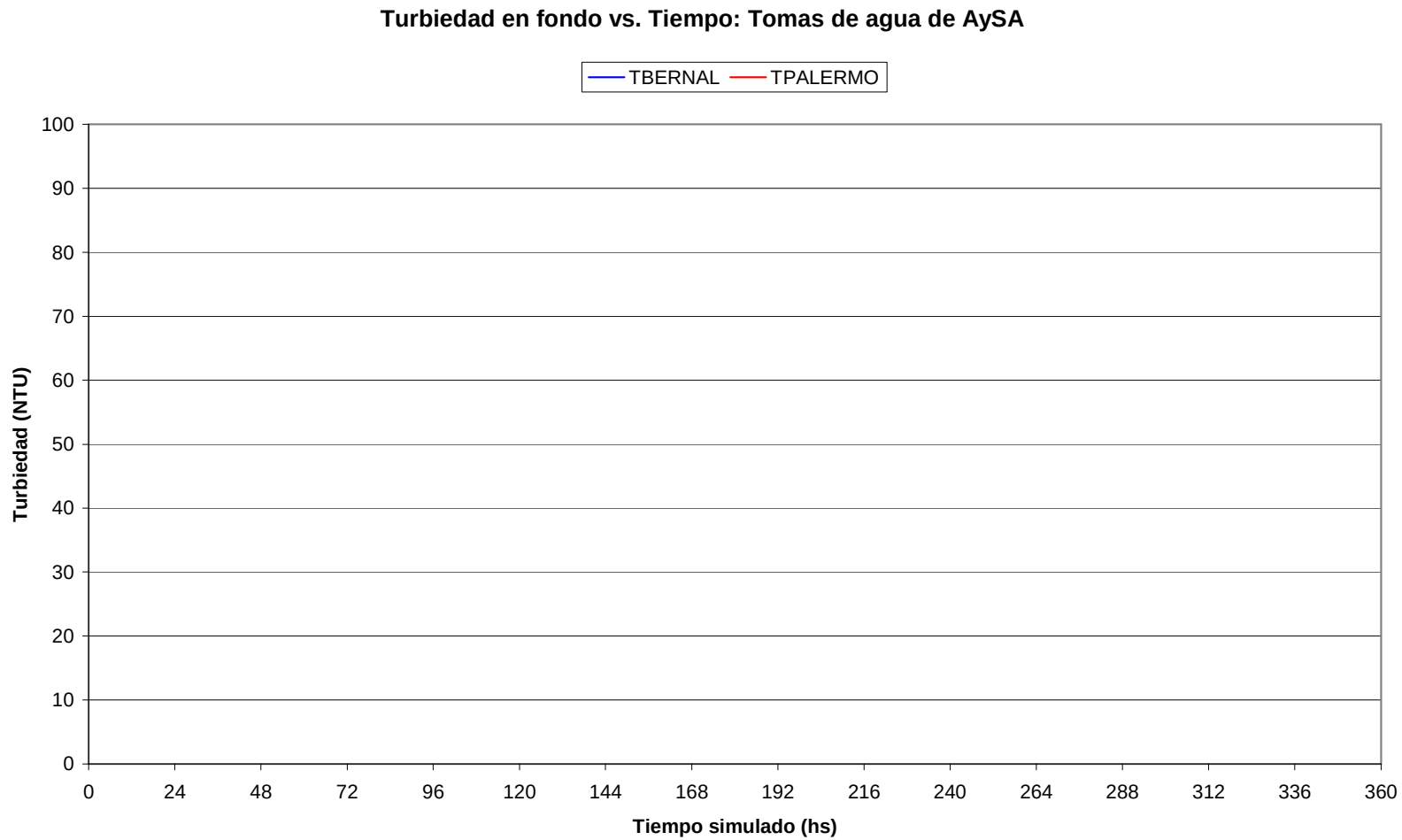

Figura A.6.5.2.1.13 – Turbiedad en tomas de agua. Capa de fondo. No se observan niveles mensurables de sobre-concentración.

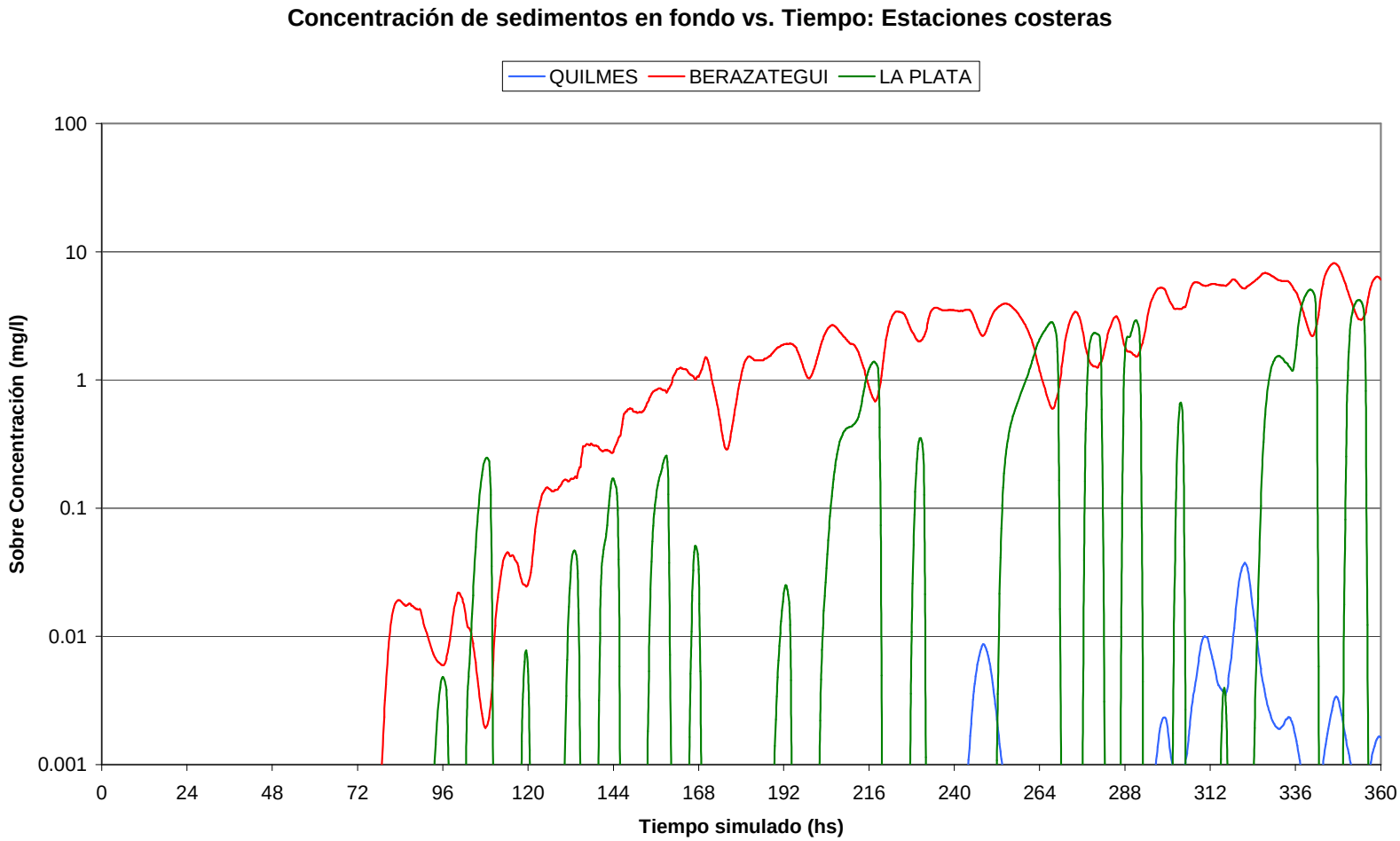

Figura A.6.5.2.1.14 – Concentración de sedimentos en áreas costeras. Capa de fondo.

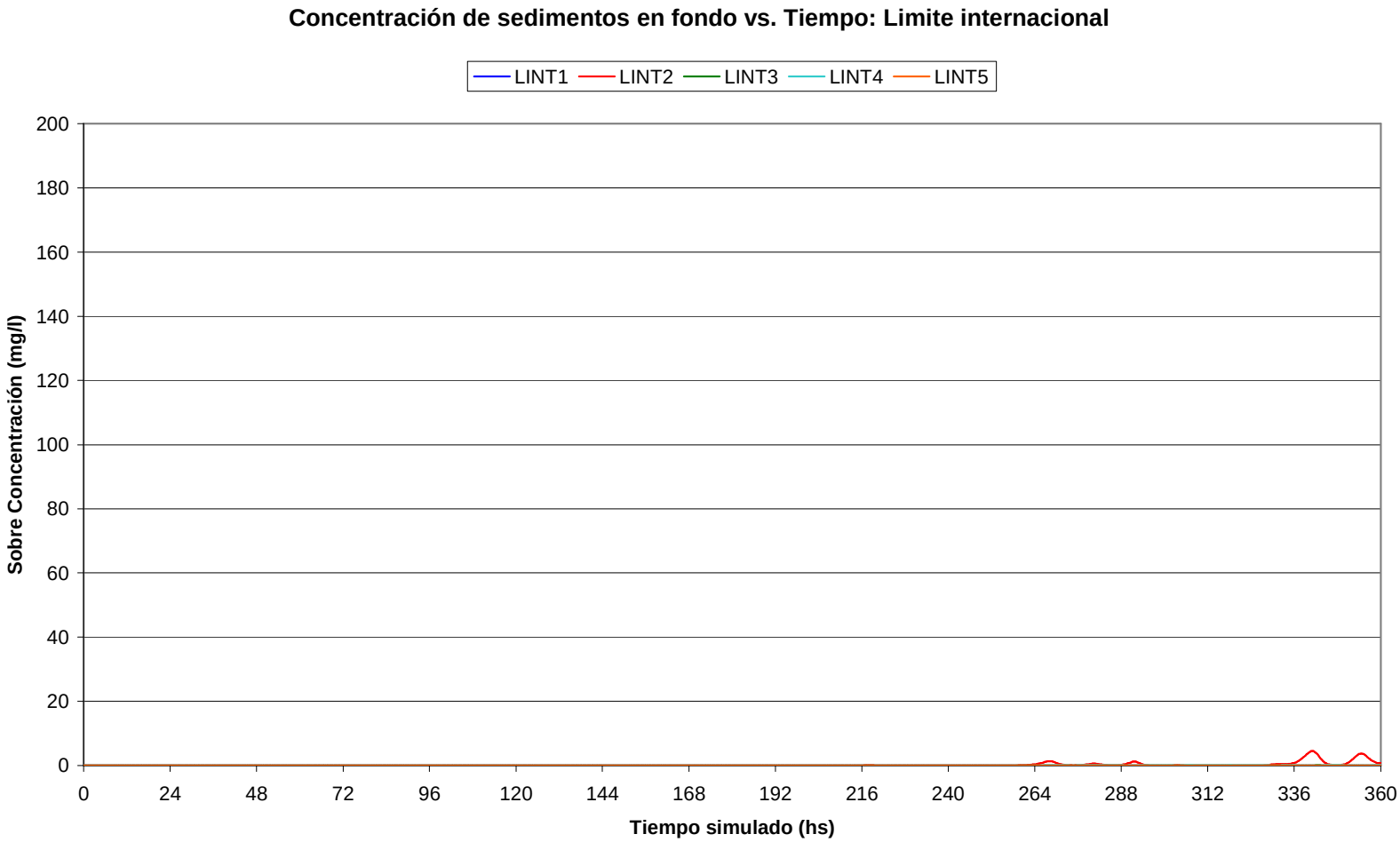

Figura A.6.5.2.1.15 – Concentración de sedimentos en el límite internacional. Capa de fondo.

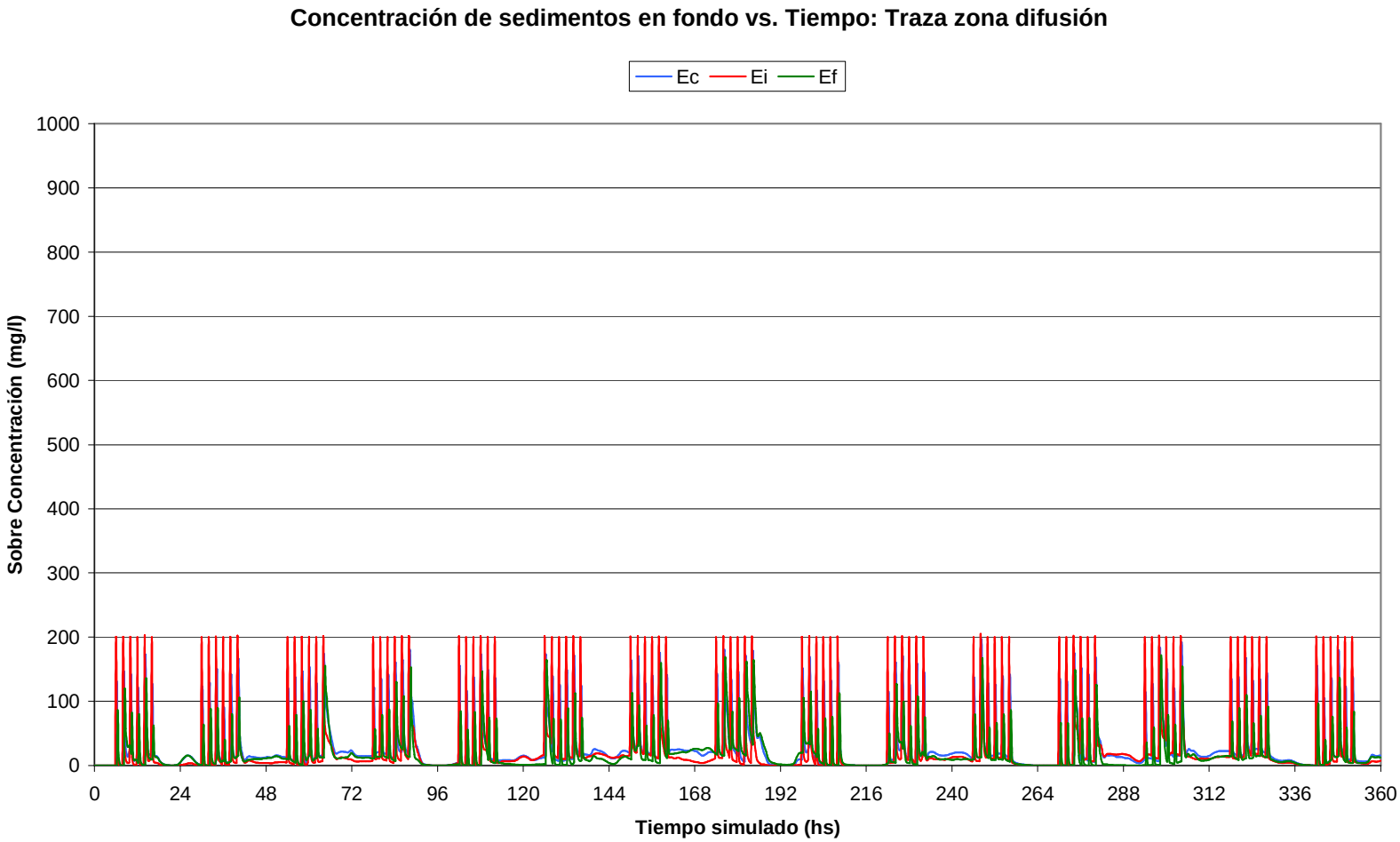

Figura A.6.5.2.1.16 – Concentración de sedimentos en la traza del emisario. Capa de fondo.

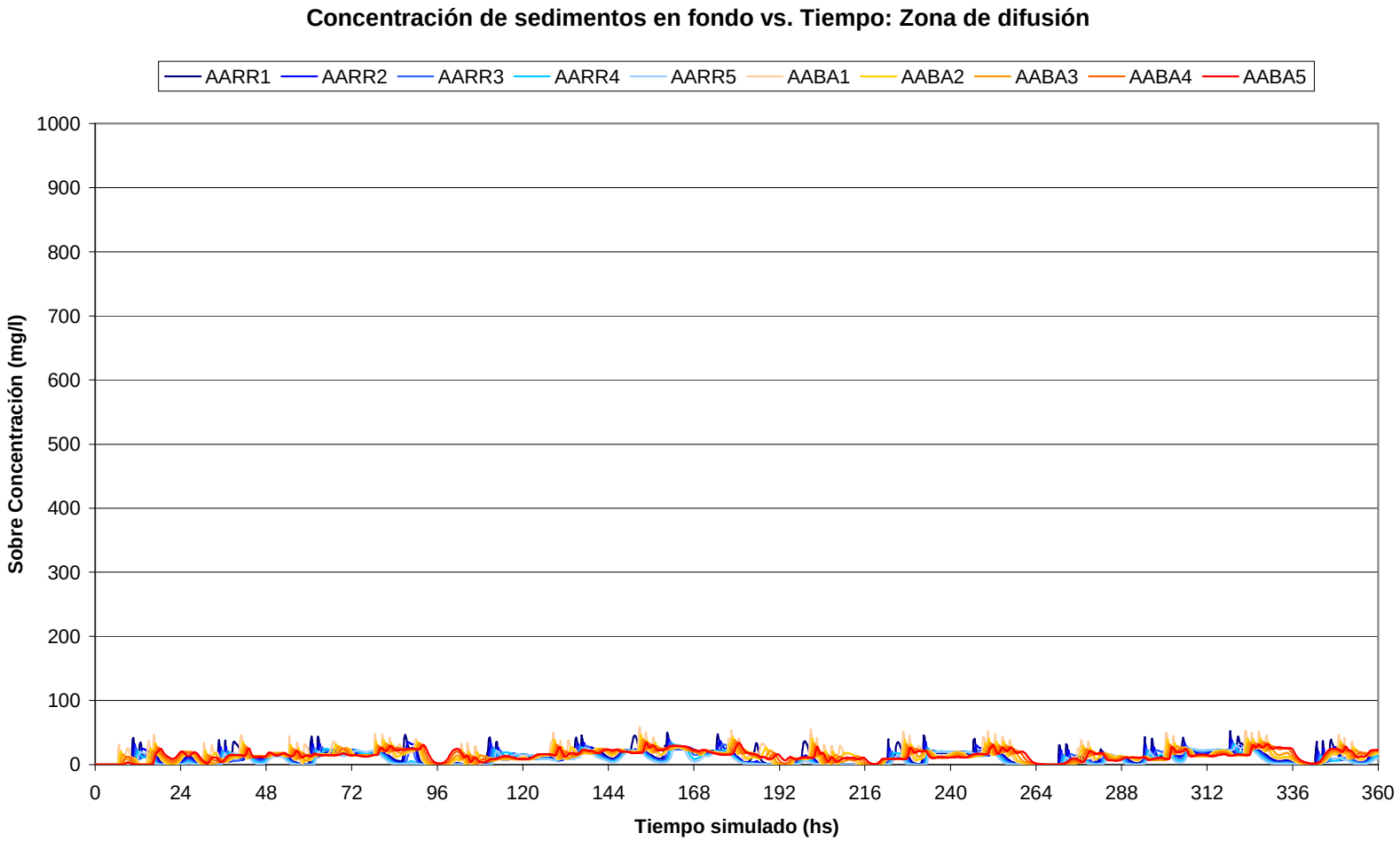

Figura A.6.5.2.1.17 – Concentración de sedimentos en la zona de difusión del emisario. Capa de fondo.

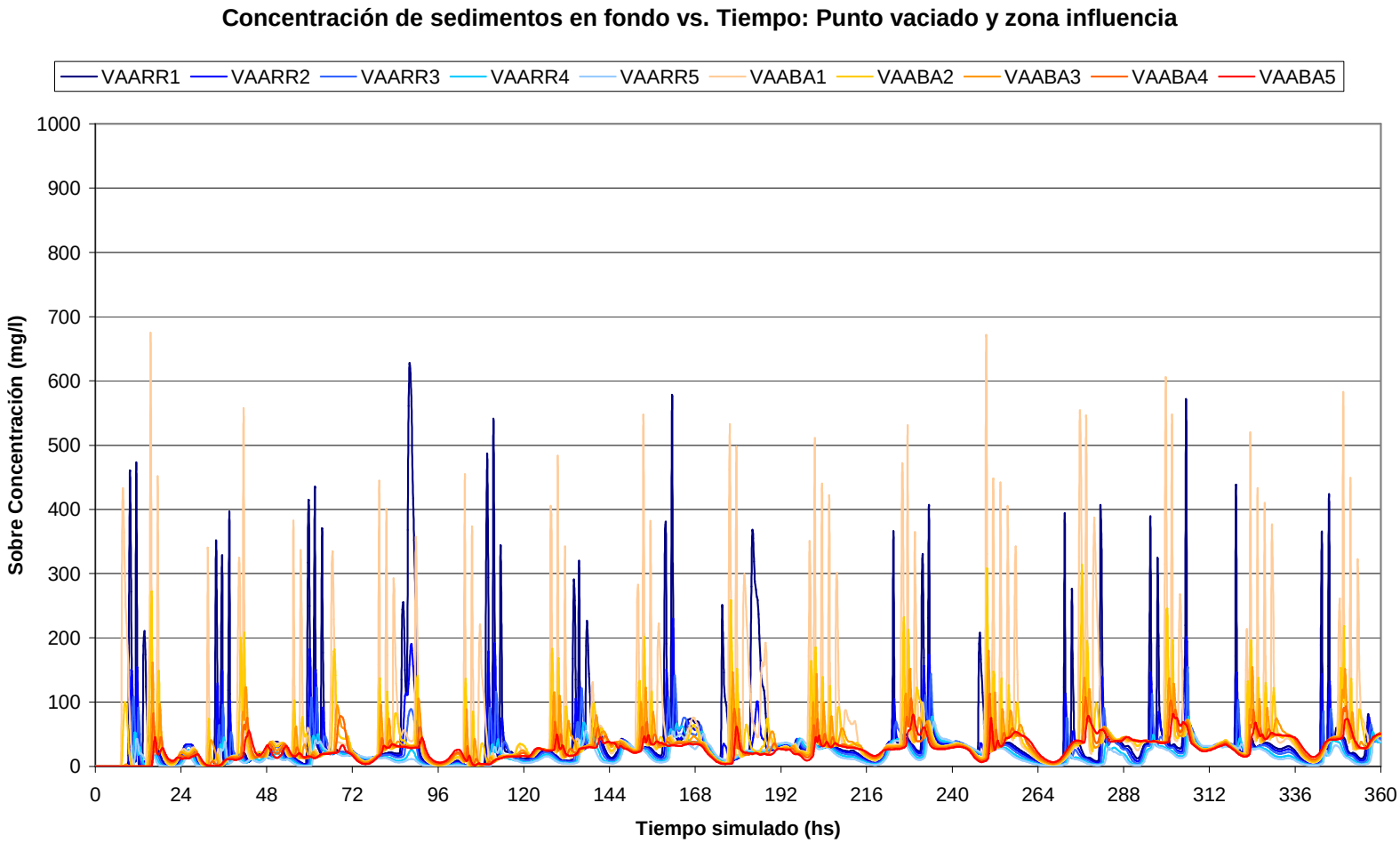

Figura A.6.5.2.1.18 – Concentración de sedimentos en la zona de refulado. Capa de fondo.

ANEXO 6.5.2.2

Dragado con succión por arrastre y vaciado lejano con cántara en emisario Riachuelo.

Distribución espacial de concentraciones y material sedimentado.

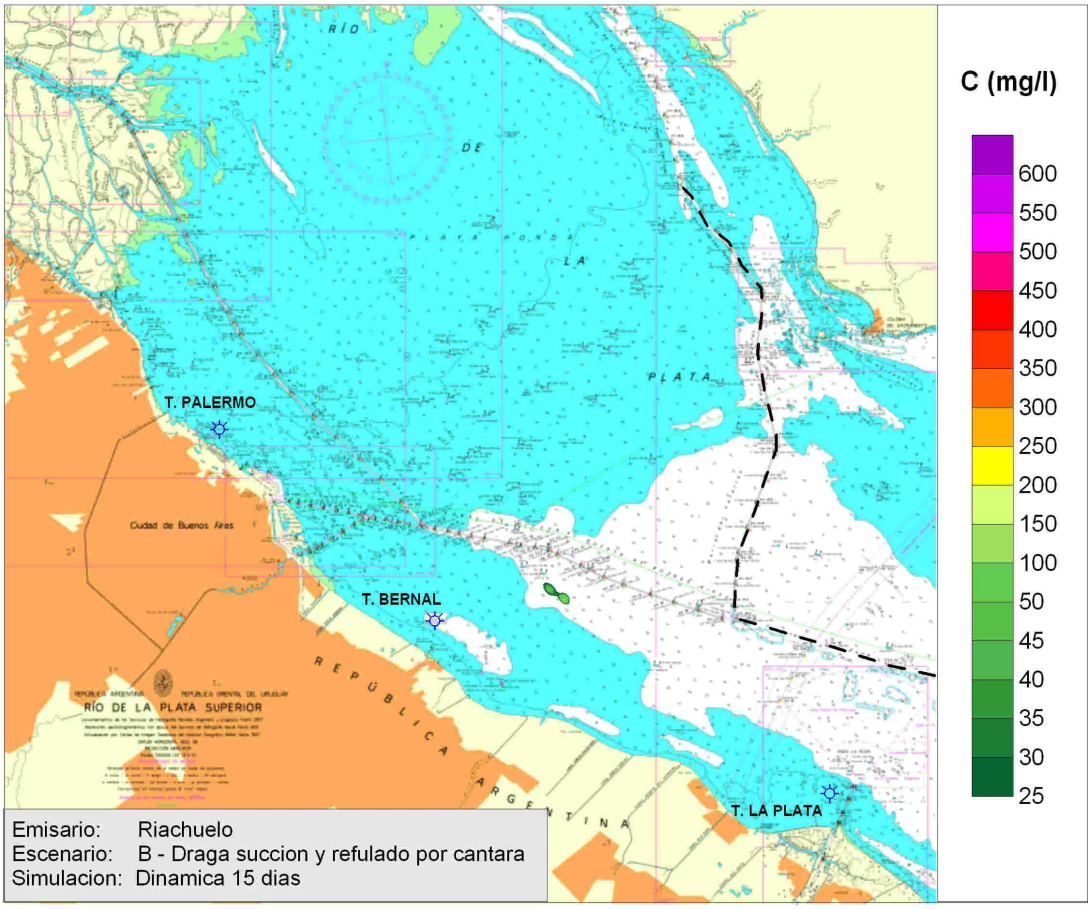

Figura A.6.5.2.2.1 – Distribución superficial de la concentración: día 1 hora 12.

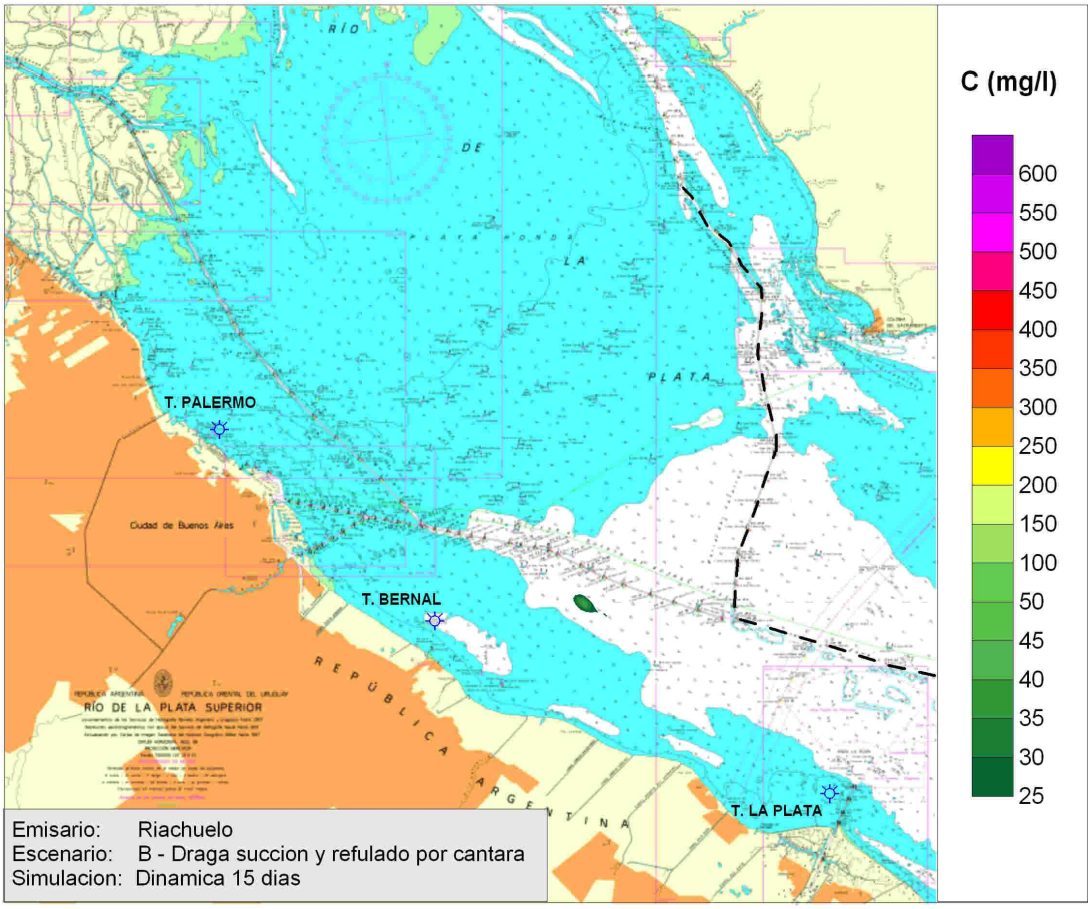

Figura A.6.5.2.2.2 – Distribución superficial de la concentración: día 1 hora 24.

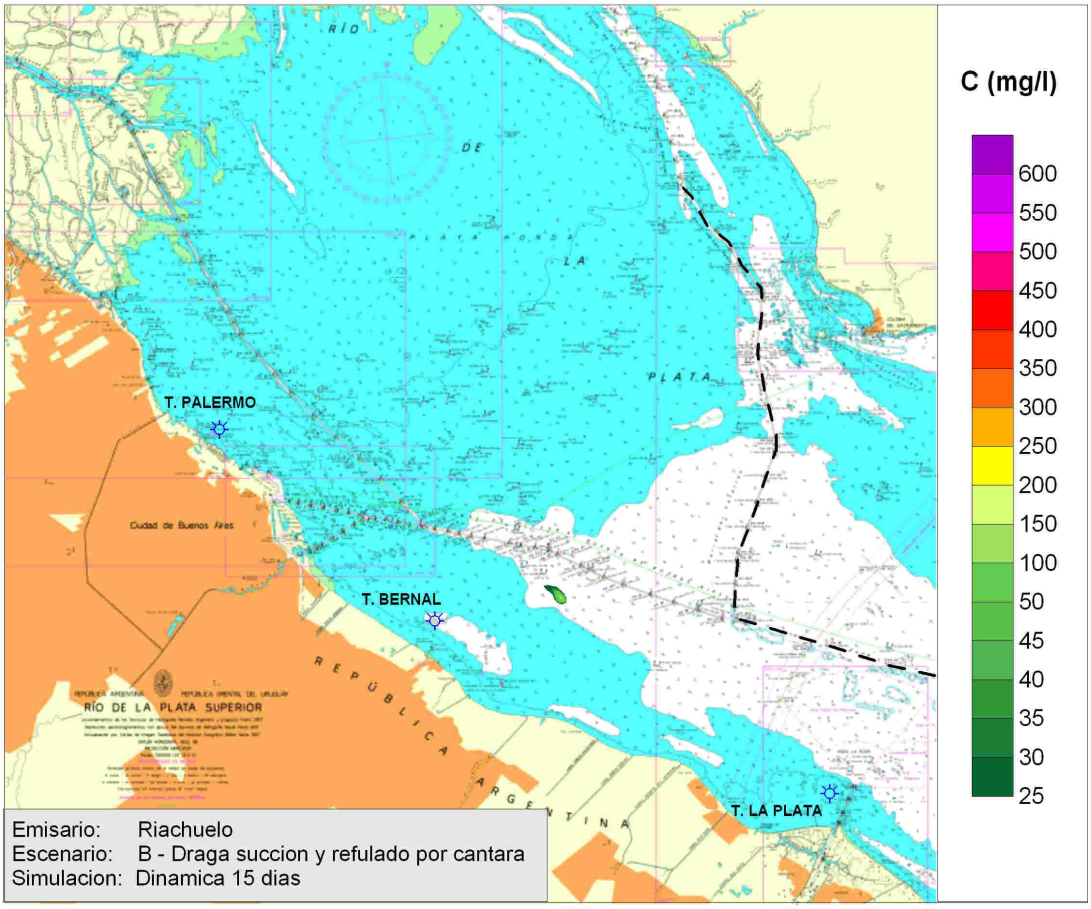

Figura A.6.5.2.2.3 – Distribución superficial de la concentración: día 2 hora 12.

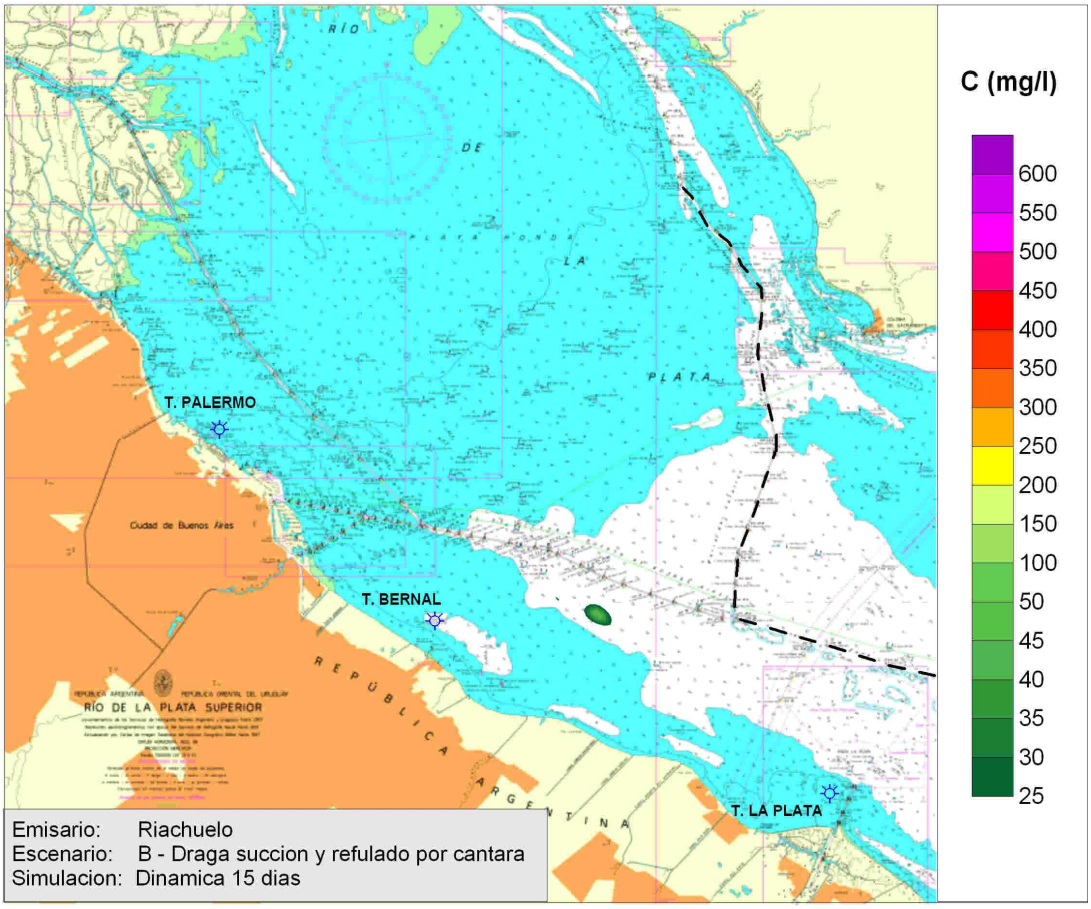

Figura A.6.5.2.2.4 – Distribución superficial de la concentración: día 2 hora 24.

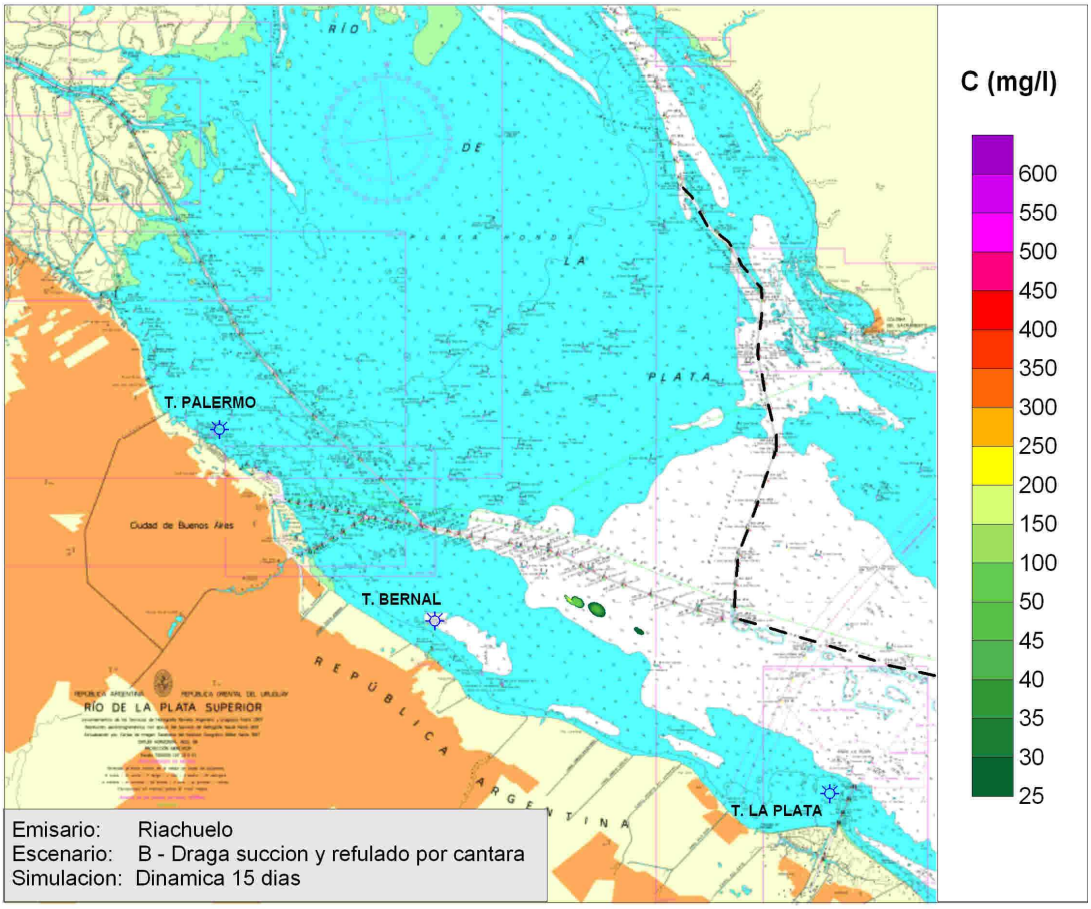

Figura A.6.5.2.2.5 – Distribución superficial de la concentración: día 3 hora 12.

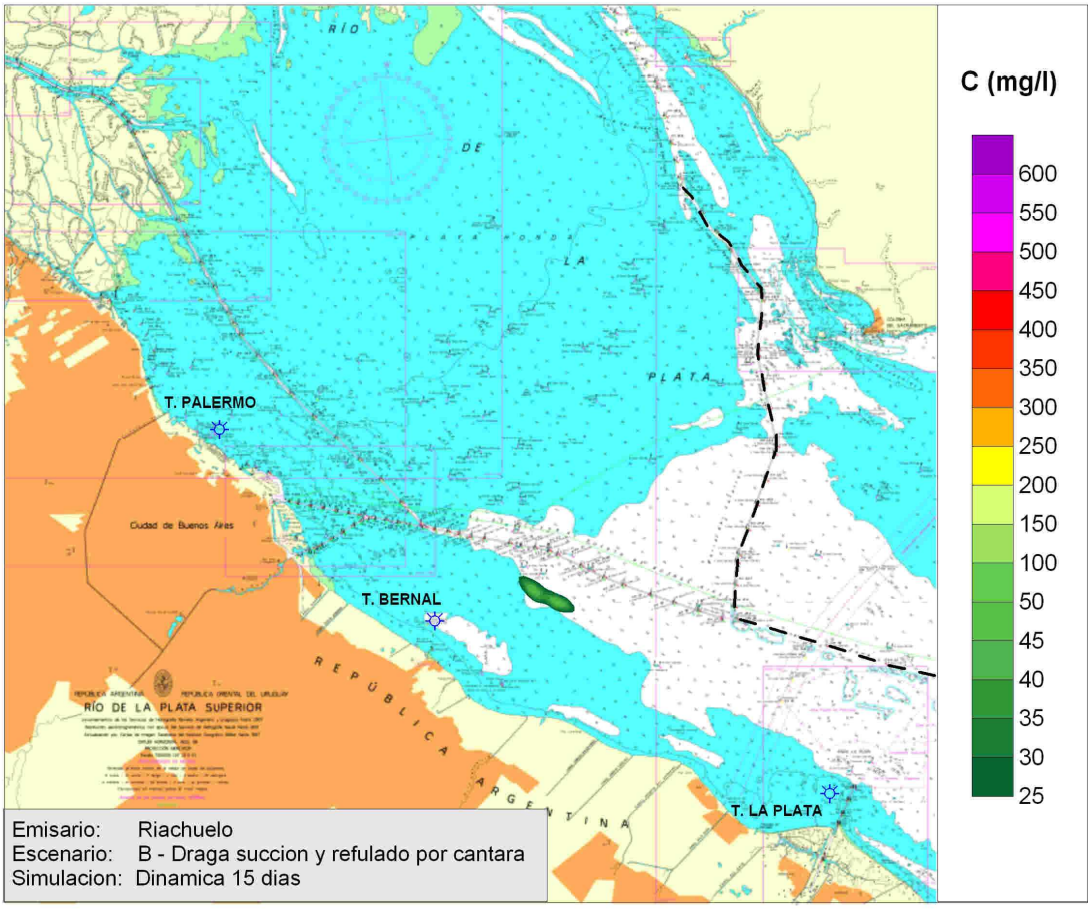

Figura A.6.5.2.2.6 – Distribución superficial de la concentración: día 3 hora 24.

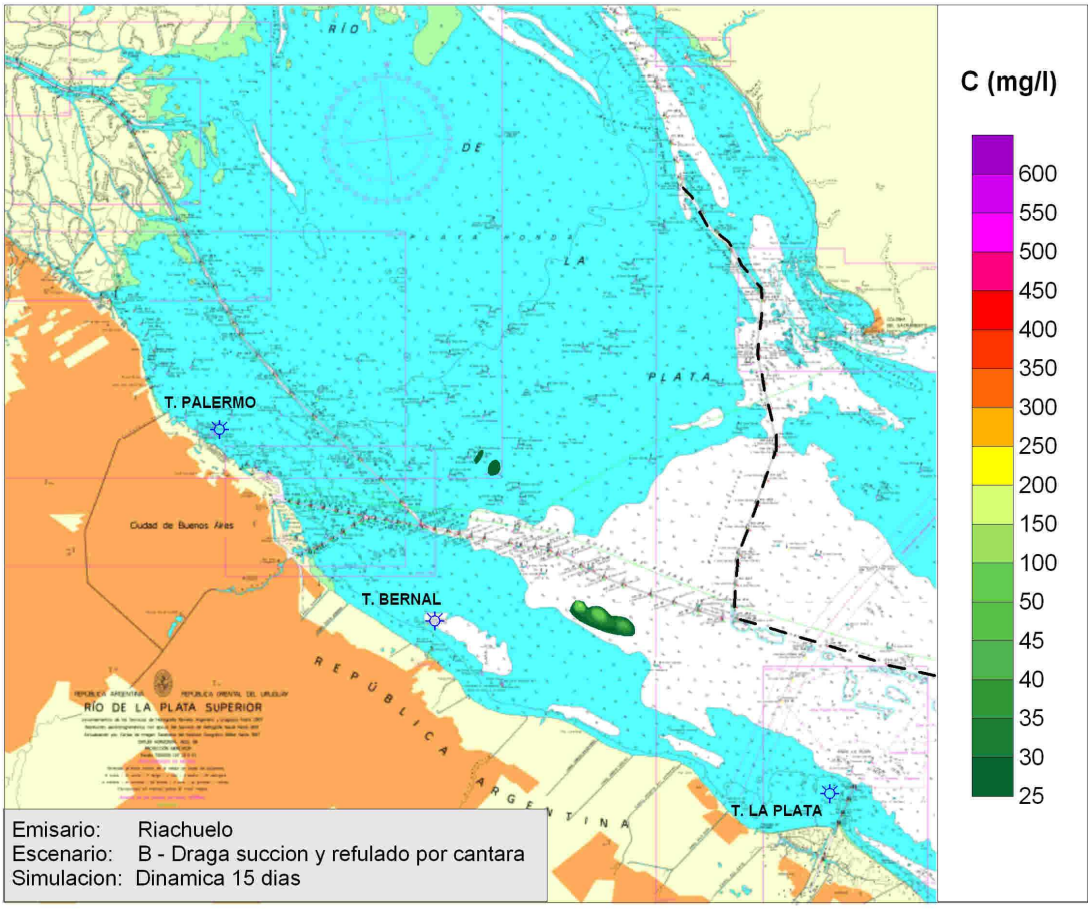

Figura A.6.5.2.2.7 – Distribución superficial de la concentración: día 4 hora 12.

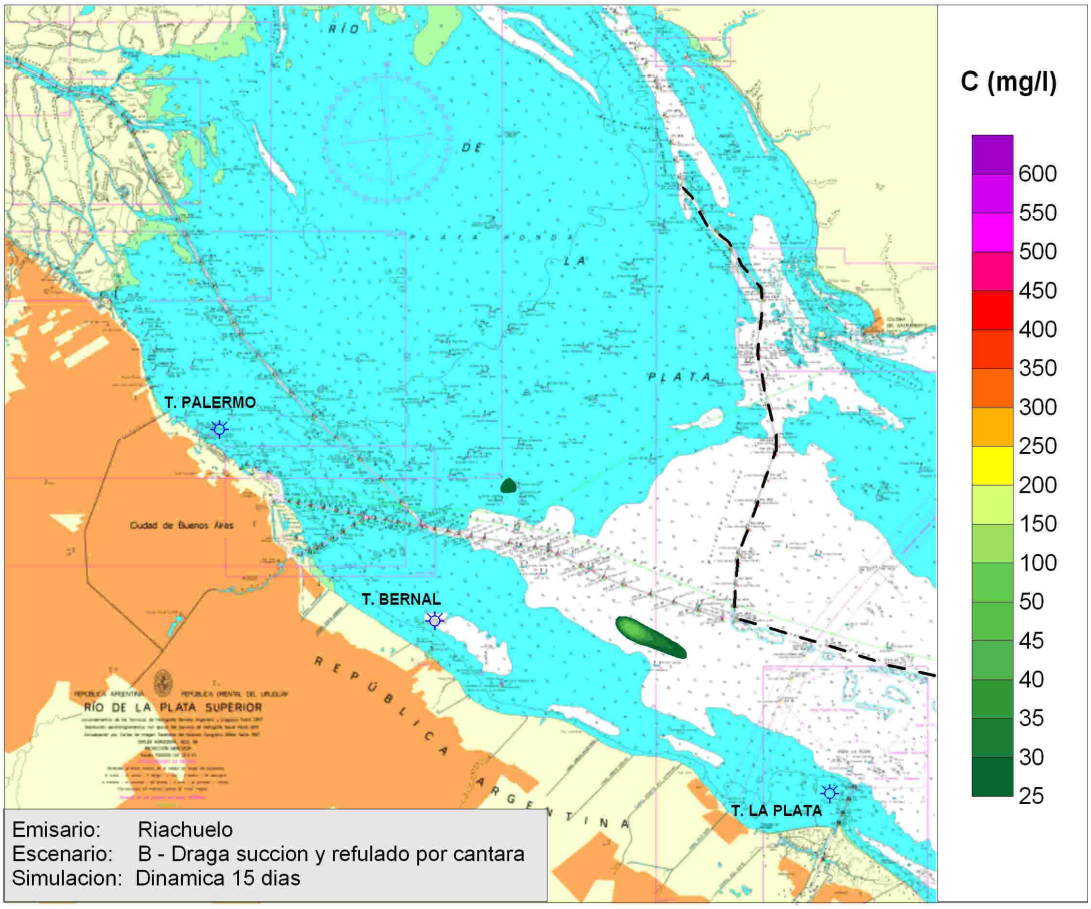

Figura A.6.5.2.2.8 – Distribución superficial de la concentración: día 4 hora 24.

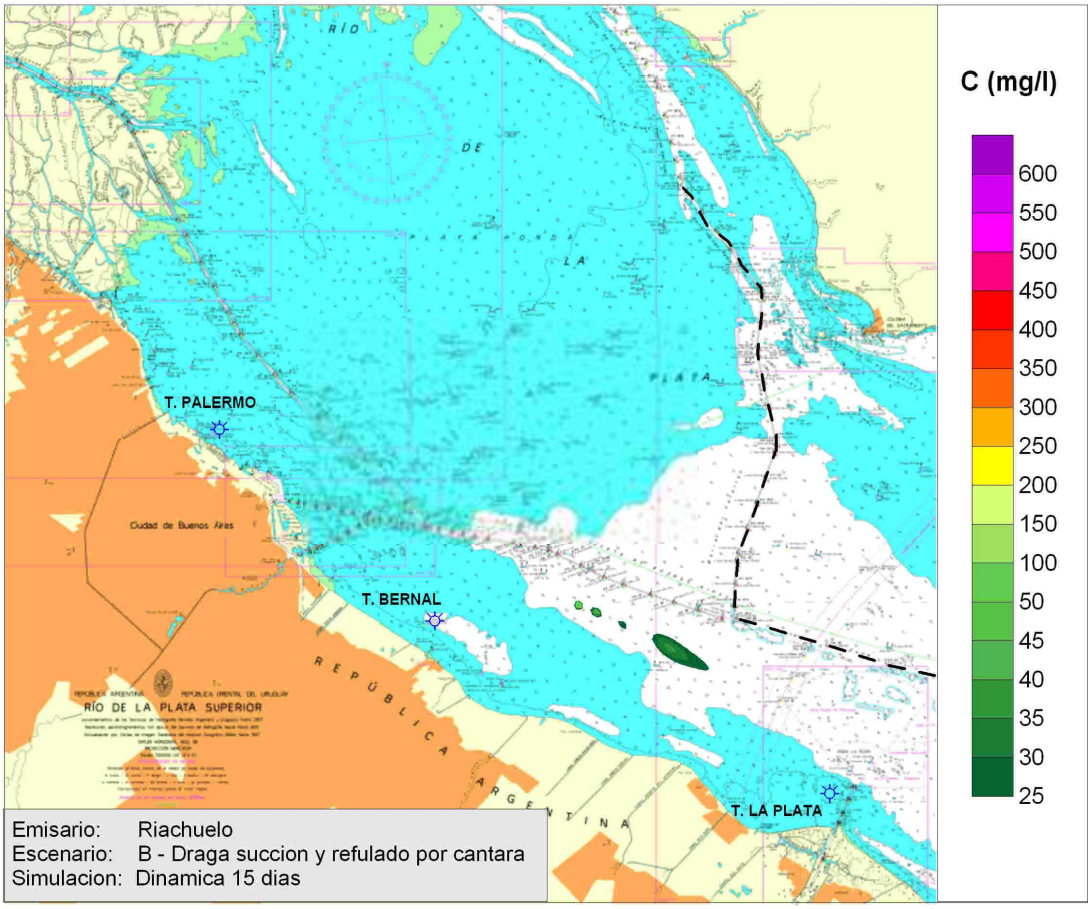

Figura A.6.5.2.2.9 – Distribución superficial de la concentración: día 5 hora 12.

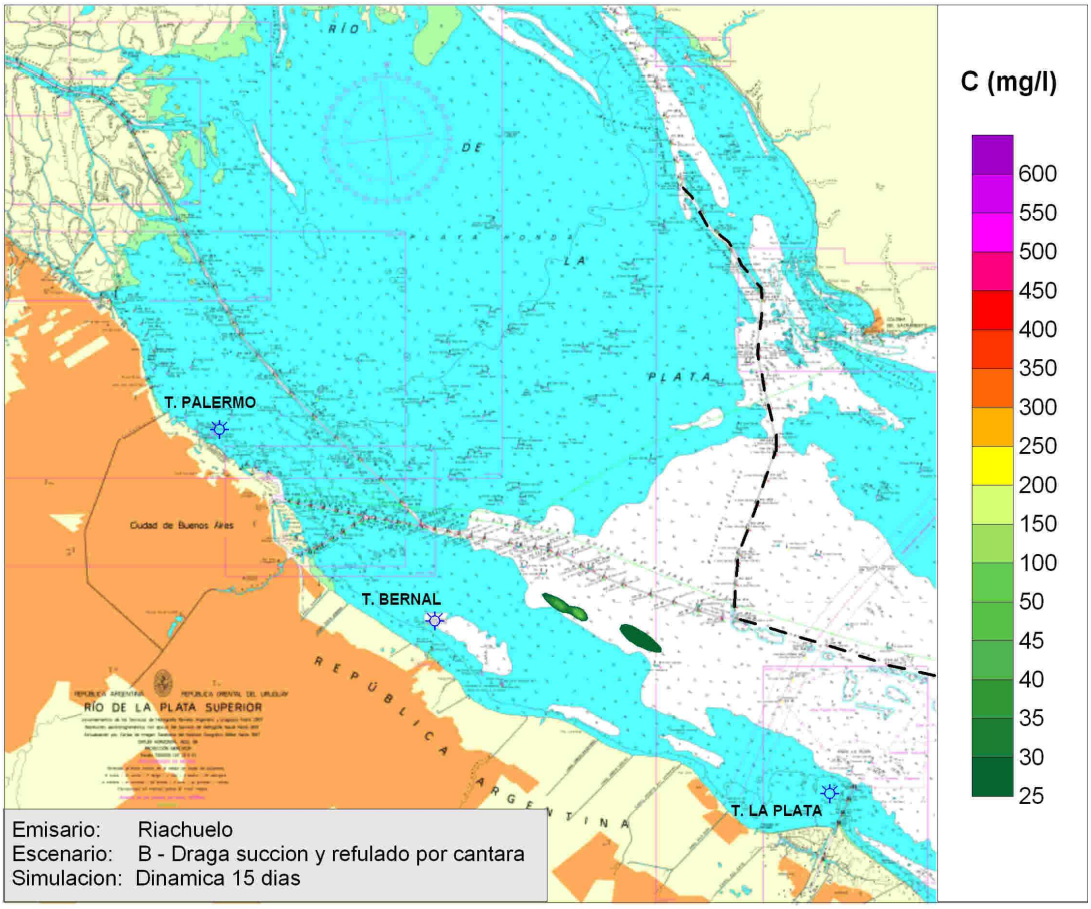

Figura A.6.5.2.2.10 – Distribución superficial de la concentración: día 5 hora 24.

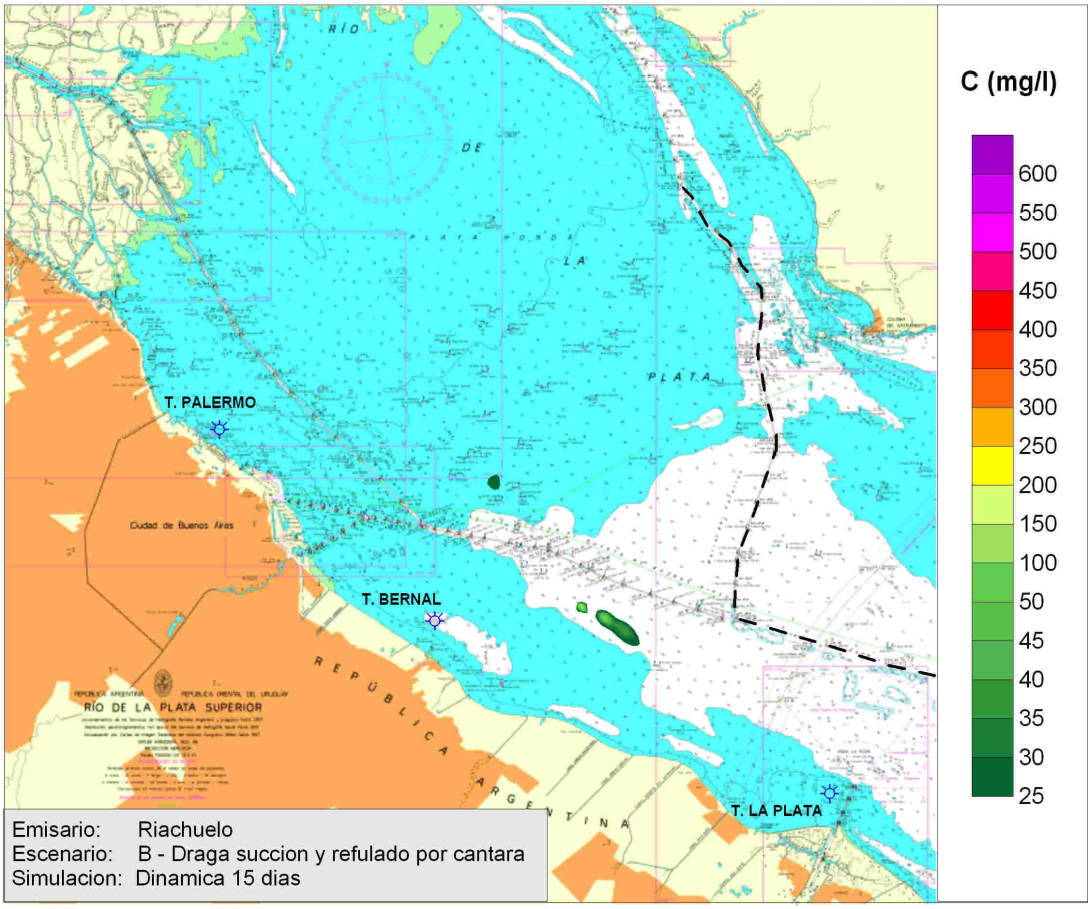

Figura A.6.5.2.2.11 – Distribución superficial de la concentración: día 6 hora 12.

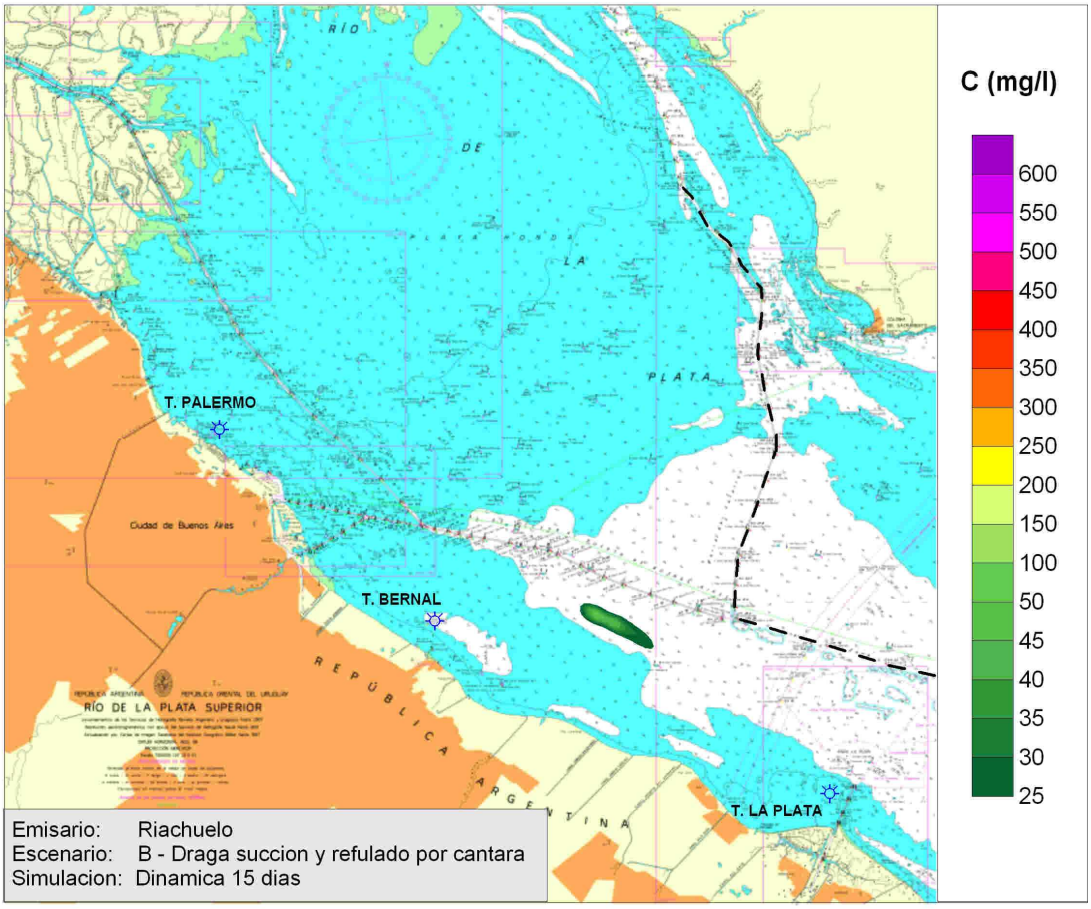

Figura A.6.5.2.2.12 – Distribución superficial de la concentración: día 6 hora 24.

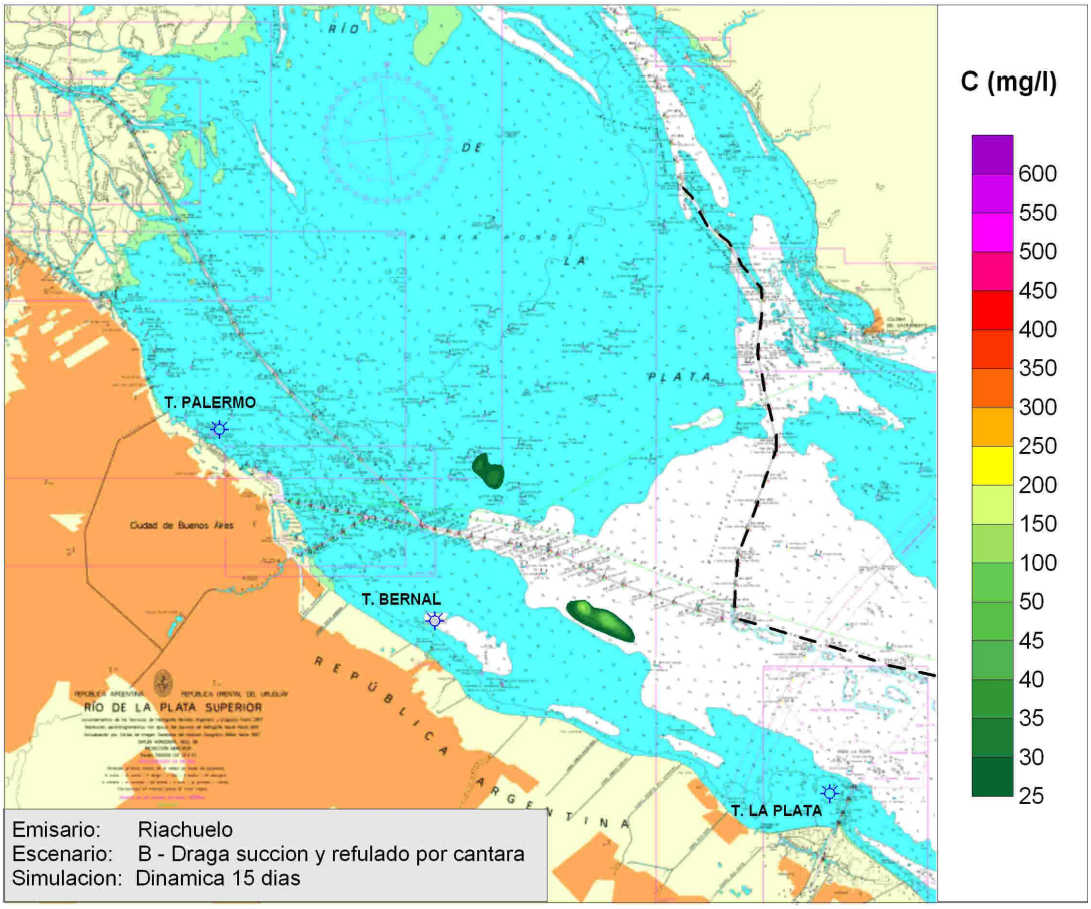

Figura A.6.5.2.2.13 – Distribución superficial de la concentración: día 7 hora 12.

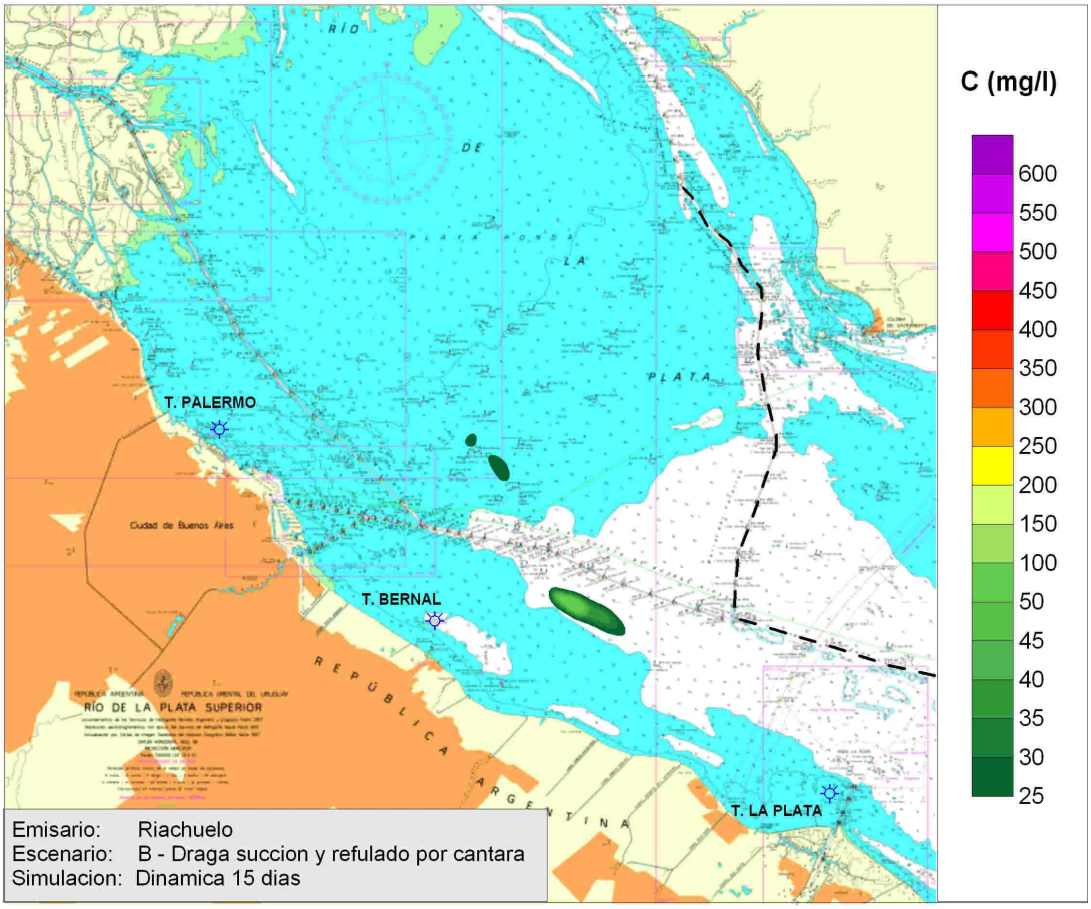

Figura A.6.5.2.2.14 – Distribución superficial de la concentración: día 7 hora 24.

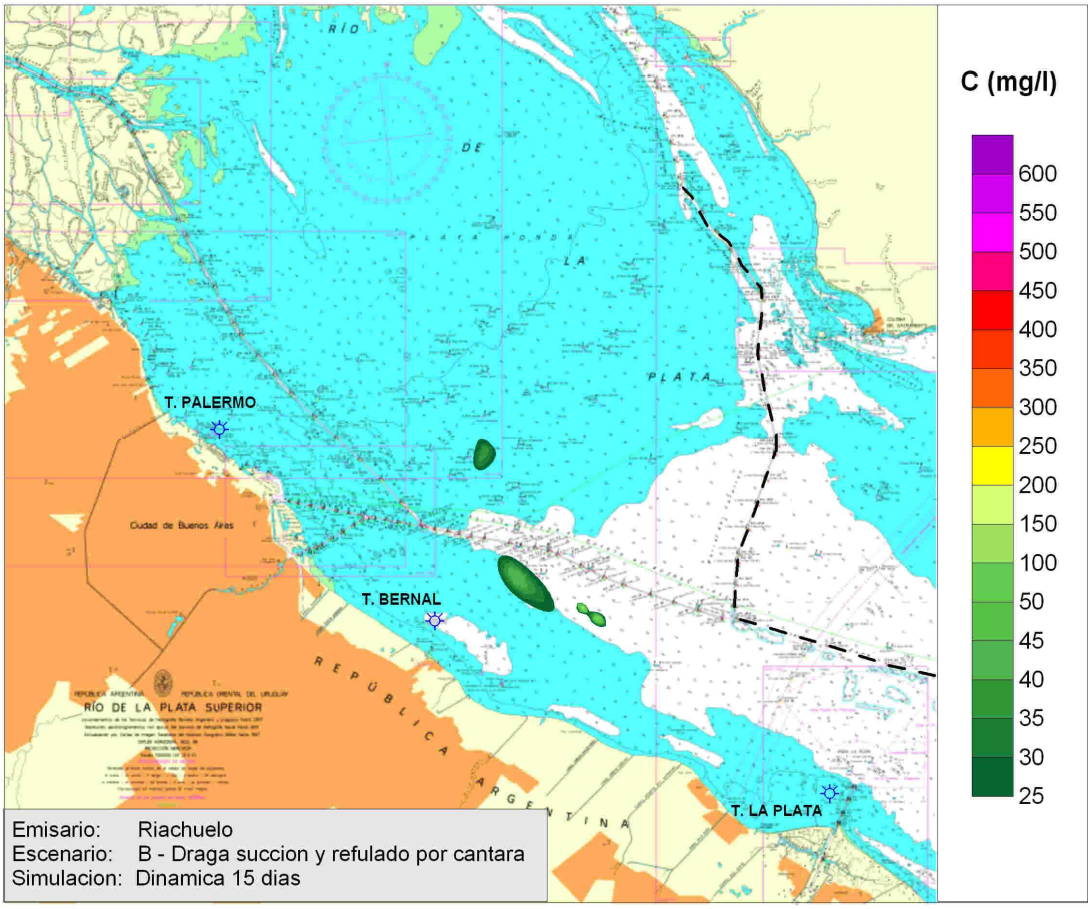

Figura A.6.5.2.2.15 – Distribución superficial de la concentración: día 8 hora 12.

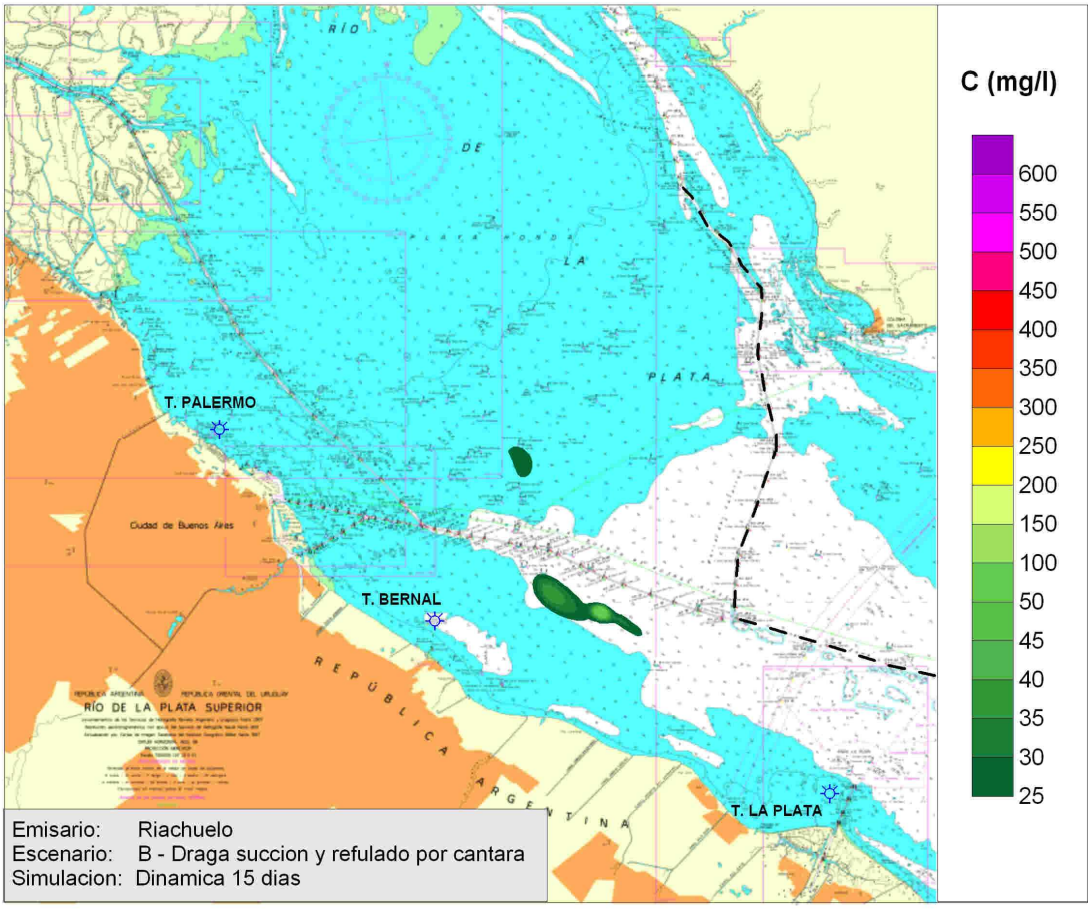

Figura A.6.5.2.2.16 – Distribución superficial de la concentración: día 8 hora 24.

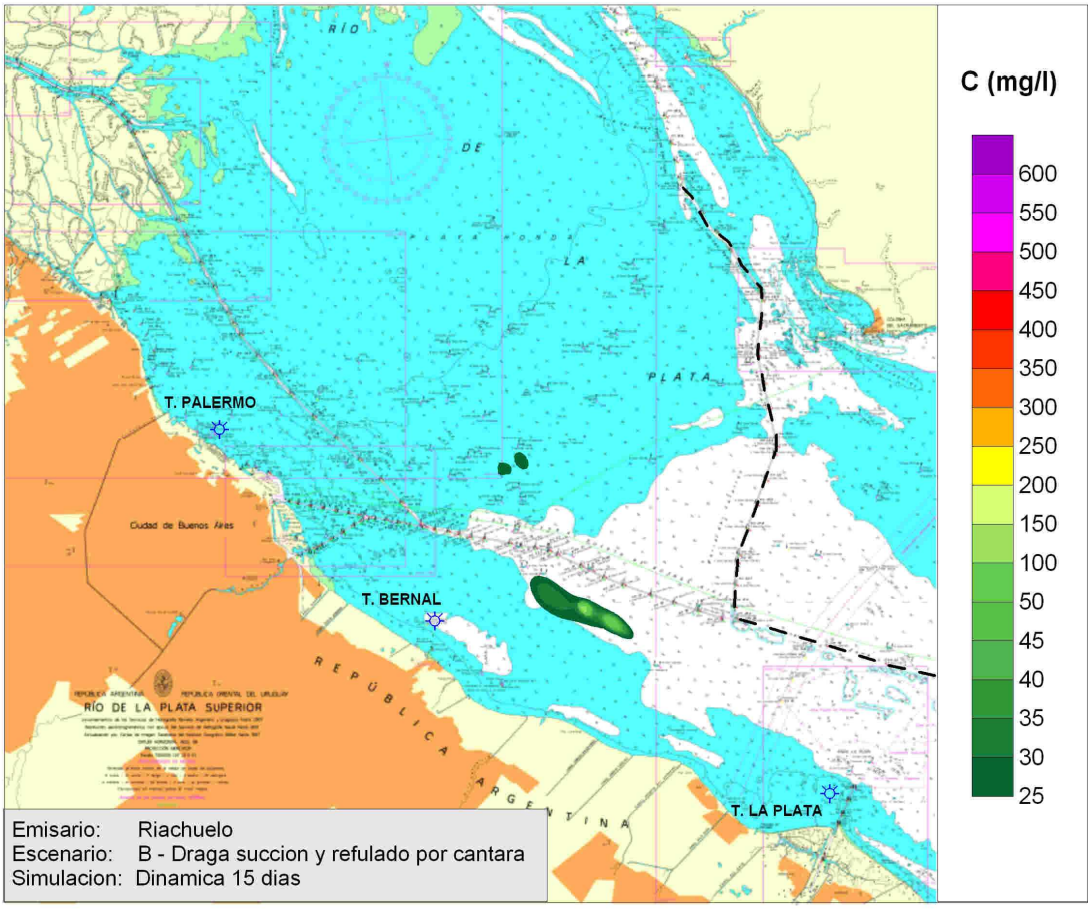

Figura A.6.5.2.2.17 – Distribución superficial de la concentración: día 9 hora 12.

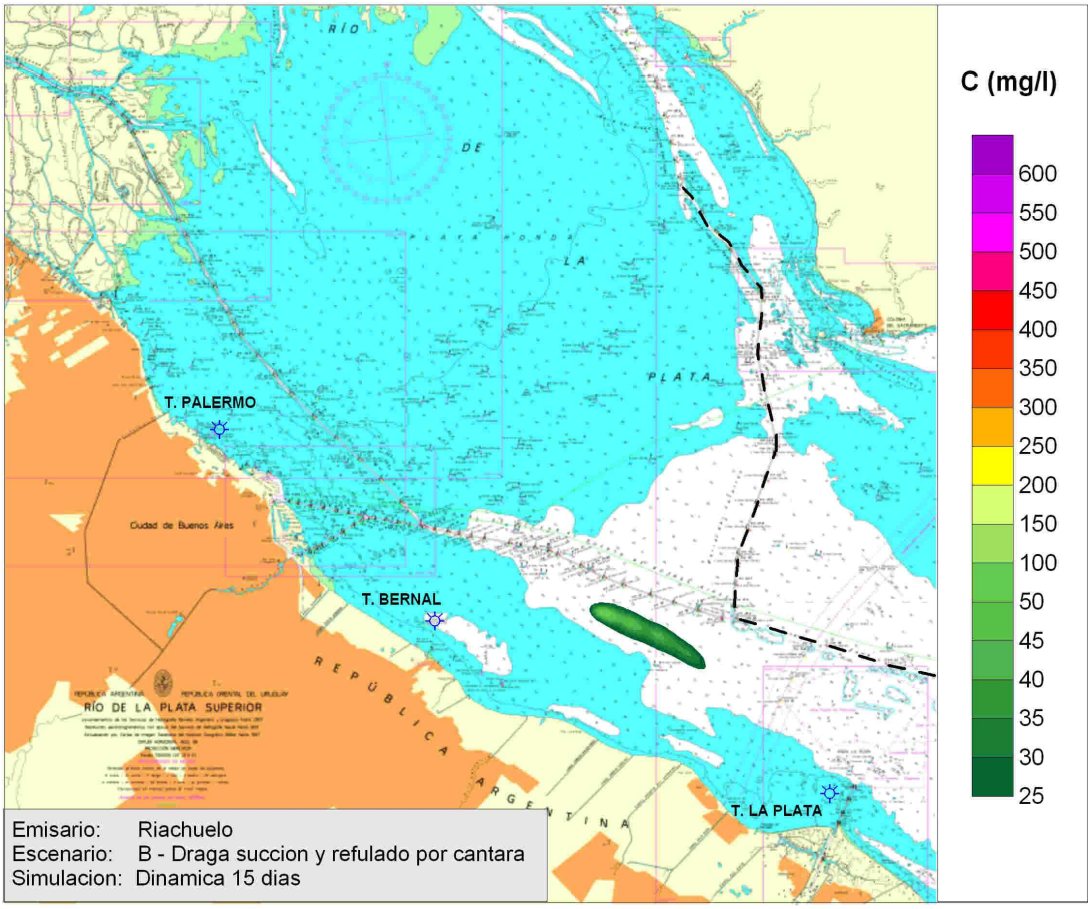

Figura A.6.5.2.2.18 – Distribución superficial de la concentración: día 9 hora 24.

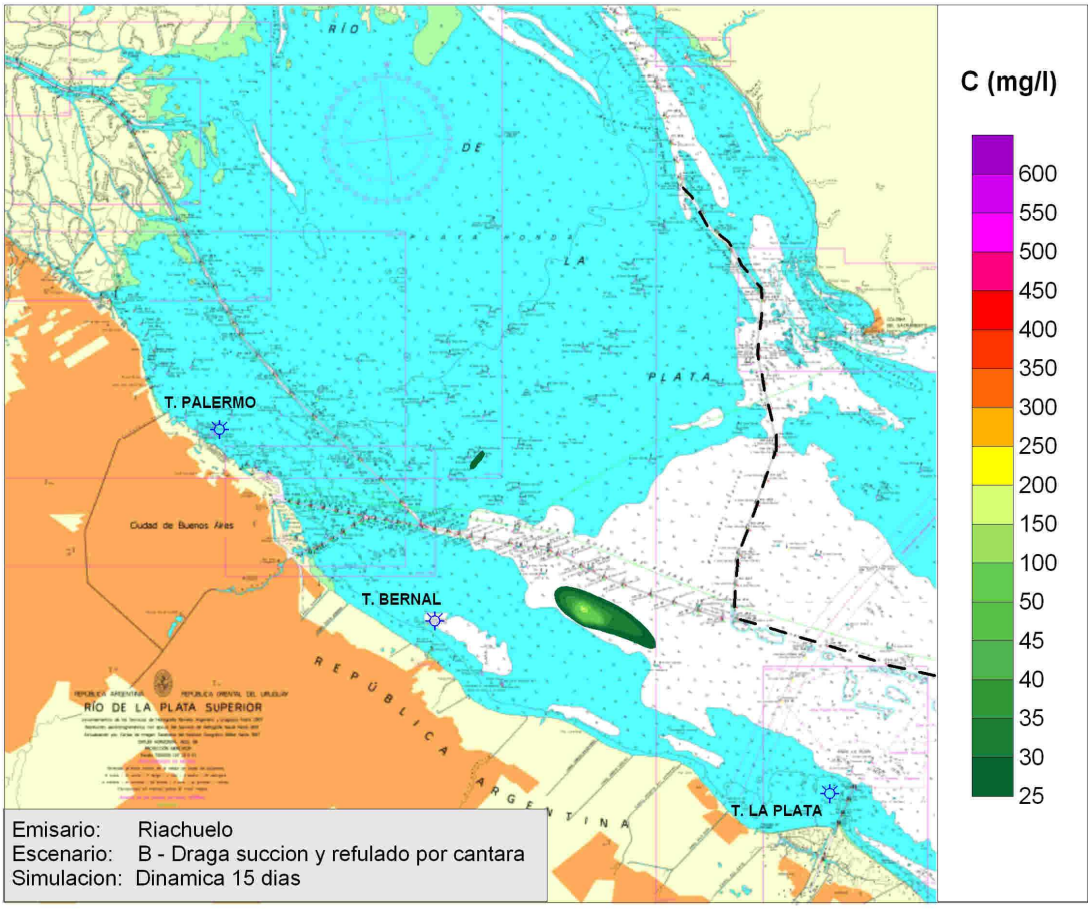

Figura A.6.5.2.2.19 – Distribución superficial de la concentración: día 10 hora 12.

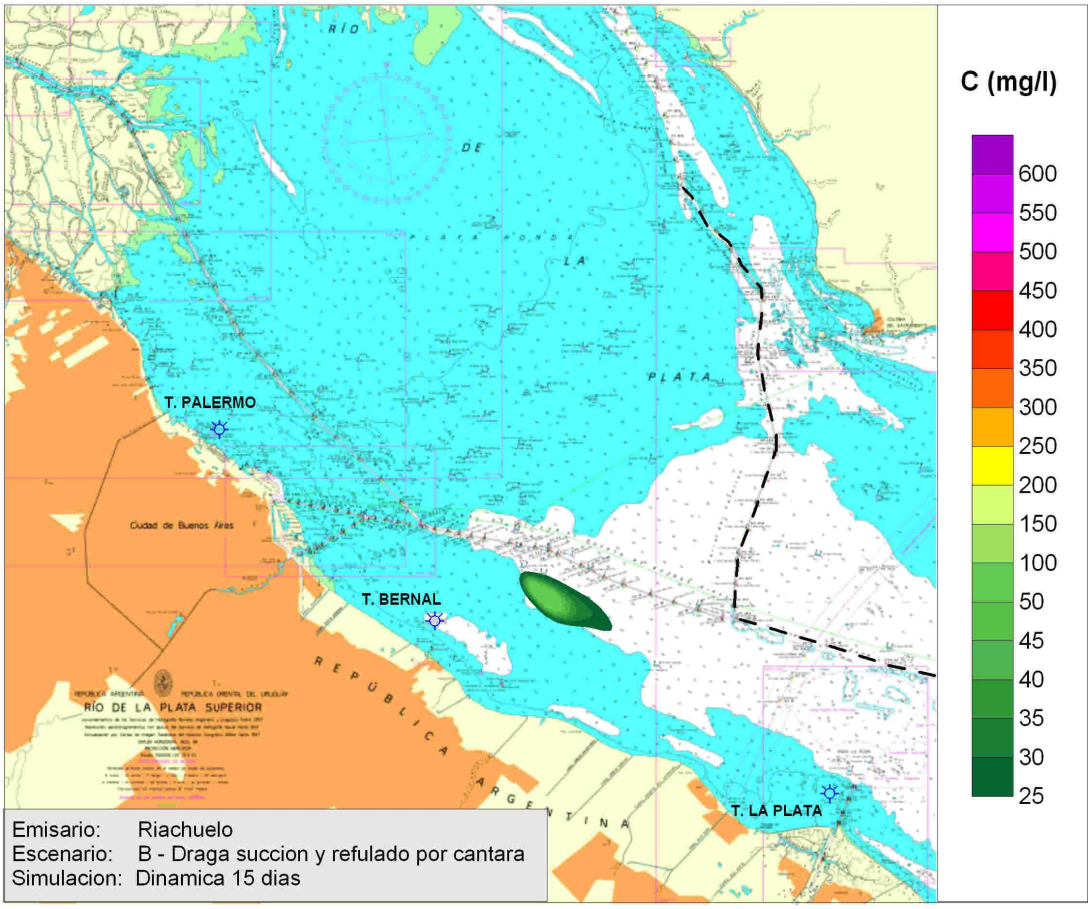

Figura A.6.5.2.2.20 – Distribución superficial de la concentración: día 10 hora 24.

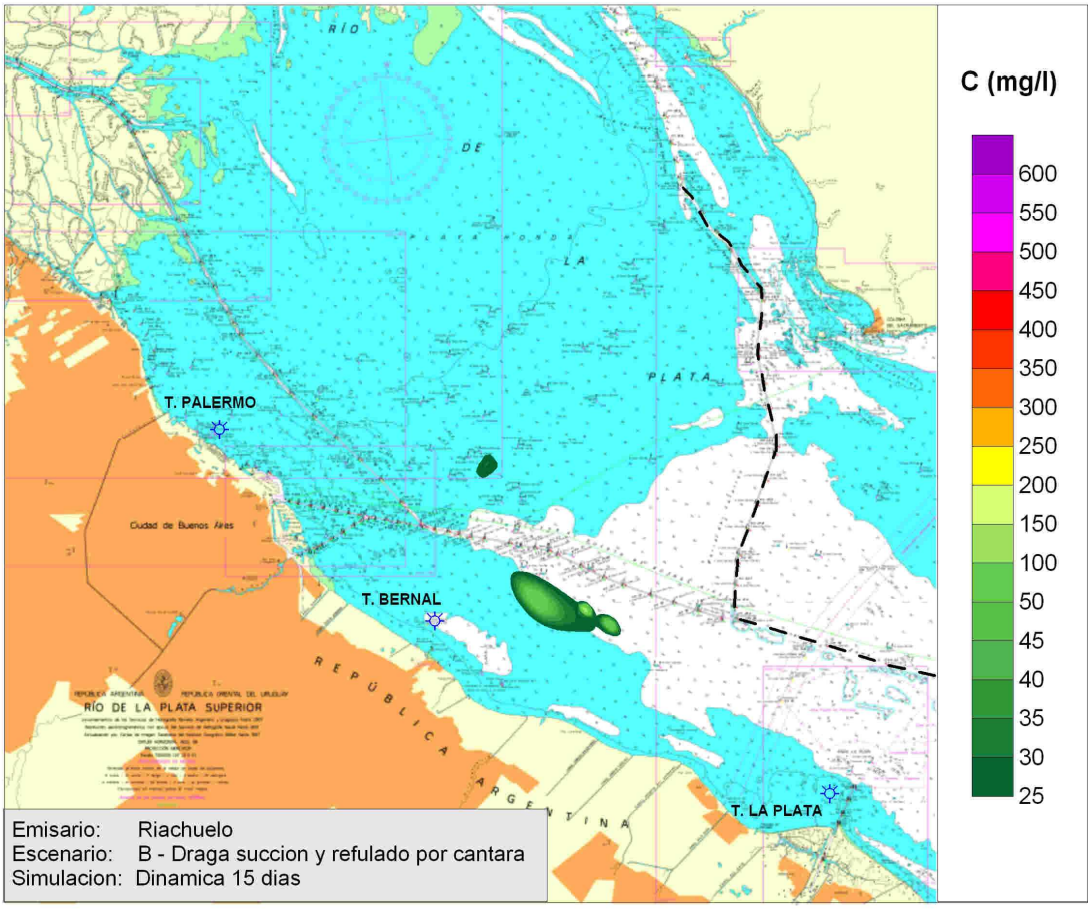

Figura A.6.5.2.2.21 – Distribución superficial de la concentración: día 11 hora 12.

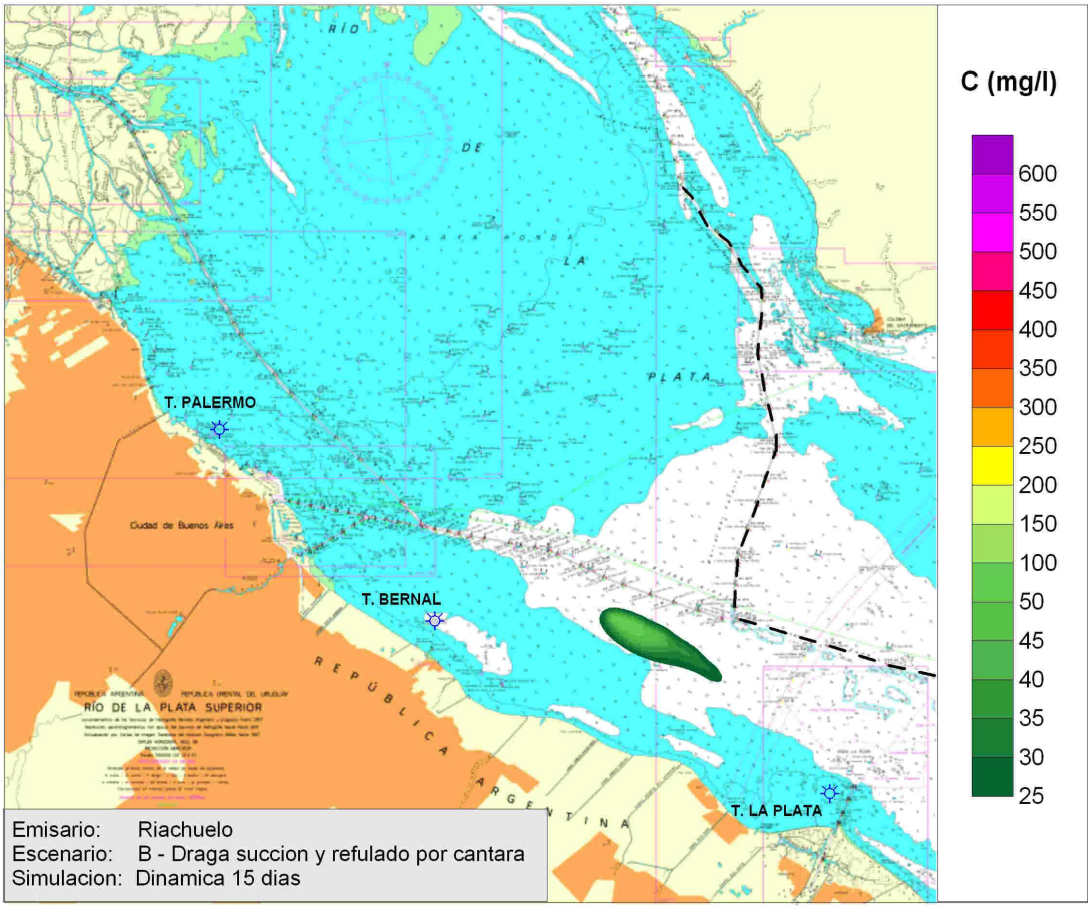

Figura A.6.5.2.2.22 – Distribución superficial de la concentración: día 11 hora 24.

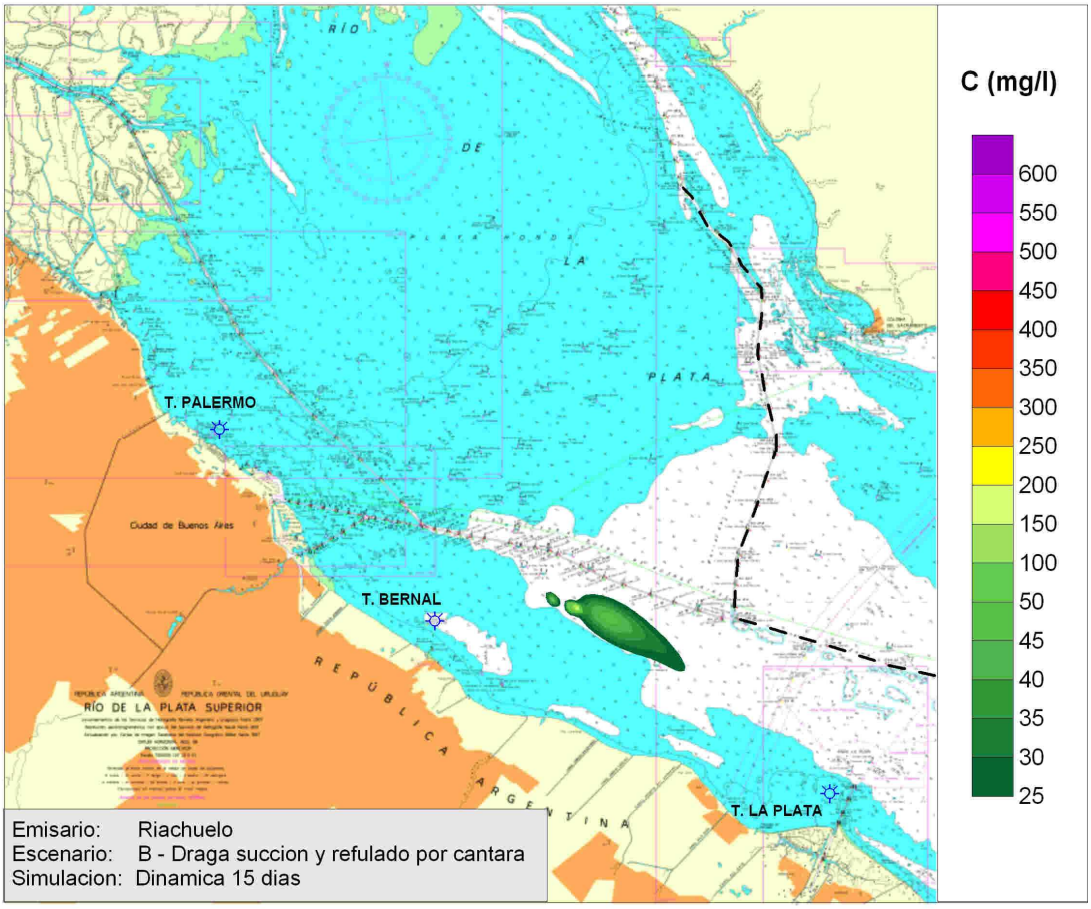

Figura A.6.5.2.2.23 – Distribución superficial de la concentración: día 12 hora 12.

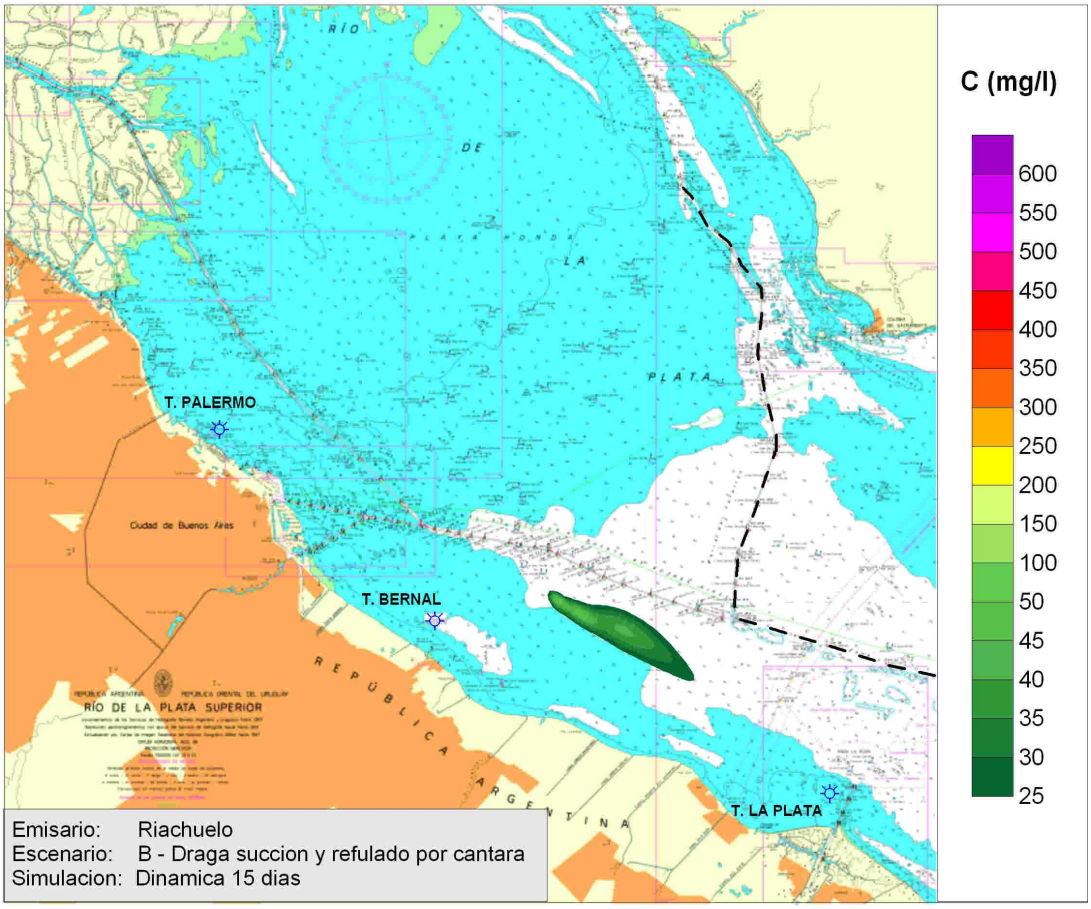

Figura A.6.5.2.2.24 – Distribución superficial de la concentración: día 12 hora 24.

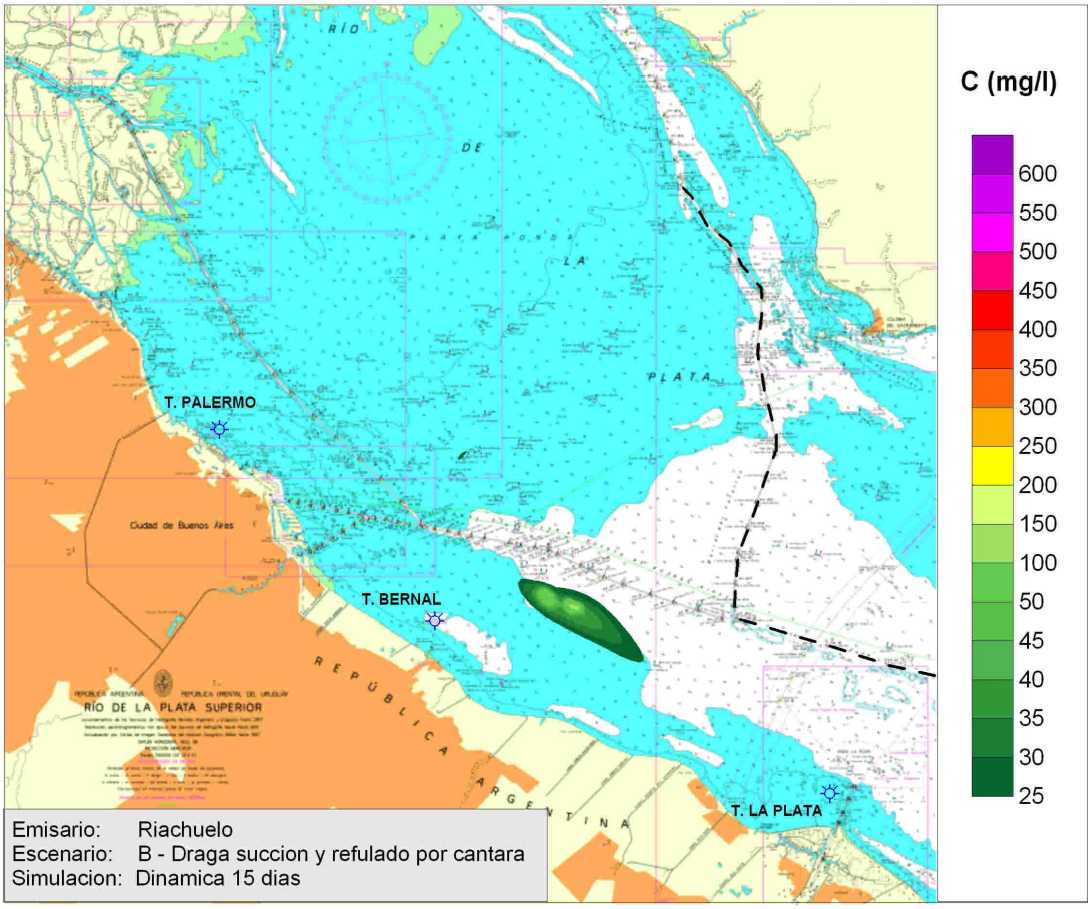

Figura A.6.5.2.2.25 – Distribución superficial de la concentración: día 13 hora 12.

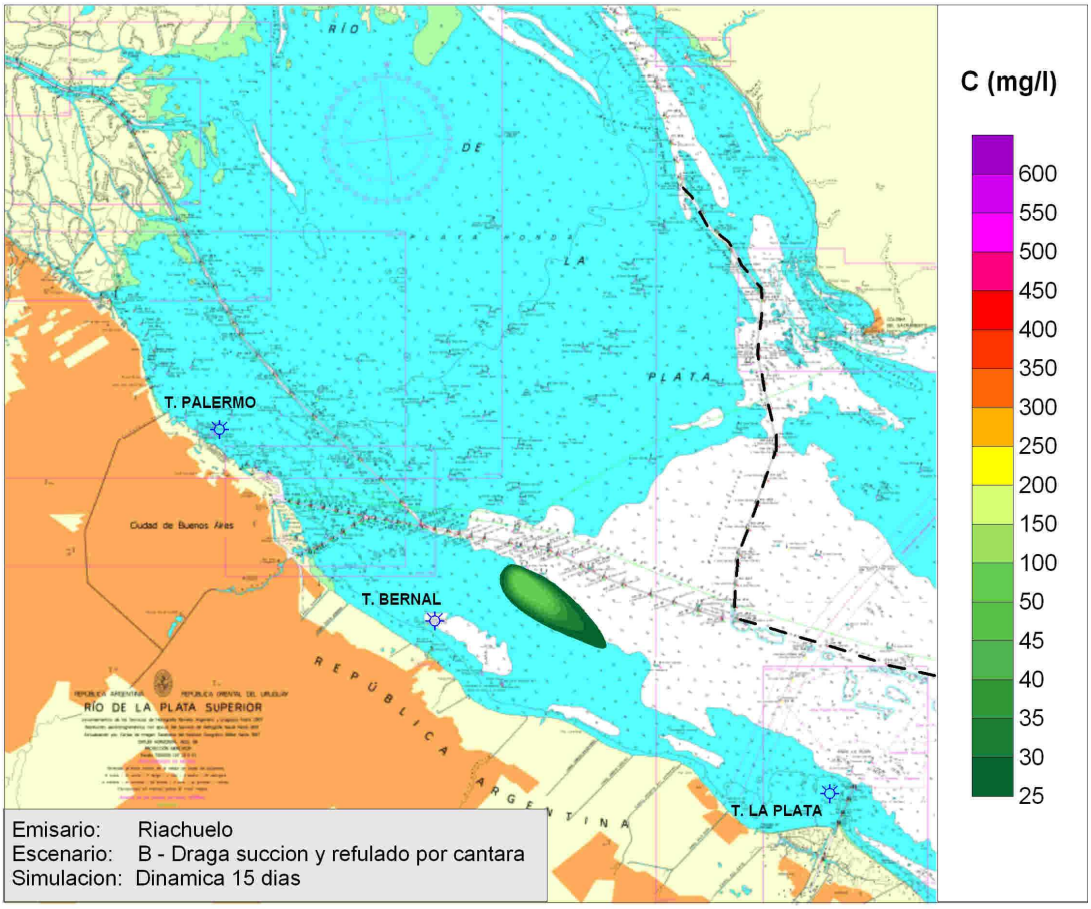

Figura A.6.5.2.2.26 – Distribución superficial de la concentración: día 13 hora 24.

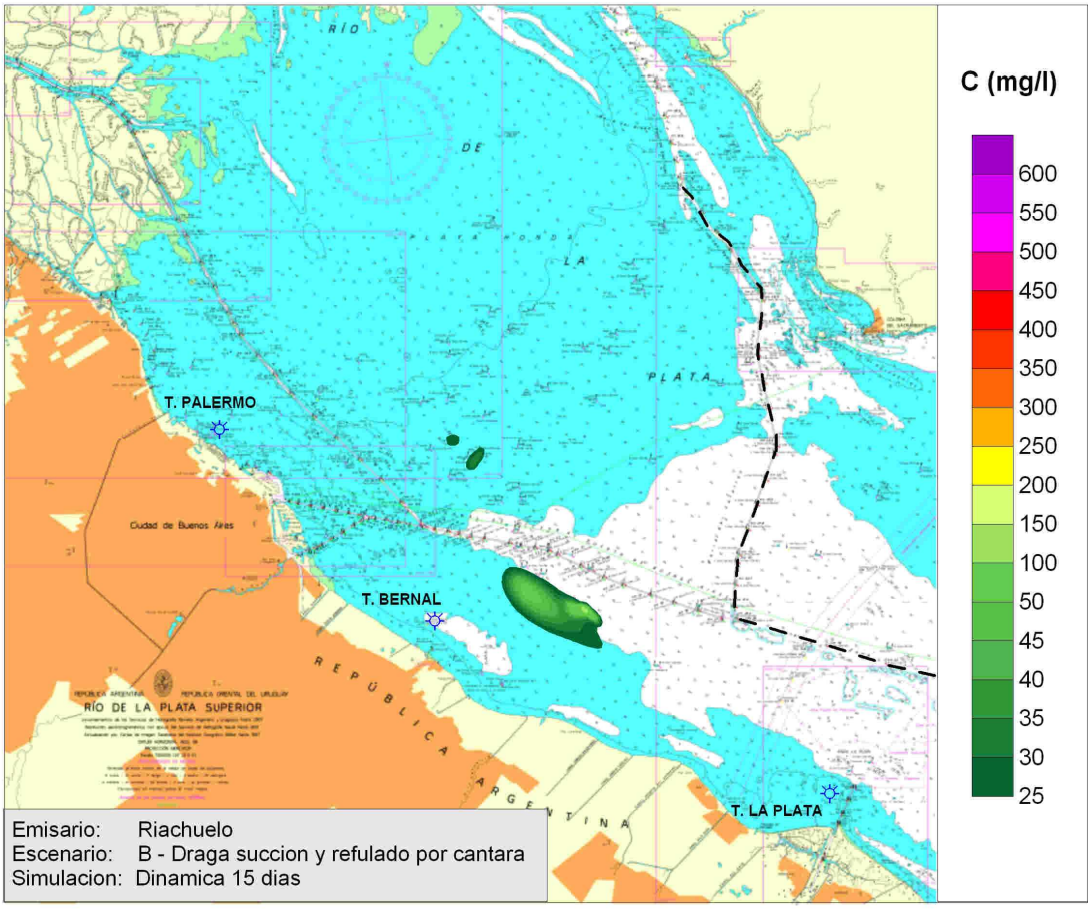

Figura A.6.5.2.2.27 – Distribución superficial de la concentración: día 14 hora 12.

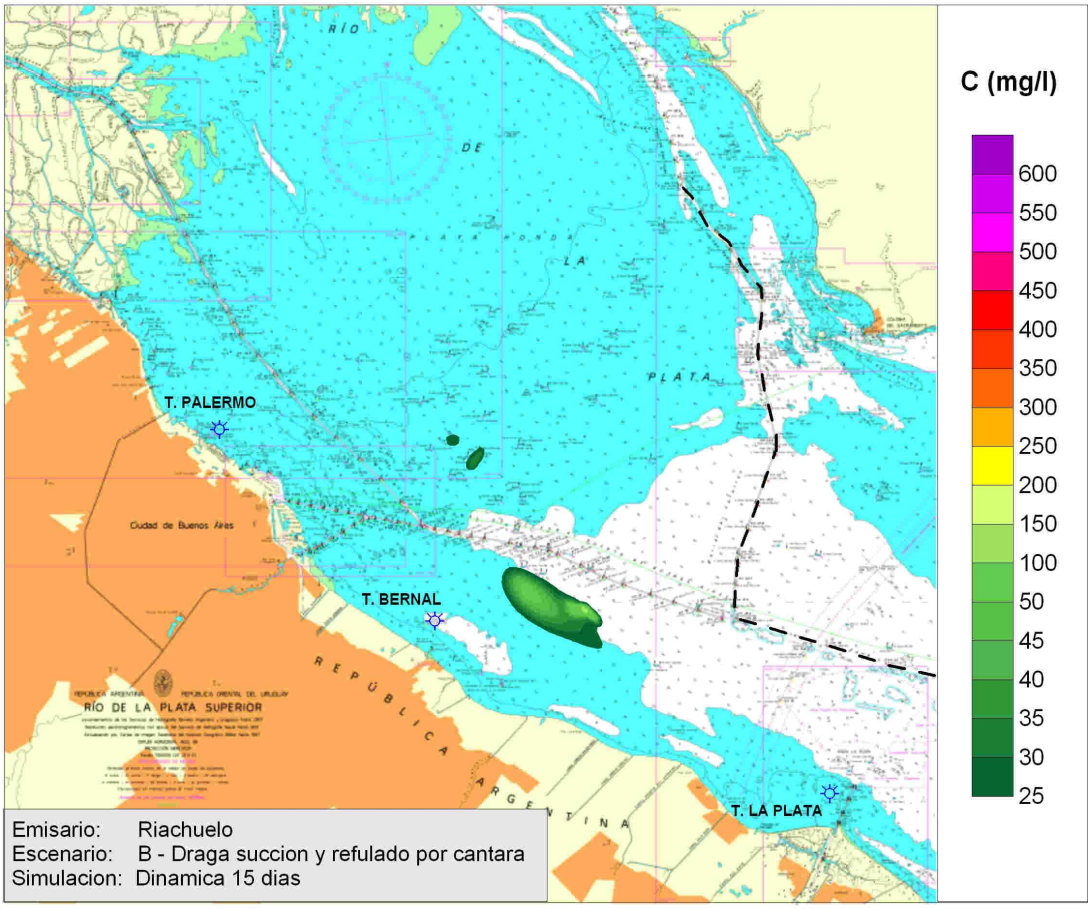

Figura A.6.5.2.2.28 – Distribución superficial de la concentración: día 14 hora 24.

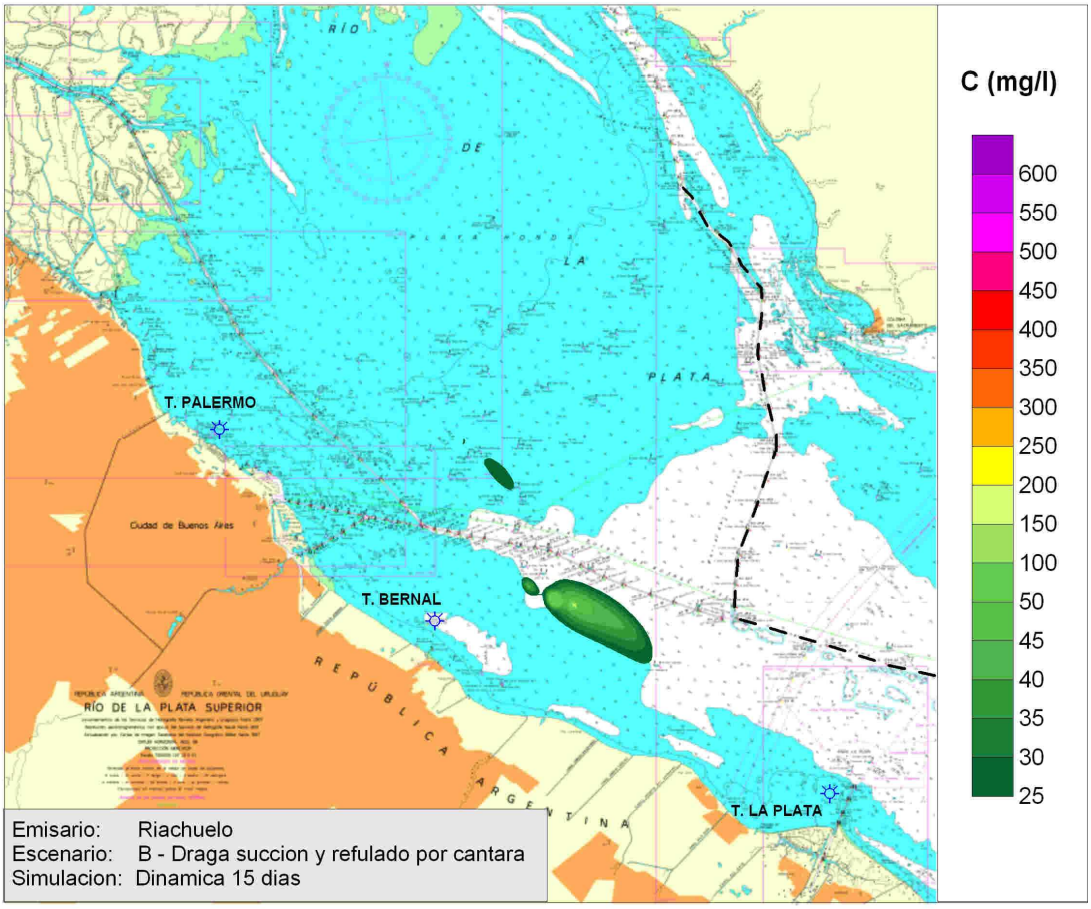

Figura A.6.5.2.2.29 – Distribución superficial de la concentración: día 15 hora 12.

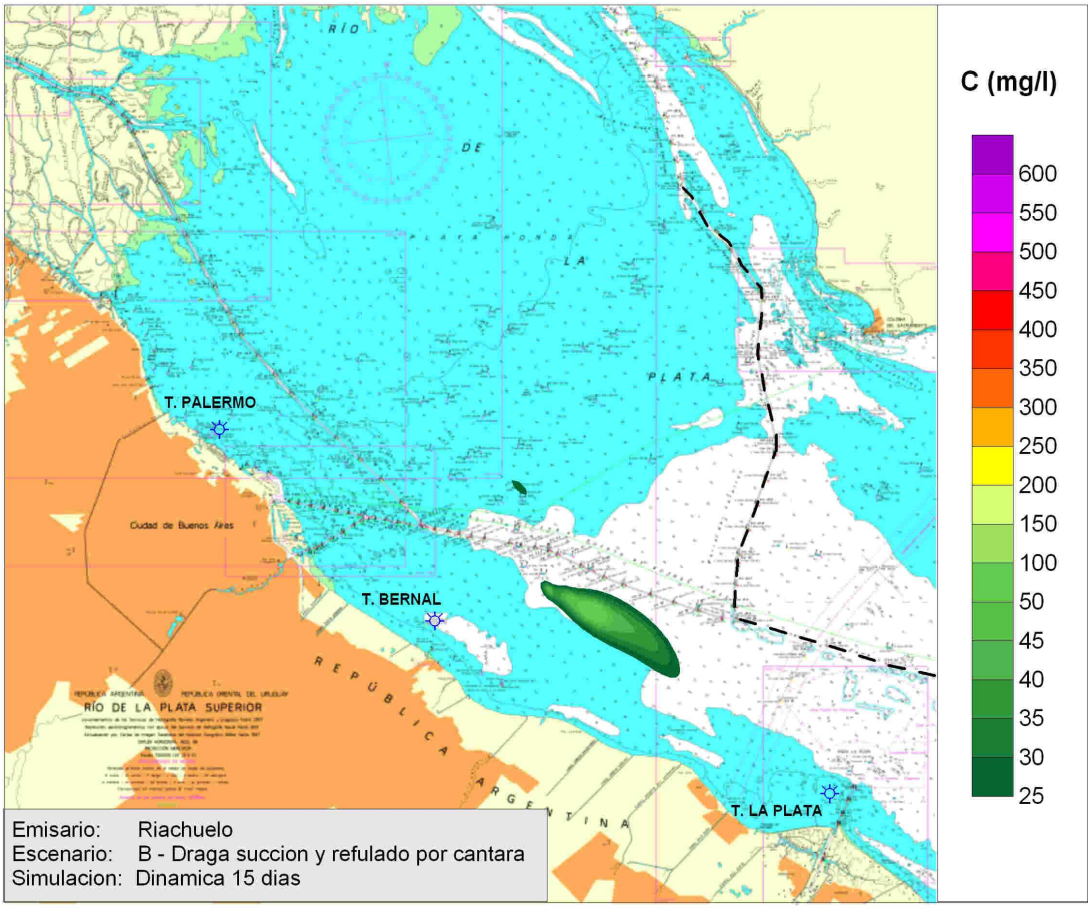

Figura A.6.5.2.2.30 – Distribución superficial de la concentración: día 15 hora 24.

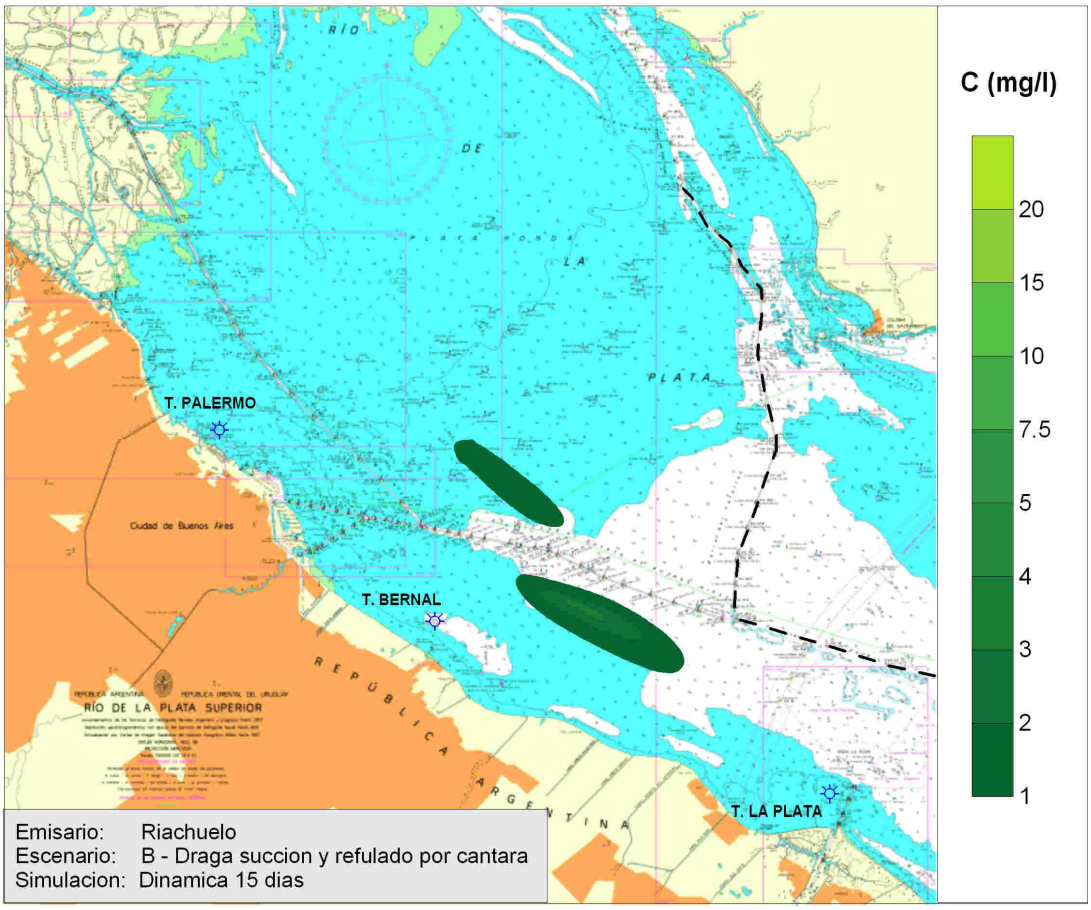

Figura A.6.5.2.2.31 – Distribución superficial de la concentración promedio durante los 15 días de la simulación.

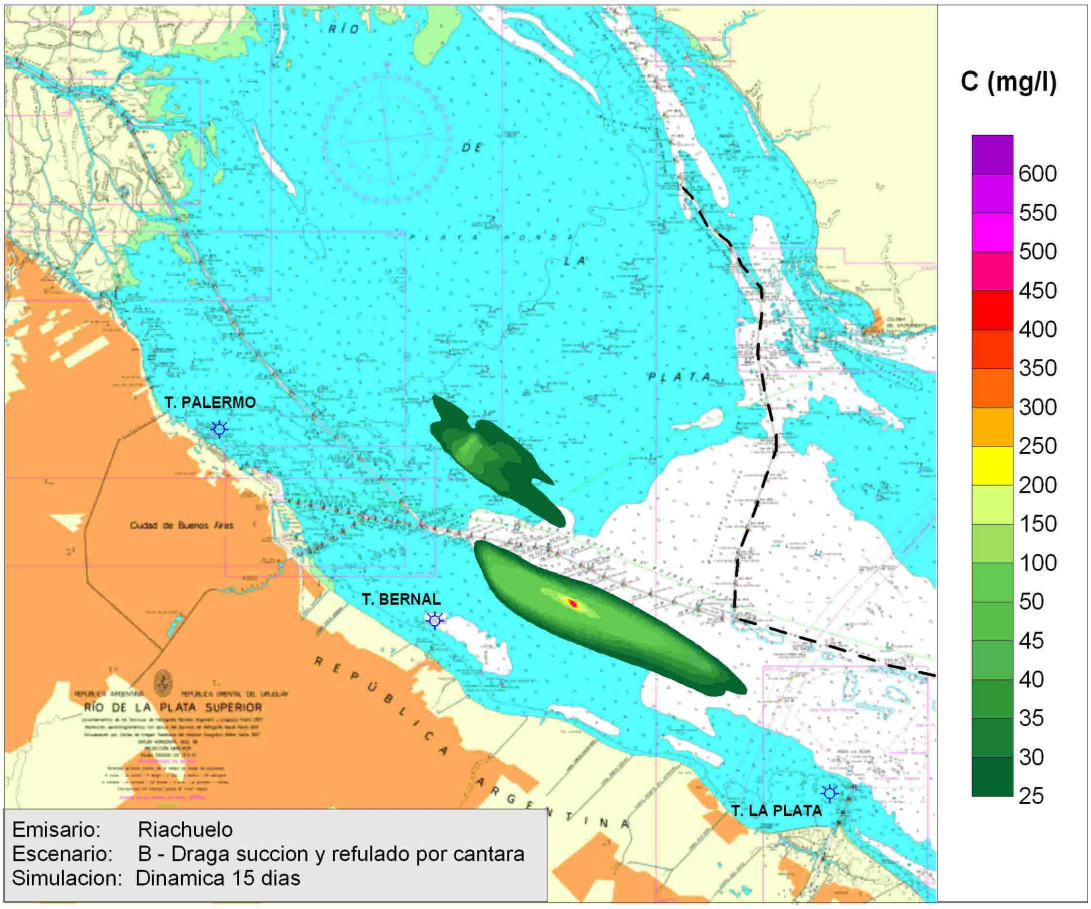

Figura A.6.5.2.2.32 – Distribución superficial de la concentración máxima durante los 15 días de la simulación.

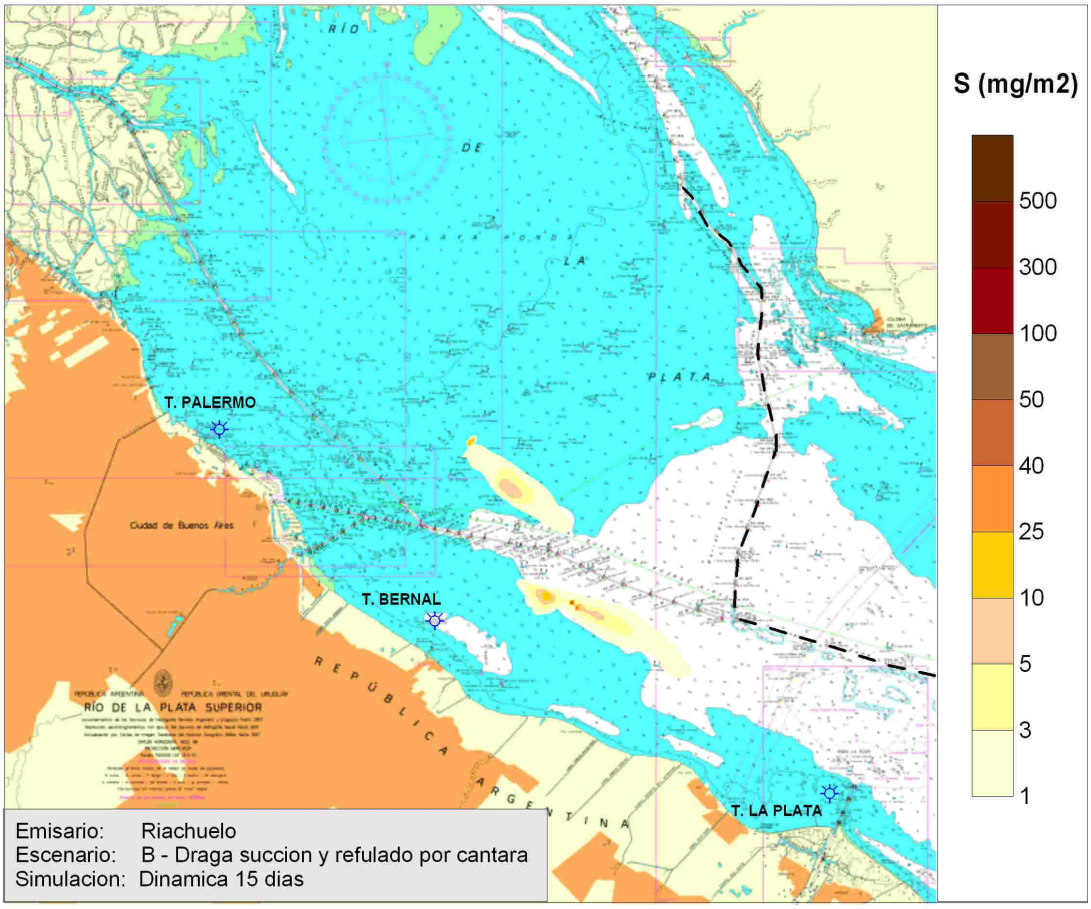

Figura A.6.5.2.2.33 – Distribución superficial de la masa sedimentada durante los 15 días de la simulación.

ANEXO 6.5.3.1

Dragado con refulado in-situ mediante cañón proyector en emisario Riachuelo

Evolución de parámetros en estaciones fijas.

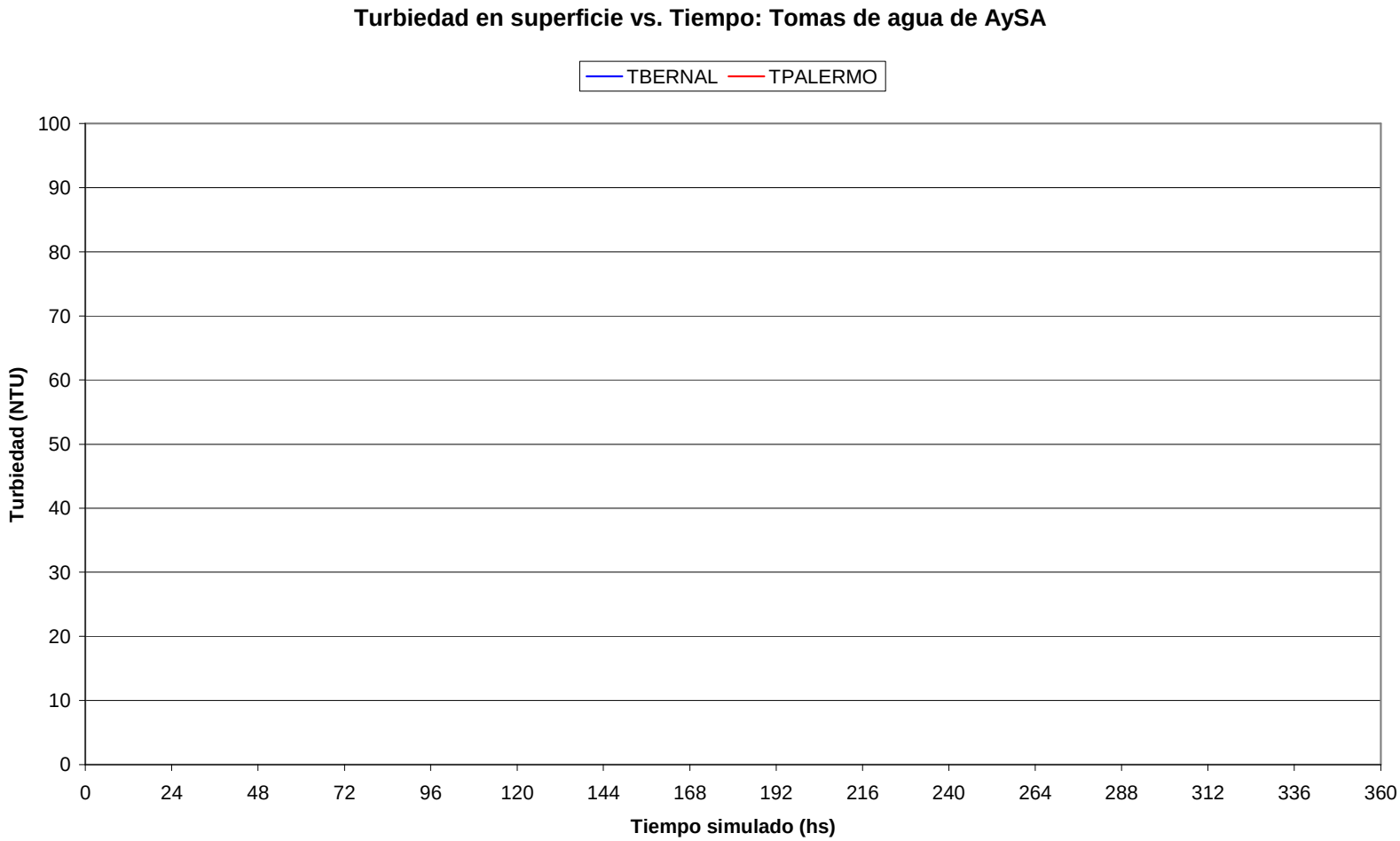

Figura A.6.5.3.1.1 – Turbiedad en tomas de agua. Capa superficial. No se observan niveles mensurables de sobre-concentración.

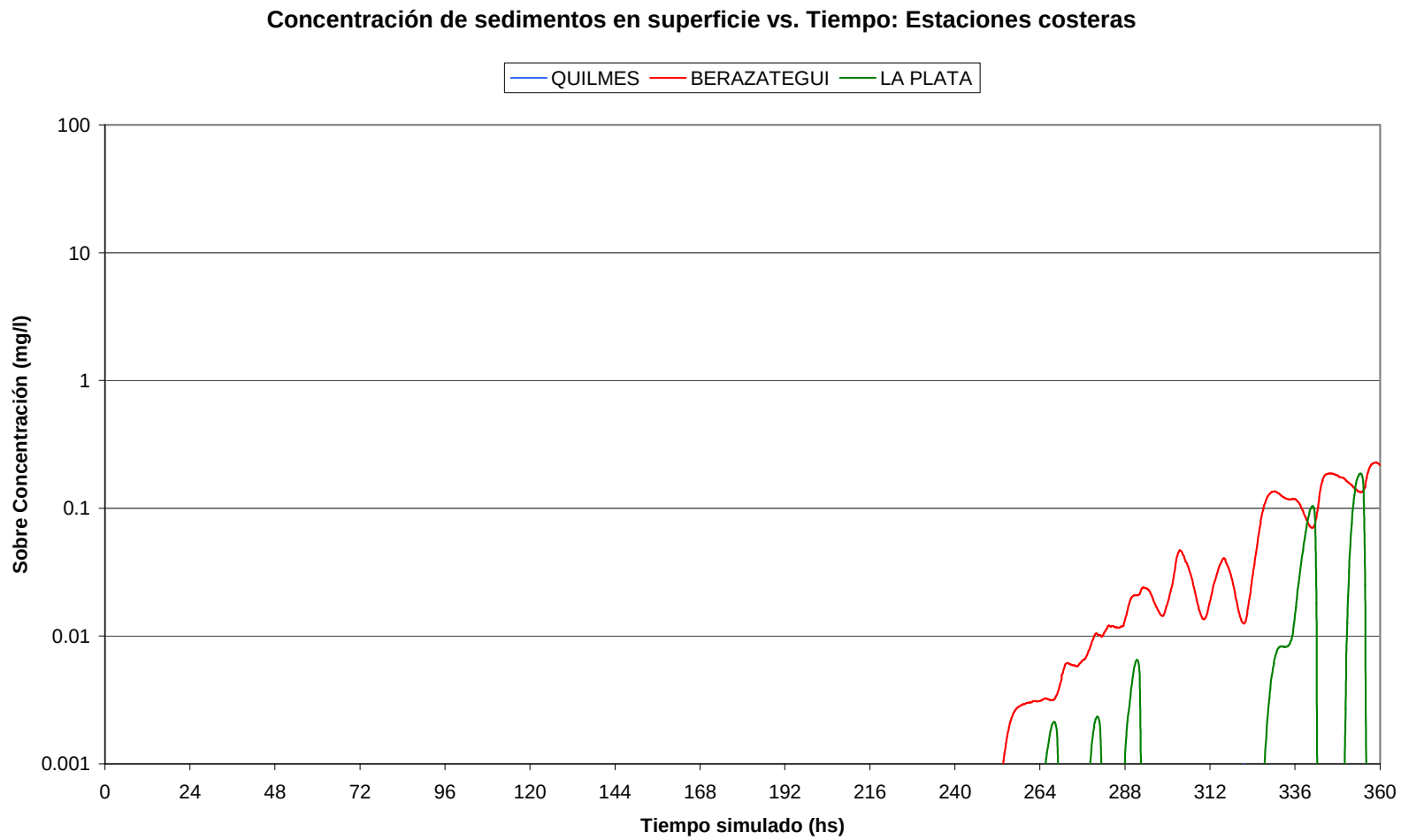

Figura A.6.5.3.1.2 – Concentración de sedimentos en áreas costeras. Capa superficial.

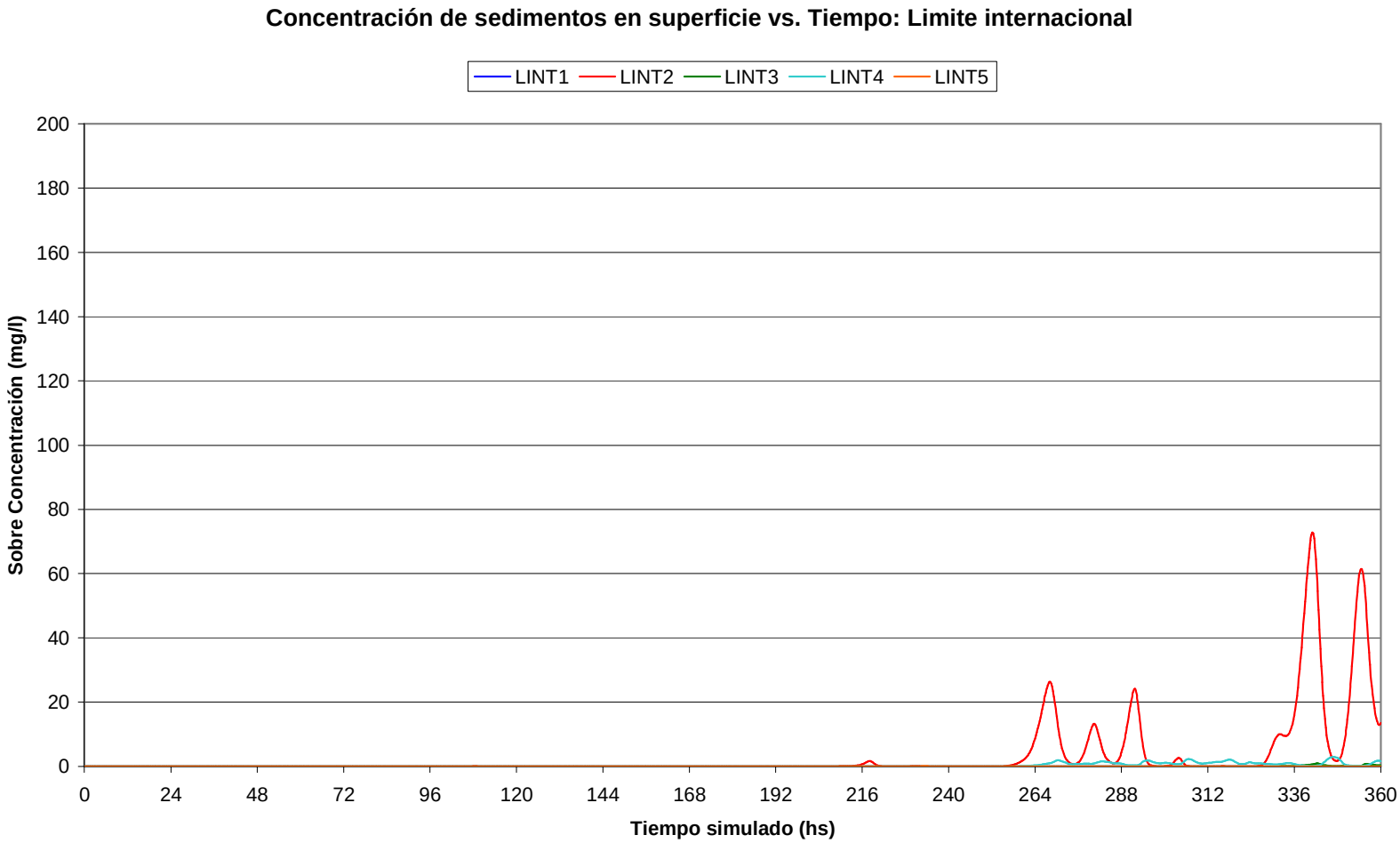

Figura A.6.5.3.1.3 – Concentración de sedimentos en el límite internacional. Capa superficial.

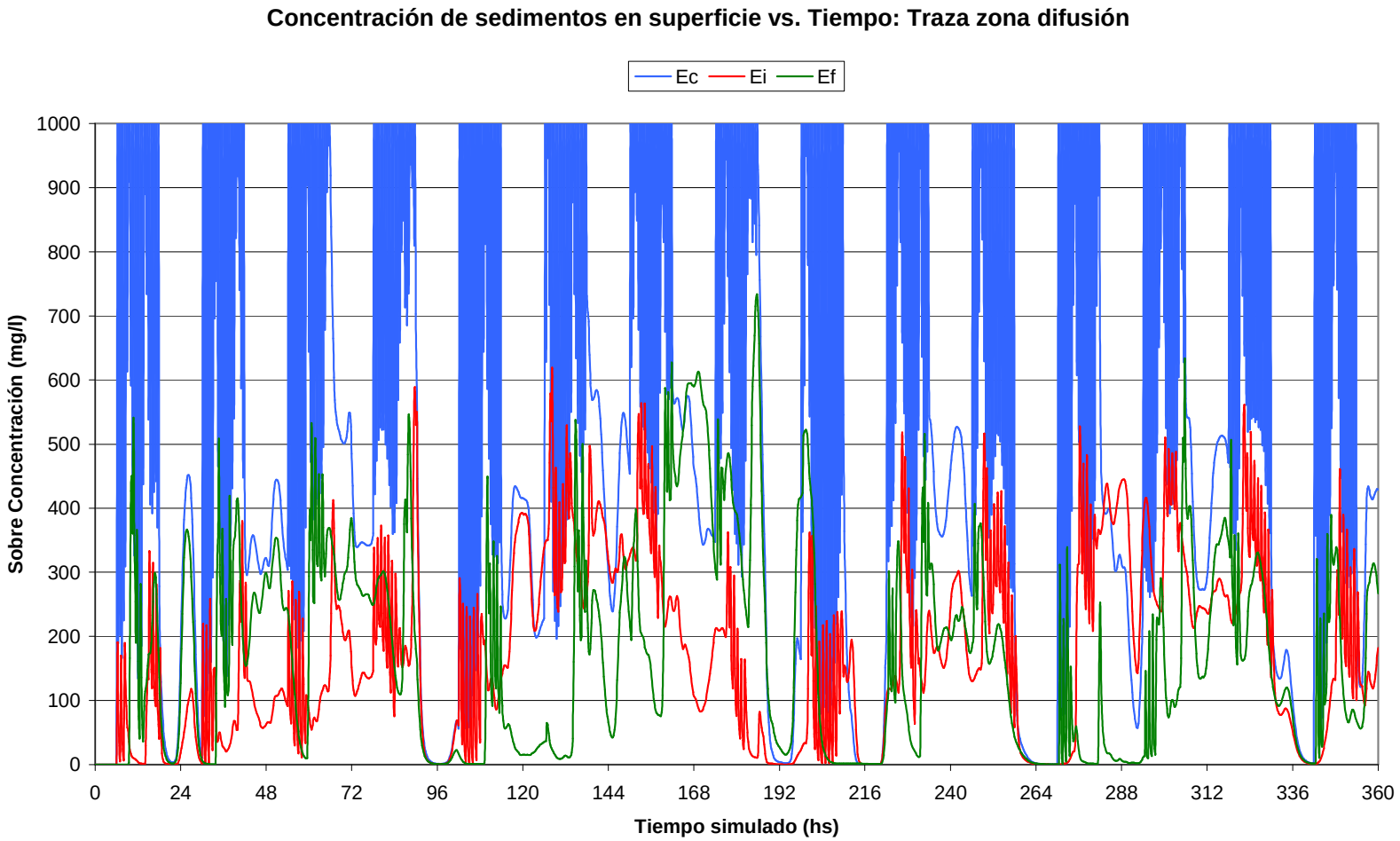

Figura A.6.5.3.1.4 – Concentración de sedimentos en la traza del emisario. Capa superficial.

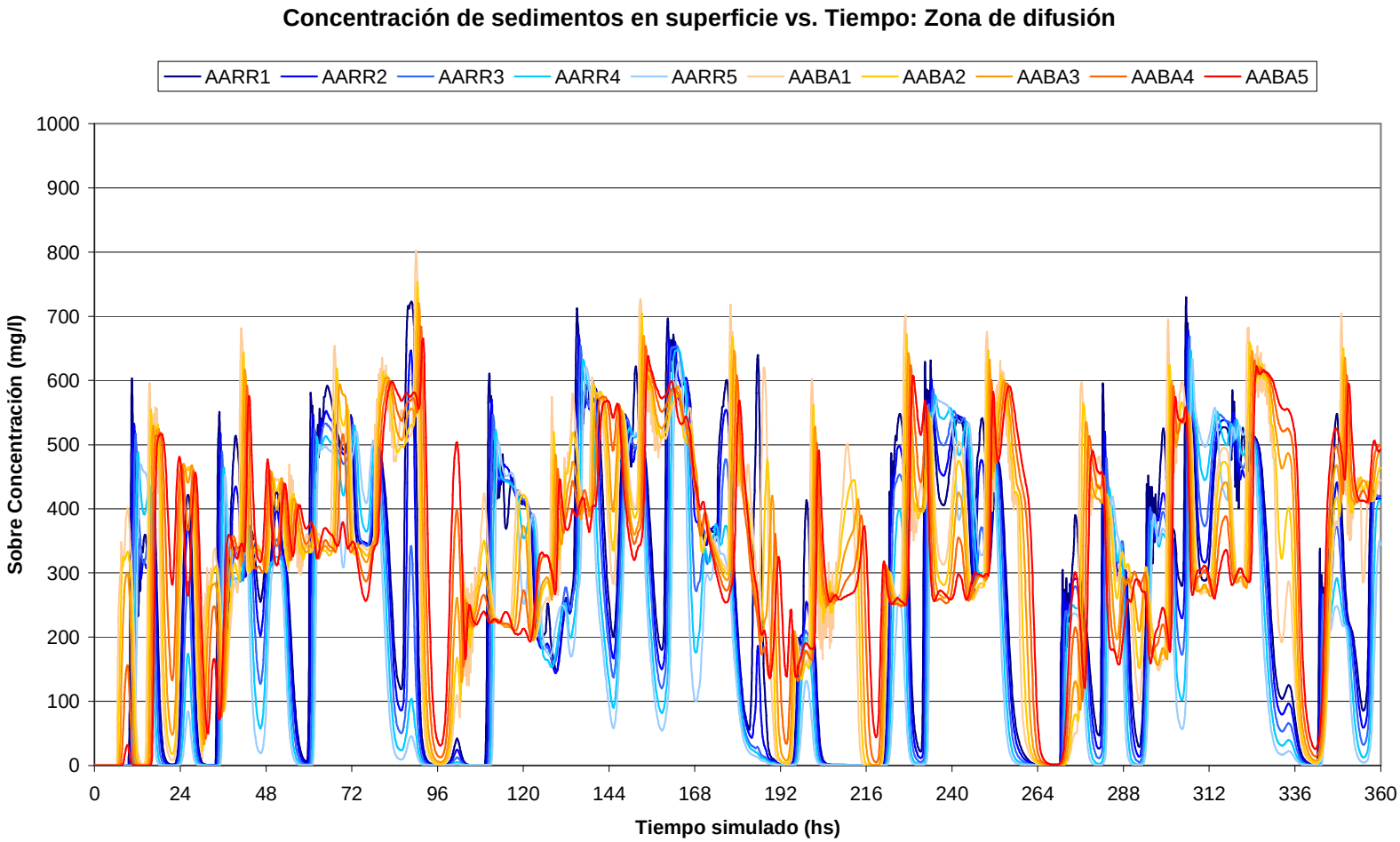

Figura A.6.5.3.1.5 – Concentración de sedimentos en la zona de difusión del emisario. Capa superficial.

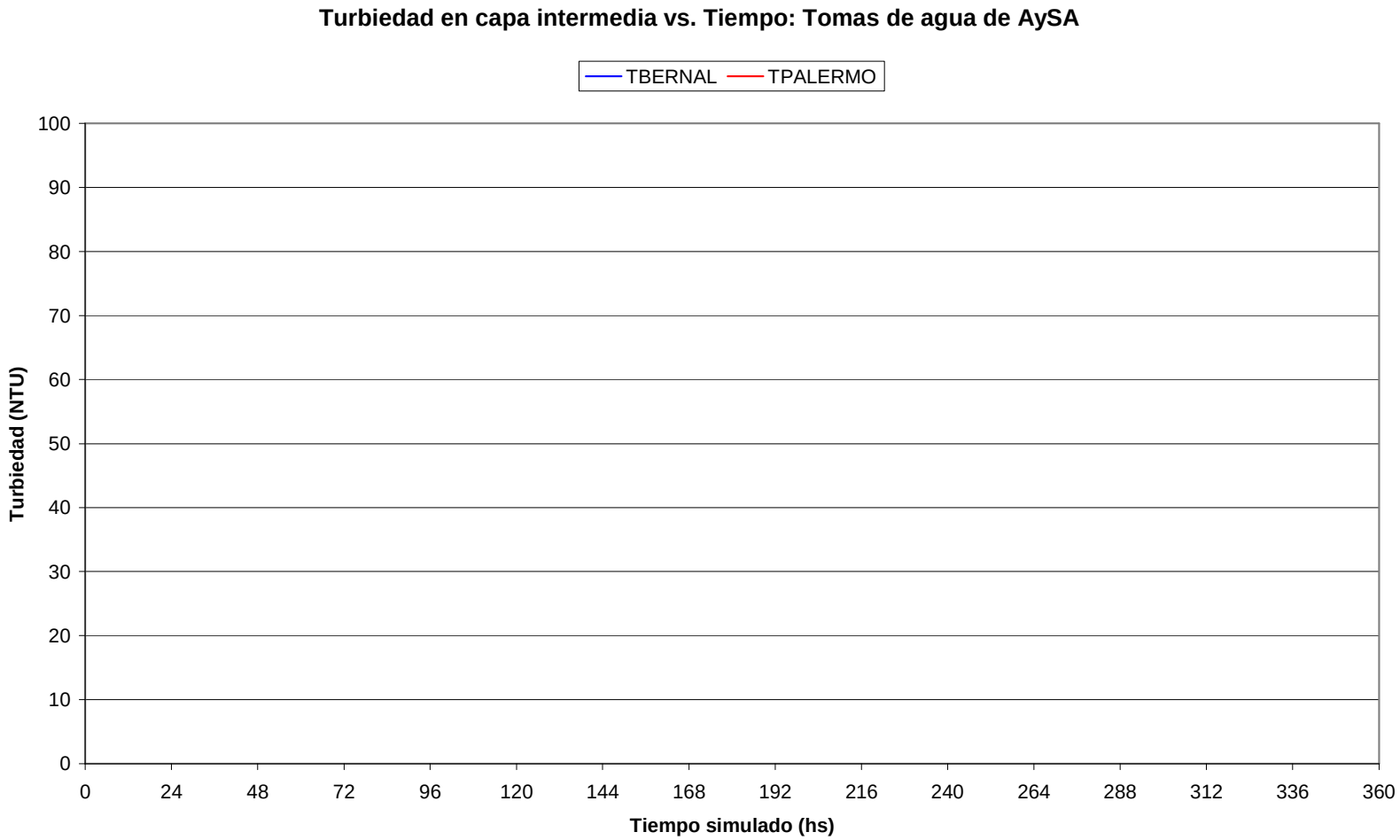

Figura A.6.5.3.1.6 – Turbiedad en tomas de agua. Capa intermedia. No se observan niveles mensurables de sobre-concentración.

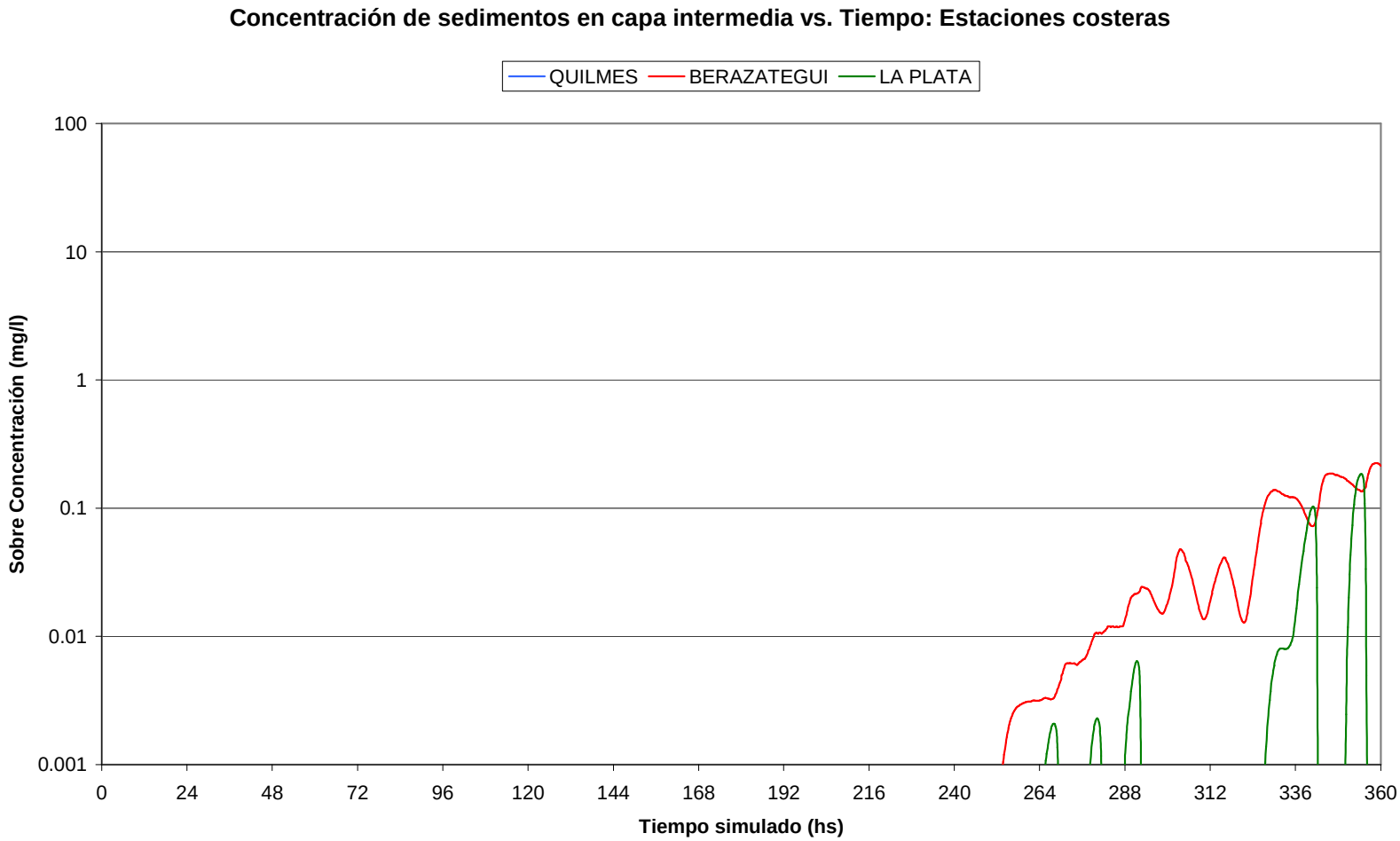

Figura A.6.5.3.1.7 – Concentración de sedimentos en áreas costeras. Capa intermedia.

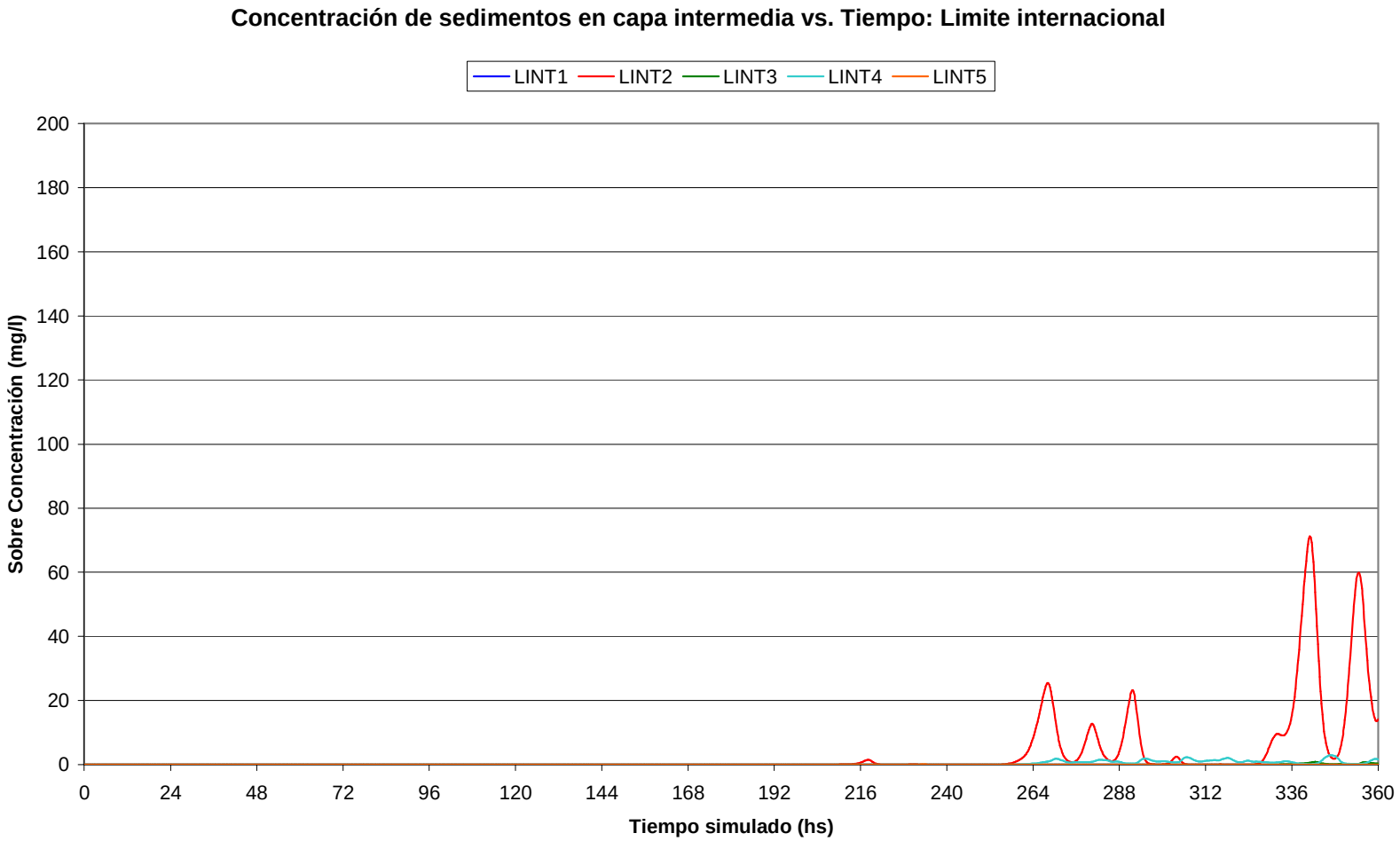

Figura A.6.5.3.1.8 – Concentración de sedimentos en el límite internacional. Capa intermedia.

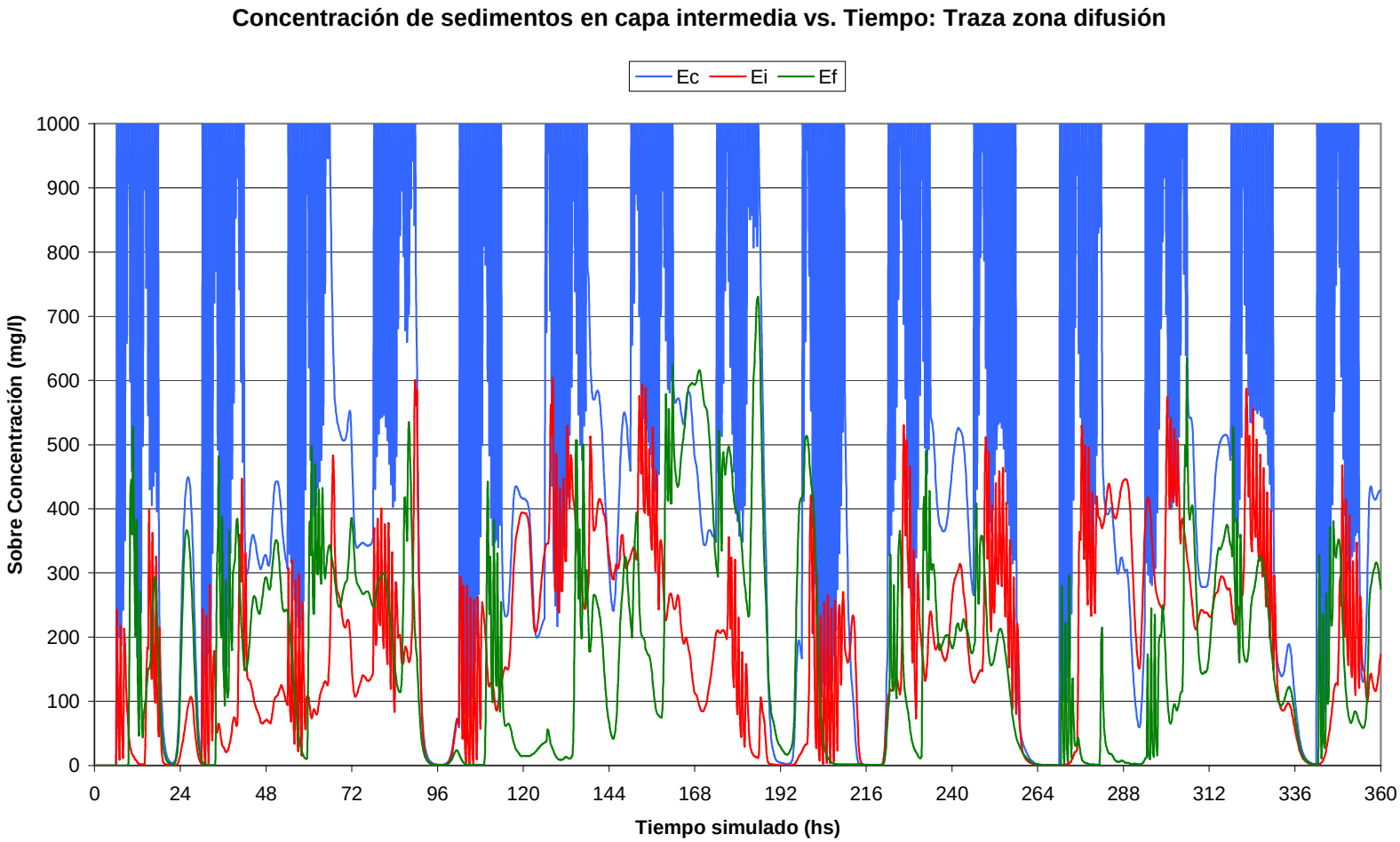

Figura A.6.5.3.1.9 – Concentración de sedimentos en la traza del emisario. Capa intermedia.

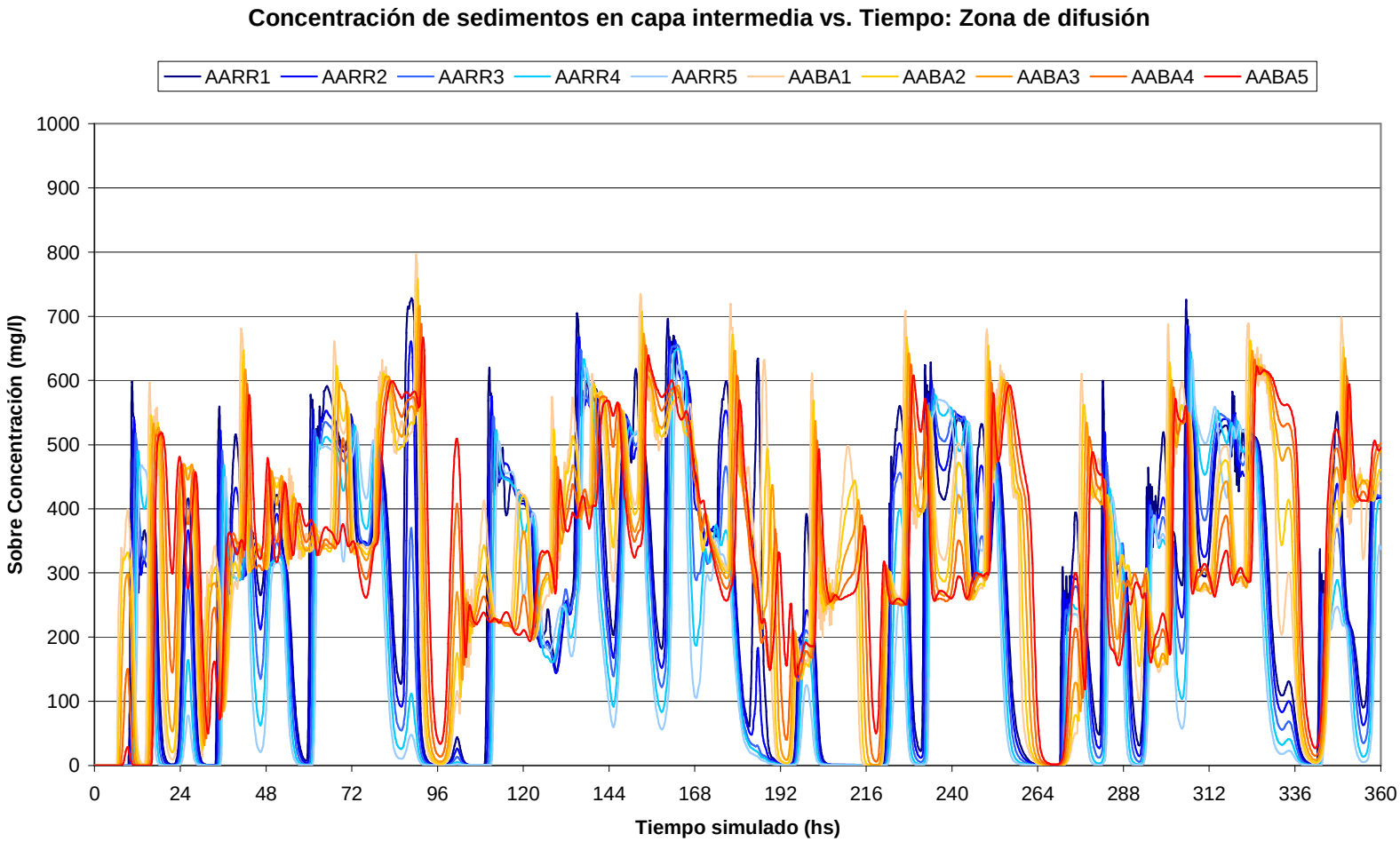

Figura A.6.5.3.1.10 – Concentración de sedimentos en la zona de difusión del emisario. Capa intermedia.

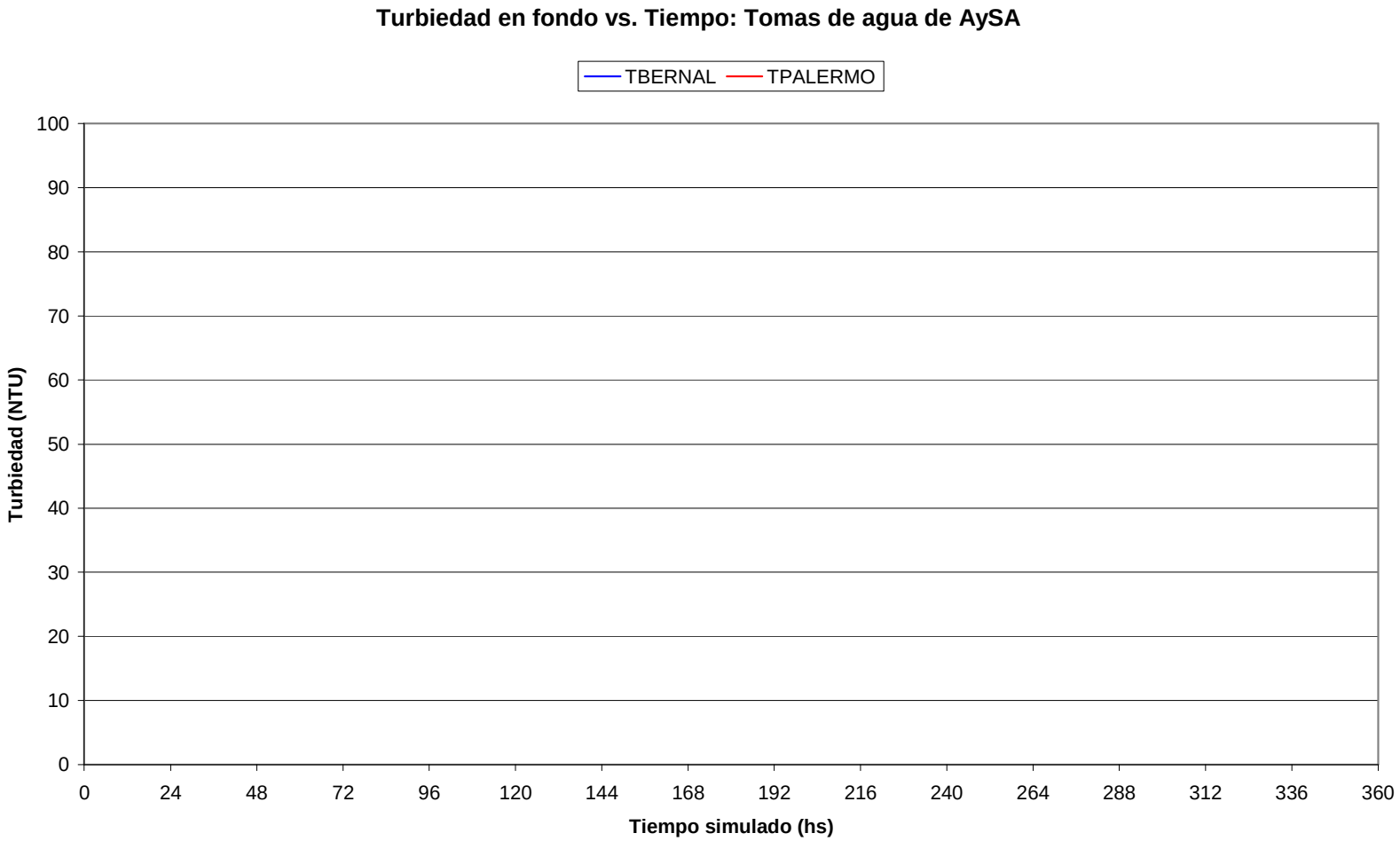

Figura A.6.5.3.1.11 – Turbiedad en tomas de agua. Capa de fondo. No se observan niveles mensurables de sobre-concentración.

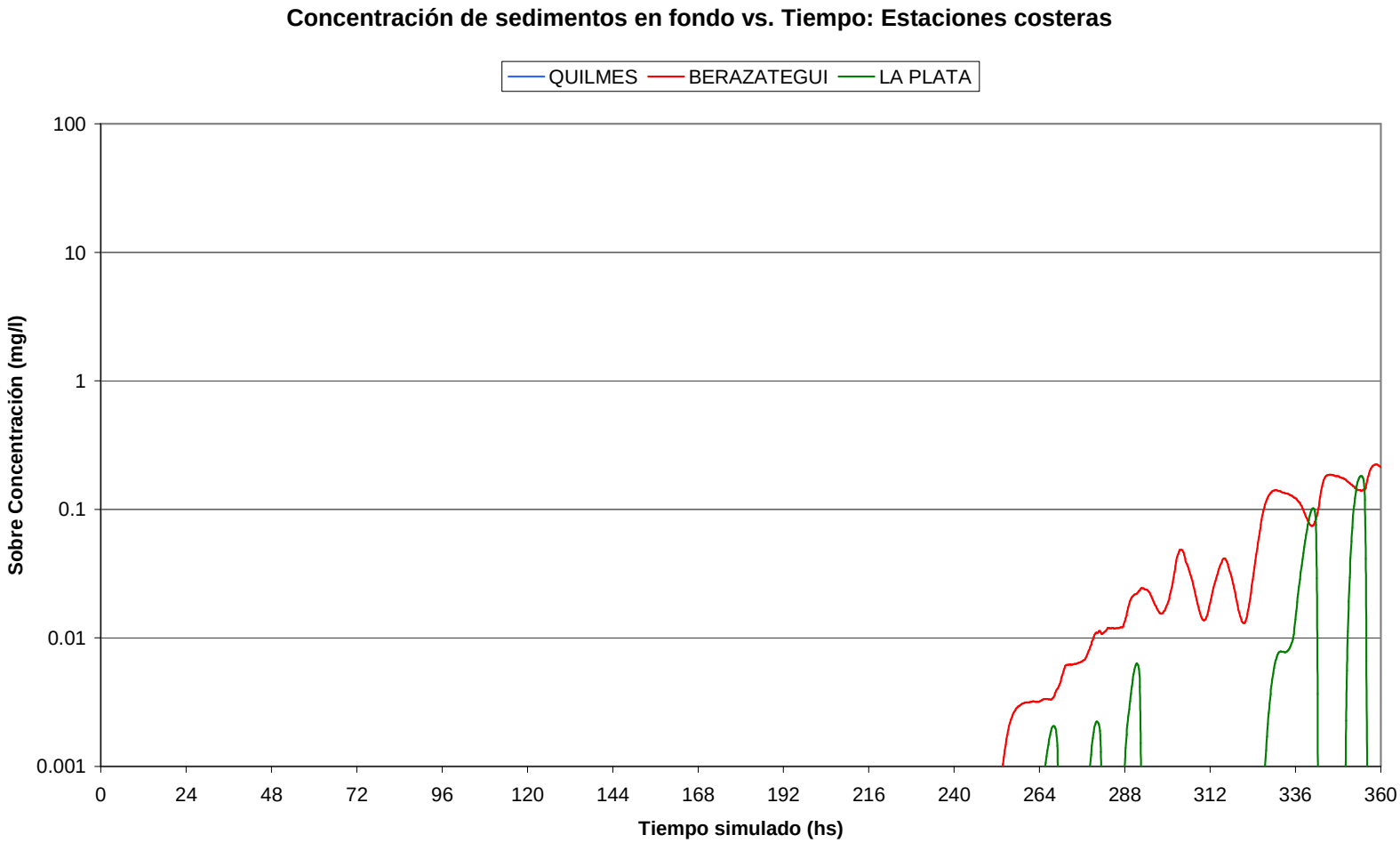

Figura A.6.5.3.1.12 – Concentración de sedimentos en áreas costeras. Capa de fondo.

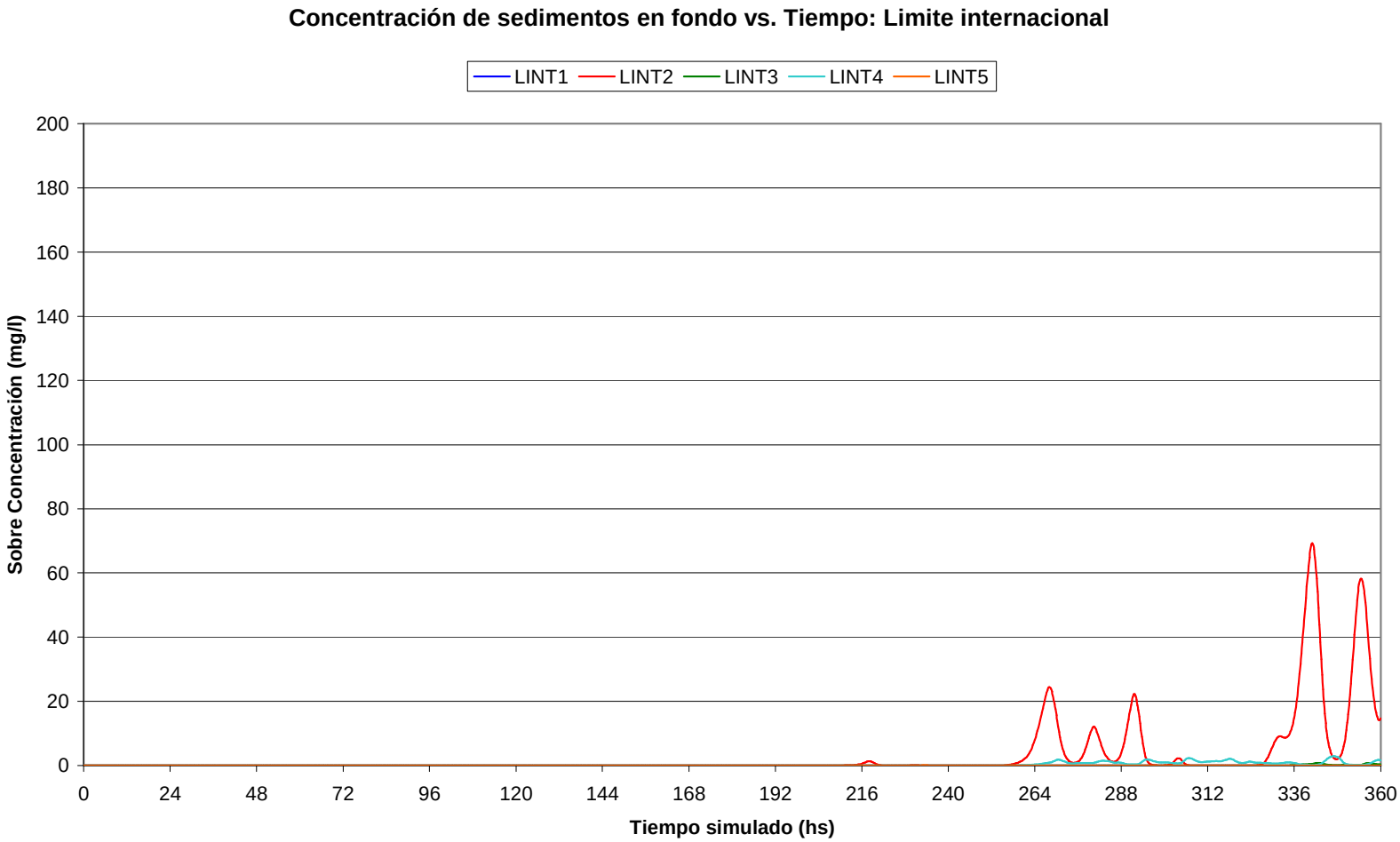

Figura A.6.5.3.1.13 – Concentración de sedimentos en el límite internacional. Capa de fondo.

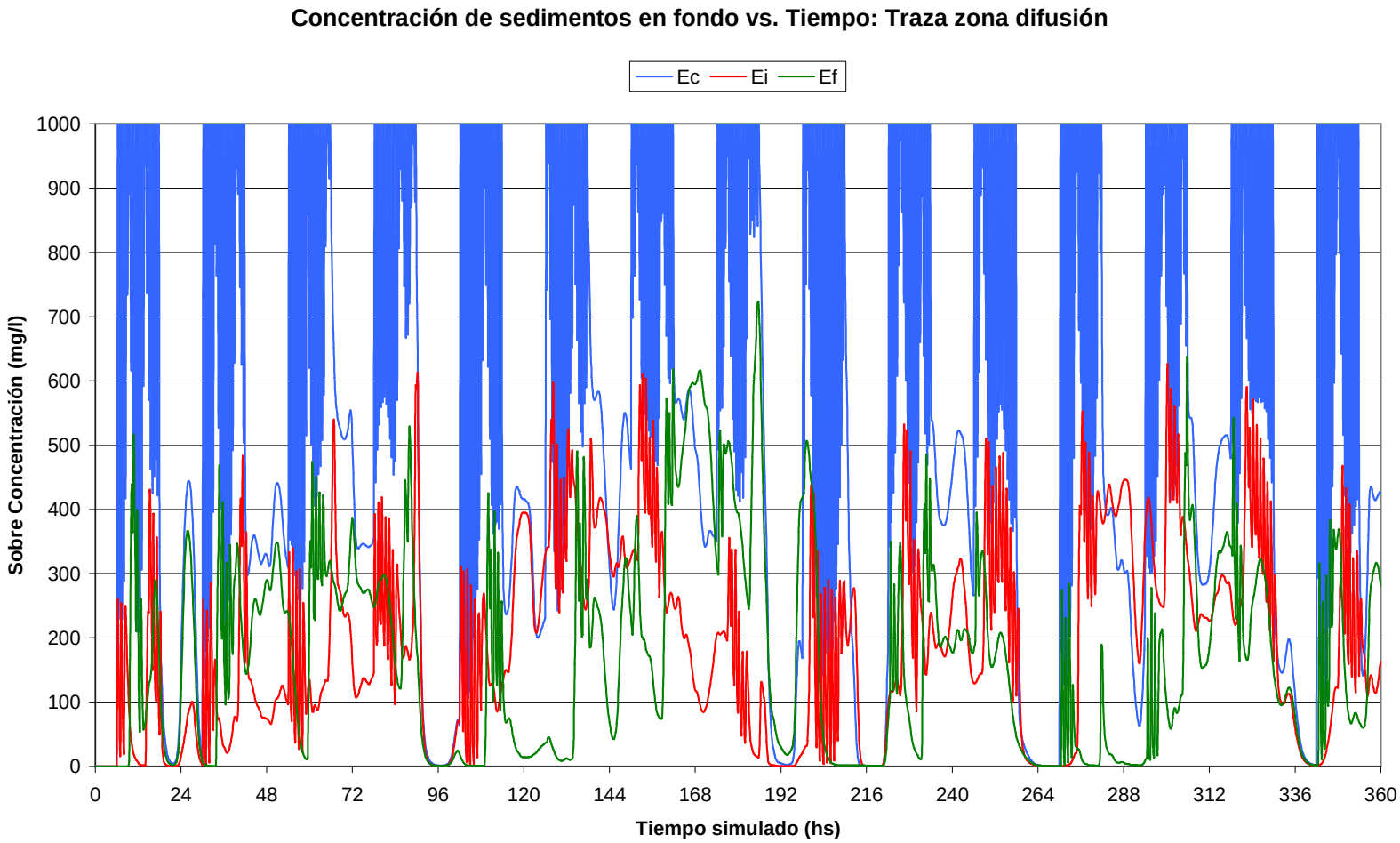

Figura A.6.5.3.1.14 – Concentración de sedimentos en la traza del emisario. Capa de fondo.

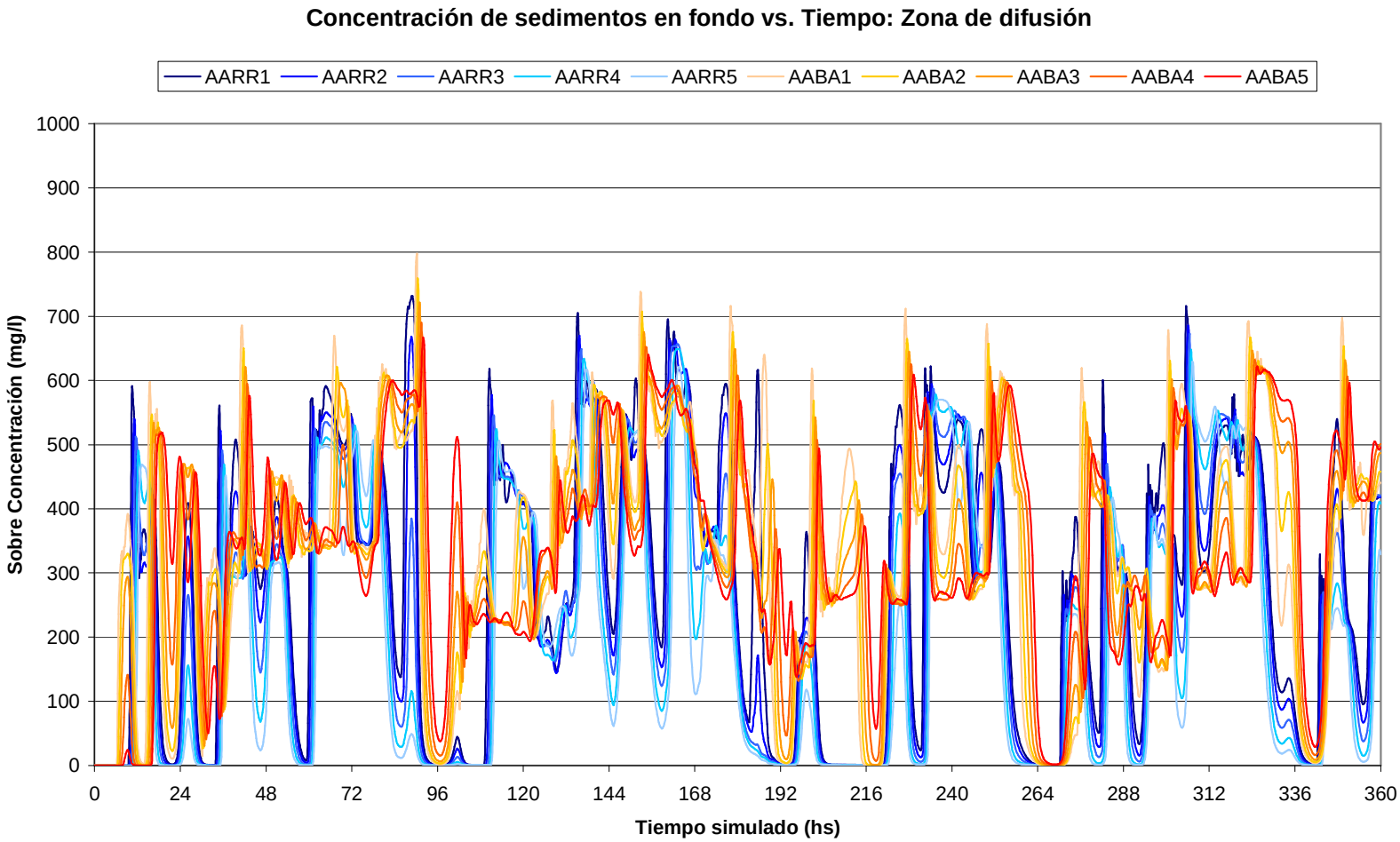

Figura A.6.5.3.1.15 – Concentración de sedimentos en la zona de difusión del emisario. Capa de fondo.

ANEXO 6.5.3.2

Dragado con refulado in-situ mediante cañón proyector en emisario Riachuelo

Distribución espacial de concentraciones y material sedimentado.

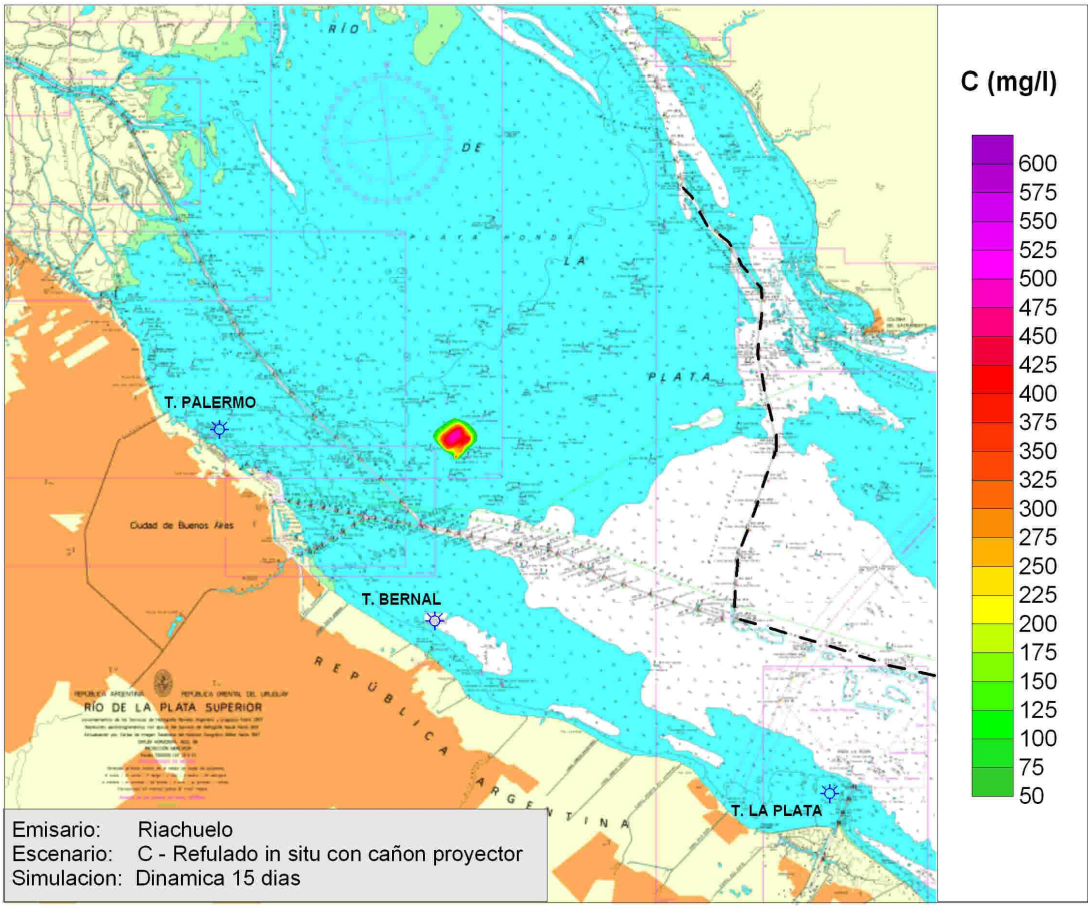

Figura A.6.5.3.2.1 – Distribución superficial de la concentración: día 1 hora 12.

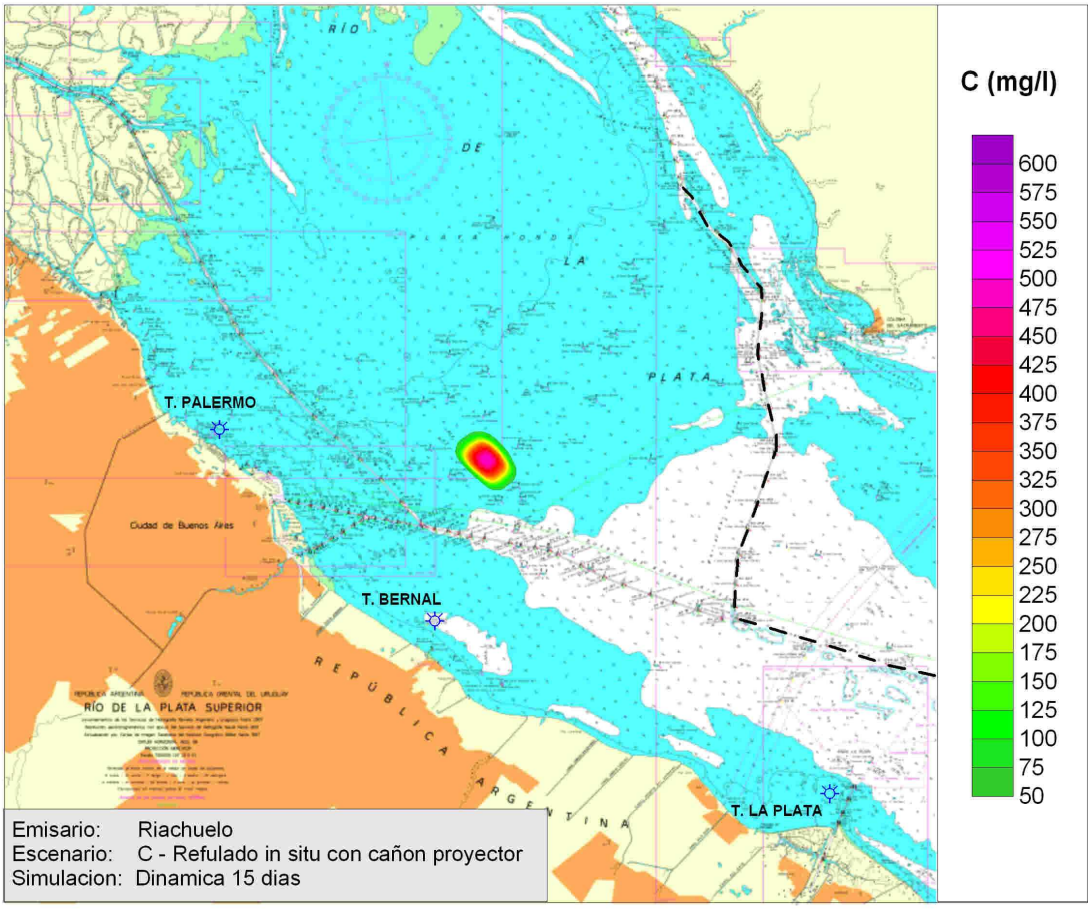

Figura A.6.5.3.2.2 – Distribución superficial de la concentración: día 1 hora 24.

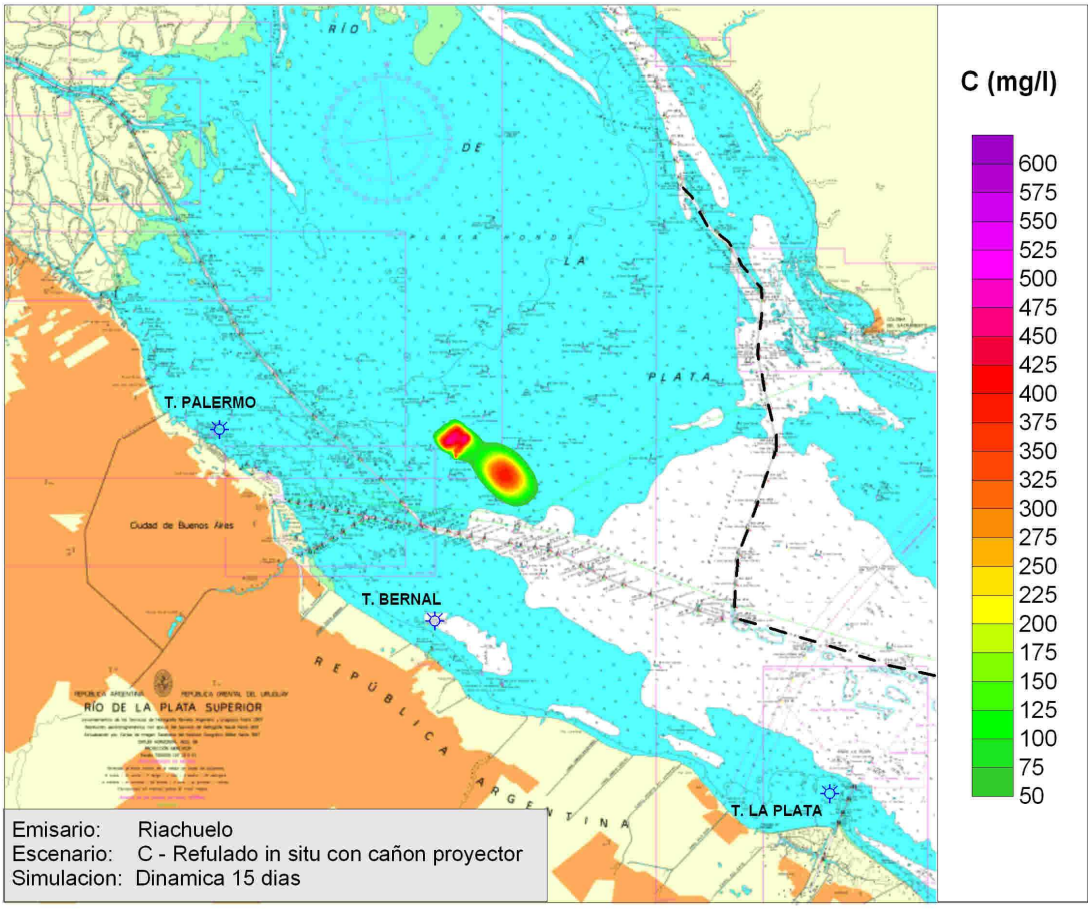

Figura A.6.5.3.2.3 – Distribución superficial de la concentración: día 2 hora 12.

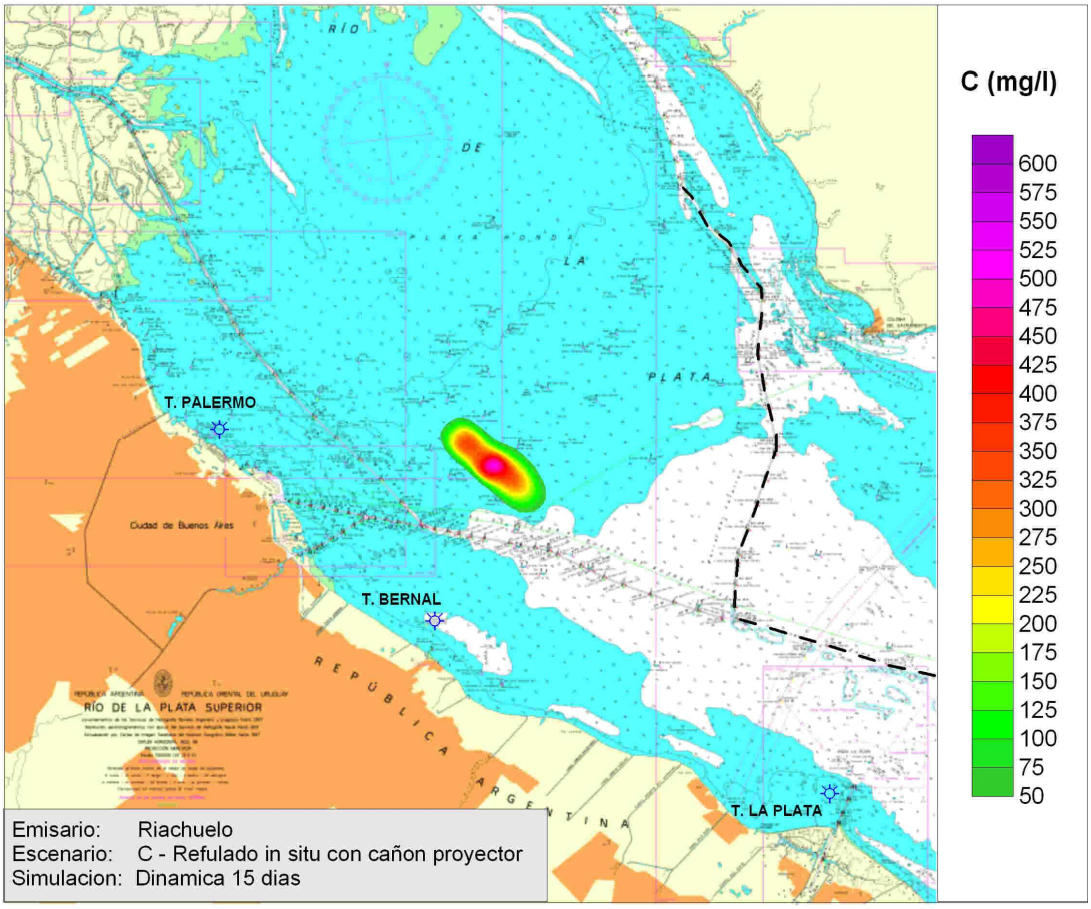

Figura A.6.5.3.2.4 – Distribución superficial de la concentración: día 2 hora 24.

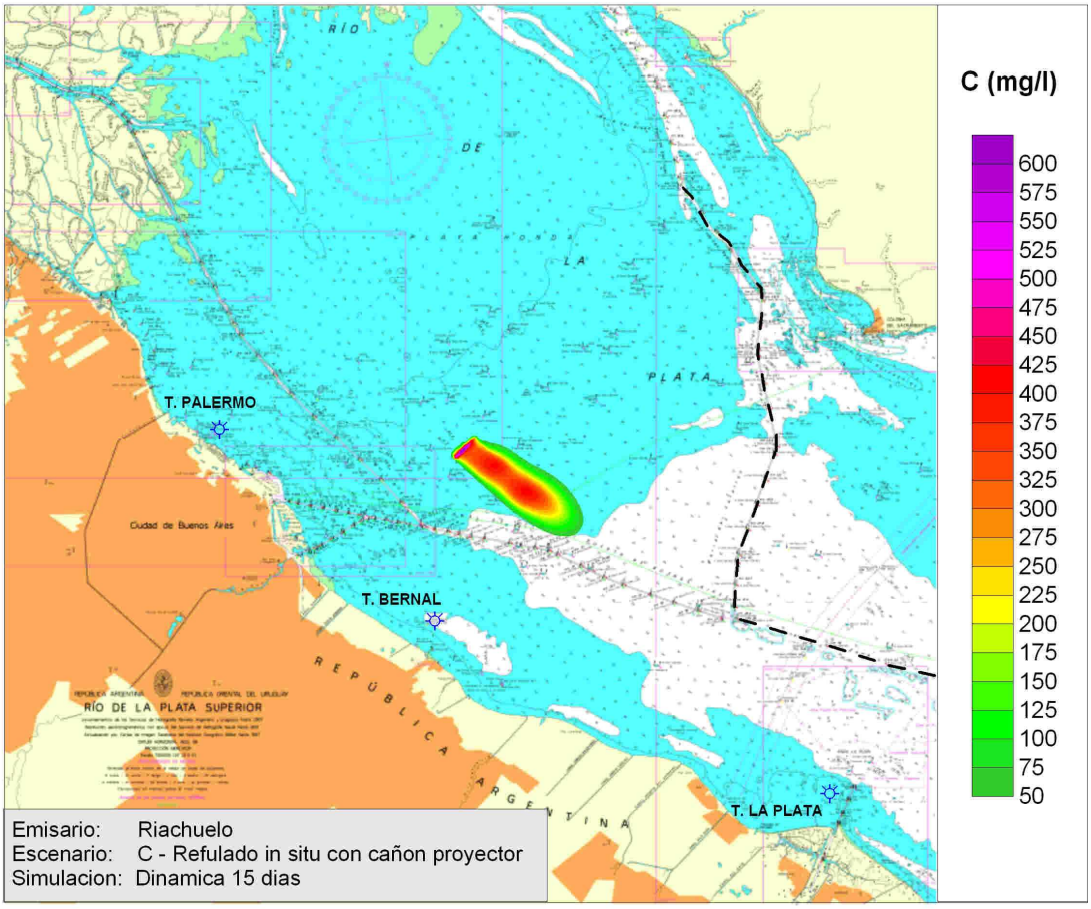

Figura A.6.5.3.2.5 – Distribución superficial de la concentración: día 3 hora 12.

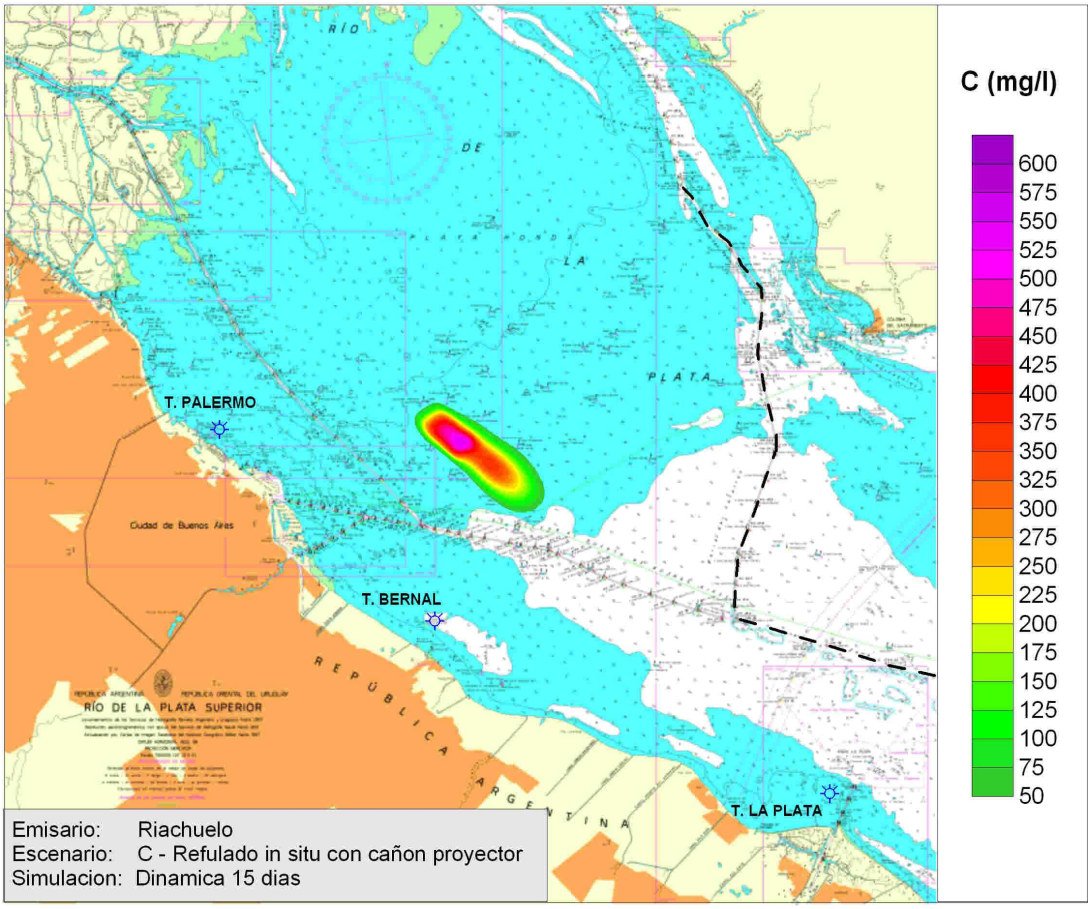

Figura A.6.5.3.2.6 – Distribución superficial de la concentración: día 3 hora 24.

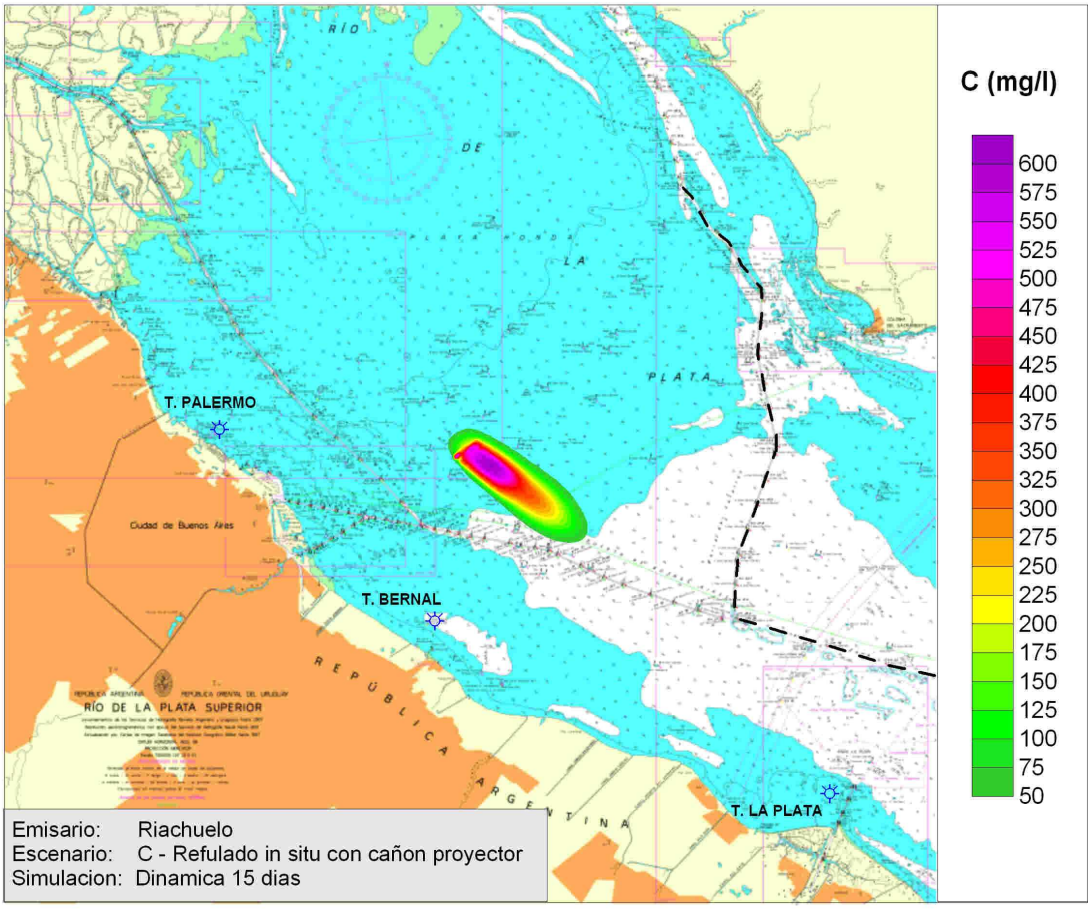

Figura A.6.5.3.2.7 – Distribución superficial de la concentración: día 4 hora 12.

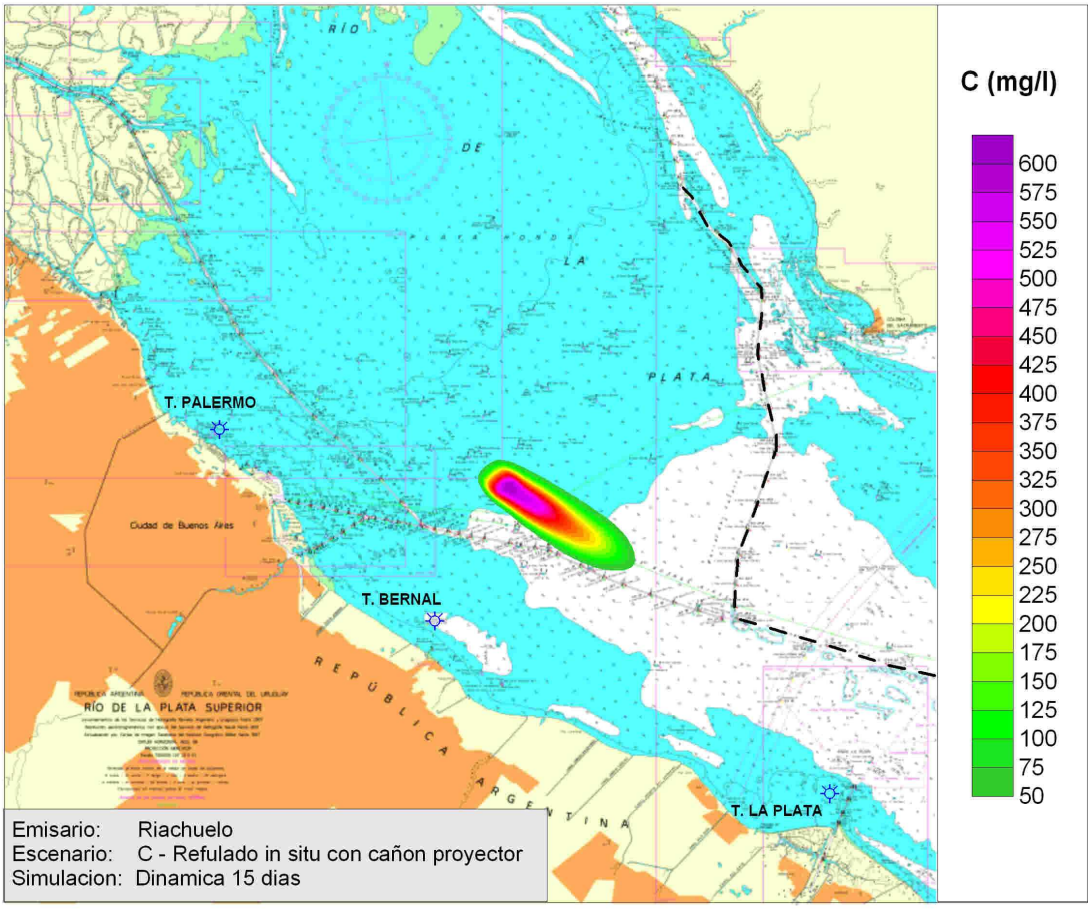

Figura A.6.5.3.2.8 – Distribución superficial de la concentración: día 4 hora 24.

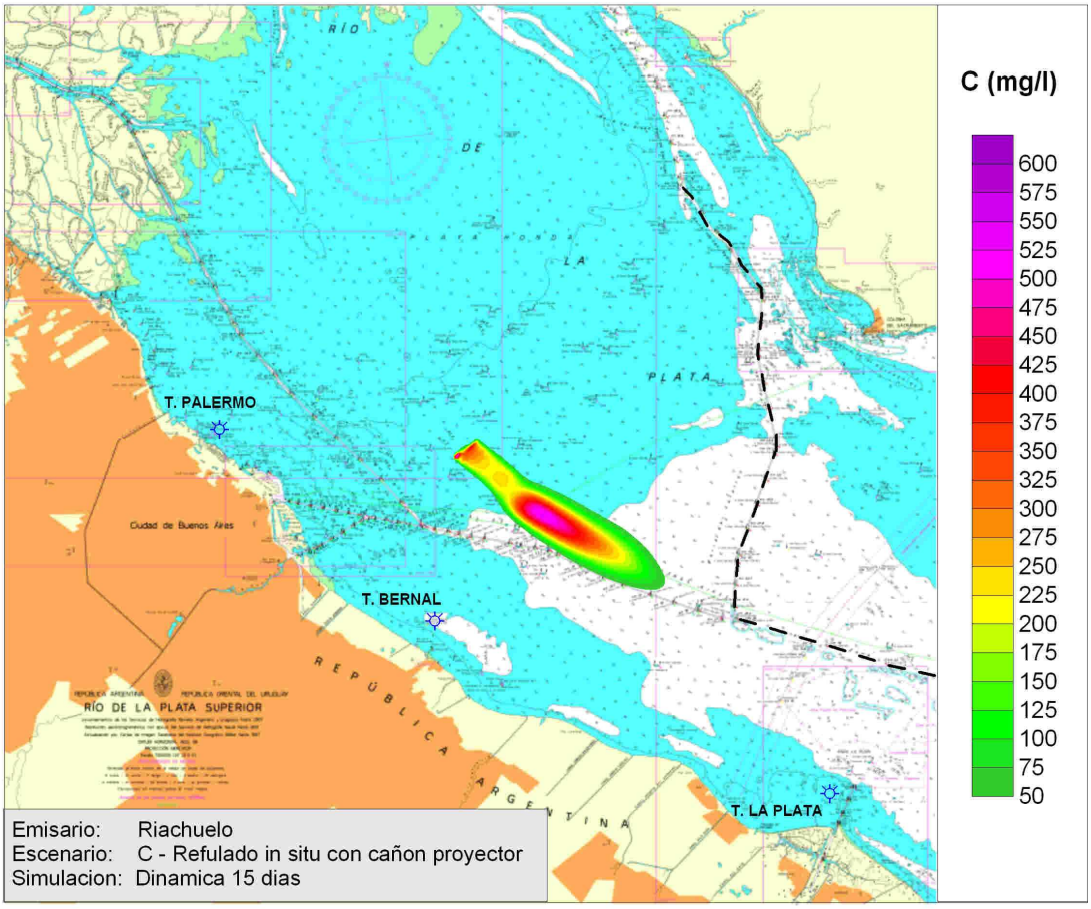

Figura A.6.5.3.2.9 – Distribución superficial de la concentración: día 5 hora 12.

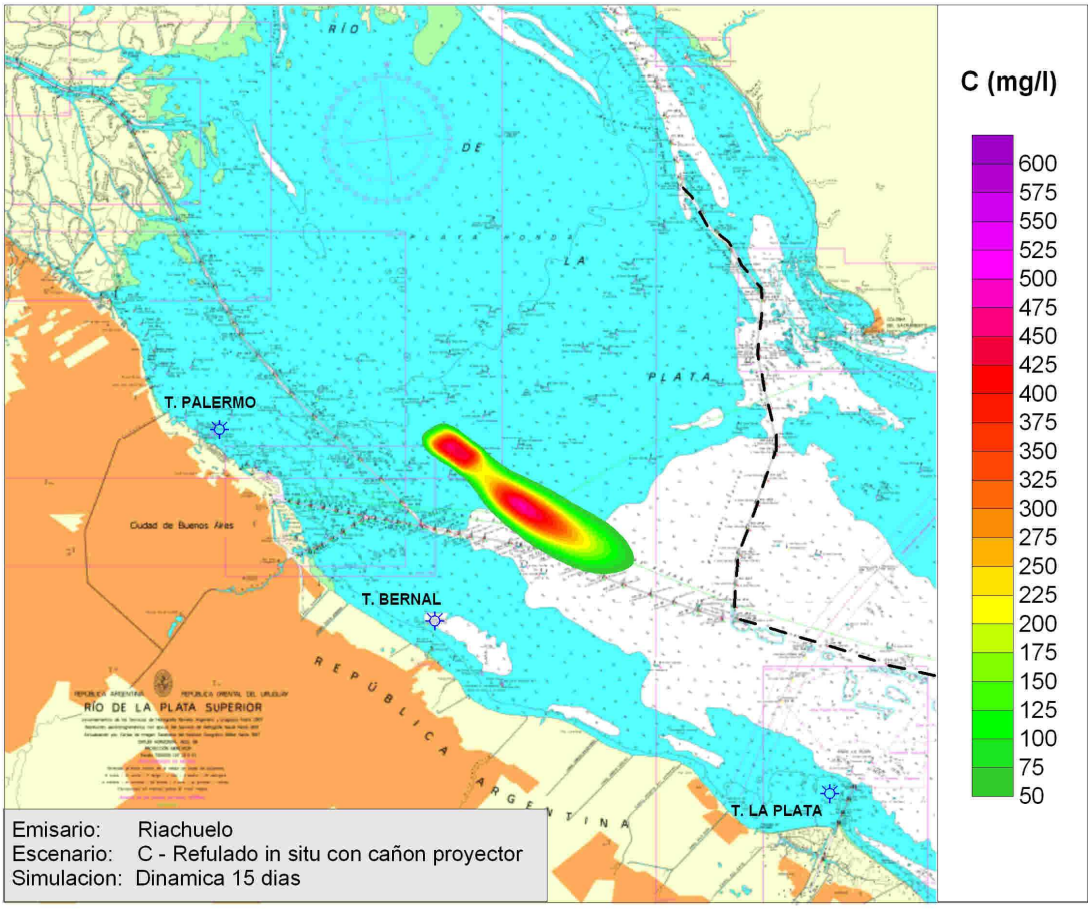

Figura A.6.5.3.2.10 – Distribución superficial de la concentración: día 5 hora 24.

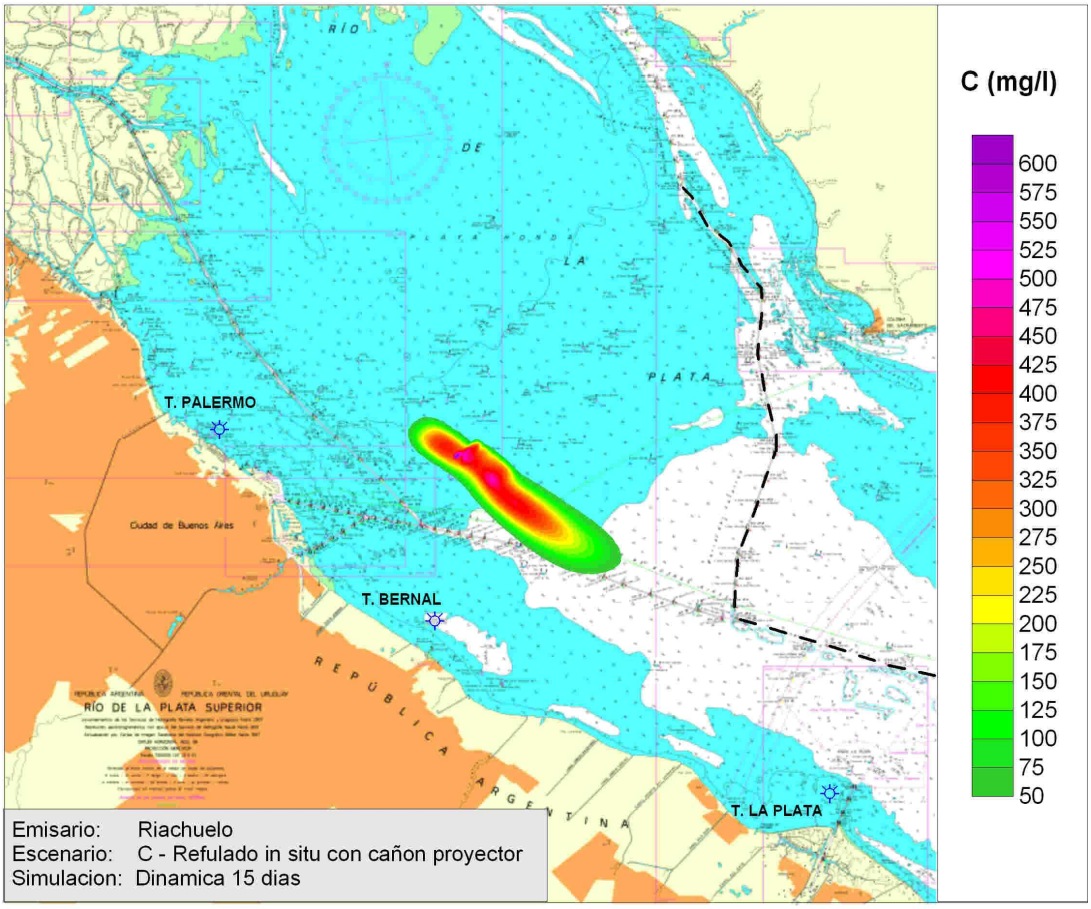

Figura A.6.5.3.2.11 – Distribución superficial de la concentración: día 6 hora 12.

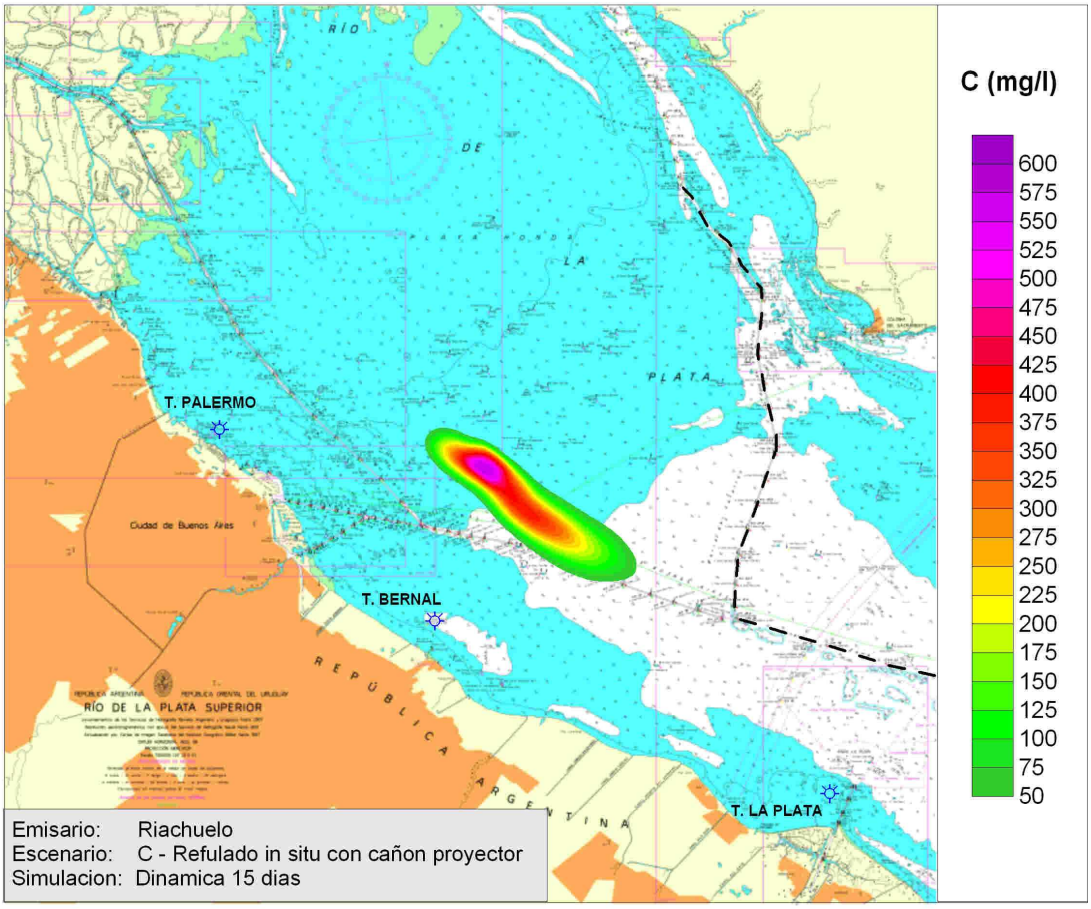

Figura A.6.5.3.2.12 – Distribución superficial de la concentración: día 6 hora 24.

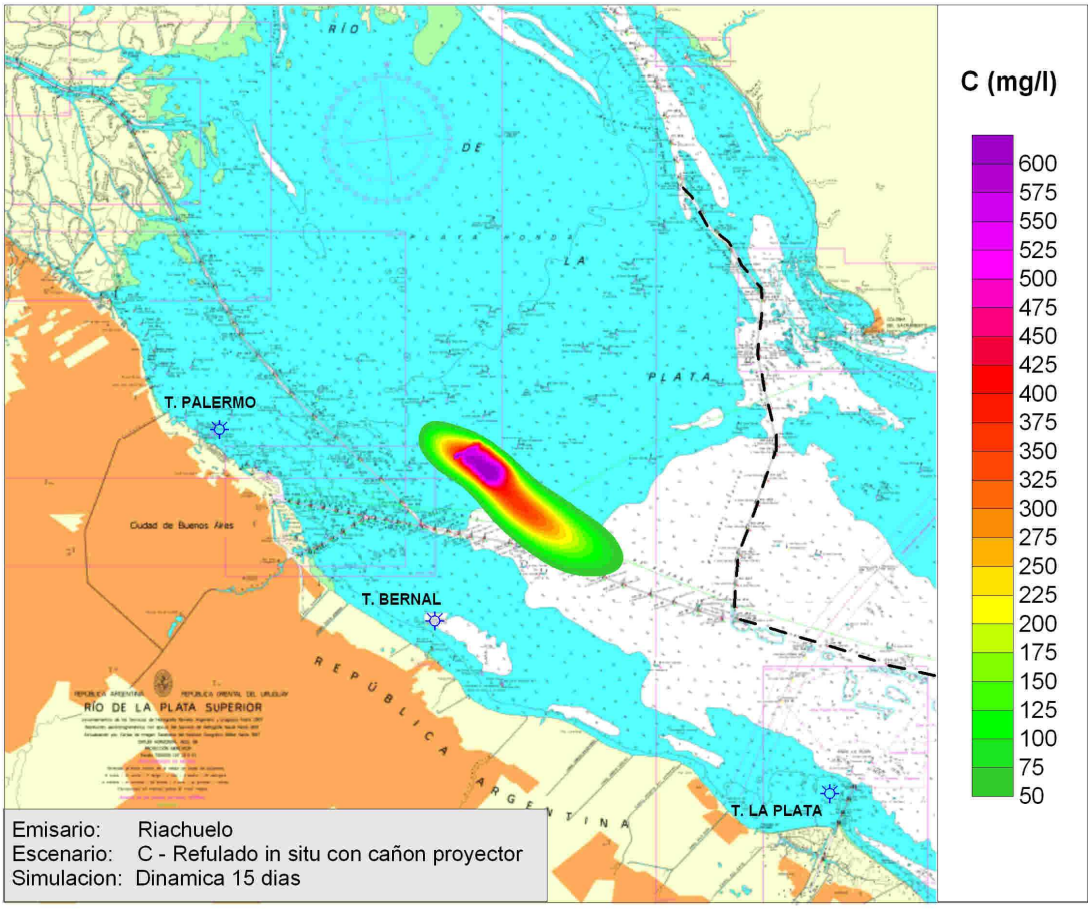

Figura A.6.5.3.2.13 – Distribución superficial de la concentración: día 7 hora 12.

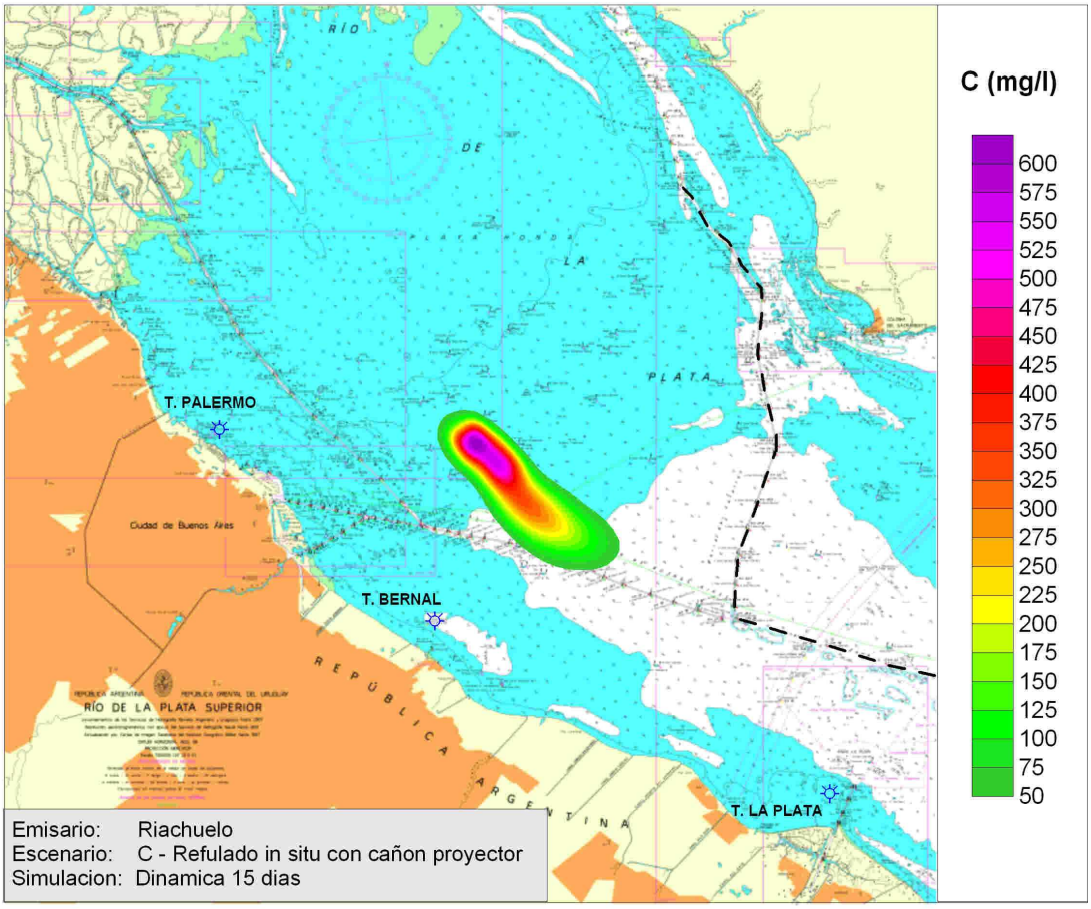

Figura A.6.5.3.2.14 – Distribución superficial de la concentración: día 7 hora 24.

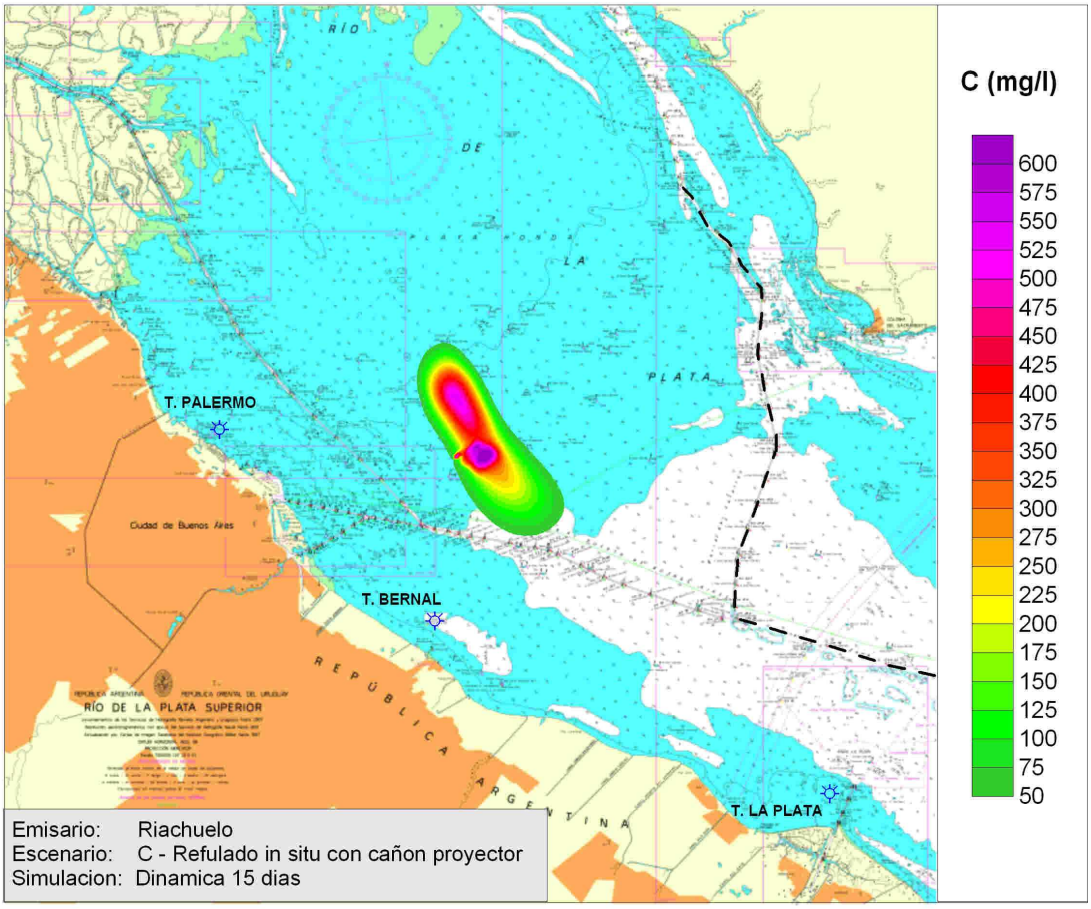

Figura A.6.5.3.2.15 – Distribución superficial de la concentración: día 8 hora 12.

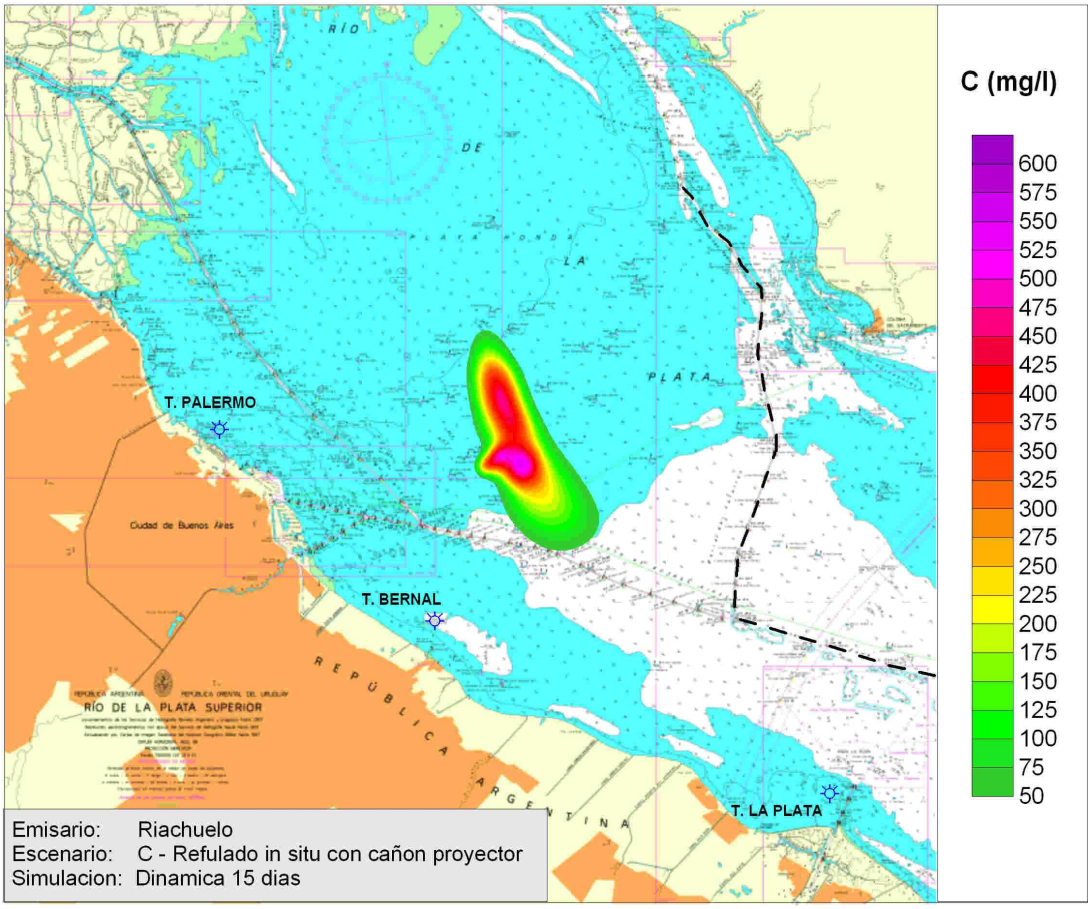

Figura A.6.5.3.2.16 – Distribución superficial de la concentración: día 8 hora 24.

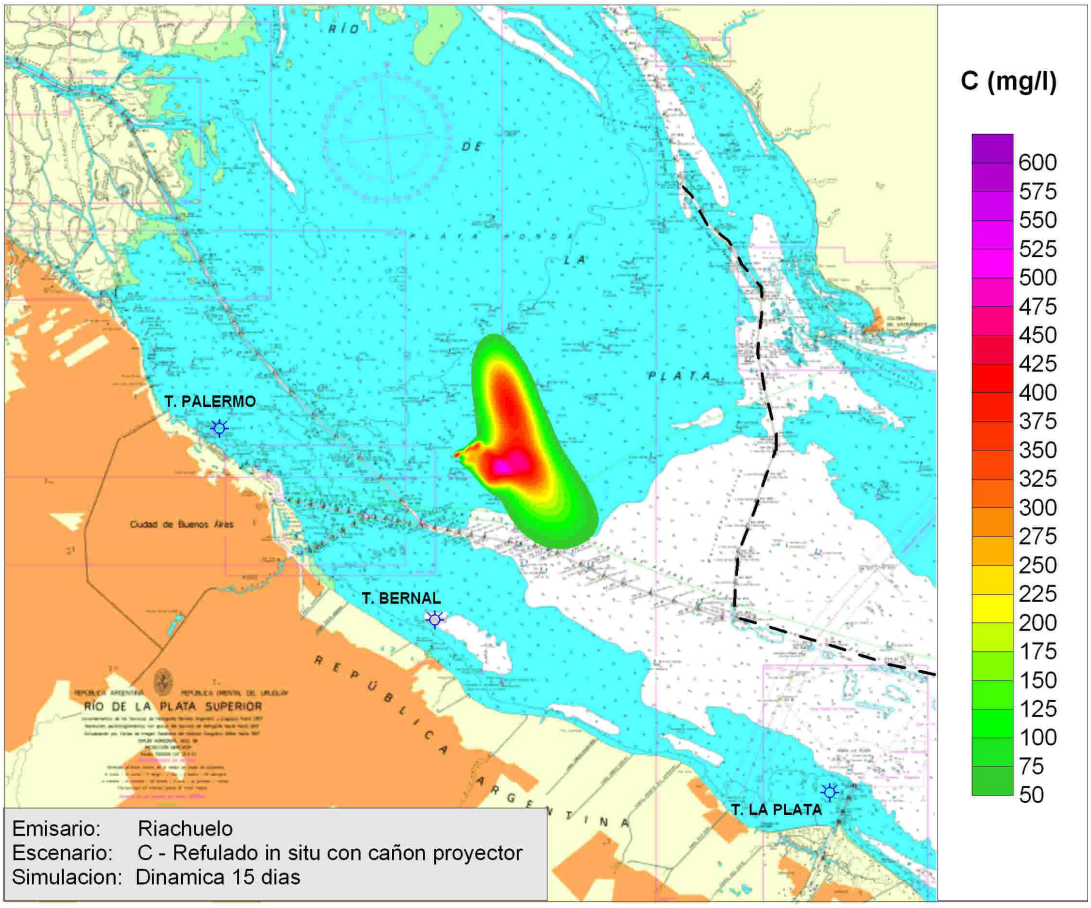

Figura A.6.5.3.2.17 – Distribución superficial de la concentración: día 9 hora 12.

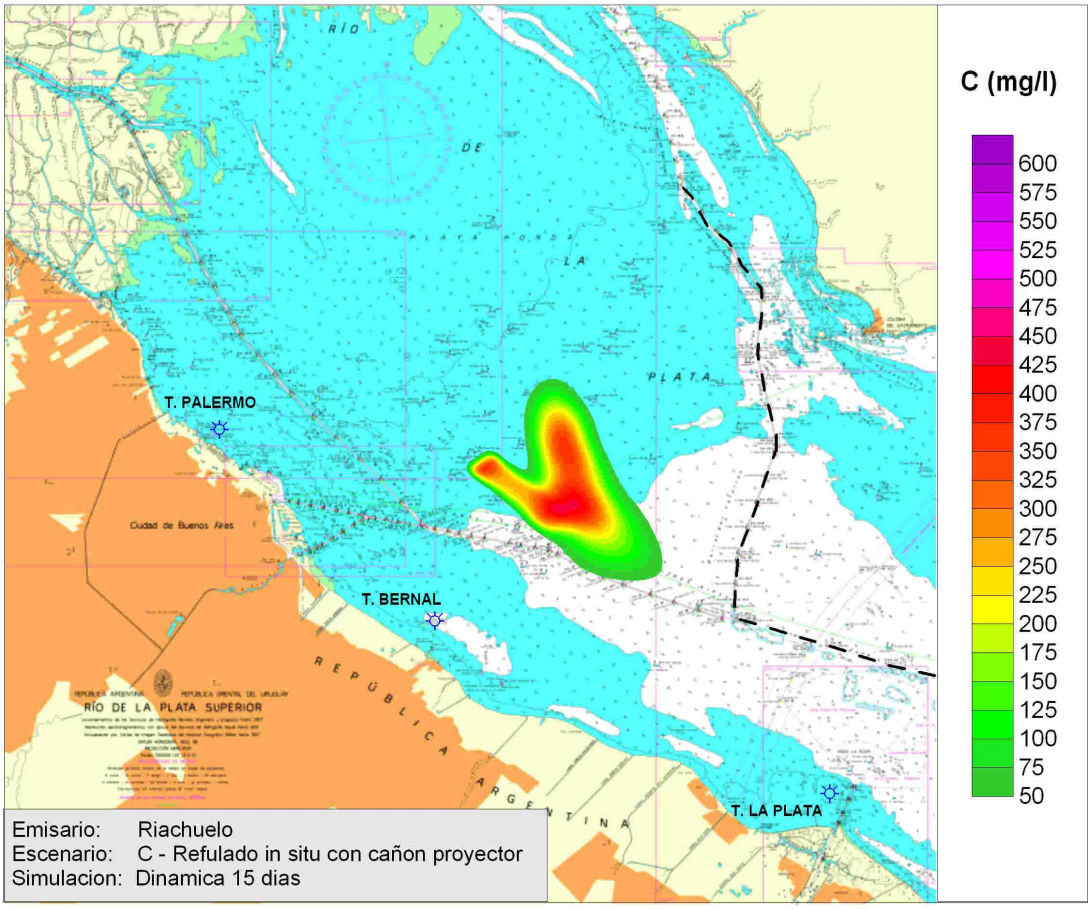

Figura A.6.5.3.2.18 – Distribución superficial de la concentración: día 9 hora 24.

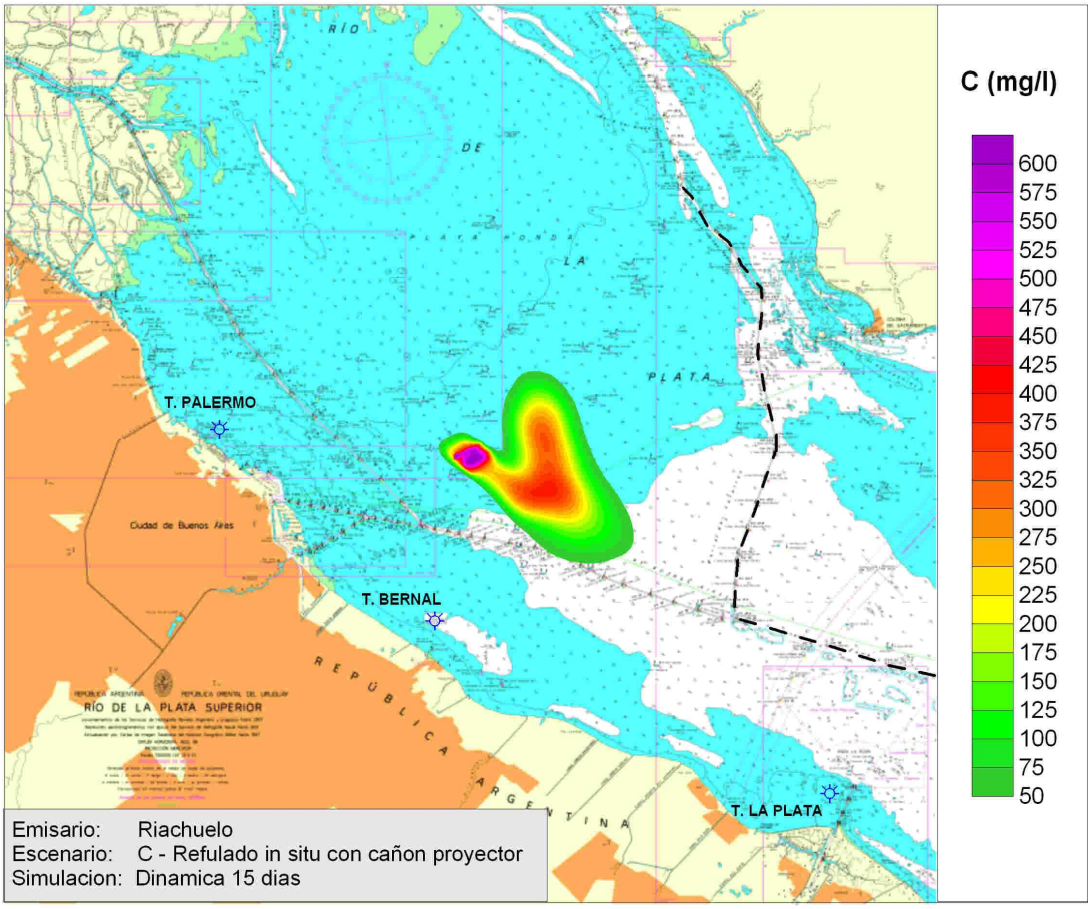

Figura A.6.5.3.2.19 – Distribución superficial de la concentración: día 10 hora 12.

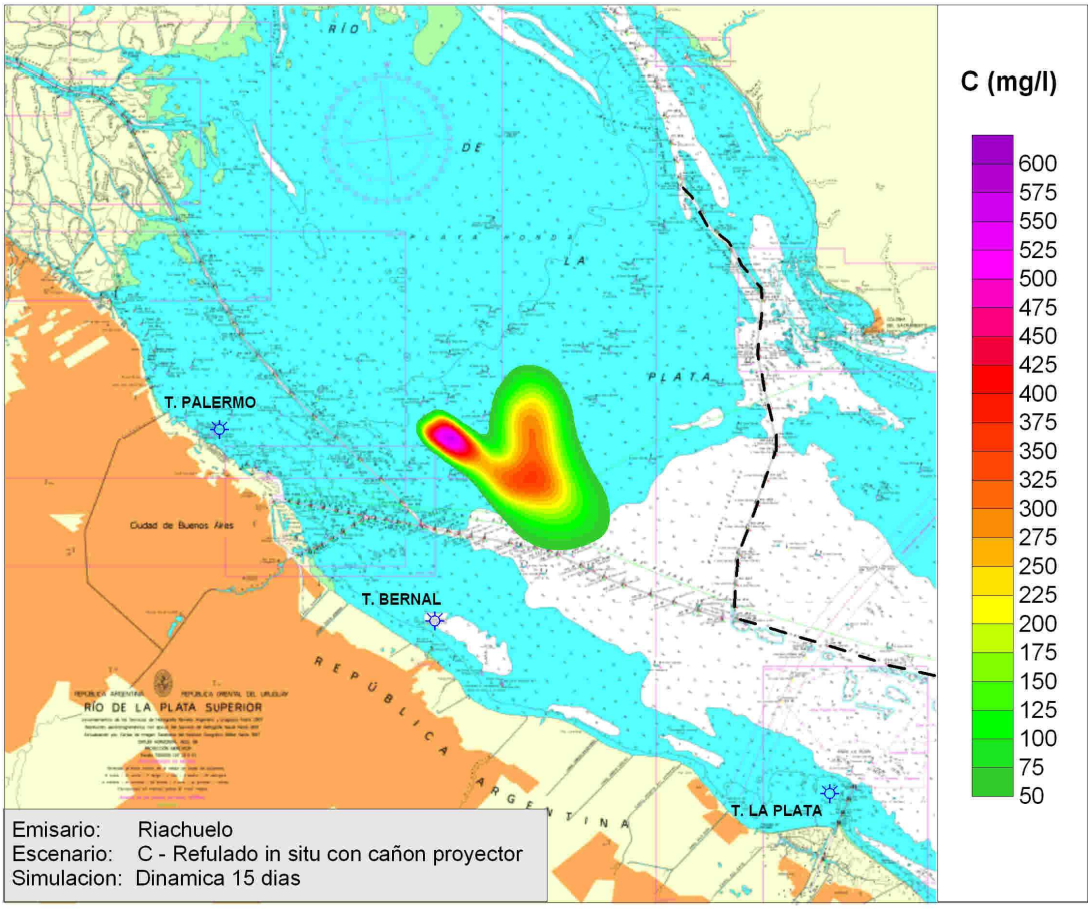

Figura A.6.5.3.2.20 – Distribución superficial de la concentración: día 10 hora 24.

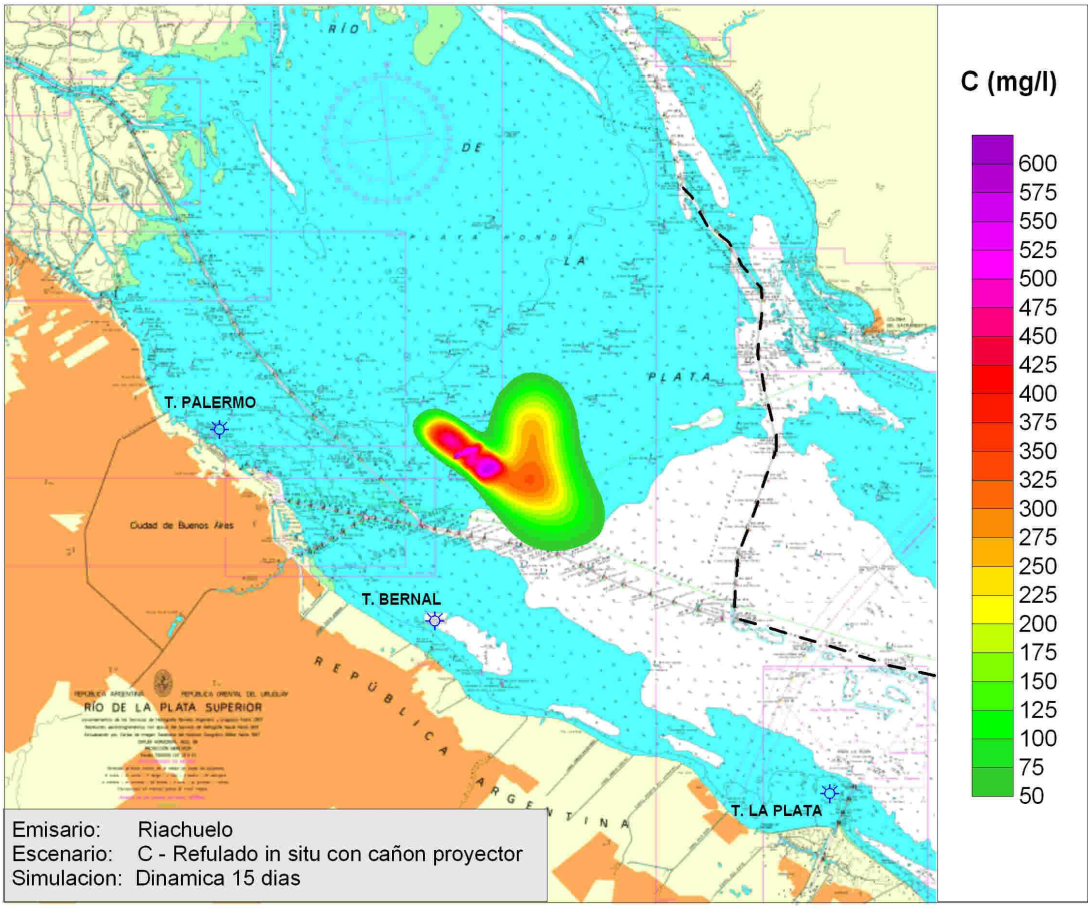

Figura A.6.5.3.2.21 – Distribución superficial de la concentración: día 11 hora 12.

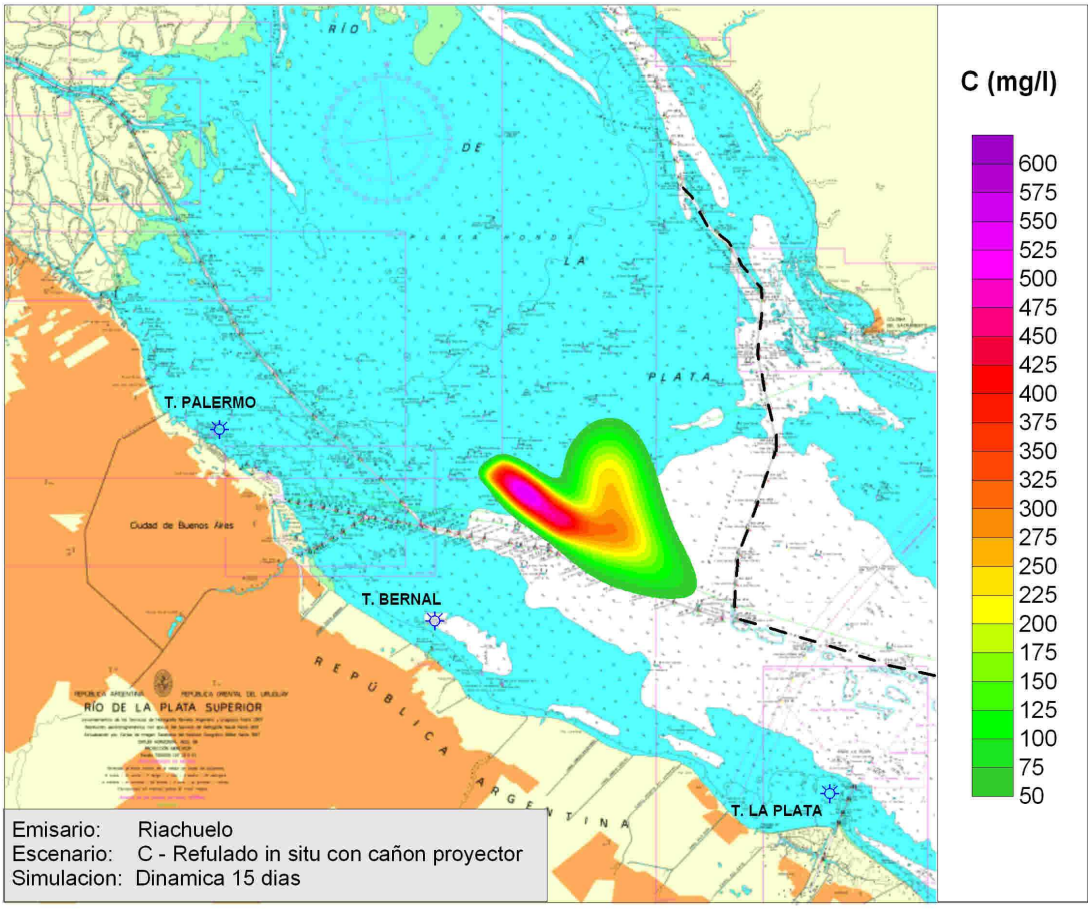

Figura A.6.5.3.2.22 – Distribución superficial de la concentración: día 11 hora 24.

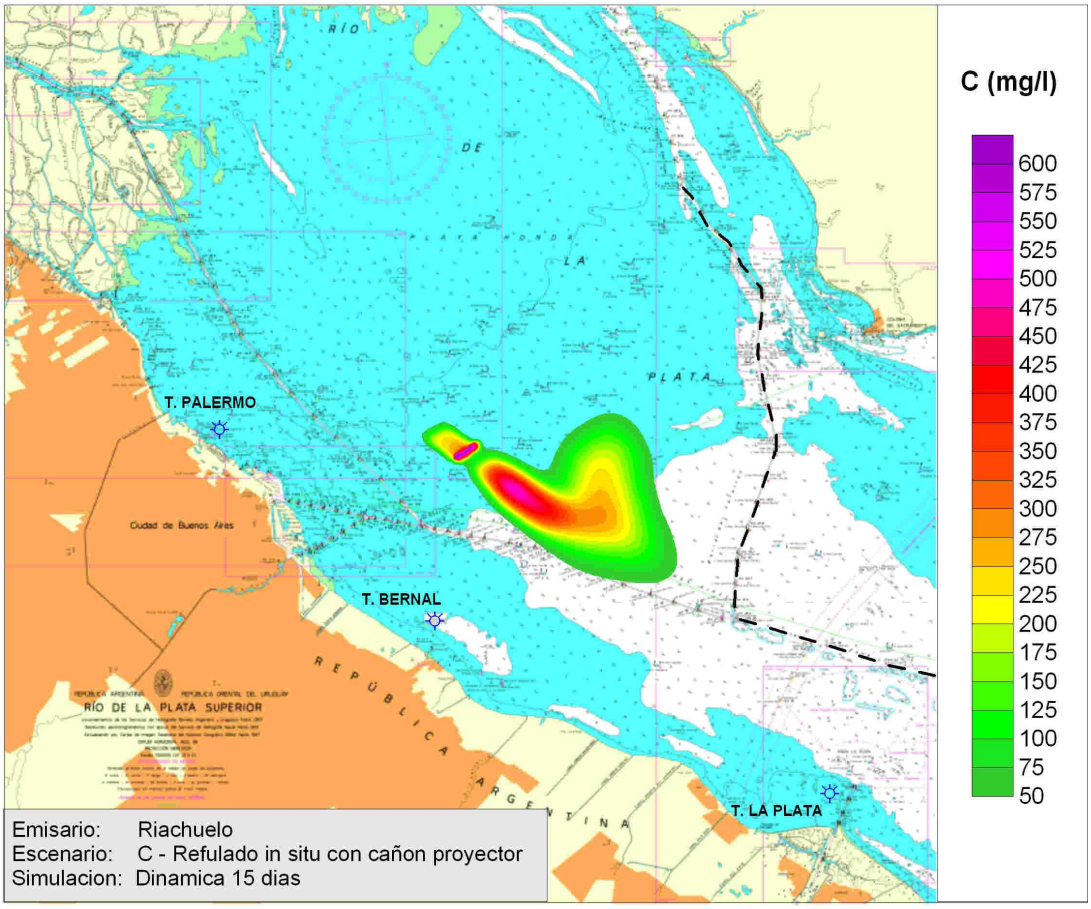

Figura A.6.5.3.2.23 – Distribución superficial de la concentración: día 12 hora 12.

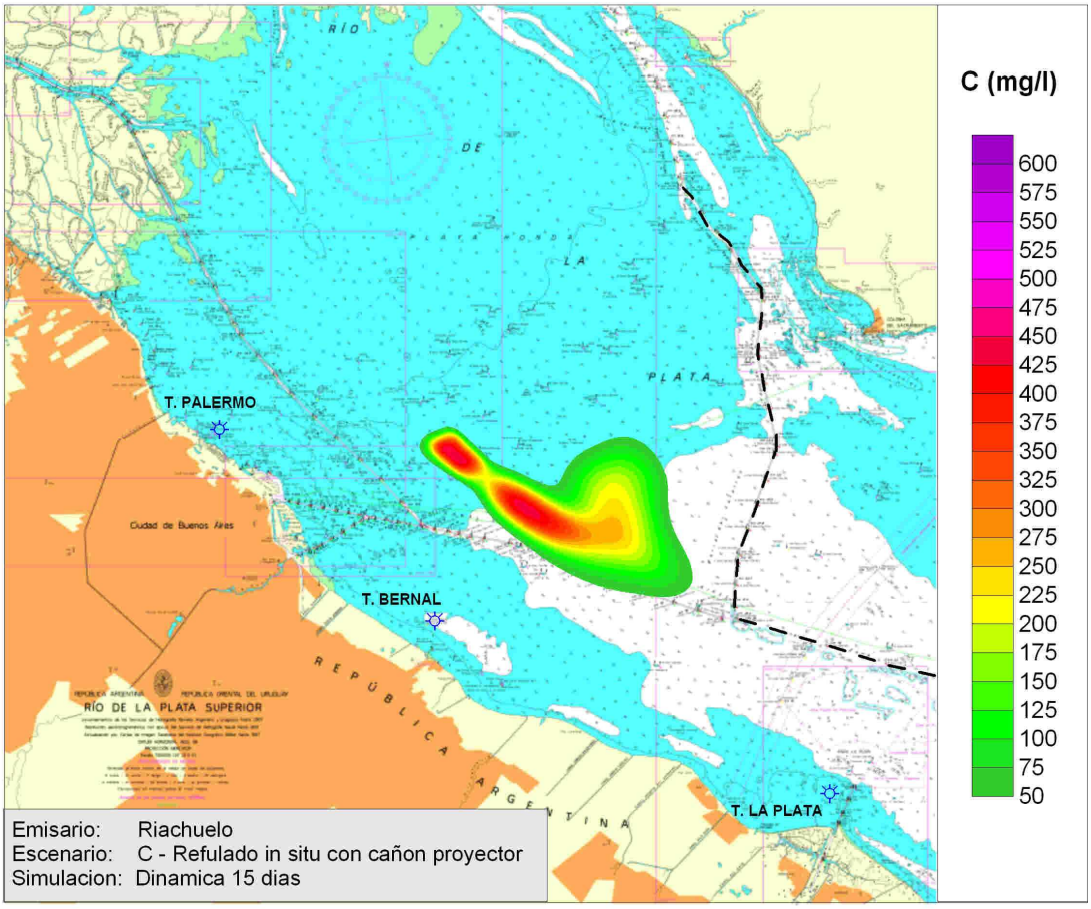

Figura A.6.5.3.2.24 – Distribución superficial de la concentración: día 12 hora 24.

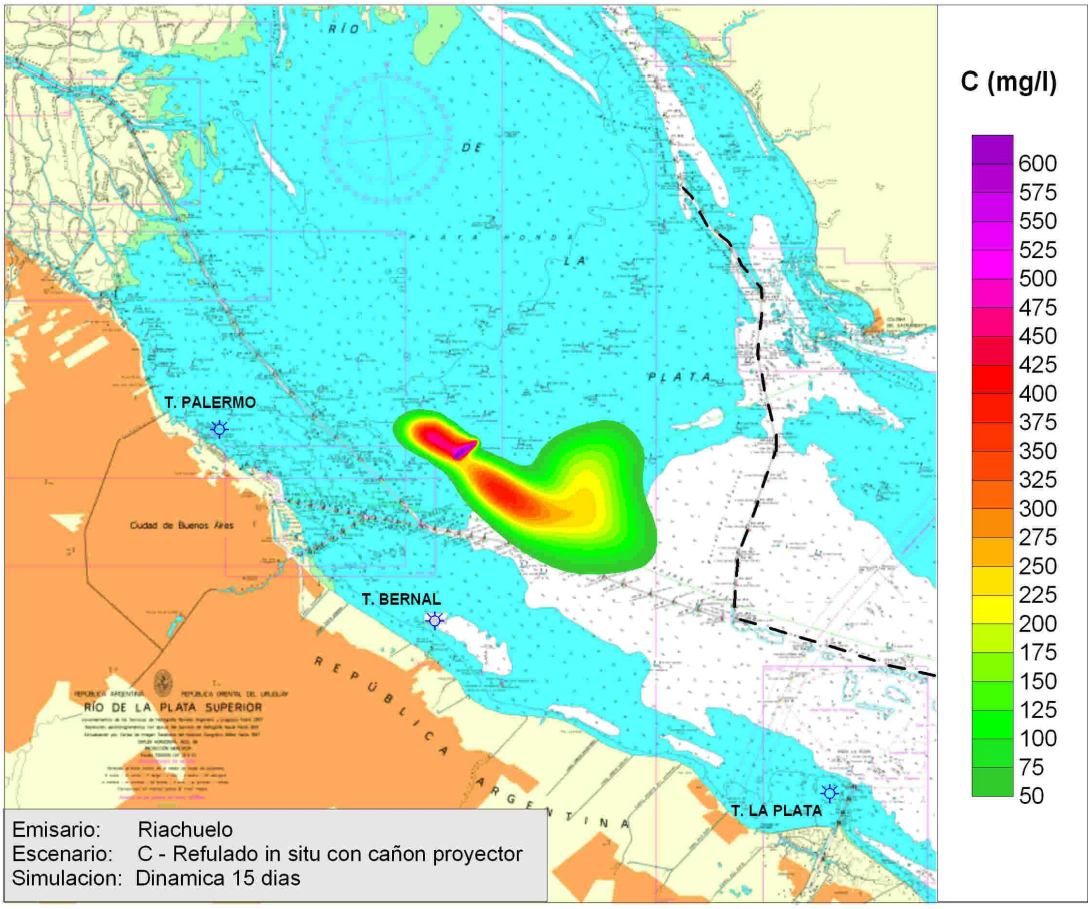

Figura A.6.5.3.2.25 – Distribución superficial de la concentración: día 13 hora 12.

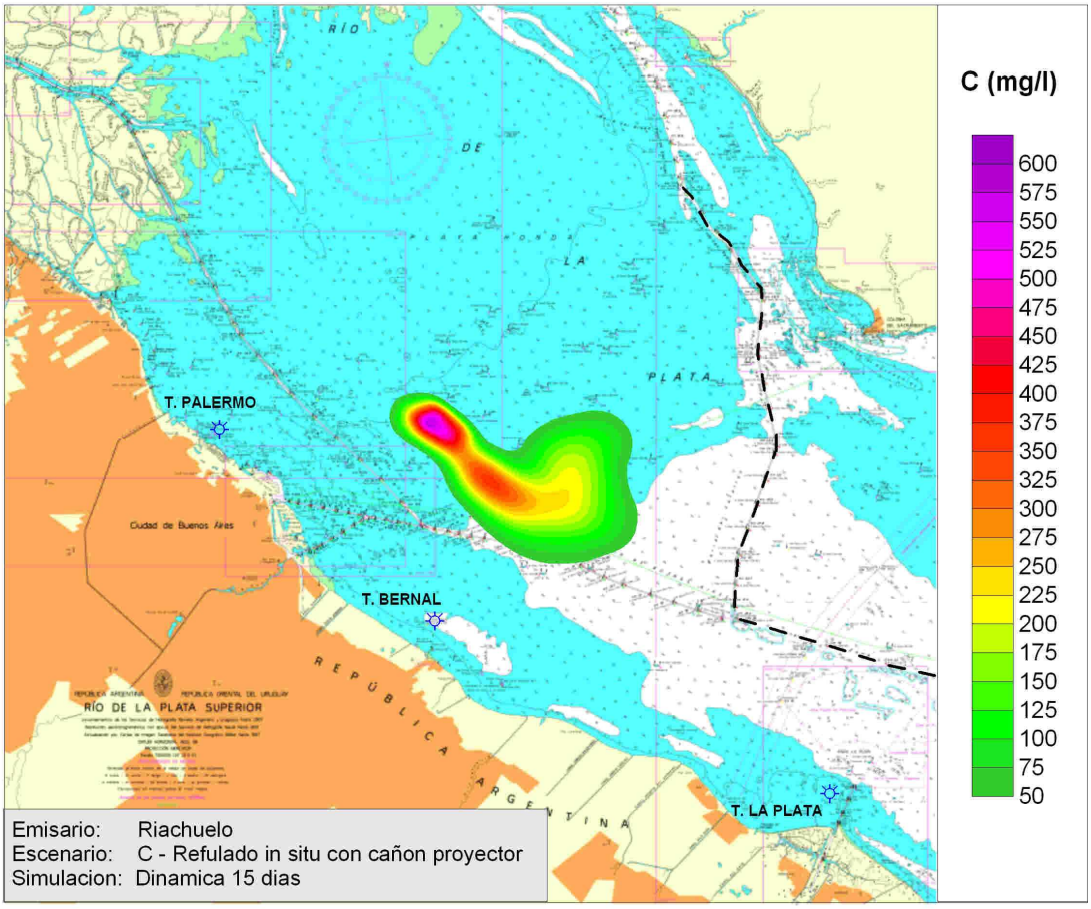

Figura A.6.5.3.2.26 – Distribución superficial de la concentración: día 13 hora 24.

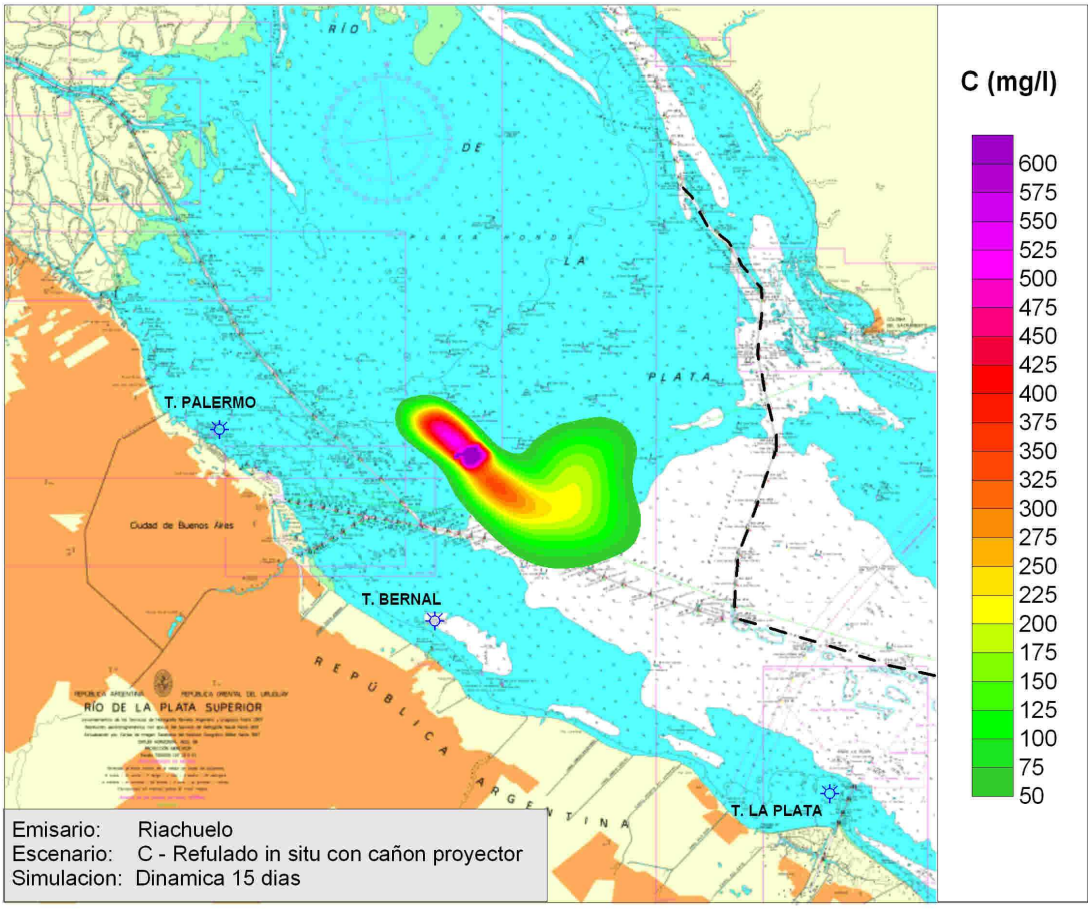

Figura A.6.5.3.2.27 – Distribución superficial de la concentración: día 14 hora 12.

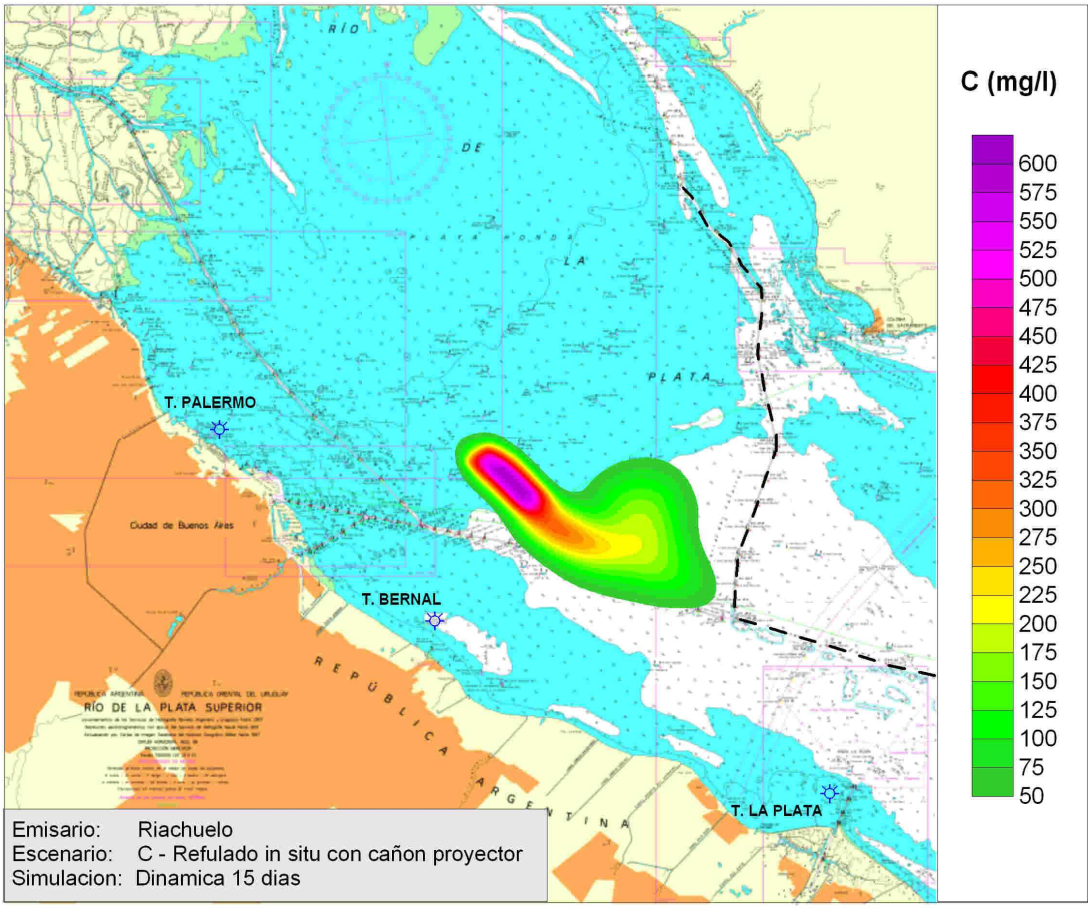

Figura A.6.5.3.2.28 – Distribución superficial de la concentración: día 14 hora 24.

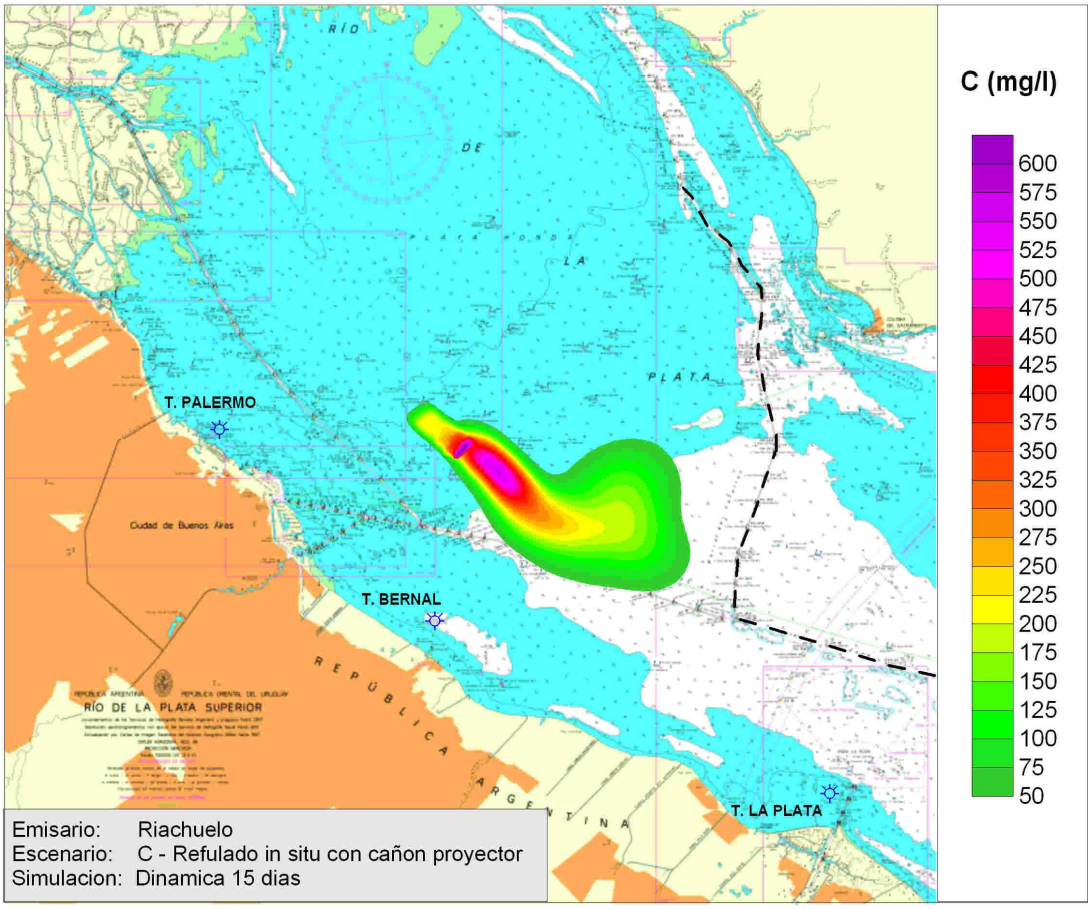

Figura A.6.5.3.2.29 – Distribución superficial de la concentración: día 15 hora 12.

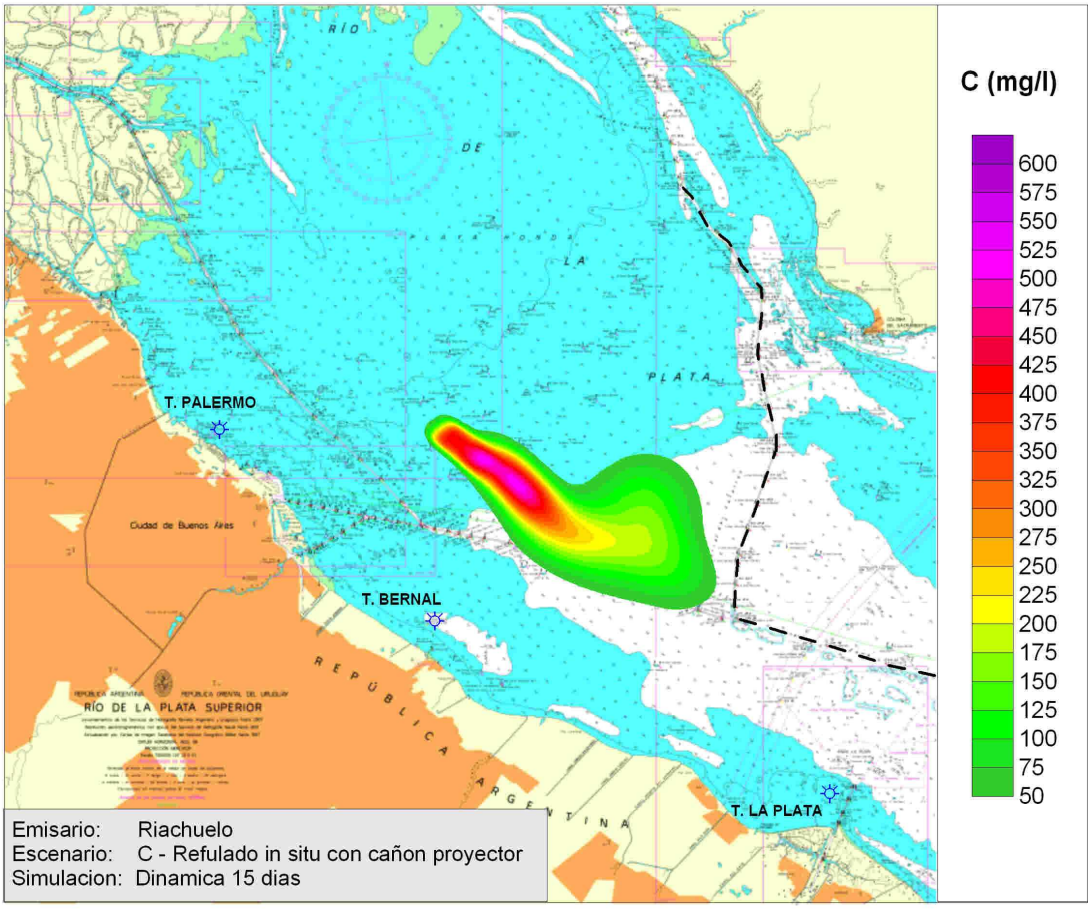

Figura A.6.5.3.2.30 – Distribución superficial de la concentración: día 15 hora 24.

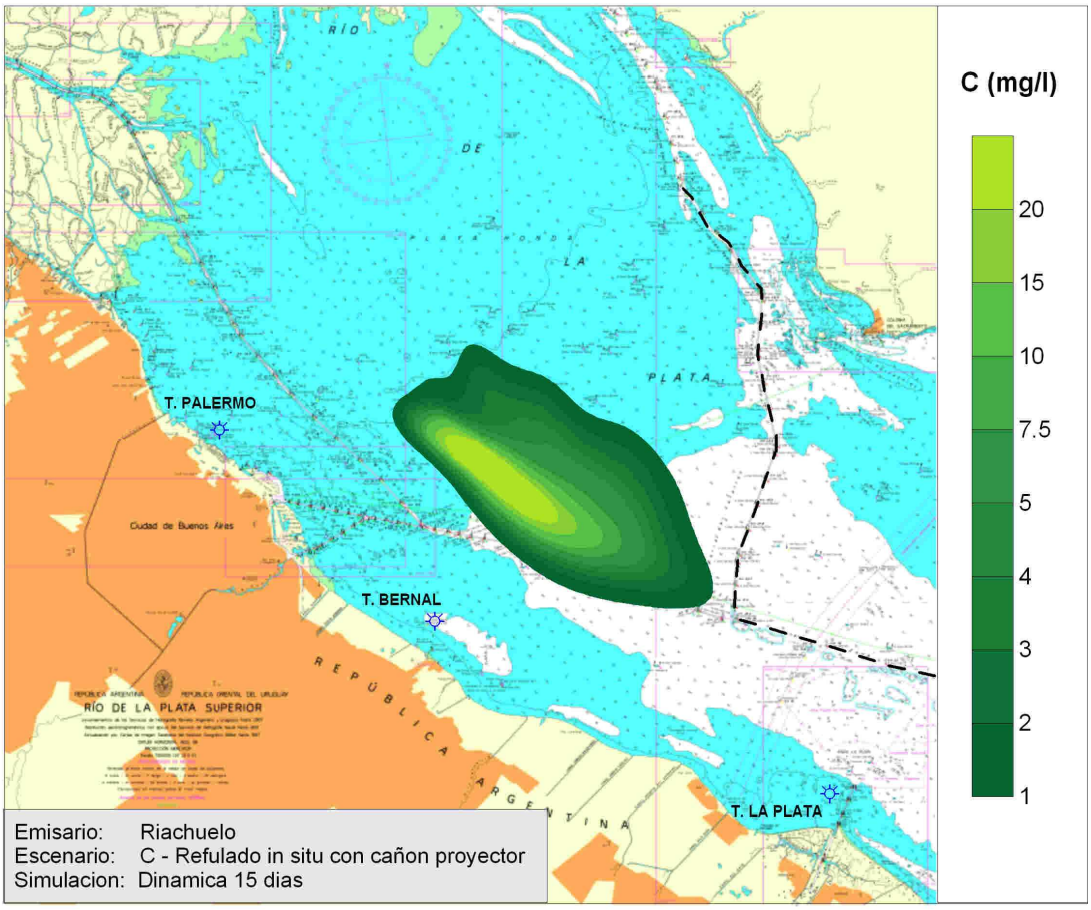

Figura A.6.5.3.2.31 – Distribución superficial de la concentración promedio durante los 15 días de la simulación.

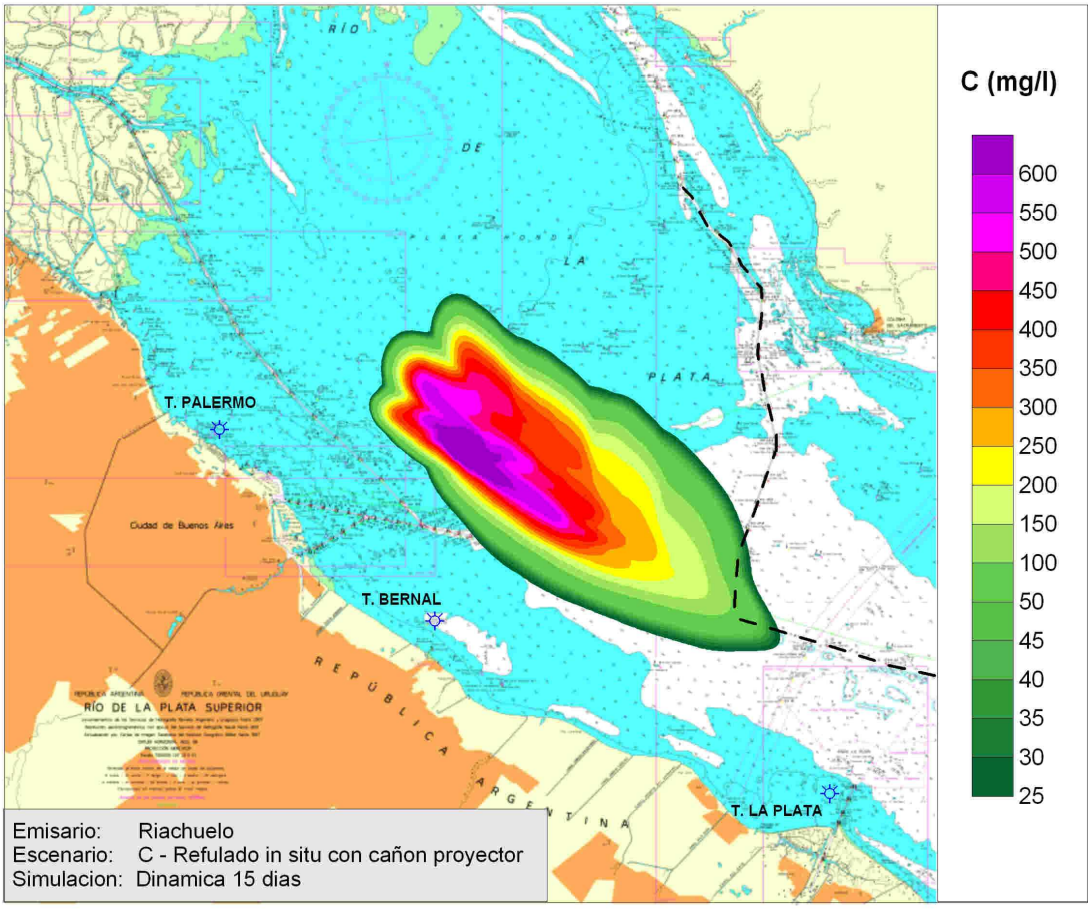

Figura A.6.5.3.2.32 – Distribución superficial de la concentración máxima durante los 15 días de la simulación.

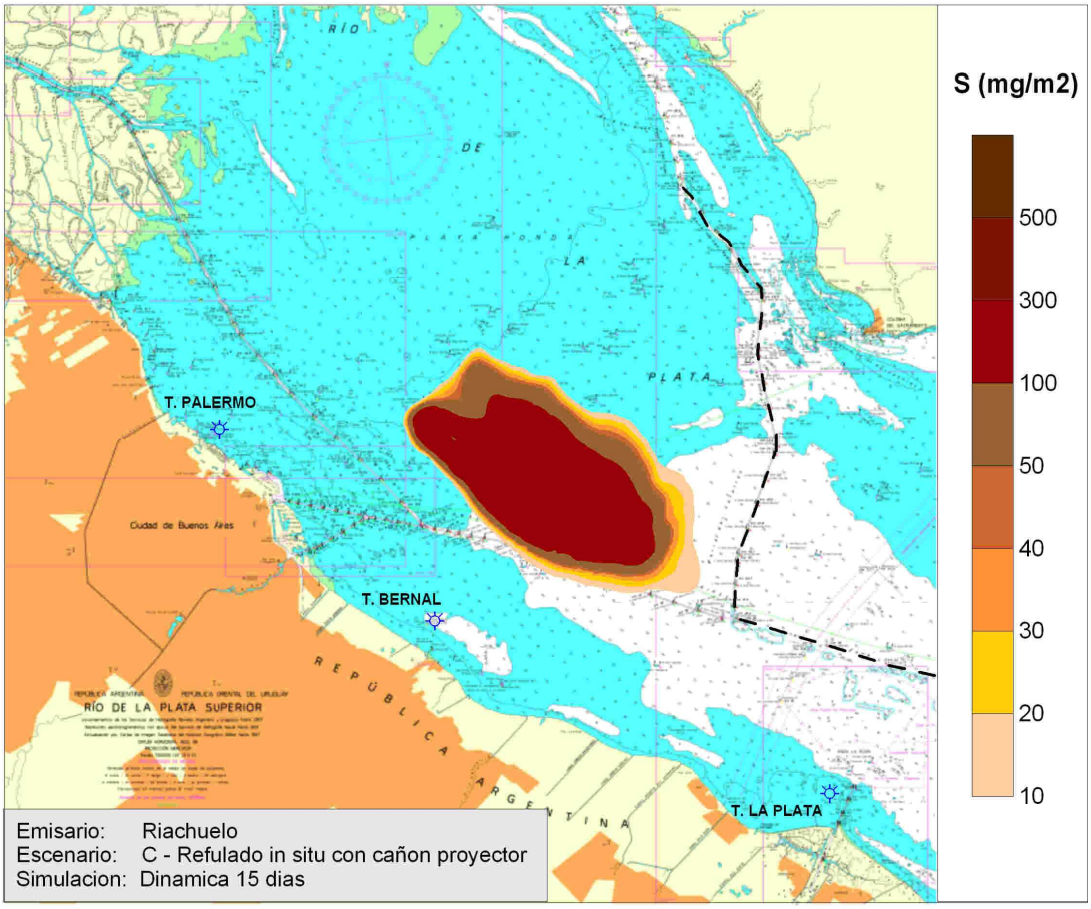

Figura A.6.5.3.2.33 – Distribución superficial de la masa sedimentada durante los 15 días de la simulación.

ANEXO 6.5.4.1

Tapada de zanja en emisario Riachuelo

Evolución de parámetros en estaciones fijas.

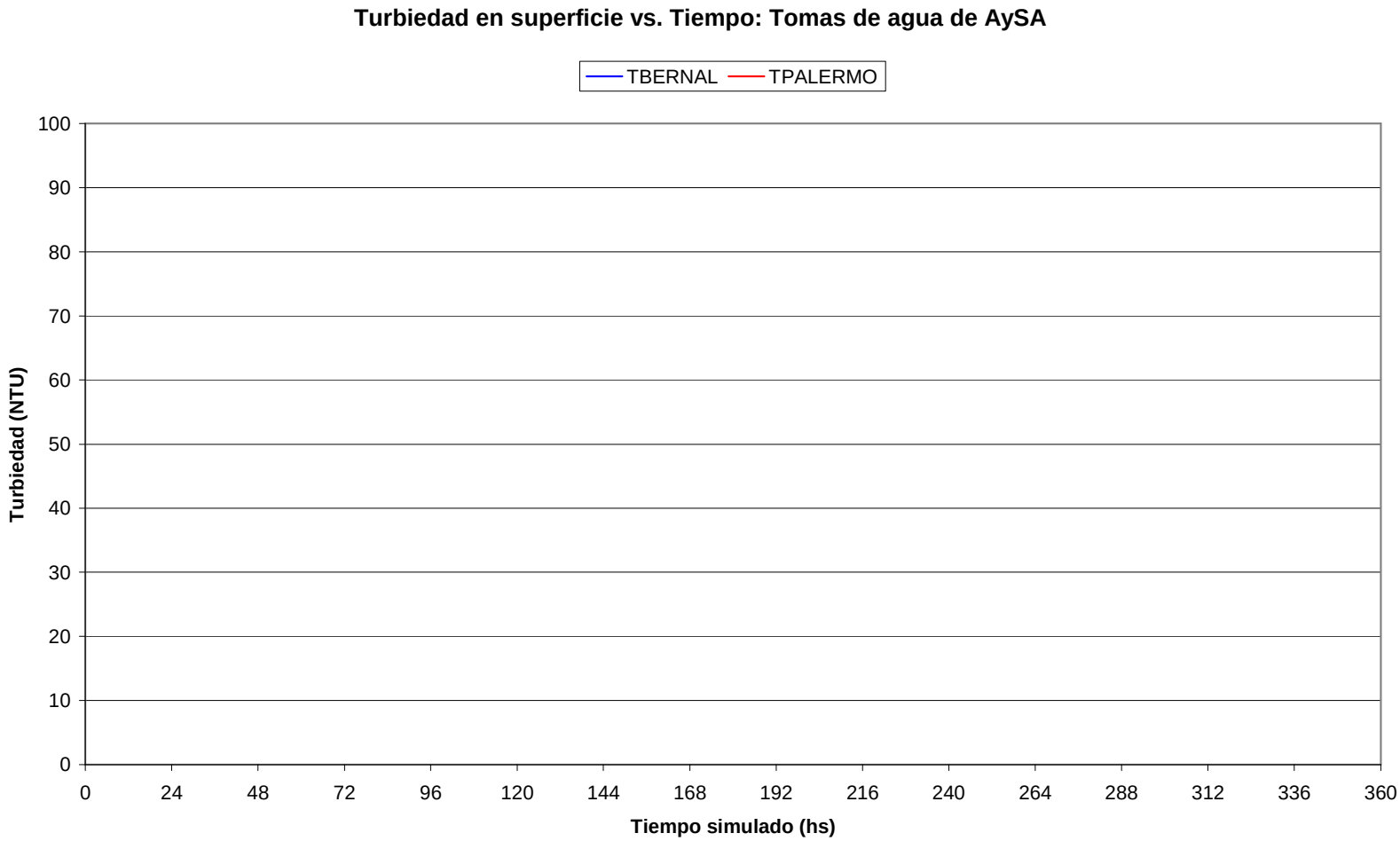

Figura A.6.5.4.1.1 – Turbiedad en tomas de agua. Capa superficial. No se observan niveles mensurables de sobre-concentración.

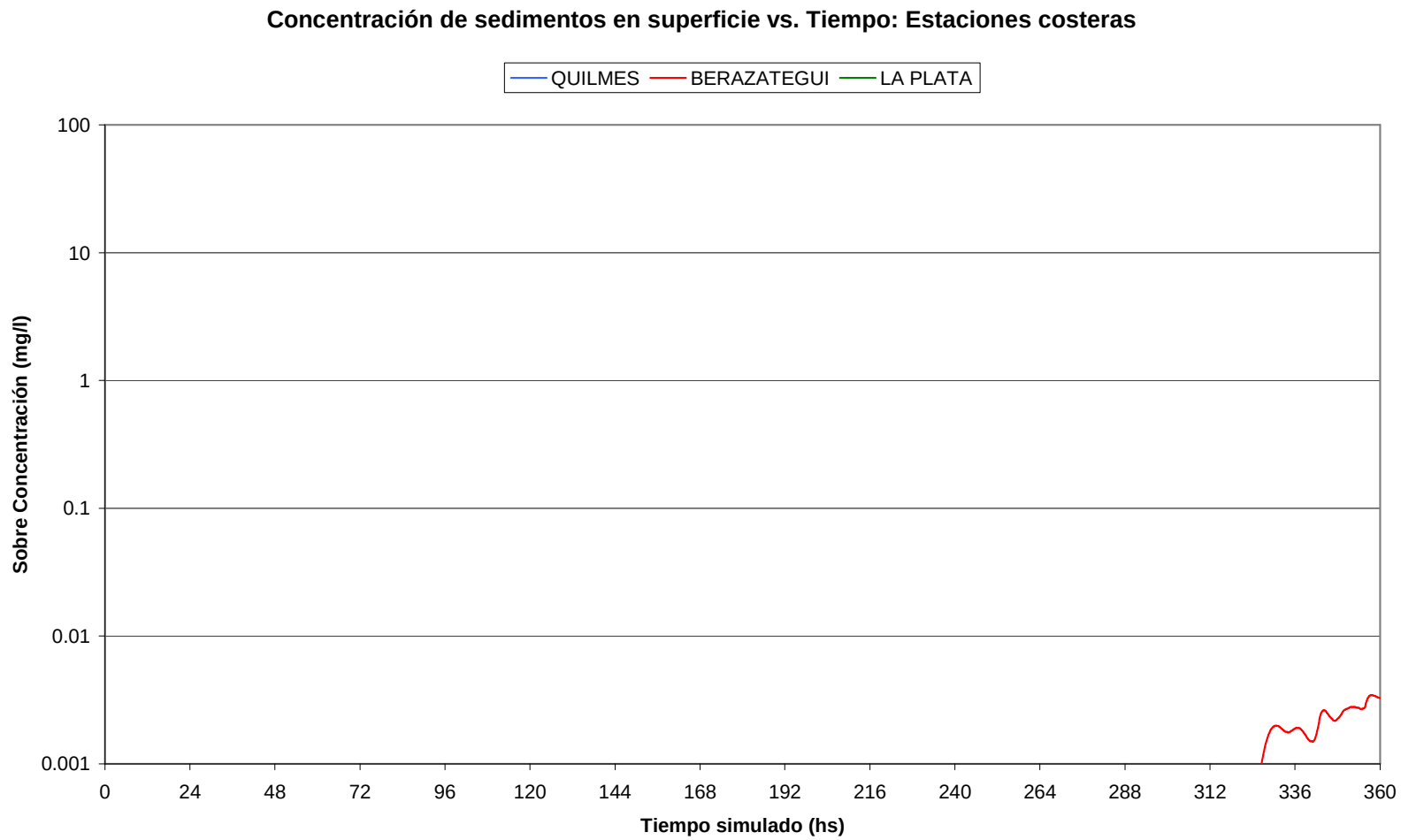

Figura A.6.5.4.1.2 – Concentración de sedimentos en áreas costeras. Capa superficial.

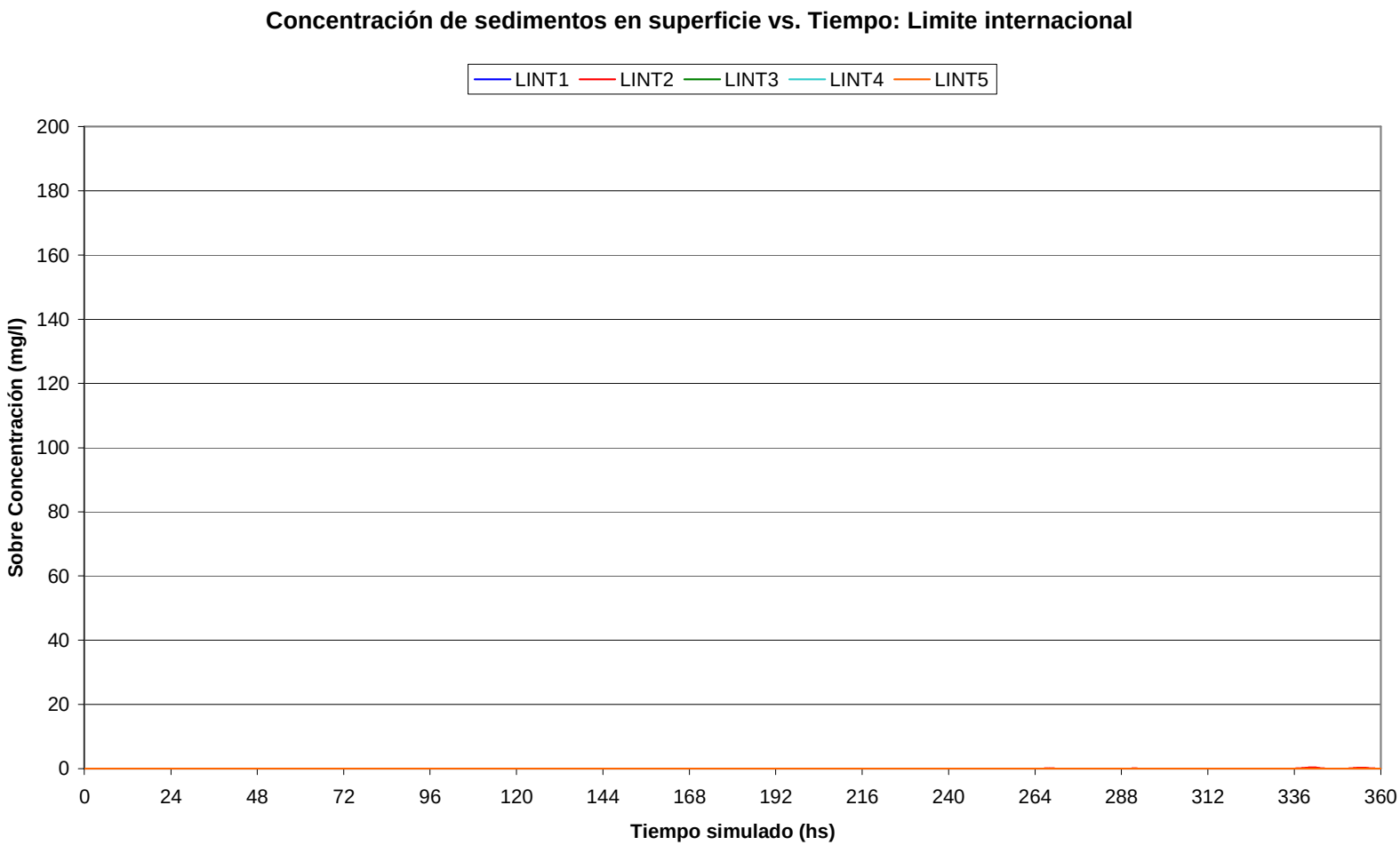

Figura A.6.5.4.1.3 – Concentración de sedimentos en el límite internacional. Capa superficial. No se observan niveles mensurables de sobre-concentración.

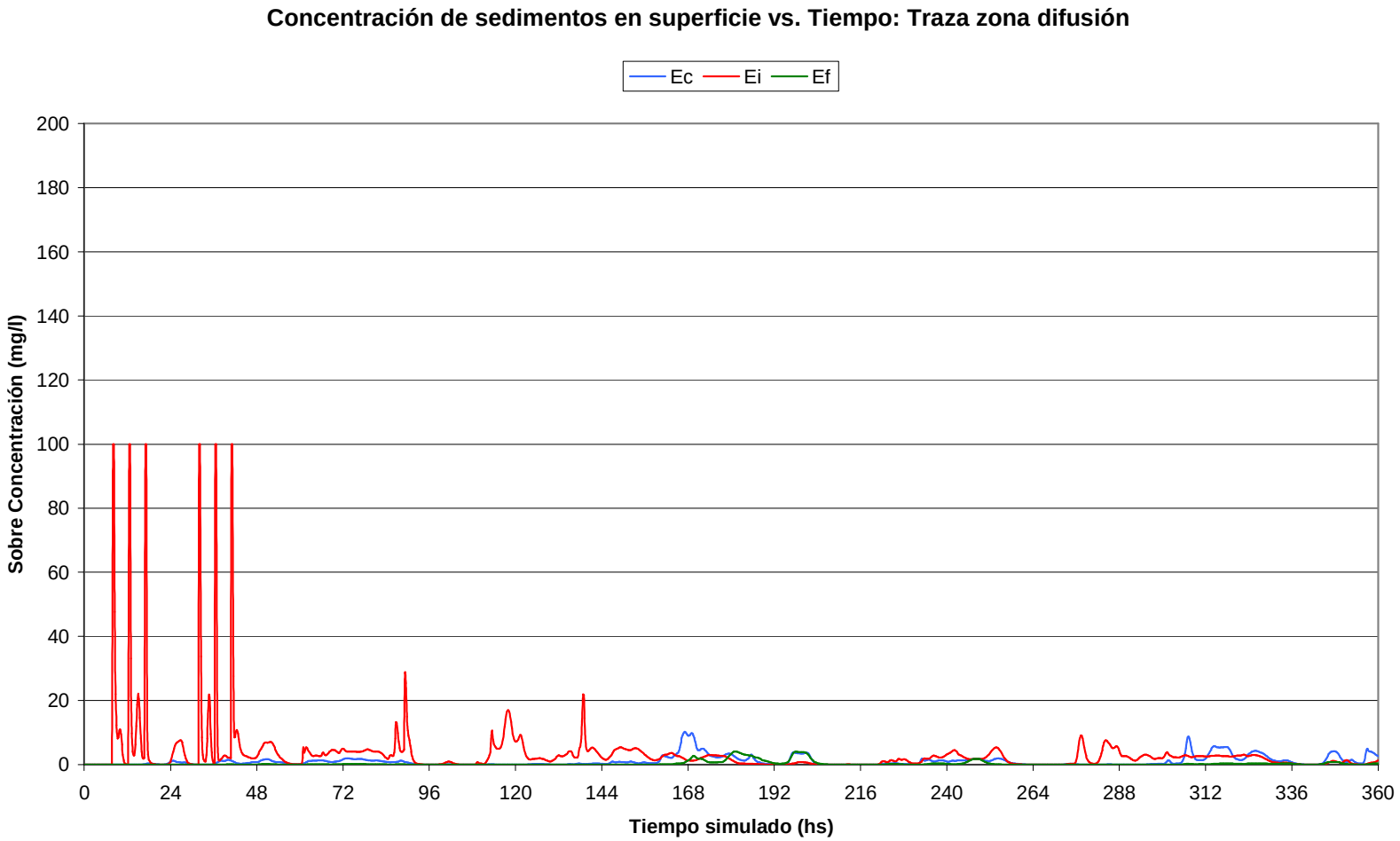

Figura A.6.5.4.1.4 – Concentración de sedimentos en la traza del emisario. Capa superficial.

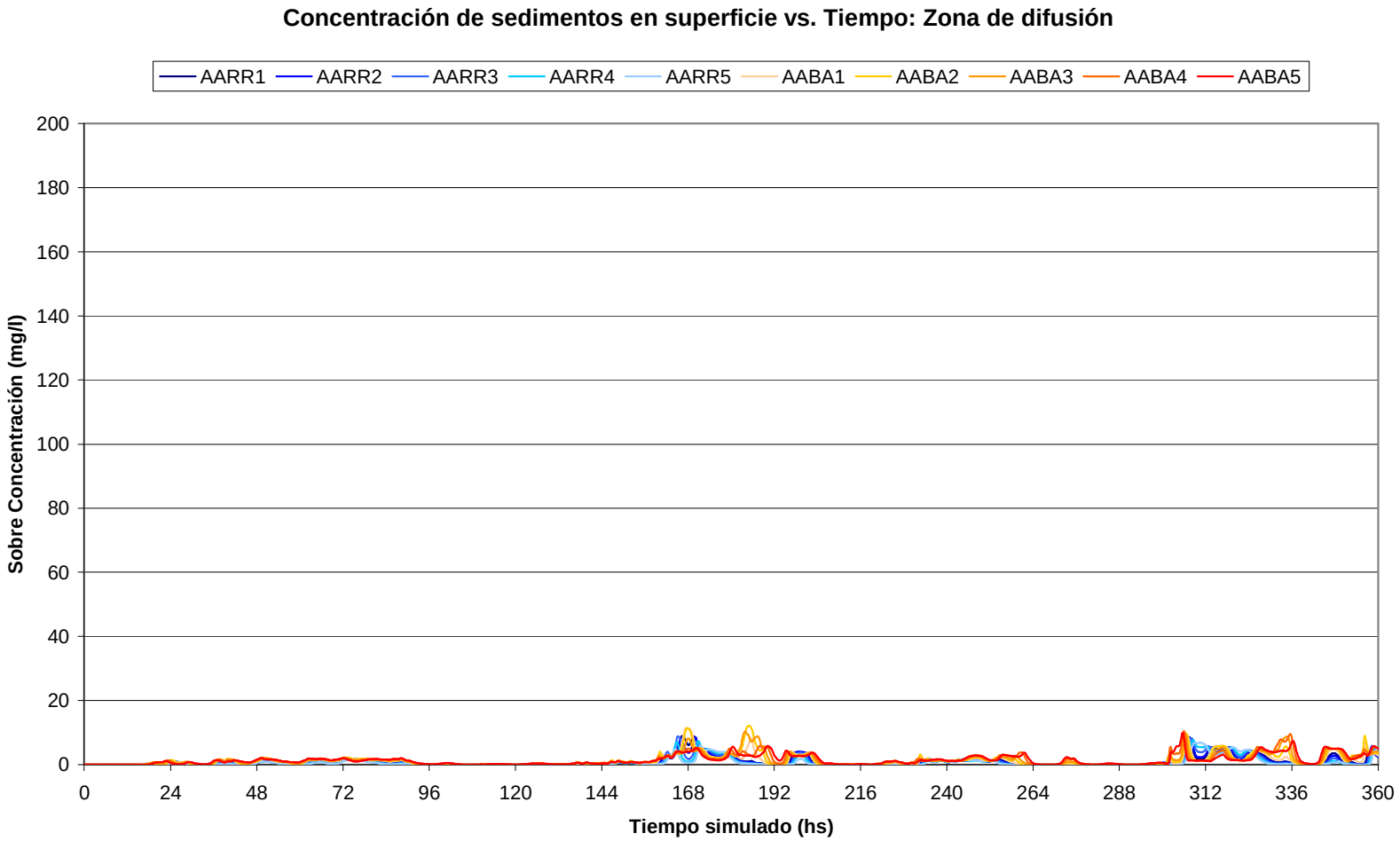

Figura A.6.5.4.1.5 – Concentración de sedimentos en la zona de difusión del emisario. Capa superficial.

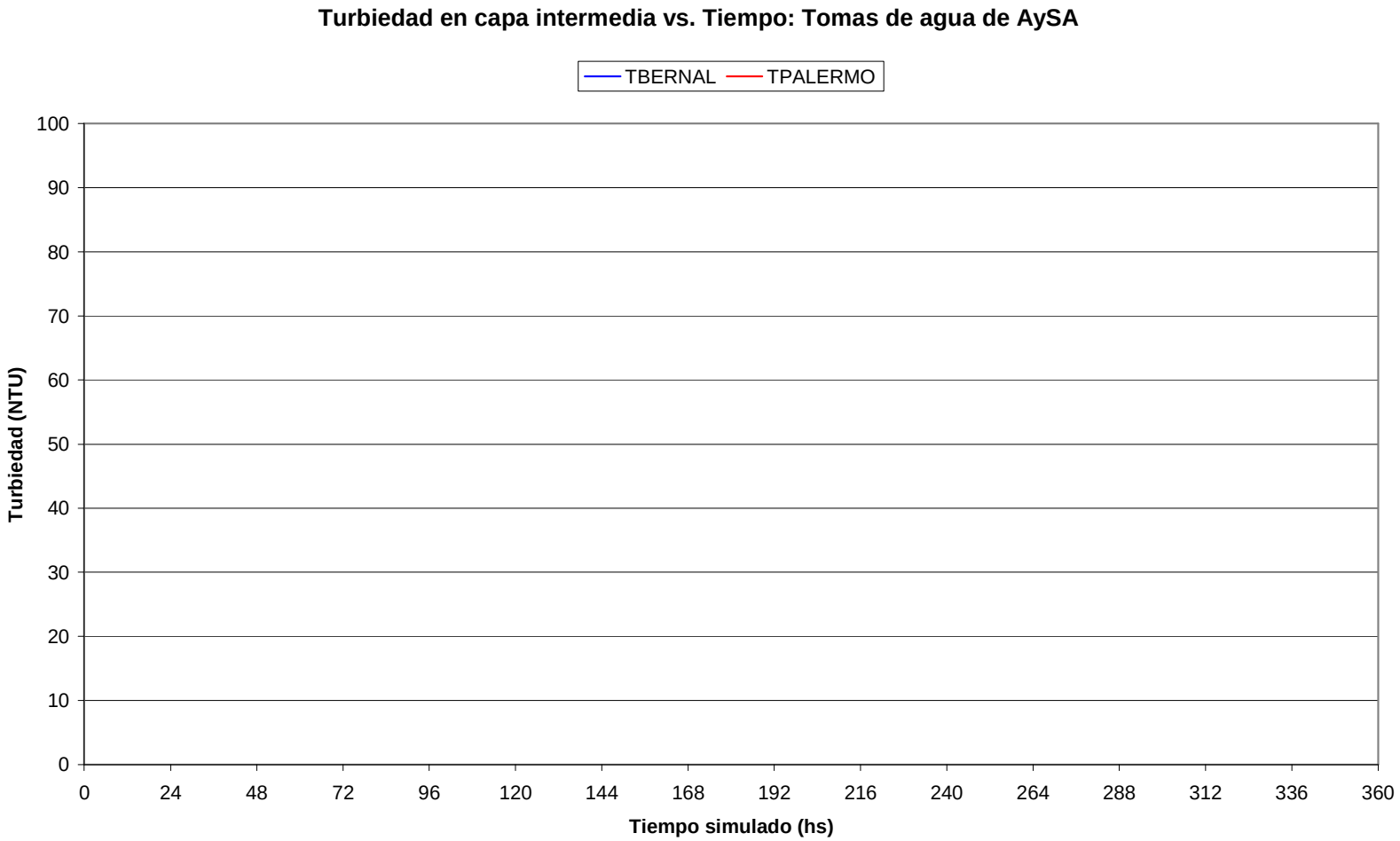

Figura A.6.5.4.1.6 – Turbiedad en tomas de agua. Capa intermedia. No se observan niveles mensurables de sobre-concentración.

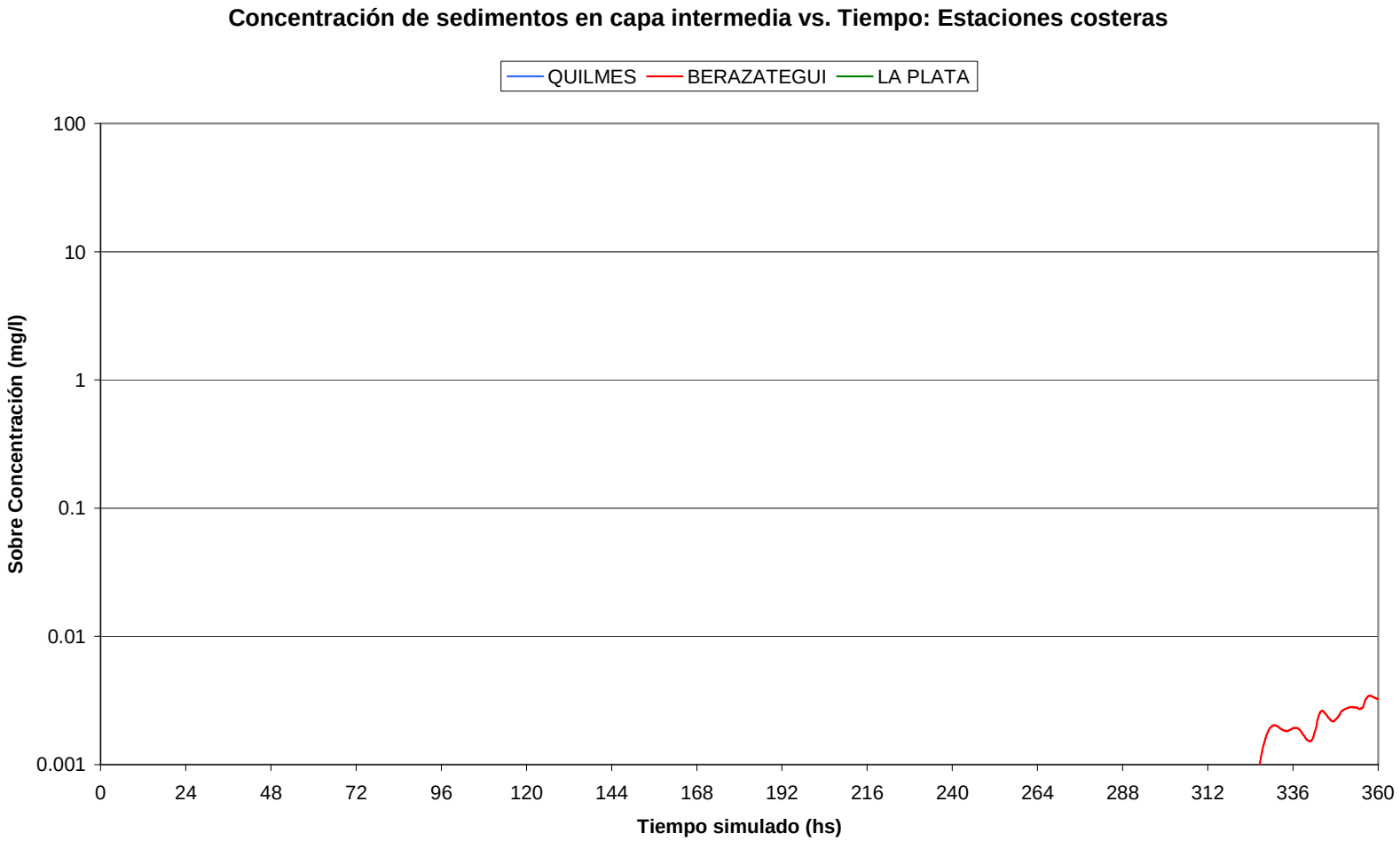

Figura A.6.5.4.1.7 – Concentración de sedimentos en áreas costeras. Capa intermedia.

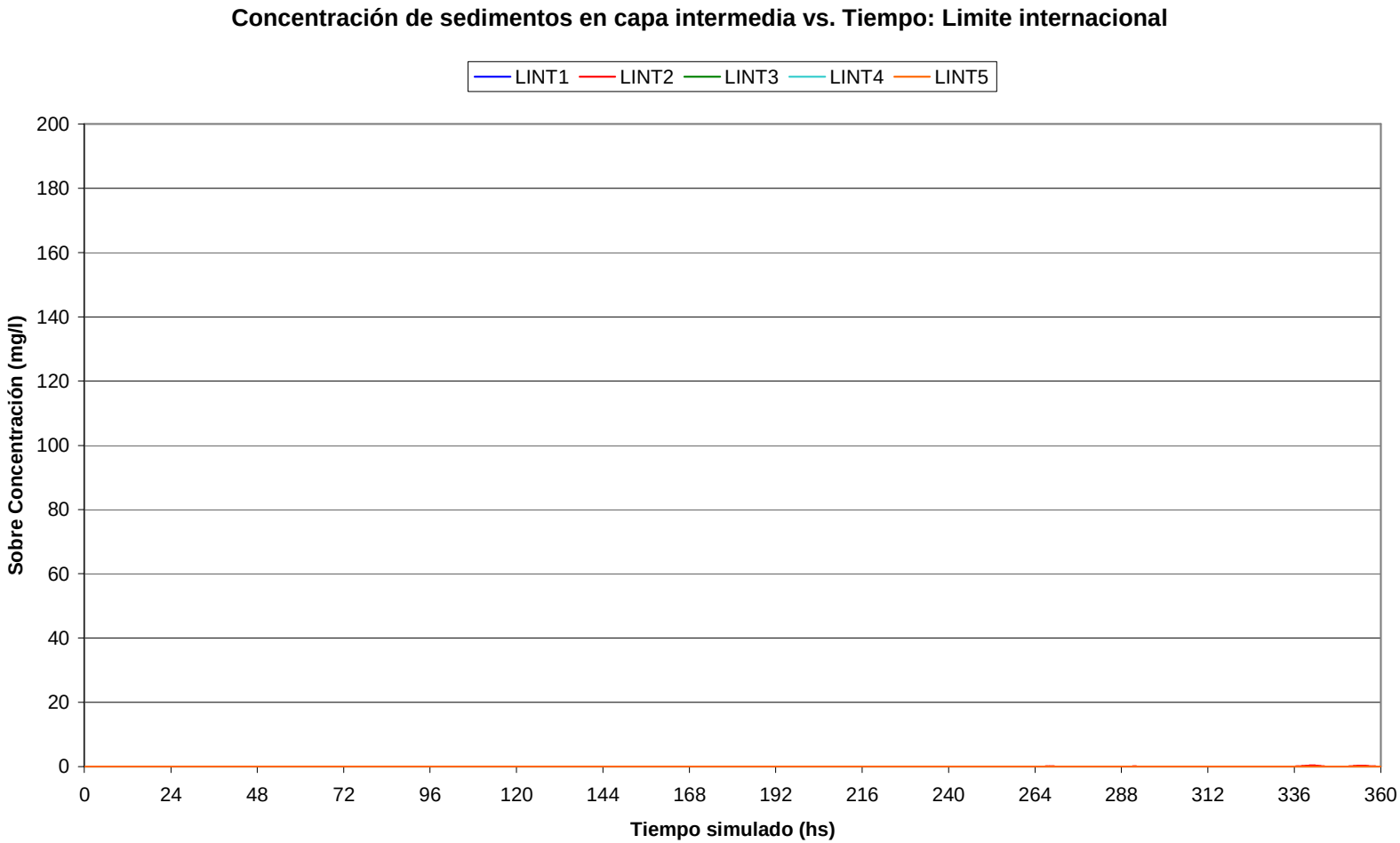

Figura A.6.5.4.1.8 – Concentración de sedimentos en el límite internacional. Capa intermedia. No se observan niveles mensurables de sobre-concentración.

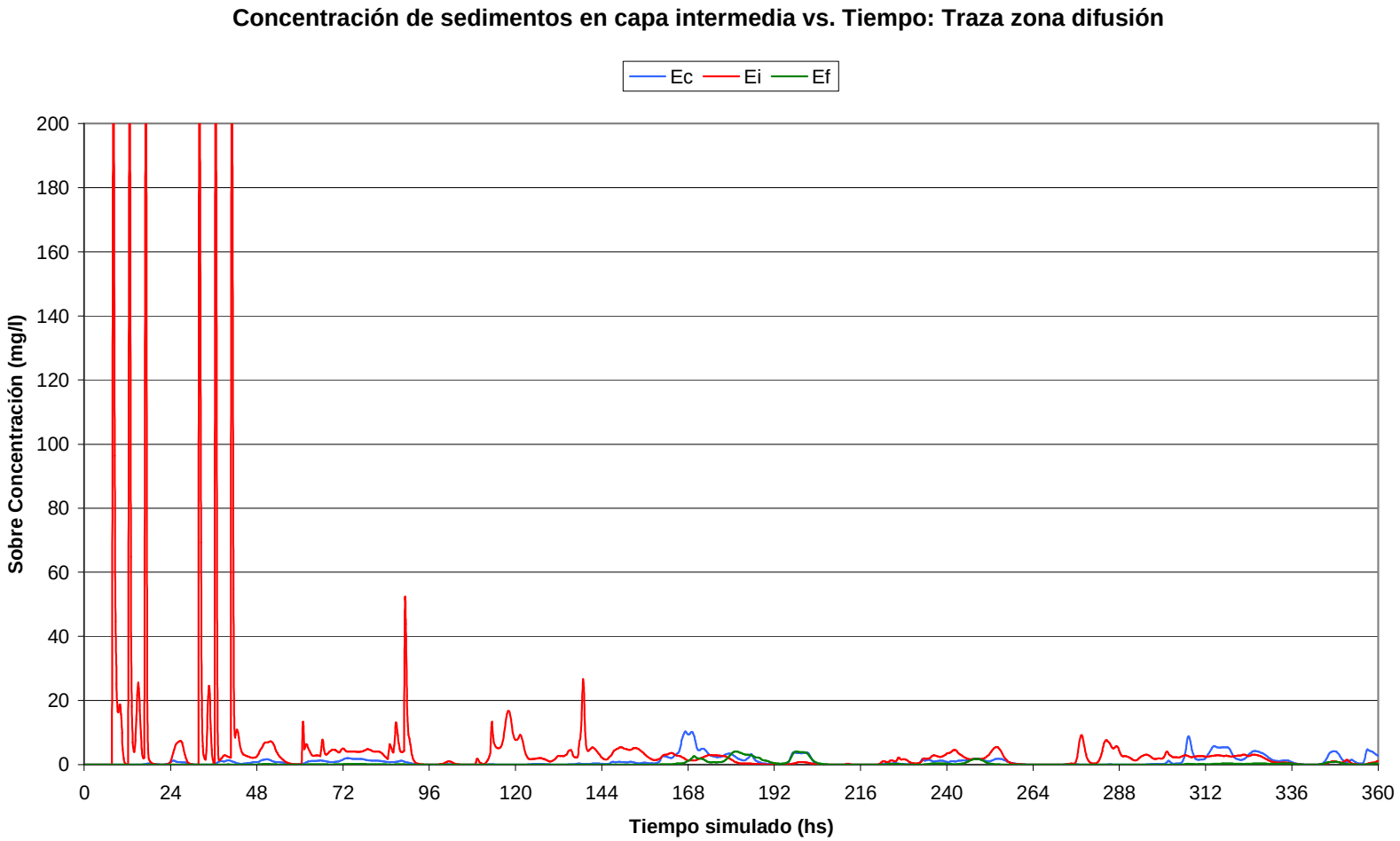

Figura A.6.5.4.1.9 – Concentración de sedimentos en la traza del emisario. Capa intermedia.

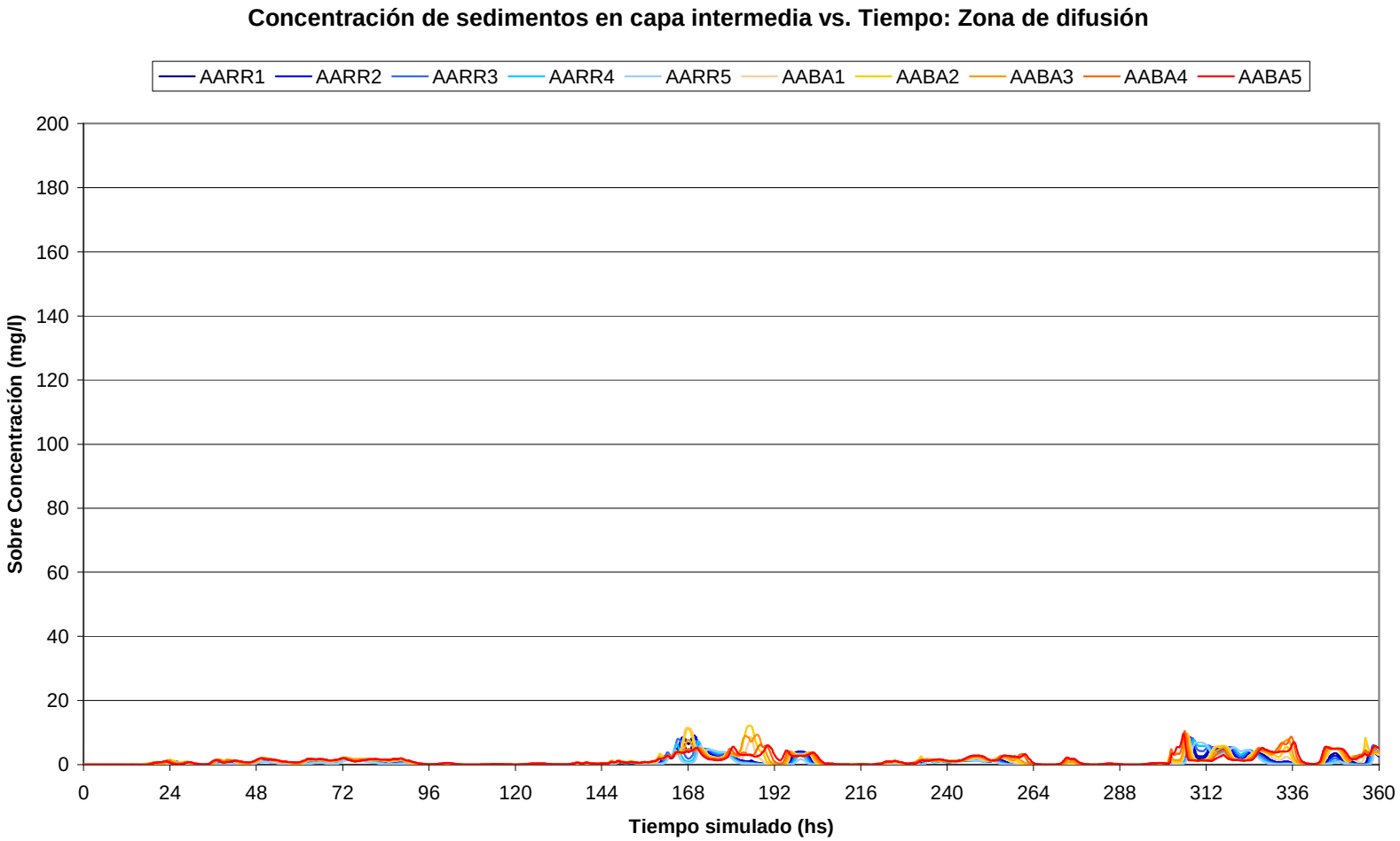

Figura A.6.5.4.1.10 – Concentración de sedimentos en la zona de difusión del emisario. Capa intermedia.

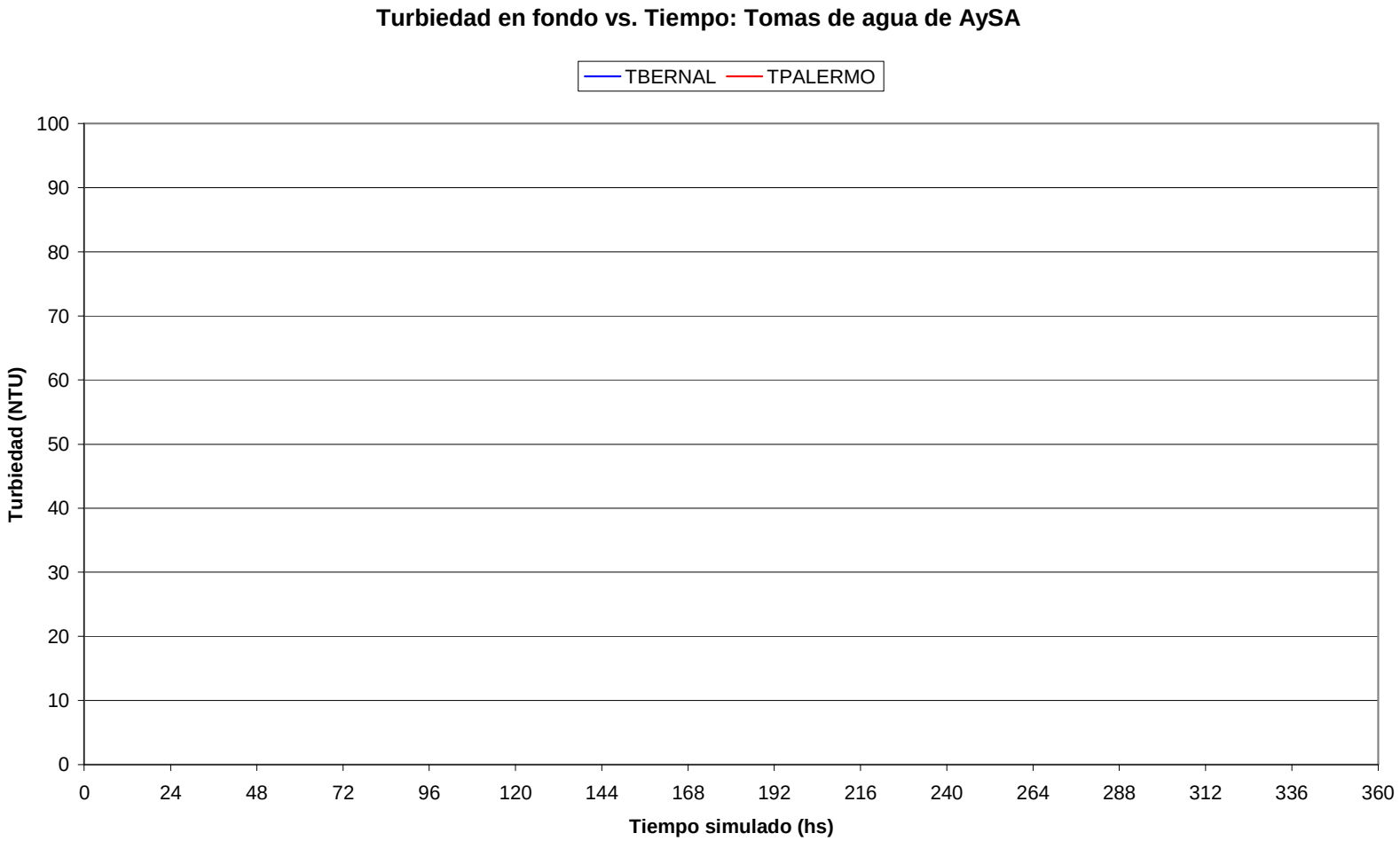

Figura A.6.5.4.1.11 – Turbiedad en tomas de agua. Capa de fondo. No se observan niveles mensurables de sobre-concentración.

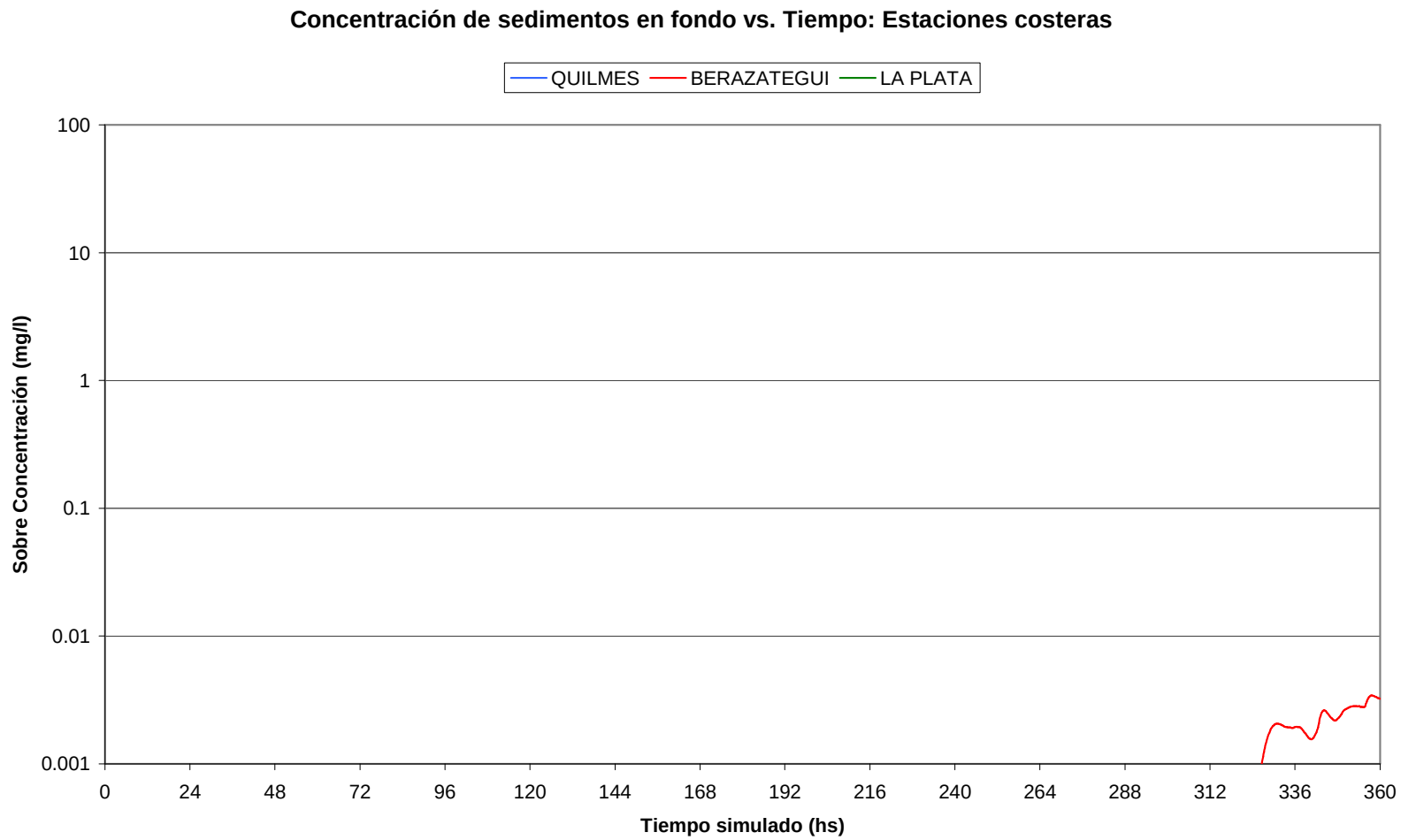

Figura A.6.5.4.1.12 – Concentración de sedimentos en áreas costeras. Capa de fondo.

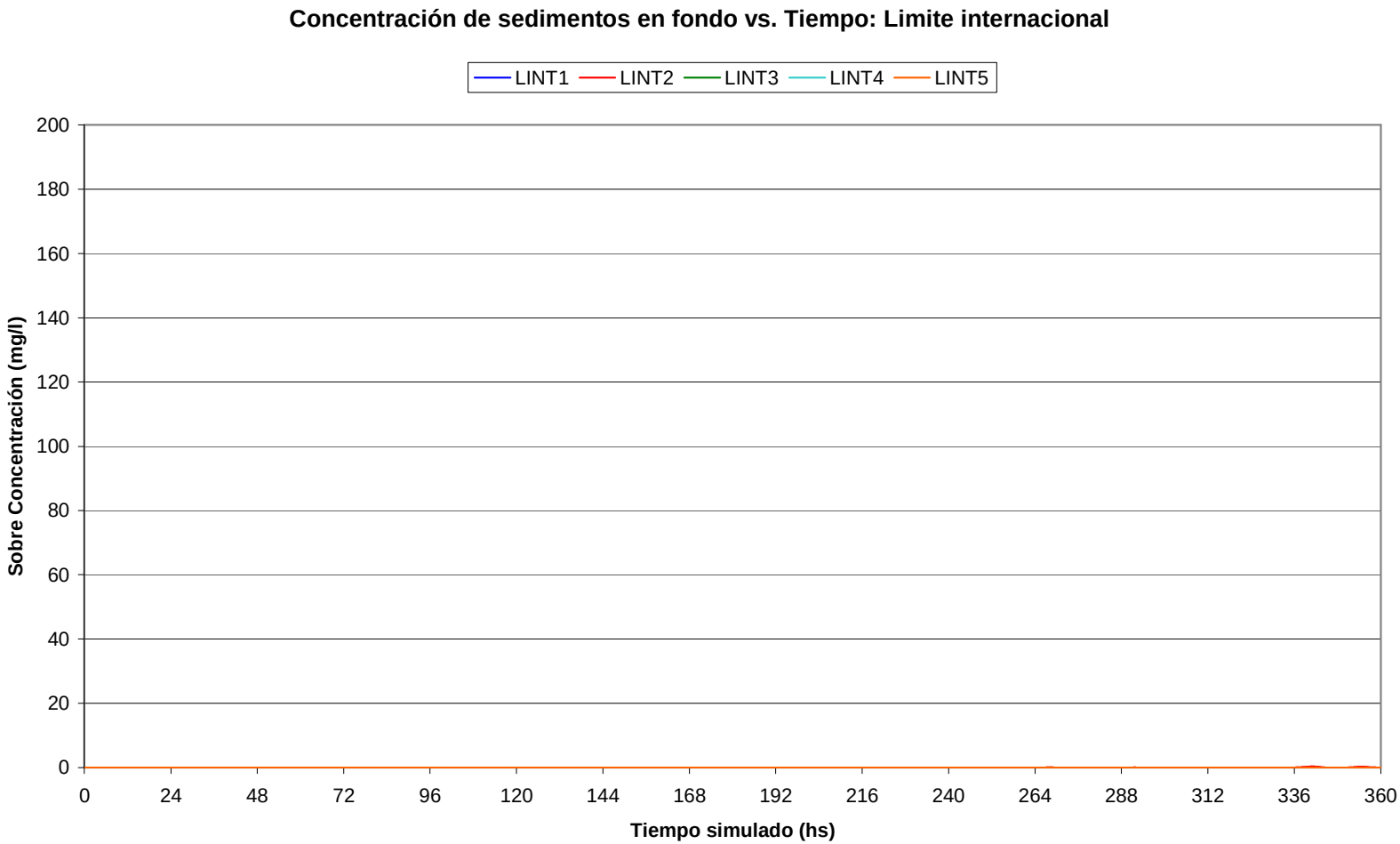

Figura A.6.5.4.1.13 – Concentración de sedimentos en el límite internacional. Capa de fondo. No se observan niveles mensurables de sobre-concentración.

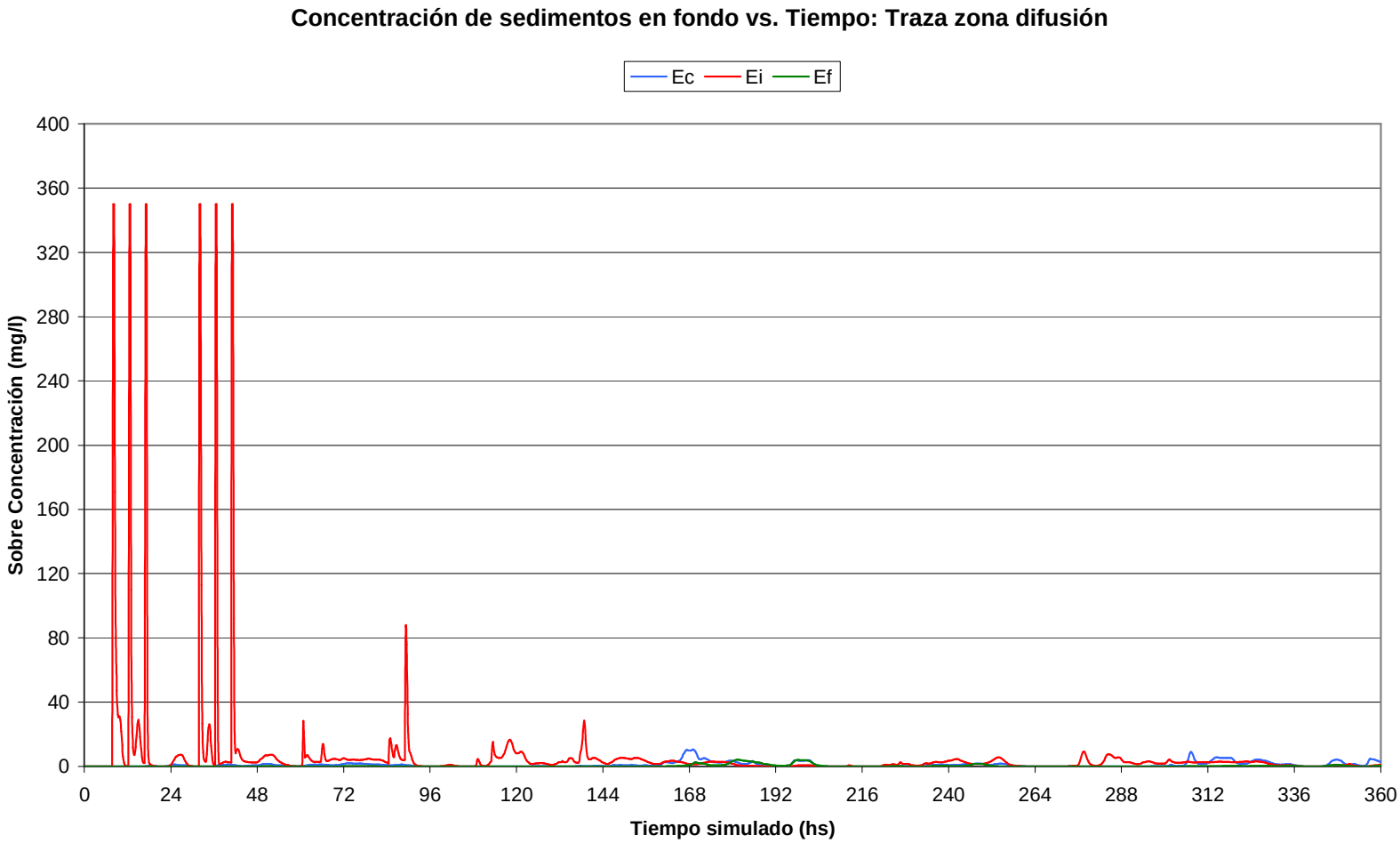

Figura A.6.5.4.1.14 – Concentración de sedimentos en la traza del emisario. Capa de fondo.

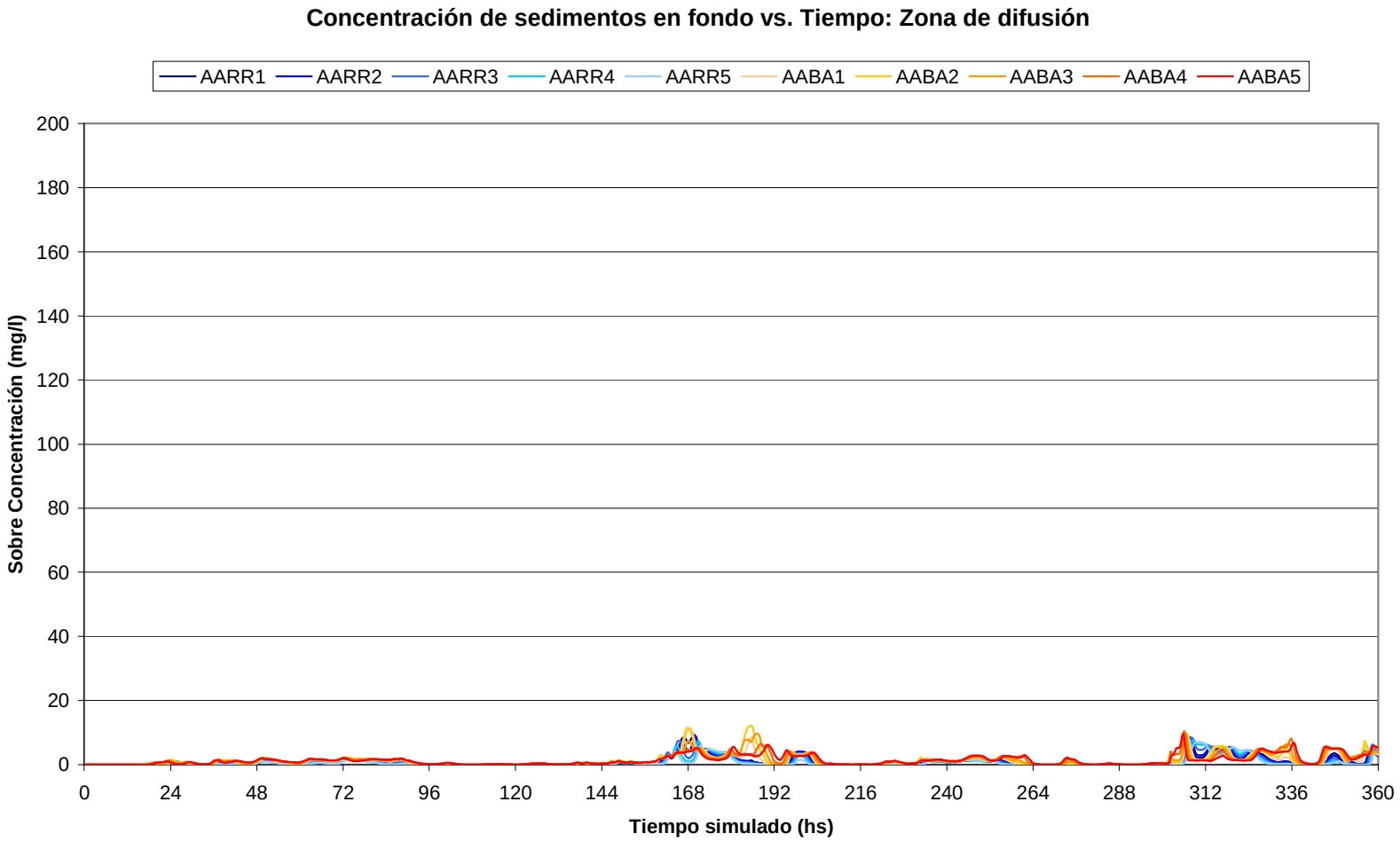

Figura A.6.5.4.1.15 – Concentración de sedimentos en la zona de difusión del emisario. Capa de fondo.

ANEXO 6.5.4.2

Tapada de zanja en emisario Riachuelo.

Distribución espacial de concentraciones y material sedimentado.

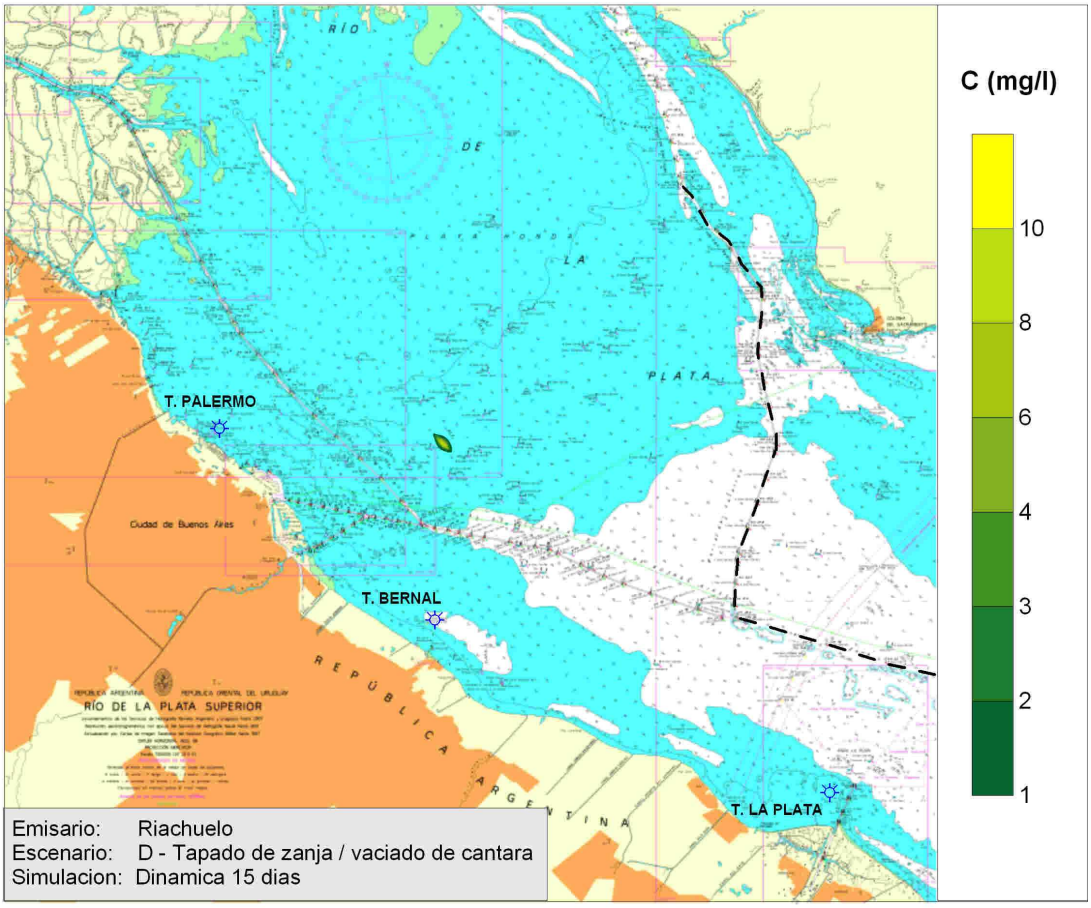

Figura A.6.5.4.2.1 – Distribución superficial de la concentración: día 1 hora 12.

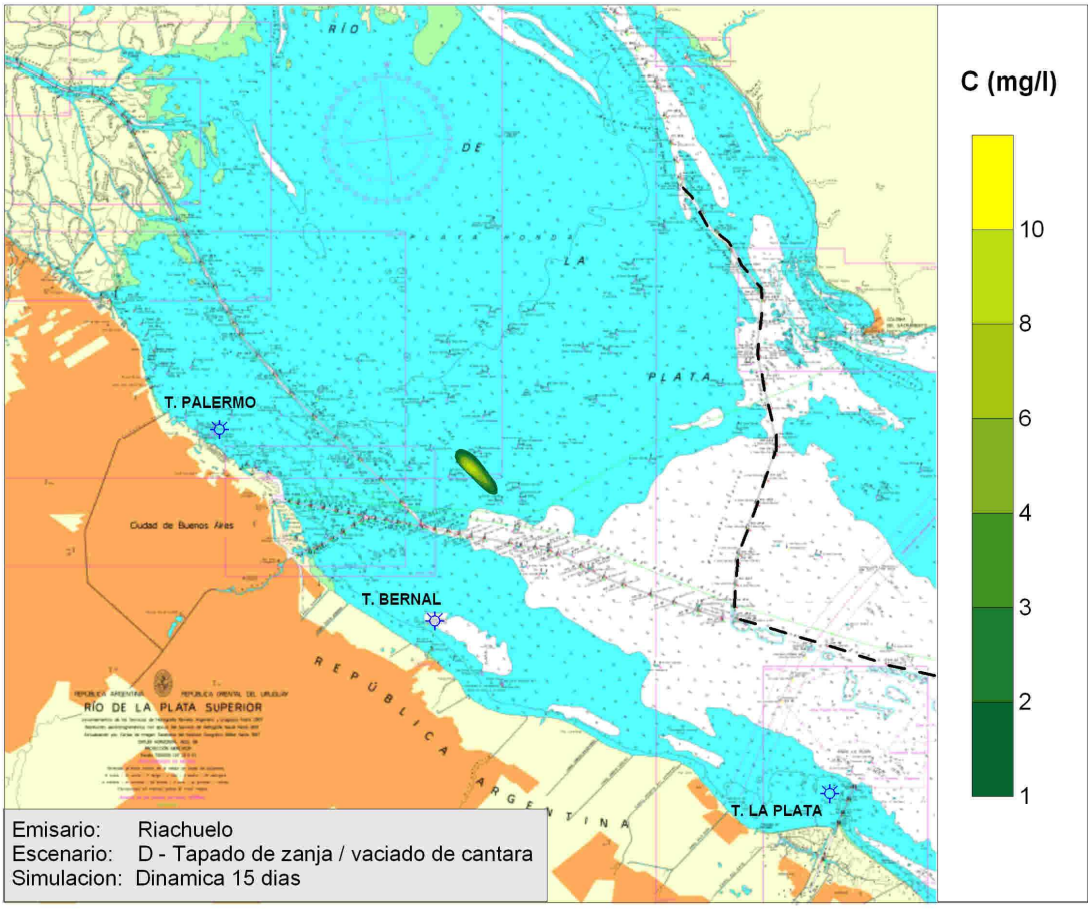

Figura A.6.5.4.2.2 – Distribución superficial de la concentración: día 1 hora 24.

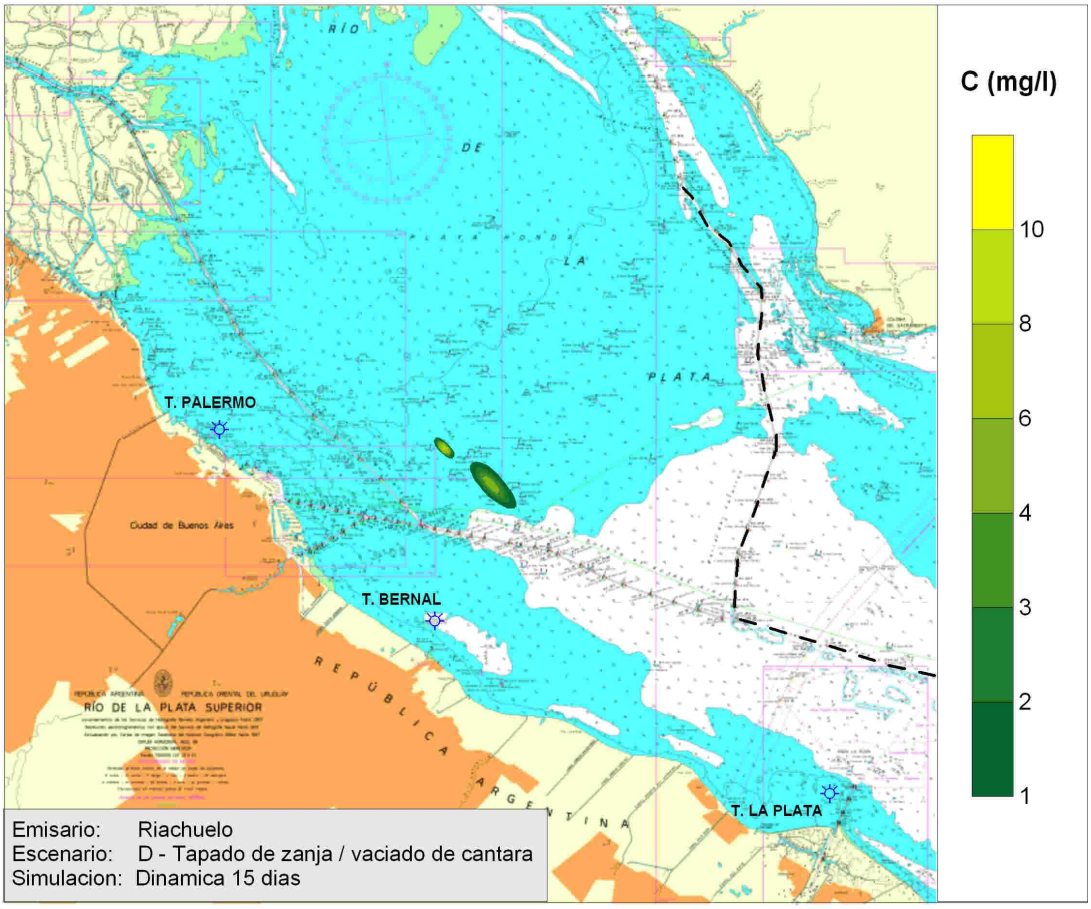

Figura A.6.5.4.2.3 – Distribución superficial de la concentración: día 2 hora 12.

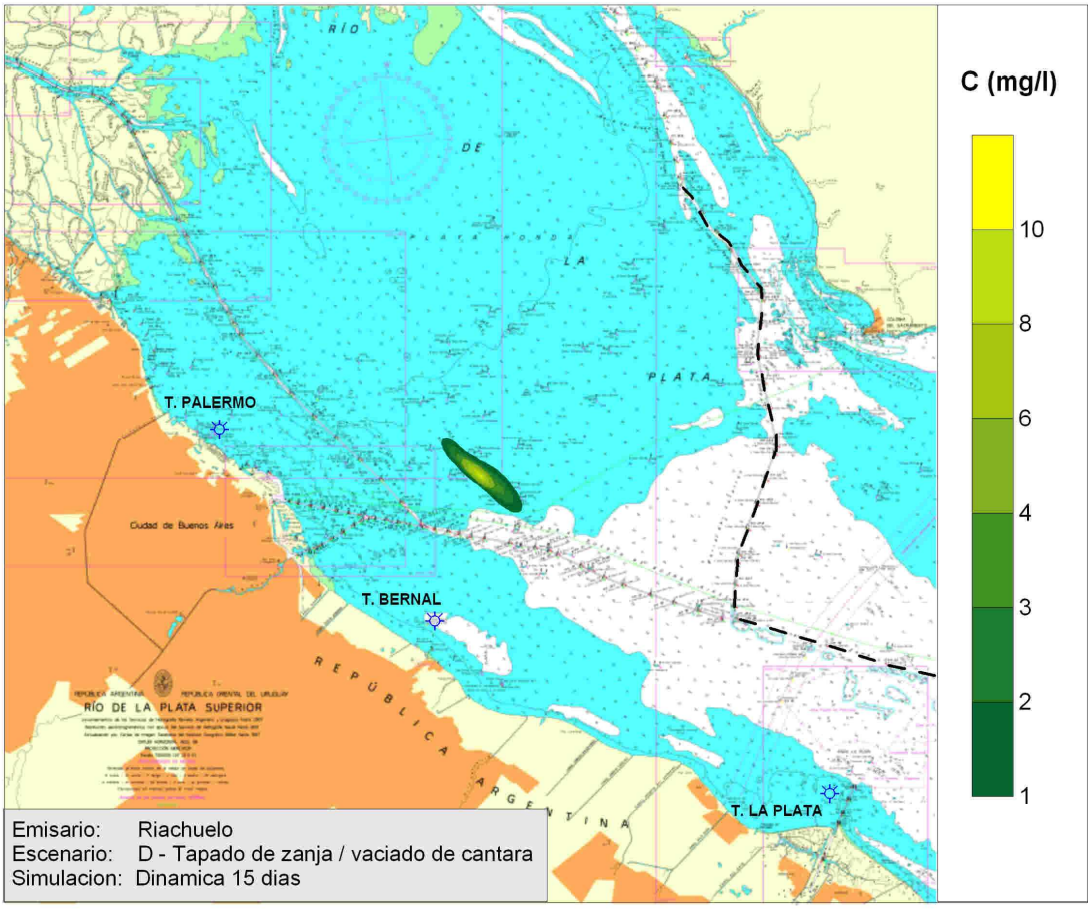

Figura A.6.5.4.2.4 – Distribución superficial de la concentración: día 2 hora 24.

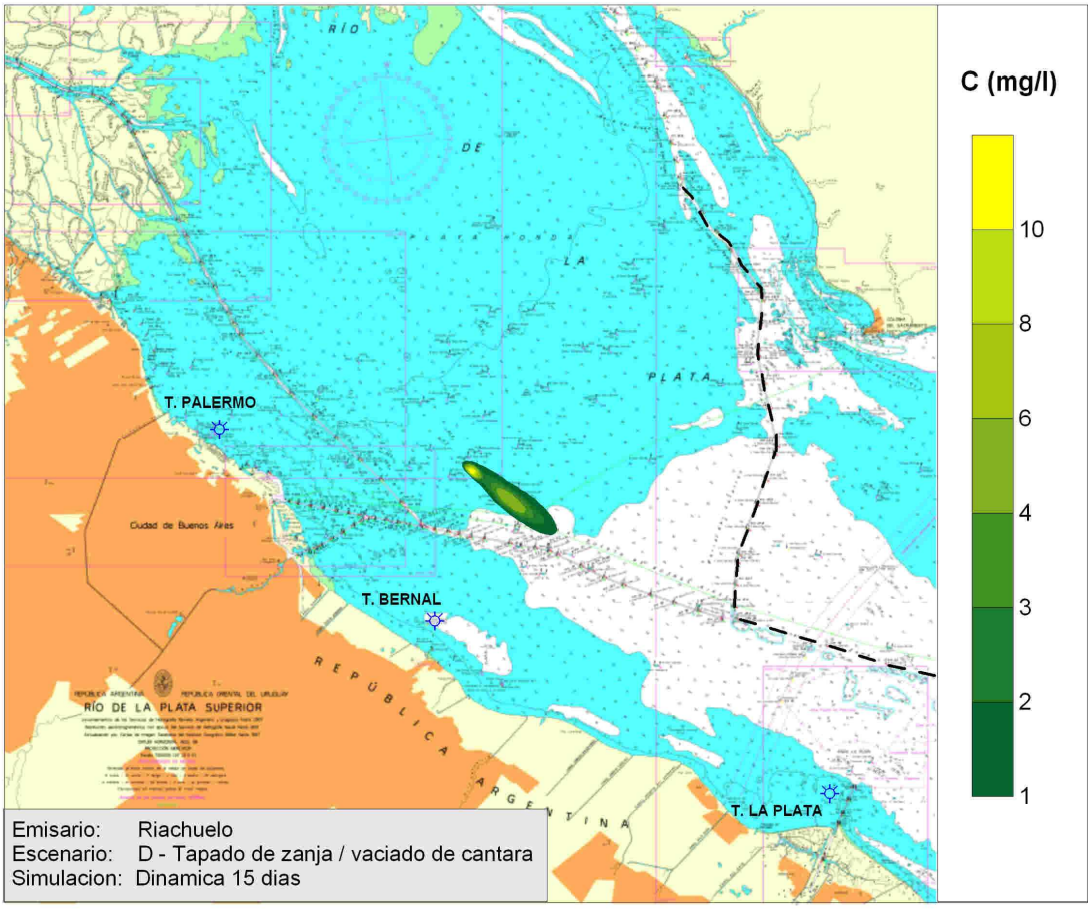

Figura A.6.5.4.2.5 – Distribución superficial de la concentración: día 3 hora 12.

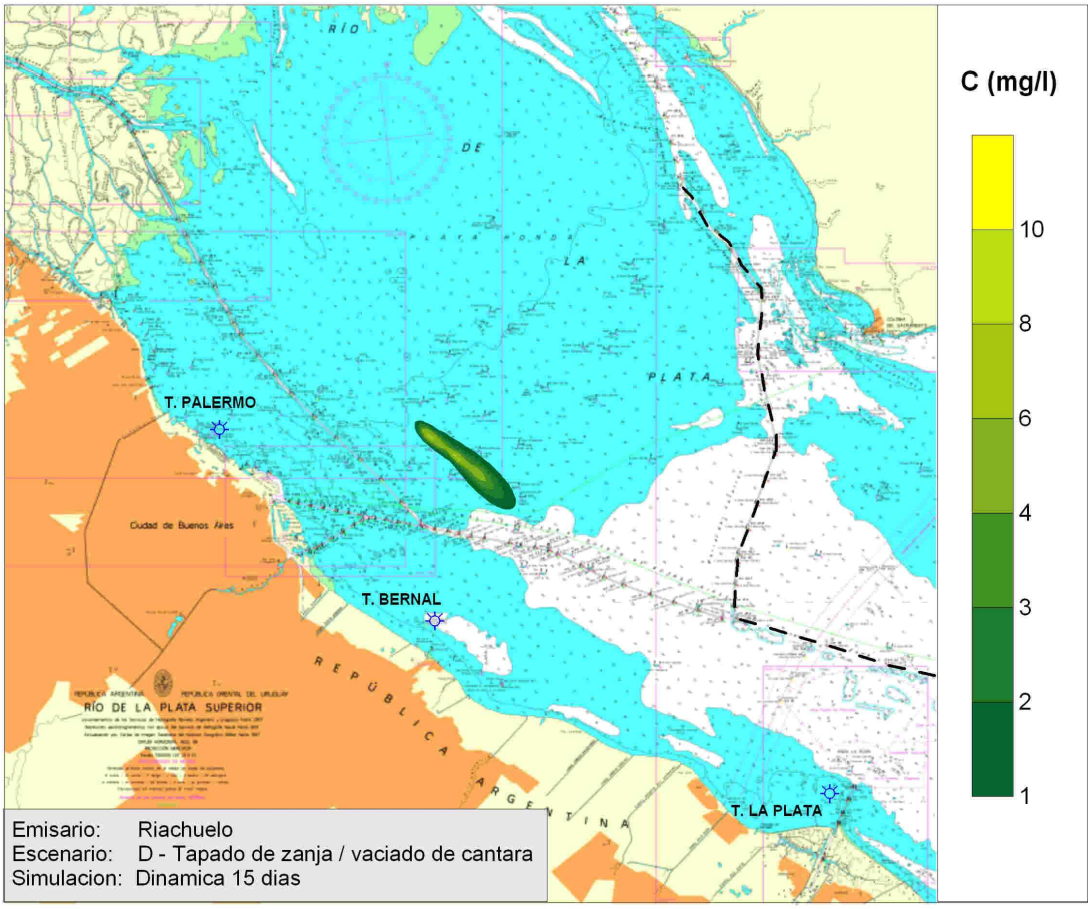

Figura A.6.5.4.2.6 – Distribución superficial de la concentración: día 3 hora 24.

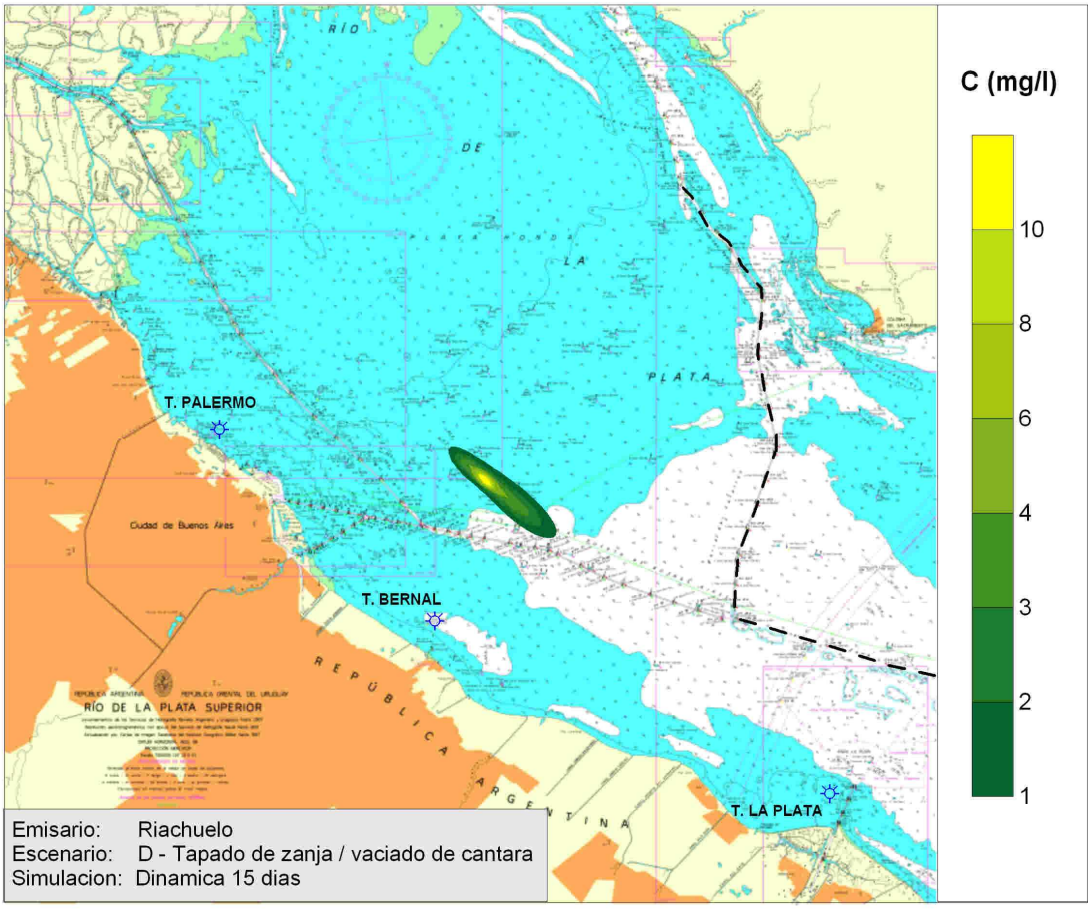

Figura A.6.5.4.2.7 – Distribución superficial de la concentración: día 4 hora 12.

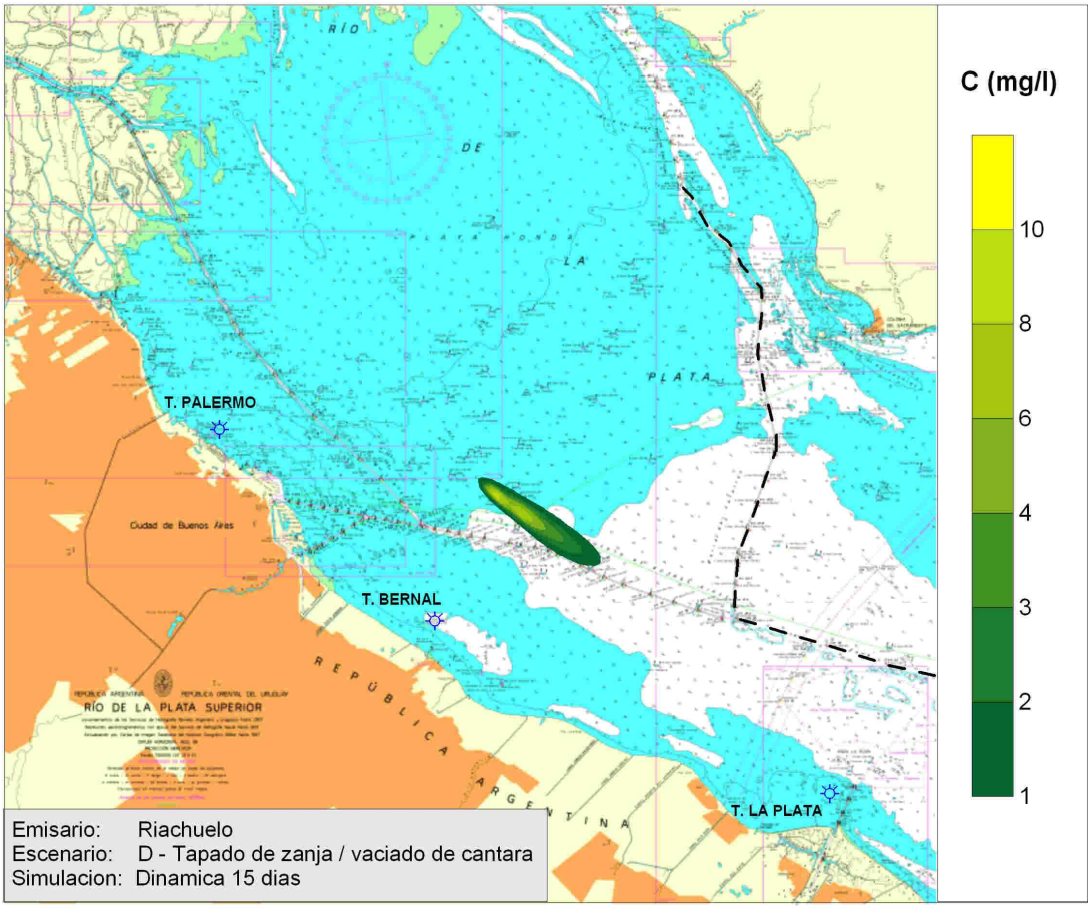

Figura A.6.5.4.2.8 – Distribución superficial de la concentración: día 4 hora 24.

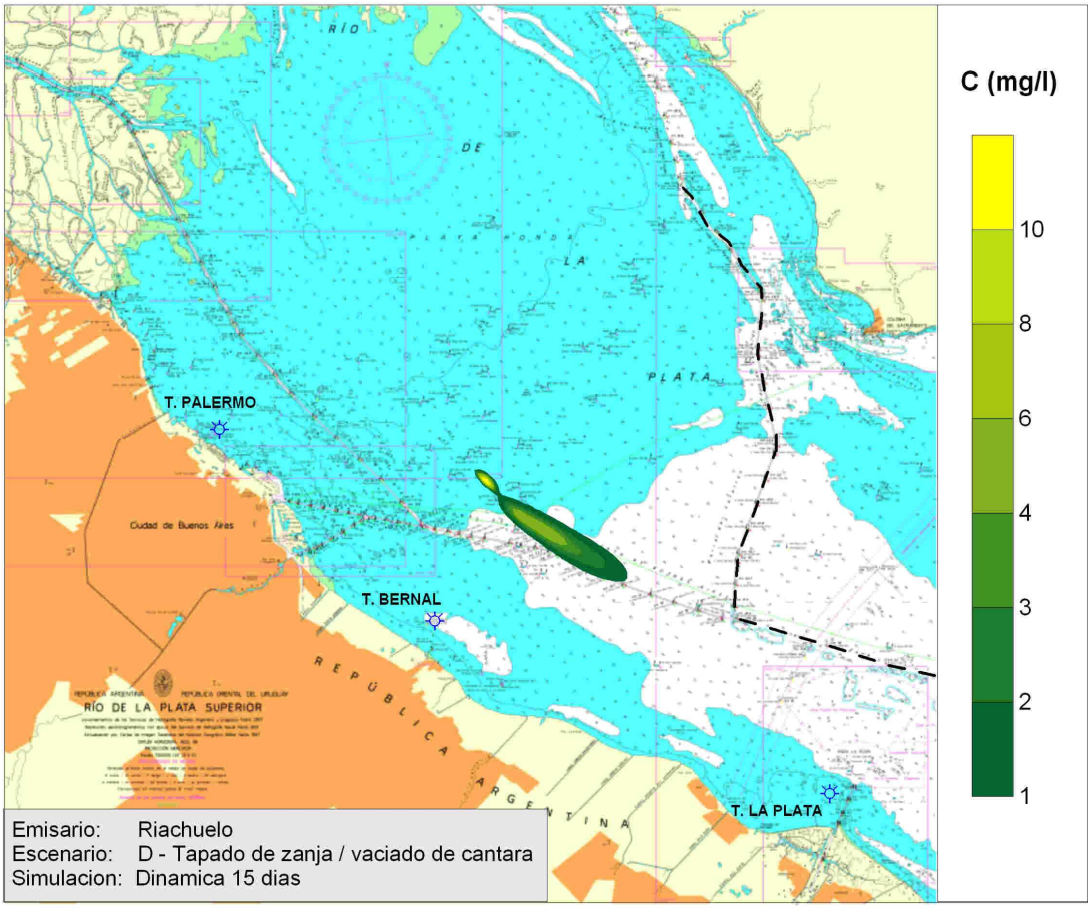

Figura A.6.5.4.2.9 – Distribución superficial de la concentración: día 5 hora 12.

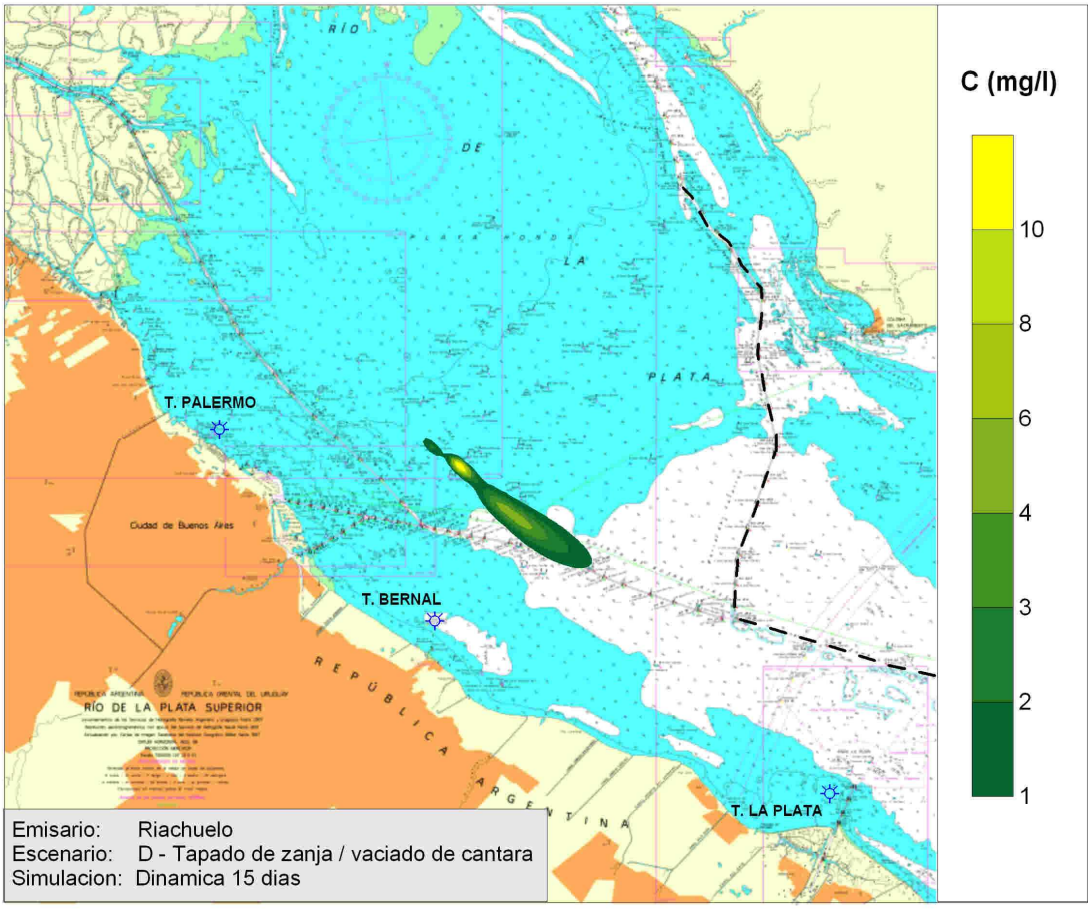

Figura A.6.5.4.2.10 – Distribución superficial de la concentración: día 5 hora 24.

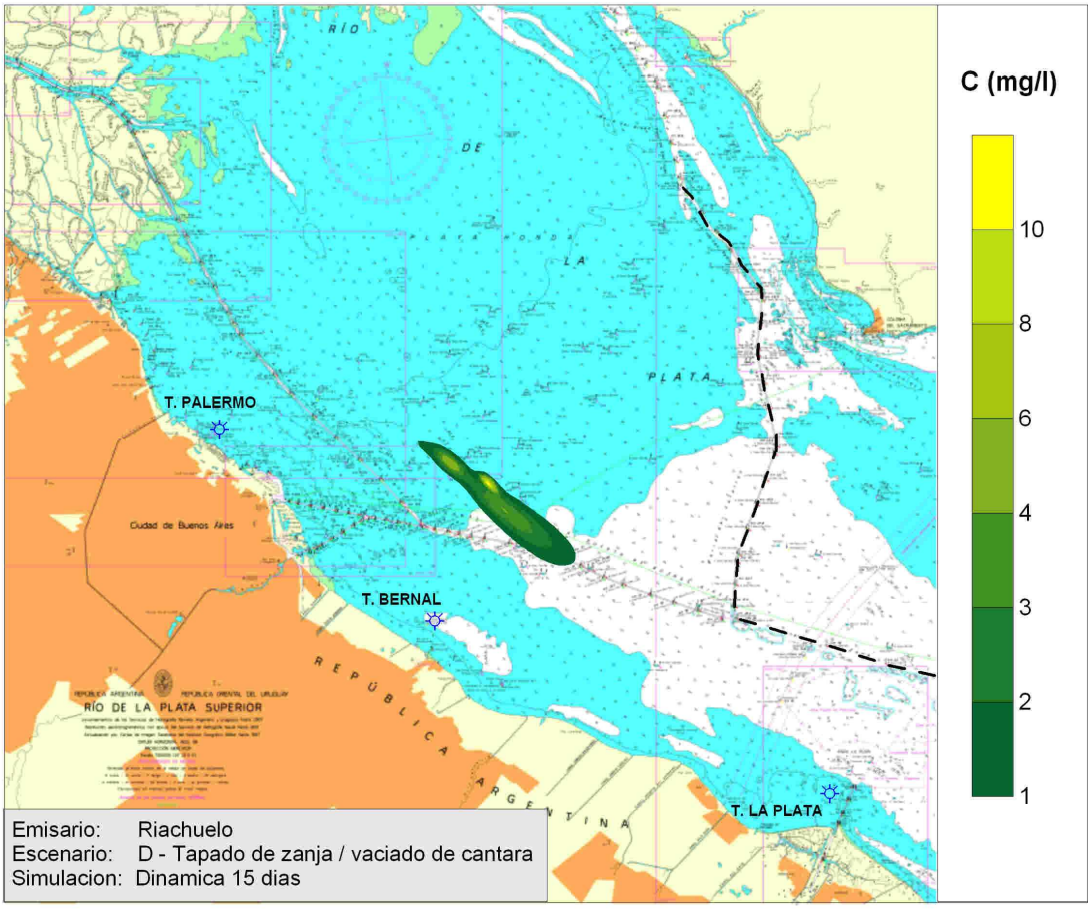

Figura A.6.5.4.2.11 – Distribución superficial de la concentración: día 6 hora 12.

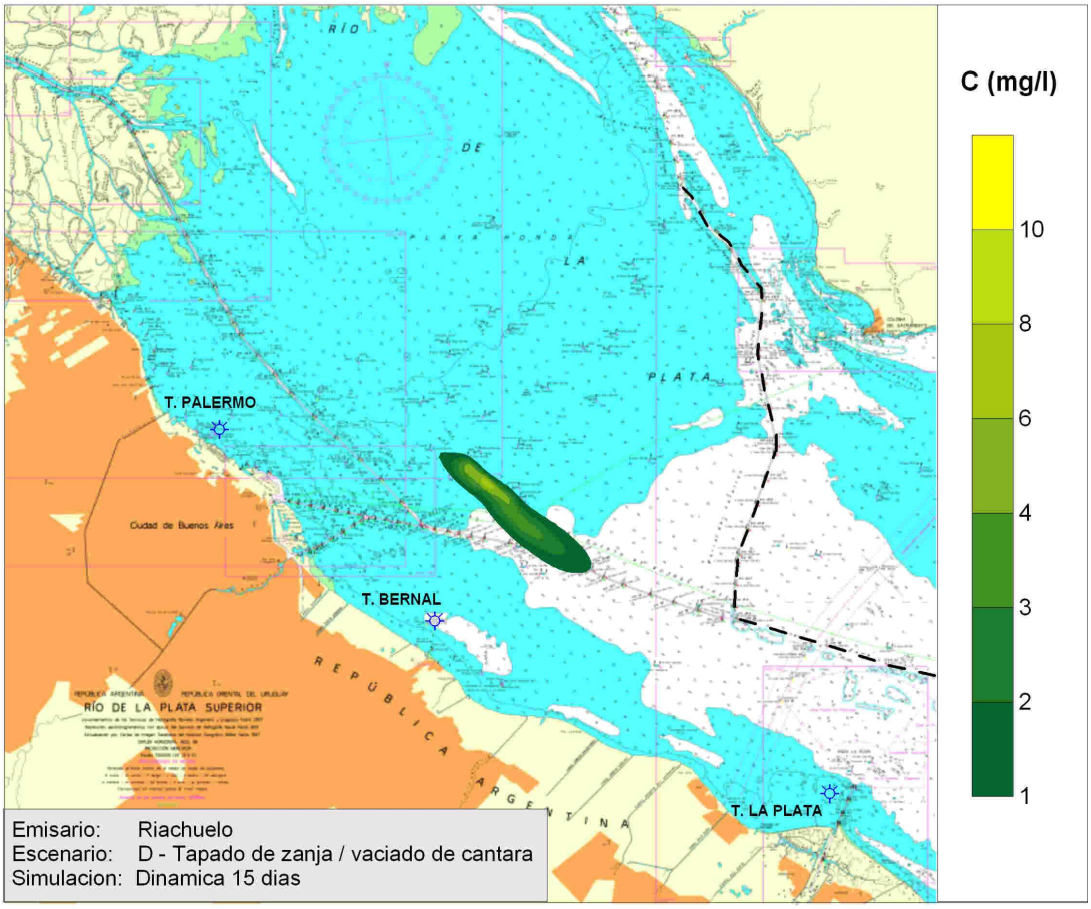

Figura A.6.5.4.2.12 – Distribución superficial de la concentración: día 6 hora 24.

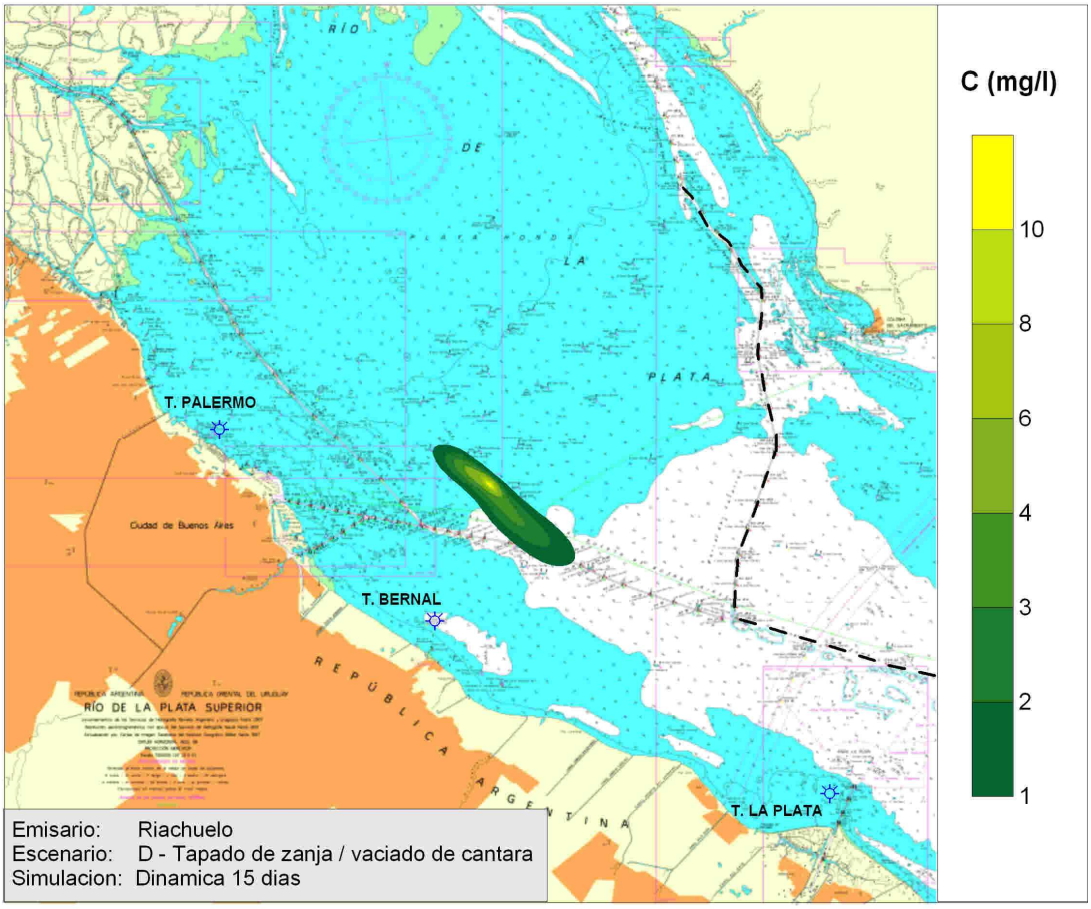

Figura A.6.5.4.2.13 – Distribución superficial de la concentración: día 7 hora 12.

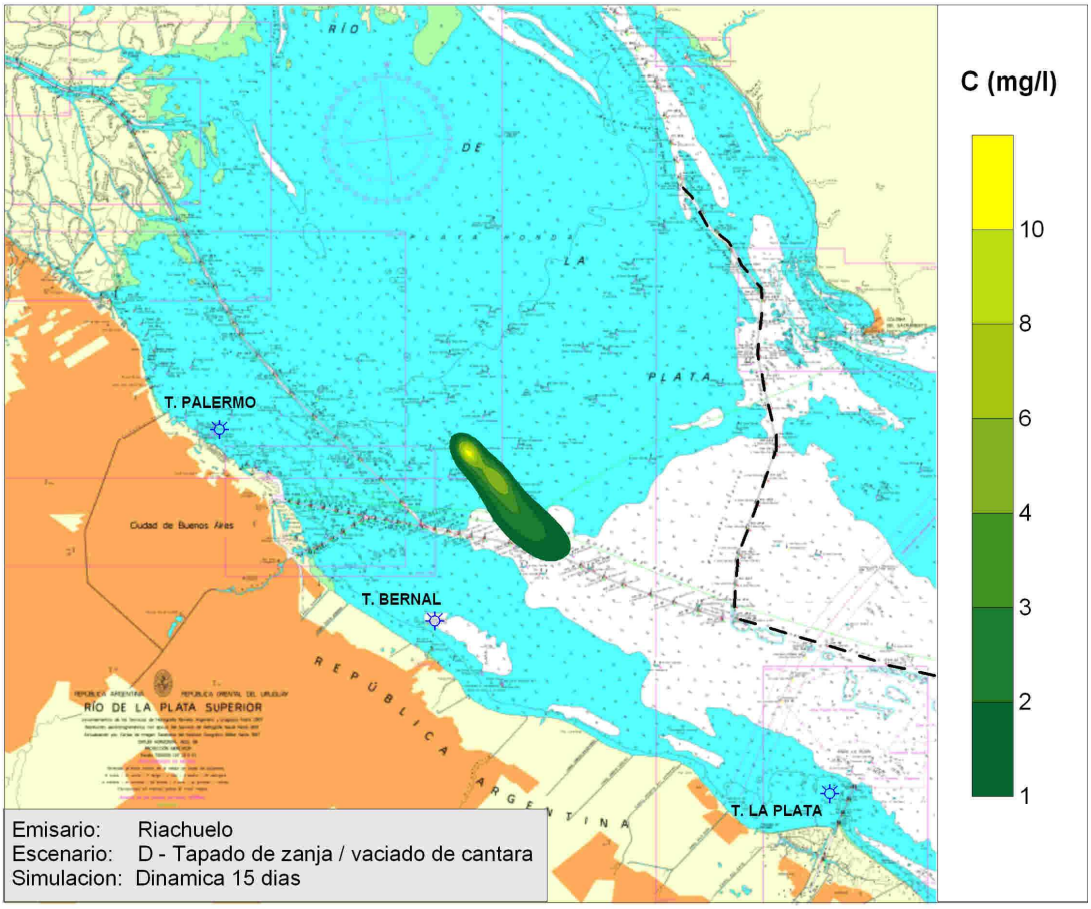

Figura A.6.5.4.2.14 – Distribución superficial de la concentración: día 7 hora 24.

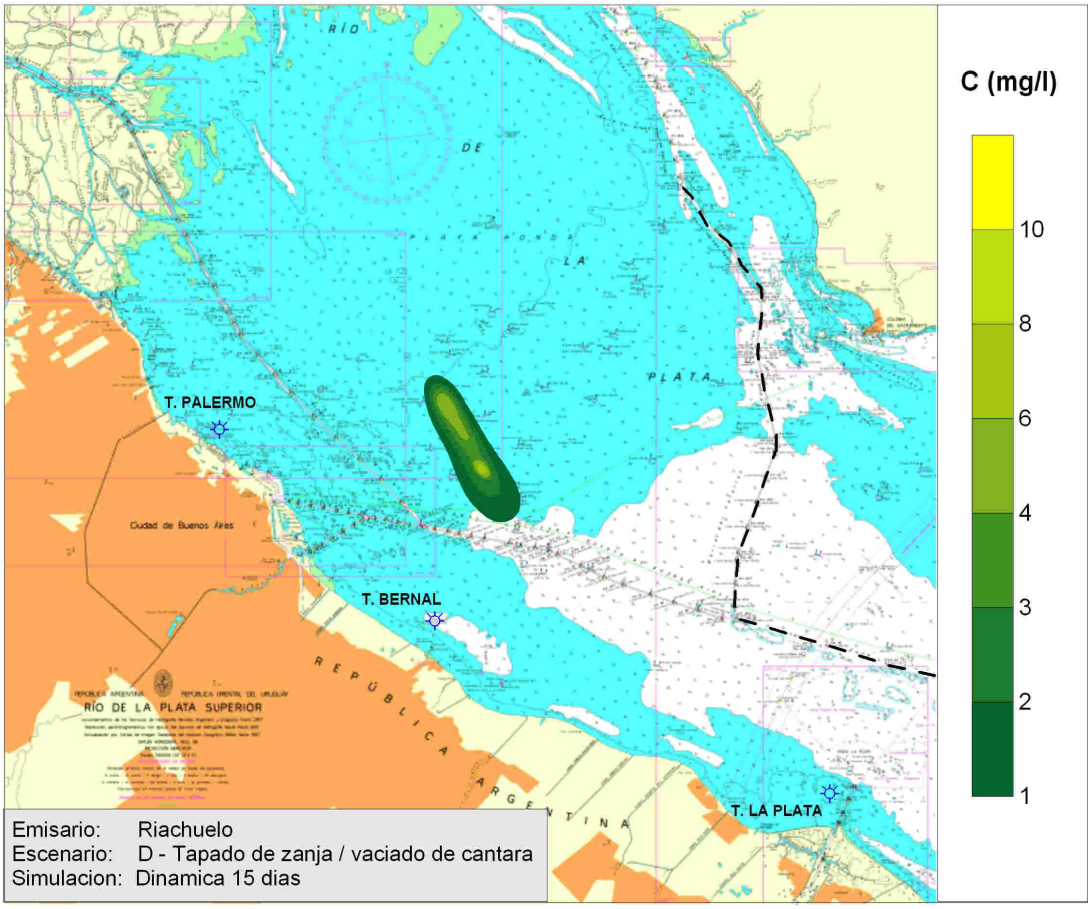

Figura A.6.5.4.2.15 – Distribución superficial de la concentración: día 8 hora 12.

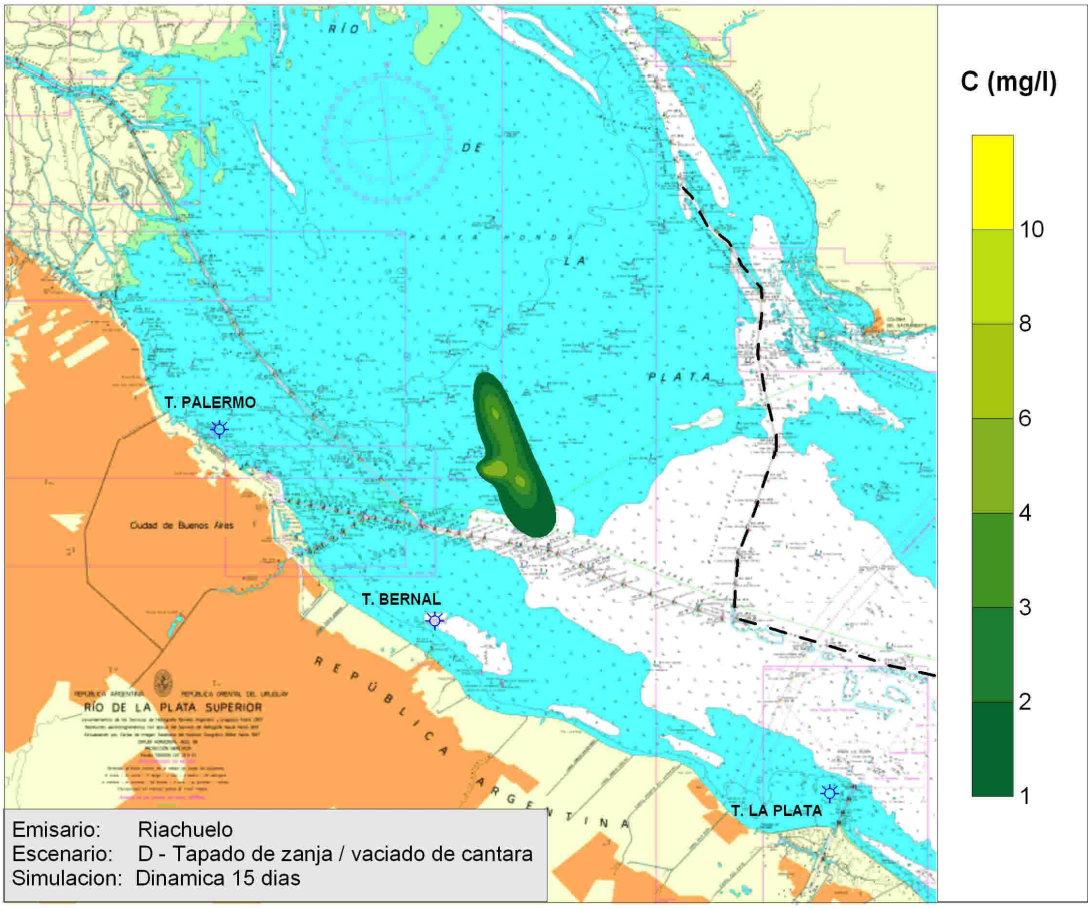

Figura A.6.5.4.2.16 – Distribución superficial de la concentración: día 8 hora 24.

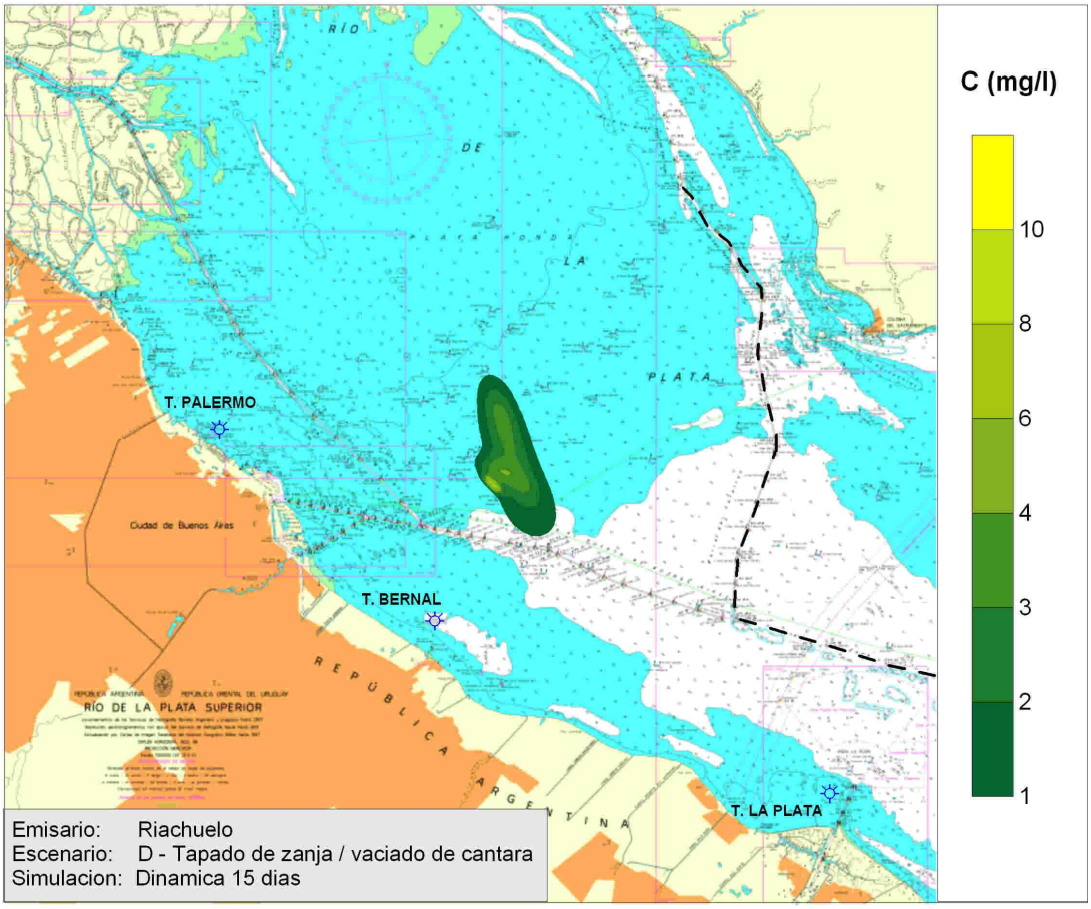

Figura A.6.5.4.2.17 – Distribución superficial de la concentración: día 9 hora 12.

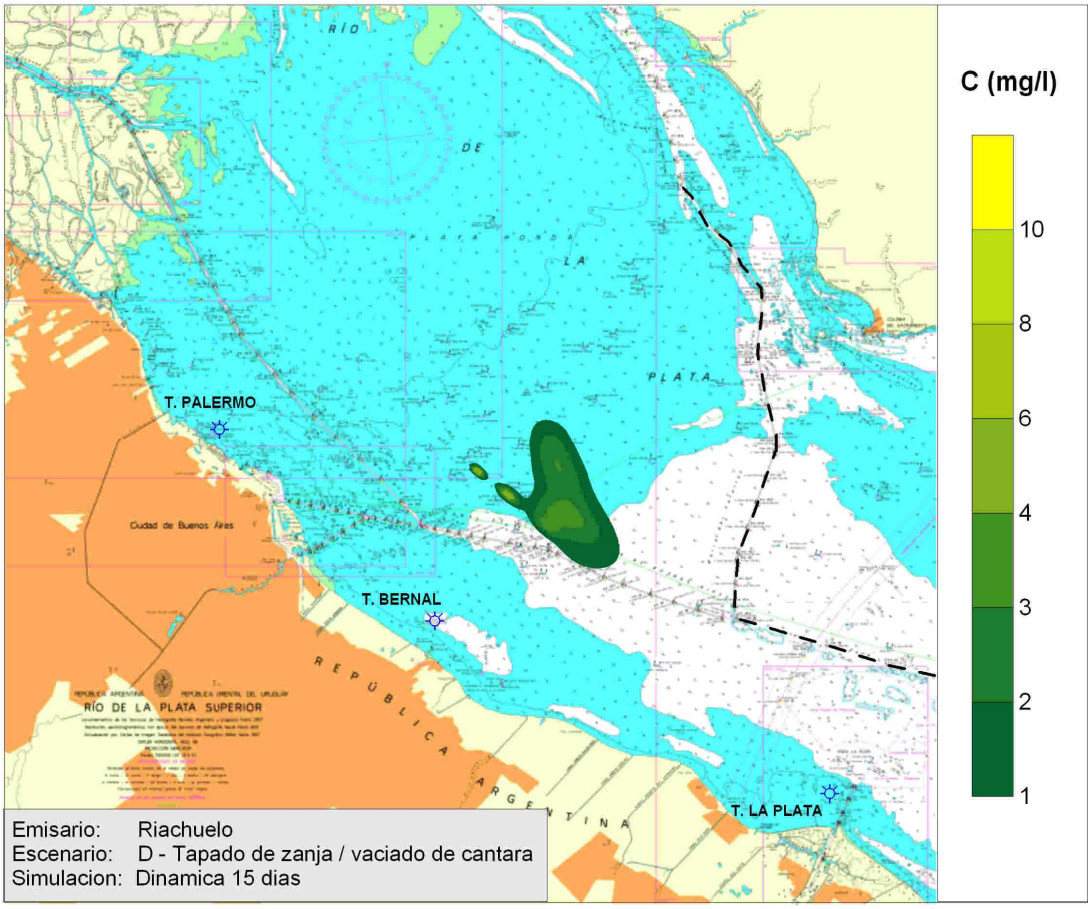

Figura A.6.5.4.2.18 – Distribución superficial de la concentración: día 9 hora 24.

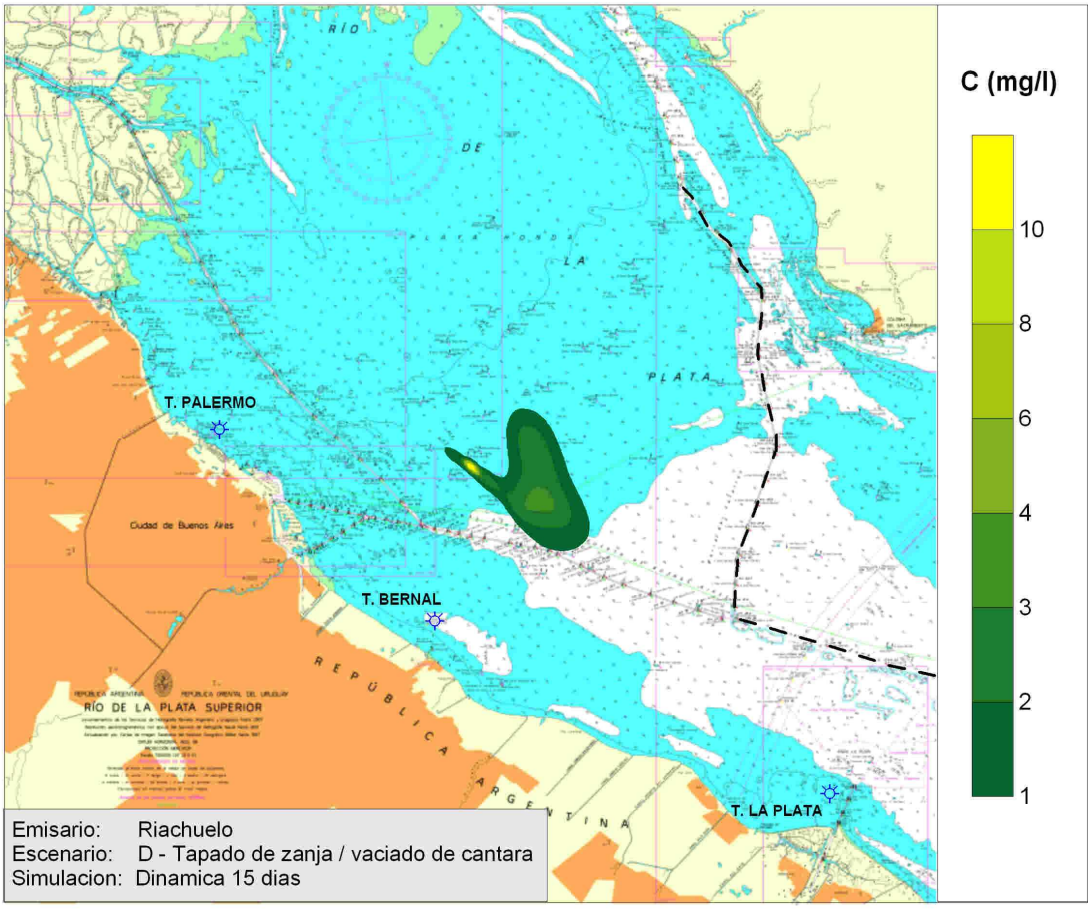

Figura A.6.5.4.2.19 – Distribución superficial de la concentración: día 10 hora 12.

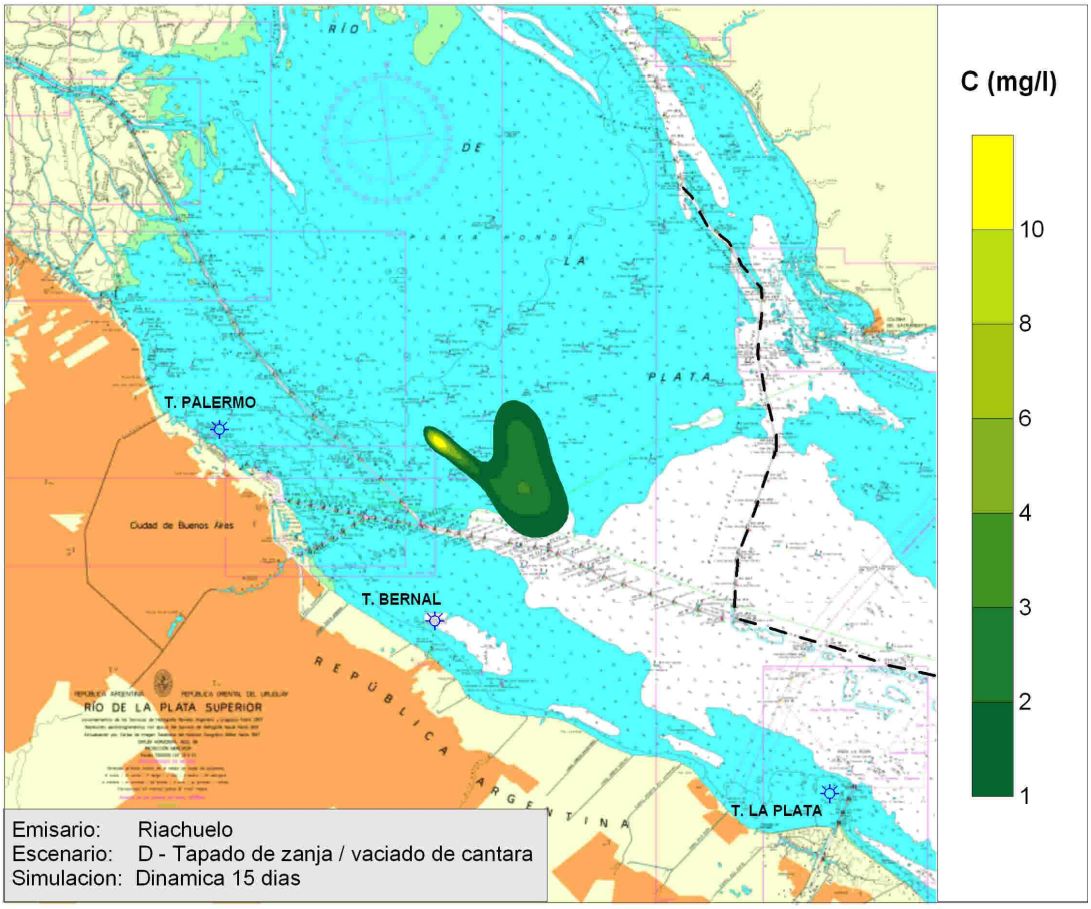

Figura A.6.5.4.2.20 – Distribución superficial de la concentración: día 10 hora 24.

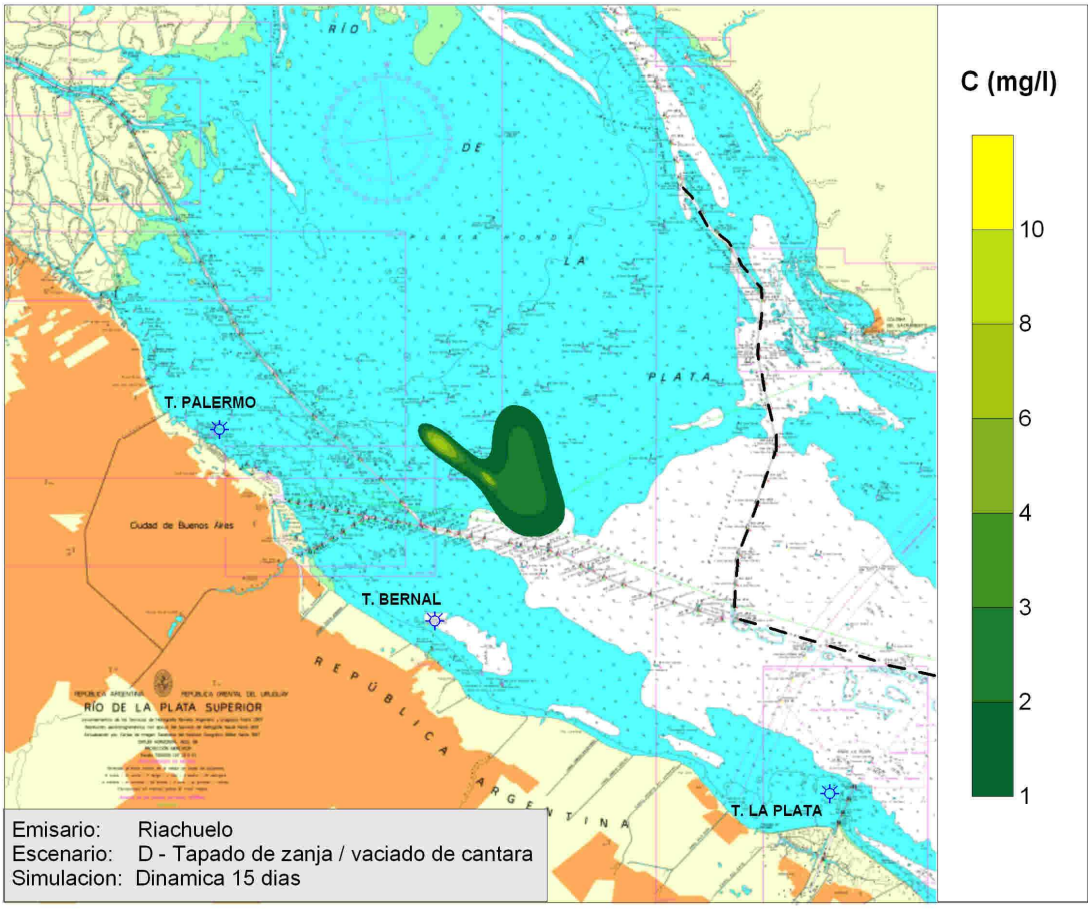

Figura A.6.5.4.2.21 – Distribución superficial de la concentración: día 11 hora 12.

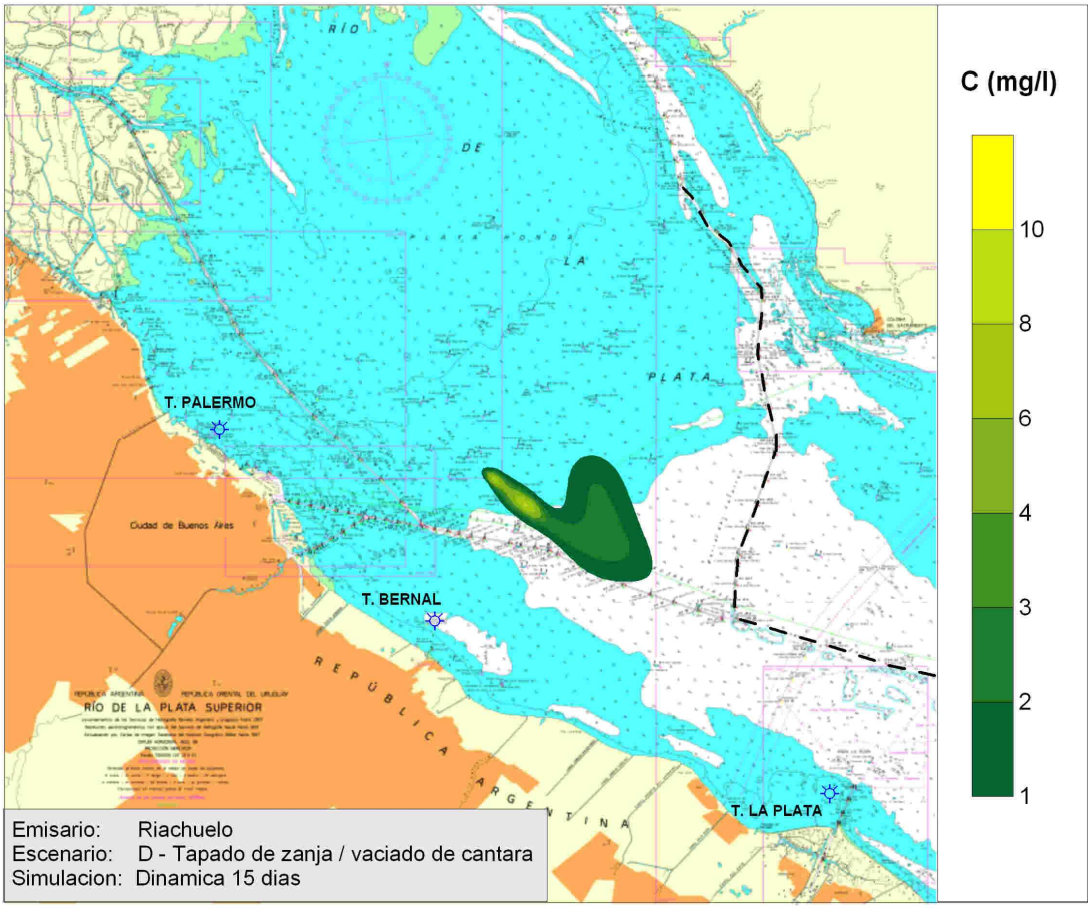

Figura A.6.5.4.2.22 – Distribución superficial de la concentración: día 11 hora 24.

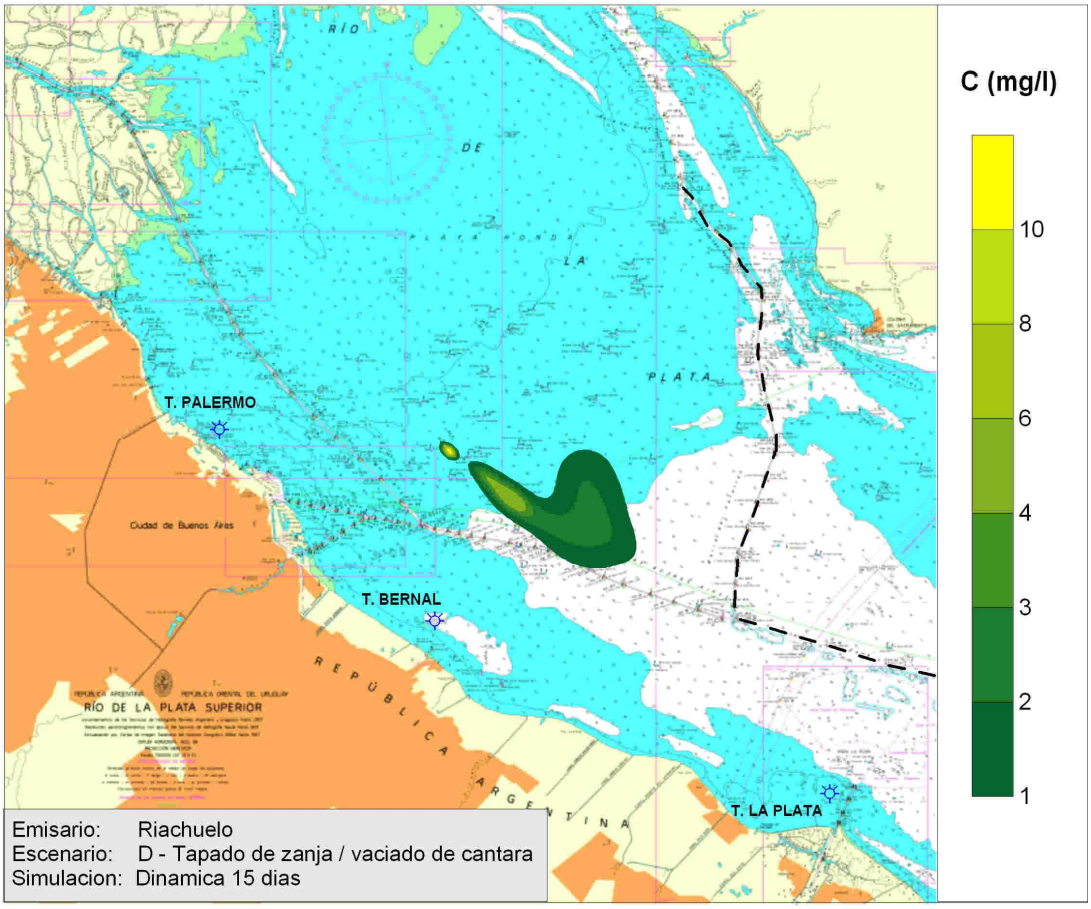

Figura A.6.5.4.2.23 – Distribución superficial de la concentración: día 12 hora 12.

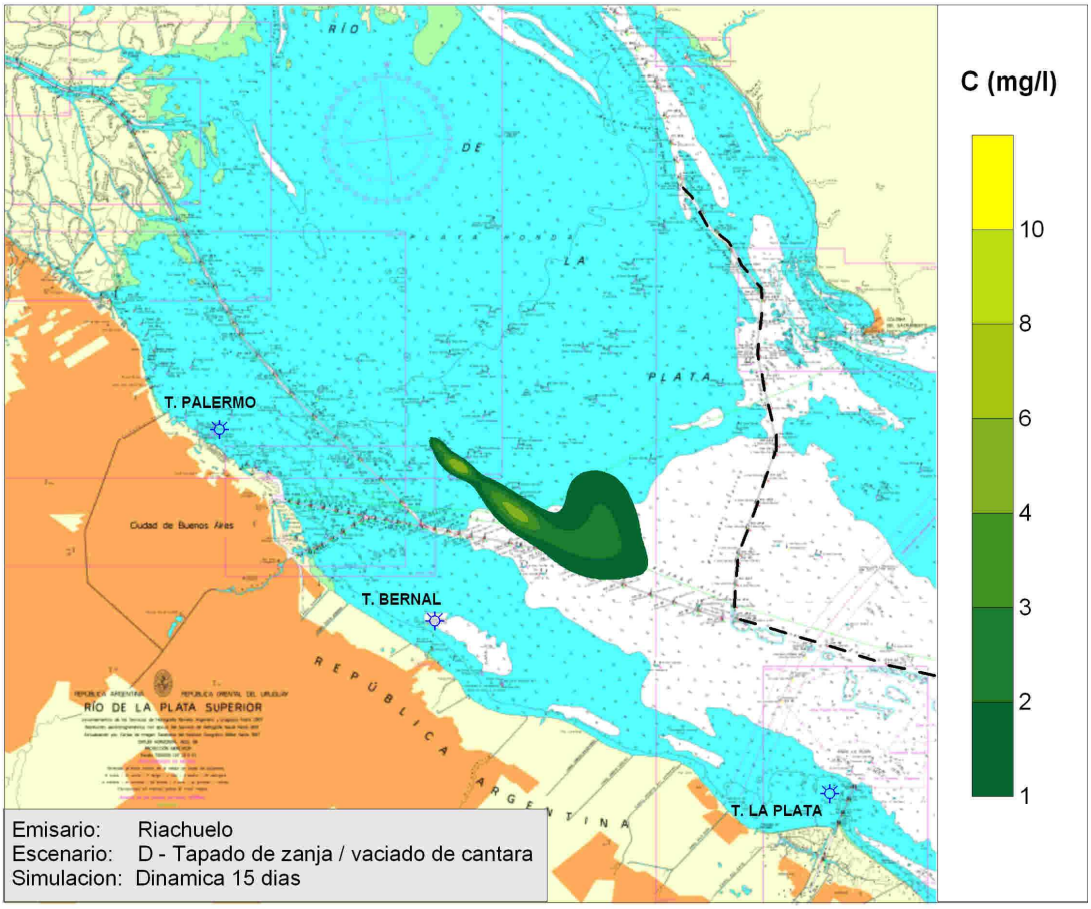

Figura A.6.5.4.2.24 – Distribución superficial de la concentración: día 12 hora 24.

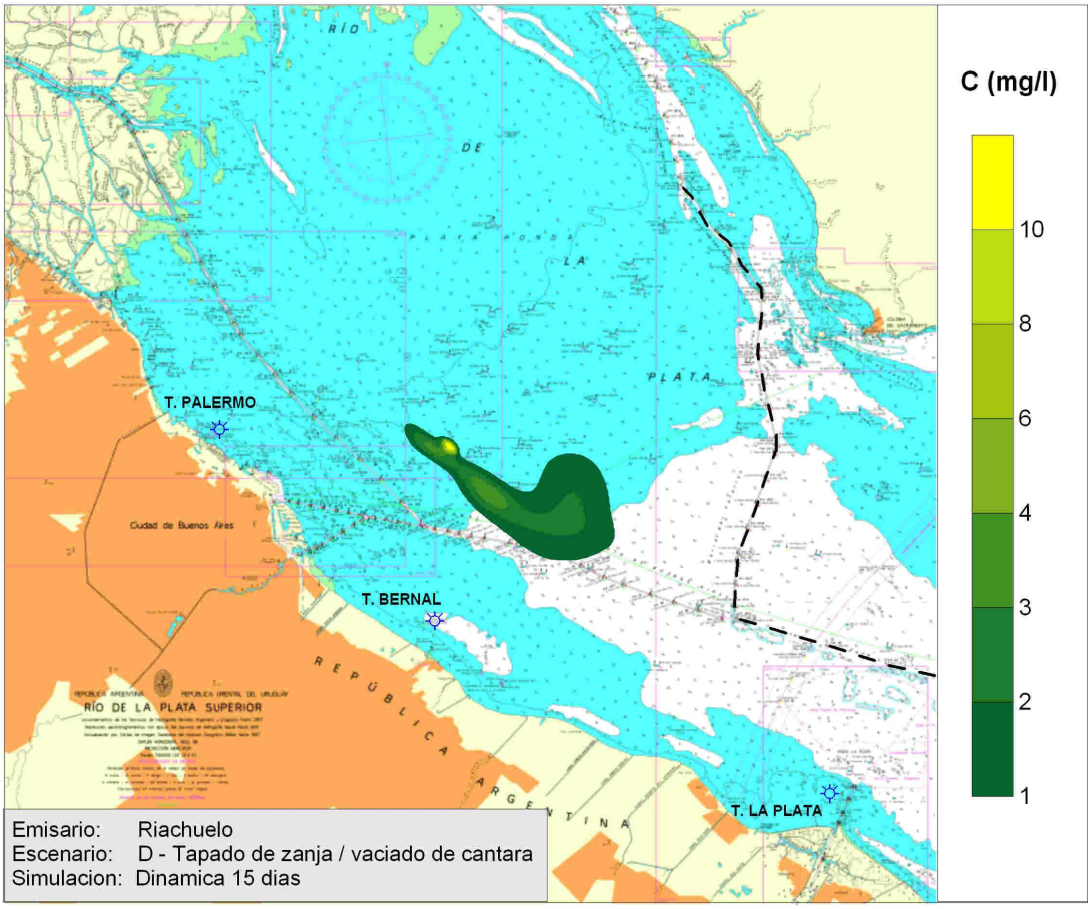

Figura A.6.5.4.2.25 – Distribución superficial de la concentración: día 13 hora 12.

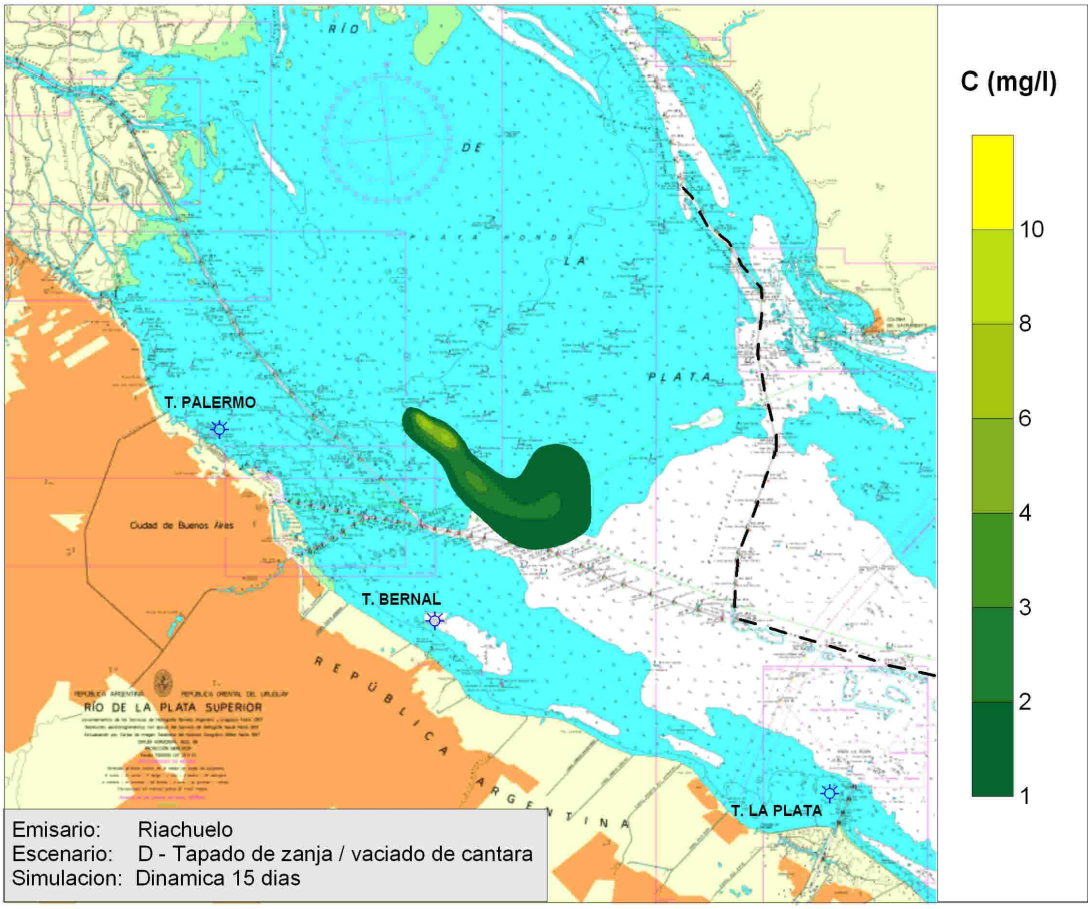

Figura A.6.5.4.2.26 – Distribución superficial de la concentración: día 13 hora 24.

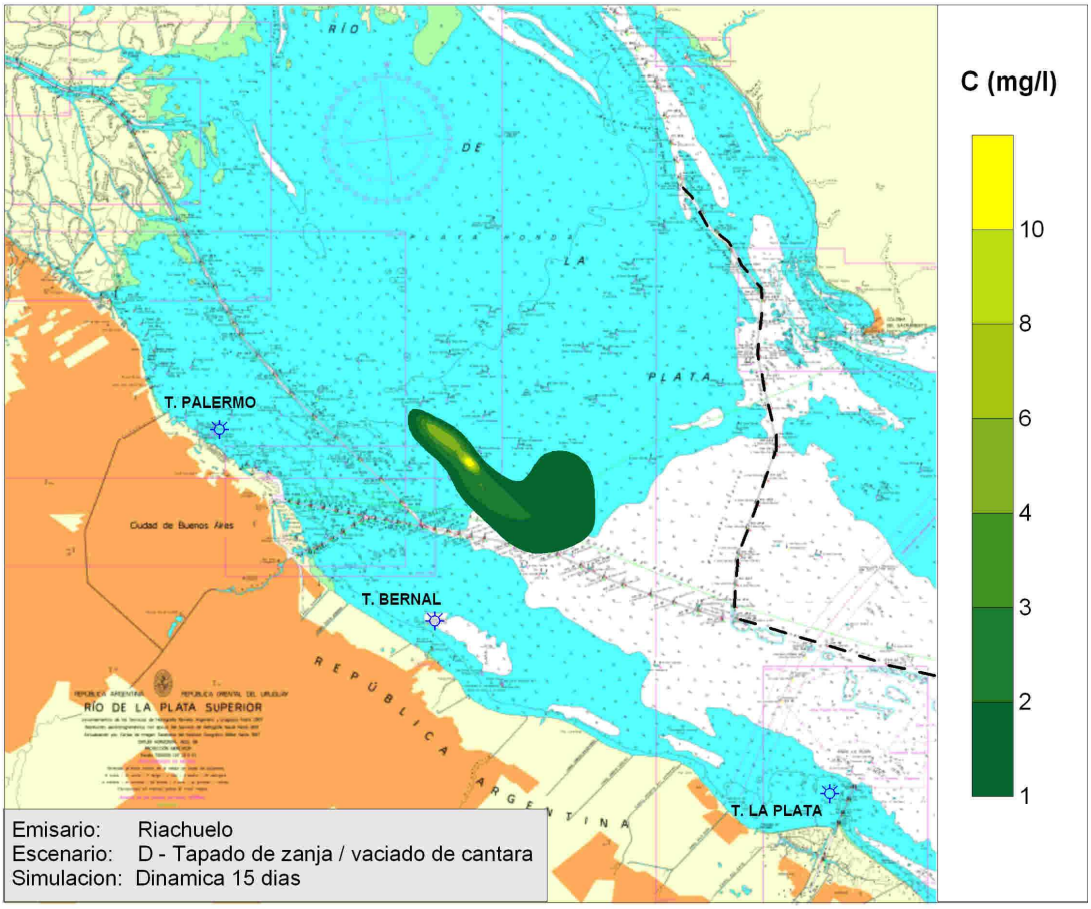

Figura A.6.5.4.2.27 – Distribución superficial de la concentración: día 14 hora 12.

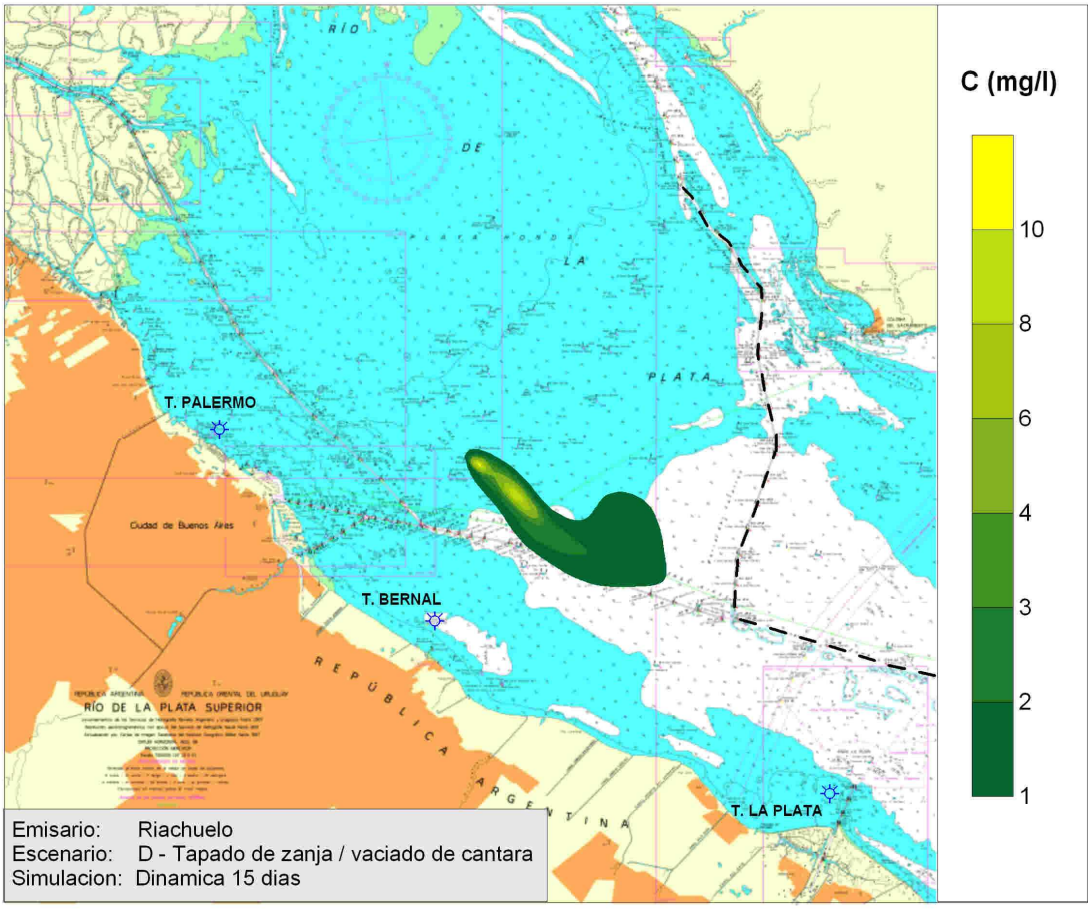

Figura A.6.5.4.2.28 – Distribución superficial de la concentración: día 14 hora 24.

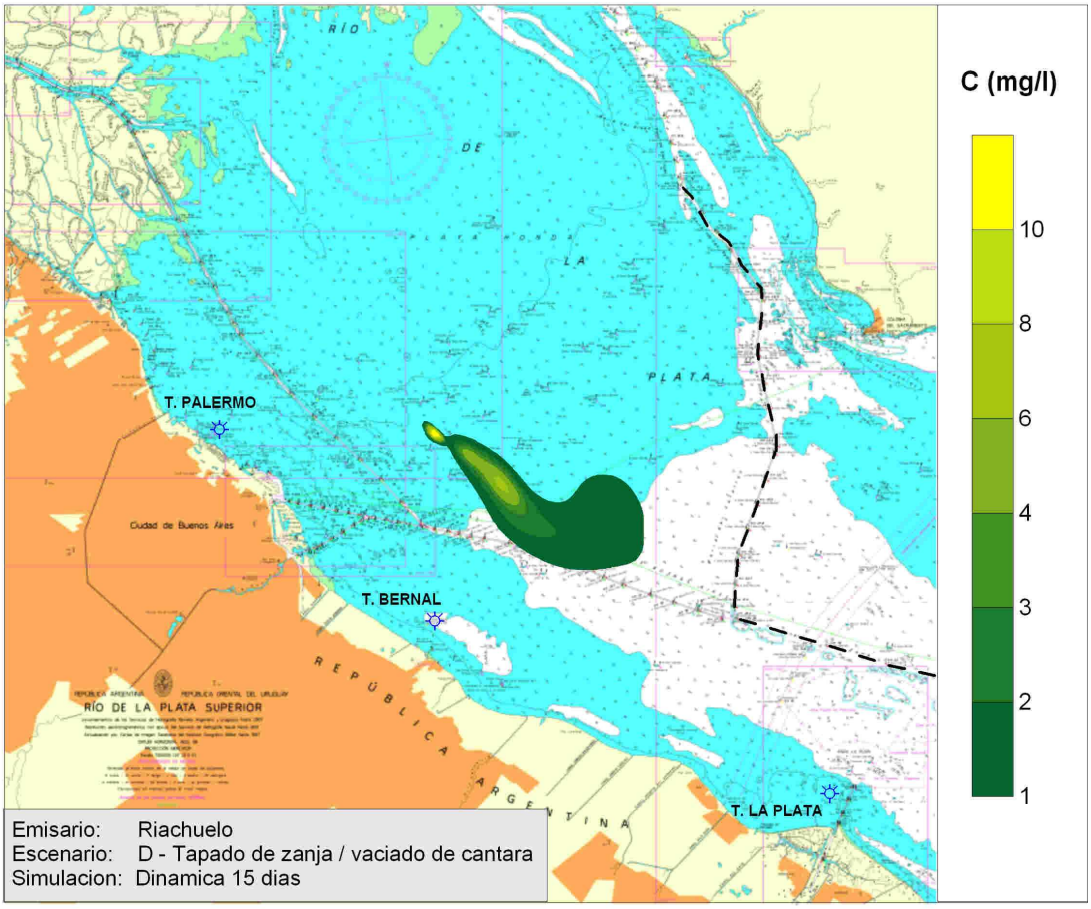

Figura A.6.5.4.2.29 – Distribución superficial de la concentración: día 15 hora 12.

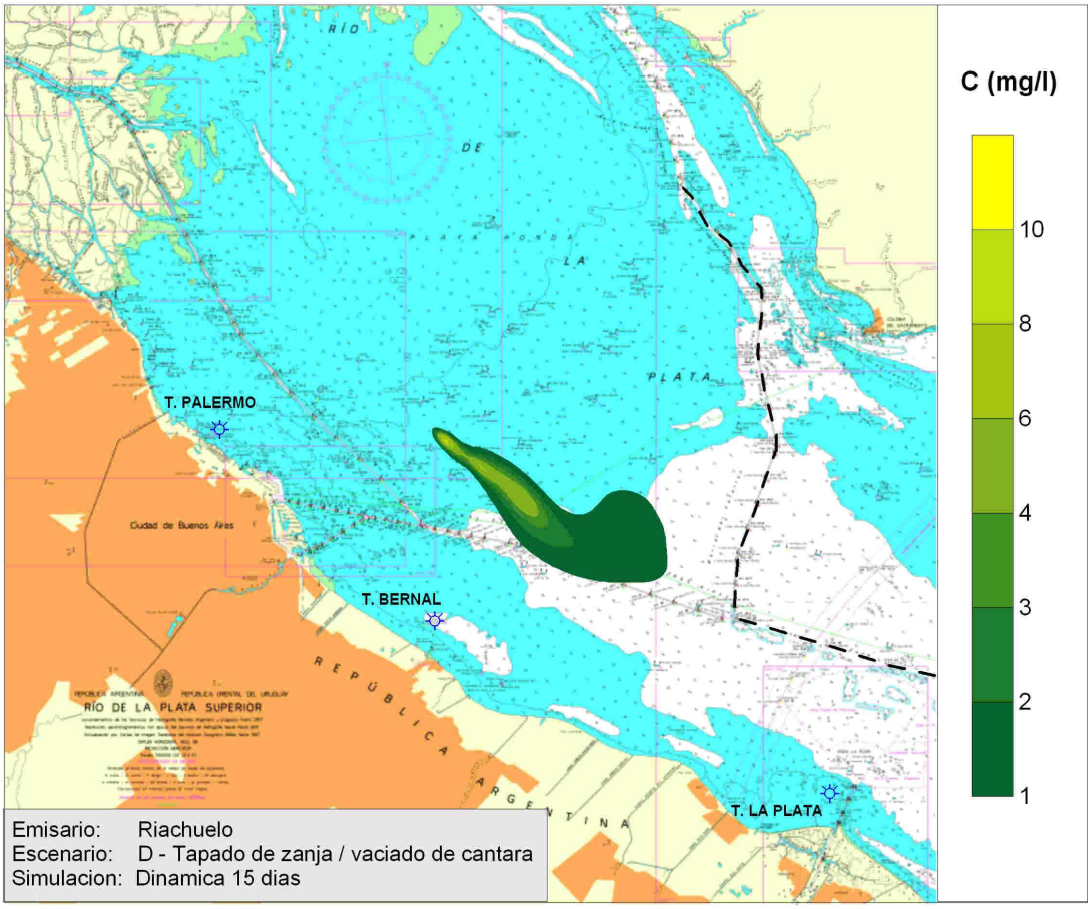

Figura A.6.5.4.2.30 – Distribución superficial de la concentración: día 15 hora 24.

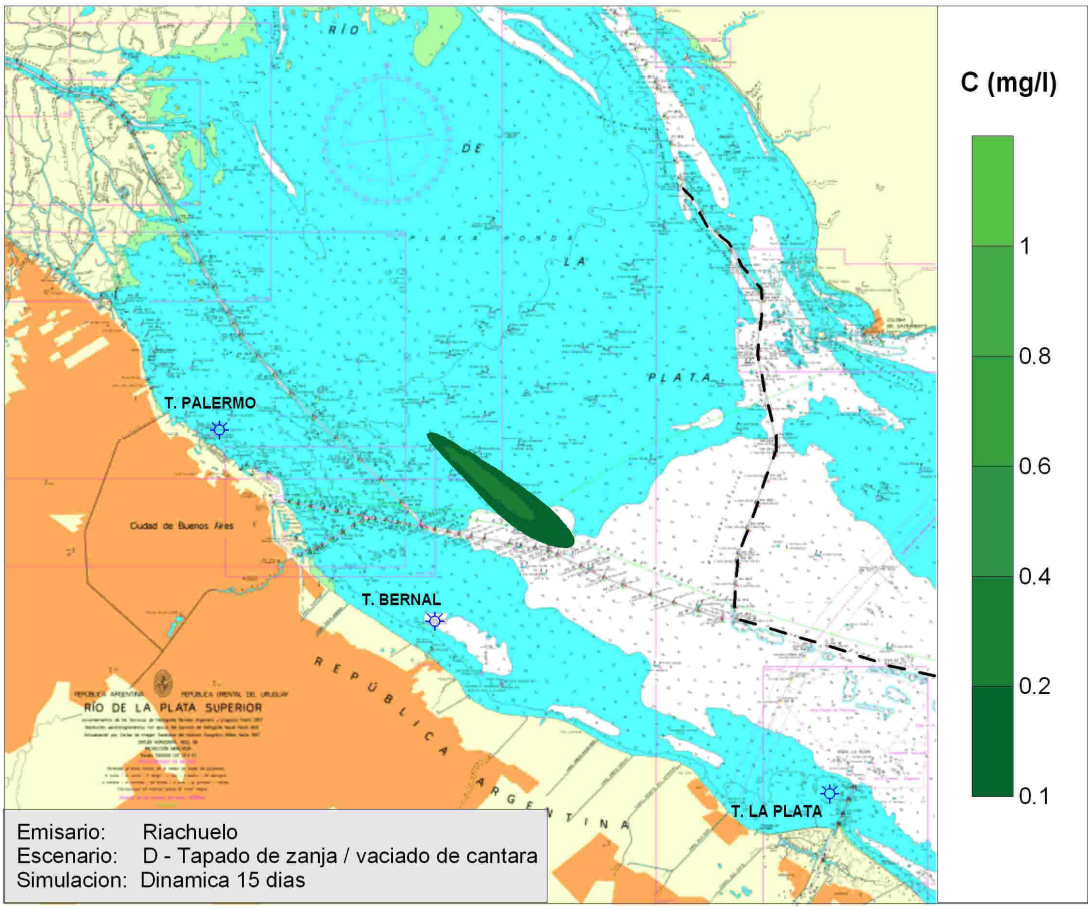

Figura A.6.5.4.2.31 – Distribución superficial de la concentración promedio durante los 15 días de la simulación.

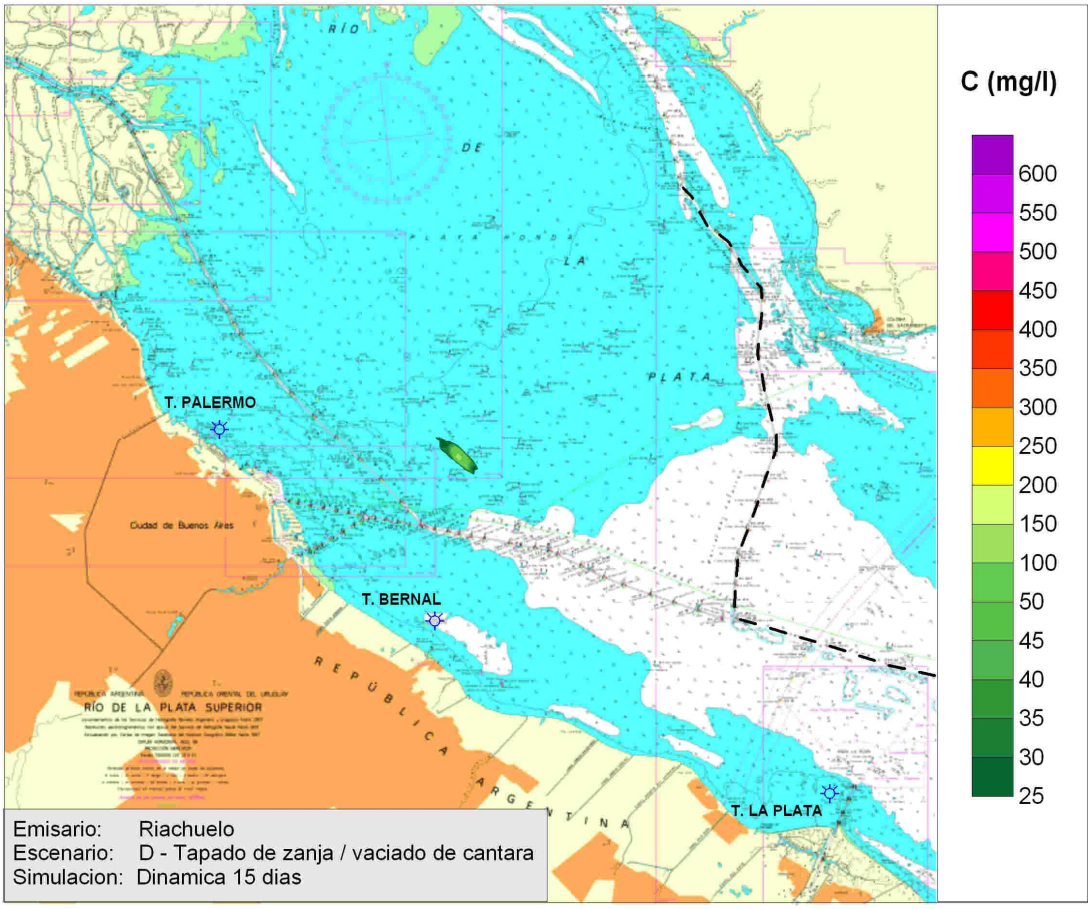

Figura A.6.5.4.2.32 – Distribución superficial de la concentración máxima durante los 15 días de la simulación.

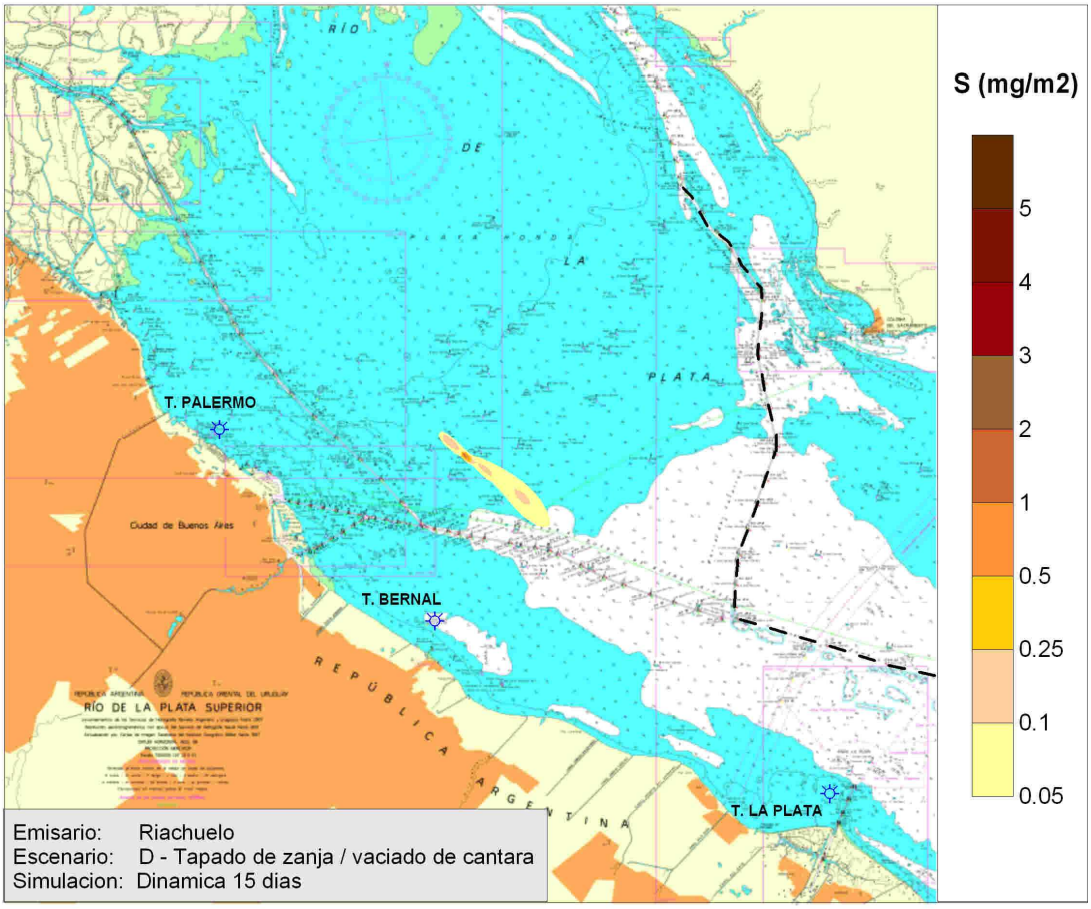

Figura A.6.5.4.2.33 – Distribución superficial de la masa sedimentada durante los 15 días de la simulación.

Modelación Matemática de Dispersión de Sedimentos en el Río de la Plata por Construcción de los Emisarios Riachuelo y Berazategui

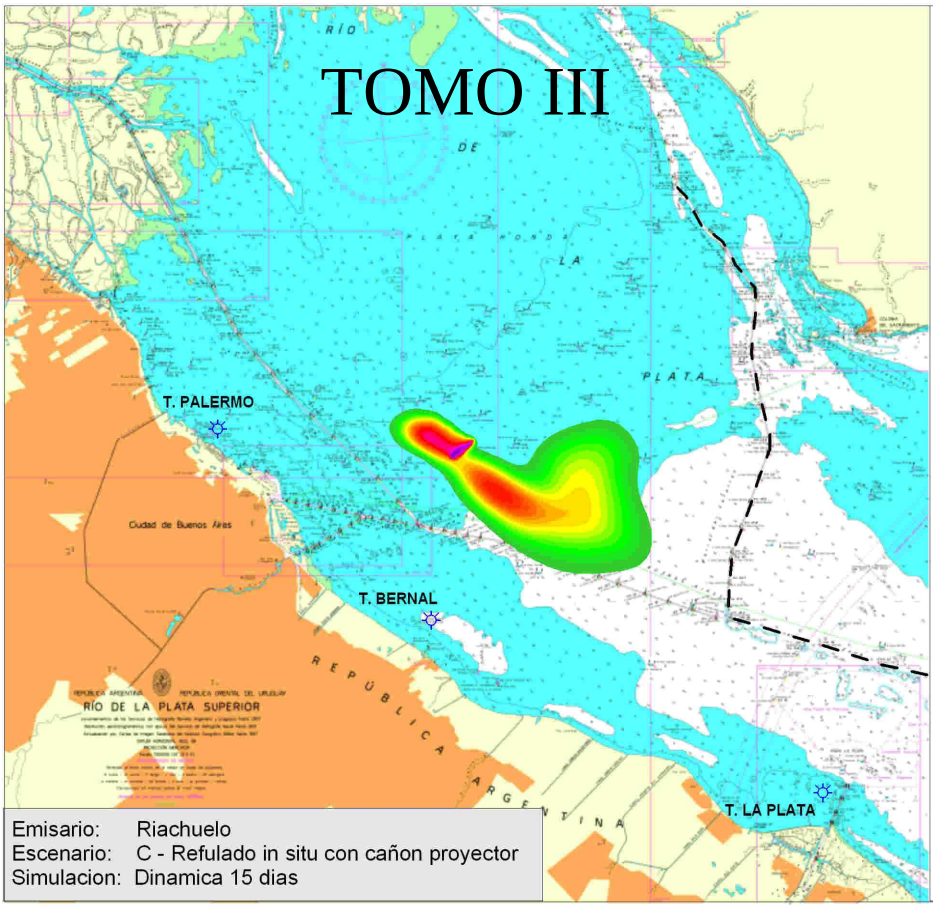

Realizado para

Informe Final - Enero 2010

CCyA Ingeniería Junín 1804 - San Martín - Buenos Aires
info@ccyaingenieria.com.ar Telefax +54 11 4753 8660 www.ccyaingenieria.com.ar

ANEXO 6.6.1.1

Dragado con cortadora y vaciado por cañería satélite en emisario Berazategui

Evolución de parámetros en estaciones fijas.

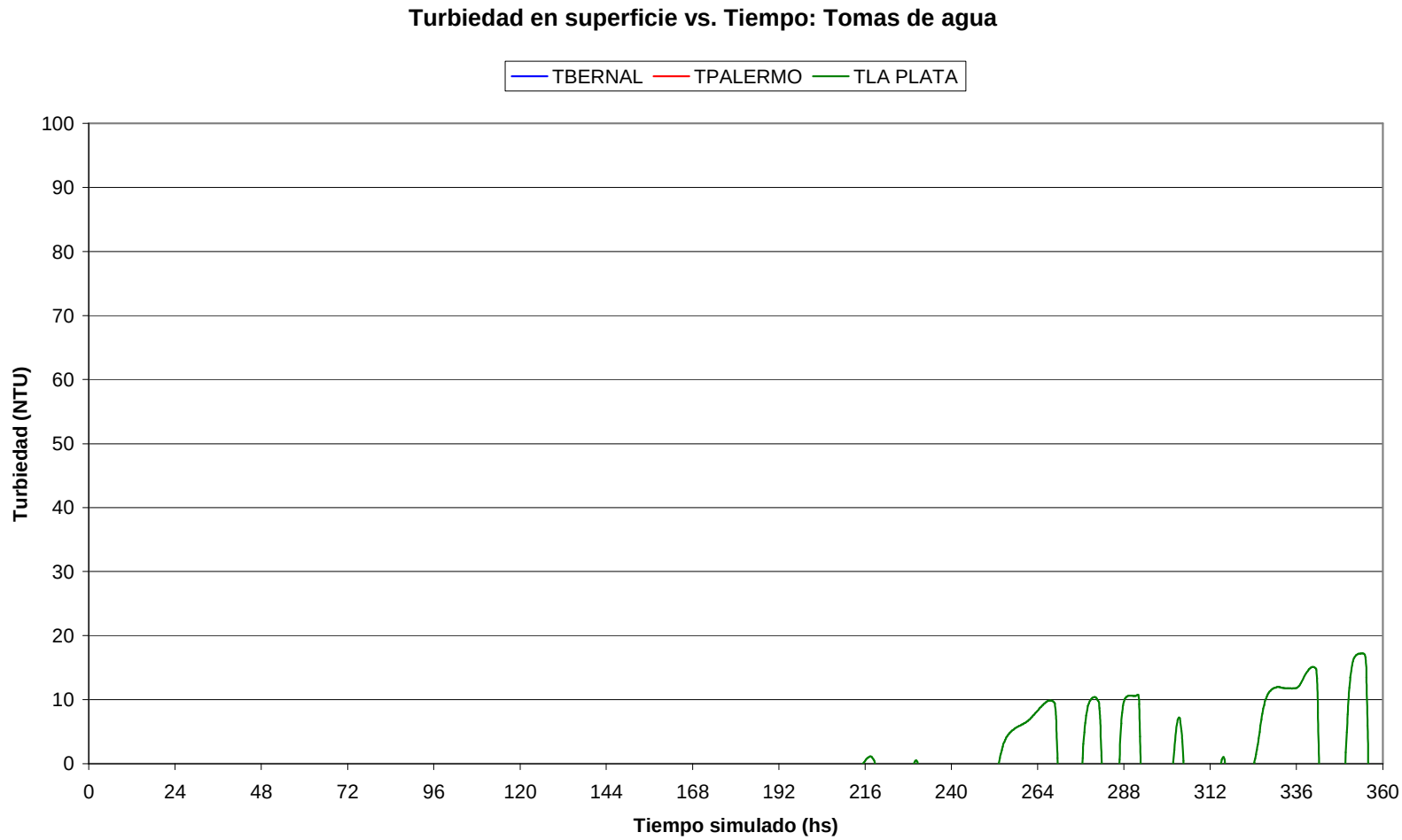

Figura A.6.6.1.1.1 – Turbiedad en tomas de agua. Capa superficial.

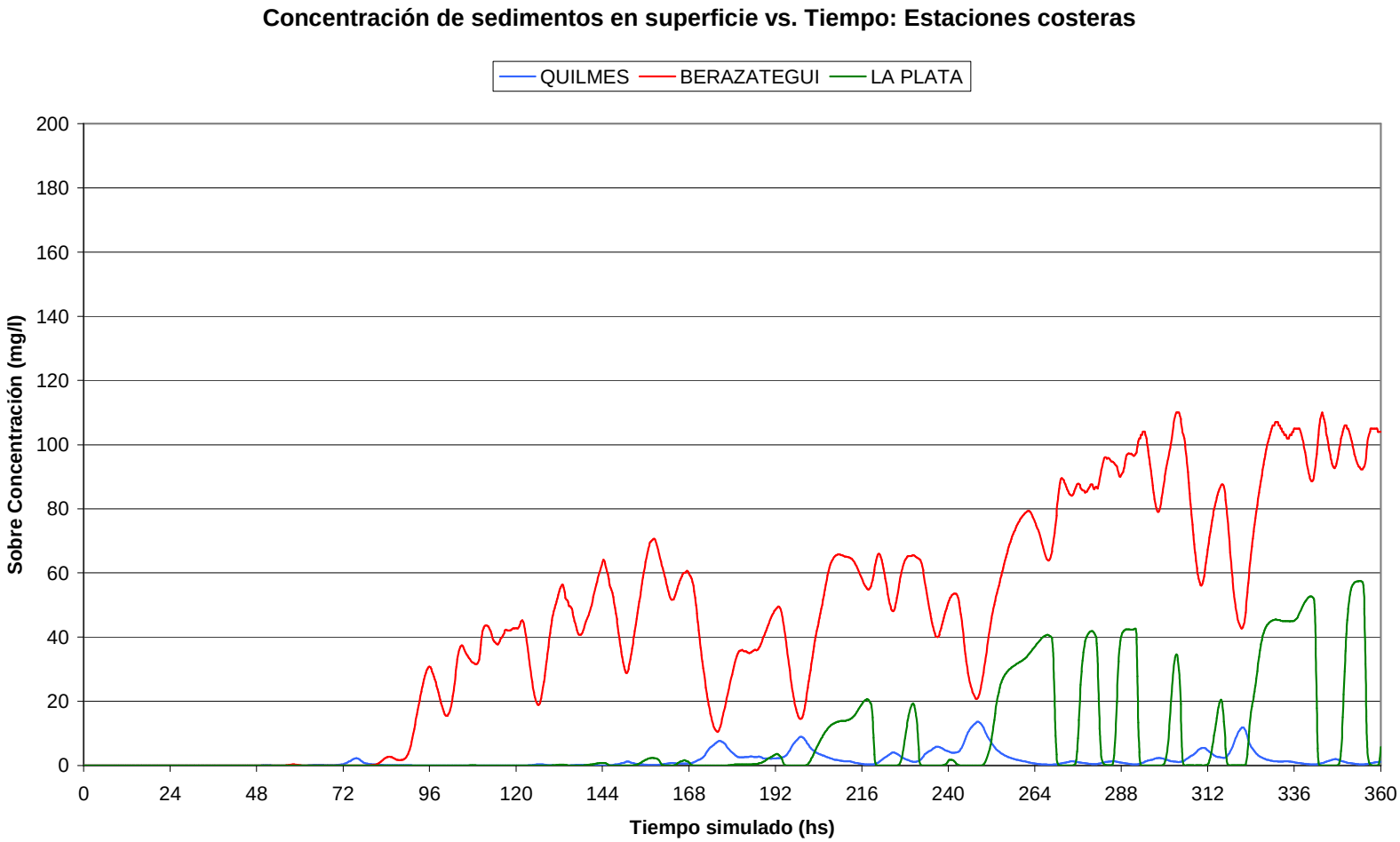

Figura A.6.6.1.1.2 – Concentración de sedimentos en áreas costeras. Capa superficial.

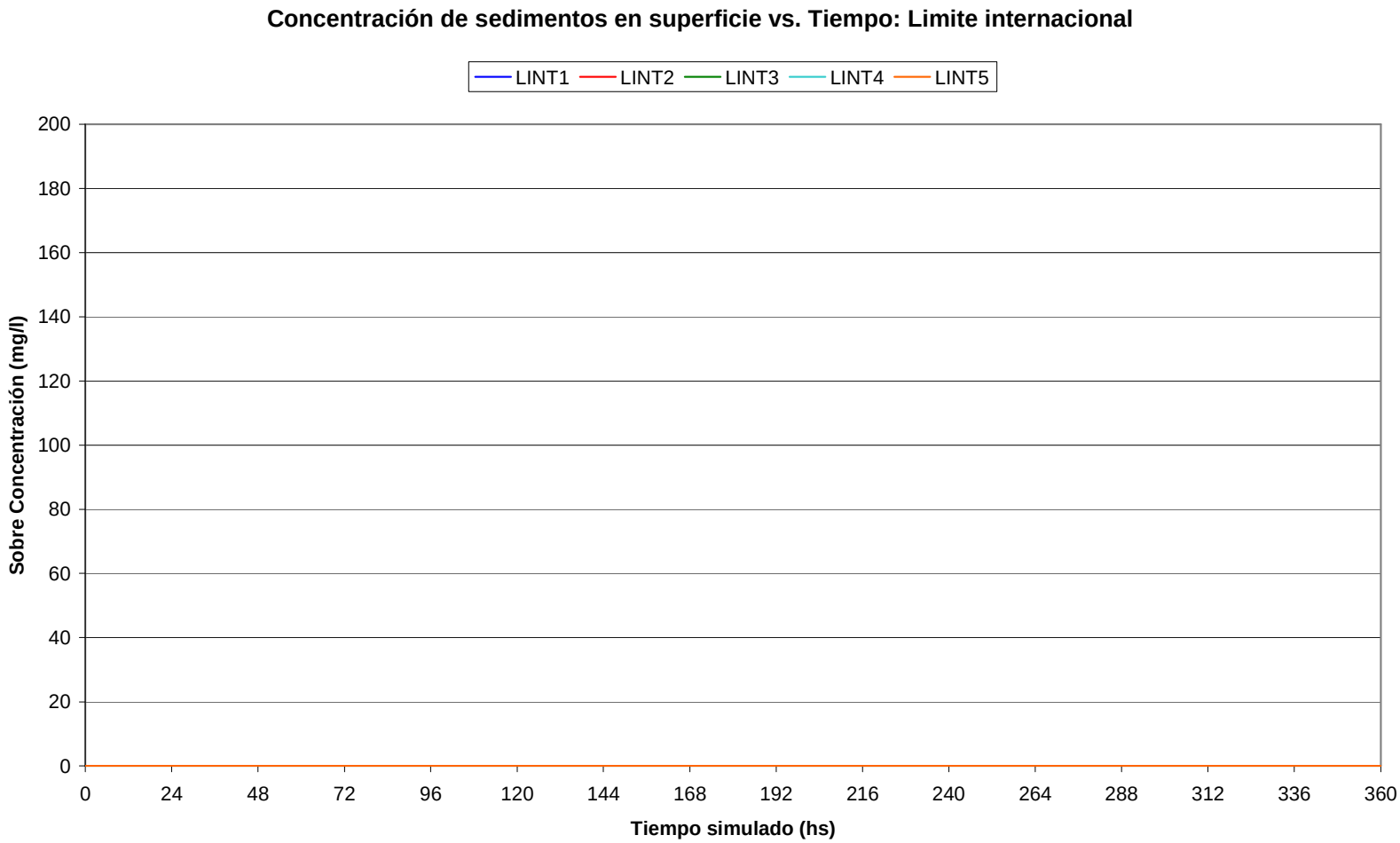

Figura A.6.6.1.1.3 – Concentración de sedimentos en el límite internacional. Capa superficial. No se observan niveles mensurables de sobre-concentración.

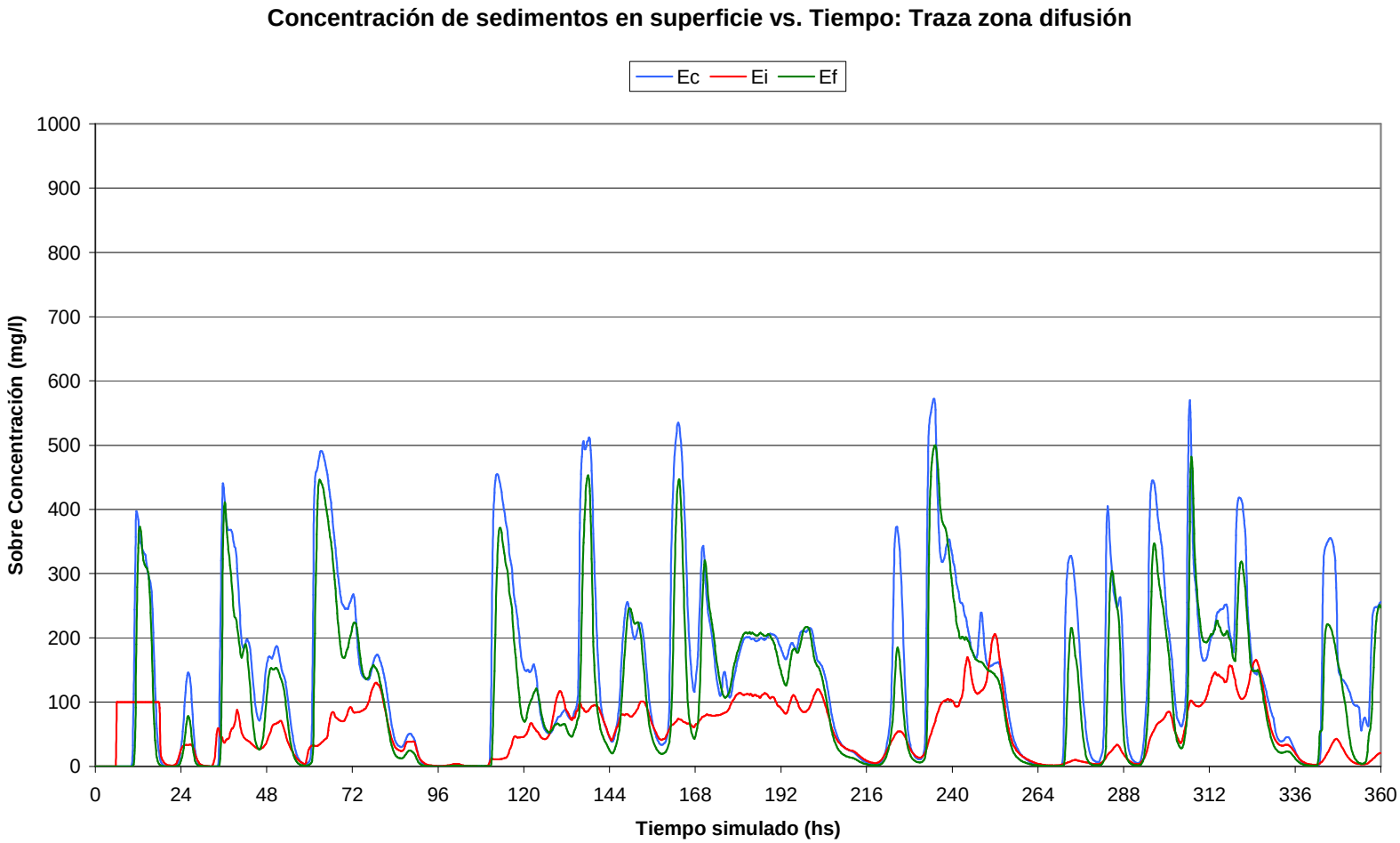

Figura A.6.6.1.1.4 – Concentración de sedimentos en la traza del emisario. Capa superficial.

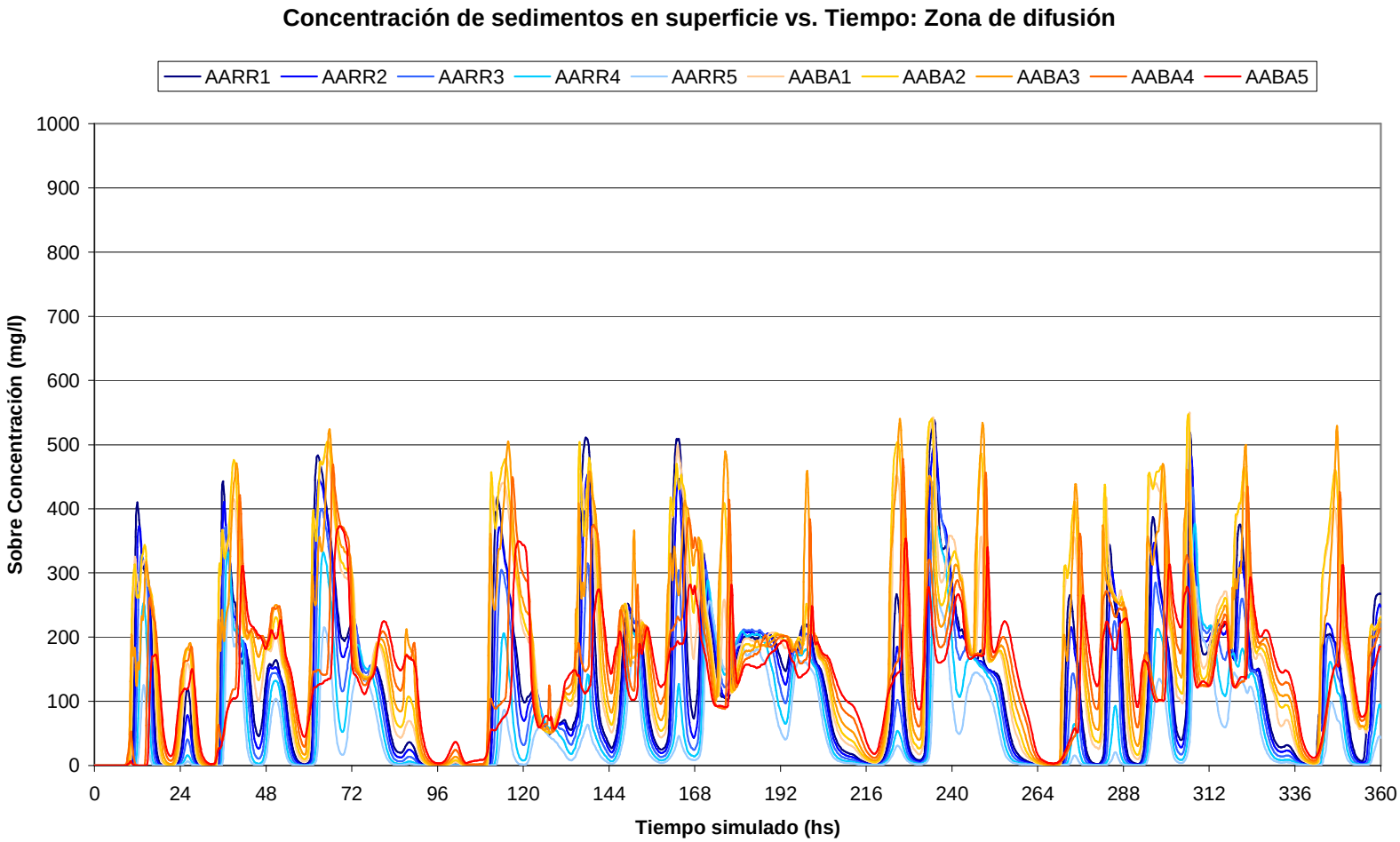

Figura A.6.6.1.1.5 – Concentración de sedimentos en la zona de difusión del emisario. Capa superficial.

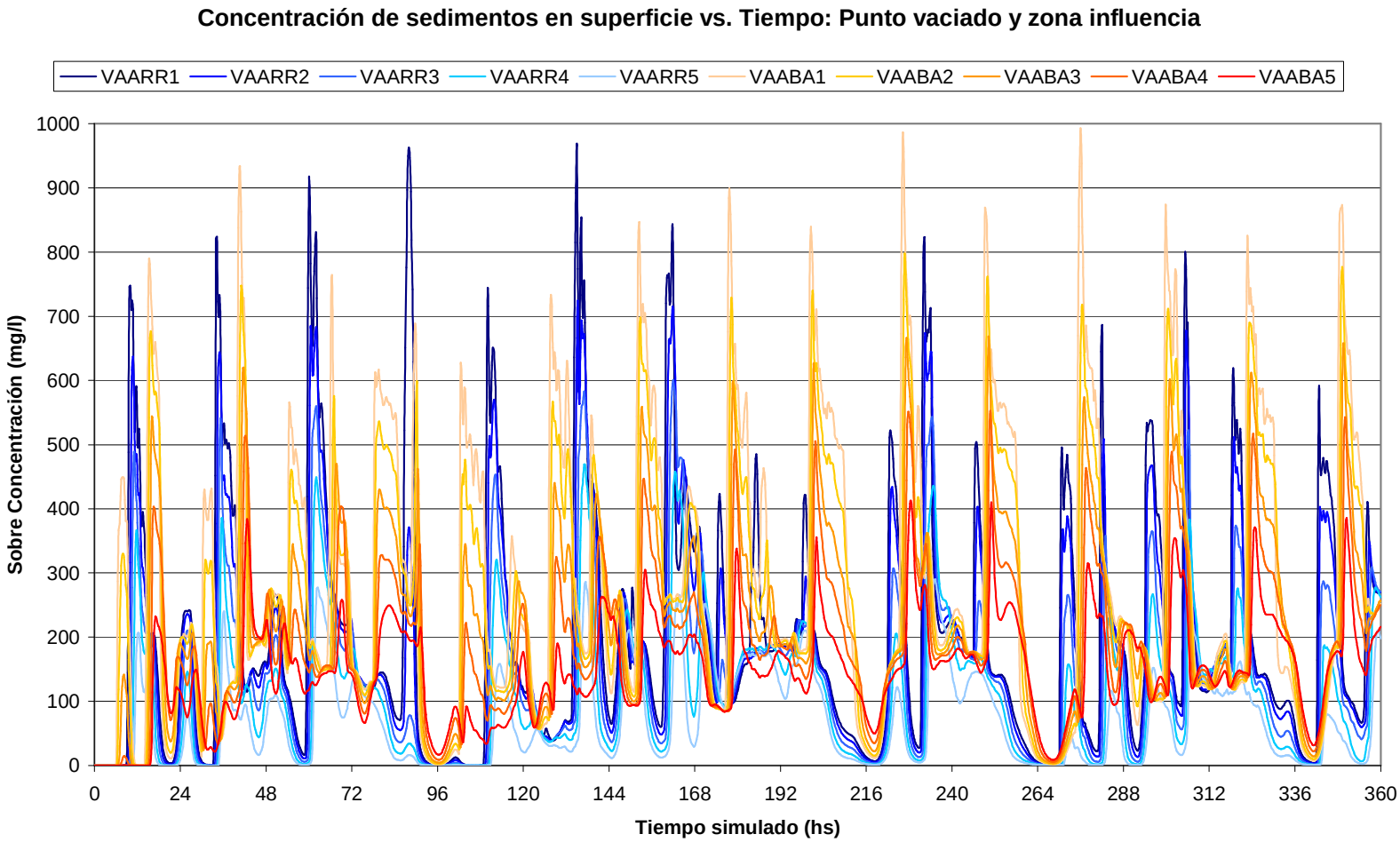

Figura A.6.6.1.1.6 – Concentración de sedimentos en la zona de refulado. Capa superficial.

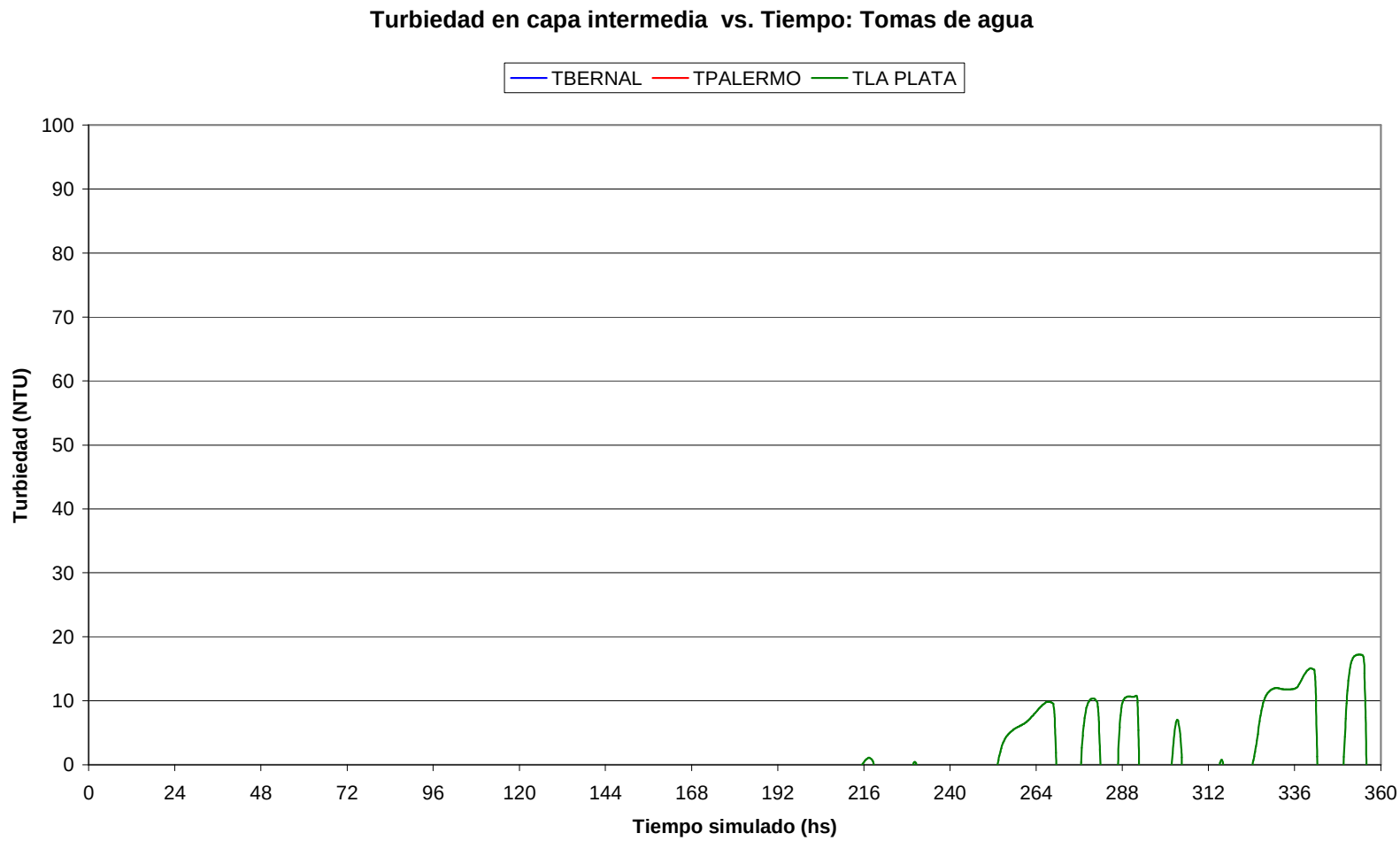

Figura A.6.6.1.1.7 – Turbiedad en tomas de agua. Capa intermedia.

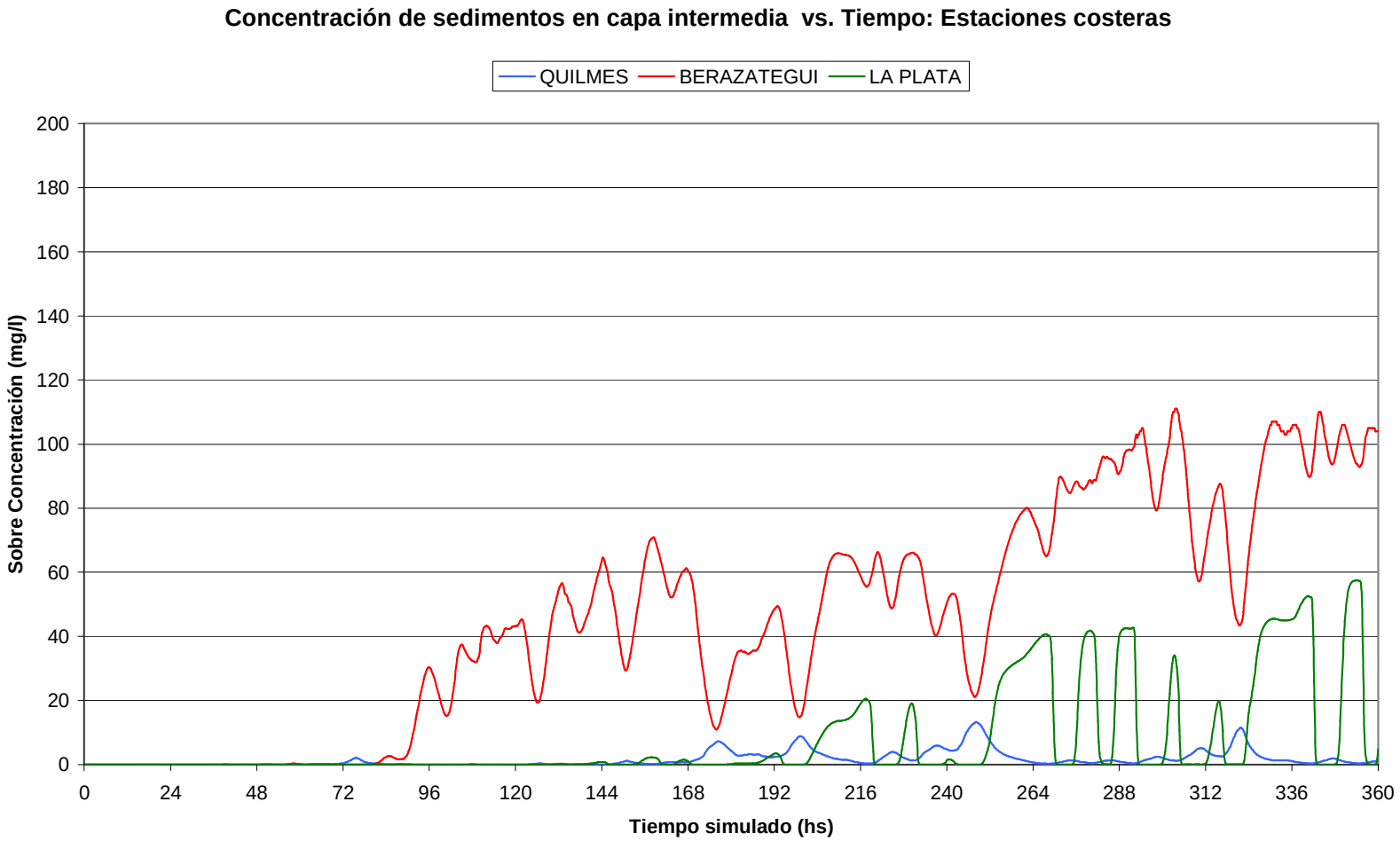

Figura A.6.6.1.1.8 – Concentración de sedimentos en áreas costeras. Capa intermedia.

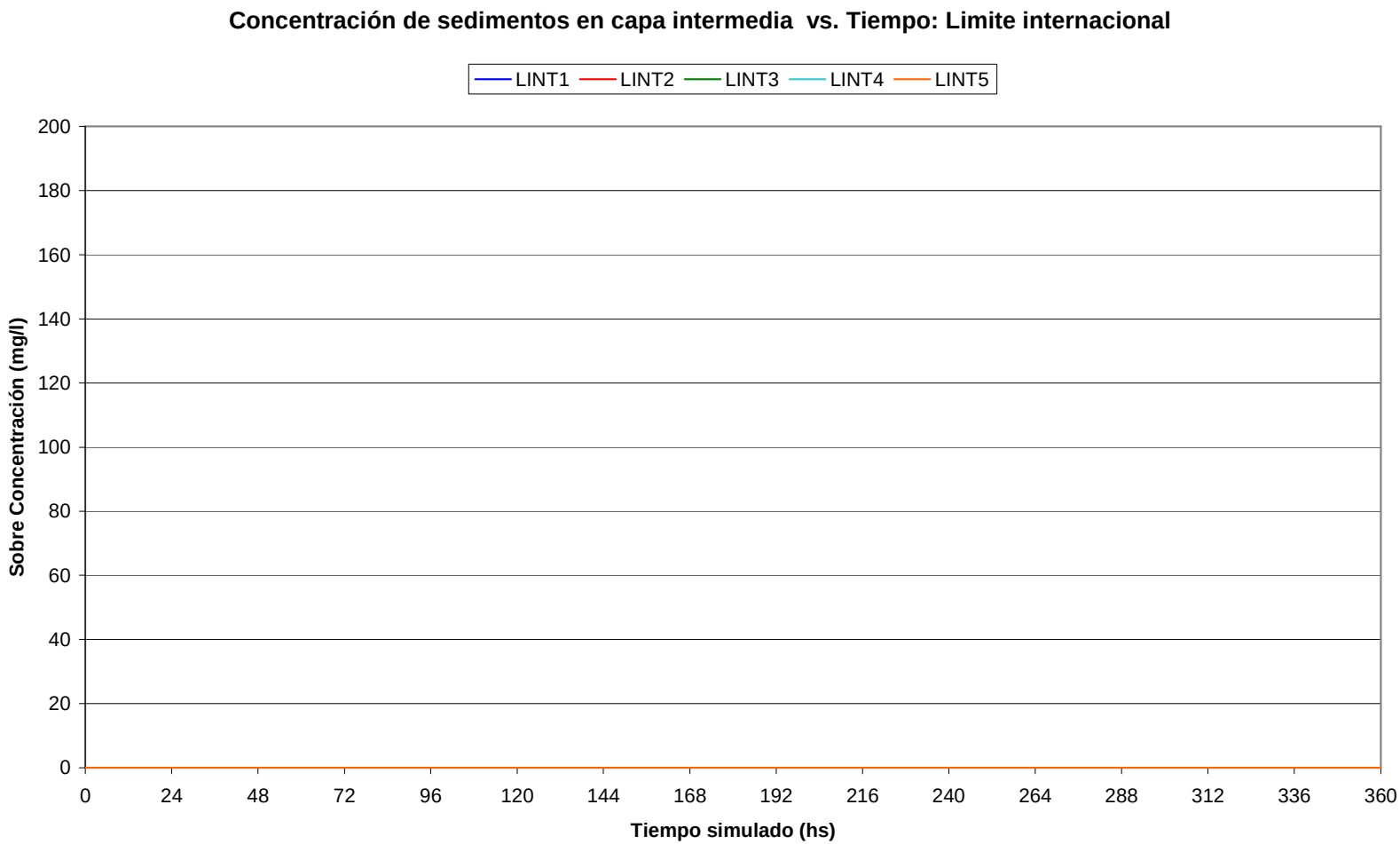

Figura A.6.6.1.1.9 – Concentración de sedimentos en el límite internacional. Capa intermedia. No se observan niveles mensurables de sobre-concentración.

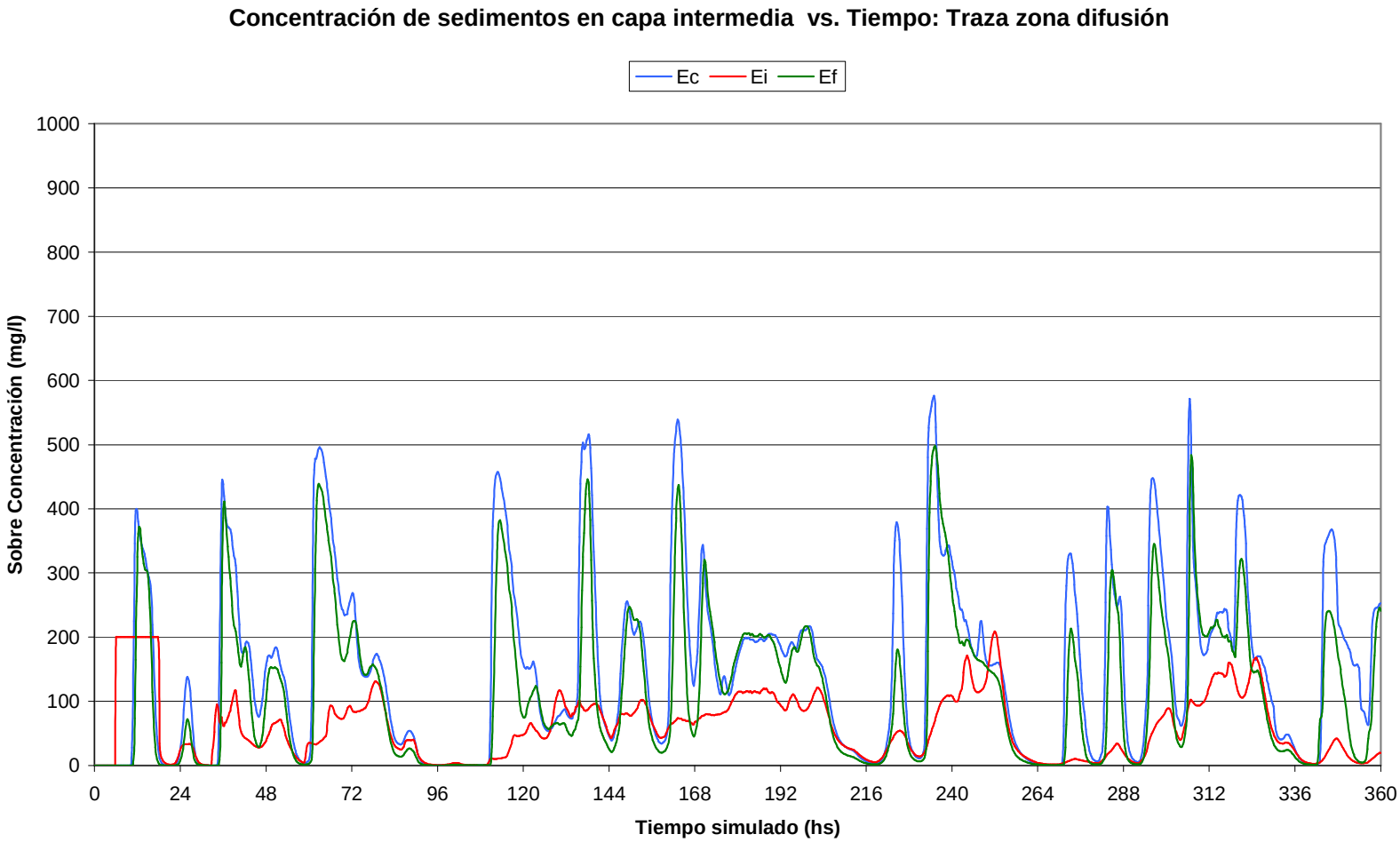

Figura A.6.6.1.1.10 – Concentración de sedimentos en la traza del emisario. Capa intermedia.

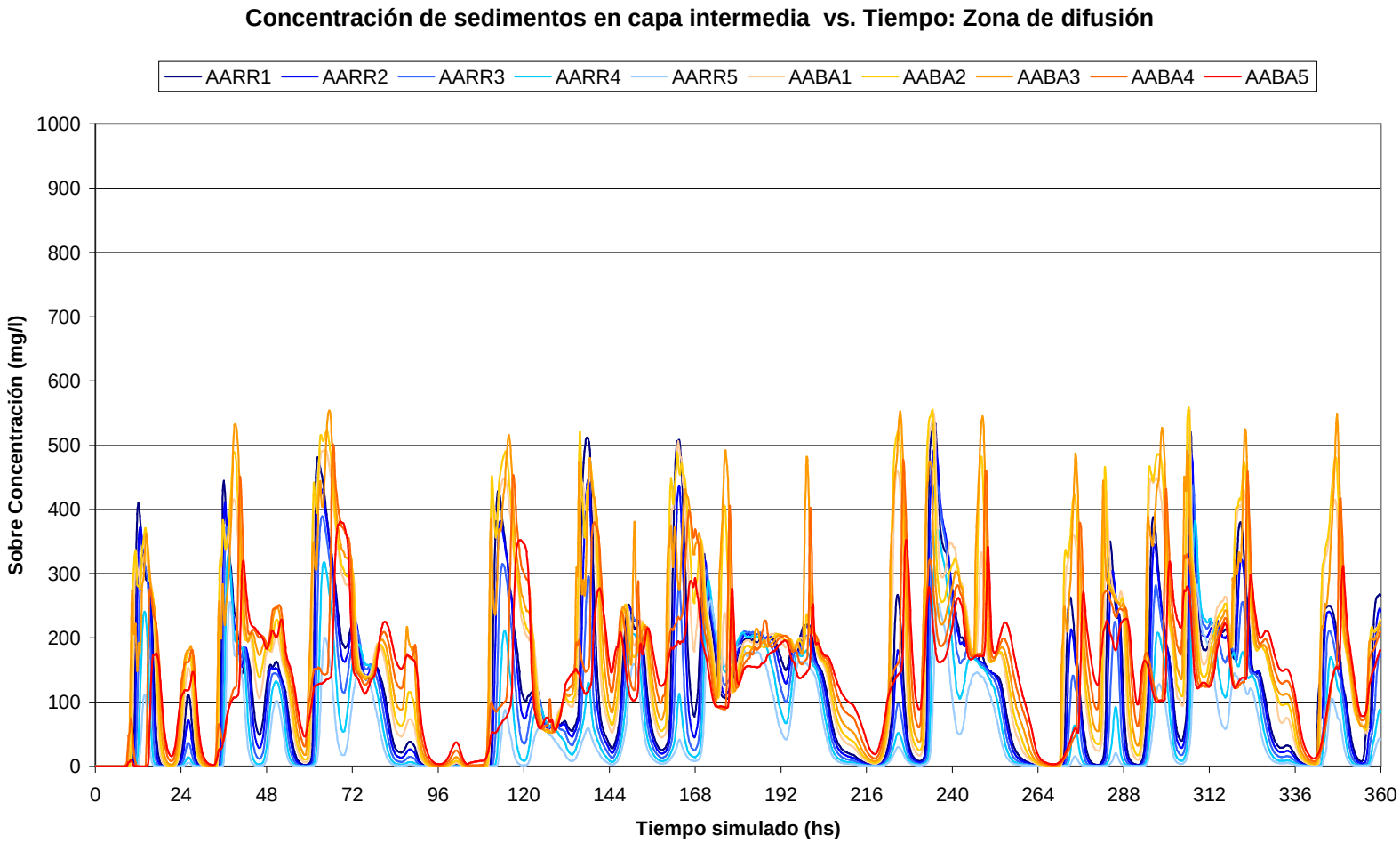

Figura A.6.6.1.1.11 – Concentración de sedimentos en la zona de difusión del emisario. Capa intermedia.

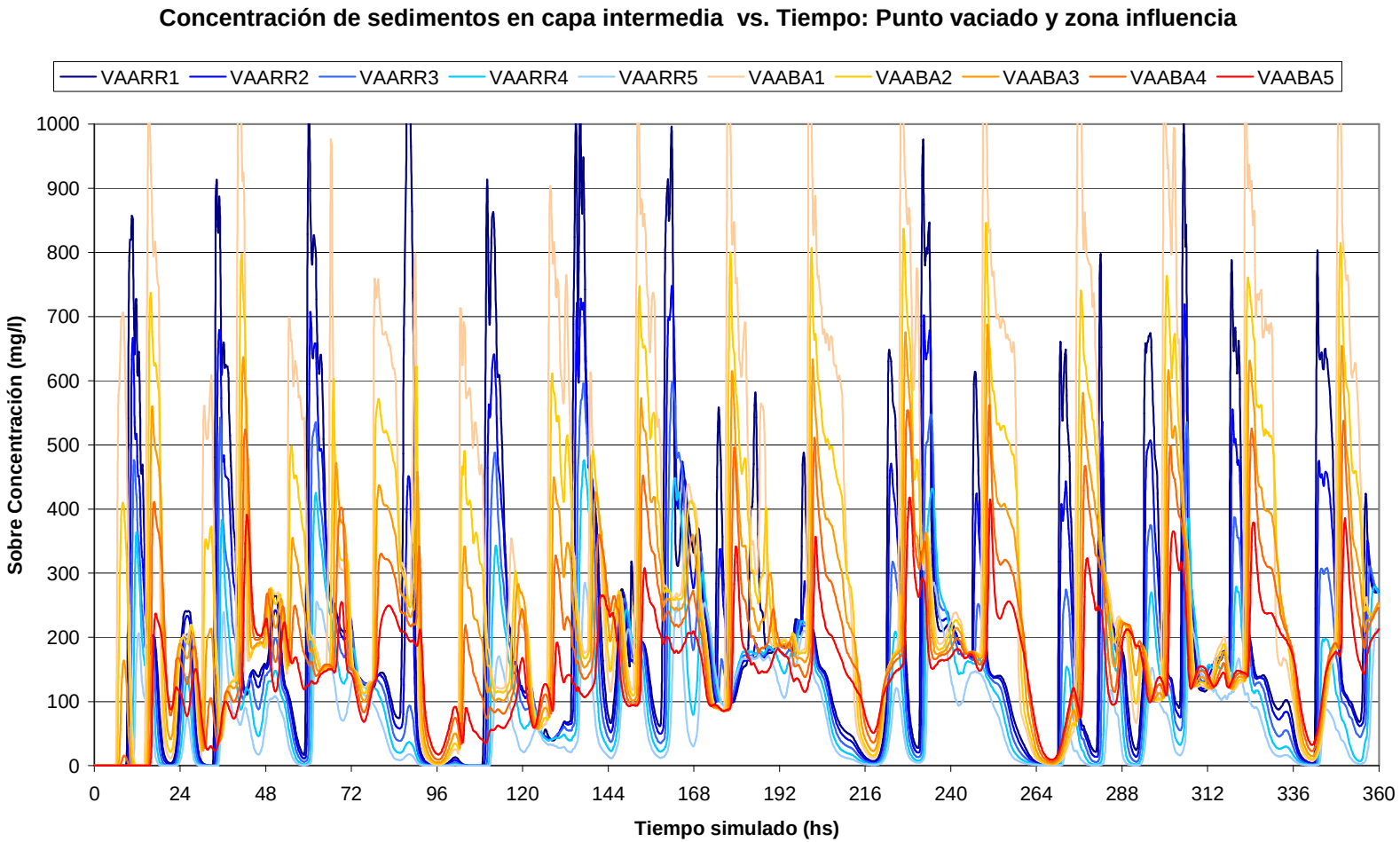

Figura A.6.6.1.1.12 – Concentración de sedimentos en la zona de refulado. Capa intermedia.

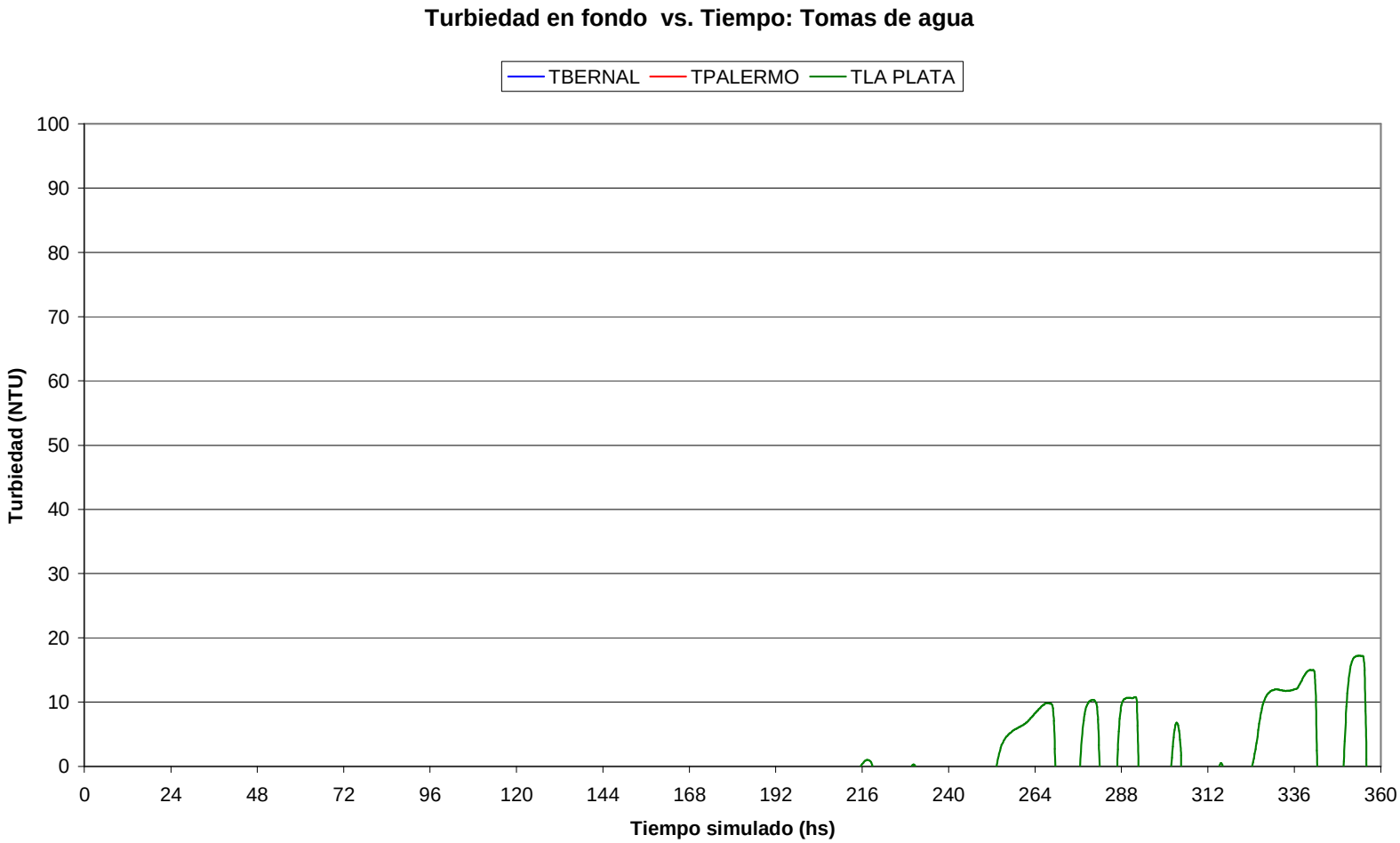

Figura A.6.6.1.1.13 – Turbiedad en tomas de agua. Capa de fondo.

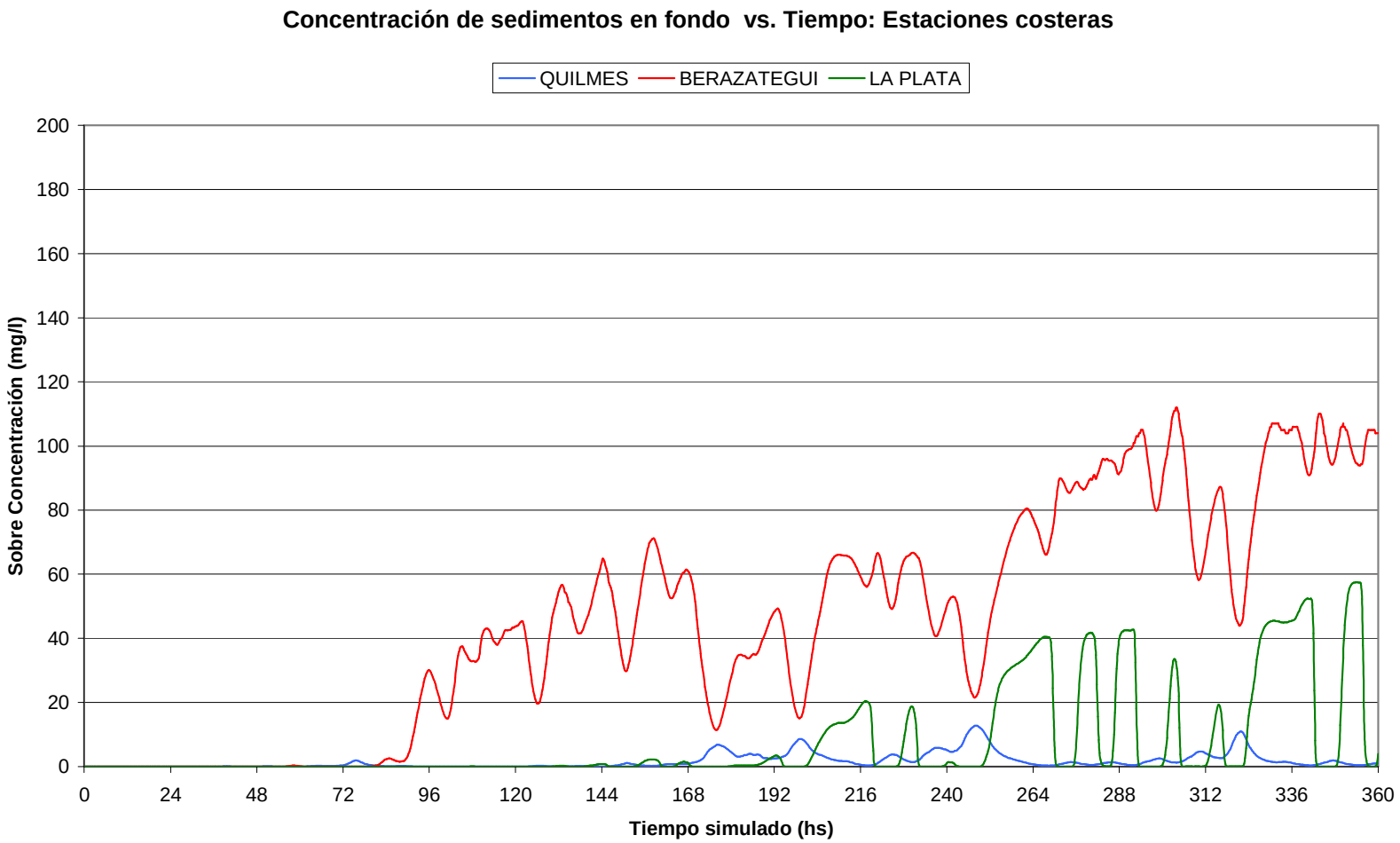

Figura A.6.6.1.1.14 – Concentración de sedimentos en áreas costeras. Capa de fondo.

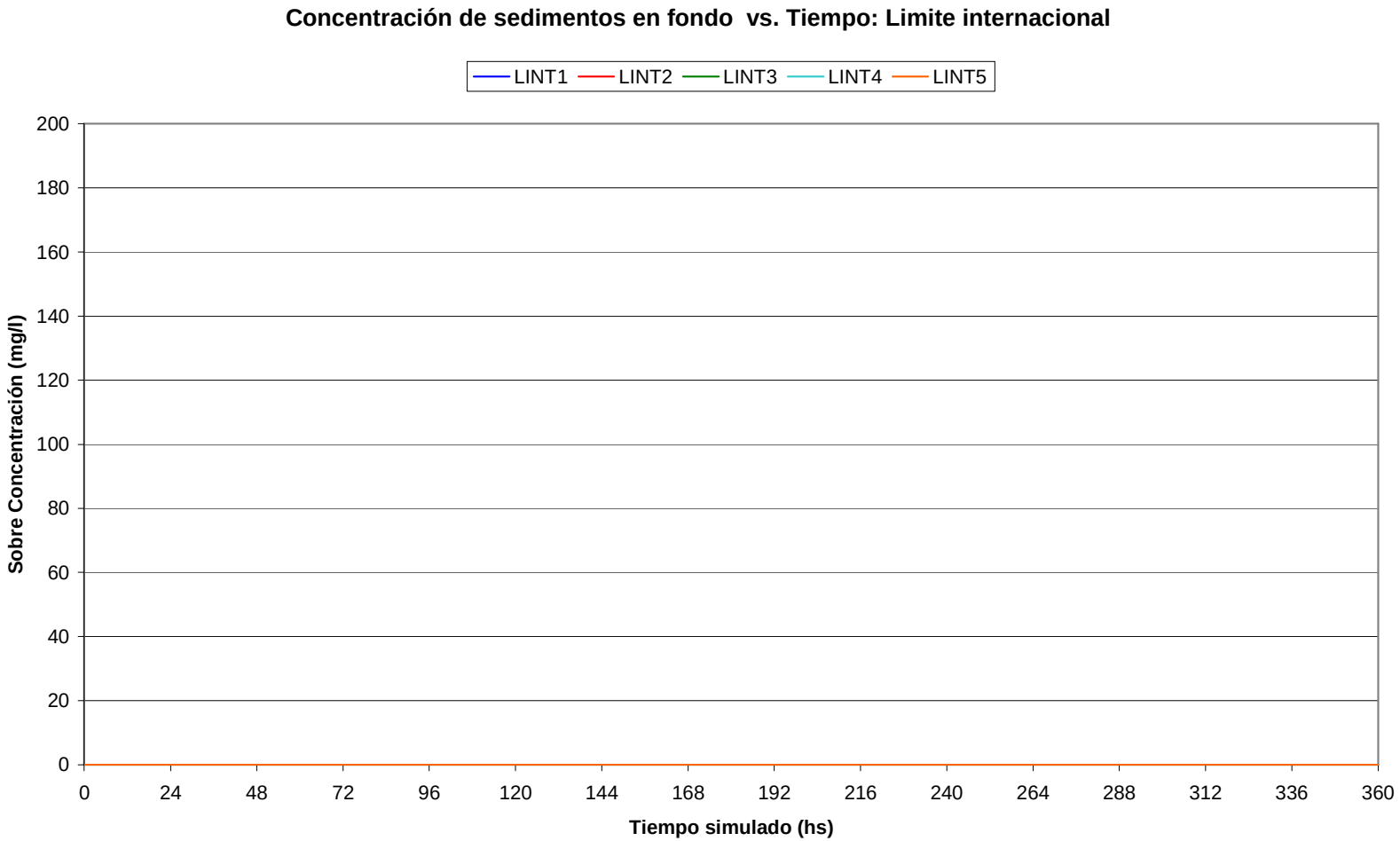

Figura A.6.6.1.1.15 – Concentración de sedimentos en el límite internacional. Capa de fondo. No se observan niveles mensurables de sobre-concentración.

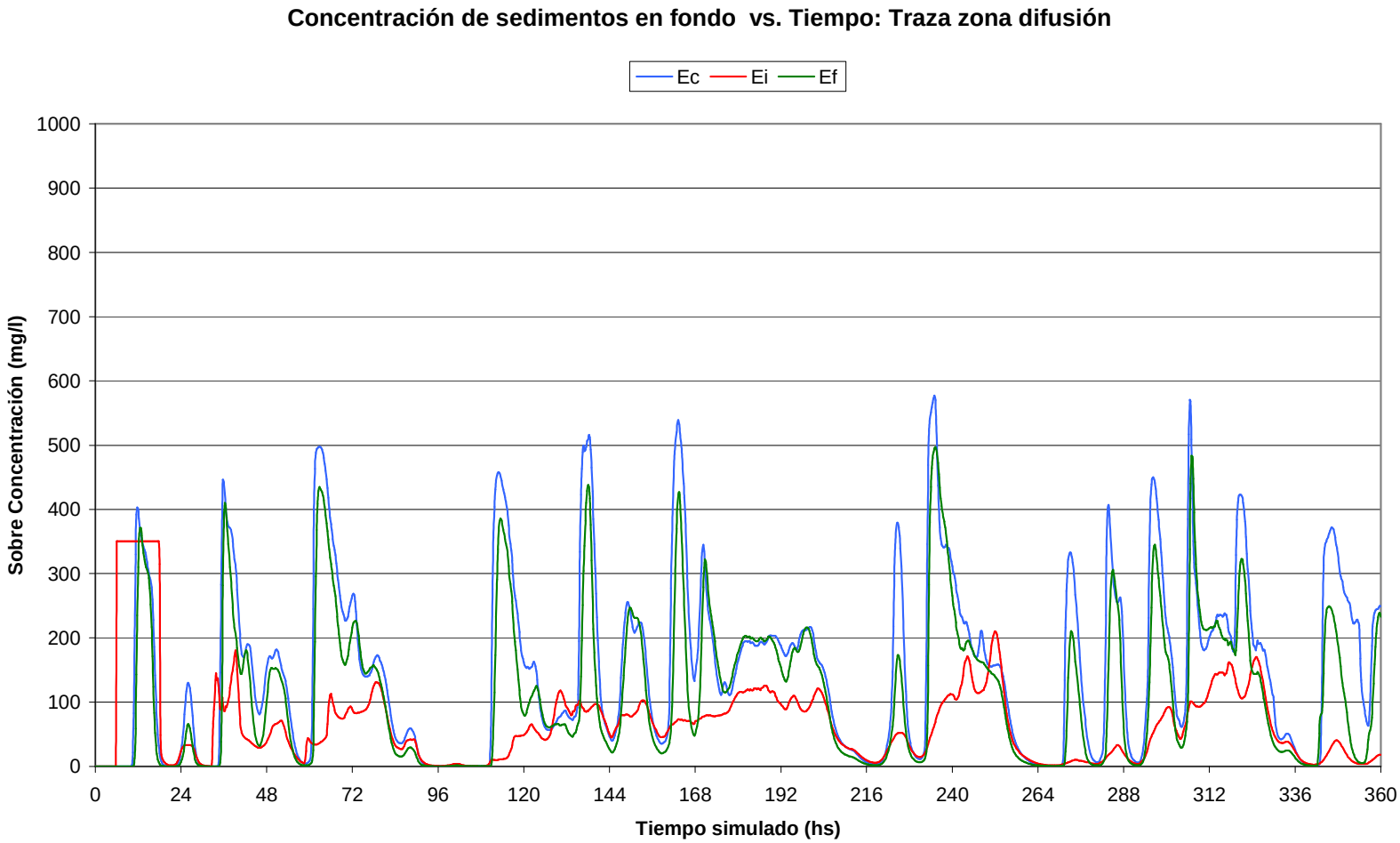

Figura A.6.6.1.1.16 – Concentración de sedimentos en la traza del emisario. Capa de fondo.

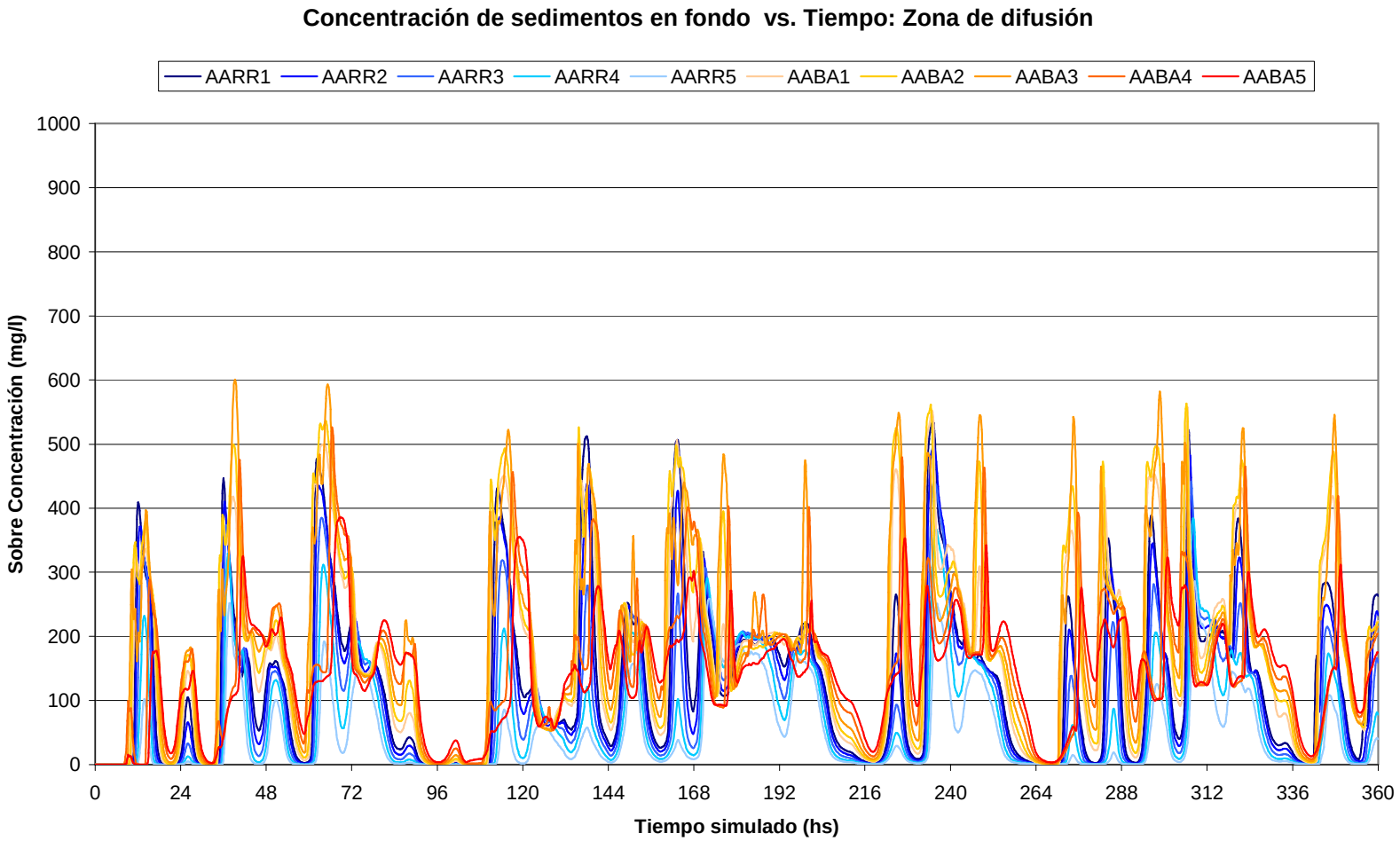

Figura A.6.6.1.1.17 – Concentración de sedimentos en la zona de difusión del emisario. Capa de fondo.

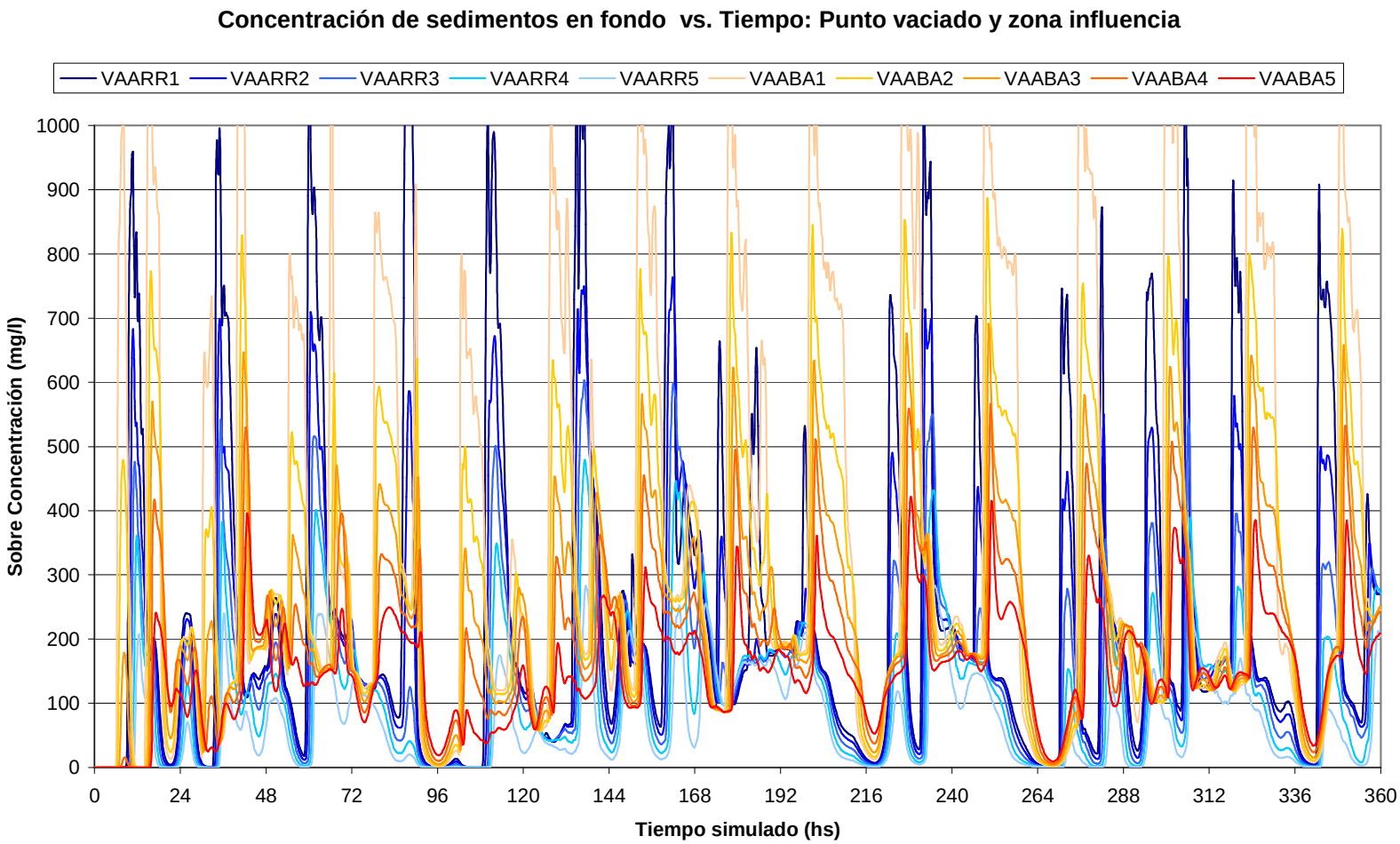

Figura A.6.6.1.1.18 – Concentración de sedimentos en la zona de refulado. Capa de fondo.

ANEXO 6.6.1.2

Dragado con cortadora y vaciado por cañería satélite en emisario Berazategui.

Distribución espacial de concentraciones y material sedimentado.

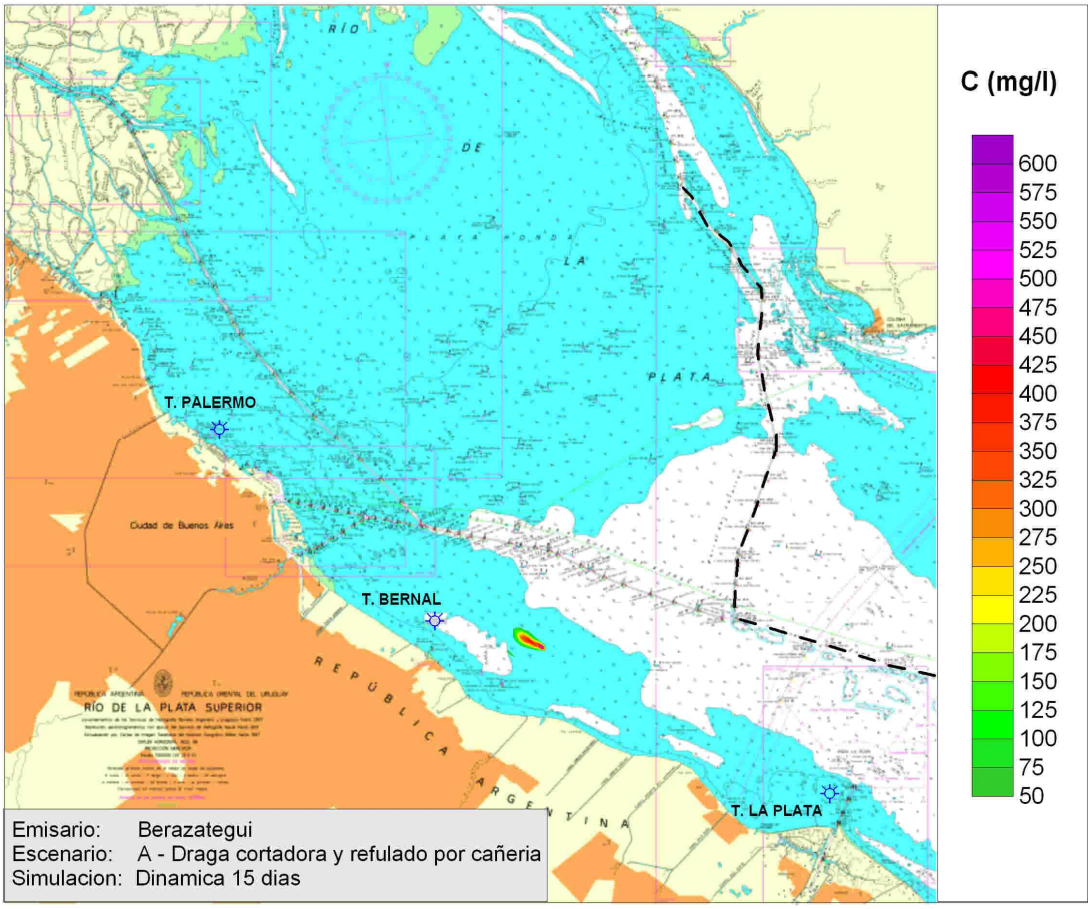

Figura A.6.6.1.2.1 – Distribución superficial de la concentración: día 1 hora 12.

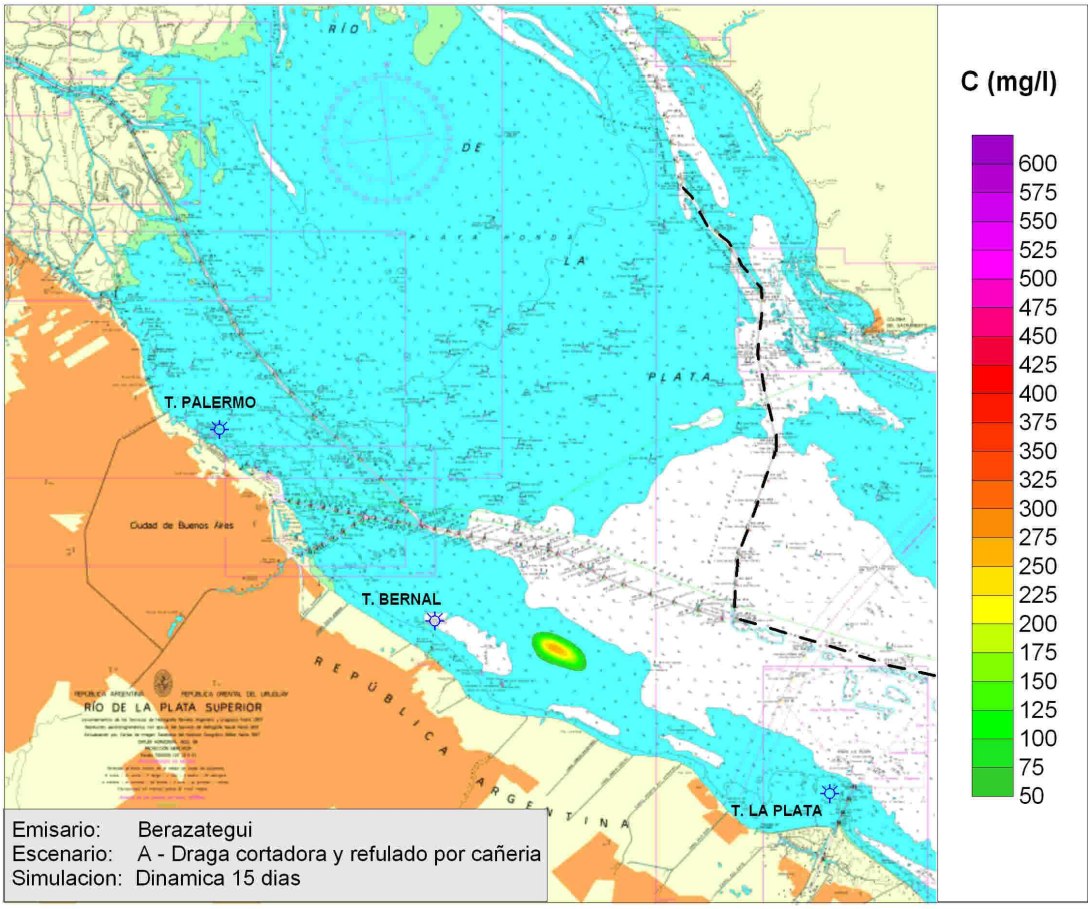

Figura A.6.6.1.2.2 – Distribución superficial de la concentración: día 1 hora 24.

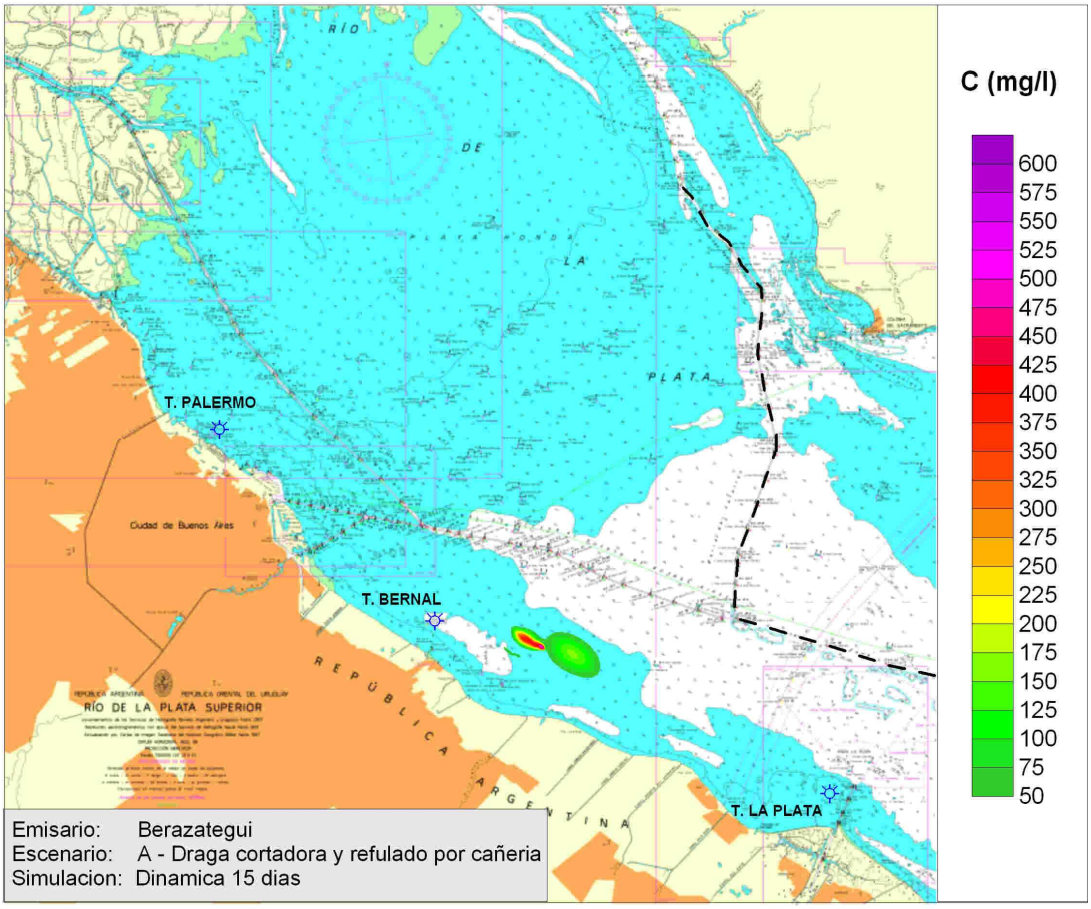

Figura A.6.6.1.2.3 – Distribución superficial de la concentración: día 2 hora 12.

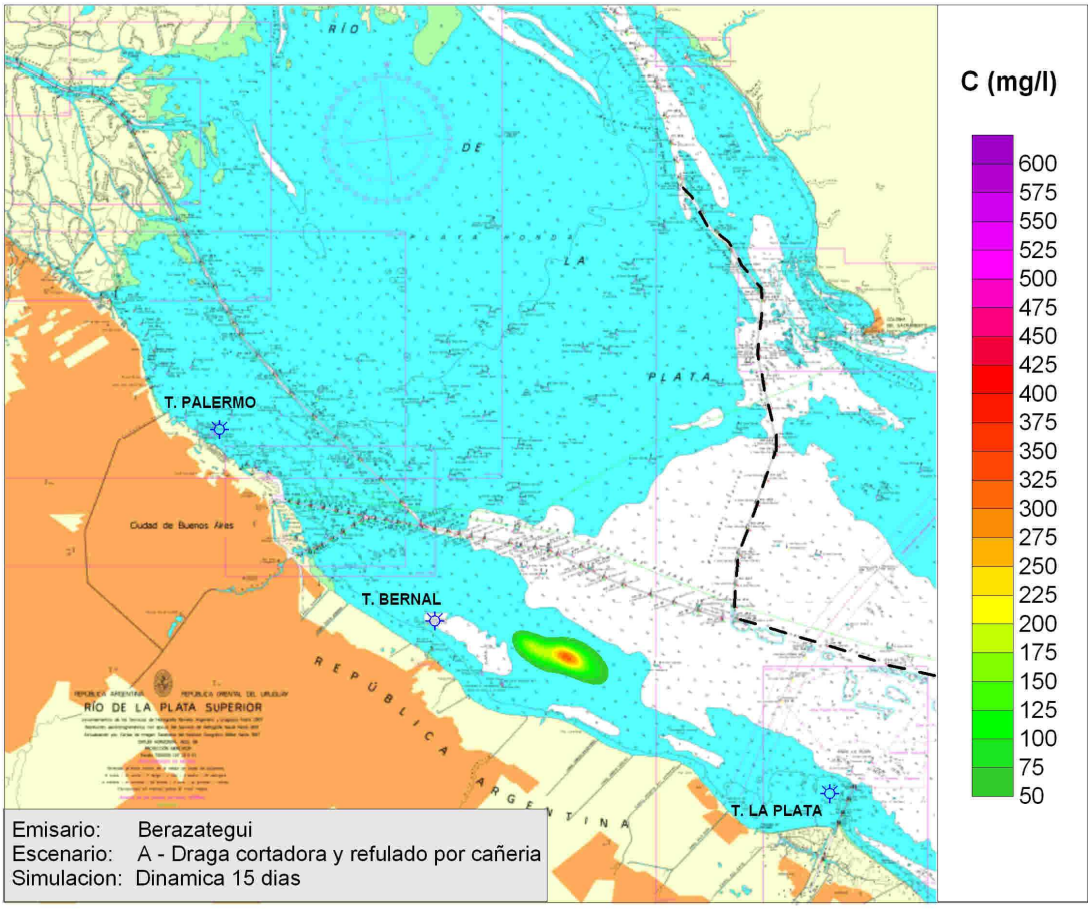

Figura A.6.6.1.2.4 – Distribución superficial de la concentración: día 2 hora 24.

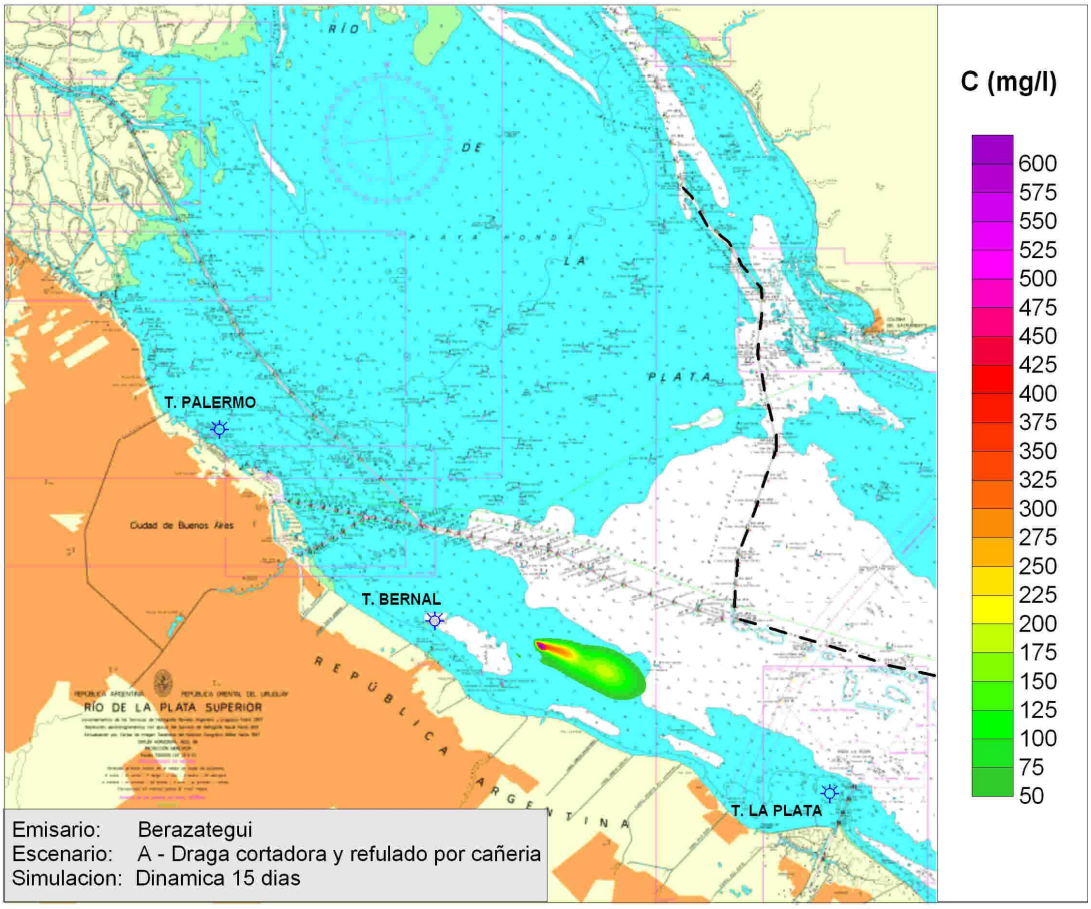

Figura A.6.6.1.2.5 – Distribución superficial de la concentración: día 3 hora 12.

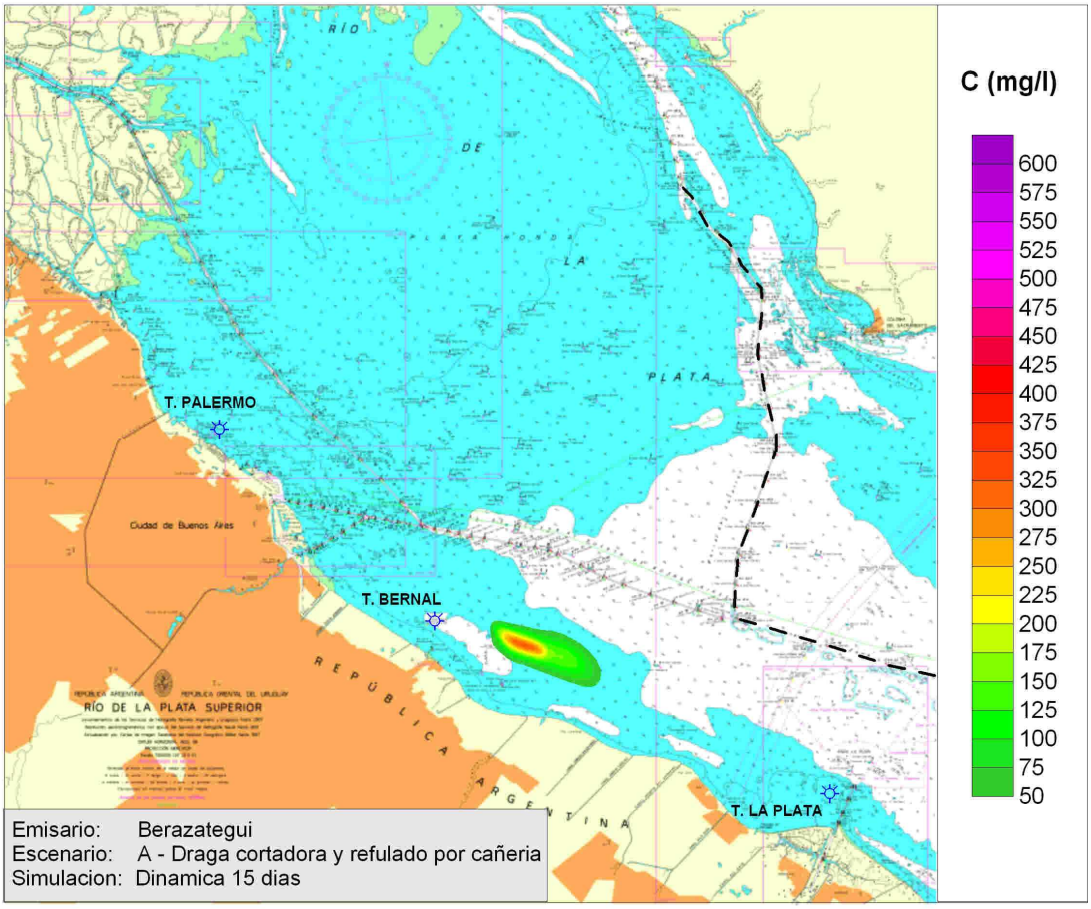

Figura A.6.6.1.2.6 – Distribución superficial de la concentración: día 3 hora 24.

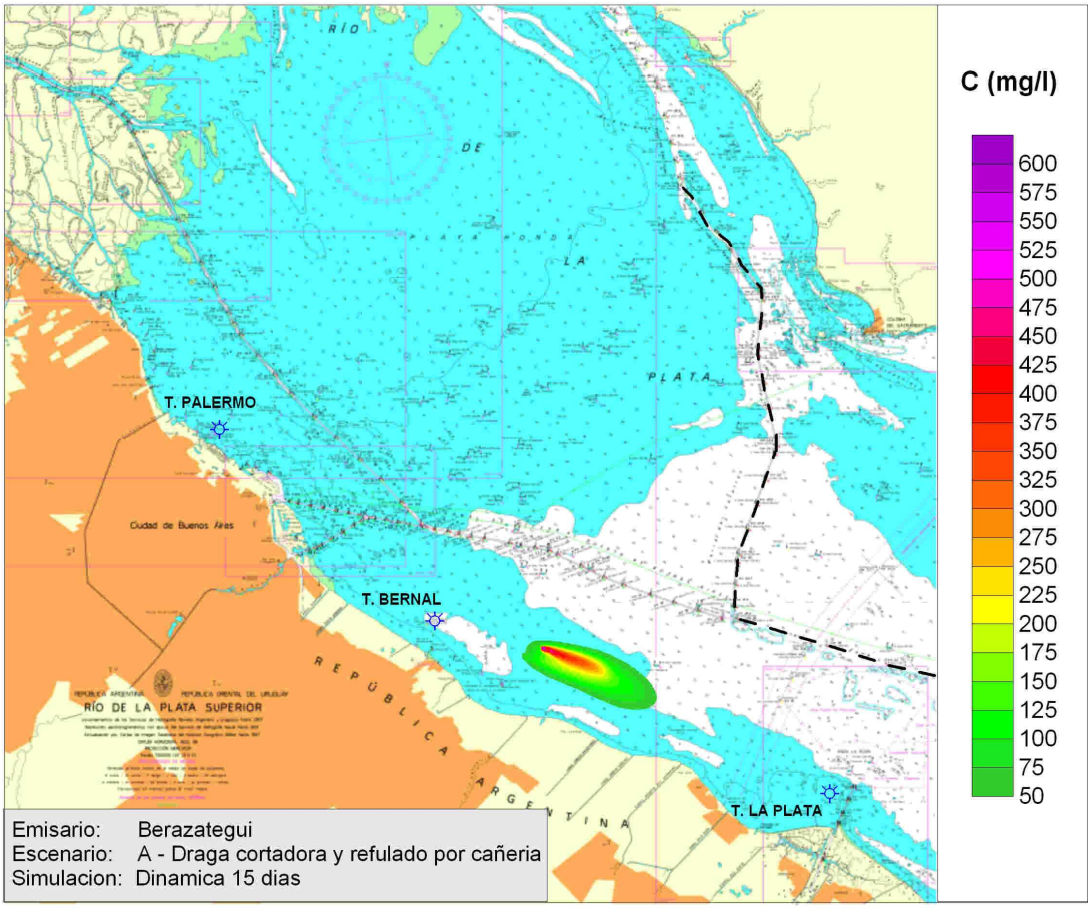

Figura A.6.6.1.2.7 – Distribución superficial de la concentración: día 4 hora 12.

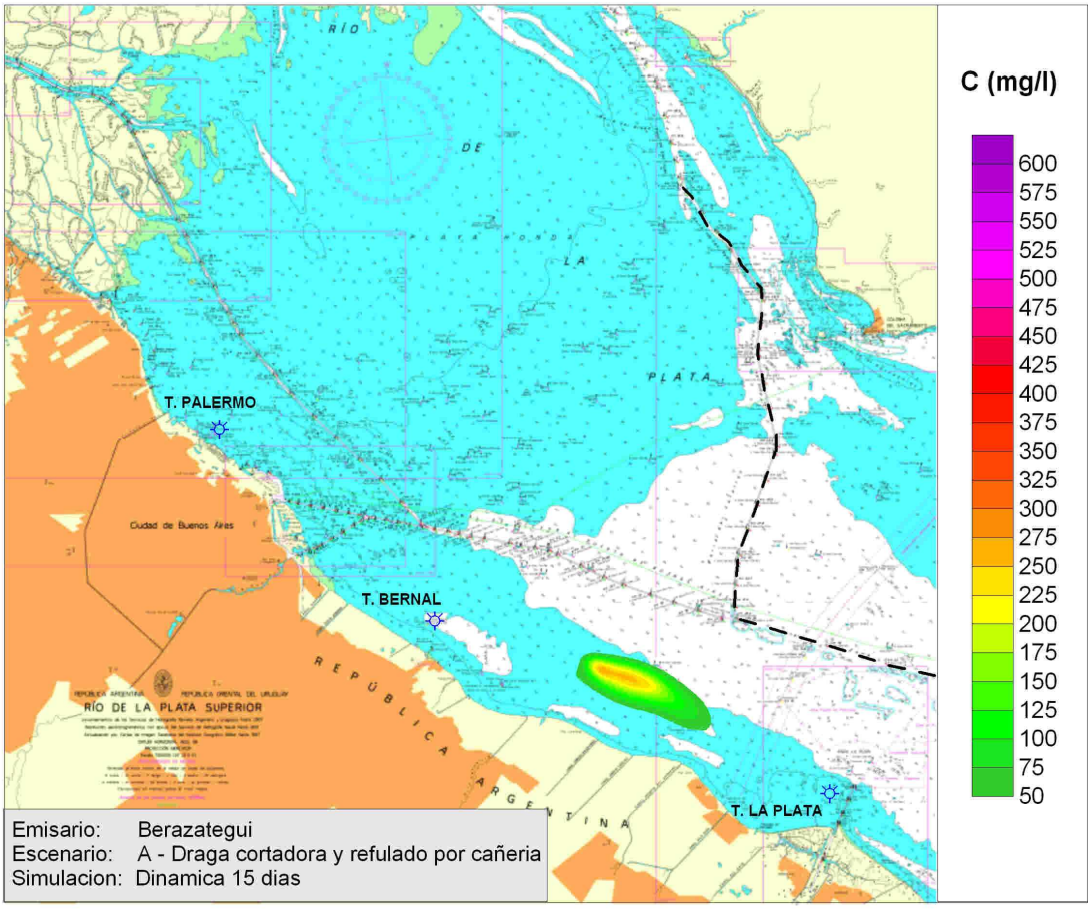

Figura A.6.6.1.2.8 – Distribución superficial de la concentración: día 4 hora 24.

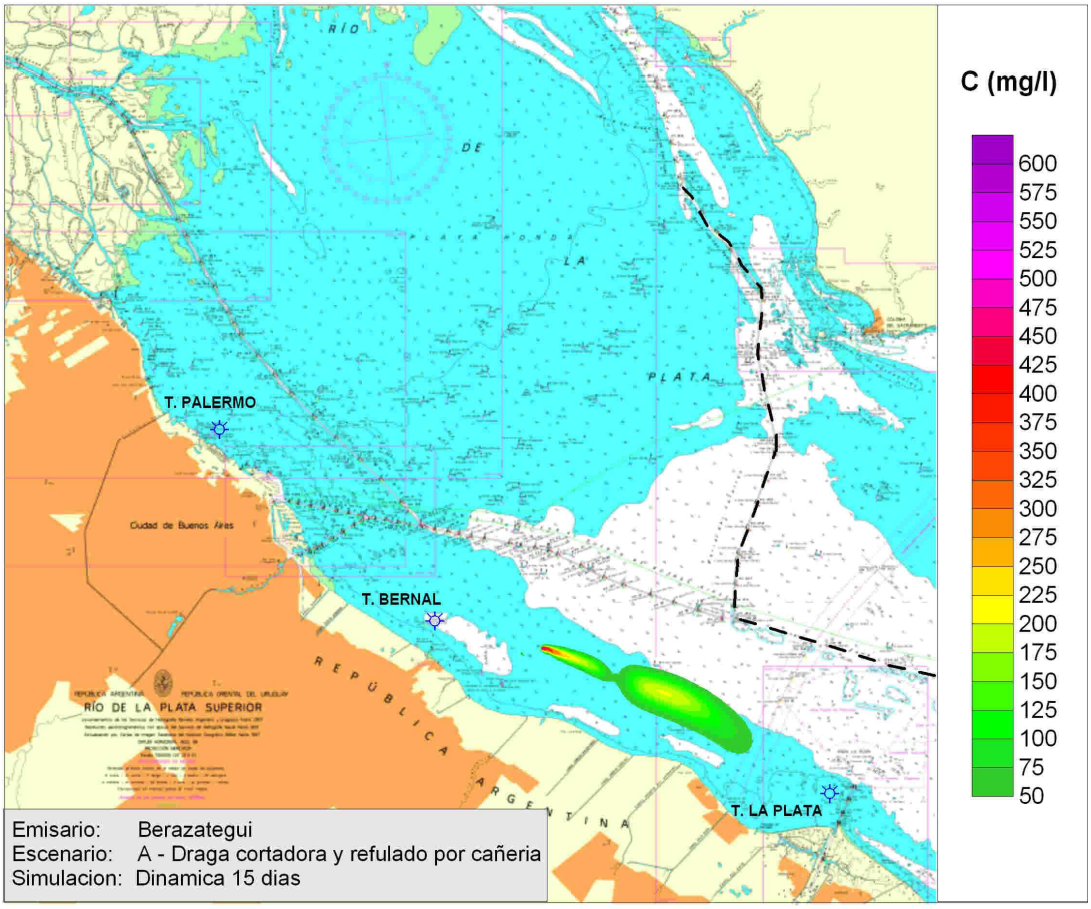

Figura A.6.6.1.2.9 – Distribución superficial de la concentración: día 5 hora 12.

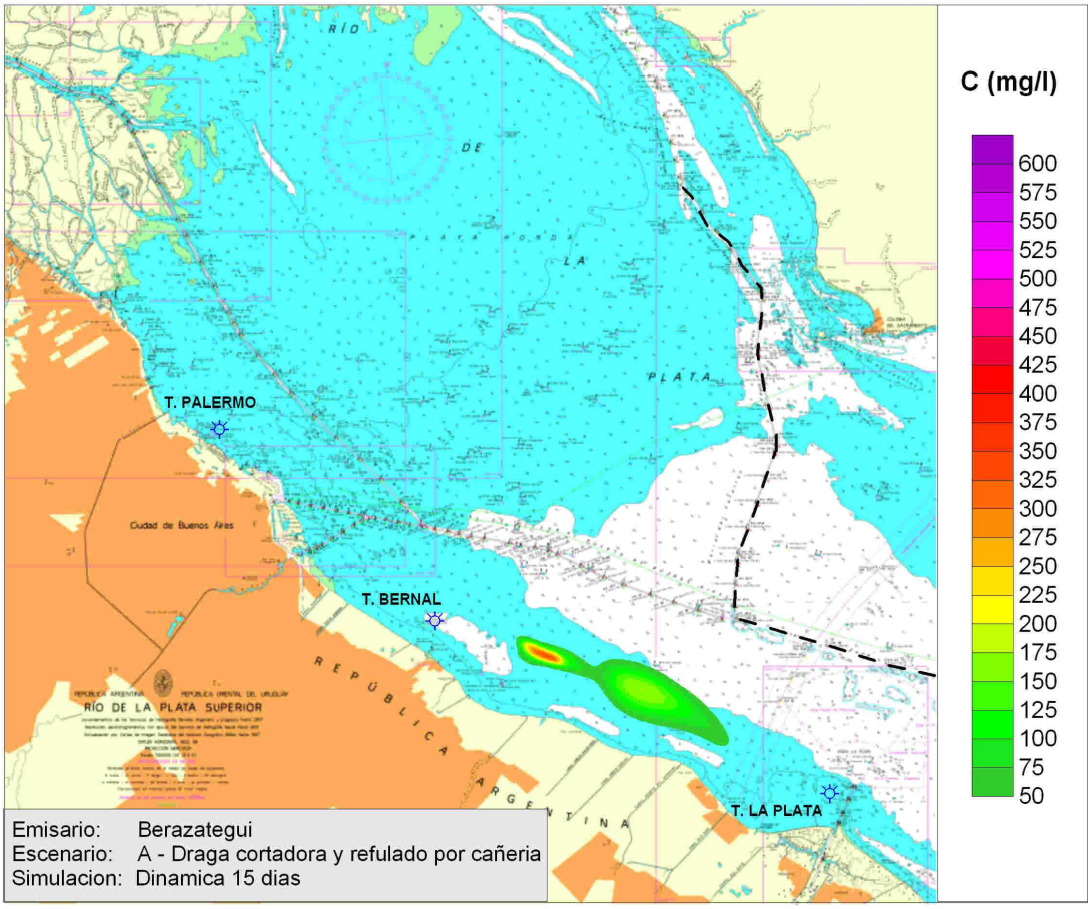

Figura A.6.6.1.2.10 – Distribución superficial de la concentración: día 5 hora 24.

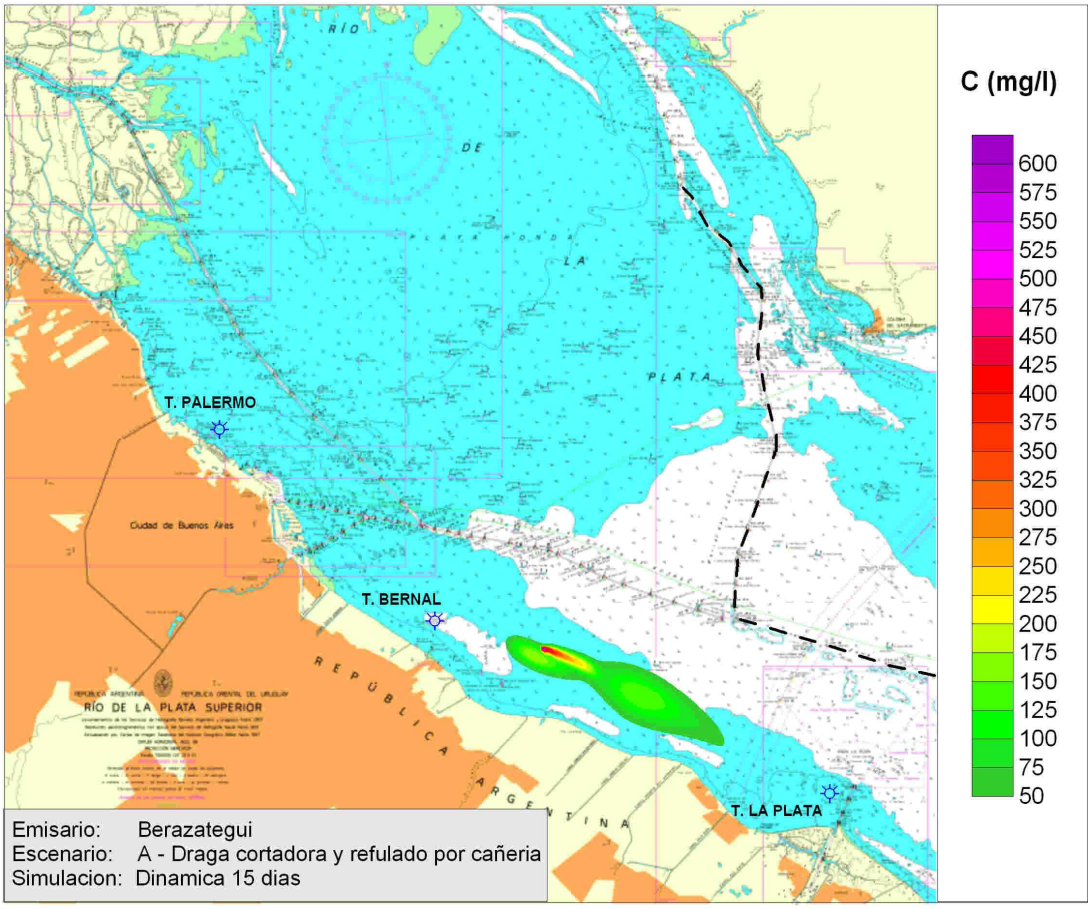

Figura A.6.6.1.2.11 – Distribución superficial de la concentración: día 6 hora 12.

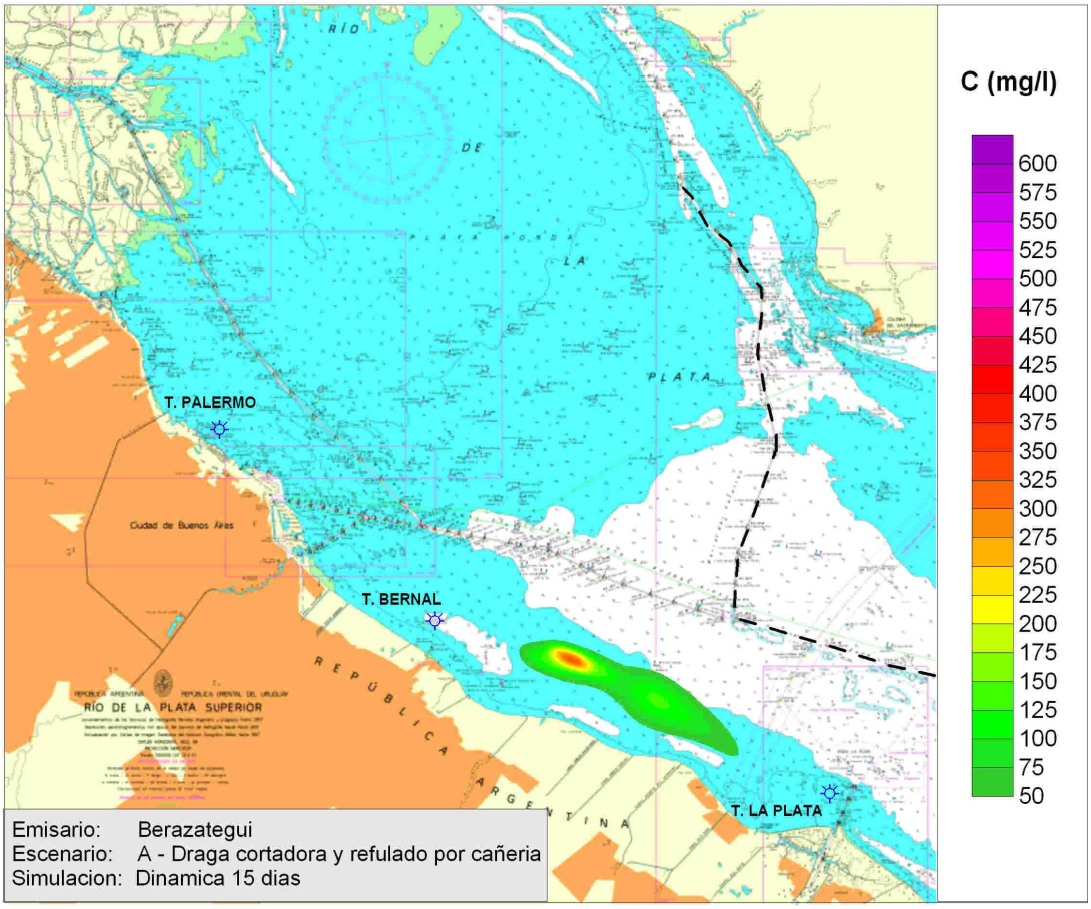

Figura A.6.6.1.2.12 – Distribución superficial de la concentración: día 6 hora 24.

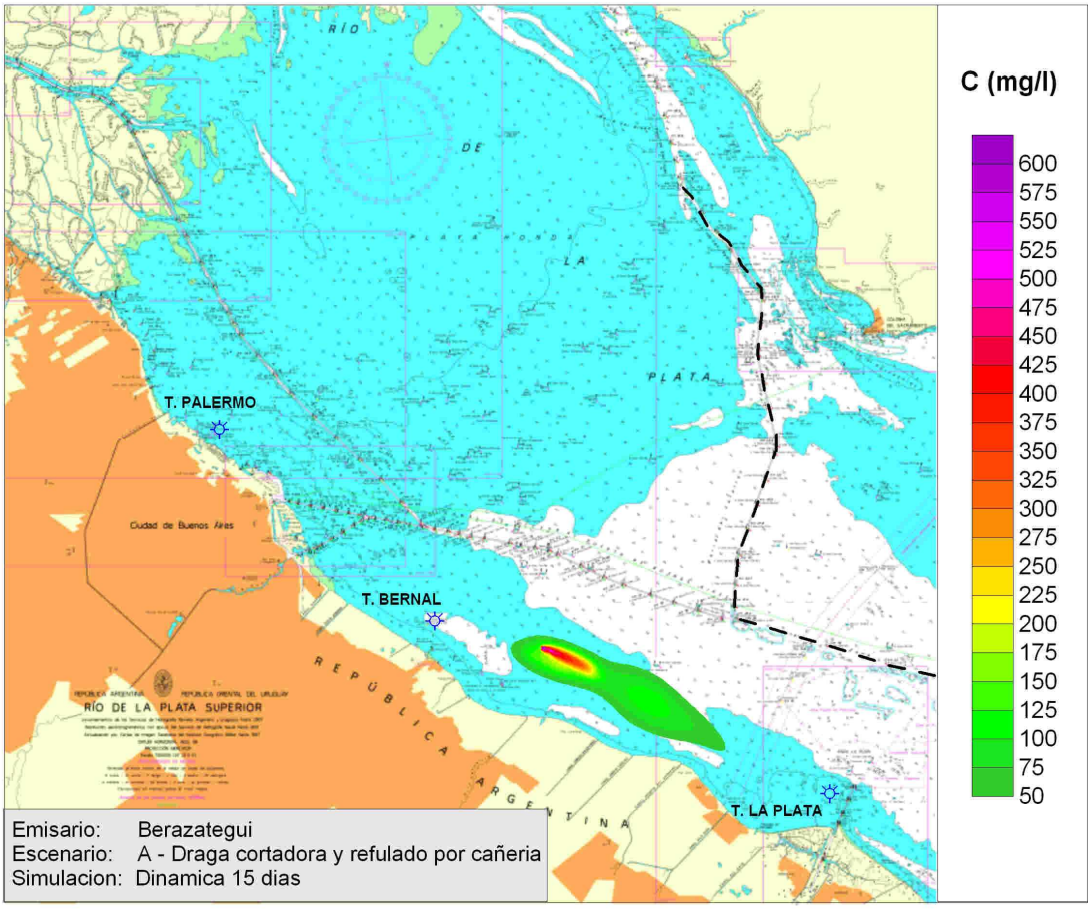

Figura A.6.6.1.2.13 – Distribución superficial de la concentración: día 7 hora 12.

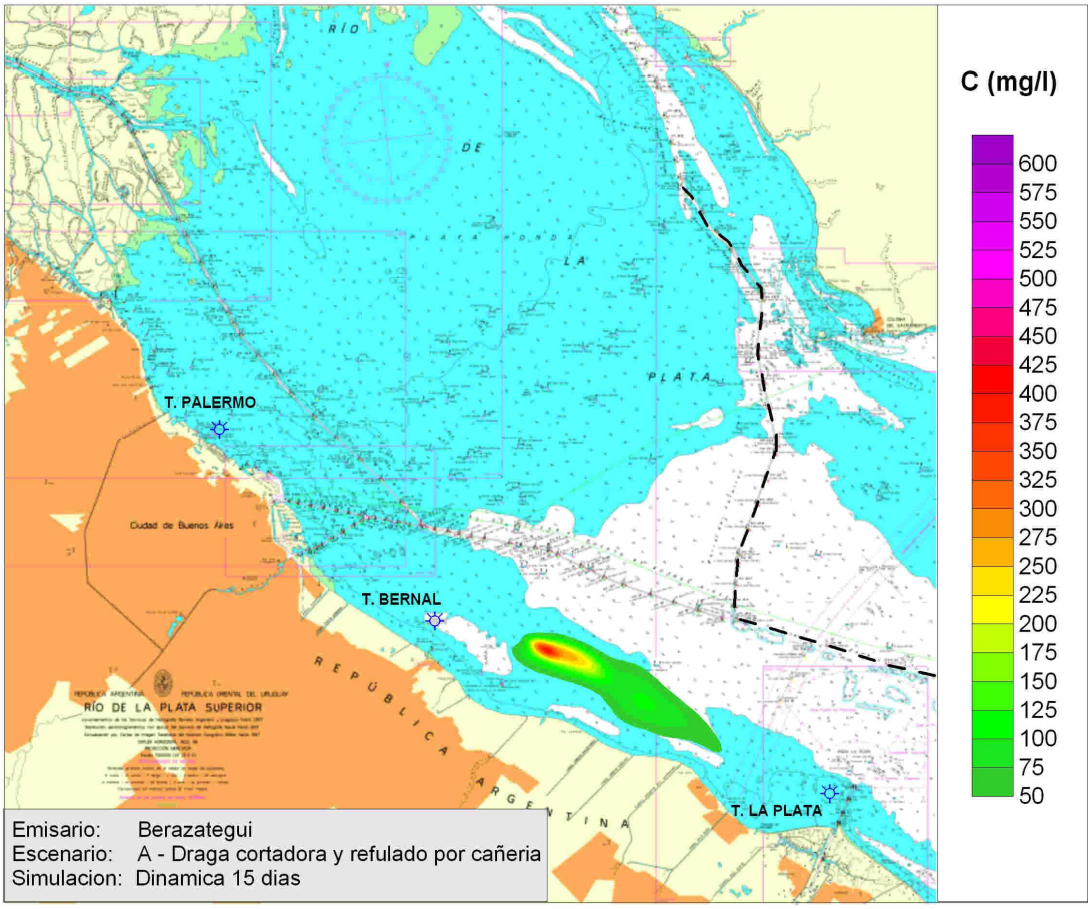

Figura A.6.6.1.2.14 – Distribución superficial de la concentración: día 7 hora 24.

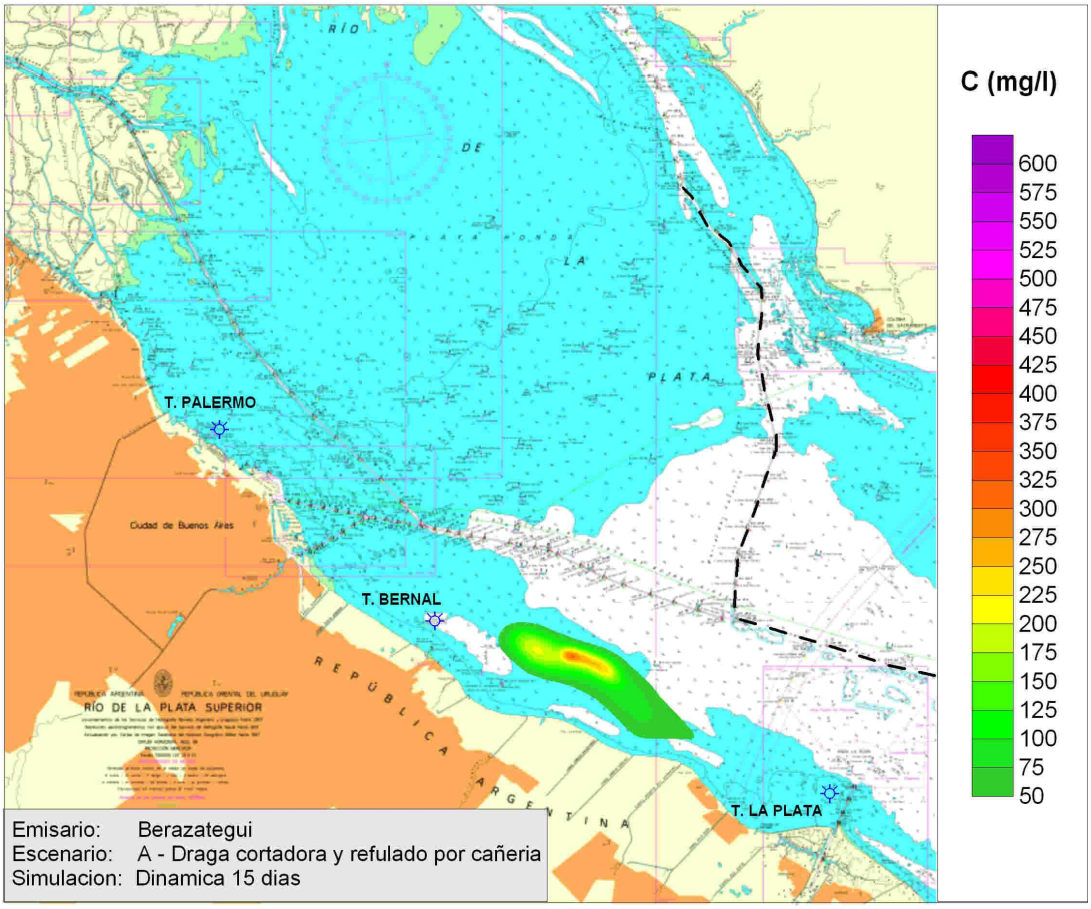

Figura A.6.6.1.2.15 – Distribución superficial de la concentración: día 8 hora 12.

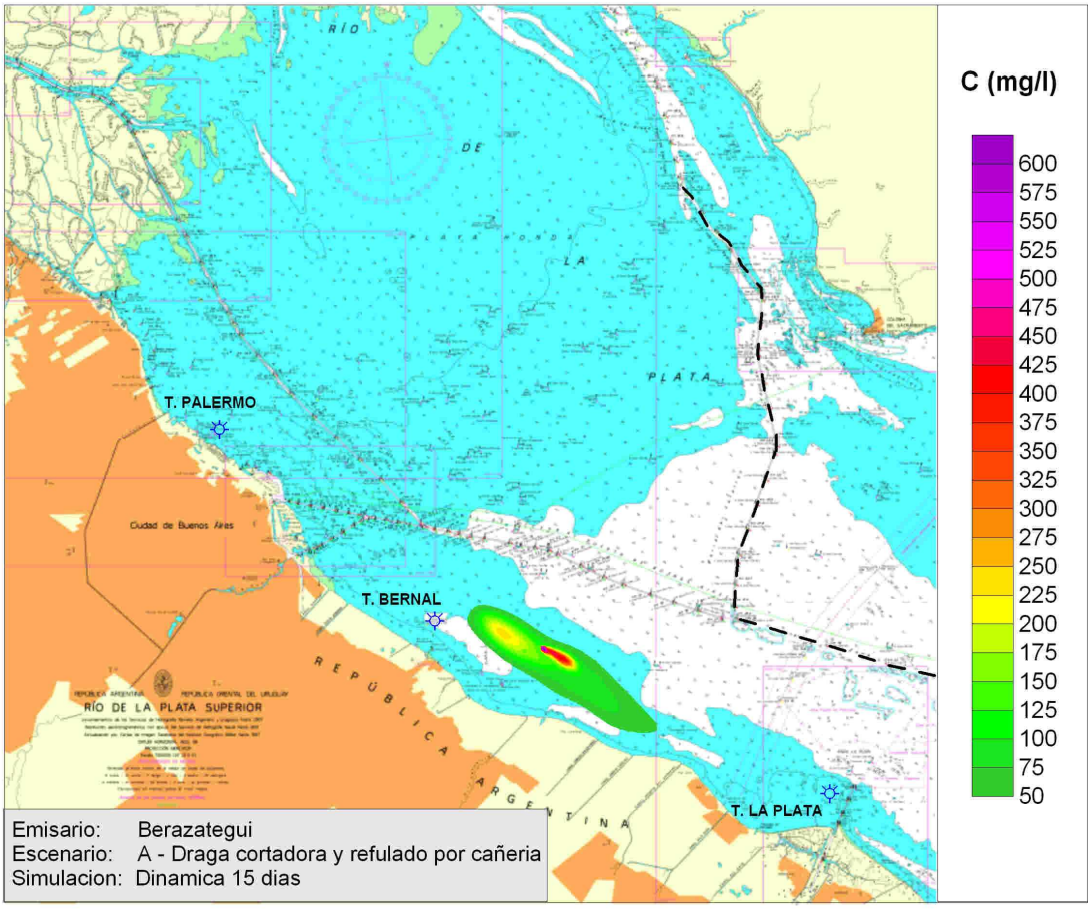

Figura A.6.6.1.2.16 – Distribución superficial de la concentración: día 8 hora 24.

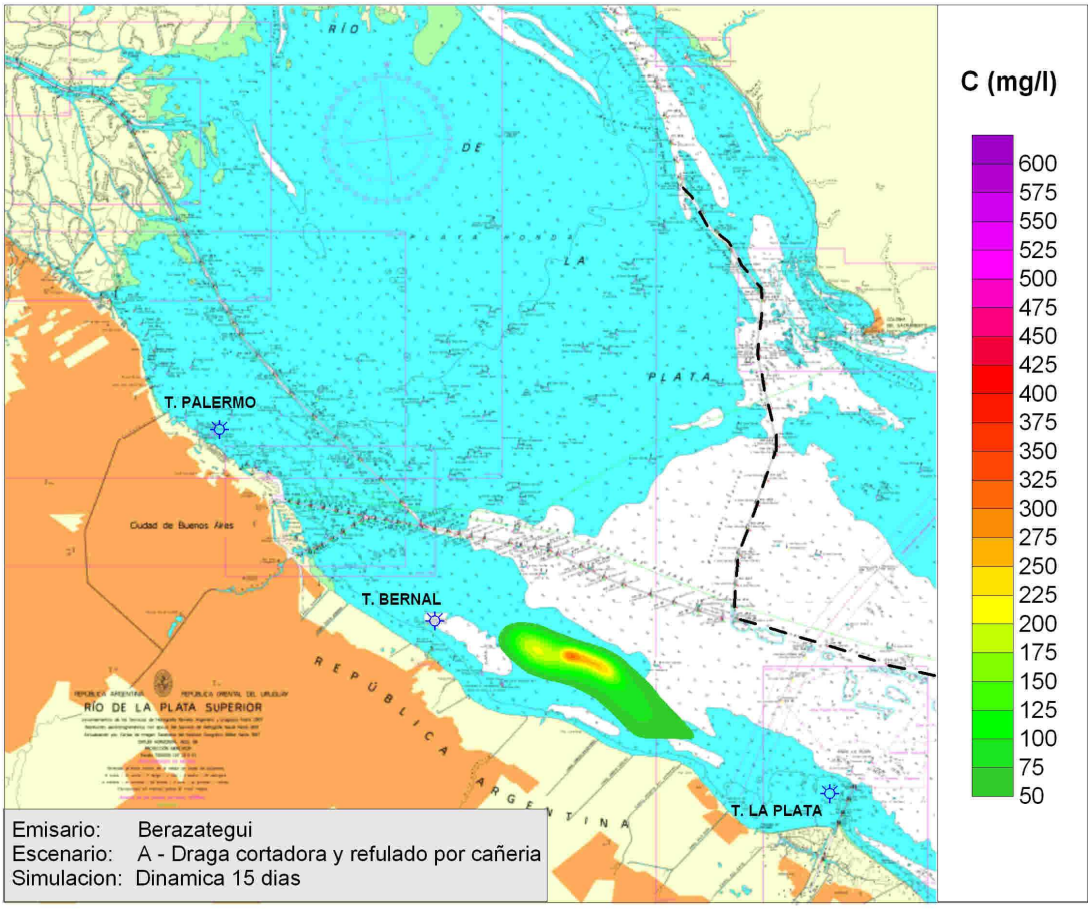

Figura A.6.6.1.2.17 – Distribución superficial de la concentración: día 9 hora 12.

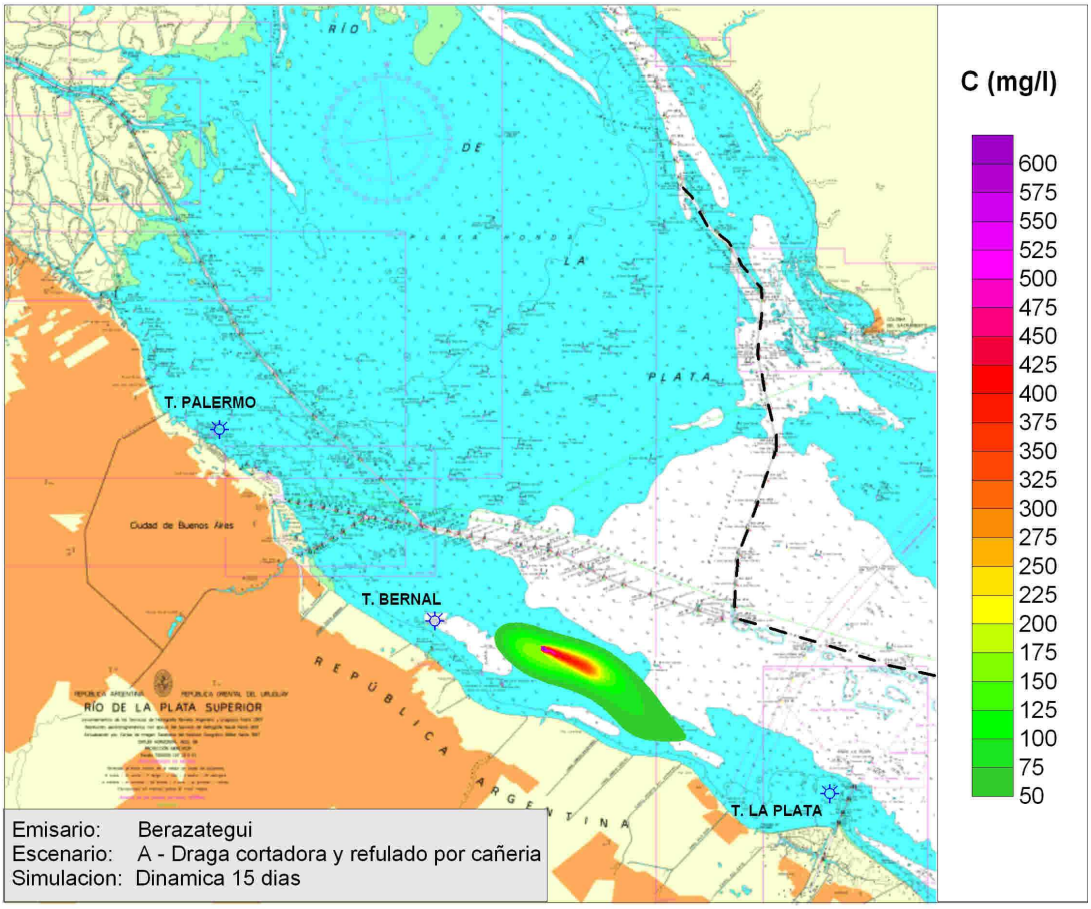

Figura A.6.6.1.2.18 – Distribución superficial de la concentración: día 9 hora 24.

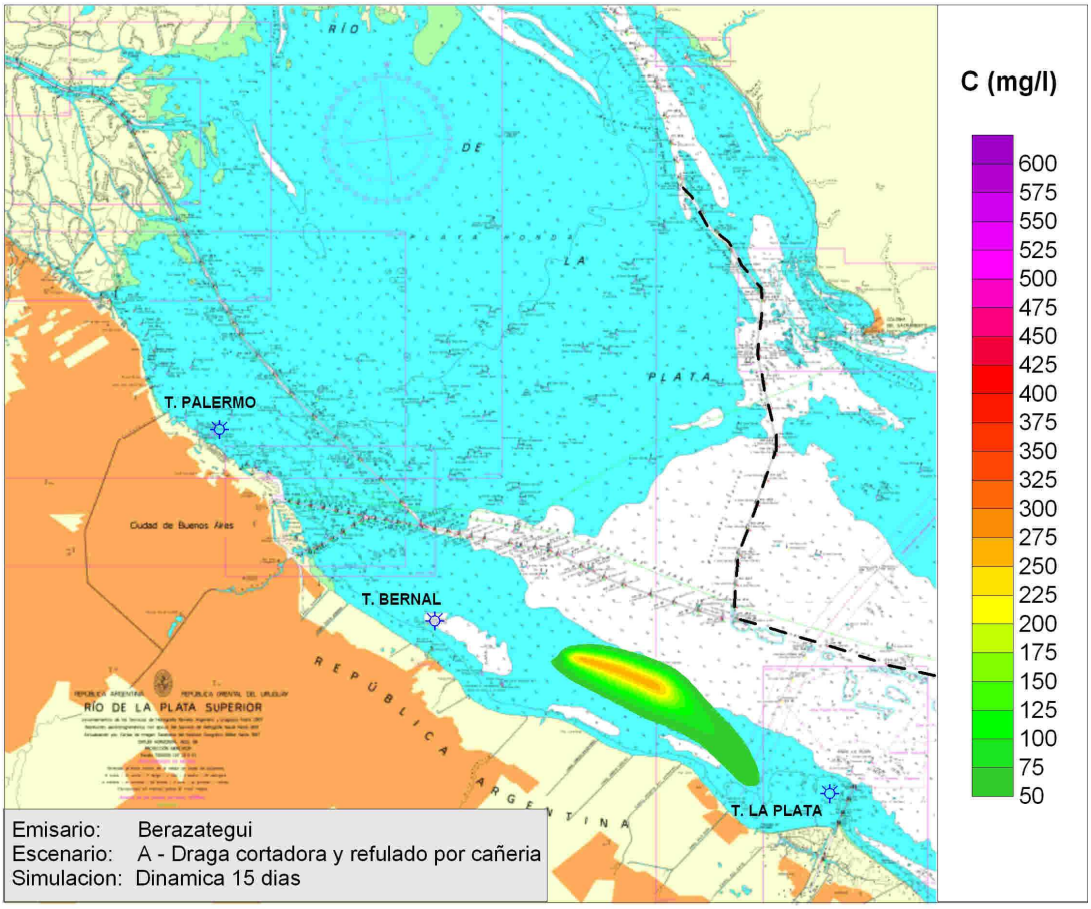

Figura A.6.6.1.2.19 – Distribución superficial de la concentración: día 10 hora 12.

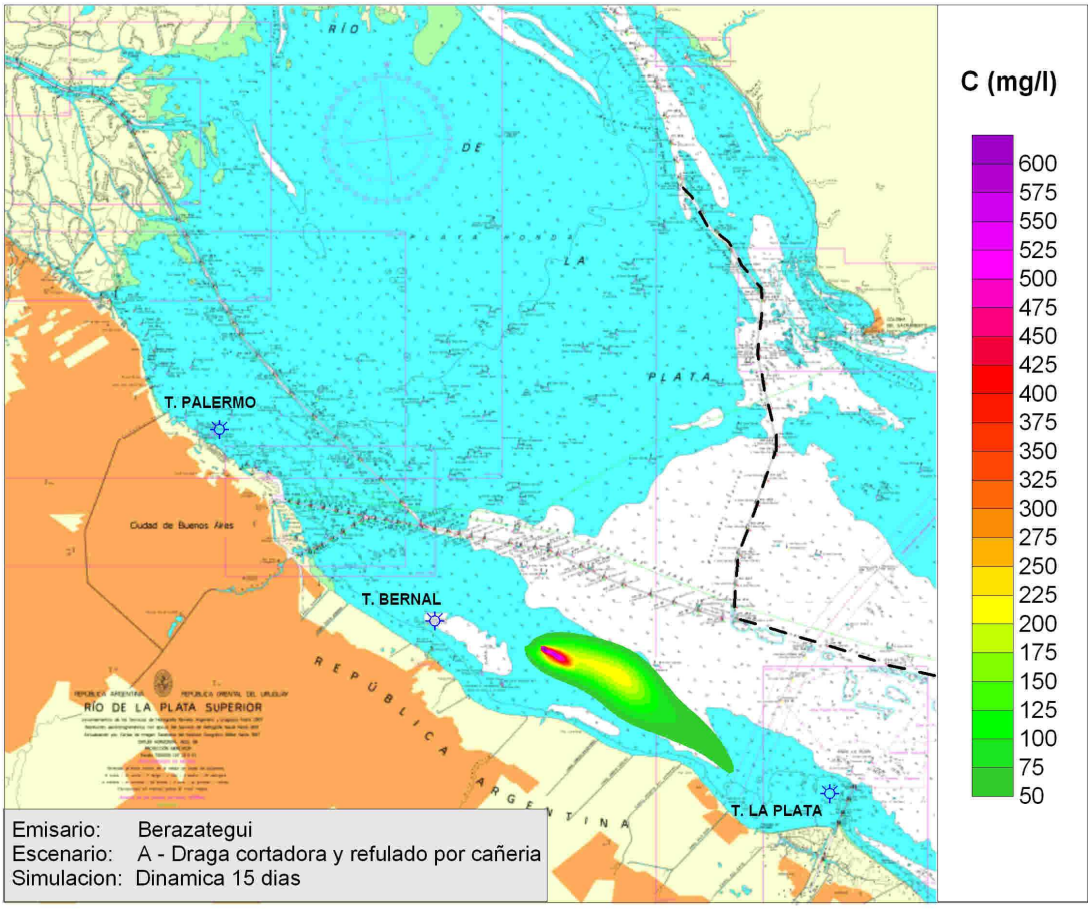

Figura A.6.6.1.2.20 – Distribución superficial de la concentración: día 10 hora 24.

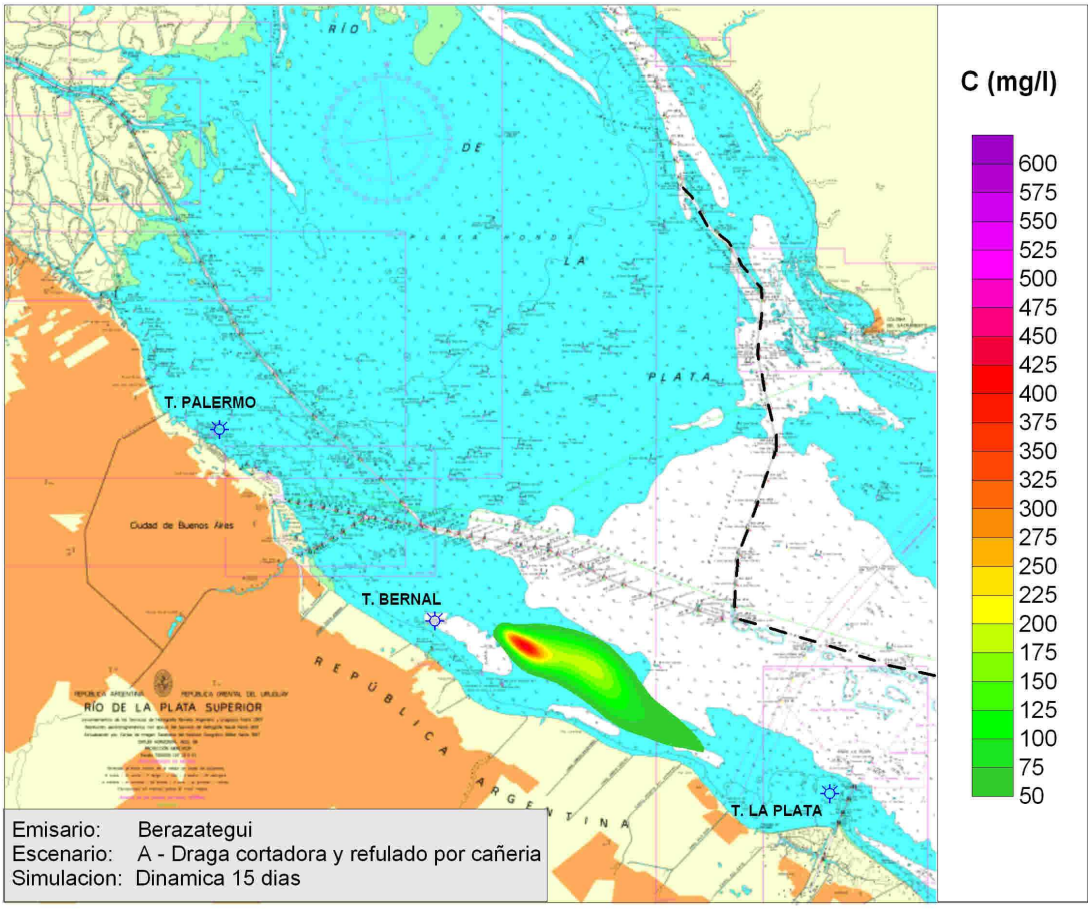

Figura A.6.6.1.2.21 – Distribución superficial de la concentración: día 11 hora 12.

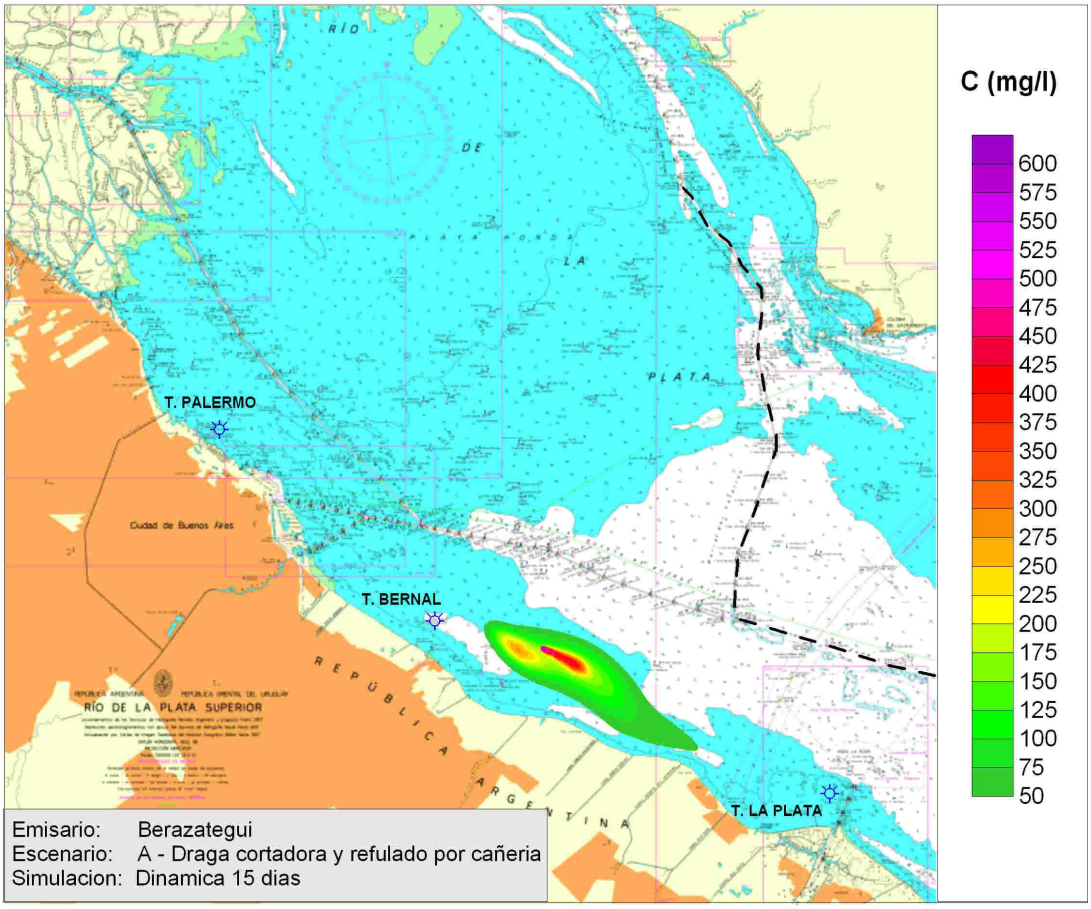

Figura A.6.6.1.2.22 – Distribución superficial de la concentración: día 11 hora 24.

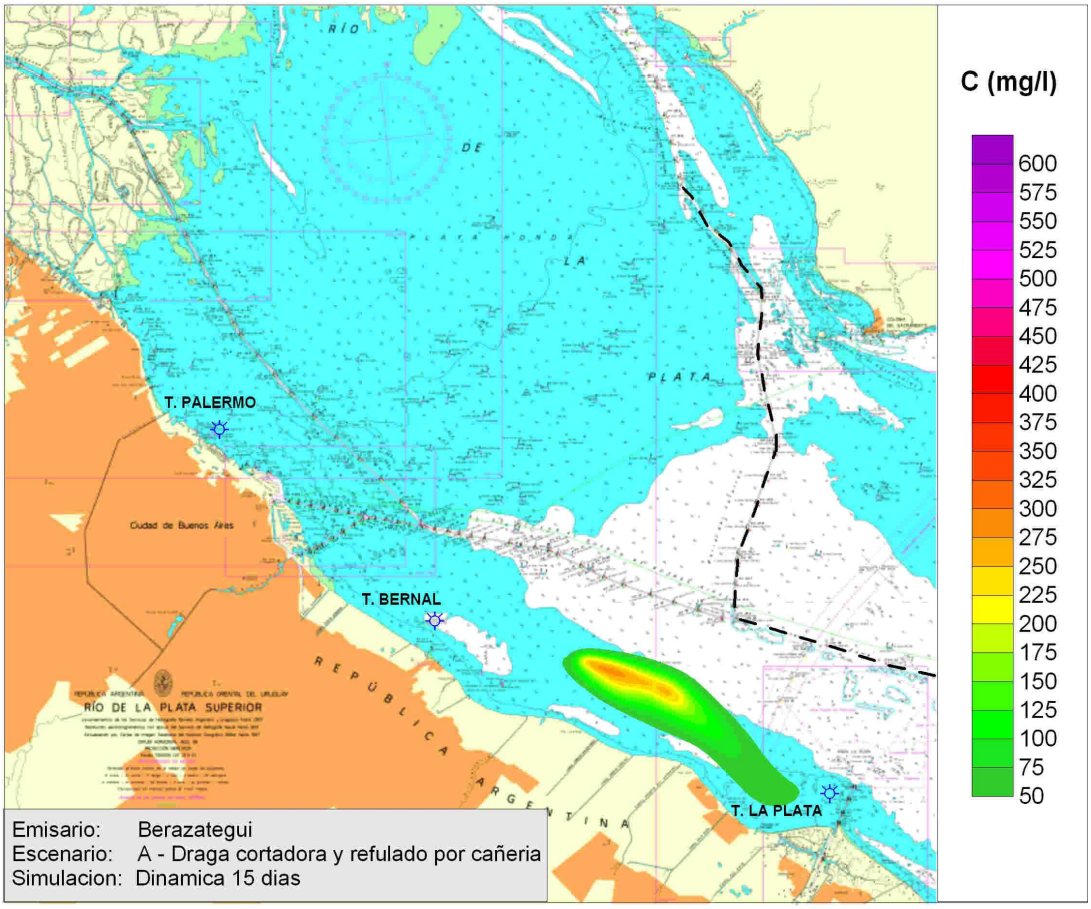

Figura A.6.6.1.2.23 – Distribución superficial de la concentración: día 12 hora 12.

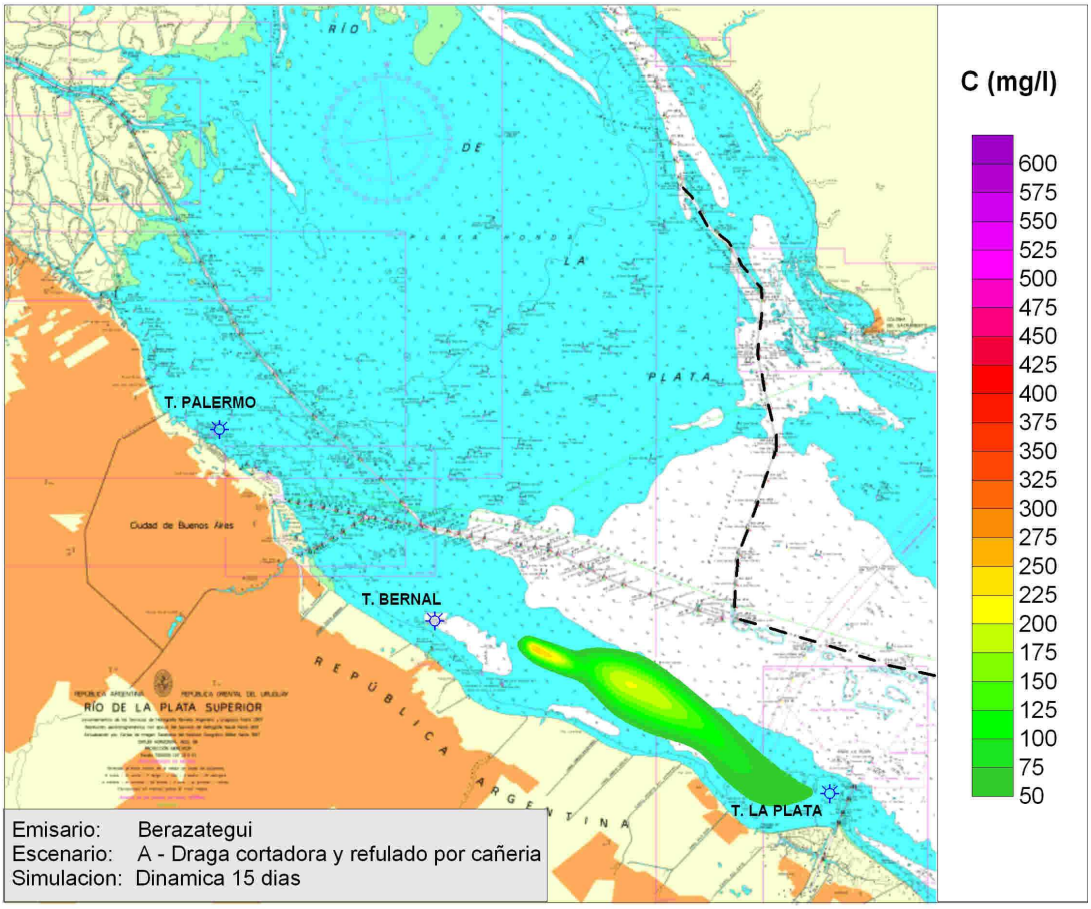

Figura A.6.6.1.2.24 – Distribución superficial de la concentración: día 12 hora 24.

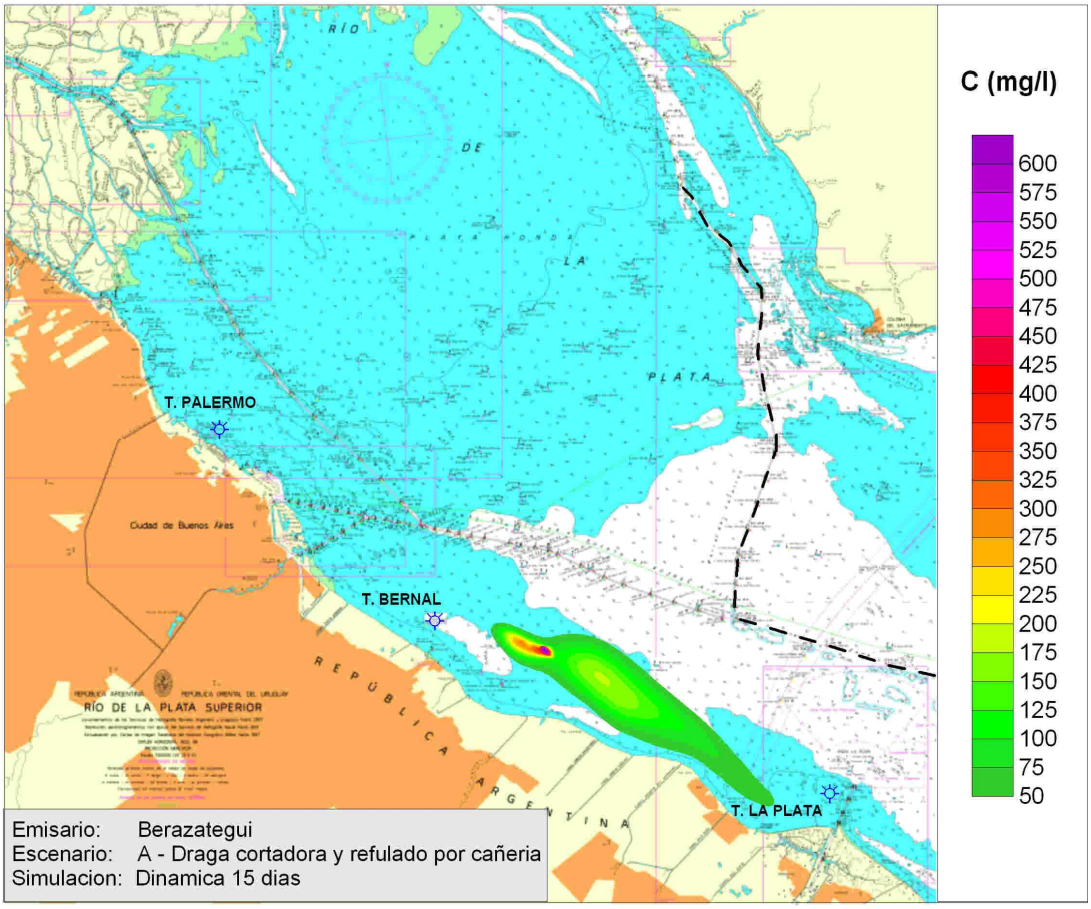

Figura A.6.6.1.2.25 – Distribución superficial de la concentración: día 13 hora 12.

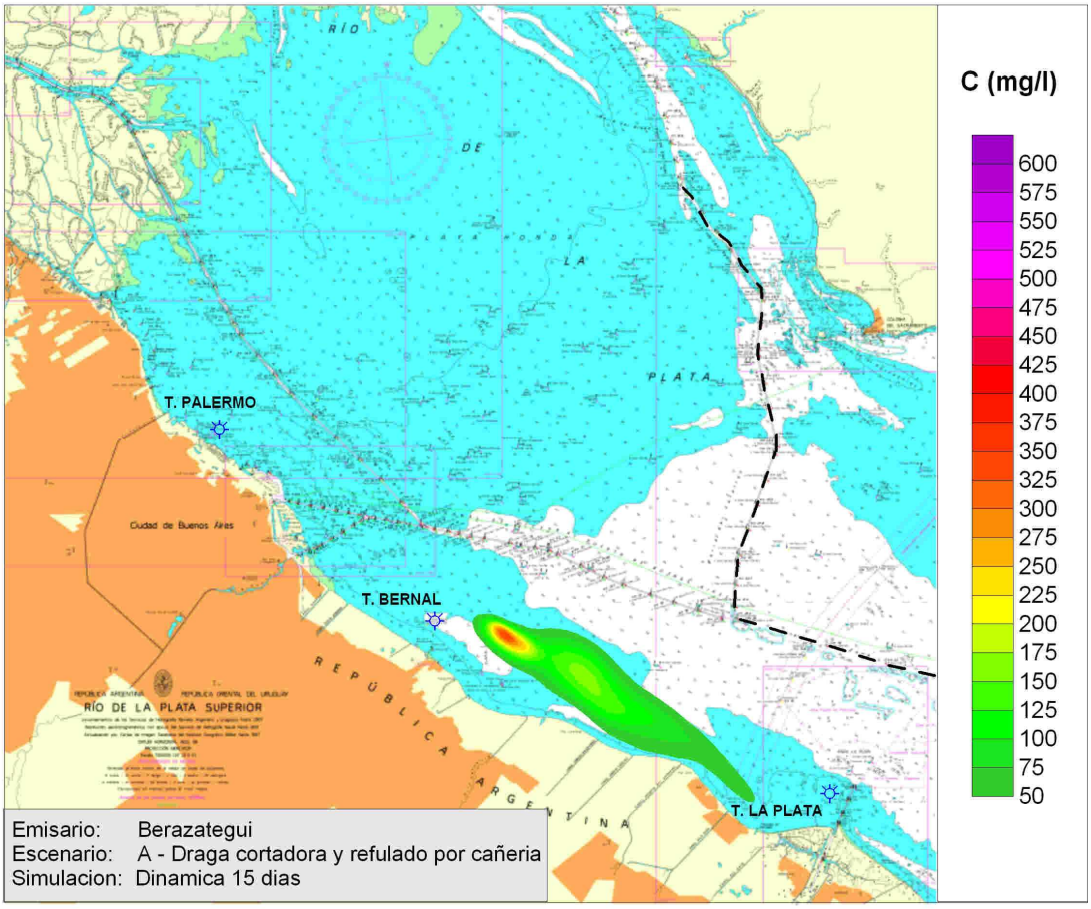

Figura A.6.6.1.2.26 – Distribución superficial de la concentración: día 13 hora 24.

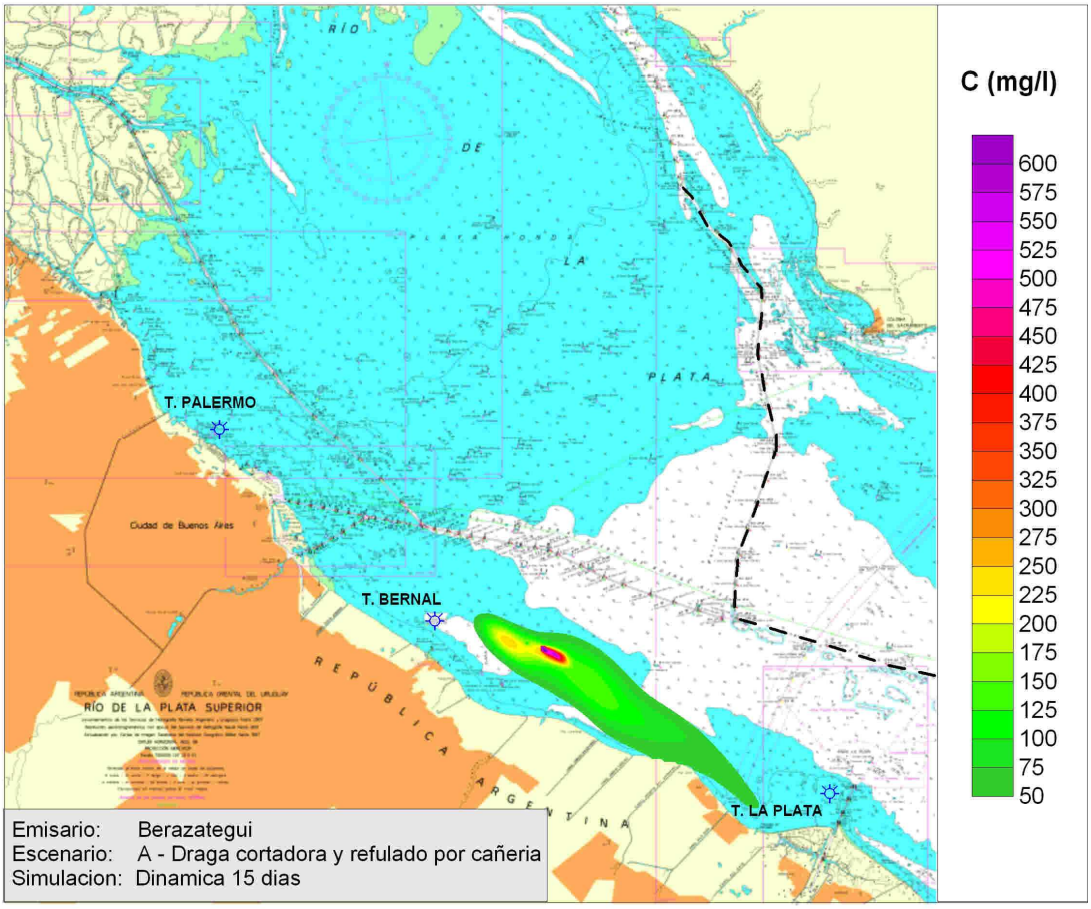

Figura A.6.6.1.2.27 – Distribución superficial de la concentración: día 14 hora 12.

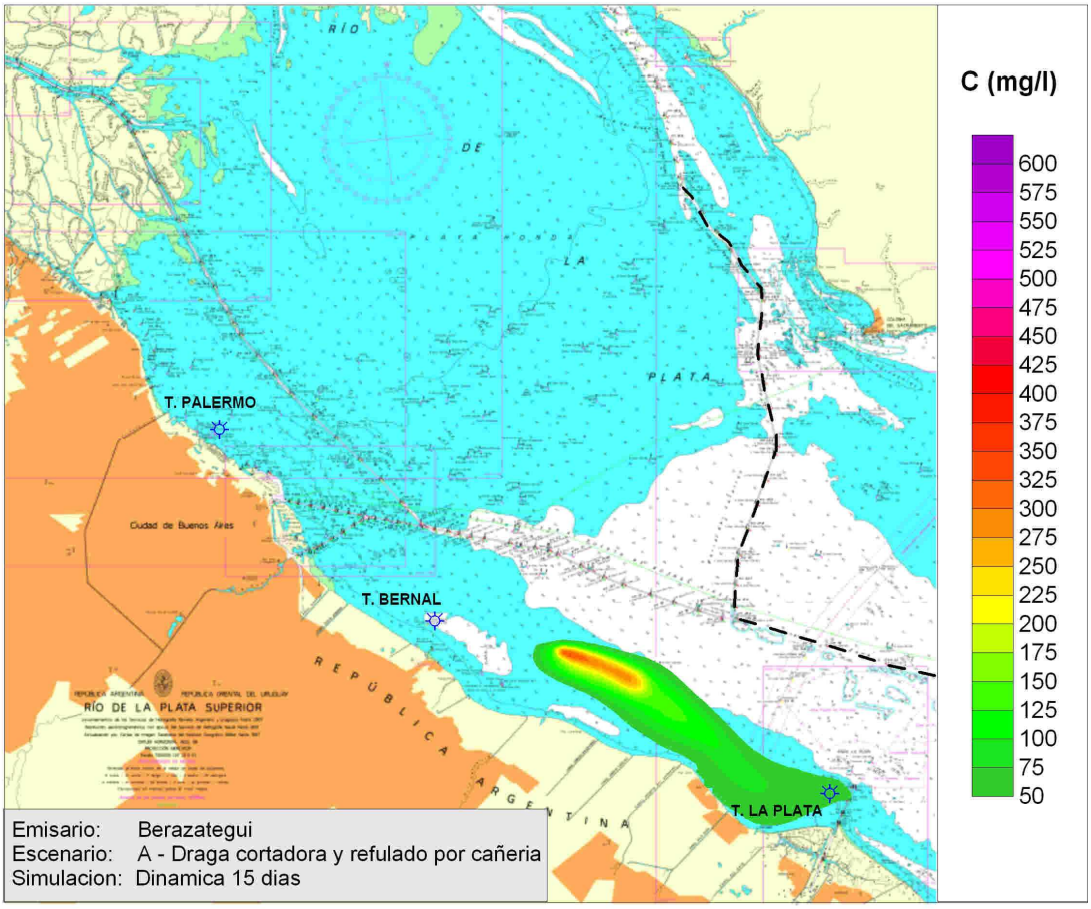

Figura A.6.6.1.2.28 – Distribución superficial de la concentración: día 14 hora 24.

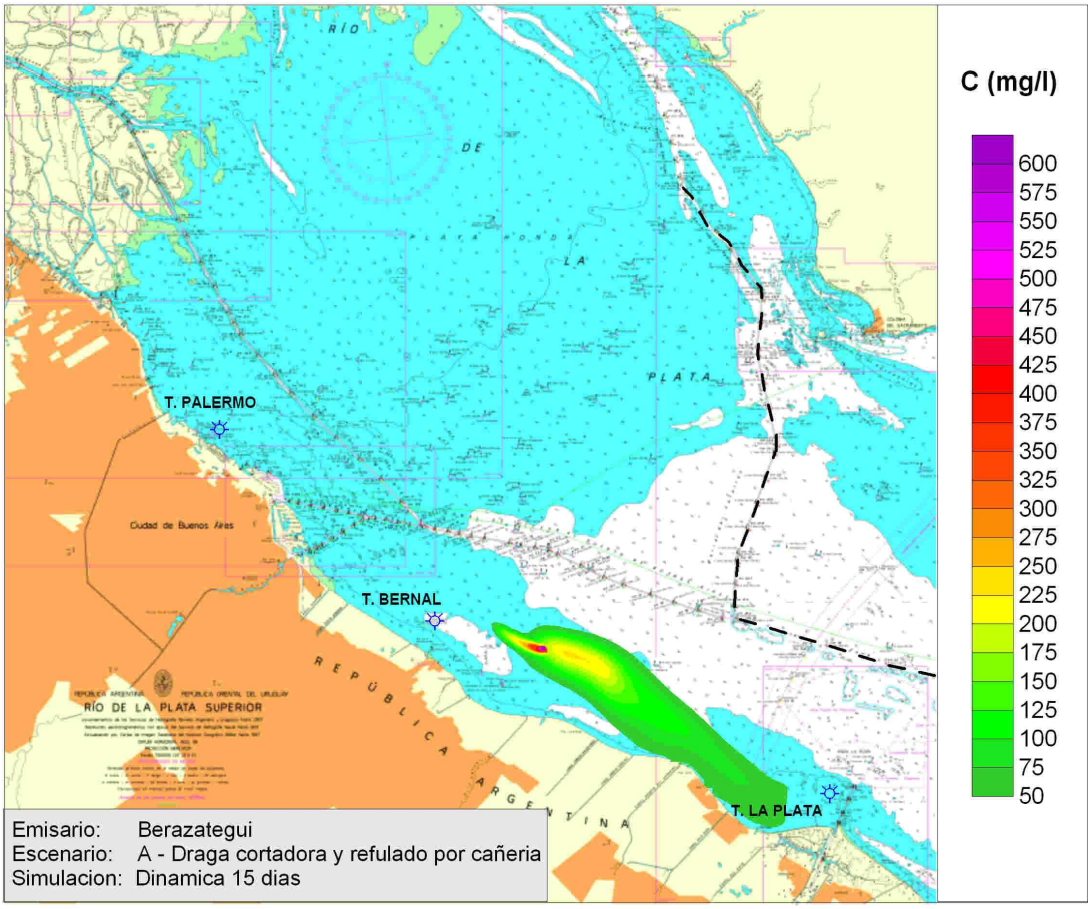

Figura A.6.6.1.2.29 – Distribución superficial de la concentración: día 15 hora 12.

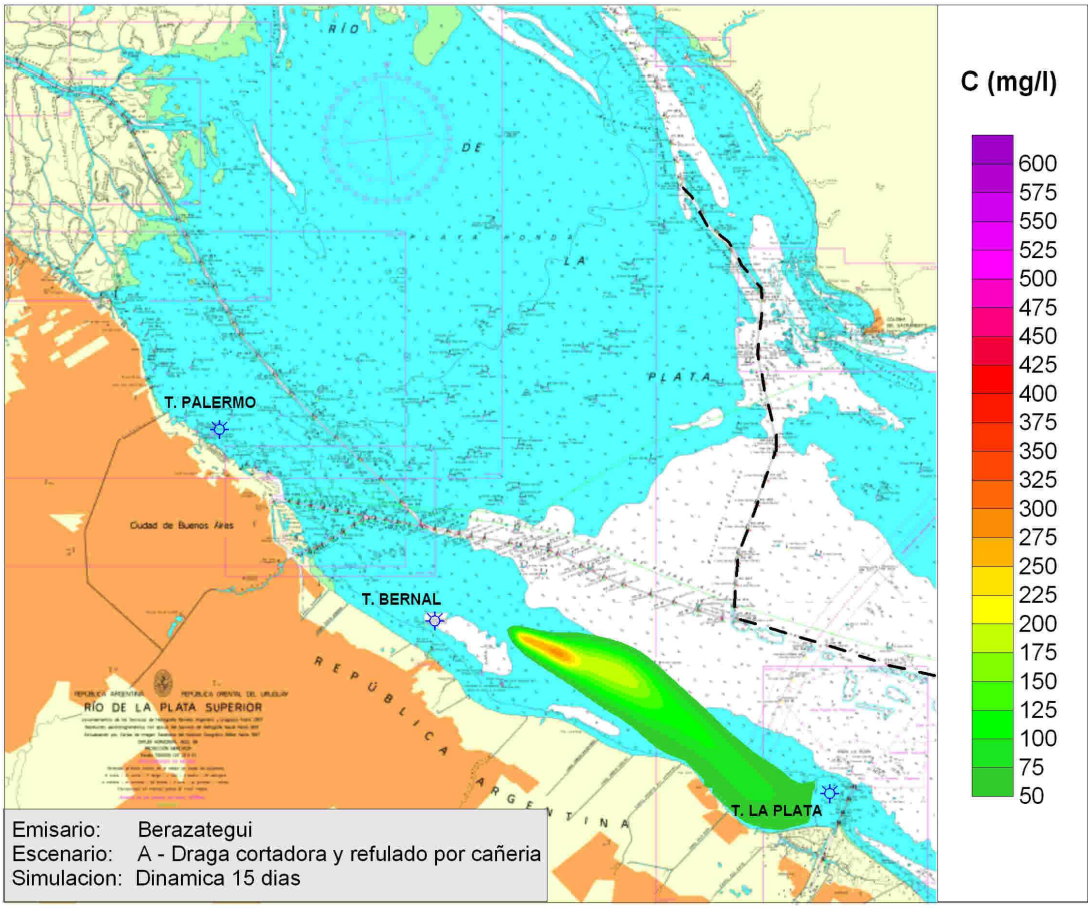

Figura A.6.6.1.2.30 – Distribución superficial de la concentración: día 15 hora 24.

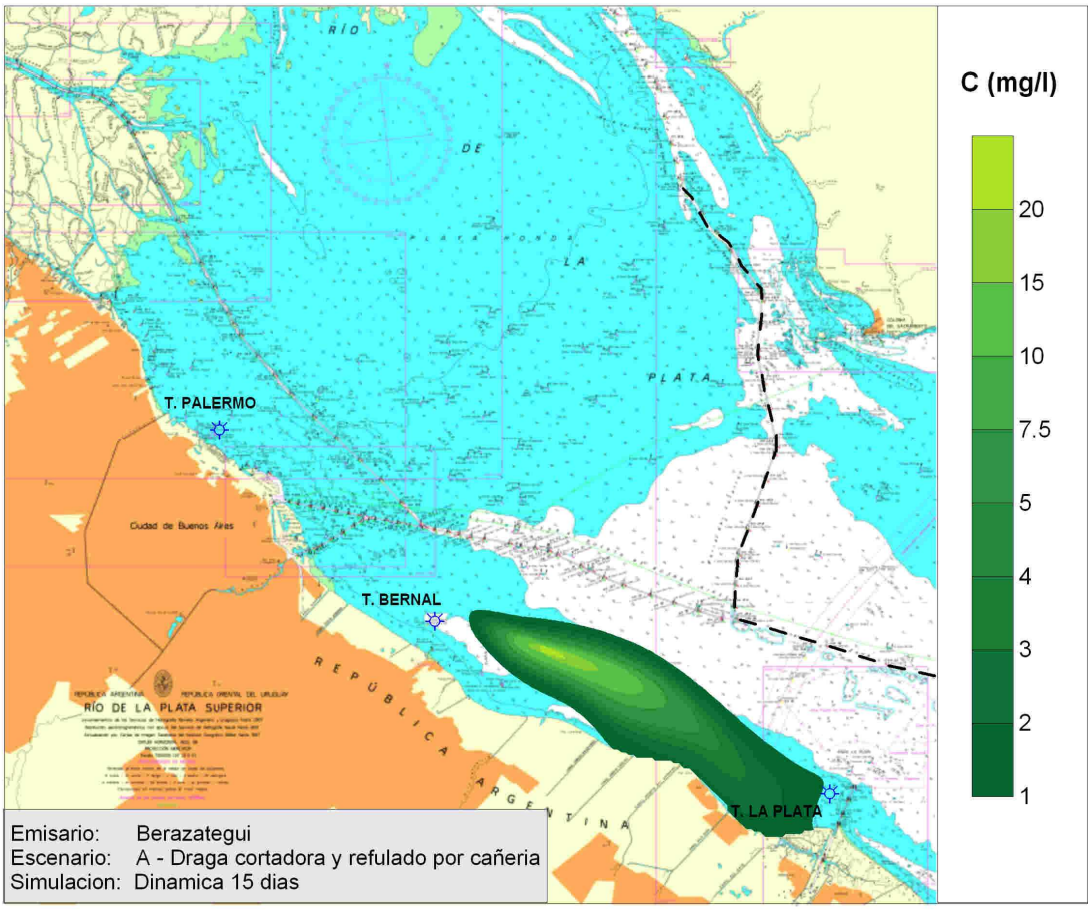

Figura A.6.6.1.2.31 – Distribución superficial de la concentración promedio durante los 15 días de la simulación.

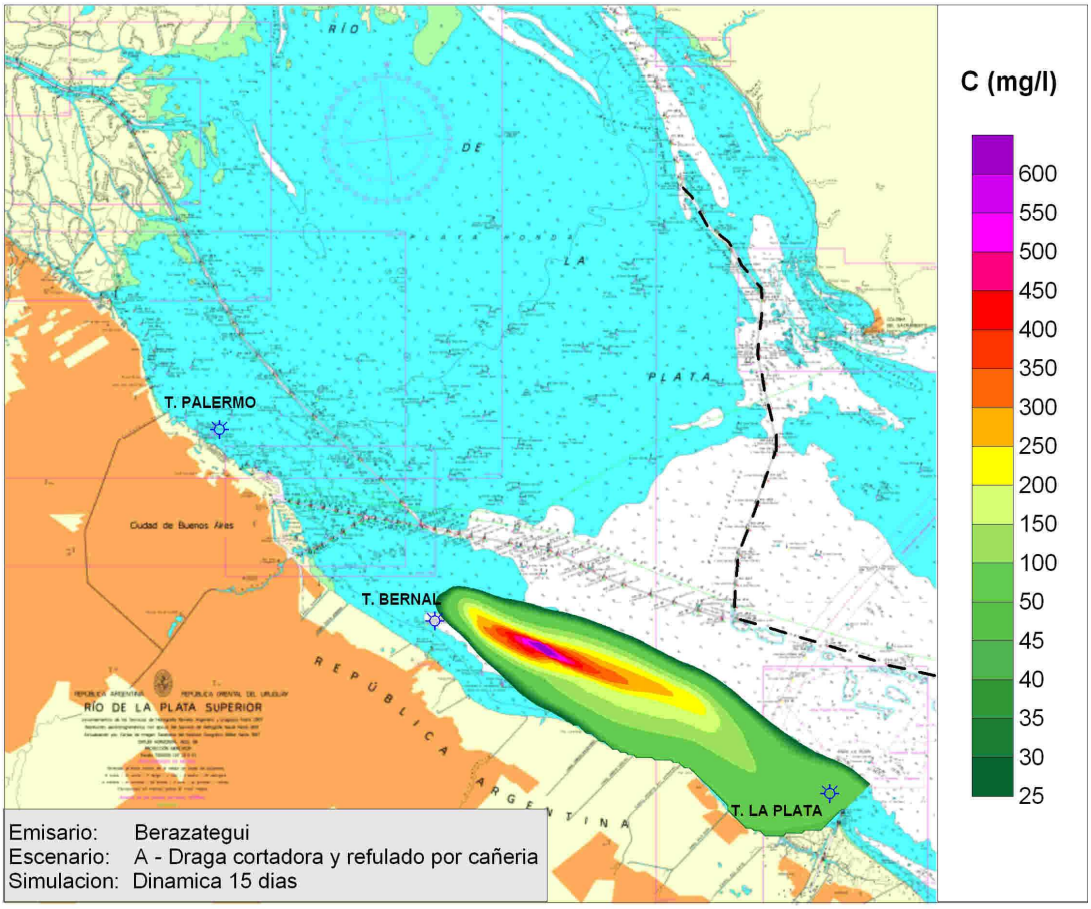

Figura A.6.6.1.2.32 – Distribución superficial de la concentración máxima durante los 15 días de la simulación.

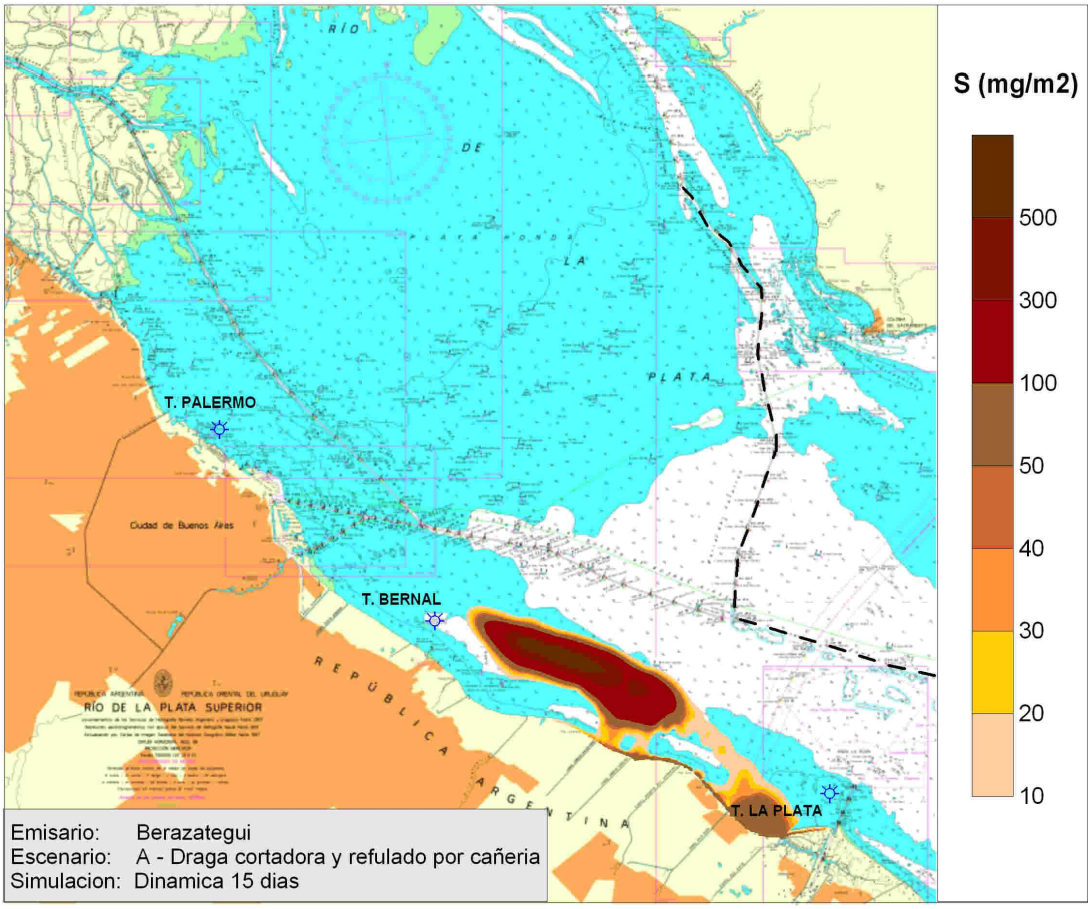

Figura A.6.6.1.2.33 – Distribución superficial de la masa sedimentada durante los 15 días de la simulación.

ANEXO 6.6.2.1

Dragado con succión por arrastre y vaciado lejano con cántara en emisario Berazategui

Evolución de parámetros en estaciones fijas.

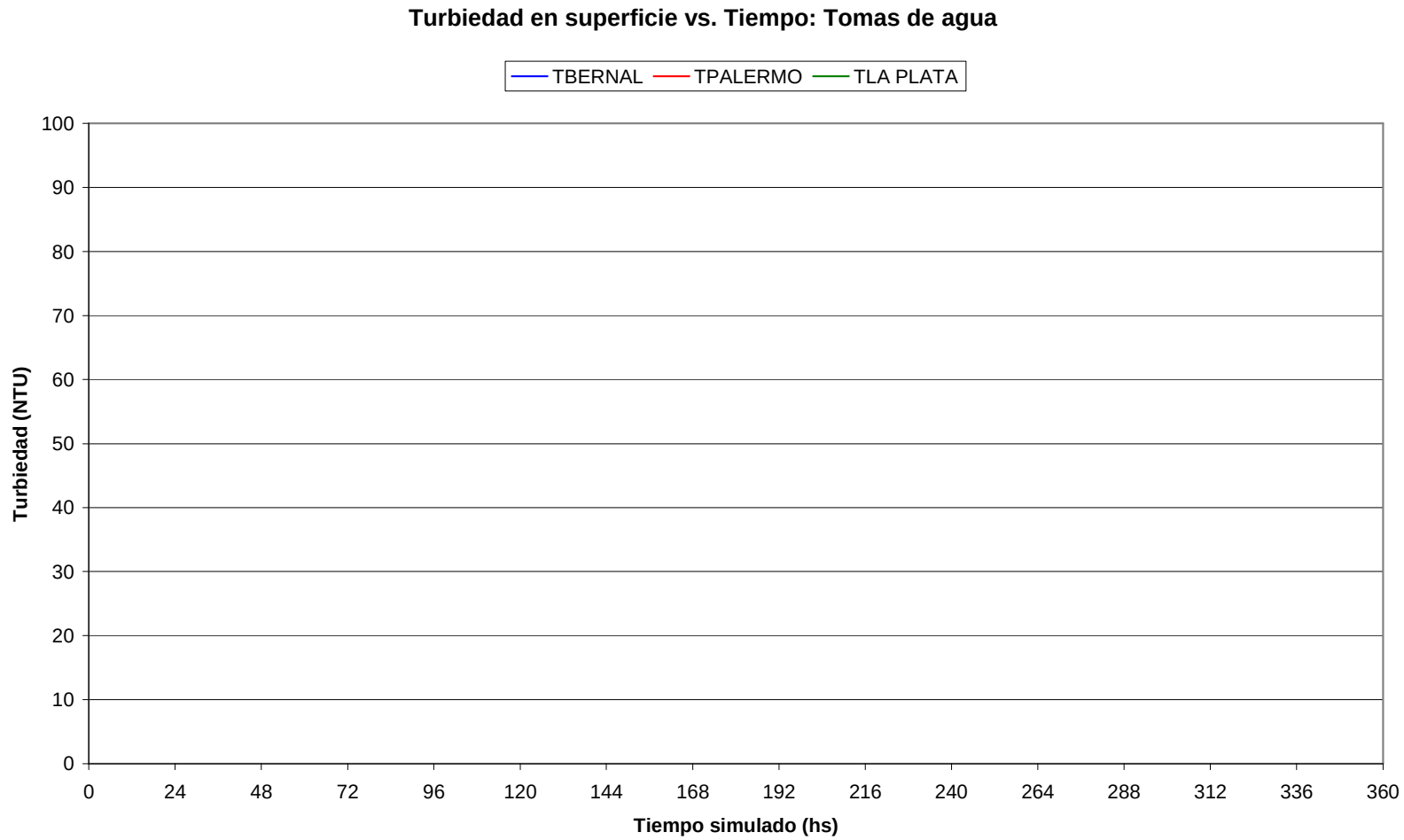

Figura A.6.6.2.1.1 – Turbiedad en tomas de agua. Capa superficial. No se observan niveles mensurables de sobre-concentración.

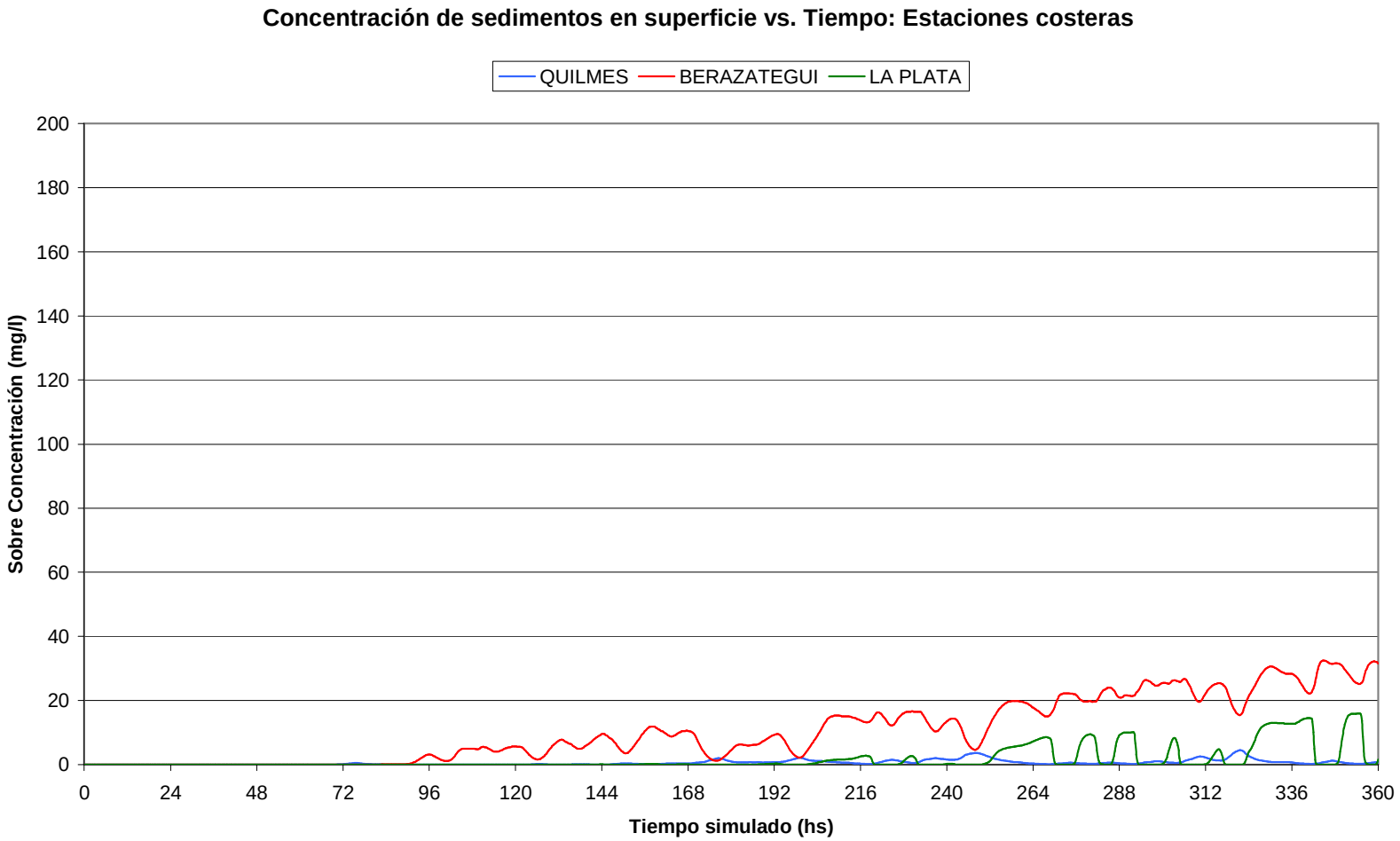

Figura A.6.6.2.1.2 – Concentración de sedimentos en áreas costeras. Capa superficial.

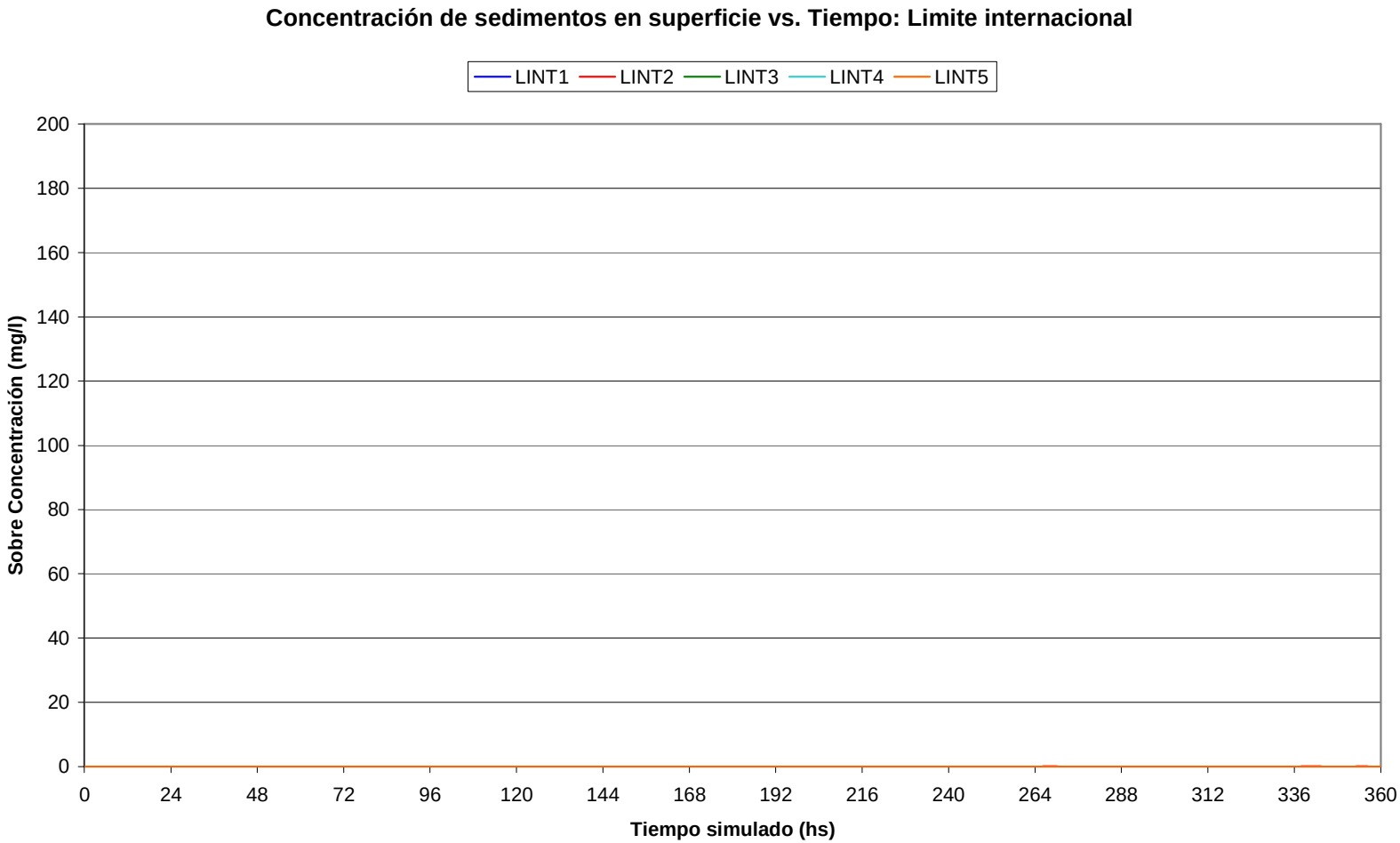

Figura A.6.6.2.1.3 – Concentración de sedimentos en el límite internacional. Capa superficial. No se observan niveles mensurables de sobre-concentración.

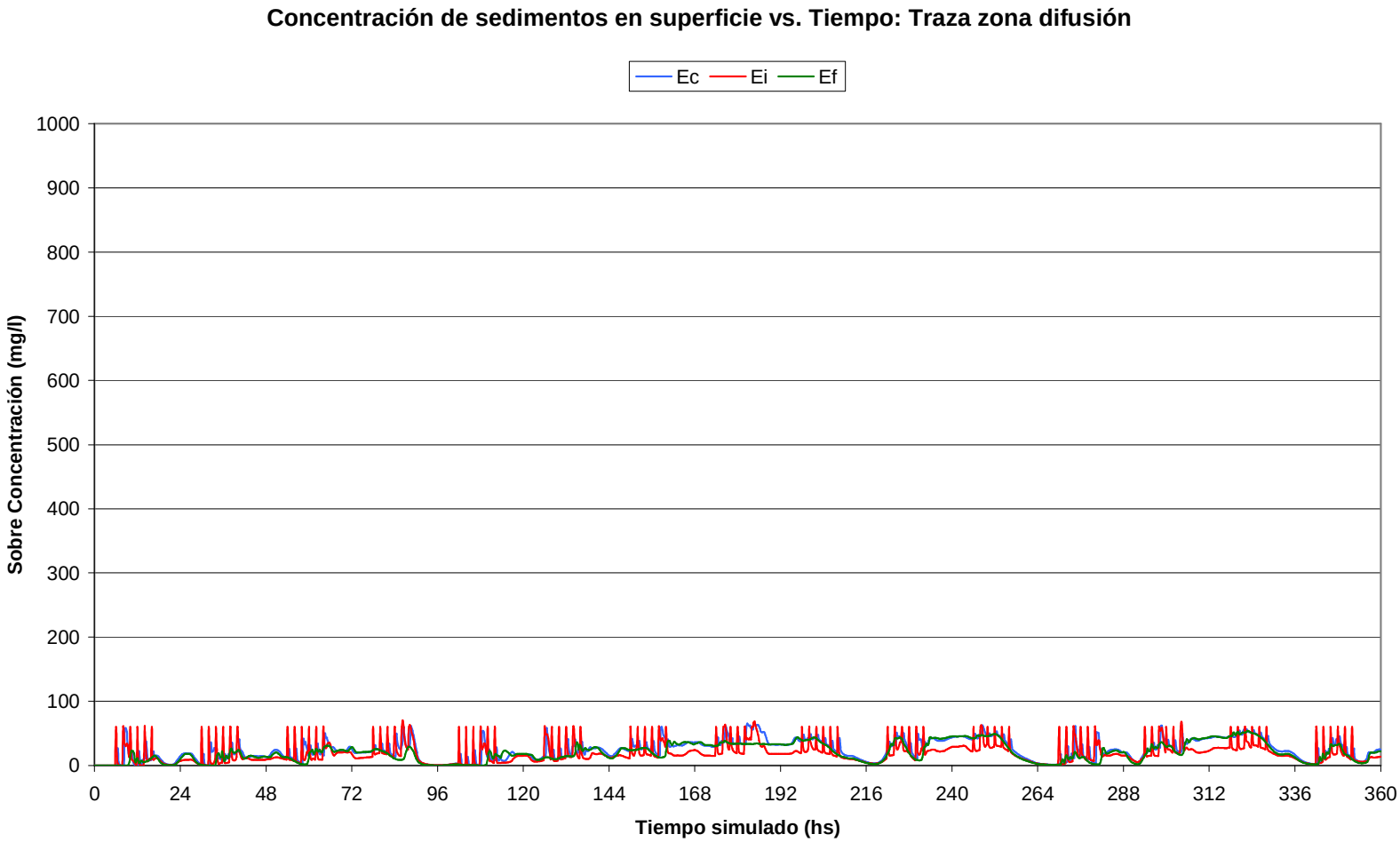

Figura A.6.6.2.1.4 – Concentración de sedimentos en la traza del emisario. Capa superficial.

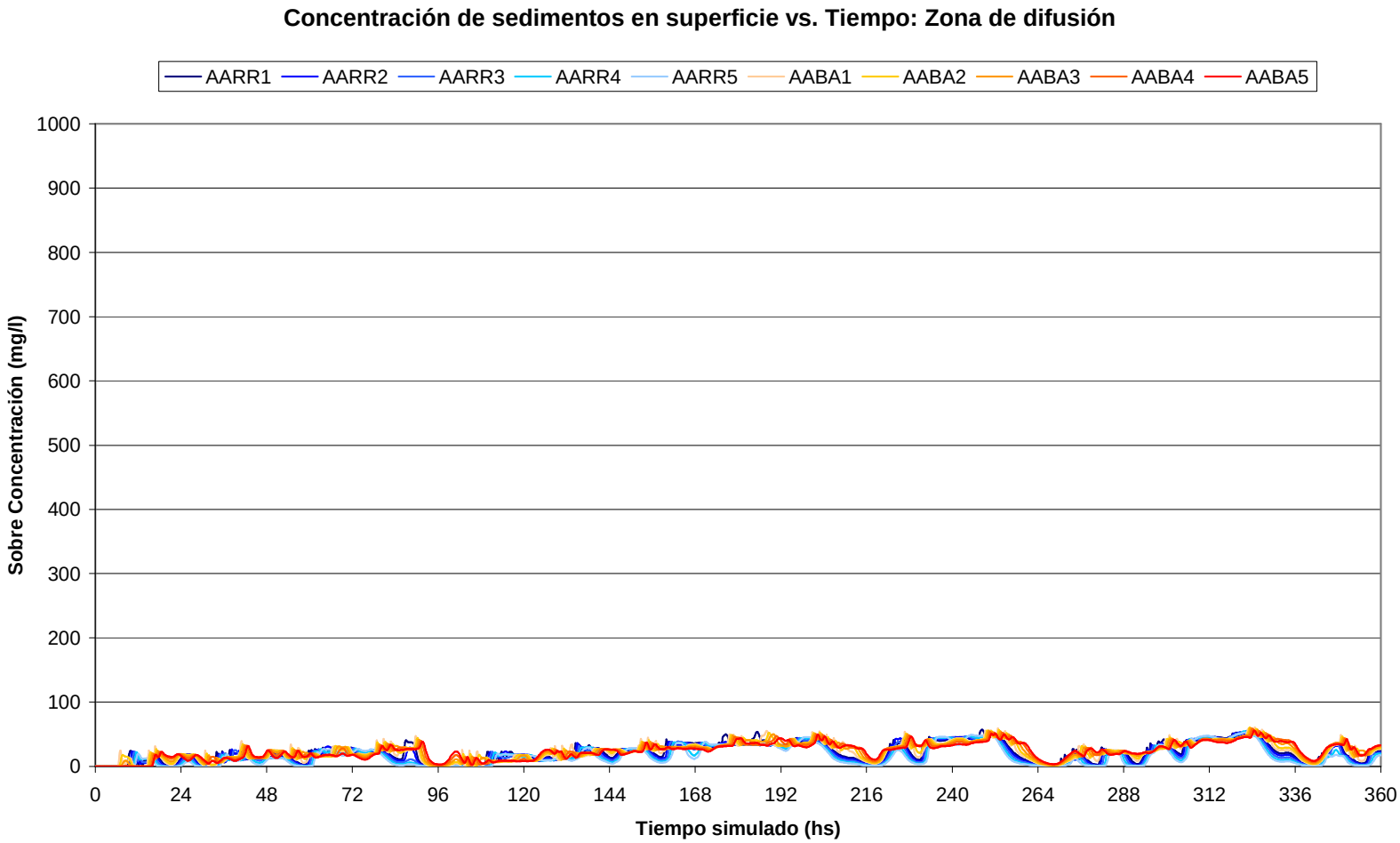

Figura A.6.6.2.1.5 – Concentración de sedimentos en la zona de difusión del emisario. Capa superficial.

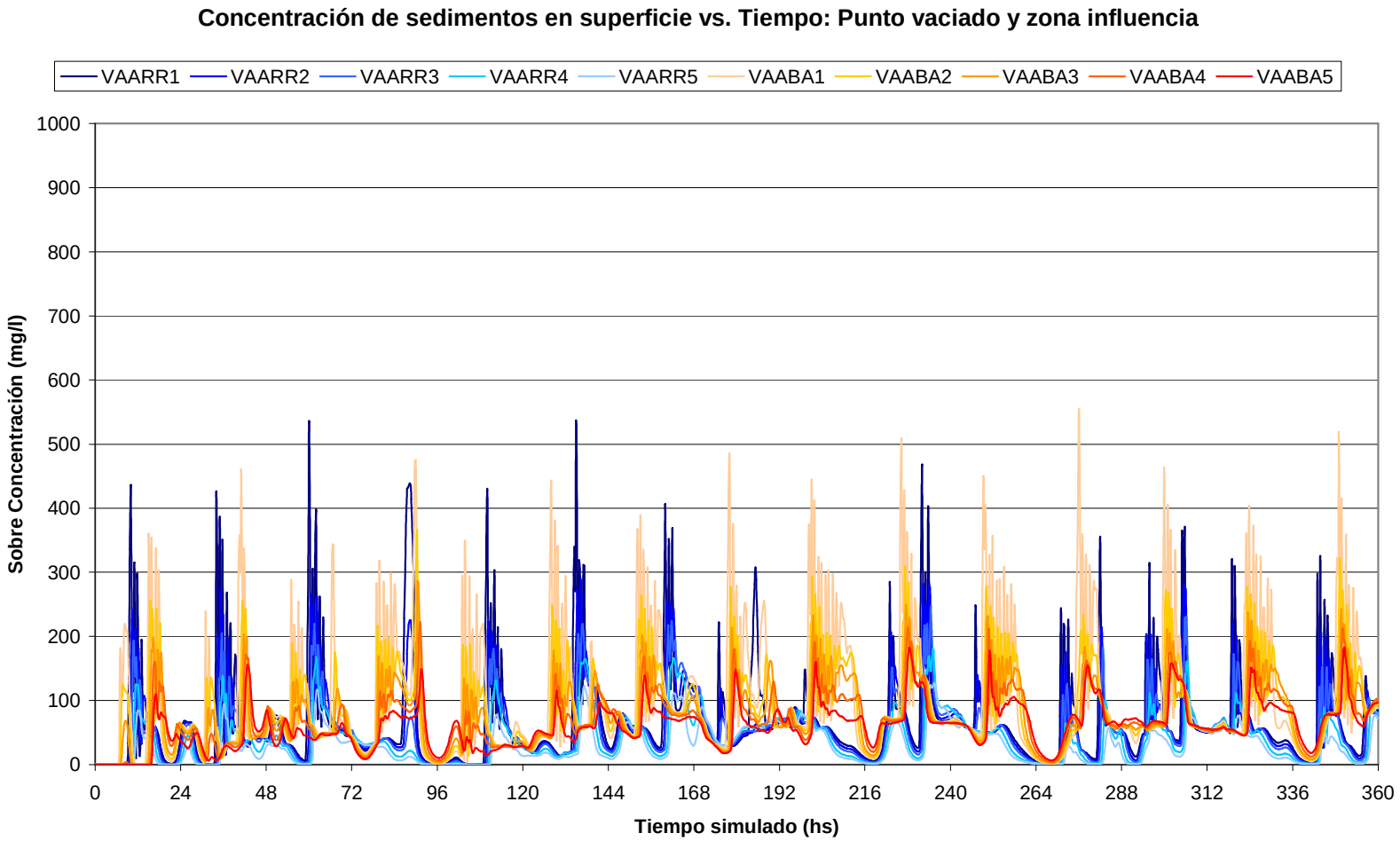

Figura A.6.6.2.1.6 – Concentración de sedimentos en la zona de refulado. Capa superficial.

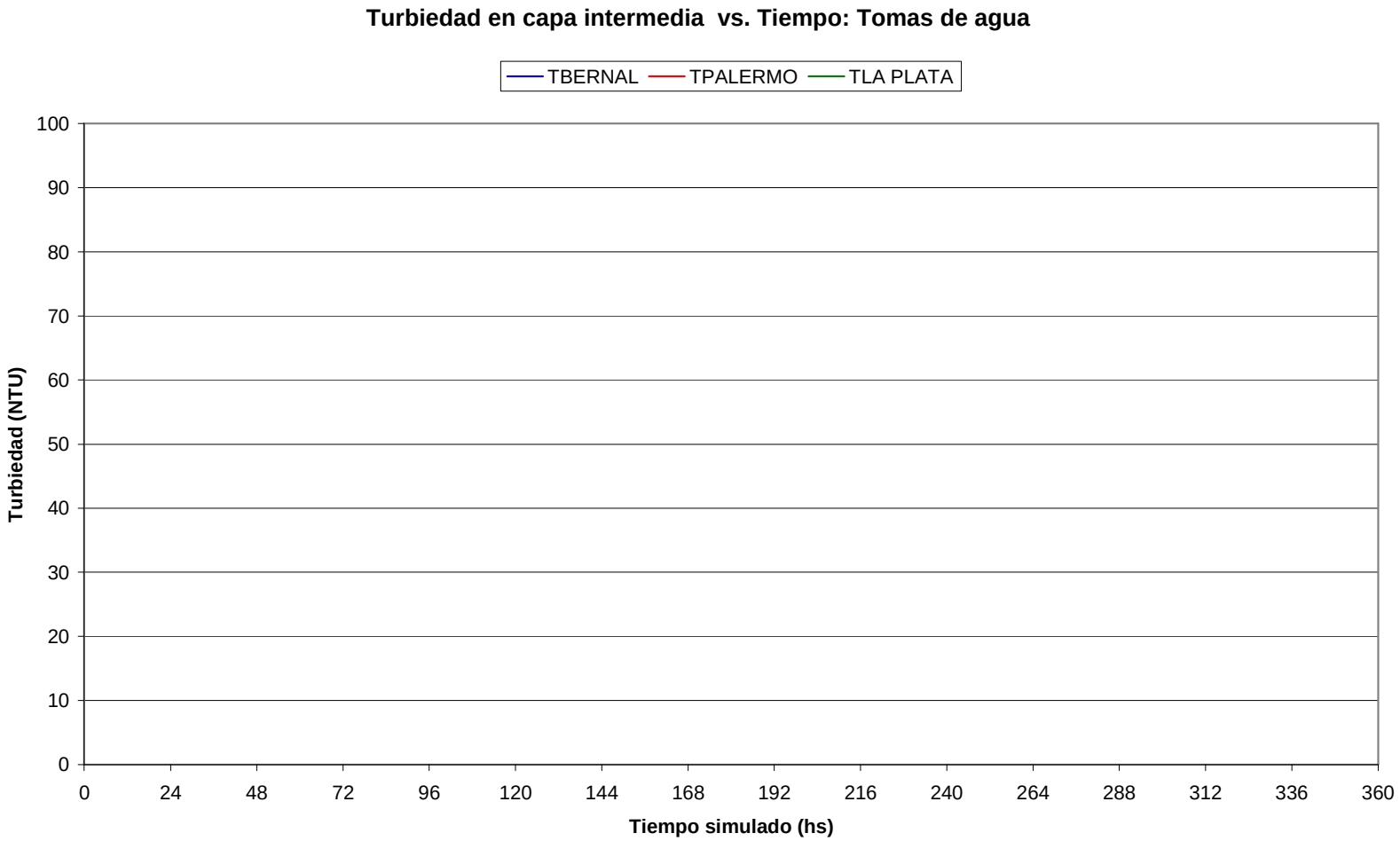

Figura A.6.6.2.1.7 – Turbiedad en tomas de agua. Capa intermedia. No se observan niveles mensurables de sobre-concentración.

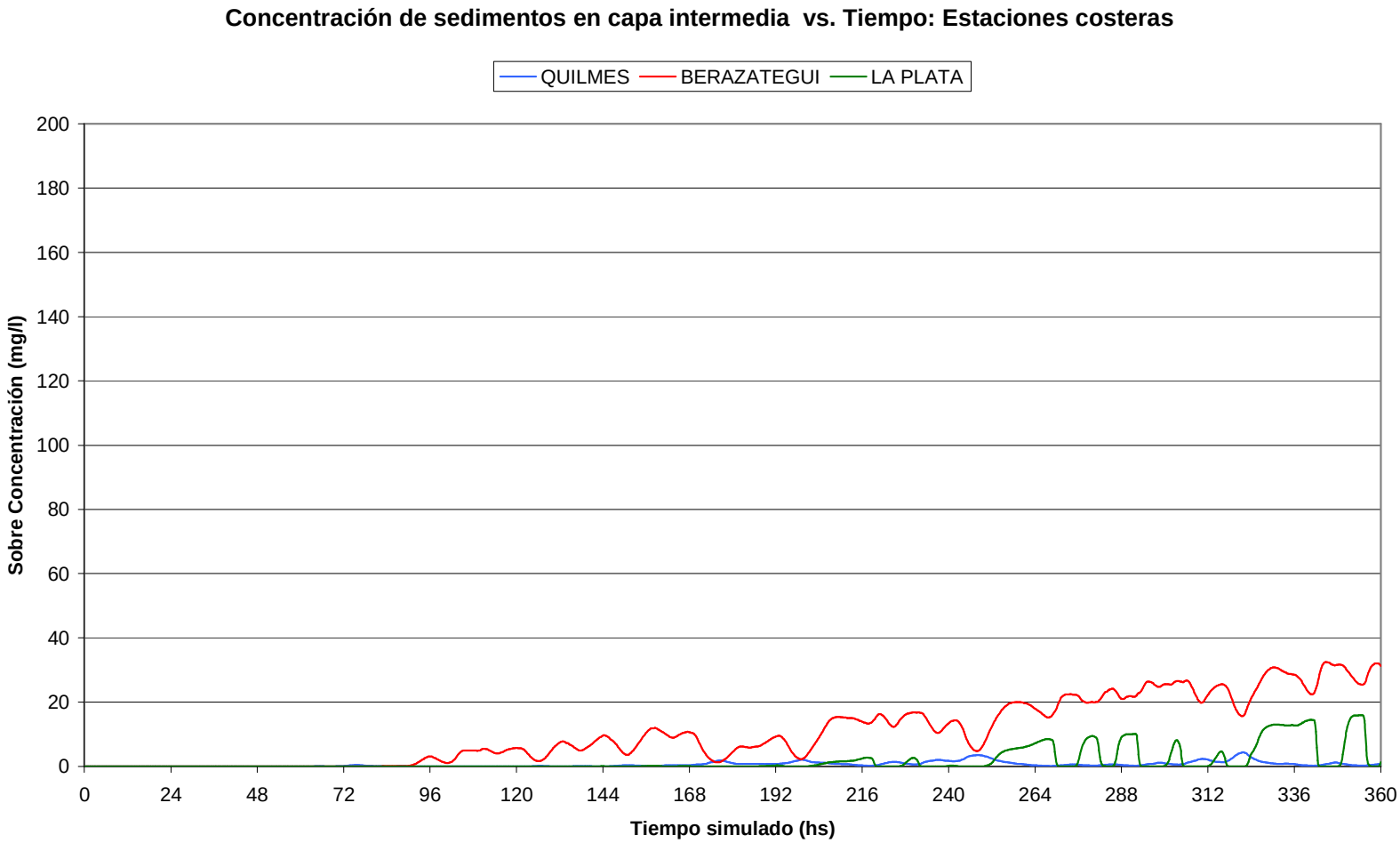

Figura A.6.6.2.1.8 – Concentración de sedimentos en áreas costeras. Capa intermedia.

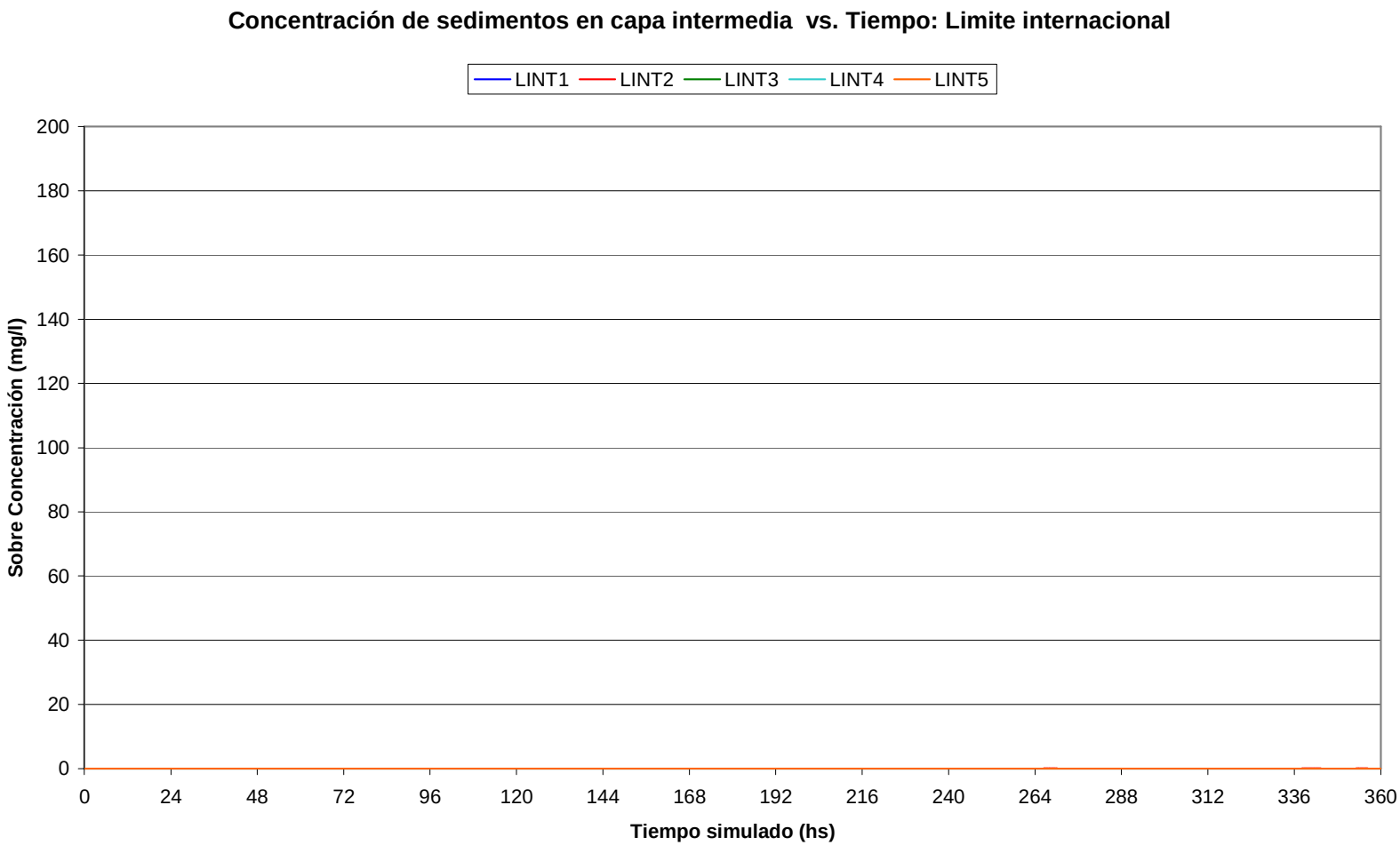

Figura A.6.6.2.1.9 – Concentración de sedimentos en el límite internacional. Capa intermedia. No se observan niveles mensurables de sobre-concentración.

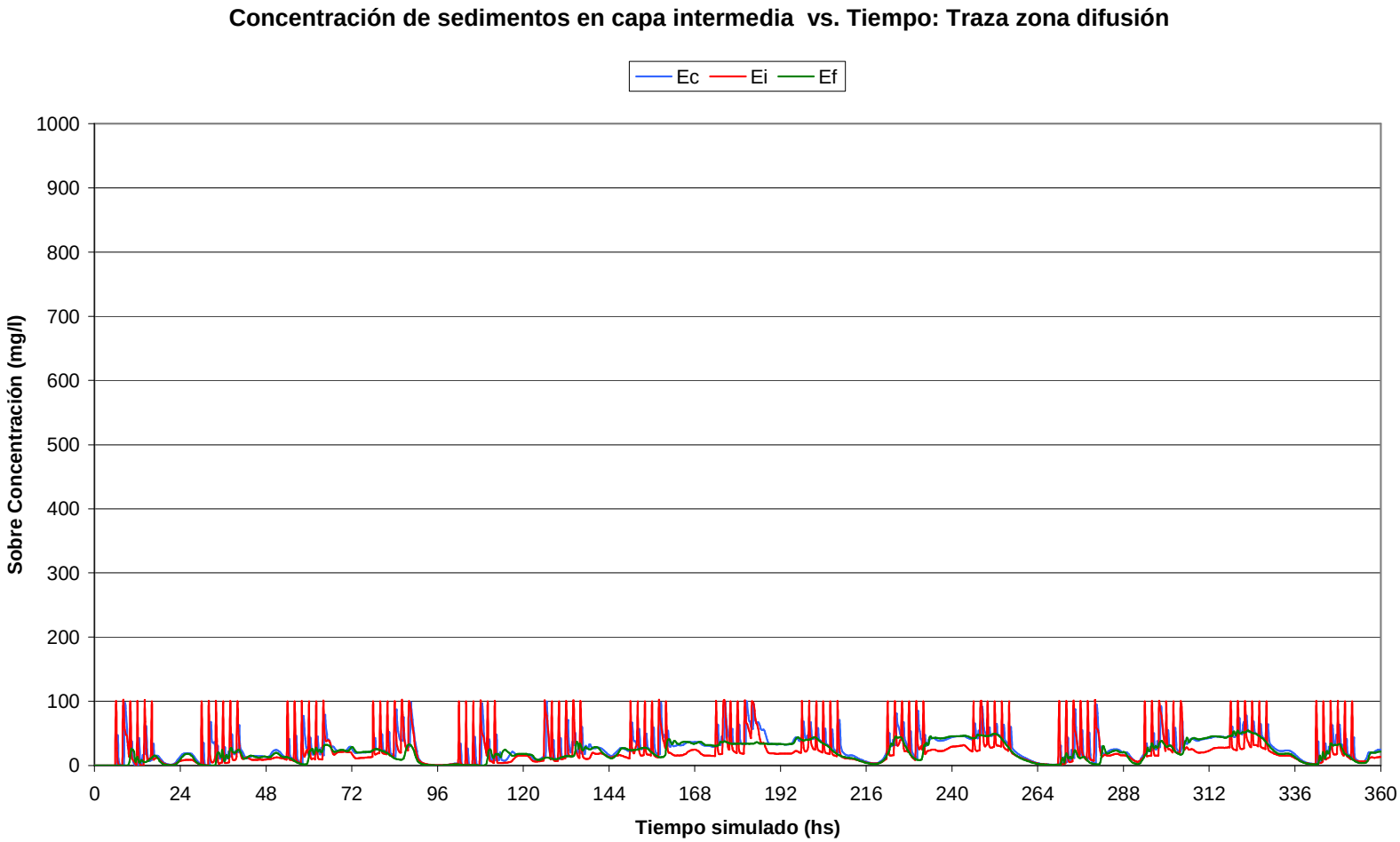

Figura A.6.6.2.1.10 – Concentración de sedimentos en la traza del emisario. Capa intermedia.

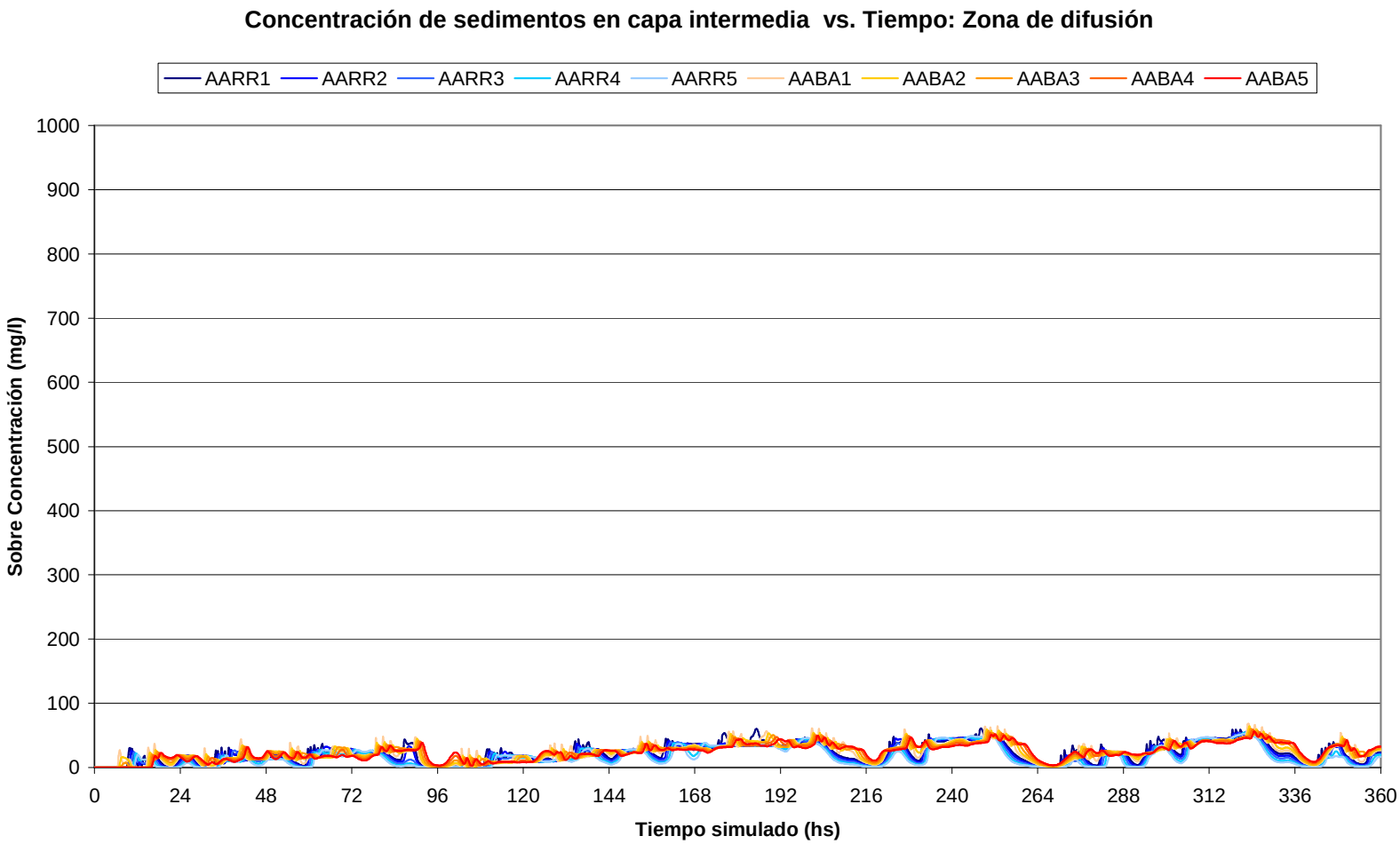

Figura A.6.6.2.1.11 – Concentración de sedimentos en la zona de difusión del emisario. Capa intermedia.

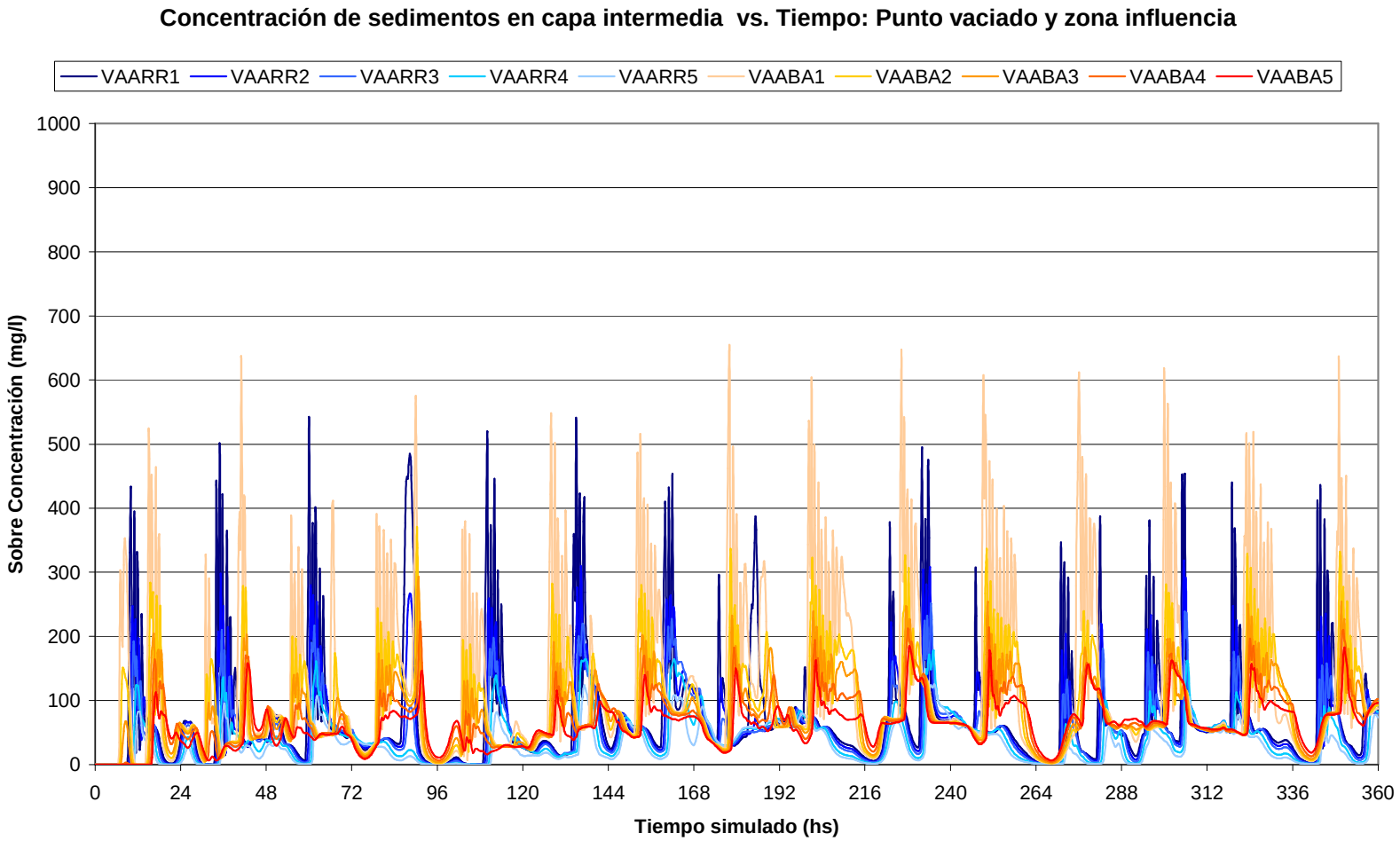

Figura A.6.6.2.1.12 – Concentración de sedimentos en la zona de refulado. Capa intermedia.

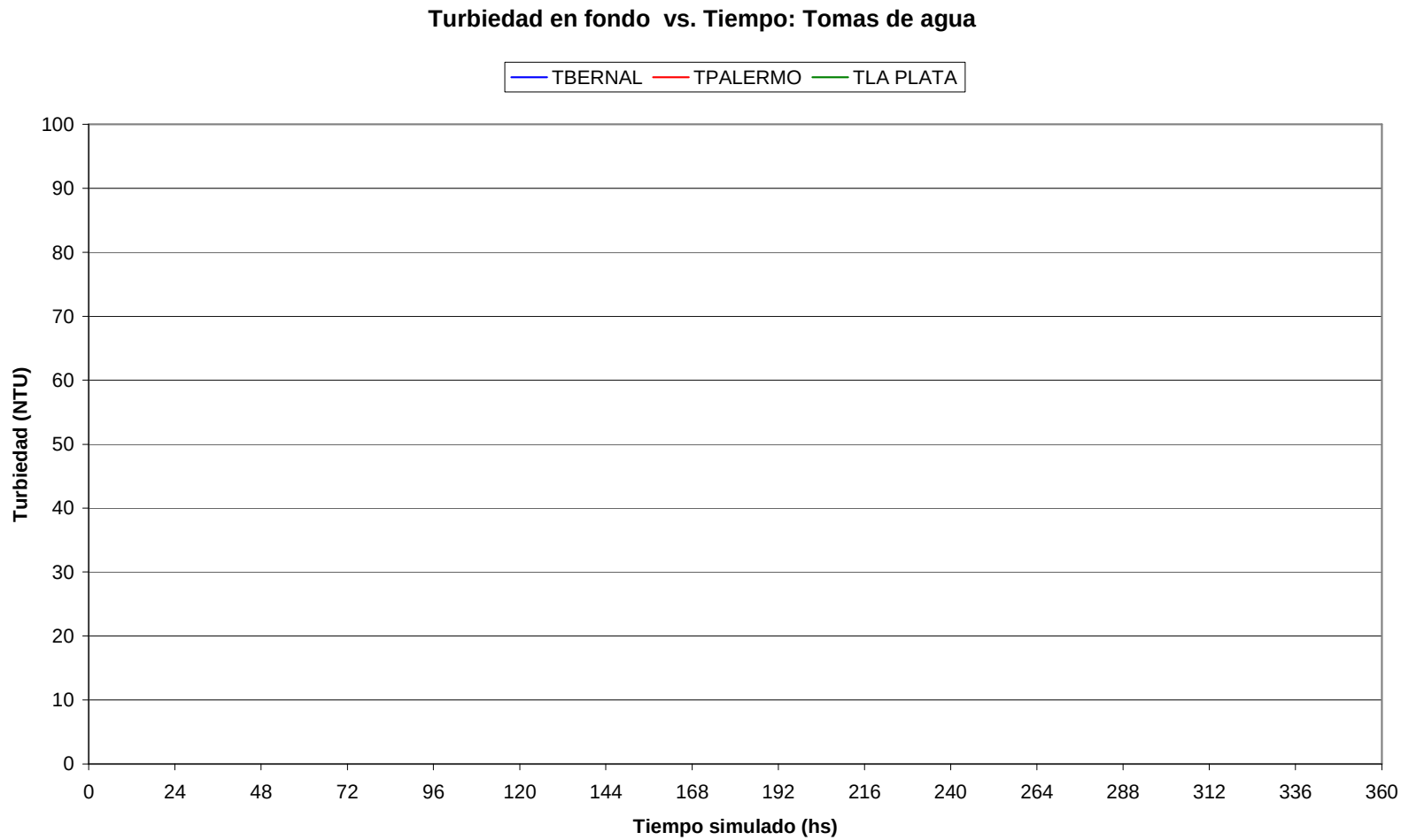

Figura A.6.6.2.1.13 – Turbiedad en tomas de agua. Capa de fondo. No se observan niveles mensurables de sobre-concentración.

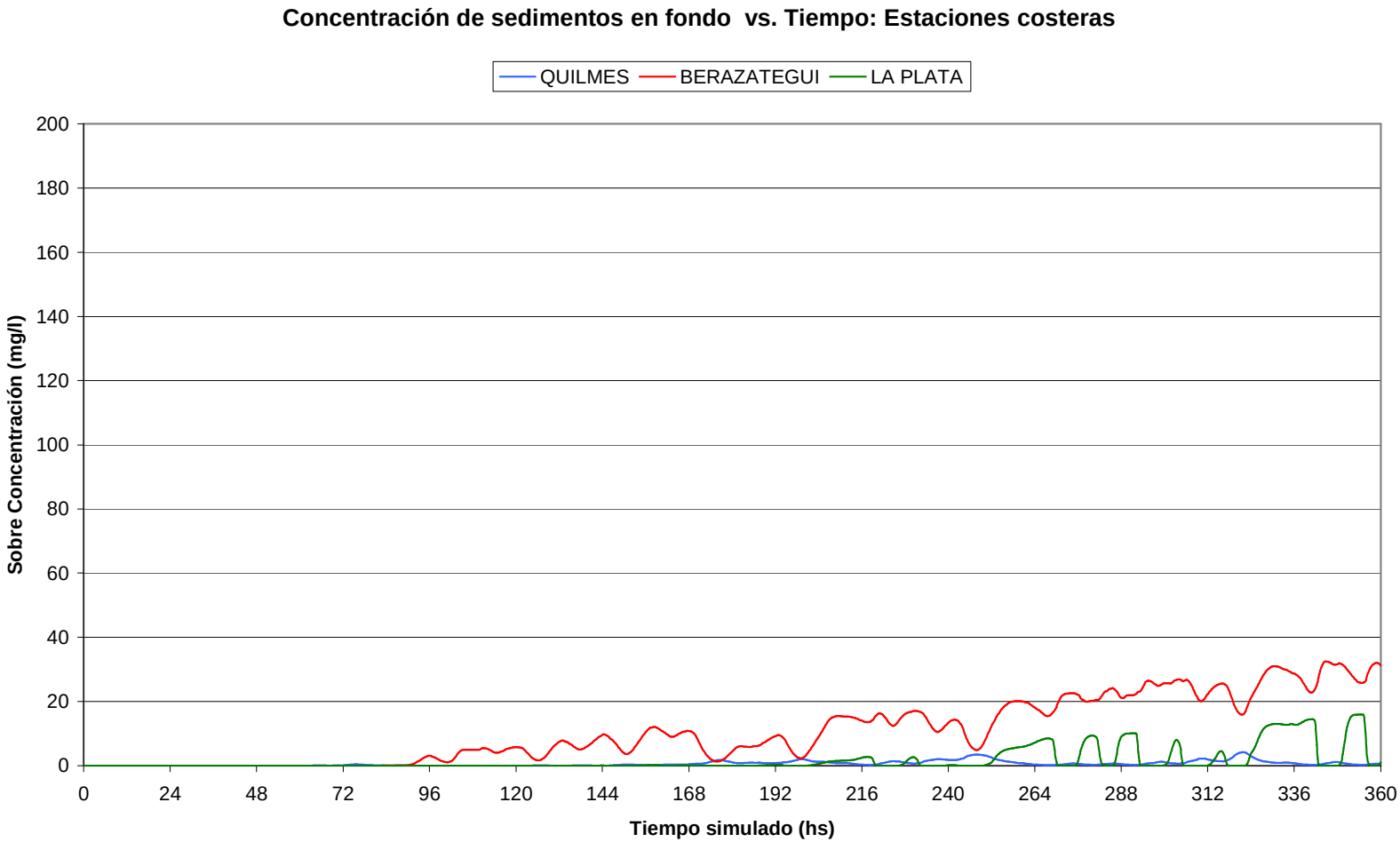

Figura A.6.6.2.1.14 – Concentración de sedimentos en áreas costeras. Capa de fondo.

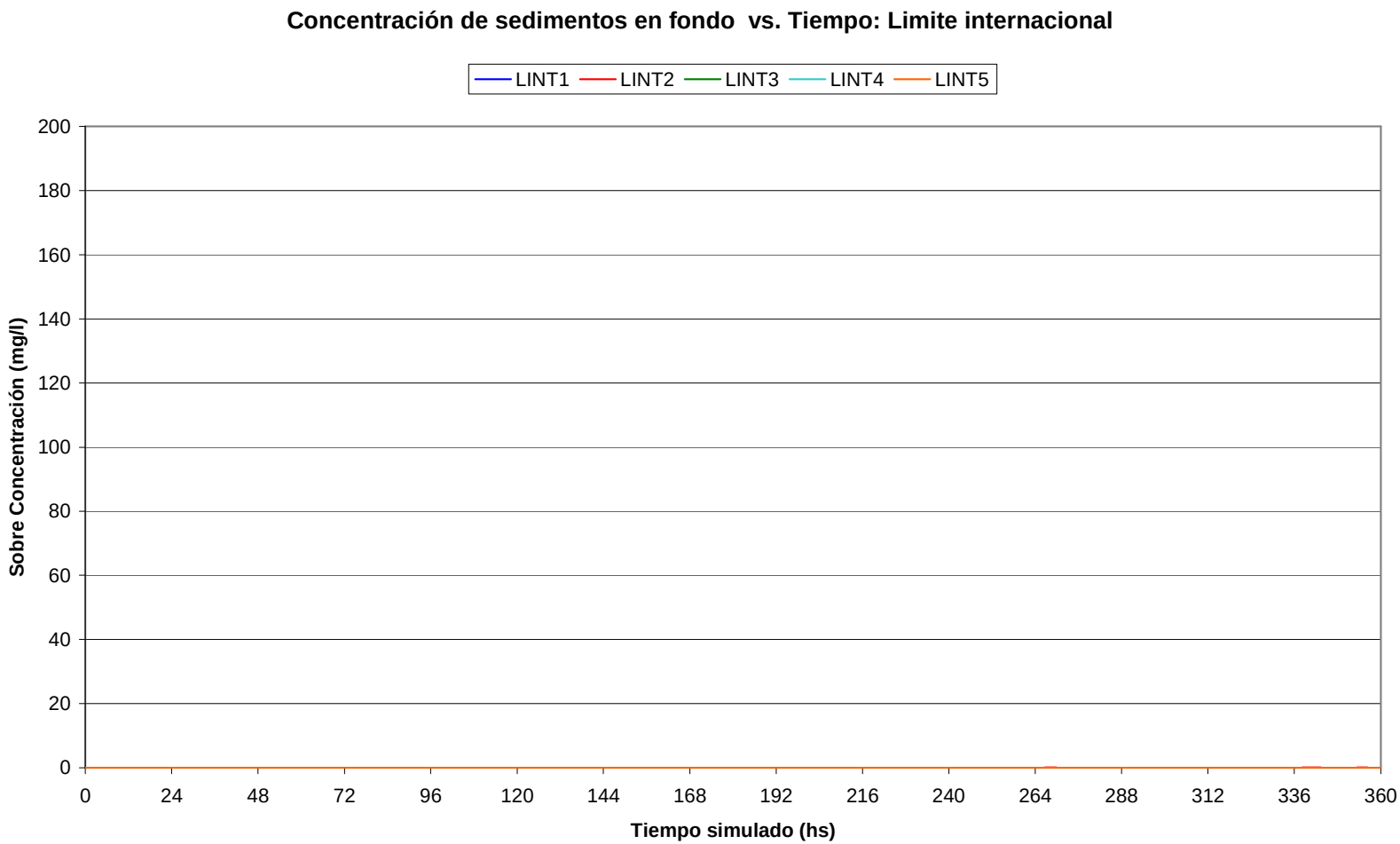

Figura A.6.6.2.1.15 – Concentración de sedimentos en el límite internacional. Capa de fondo. No se observan niveles mensurables de sobre-concentración.

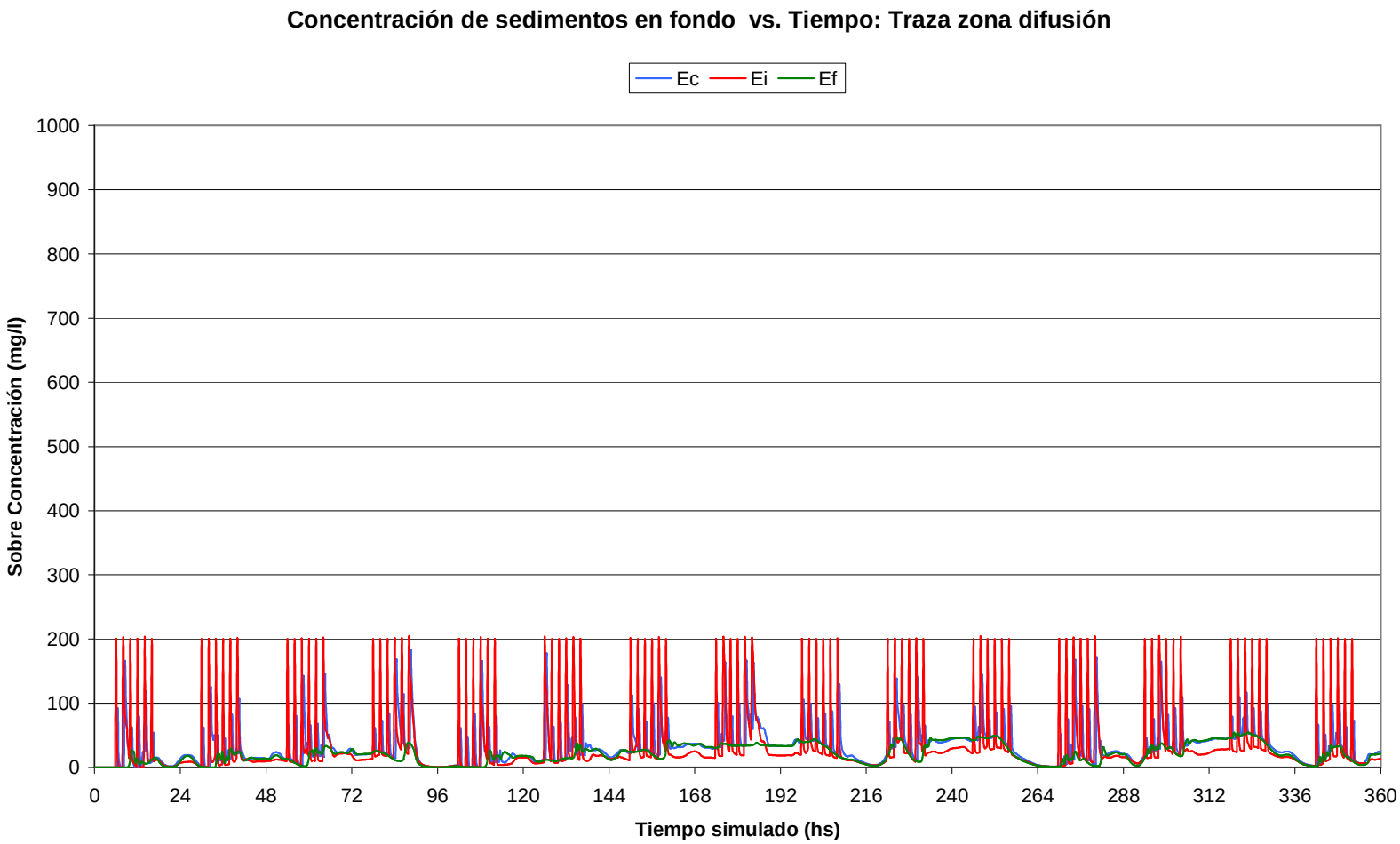

Figura A.6.6.2.1.16 – Concentración de sedimentos en la traza del emisario. Capa de fondo.

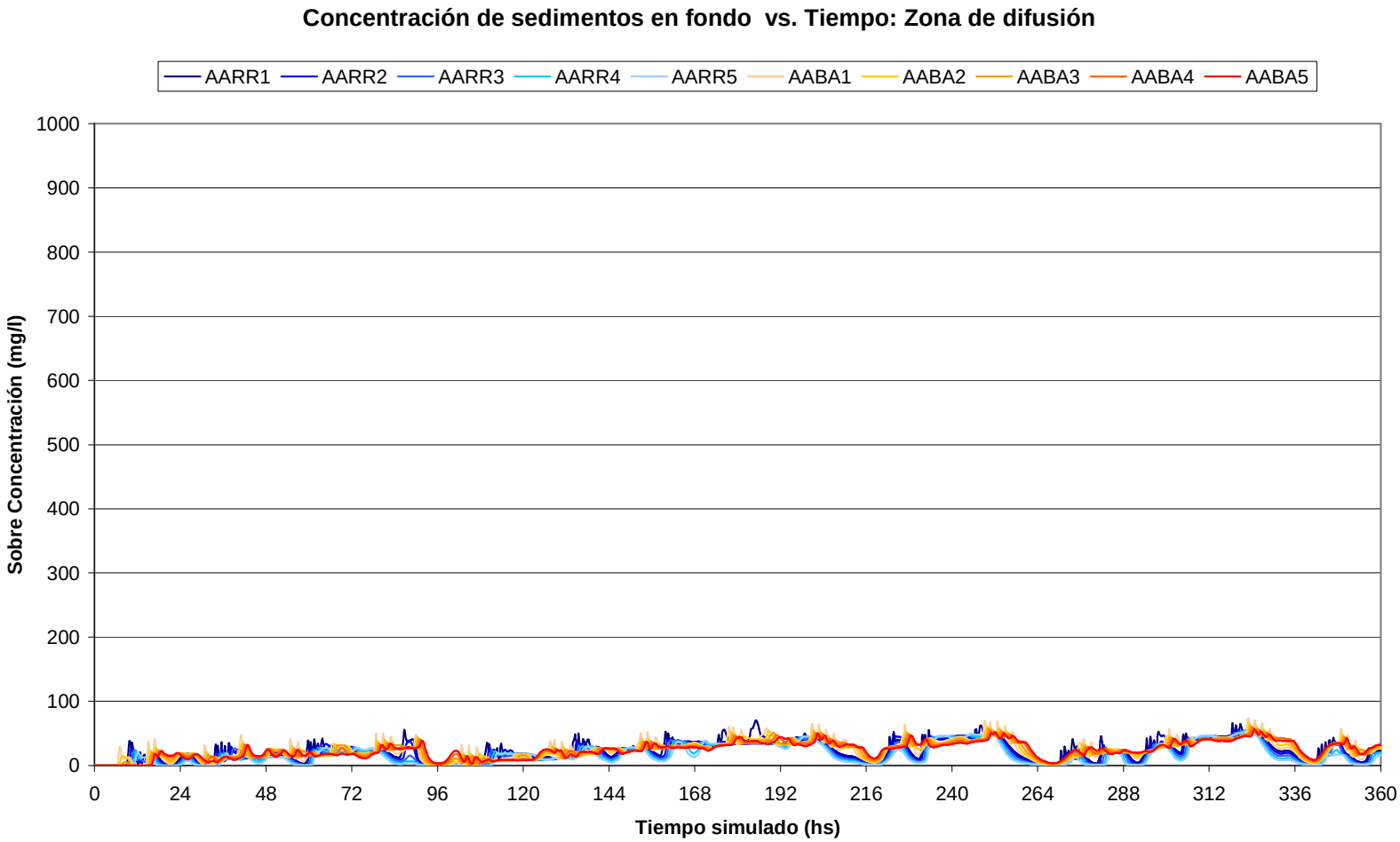

Figura A.6.6.2.1.17 – Concentración de sedimentos en la zona de difusión del emisario. Capa de fondo.

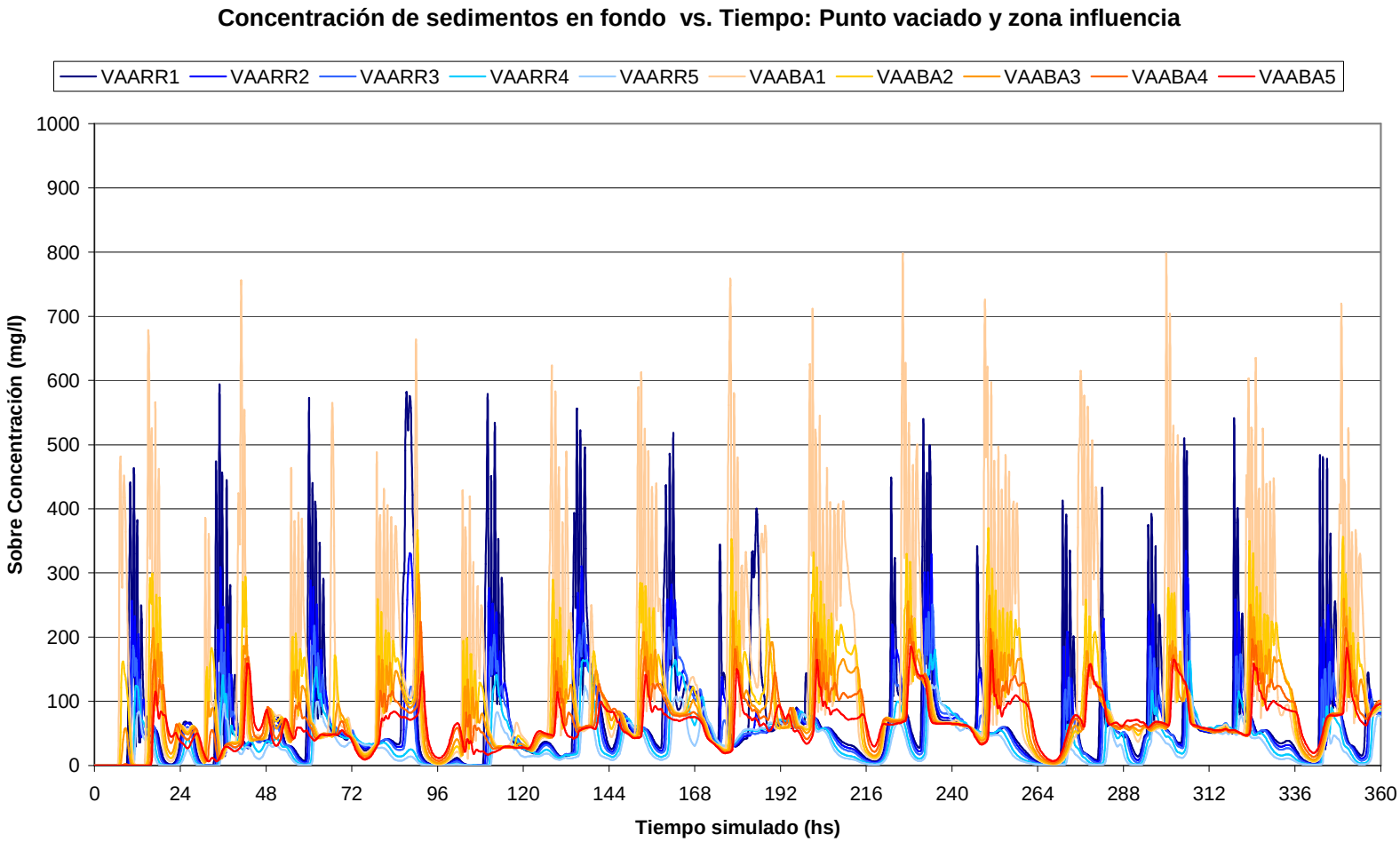

Figura A.6.6.2.1.18 – Concentración de sedimentos en la zona de refulado. Capa de fondo.

ANEXO 6.6.2.2

Dragado con succión por arrastre y vaciado lejano con cántara en emisario Berazategui.

Distribución espacial de concentraciones y material sedimentado.

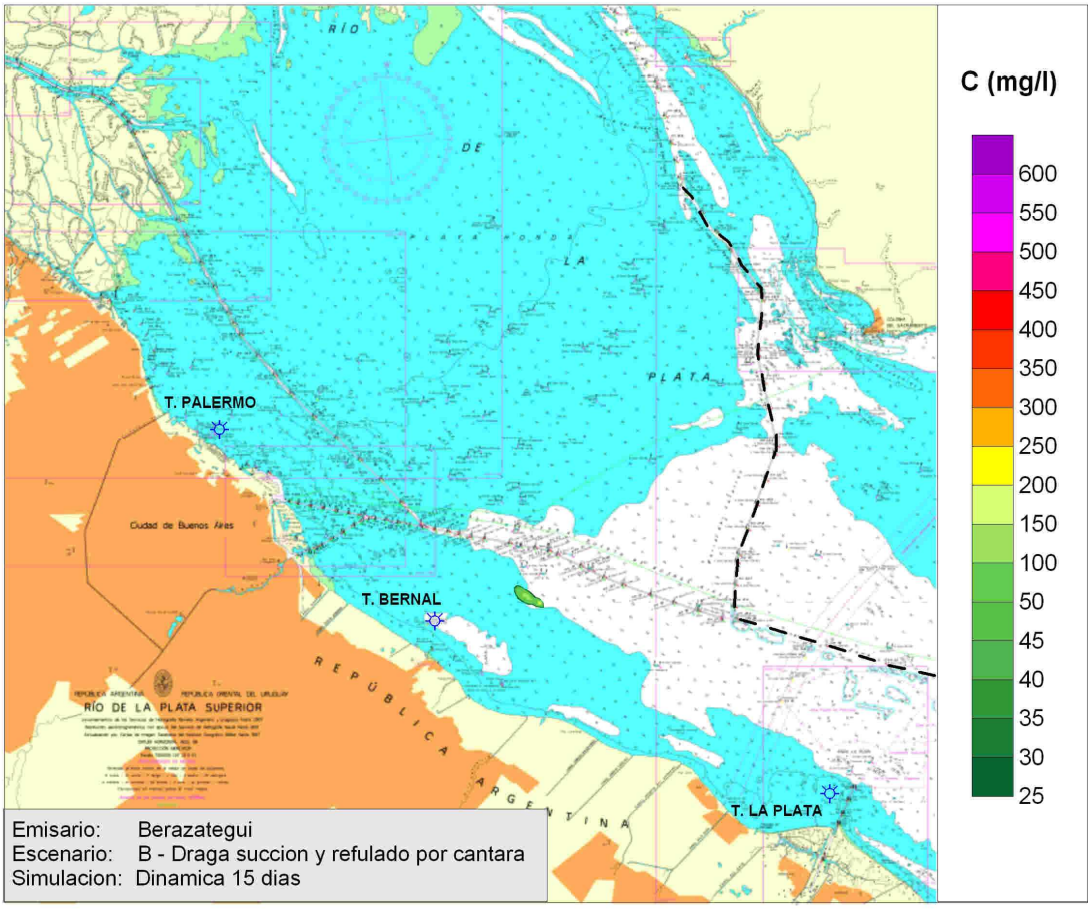

Figura A.6.6.2.2.1 – Distribución superficial de la concentración: día 1 hora 12.

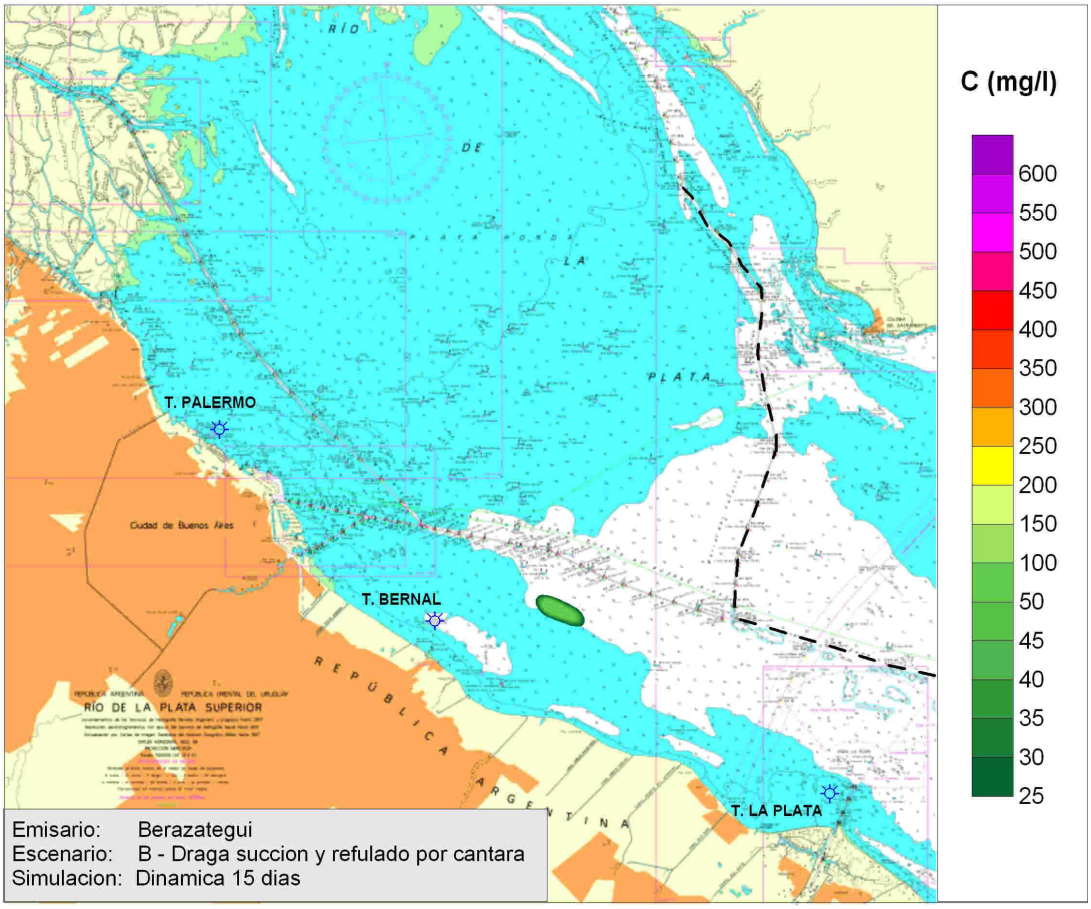

Figura A.6.6.2.2.2 – Distribución superficial de la concentración: día 1 hora 24.

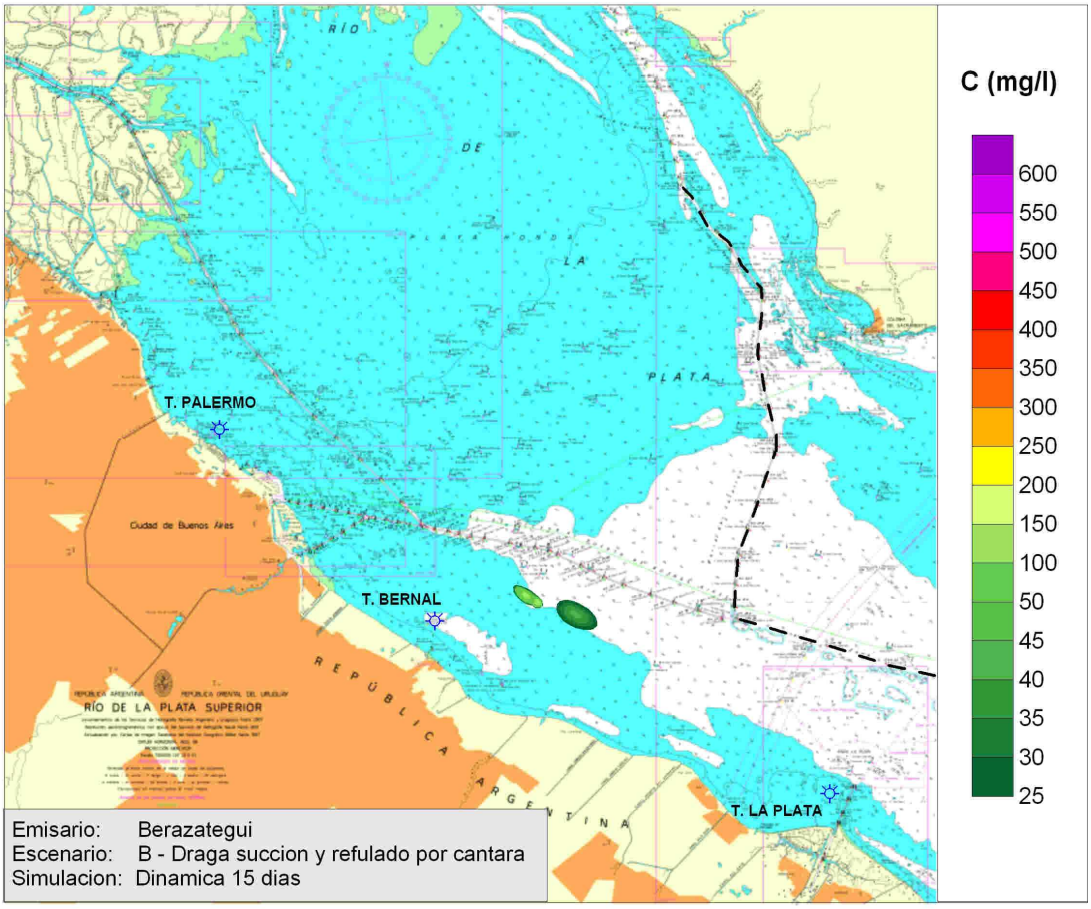

Figura A.6.6.2.2.3 – Distribución superficial de la concentración: día 2 hora 12.

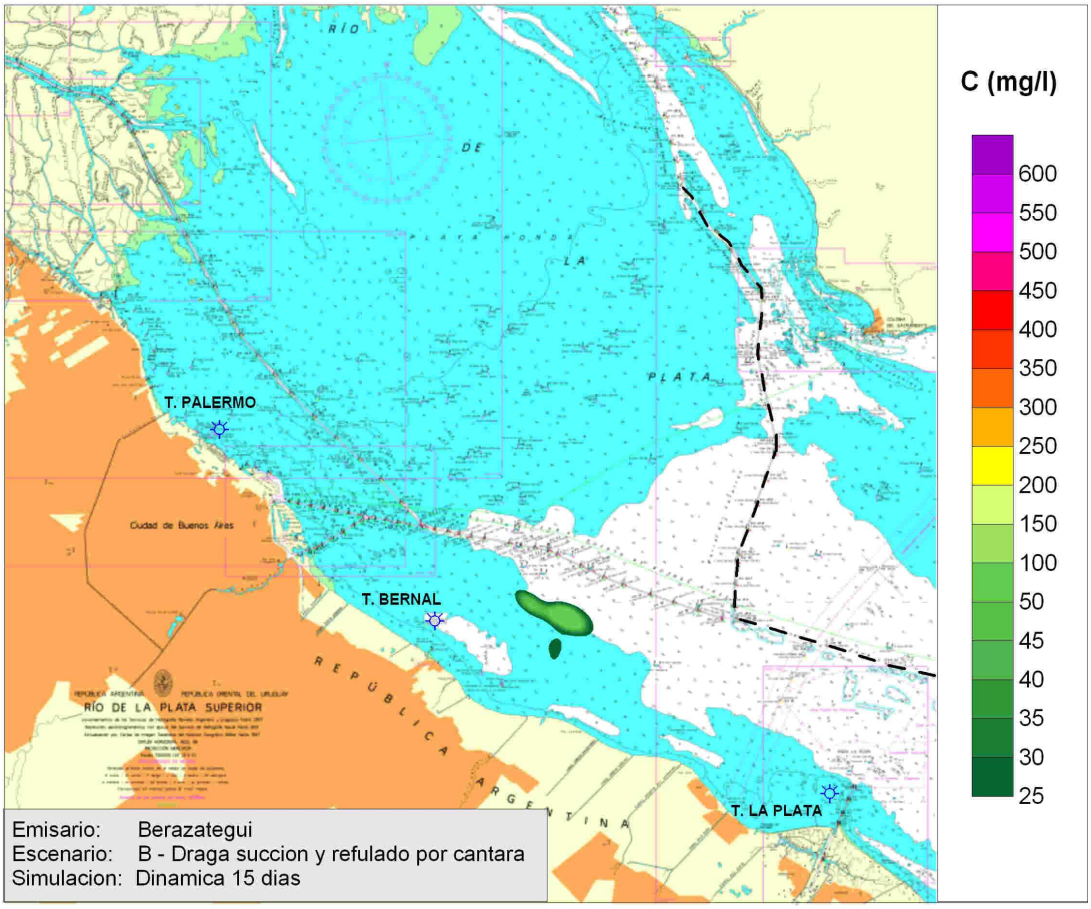

Figura A.6.6.2.2.4 – Distribución superficial de la concentración: día 2 hora 24.

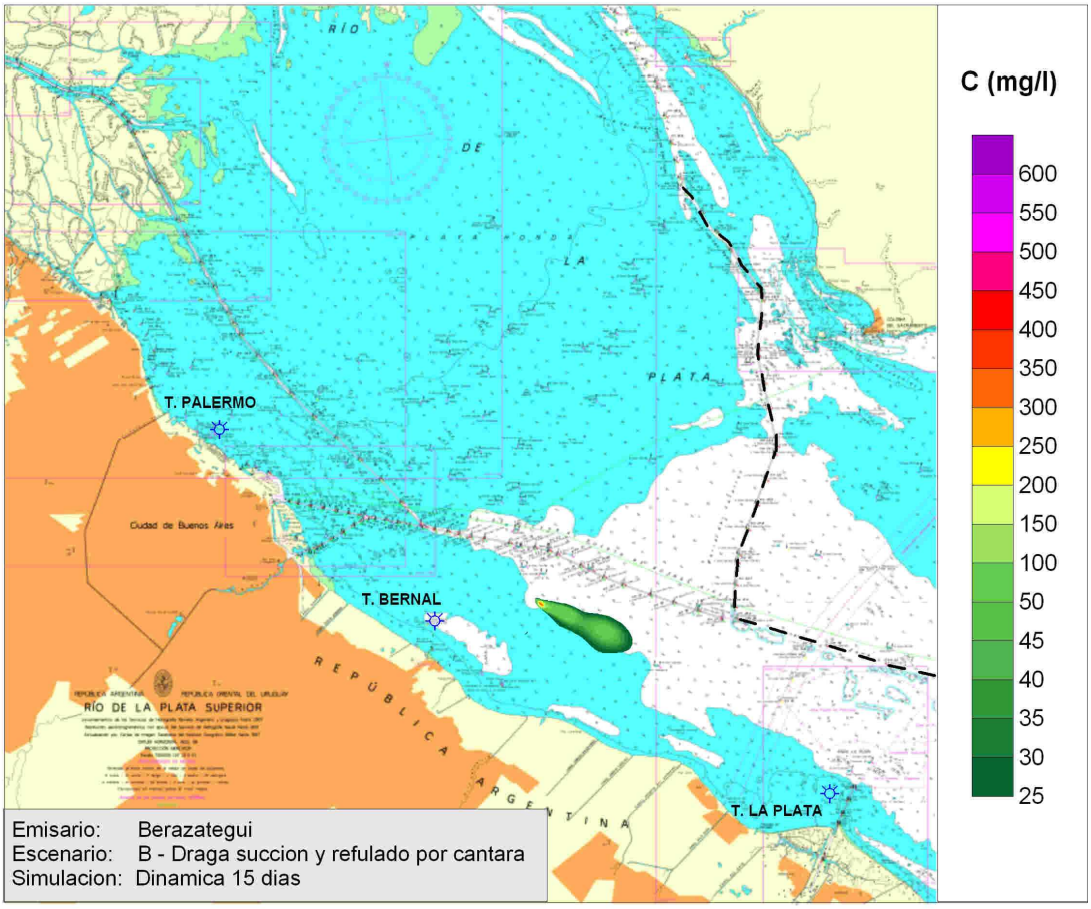

Figura A.6.6.2.2.5 – Distribución superficial de la concentración: día 3 hora 12.

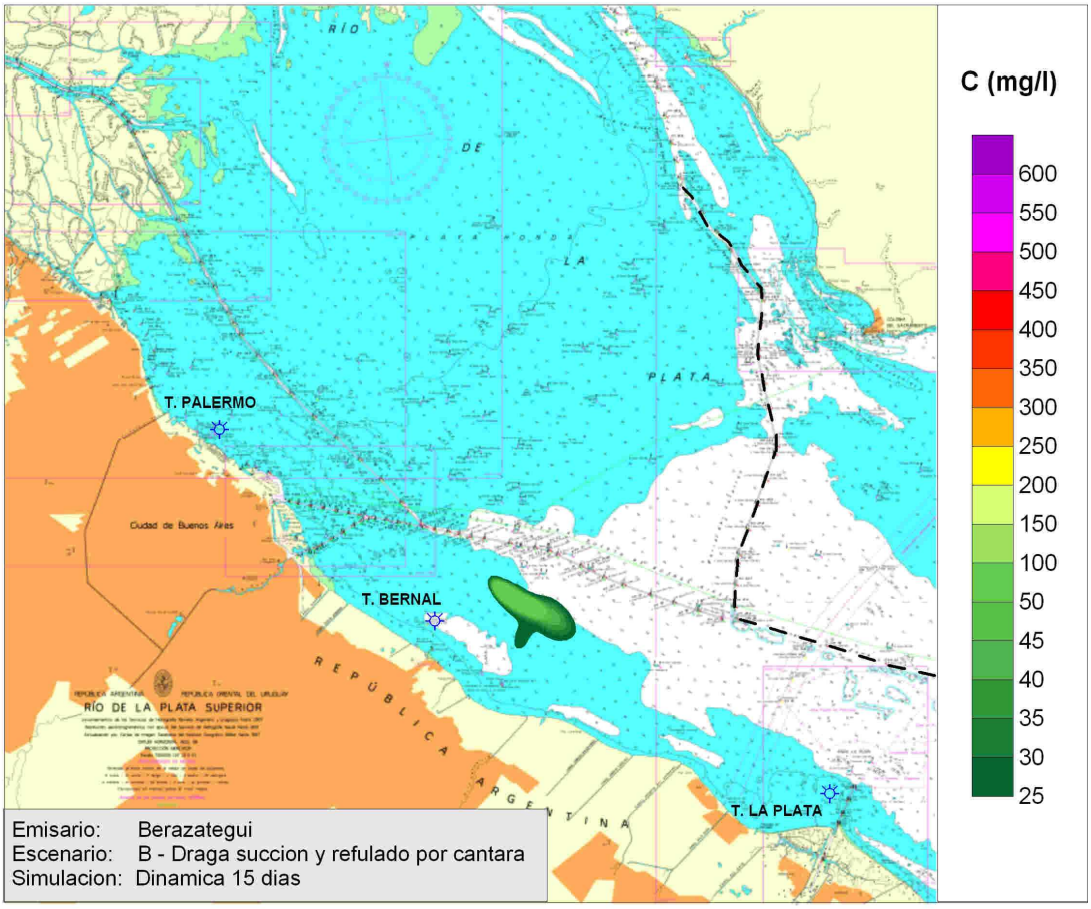

Figura A.6.6.2.2.6 – Distribución superficial de la concentración: día 3 hora 24.

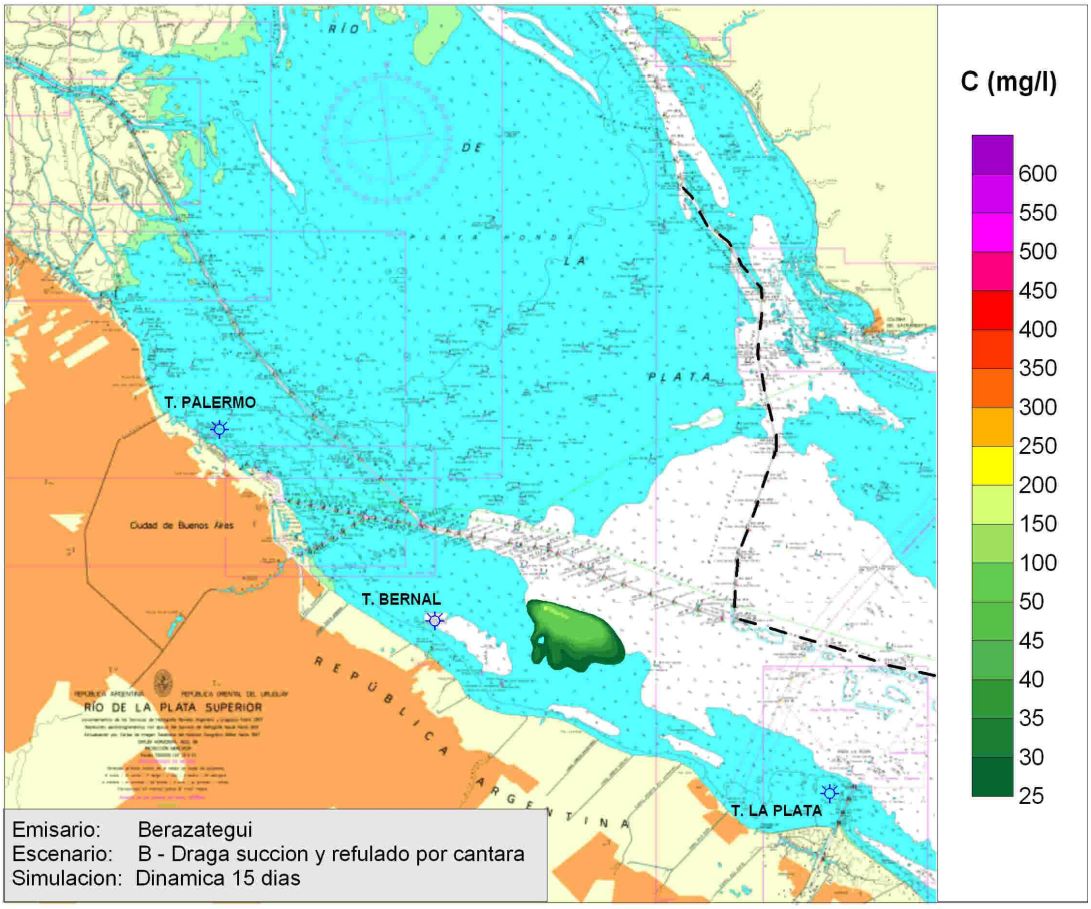

Figura A.6.6.2.2.7 – Distribución superficial de la concentración: día 4 hora 12.

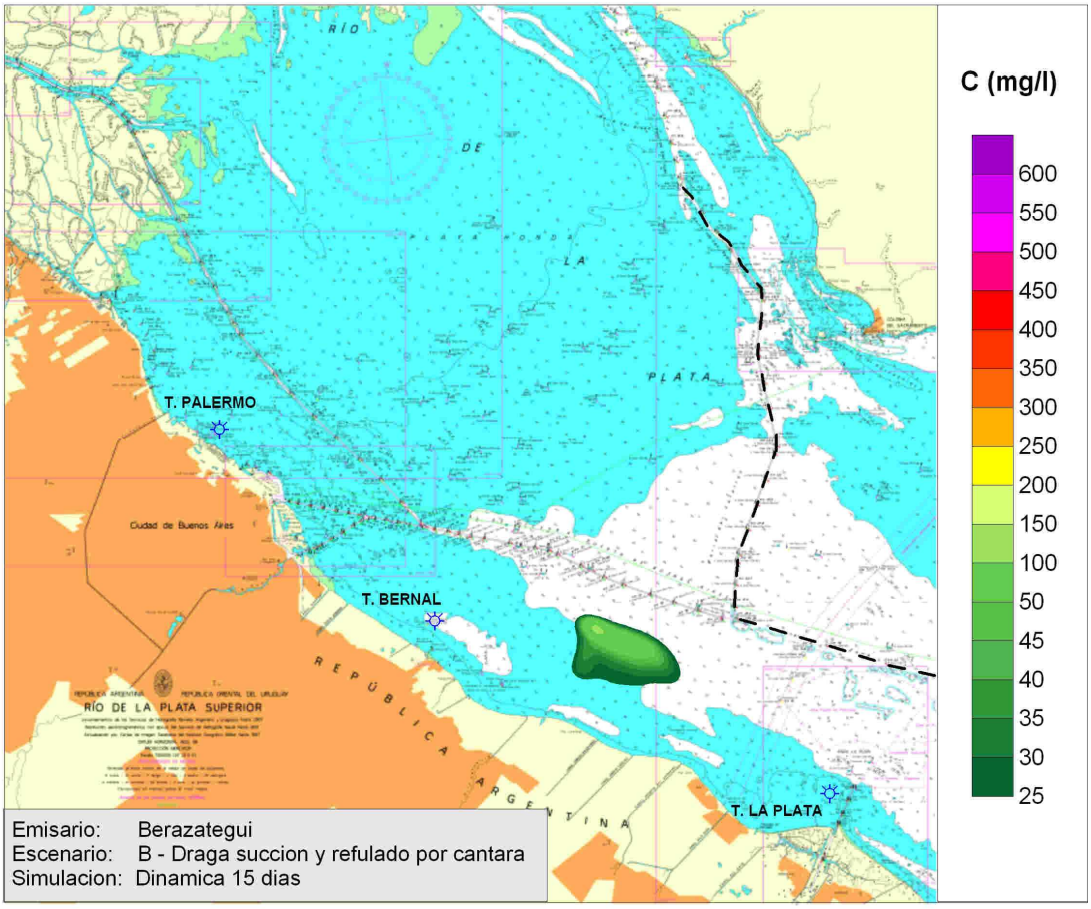

Figura A.6.6.2.2.8 – Distribución superficial de la concentración: día 4 hora 24.

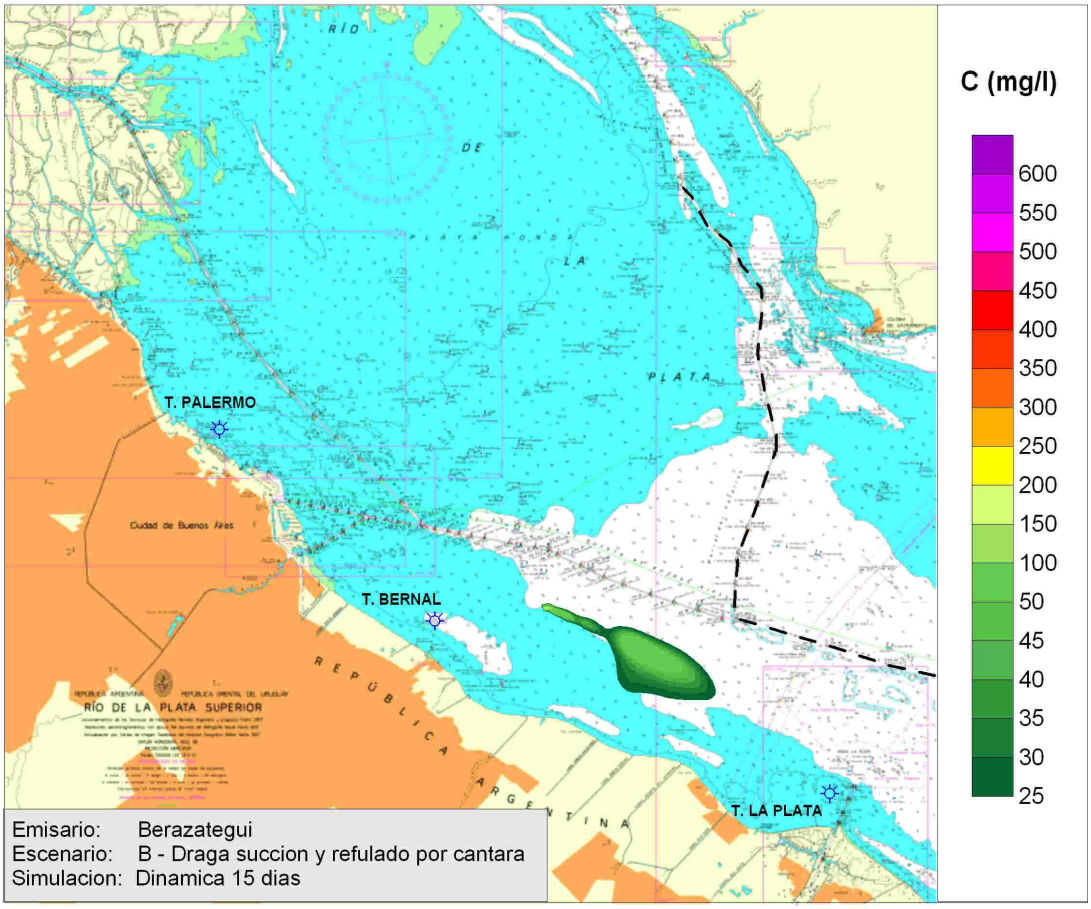

Figura A.6.6.2.2.9 – Distribución superficial de la concentración: día 5 hora 12.

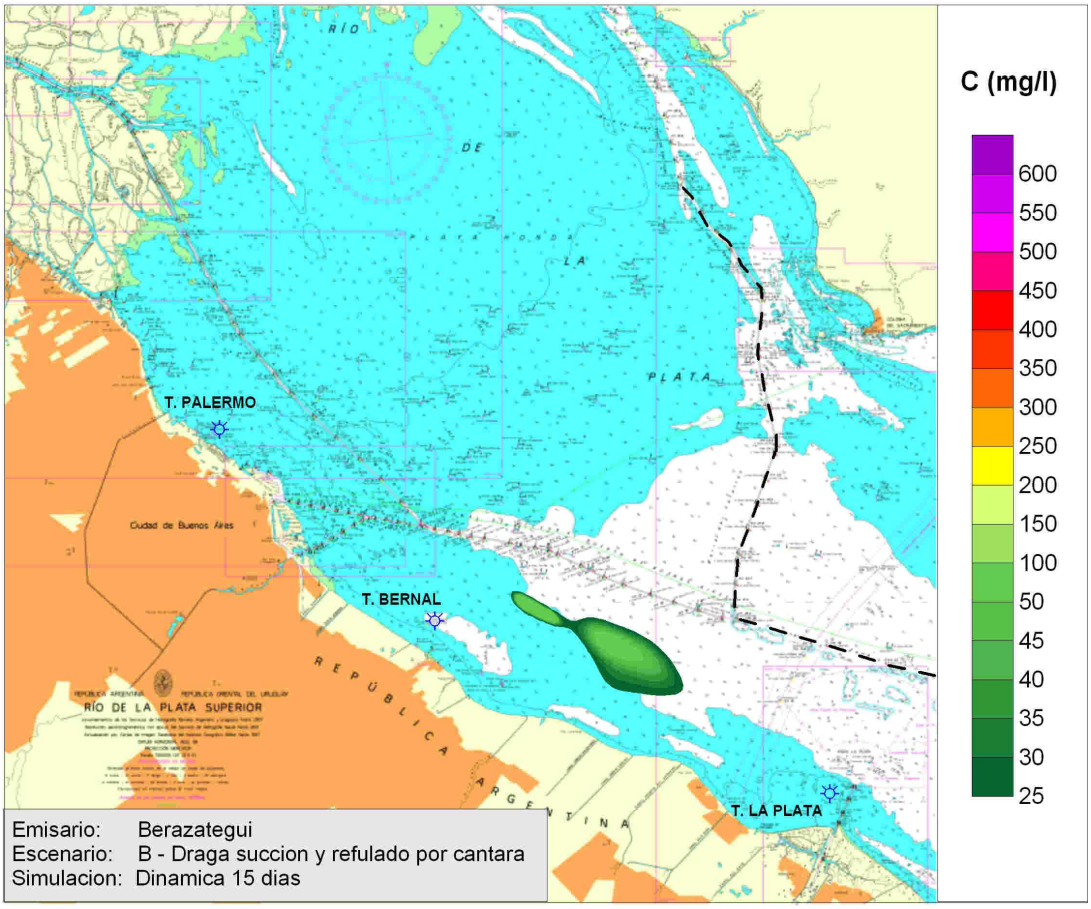

Figura A.6.6.2.2.10 – Distribución superficial de la concentración: día 5 hora 24.

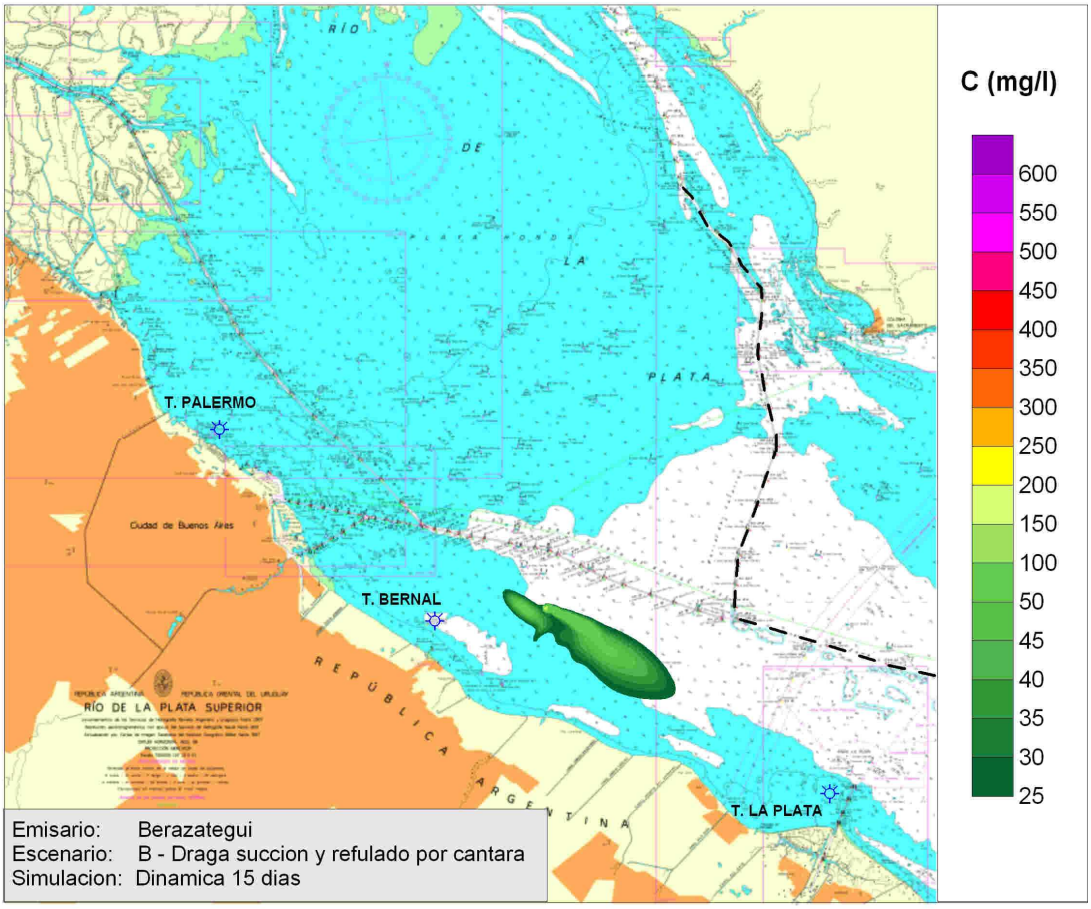

Figura A.6.6.2.2.11 – Distribución superficial de la concentración: día 6 hora 12.

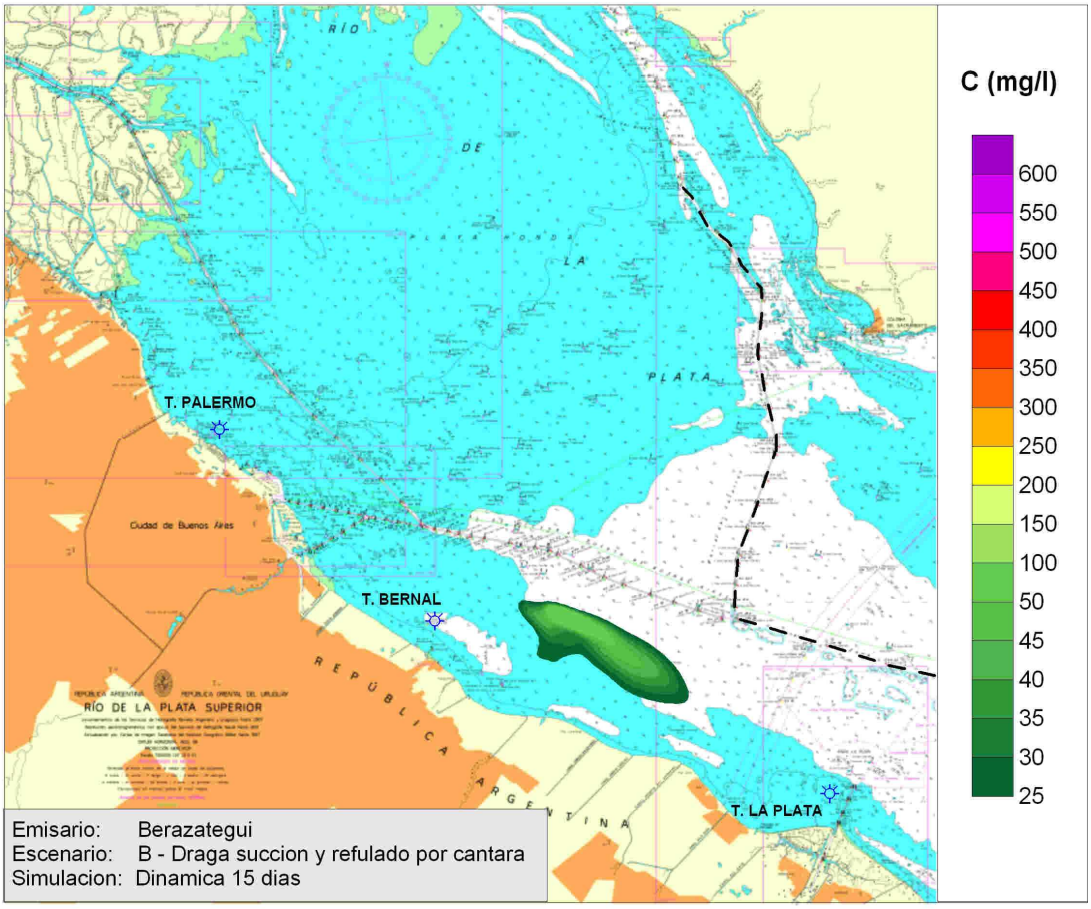

Figura A.6.6.2.2.12 – Distribución superficial de la concentración: día 6 hora 24.

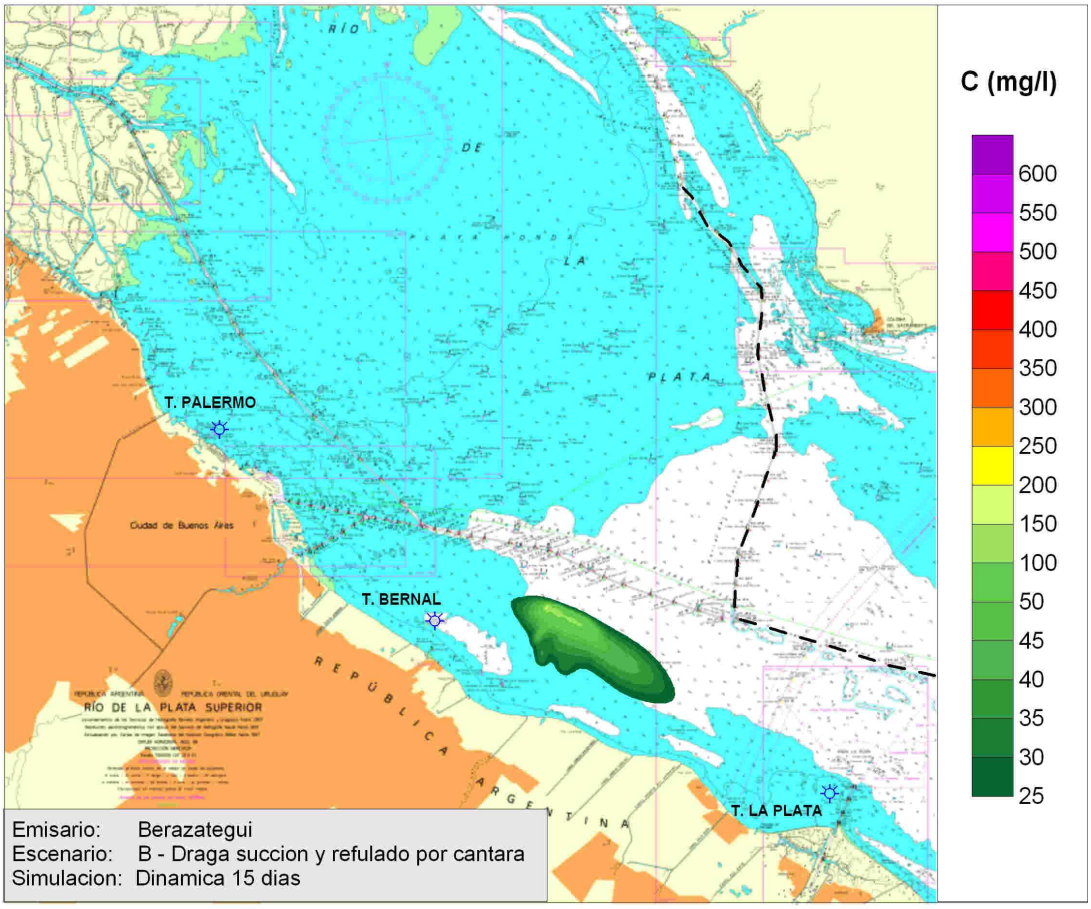

Figura A.6.6.2.2.13 – Distribución superficial de la concentración: día 7 hora 12.

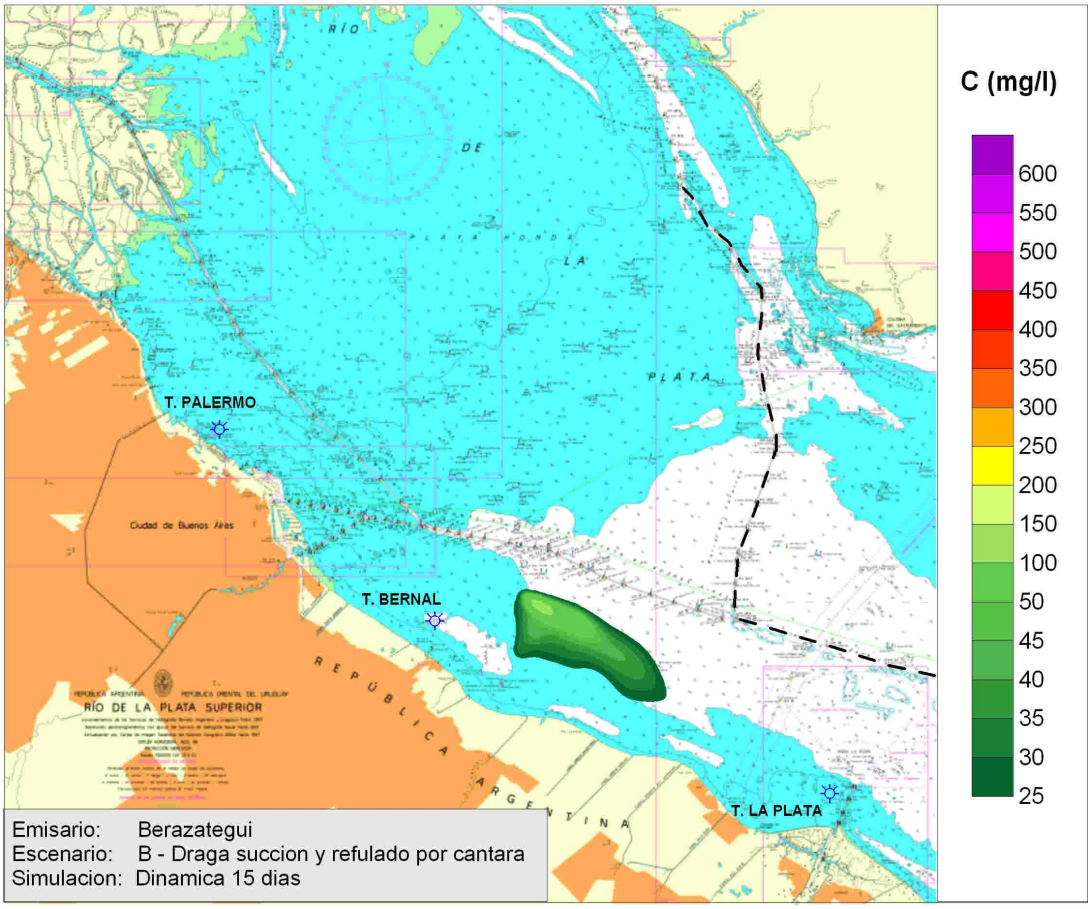

Figura A.6.6.2.2.14 – Distribución superficial de la concentración: día 7 hora 24.

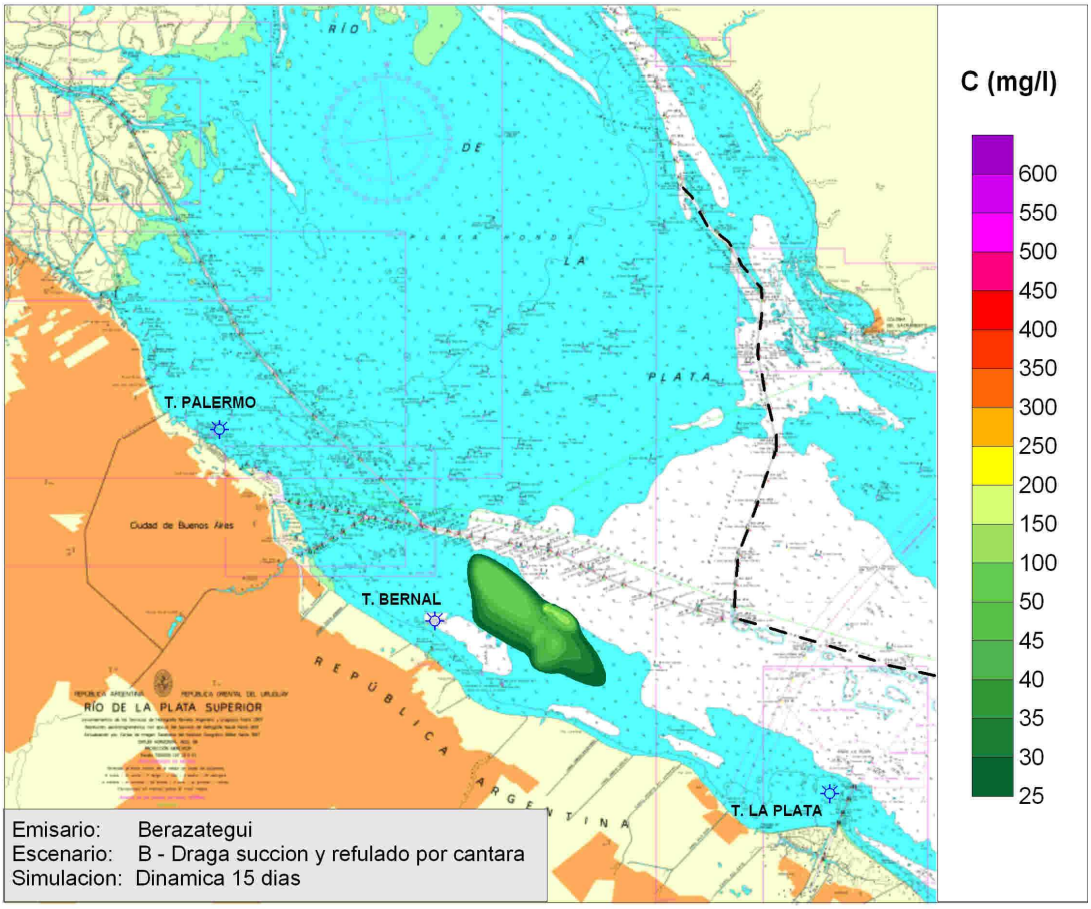

Figura A.6.6.2.2.15 – Distribución superficial de la concentración: día 8 hora 12.

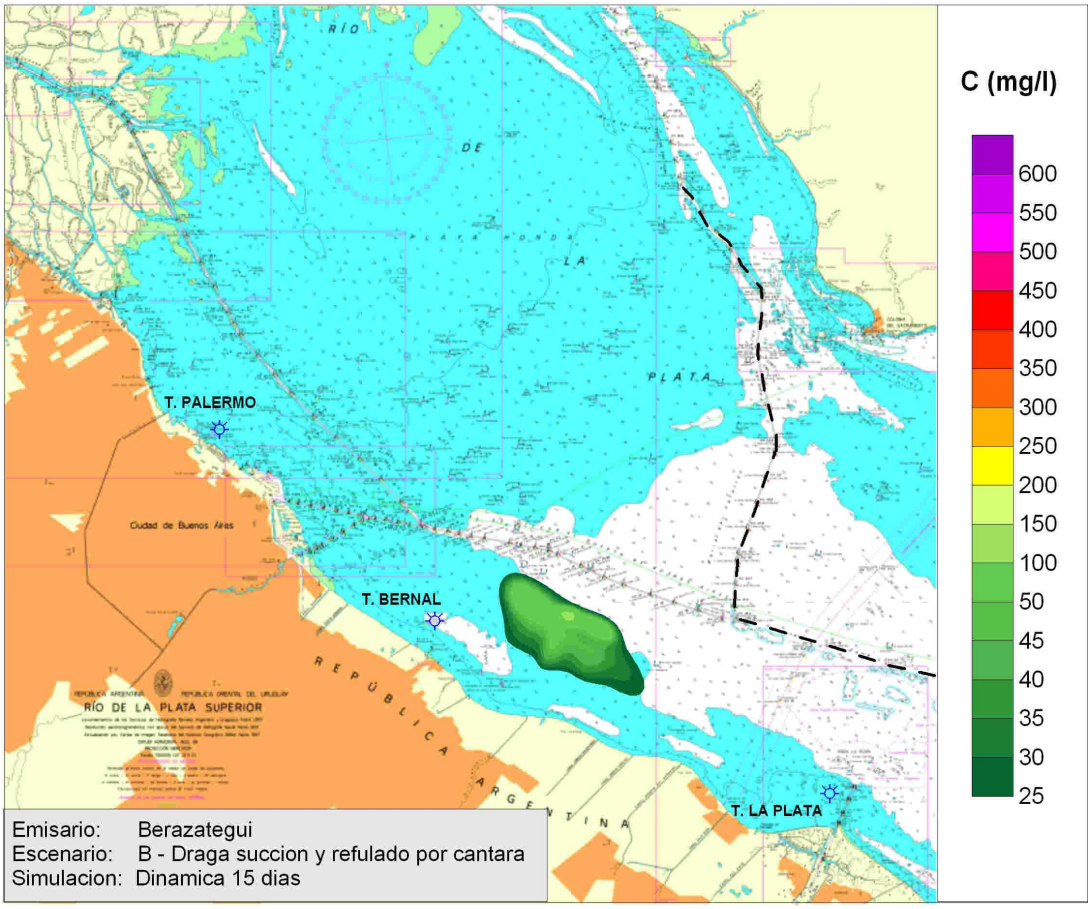

Figura A.6.6.2.2.16 – Distribución superficial de la concentración: día 8 hora 24.

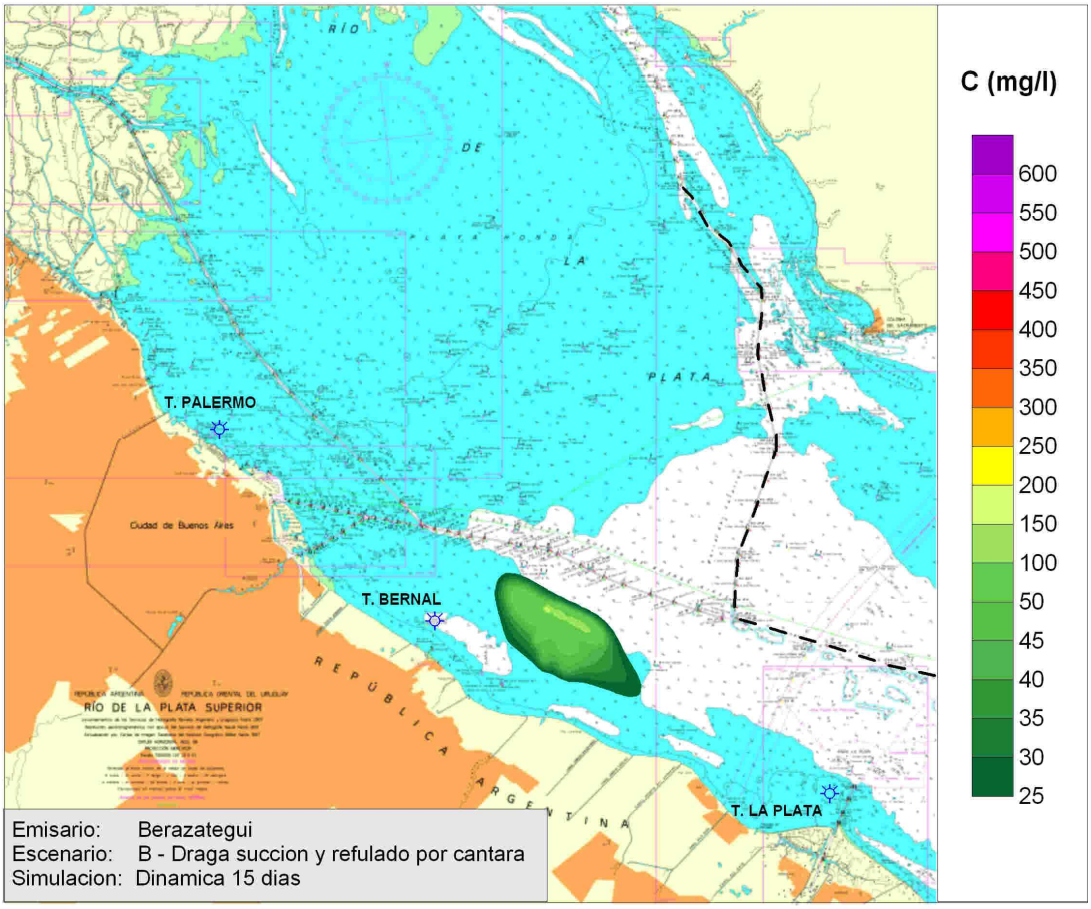

Figura A.6.6.2.2.17 – Distribución superficial de la concentración: día 9 hora 12.

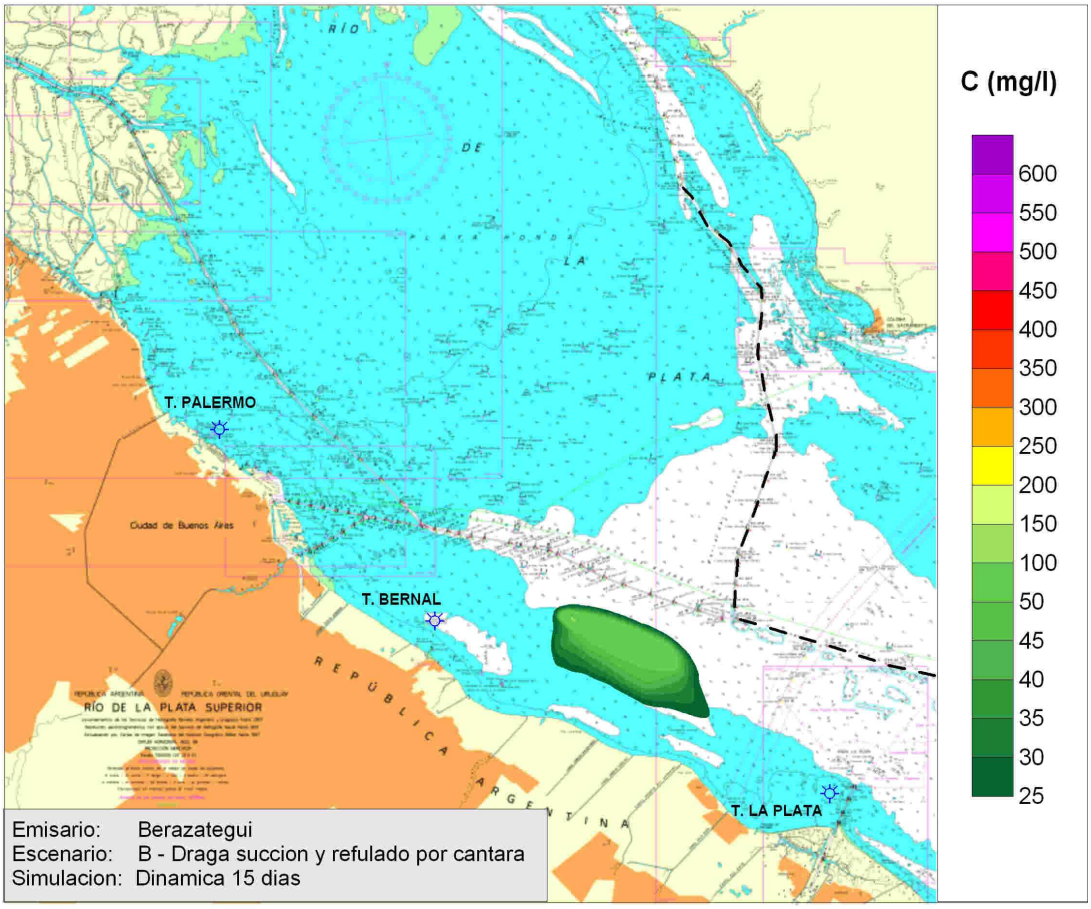

Figura A.6.6.2.2.18 – Distribución superficial de la concentración: día 9 hora 24.

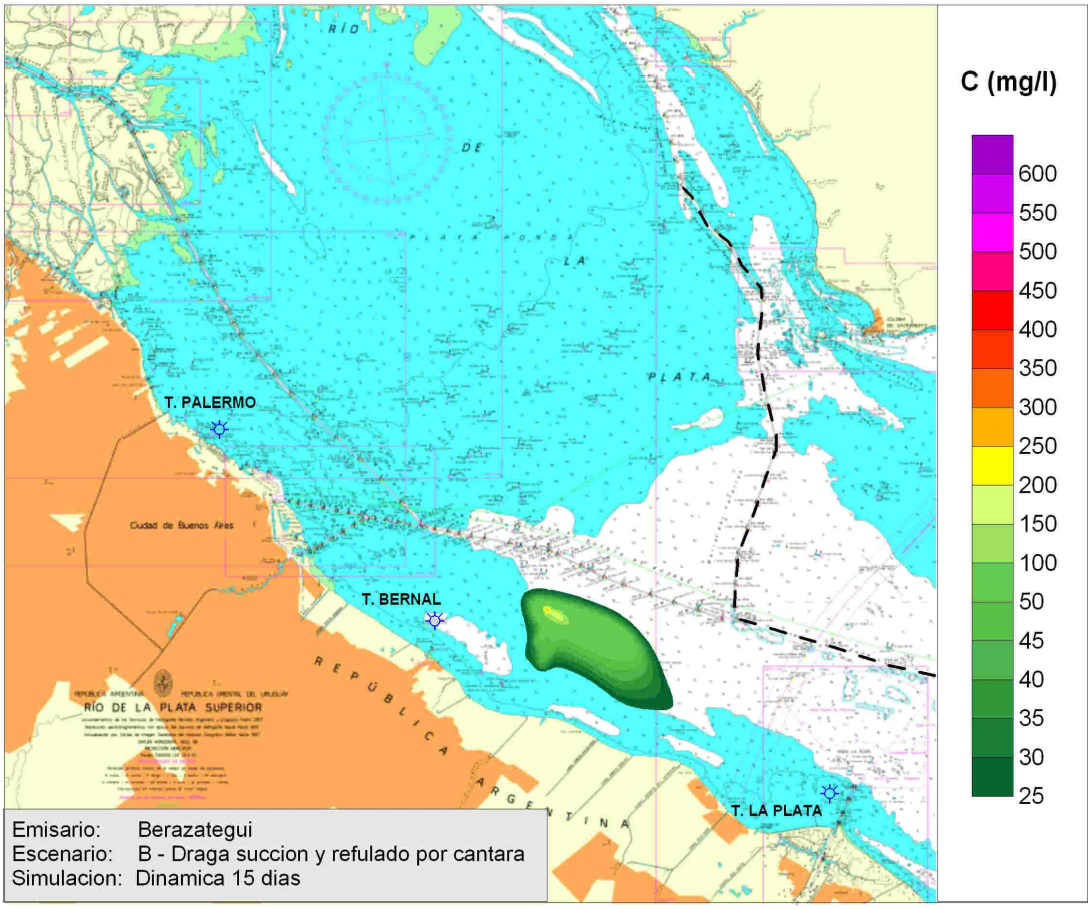

Figura A.6.6.2.2.19 – Distribución superficial de la concentración: día 10 hora 12.

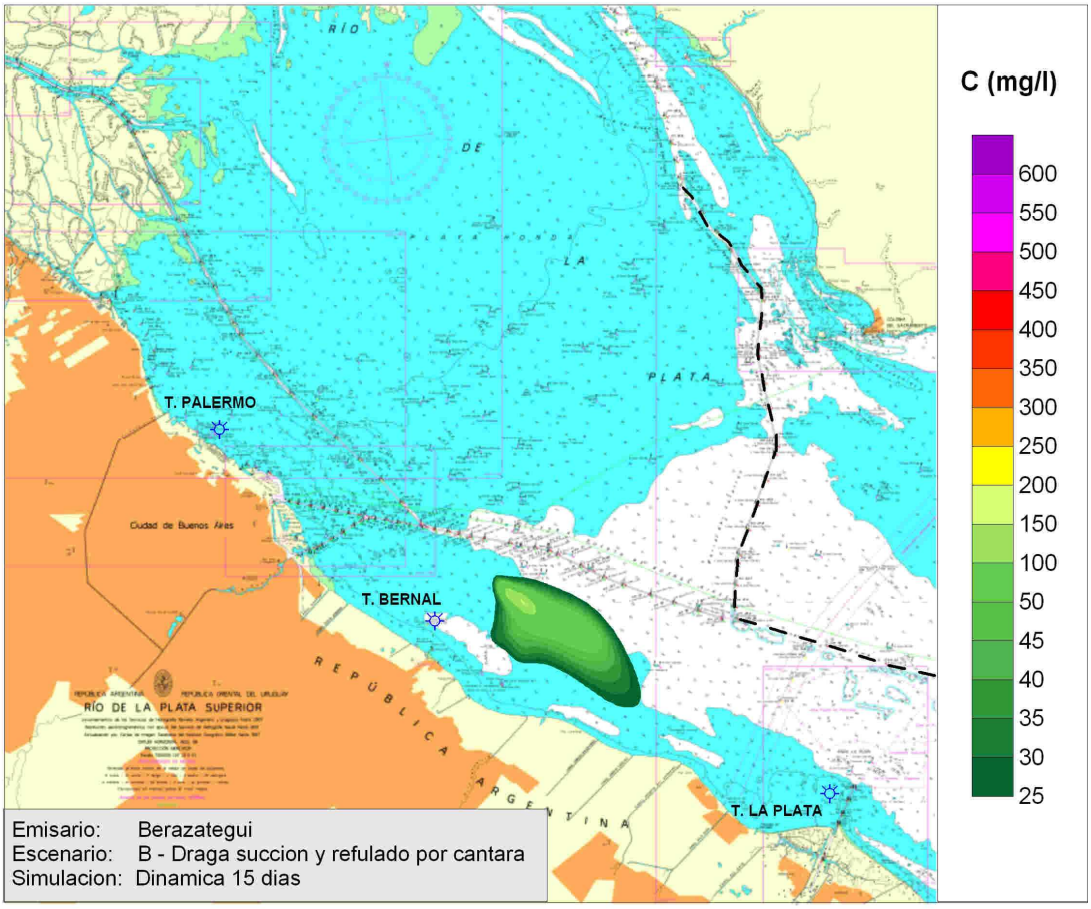

Figura A.6.6.2.2.20 – Distribución superficial de la concentración: día 10 hora 24.

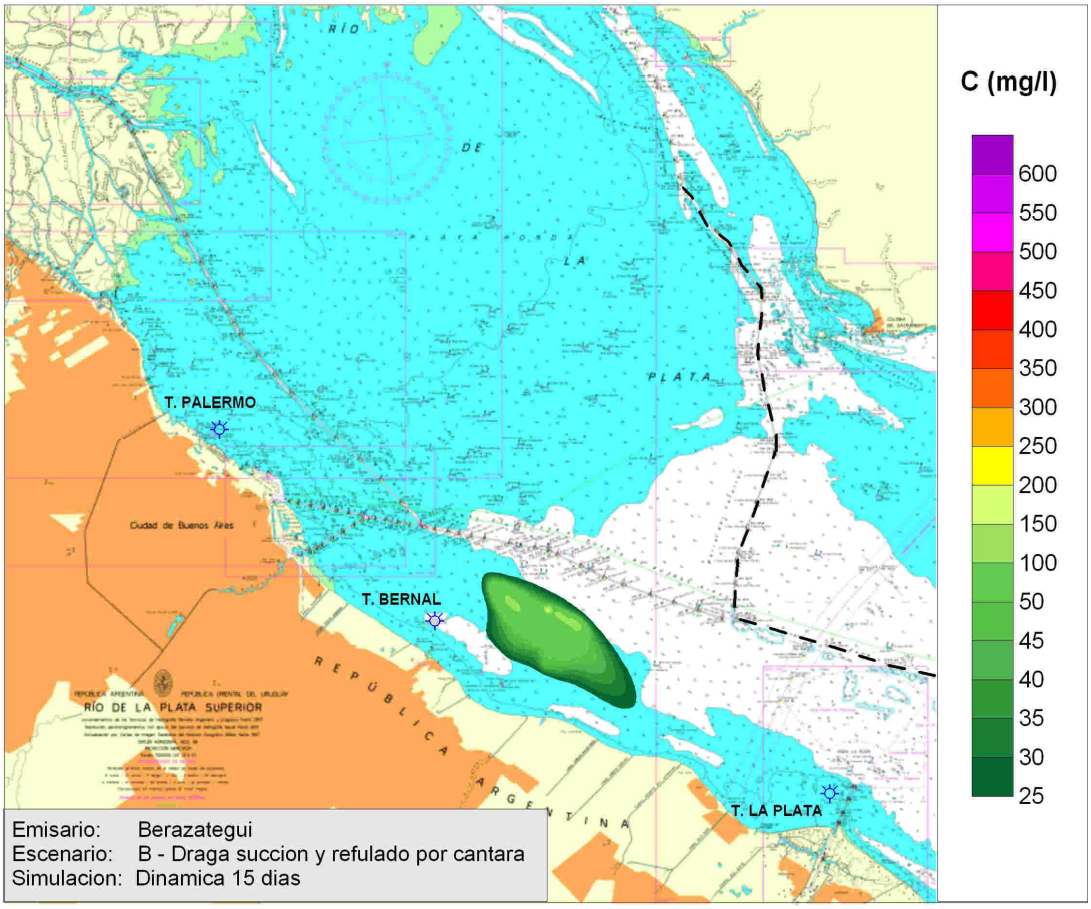

Figura A.6.6.2.2.21 – Distribución superficial de la concentración: día 11 hora 12.

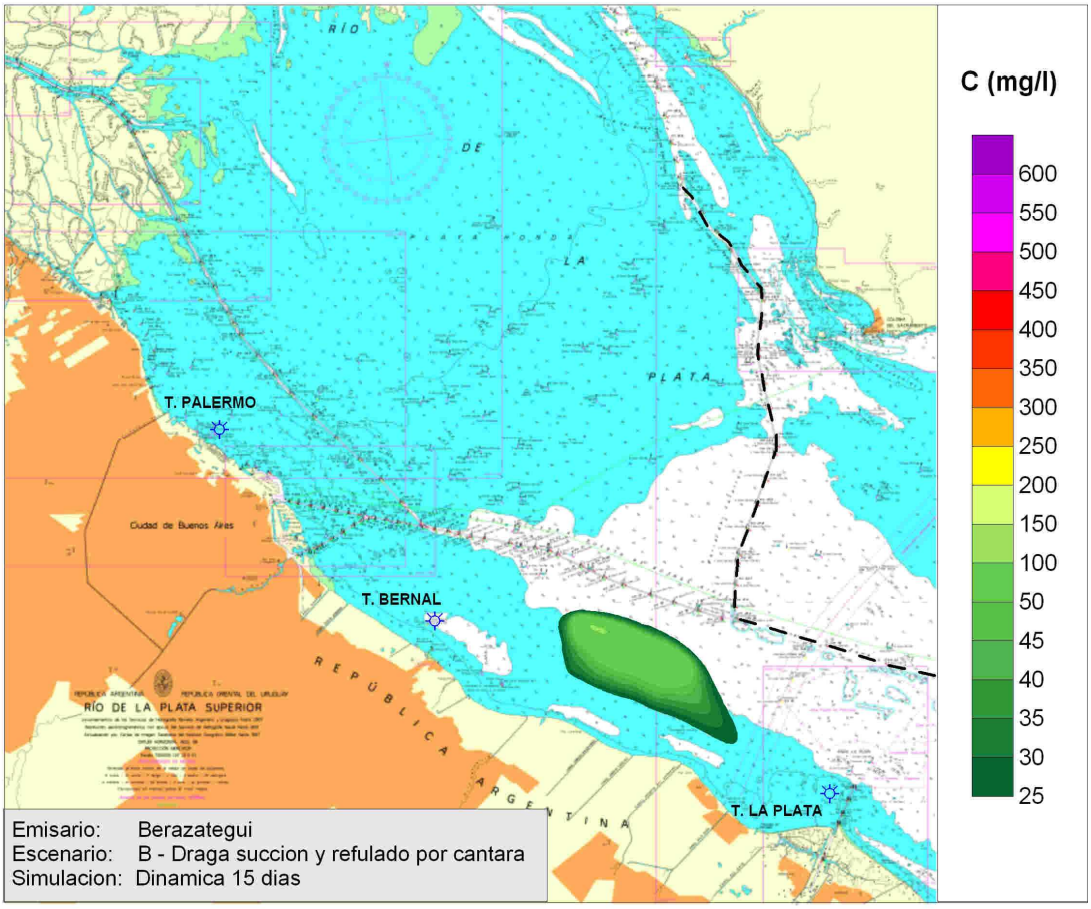

Figura A.6.6.2.2.22 – Distribución superficial de la concentración: día 11 hora 24.

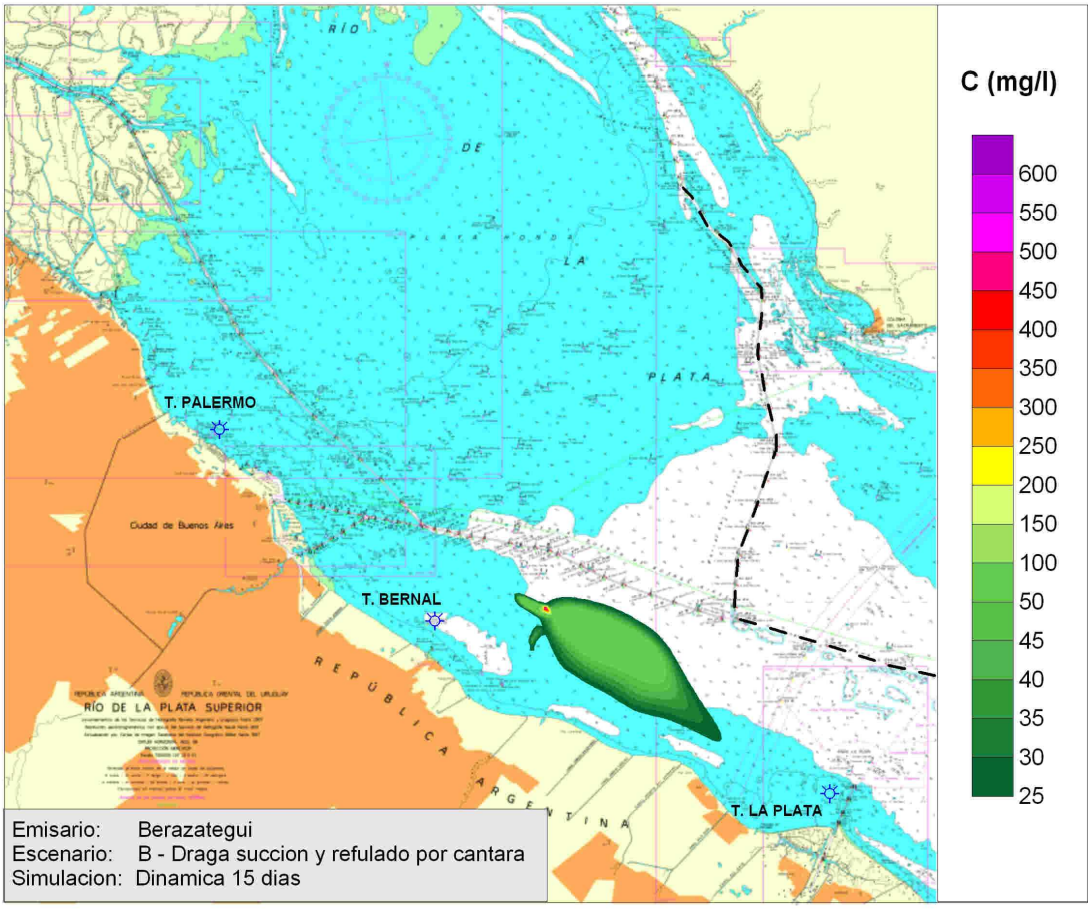

Figura A.6.6.2.2.23 – Distribución superficial de la concentración: día 12 hora 12.

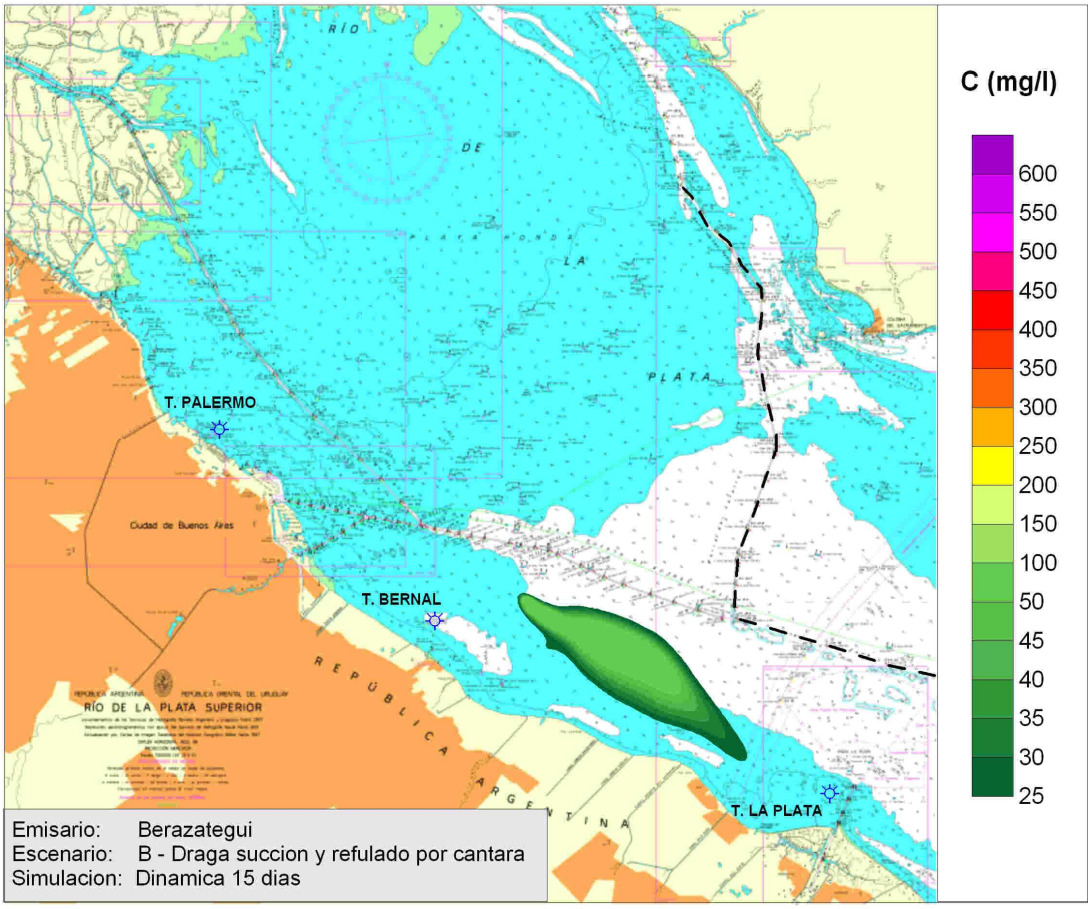

Figura A.6.6.2.2.24 – Distribución superficial de la concentración: día 12 hora 24.

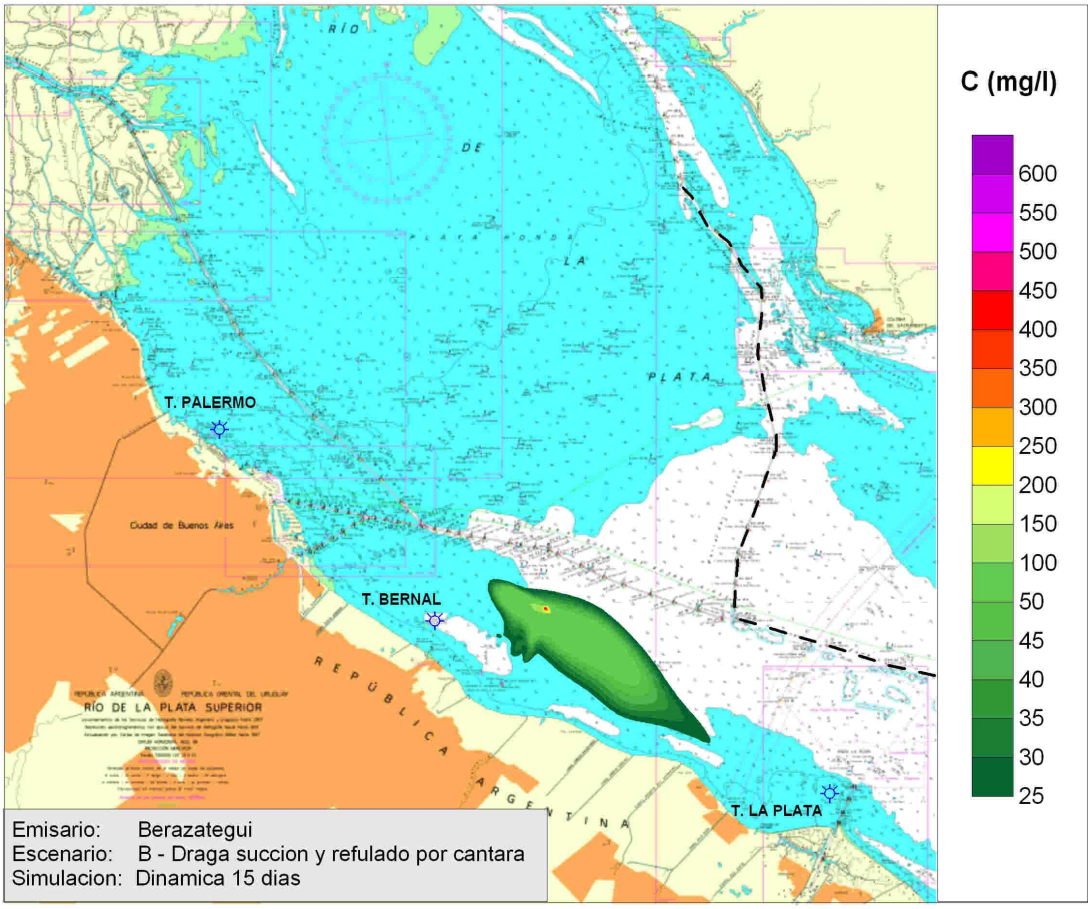

Figura A.6.6.2.2.25 – Distribución superficial de la concentración: día 13 hora 12.

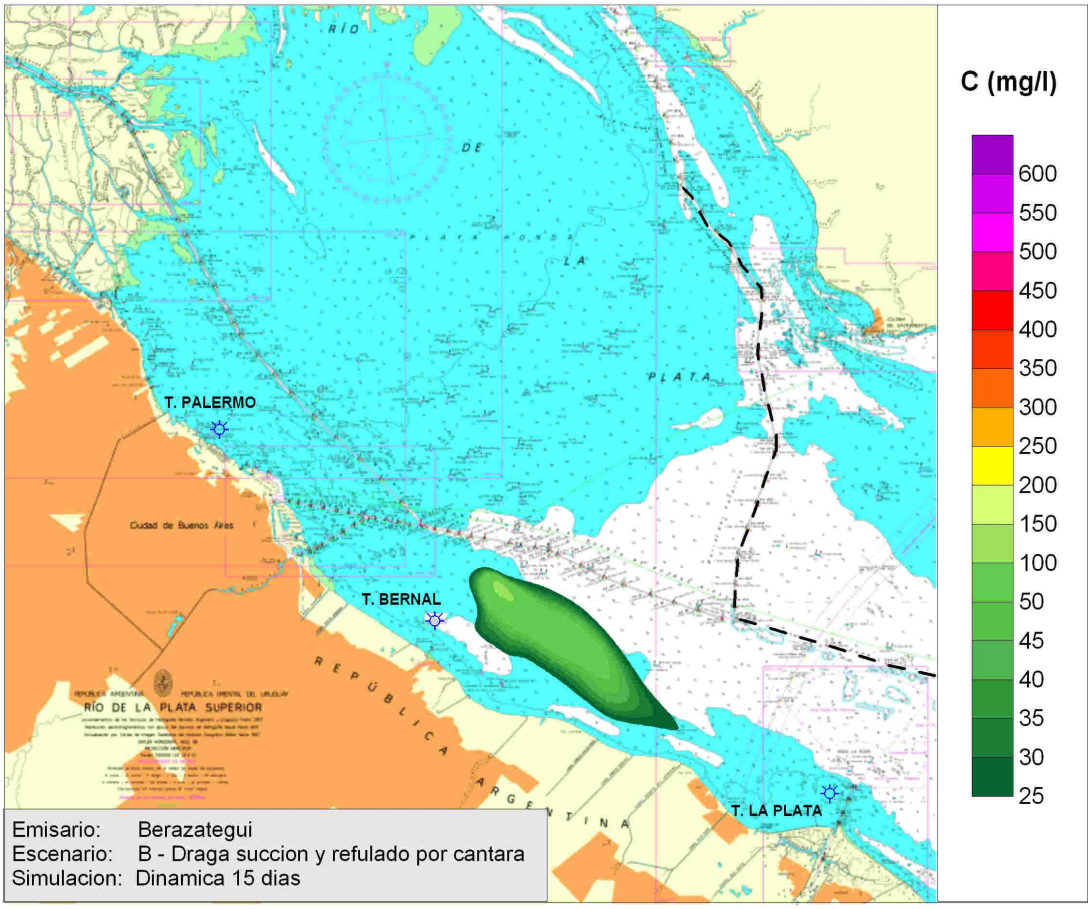

Figura A.6.6.2.2.26 – Distribución superficial de la concentración: día 13 hora 24.

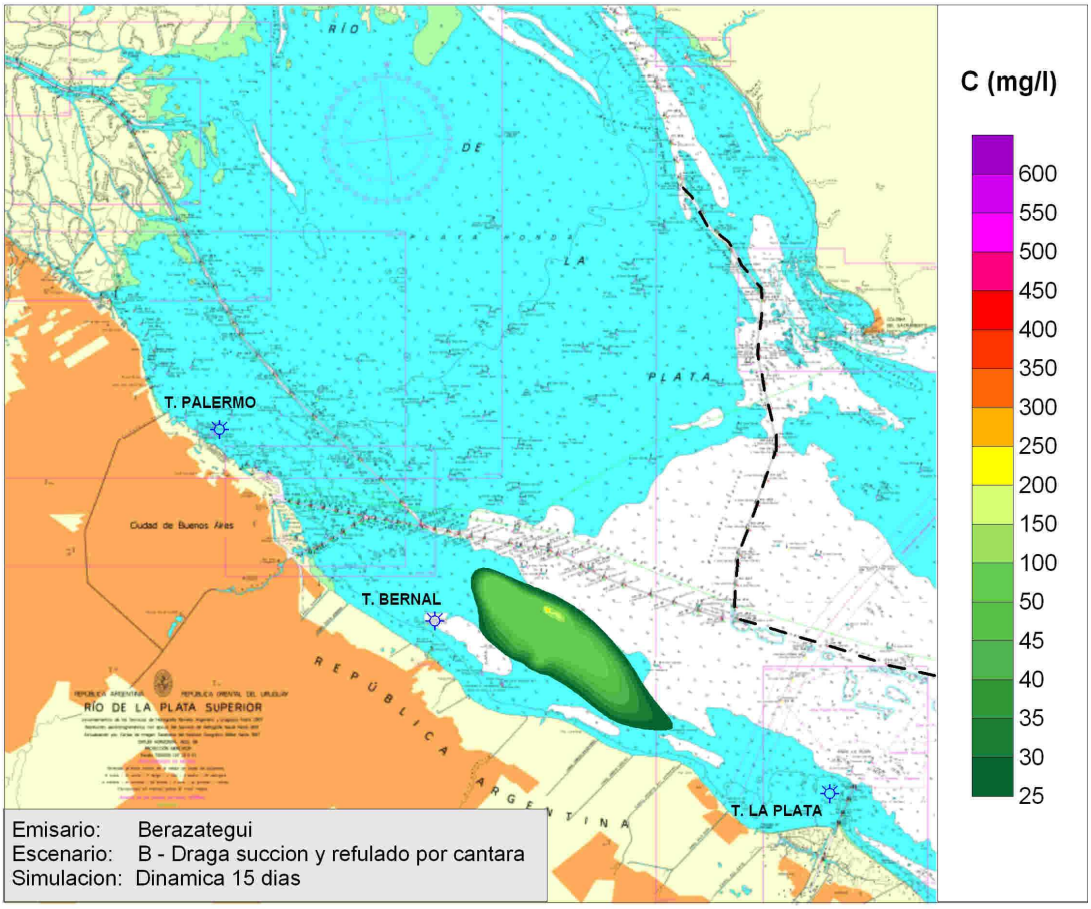

Figura A.6.6.2.2.27 – Distribución superficial de la concentración: día 14 hora 12.

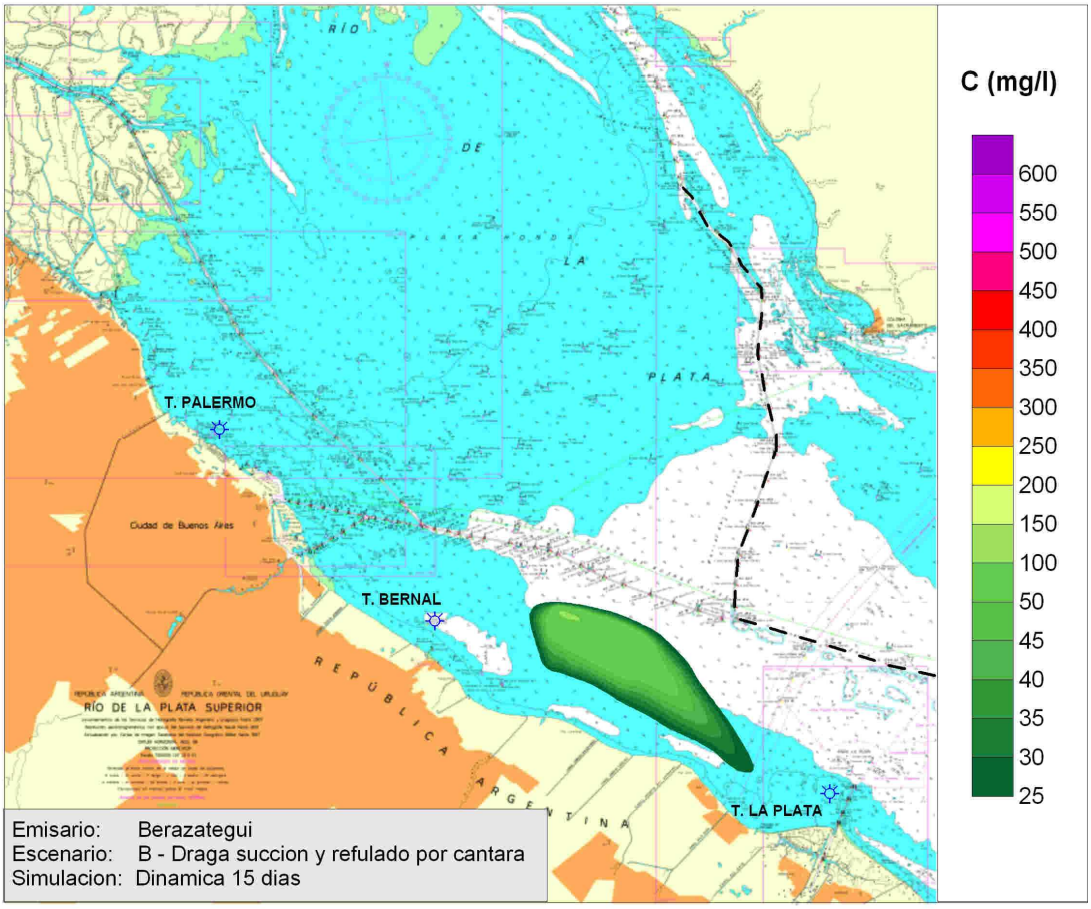

Figura A.6.6.2.2.28 – Distribución superficial de la concentración: día 14 hora 24.

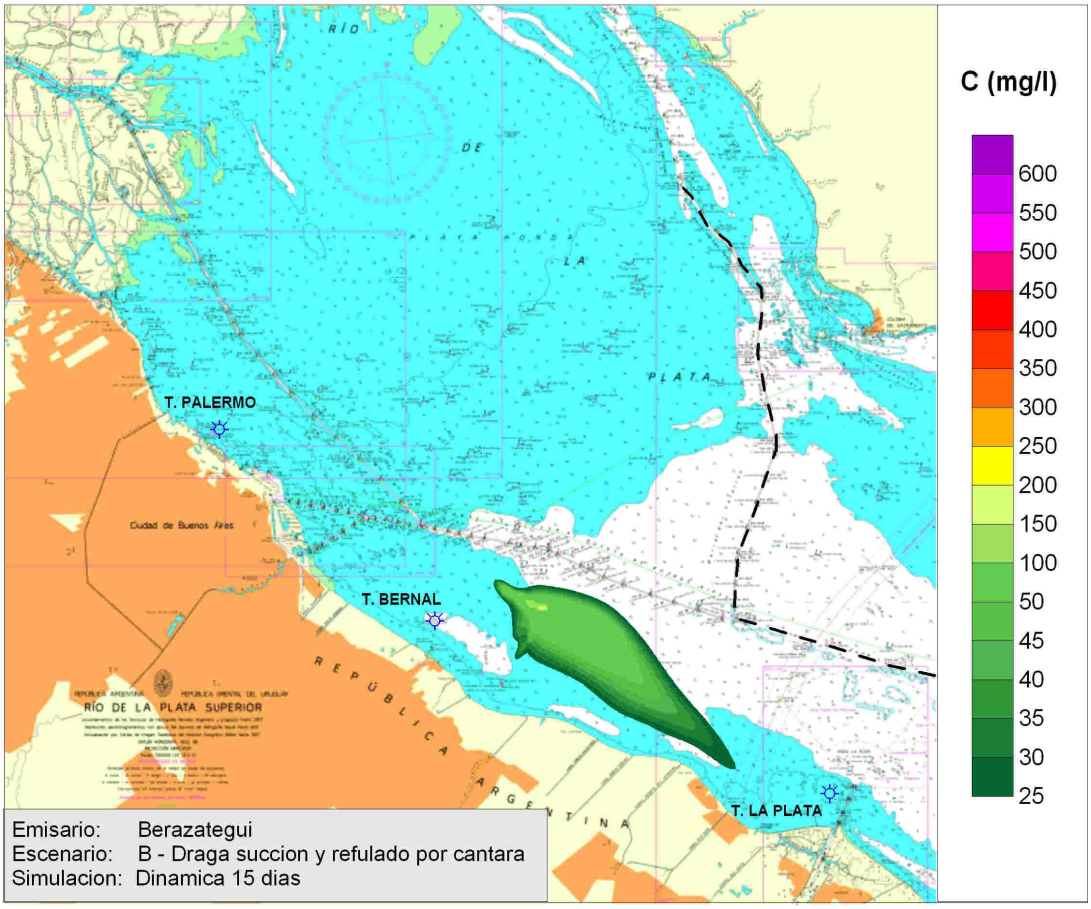

Figura A.6.6.2.2.29 – Distribución superficial de la concentración: día 15 hora 12.

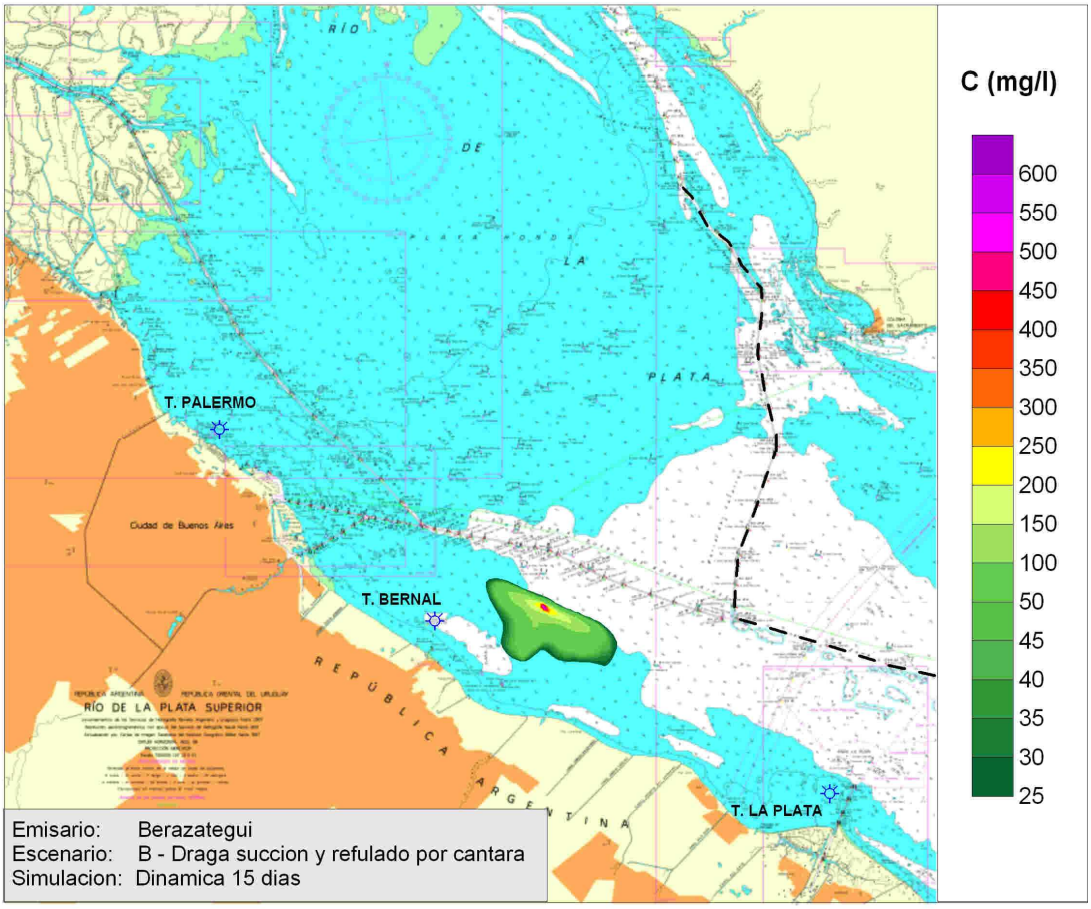

Figura A.6.6.2.2.30 – Distribución superficial de la concentración: día 15 hora 24.

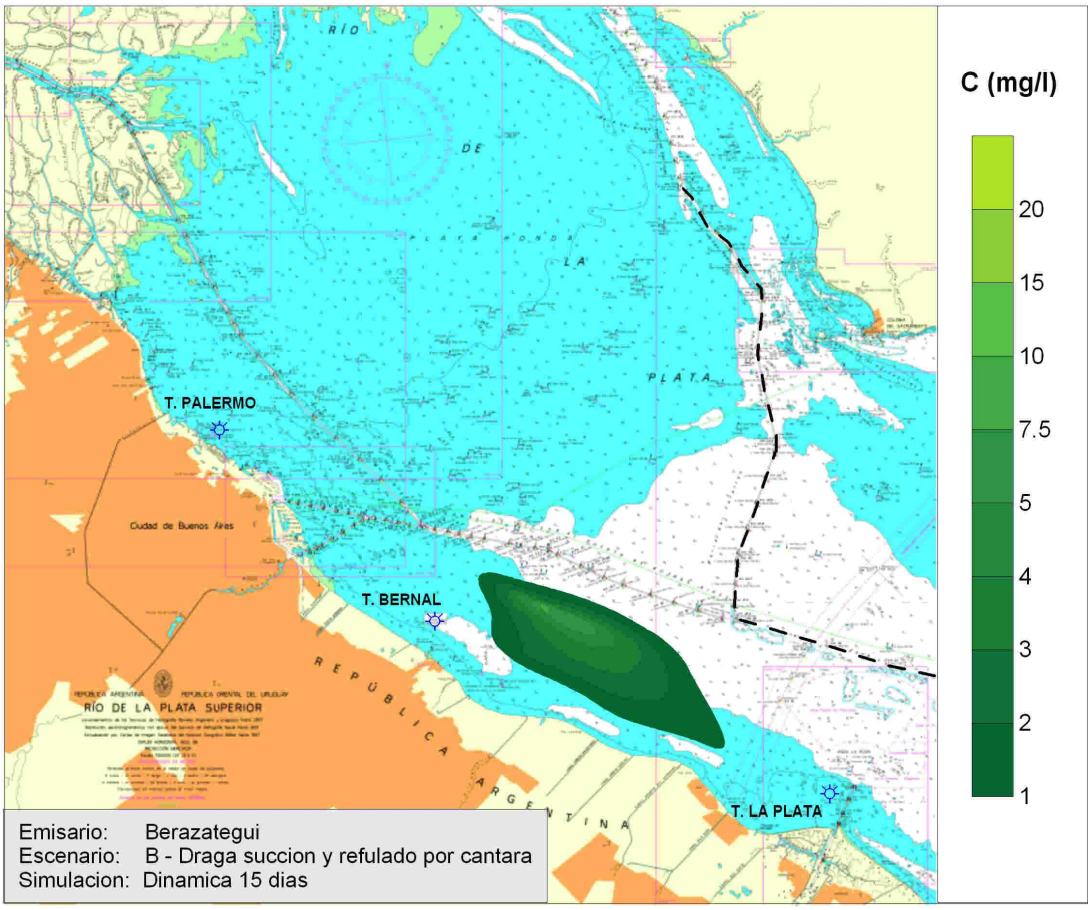

Figura A.6.6.2.2.31 – Distribución superficial de la concentración promedio durante los 15 días de la simulación.

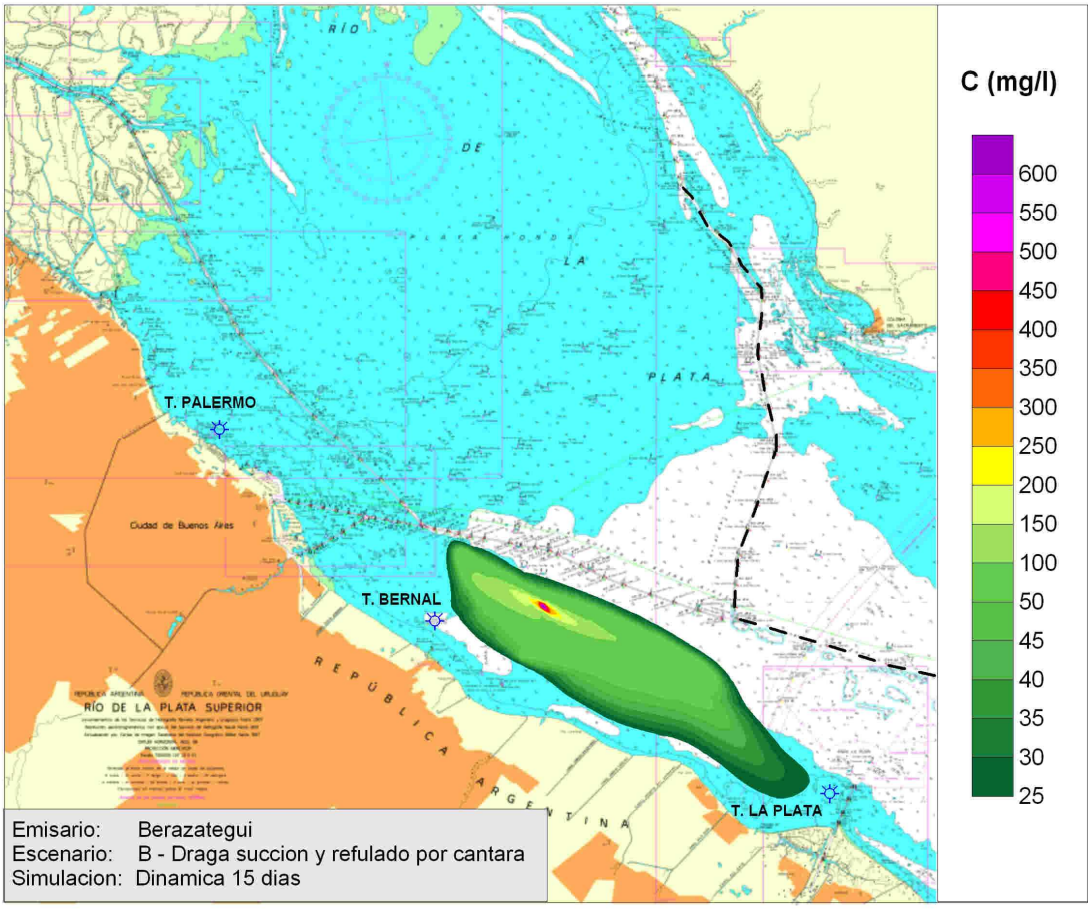

Figura A.6.6.2.2.32 – Distribución superficial de la concentración máxima durante los 15 días de la simulación.

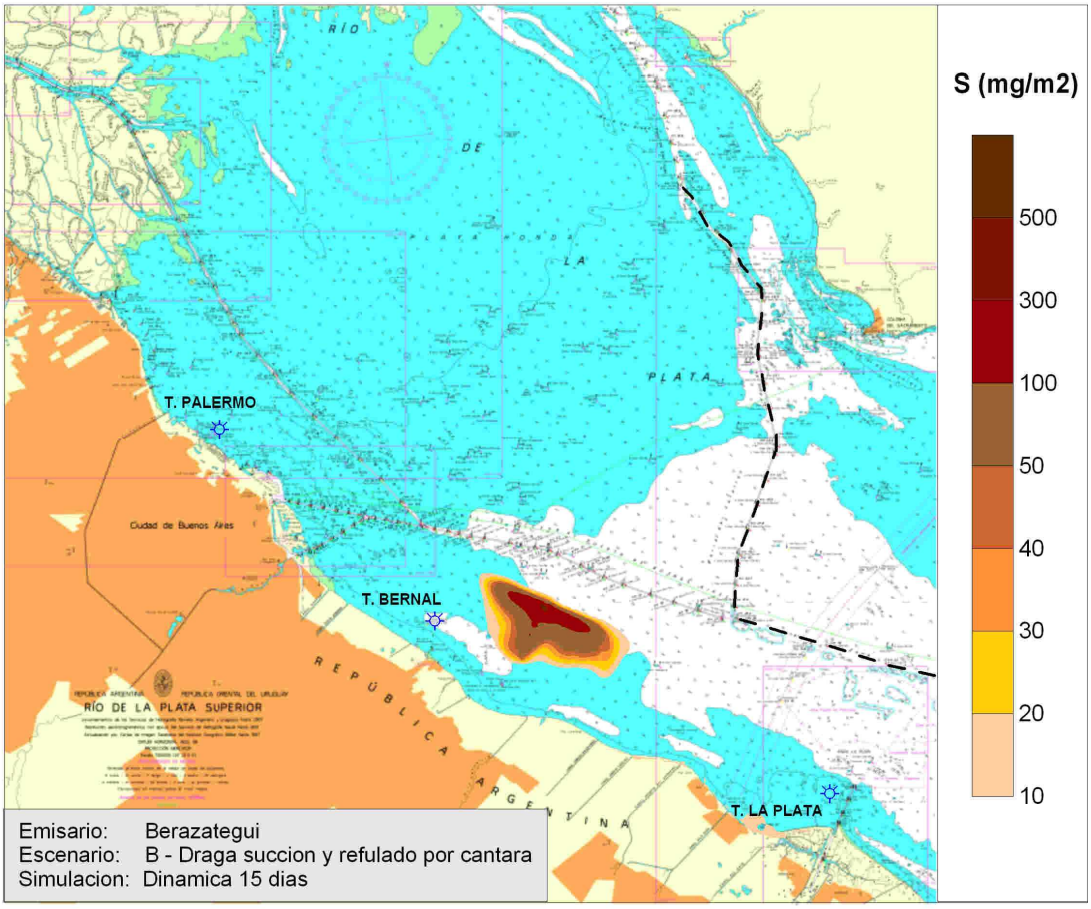

Figura A.6.6.2.2.33 – Distribución superficial de la masa sedimentada durante los 15 días de la simulación.

ANEXO 6.6.3.1

Dragado con refulado in-situ mediante cañón proyector en emisario Berazategui

Evolución de parámetros en estaciones fijas.

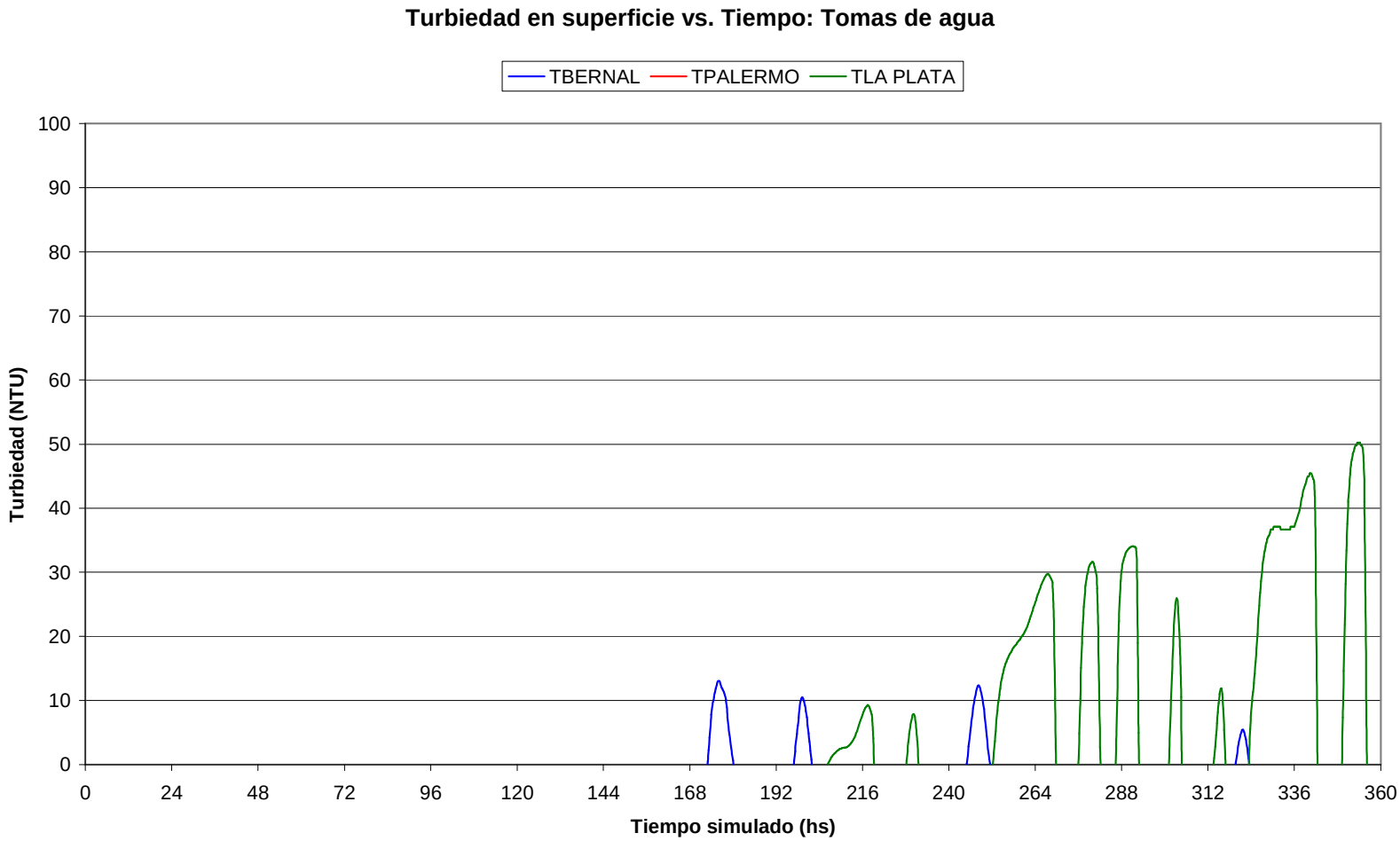

Figura A.6.6.3.1.1 – Turbiedad en tomas de agua. Capa superficial.

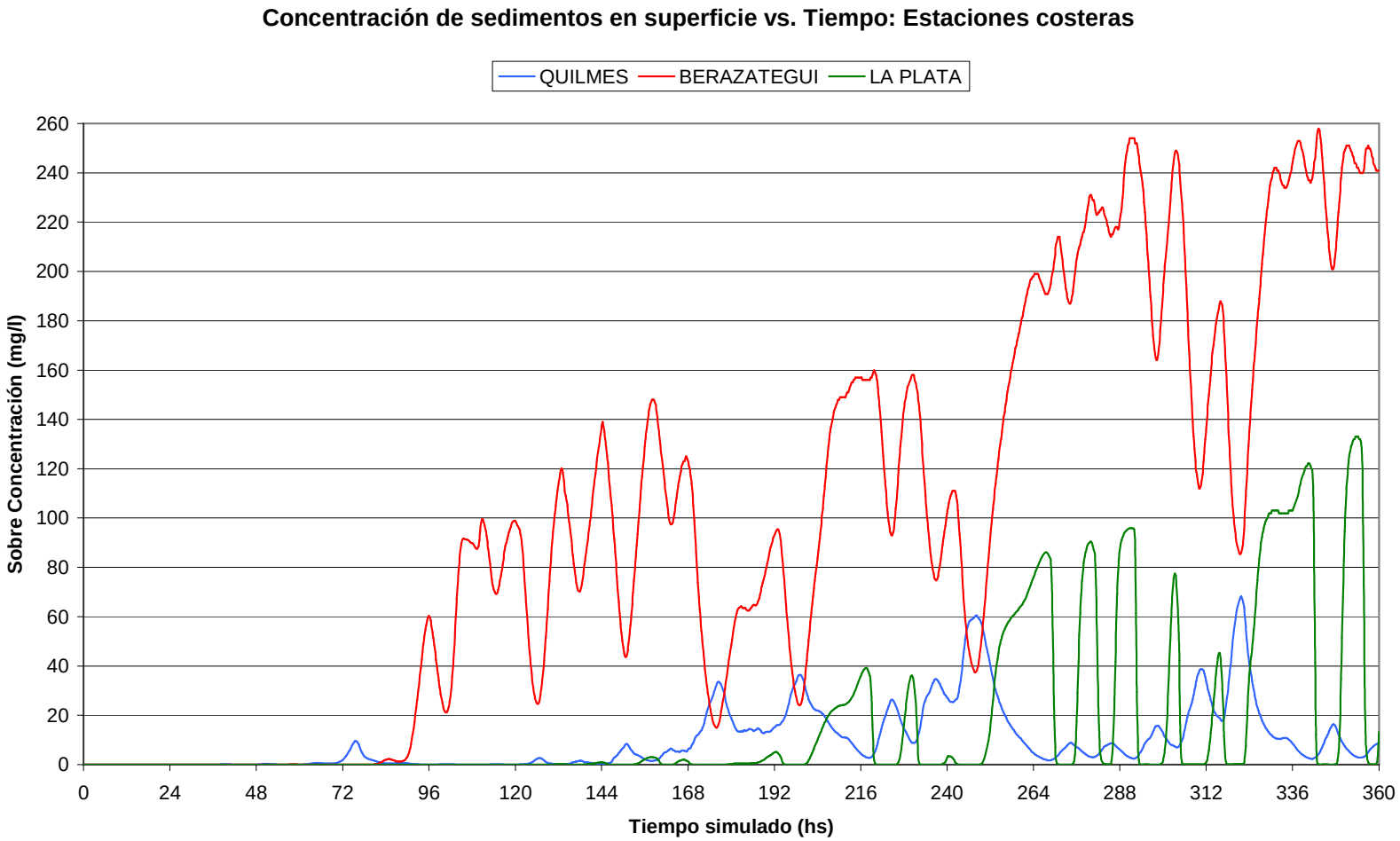

Figura A.6.6.3.1.2 – Concentración de sedimentos en áreas costeras. Capa superficial.

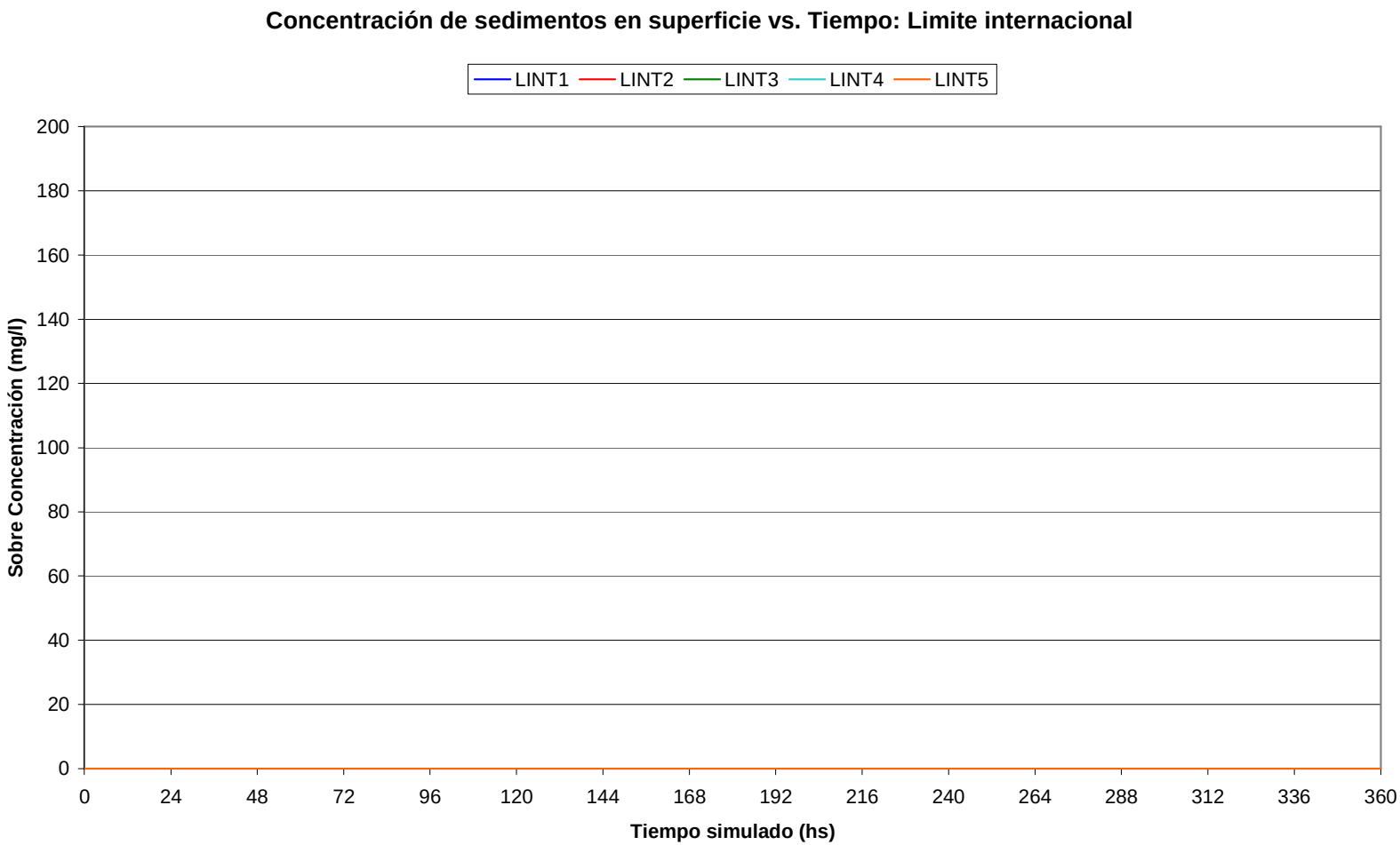

Figura A.6.6.3.1.3 – Concentración de sedimentos en el límite internacional. Capa superficial. No se observan niveles mensurables de sobre-concentración.

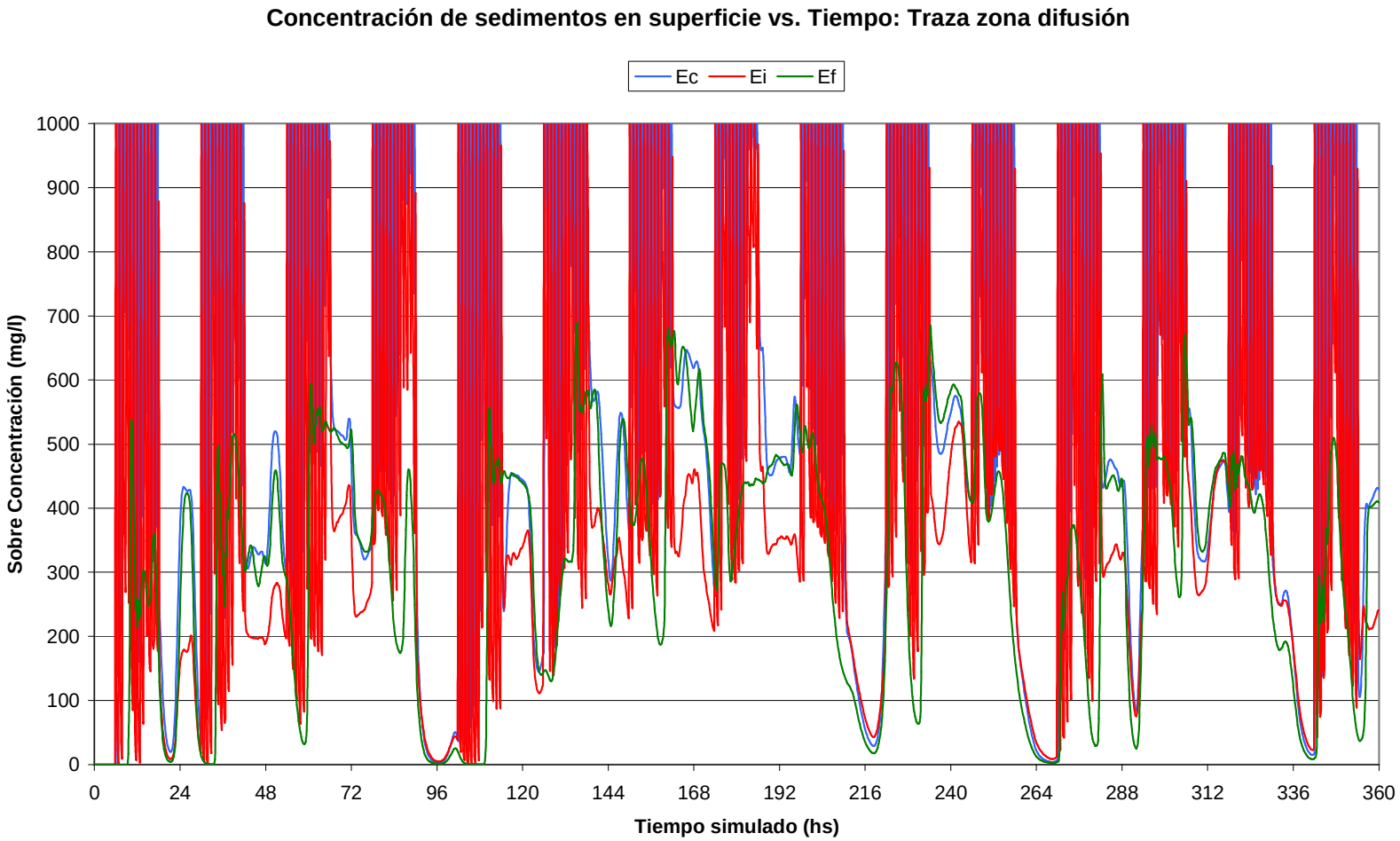

Figura A.6.6.3.1.4 – Concentración de sedimentos en la traza del emisario. Capa superficial.

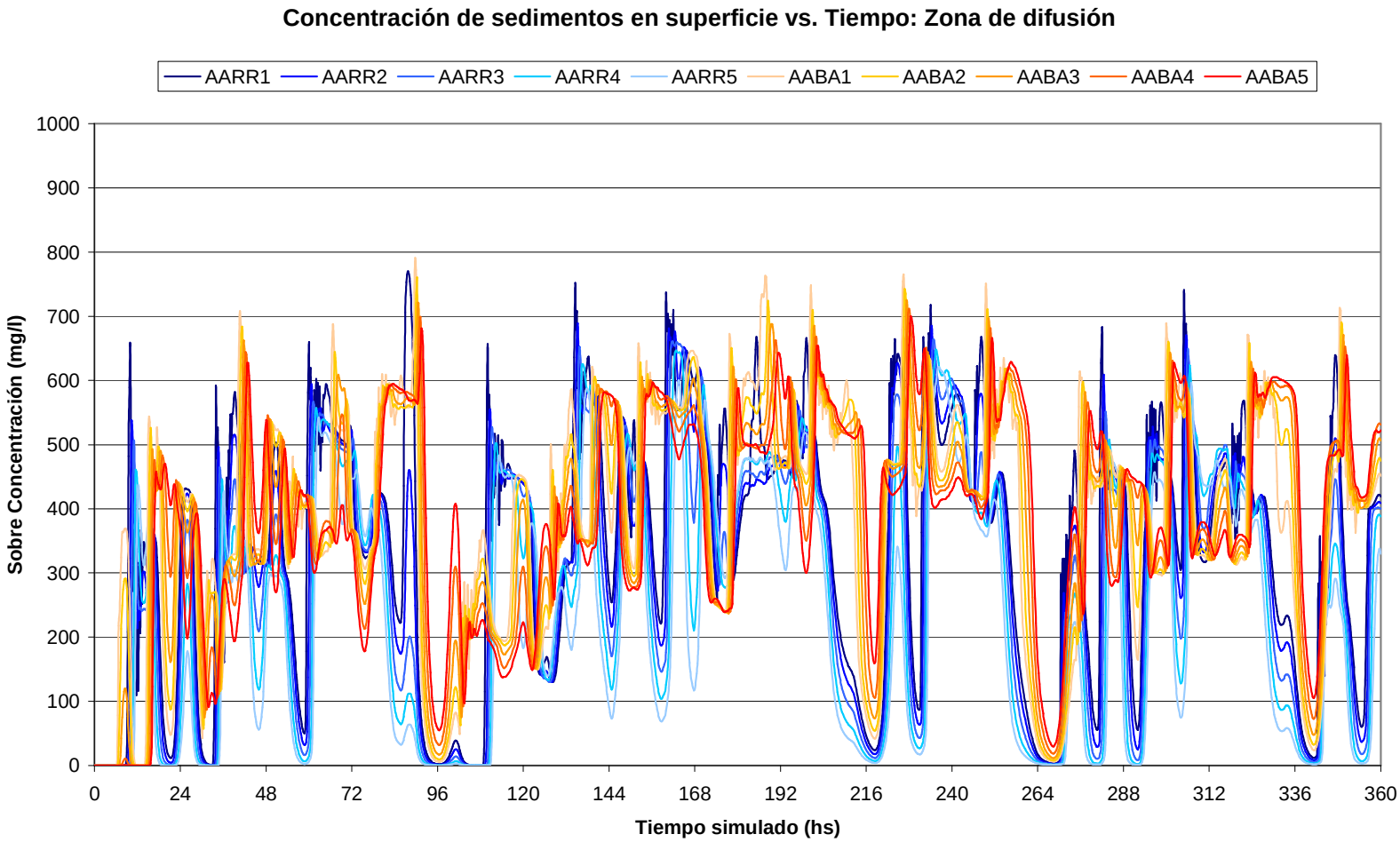

Figura A.6.6.3.1.5 – Concentración de sedimentos en la zona de difusión del emisario. Capa superficial.

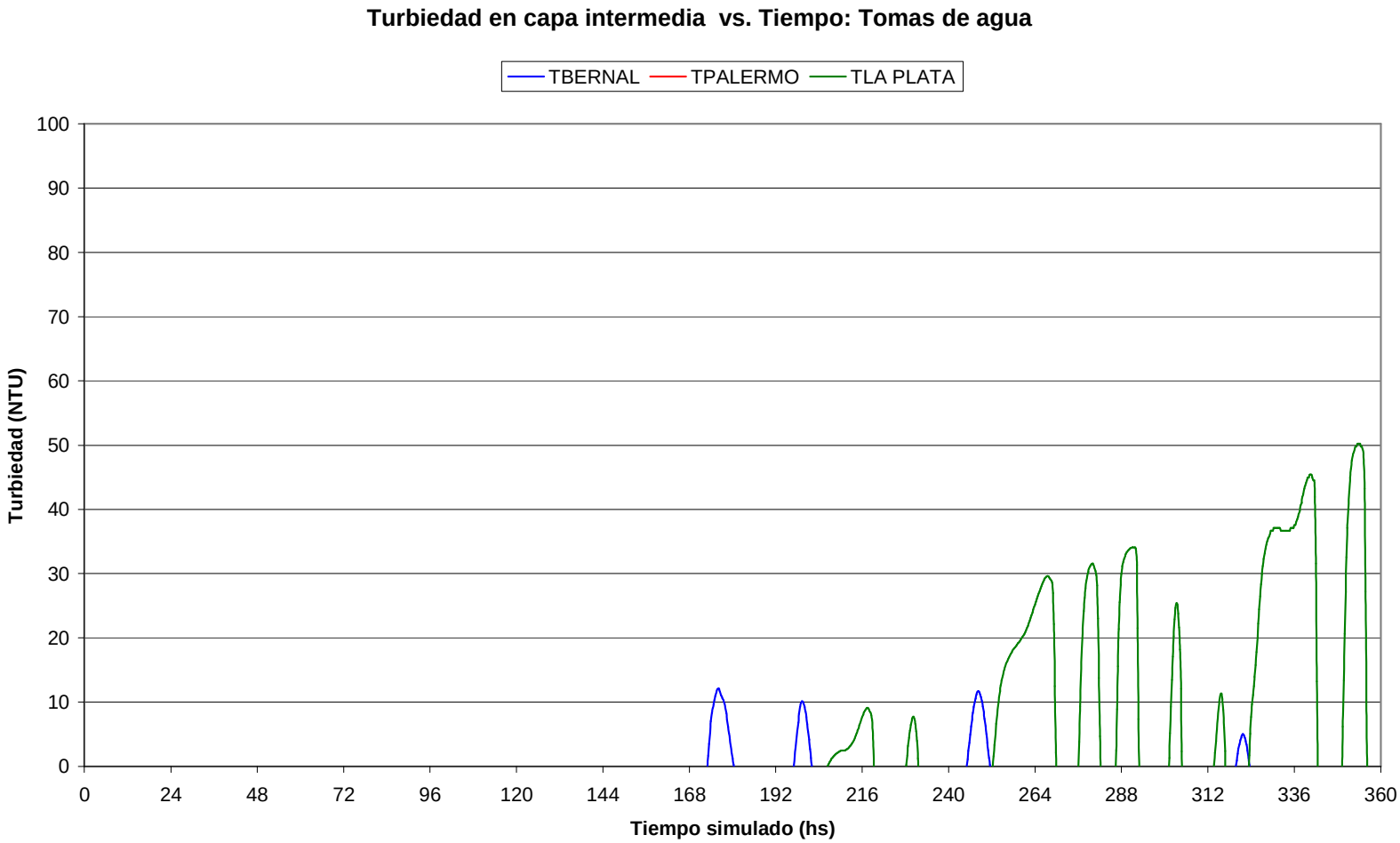

Figura A.6.6.3.1.6 – Turbiedad en tomas de agua. Capa intermedia.

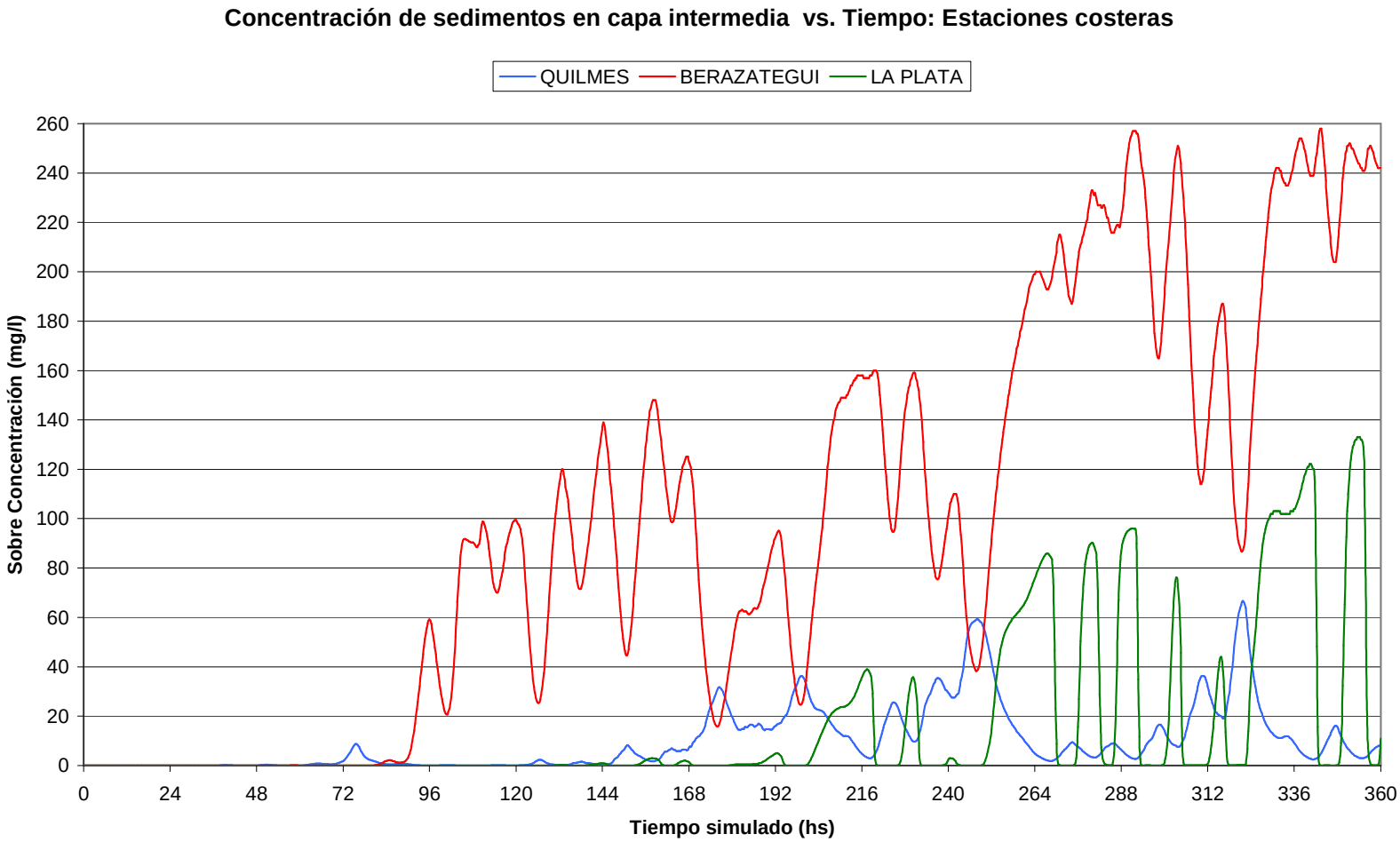

Figura A.6.6.3.1.7 – Concentración de sedimentos en áreas costeras. Capa intermedia.

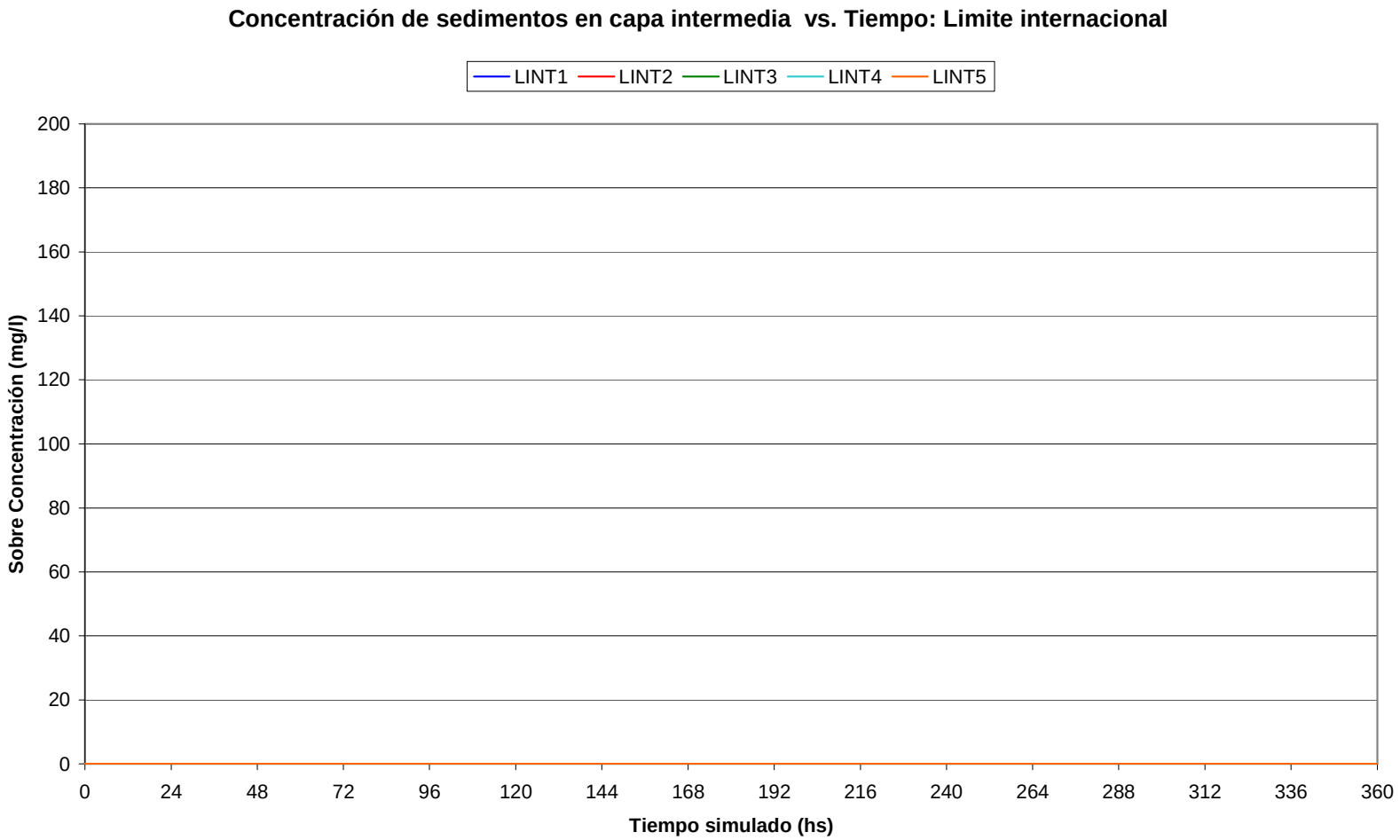

Figura A.6.6.3.1.8 – Concentración de sedimentos en el límite internacional. Capa intermedia. No se observan niveles mensurables de sobre-concentración.

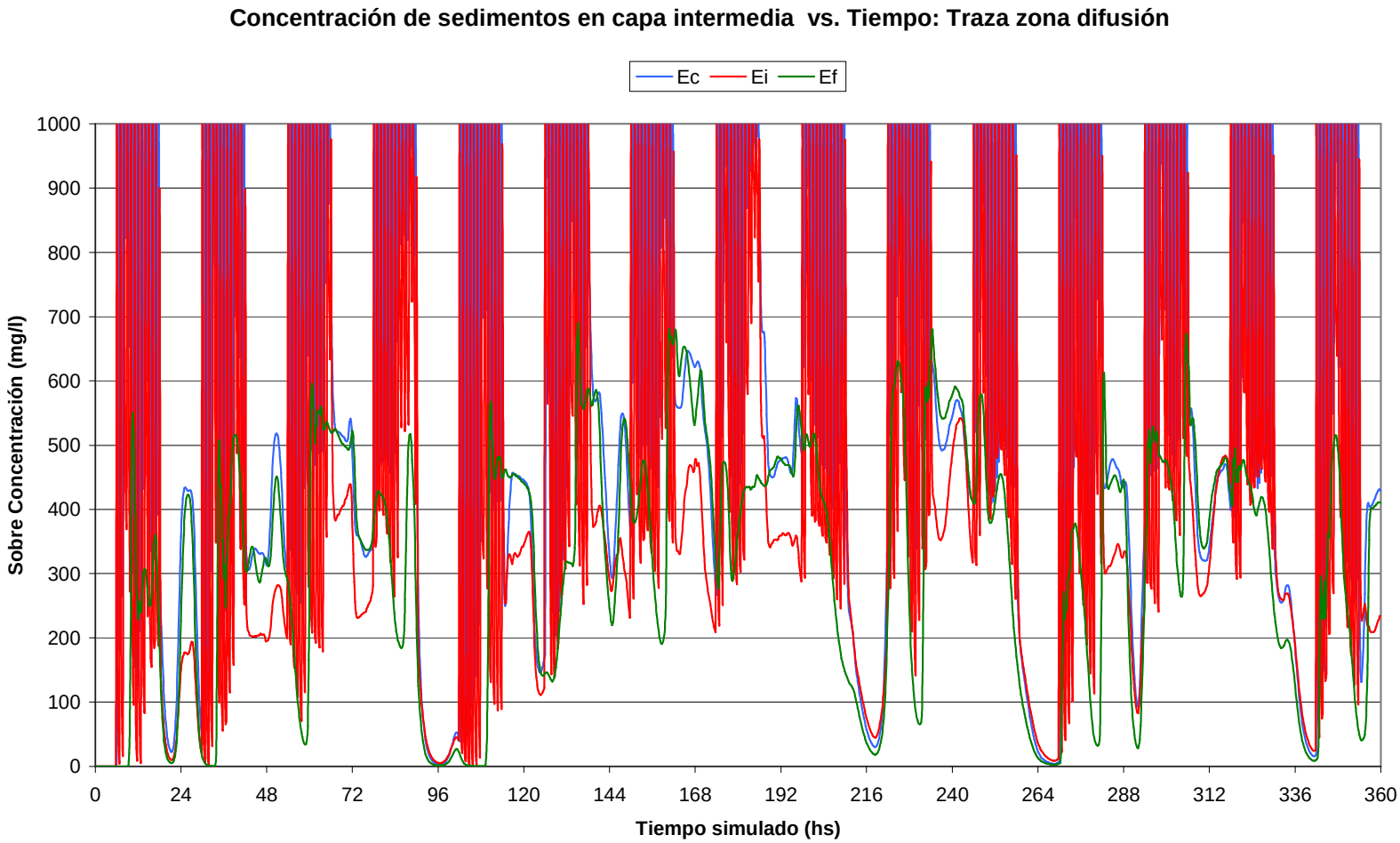

Figura A.6.6.3.1.9 – Concentración de sedimentos en la traza del emisario. Capa intermedia.

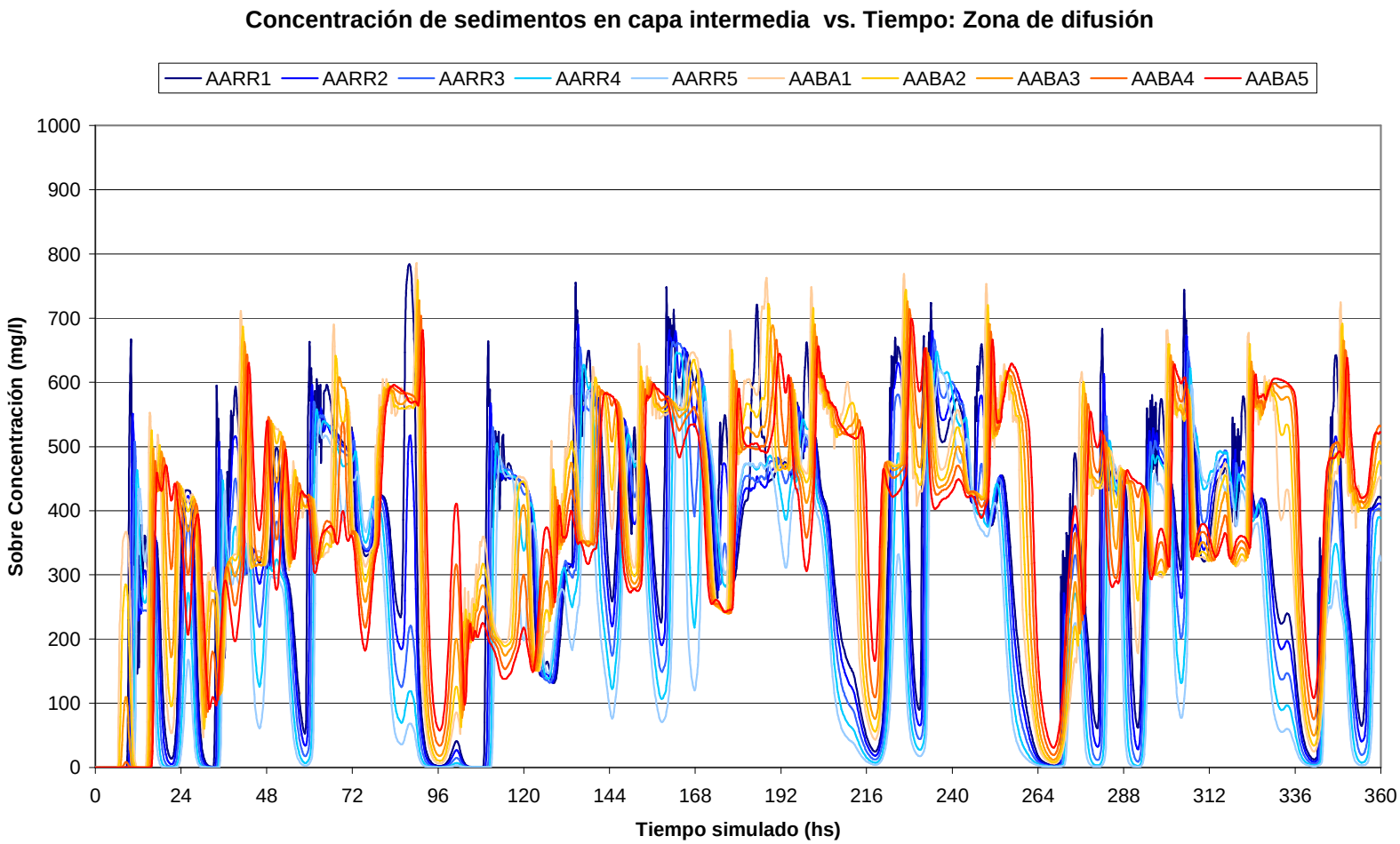

Figura A.6.6.3.1.10 – Concentración de sedimentos en la zona de difusión del emisario. Capa intermedia.

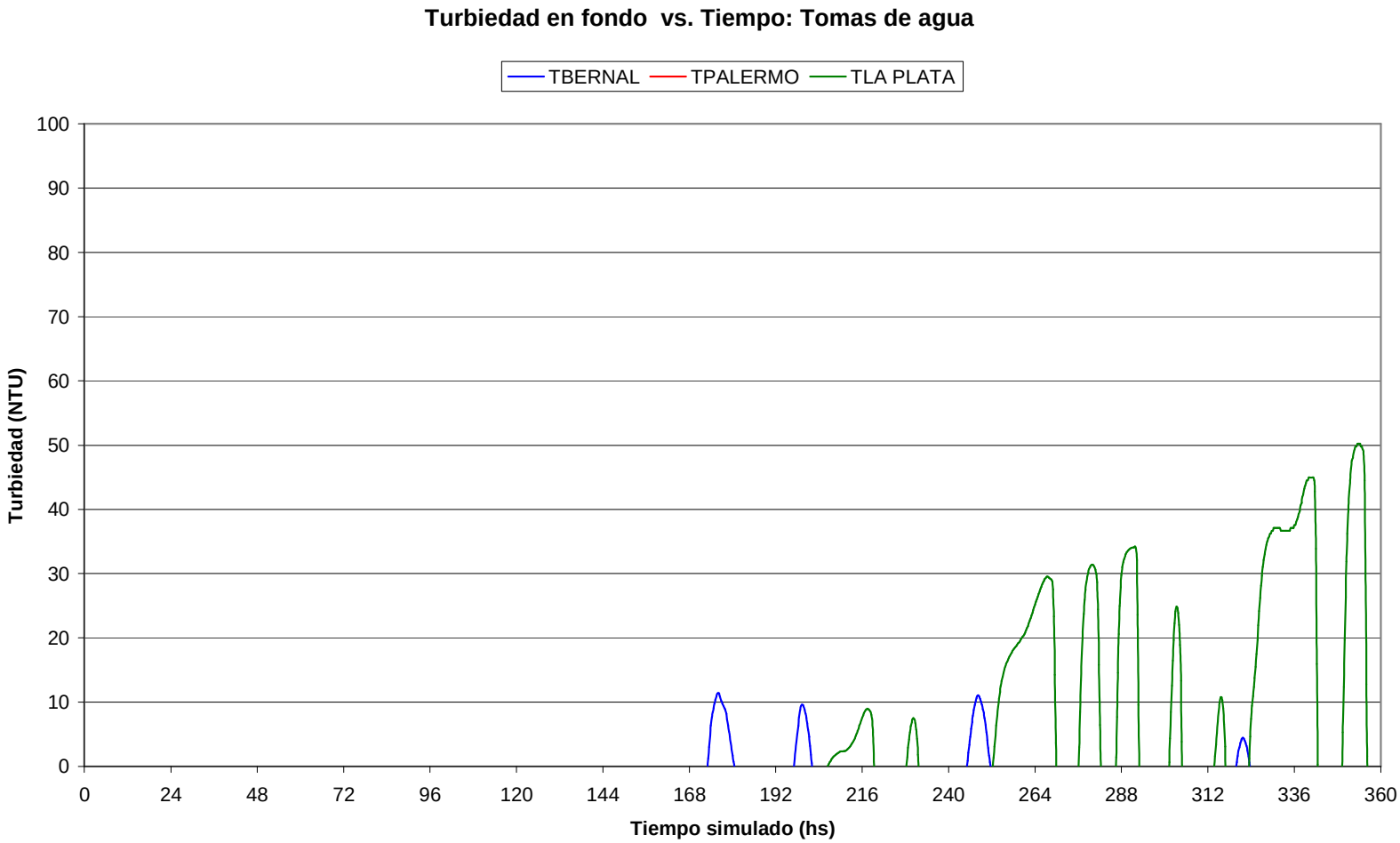

Figura A.6.6.3.1.11 – Turbiedad en tomas de agua. Capa de fondo.

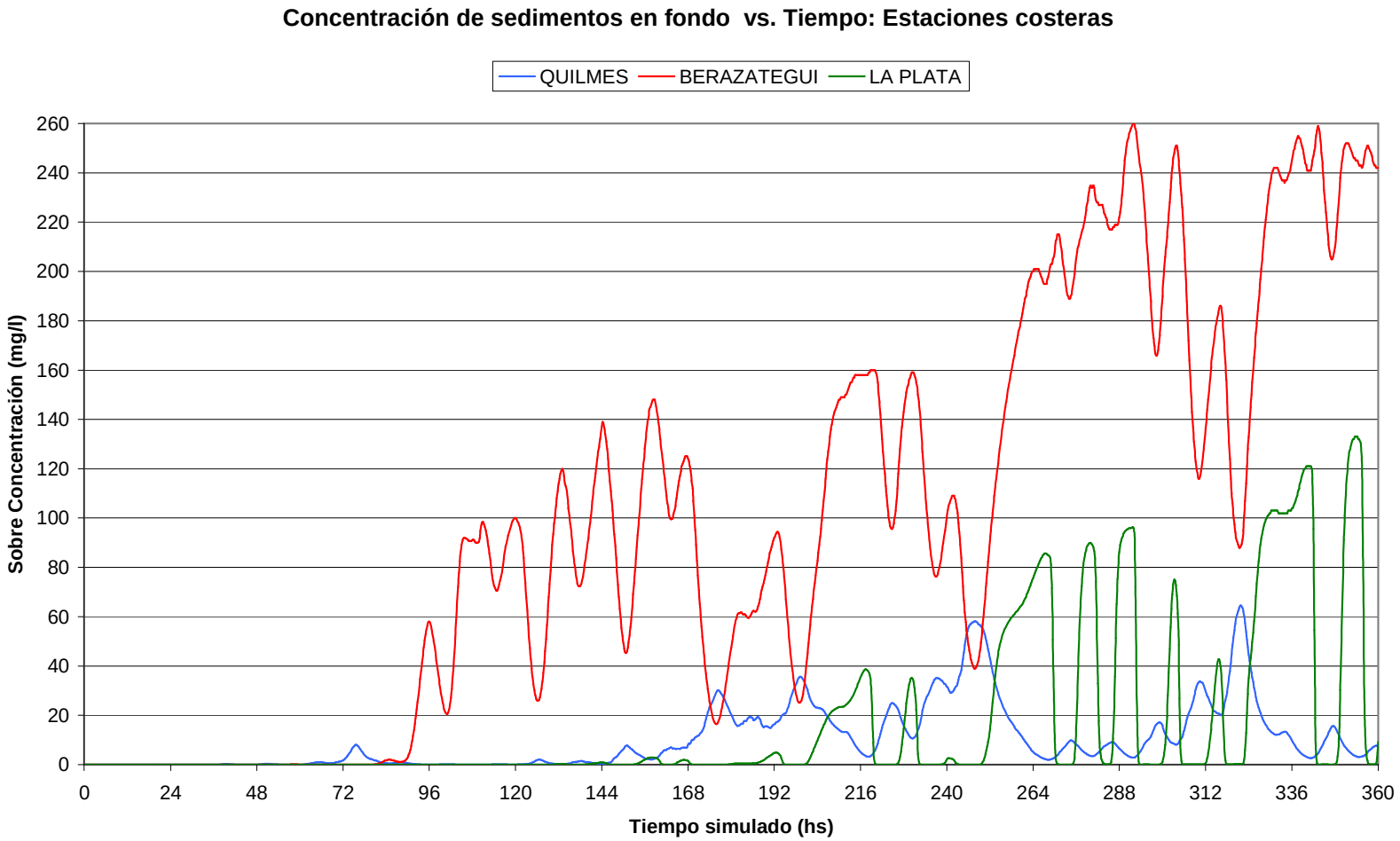

Figura A.6.6.3.1.12 – Concentración de sedimentos en áreas costeras. Capa de fondo.

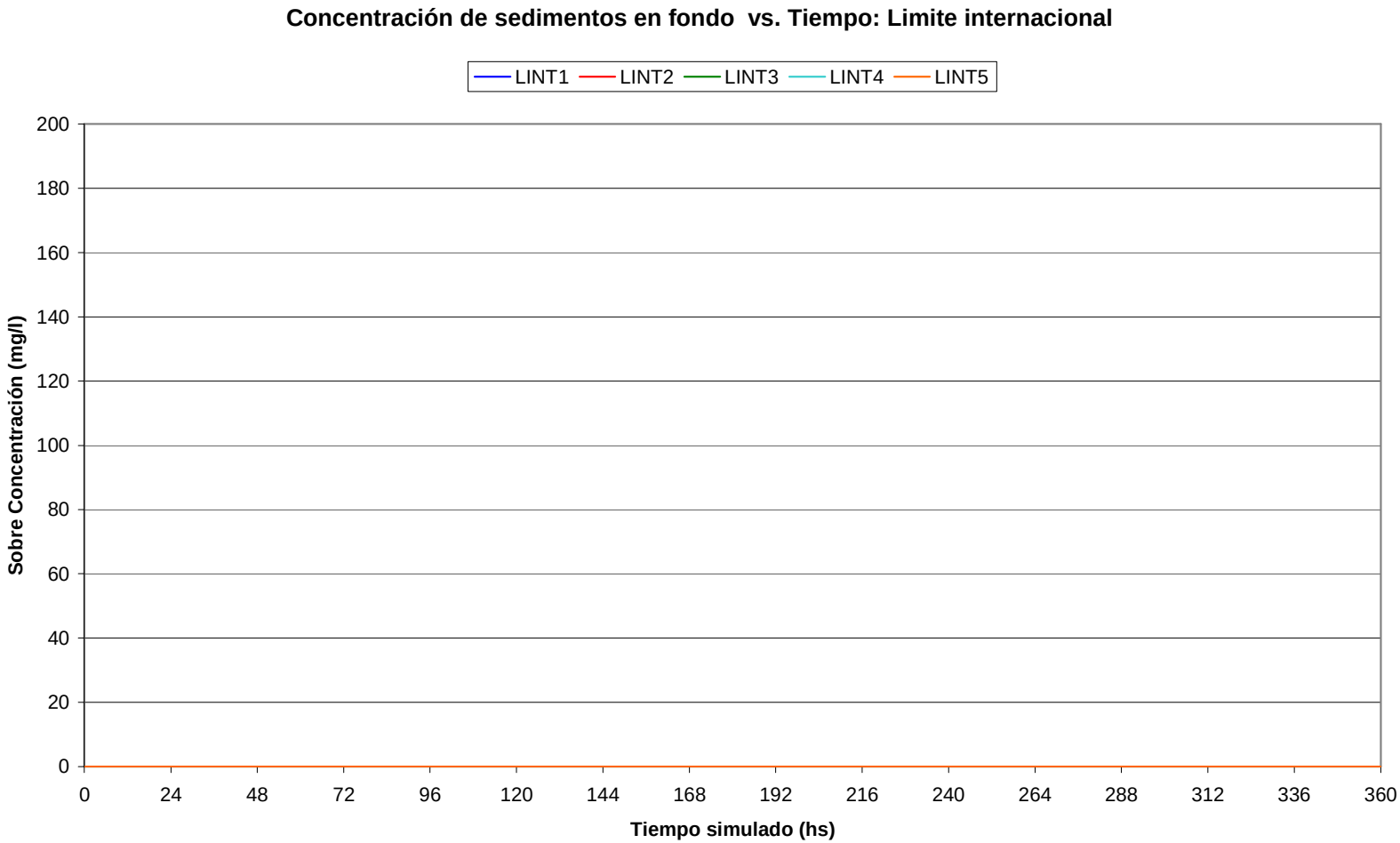

Figura A.6.6.3.1.13 – Concentración de sedimentos en el límite internacional. Capa de fondo. No se observan niveles mensurables de sobre-concentración.

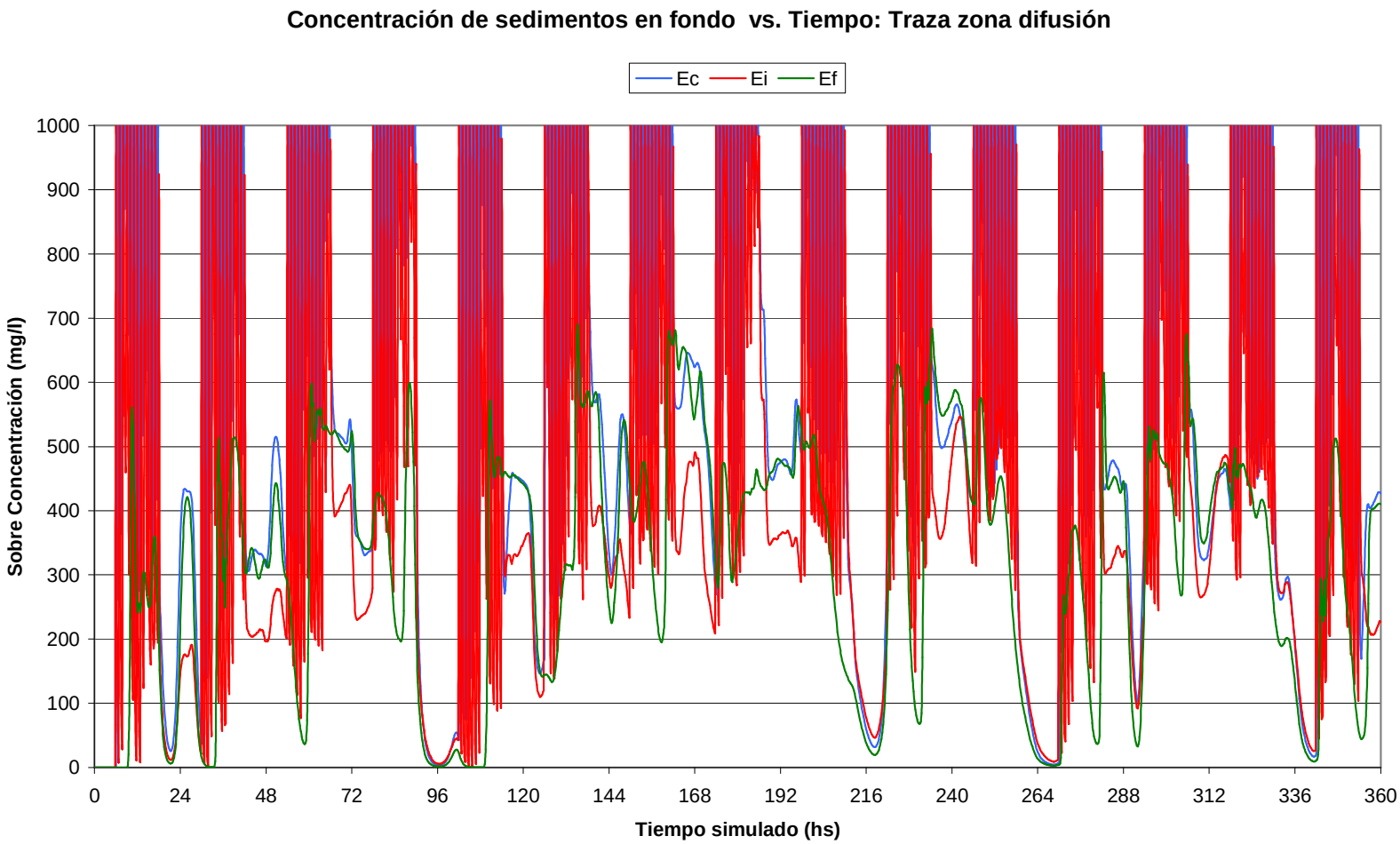

Figura A.6.6.3.1.14 – Concentración de sedimentos en la traza del emisario. Capa de fondo.

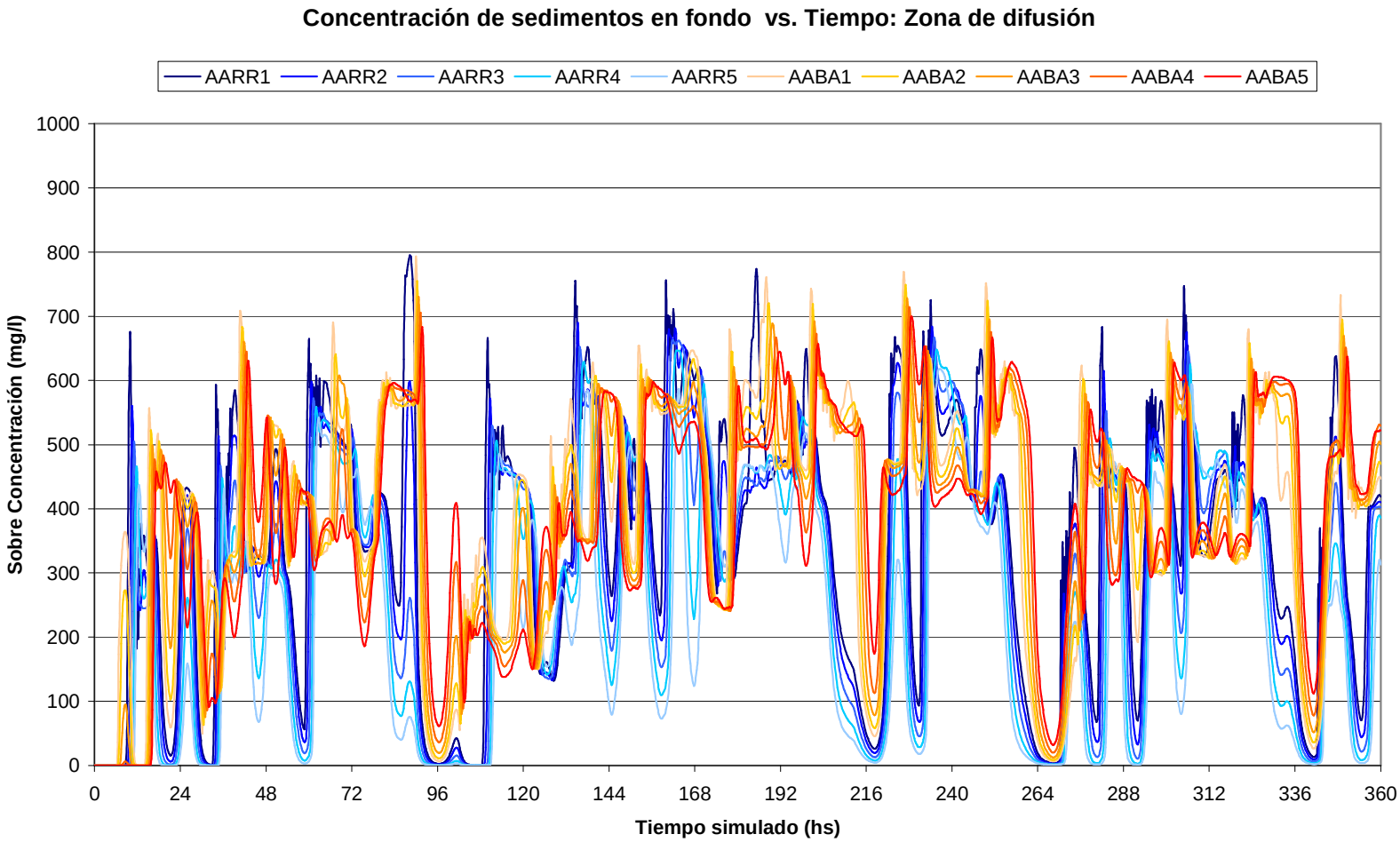

Figura A.6.6.3.1.15 – Concentración de sedimentos en la zona de difusión del emisario. Capa de fondo.

ANEXO 6.6.3.2

Dragado con refulado in-situ mediante cañón proyector en emisario Berazategui

Distribución espacial de concentraciones y material sedimentado.

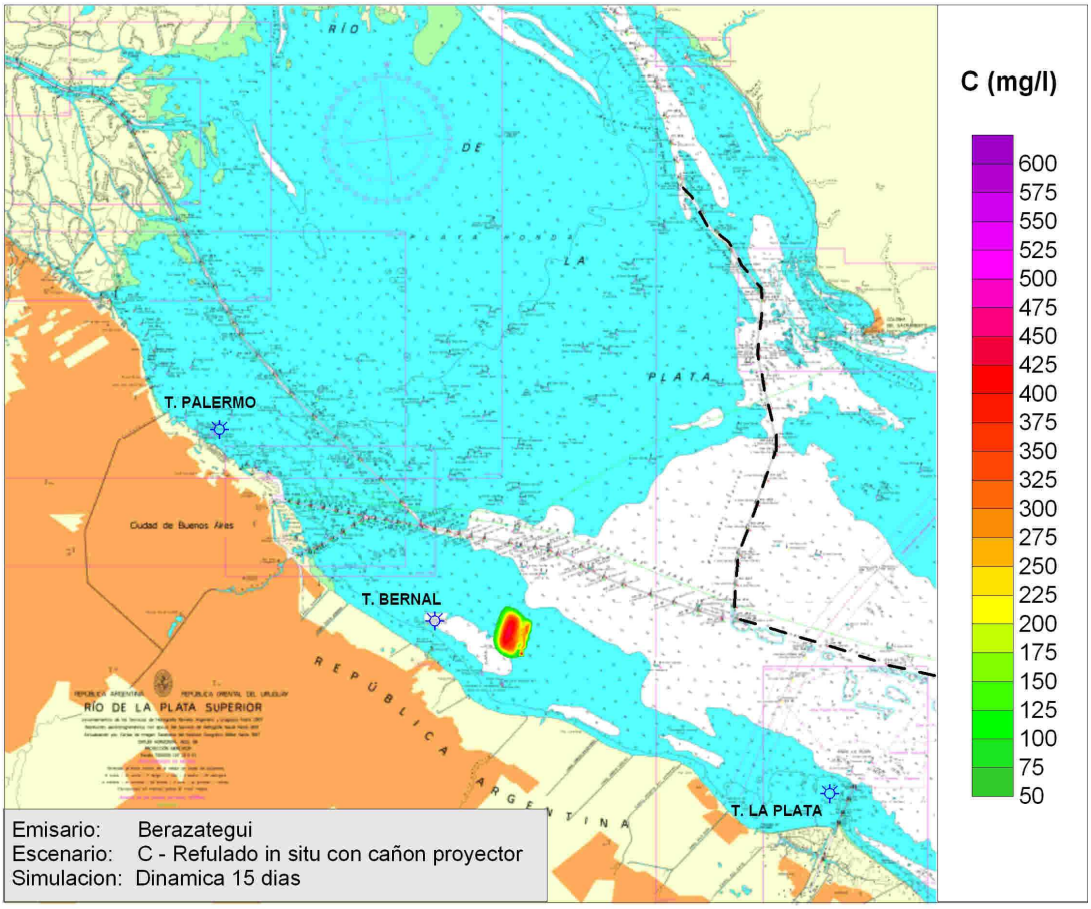

Figura A.6.6.3.2.1 – Distribución superficial de la concentración: día 1 hora 12.

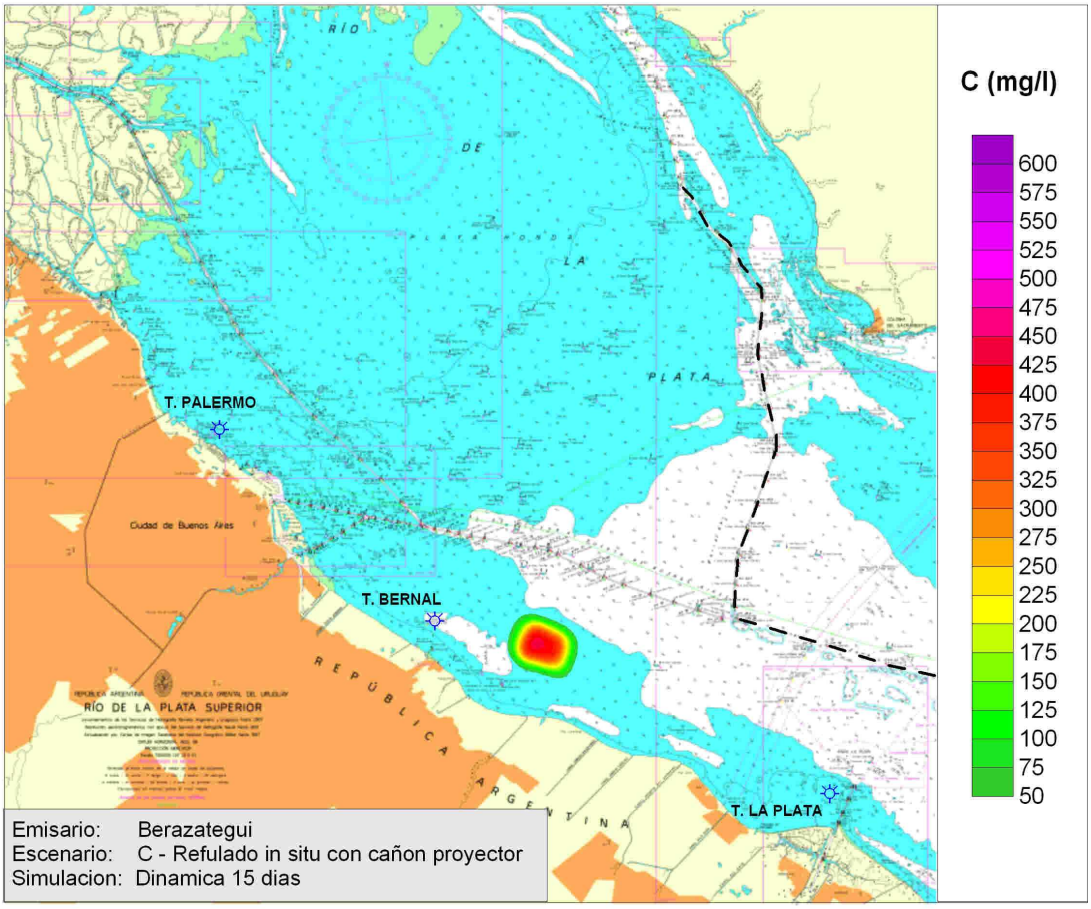

Figura A.6.6.3.2.2 – Distribución superficial de la concentración: día 1 hora 24.

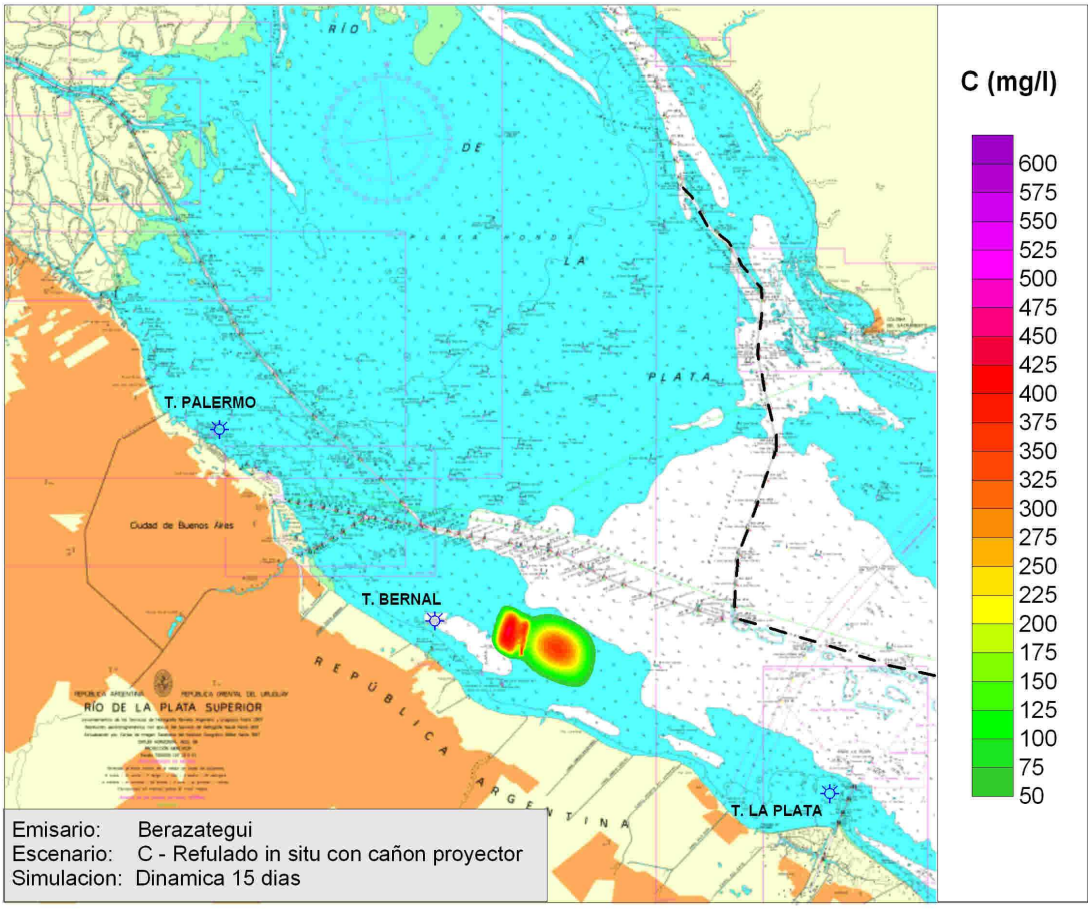

Figura A.6.6.3.2.3 – Distribución superficial de la concentración: día 2 hora 12.

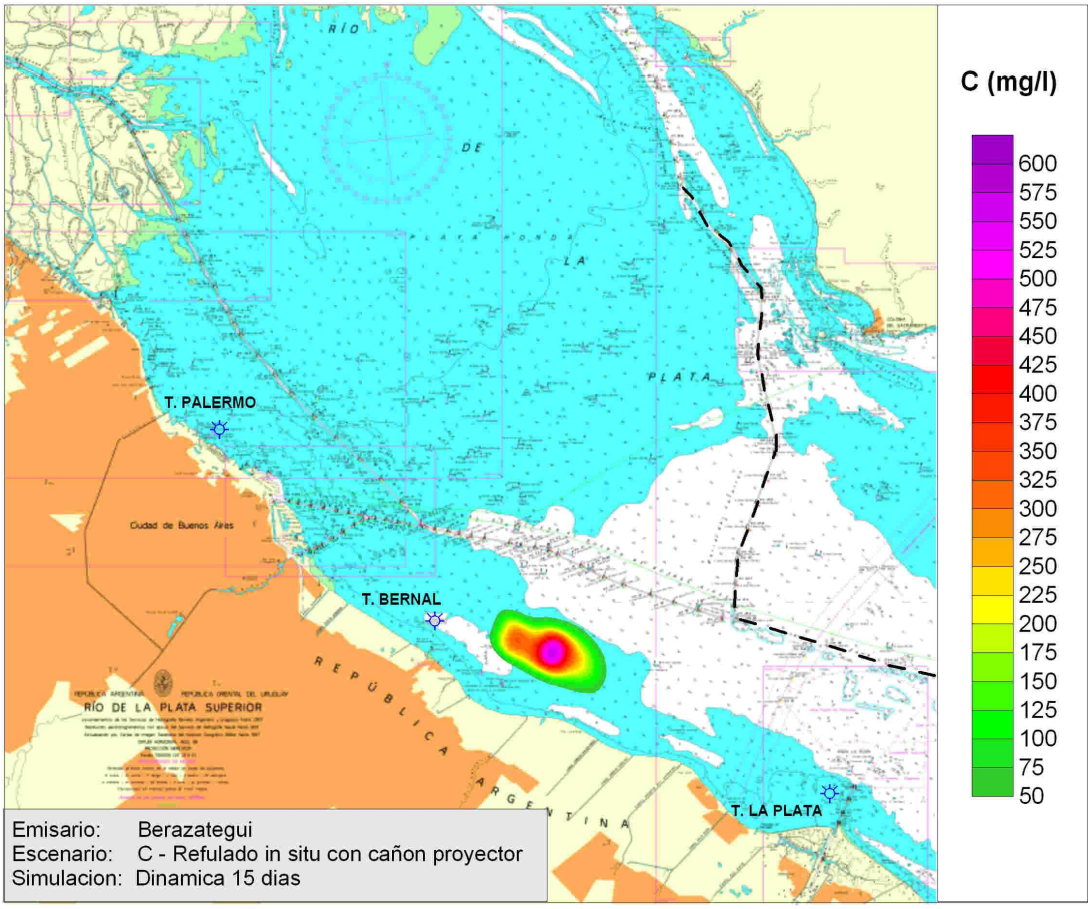

Figura A.6.6.3.2.4 – Distribución superficial de la concentración: día 2 hora 24.

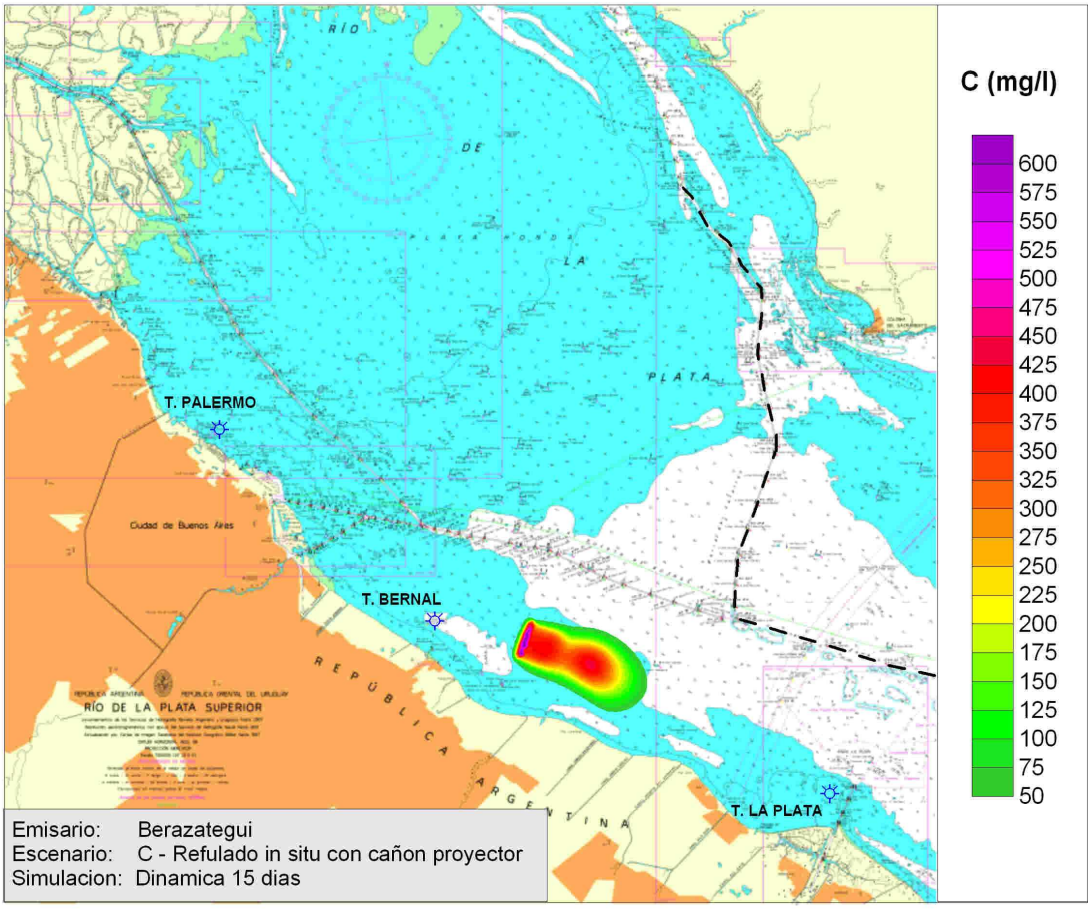

Figura A.6.6.3.2.5 – Distribución superficial de la concentración: día 3 hora 12.

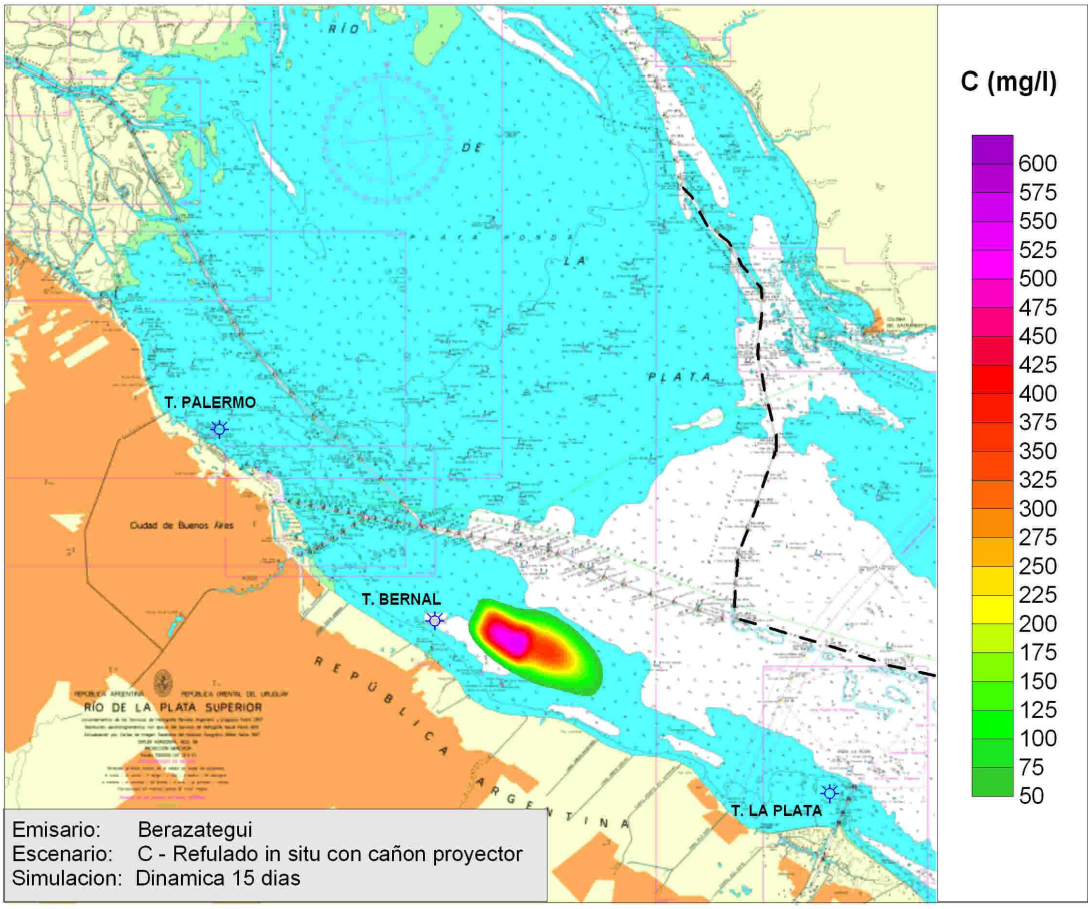

Figura A.6.6.3.2.6 – Distribución superficial de la concentración: día 3 hora 24.

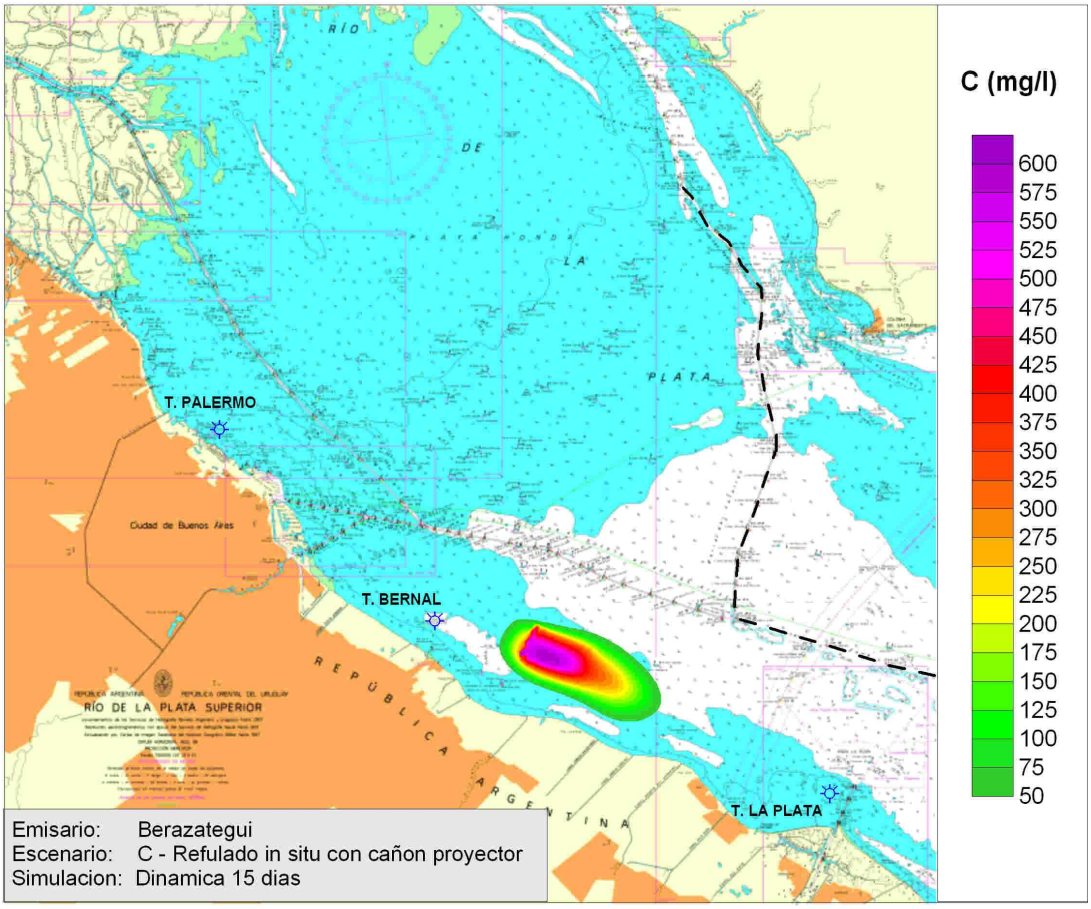

Figura A.6.6.3.2.7 – Distribución superficial de la concentración: día 4 hora 12.

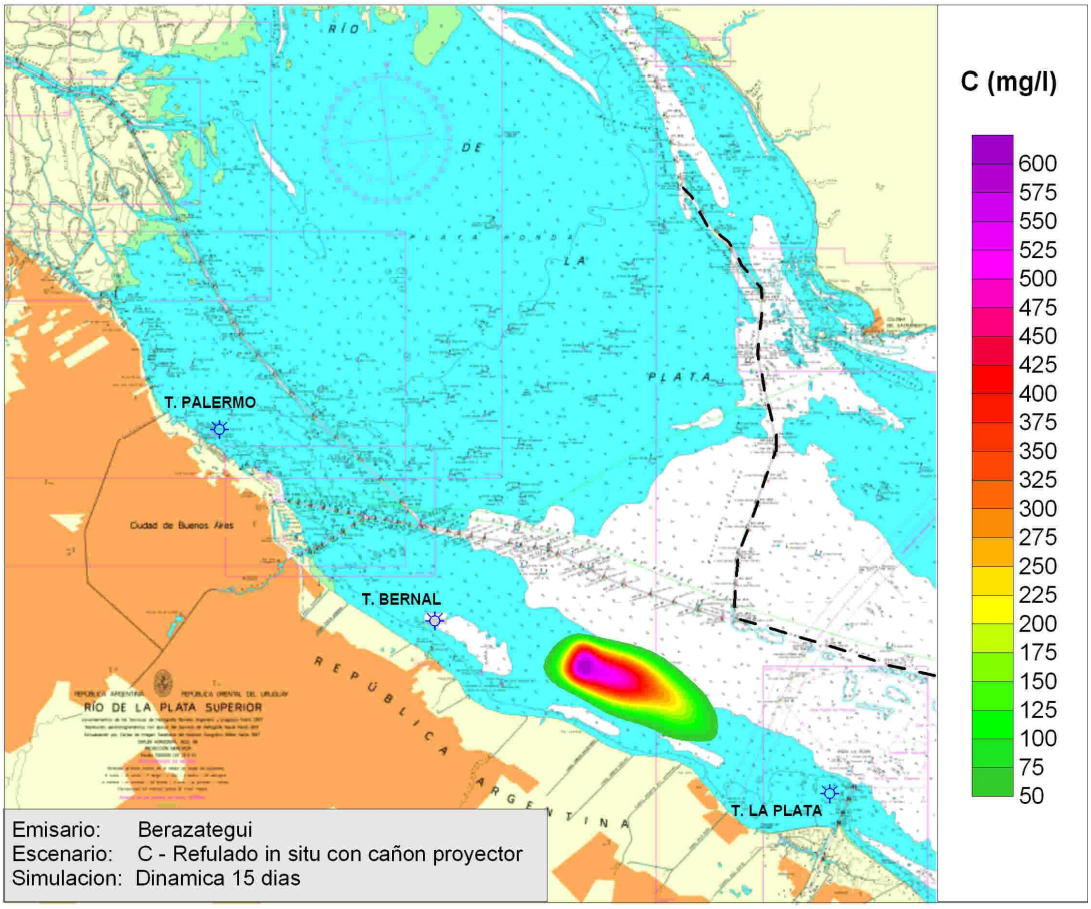

Figura A.6.6.3.2.8 – Distribución superficial de la concentración: día 4 hora 24.

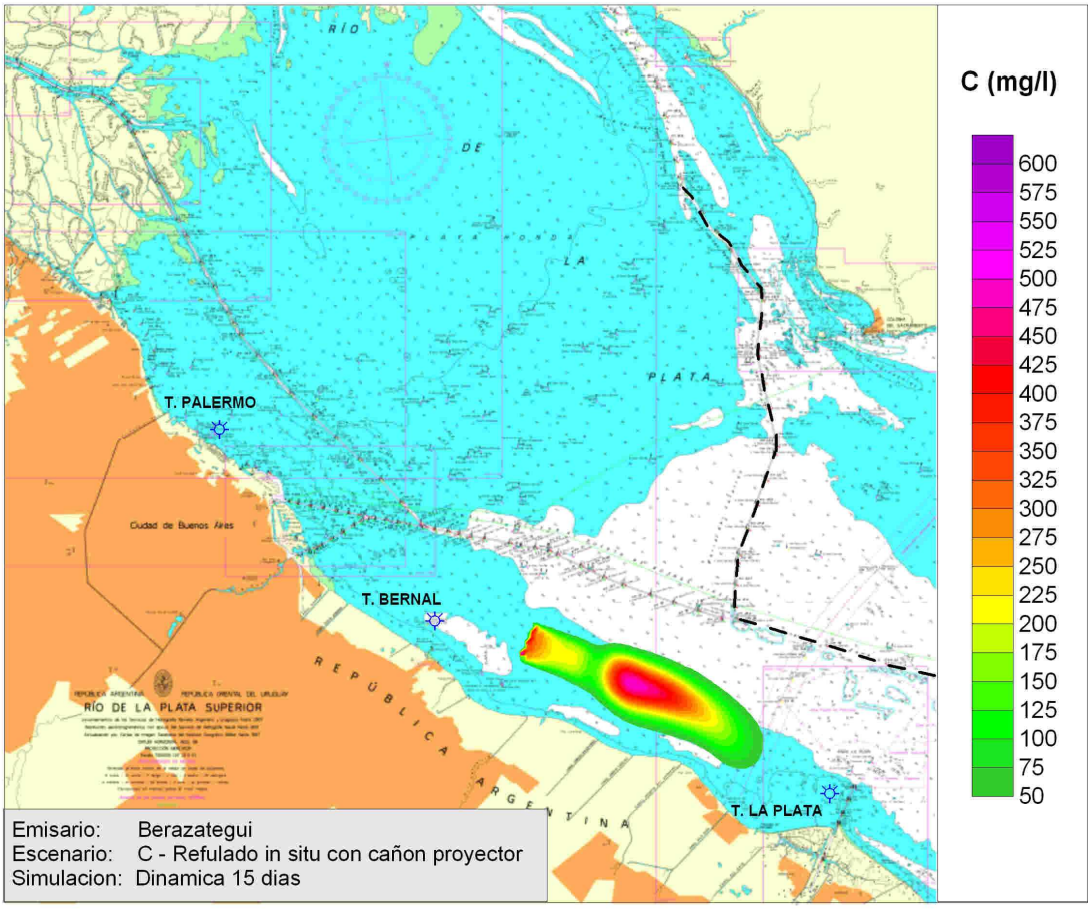

Figura A.6.6.3.2.9 – Distribución superficial de la concentración: día 5 hora 12.

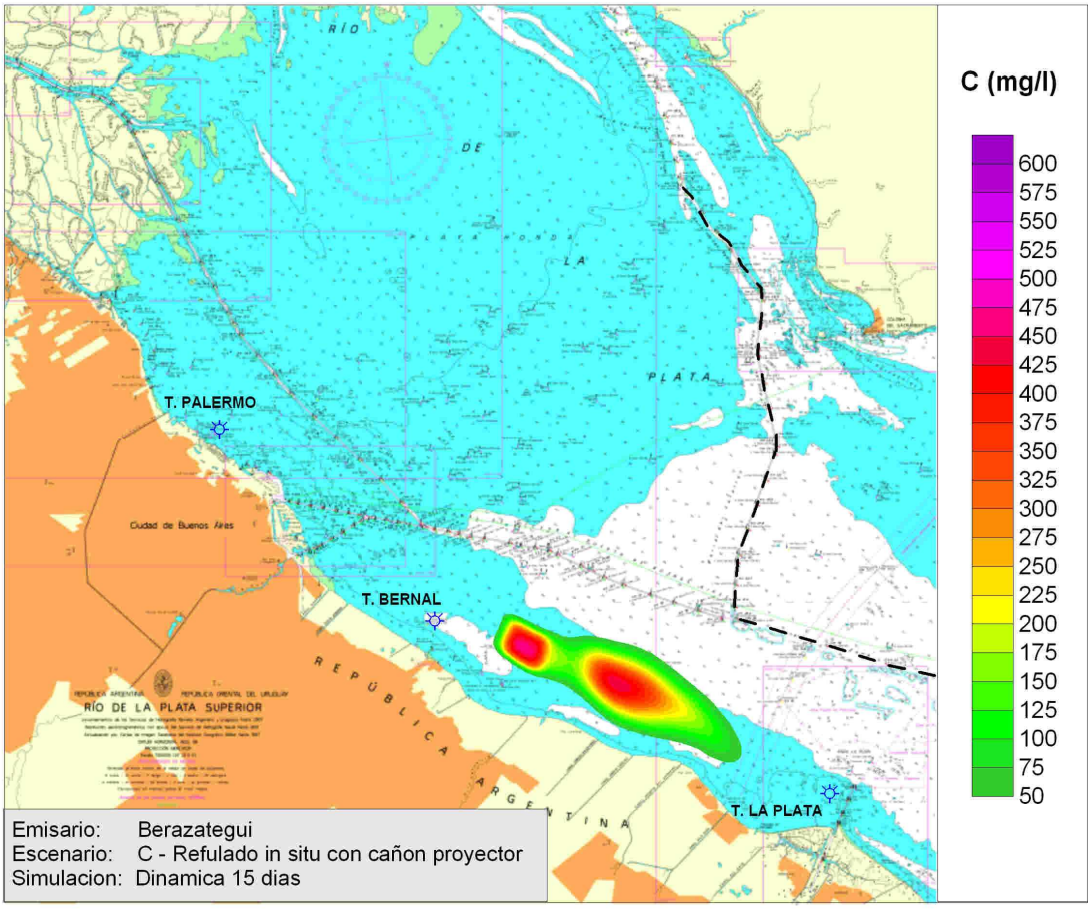

Figura A.6.6.3.2.10 – Distribución superficial de la concentración: día 5 hora 24.

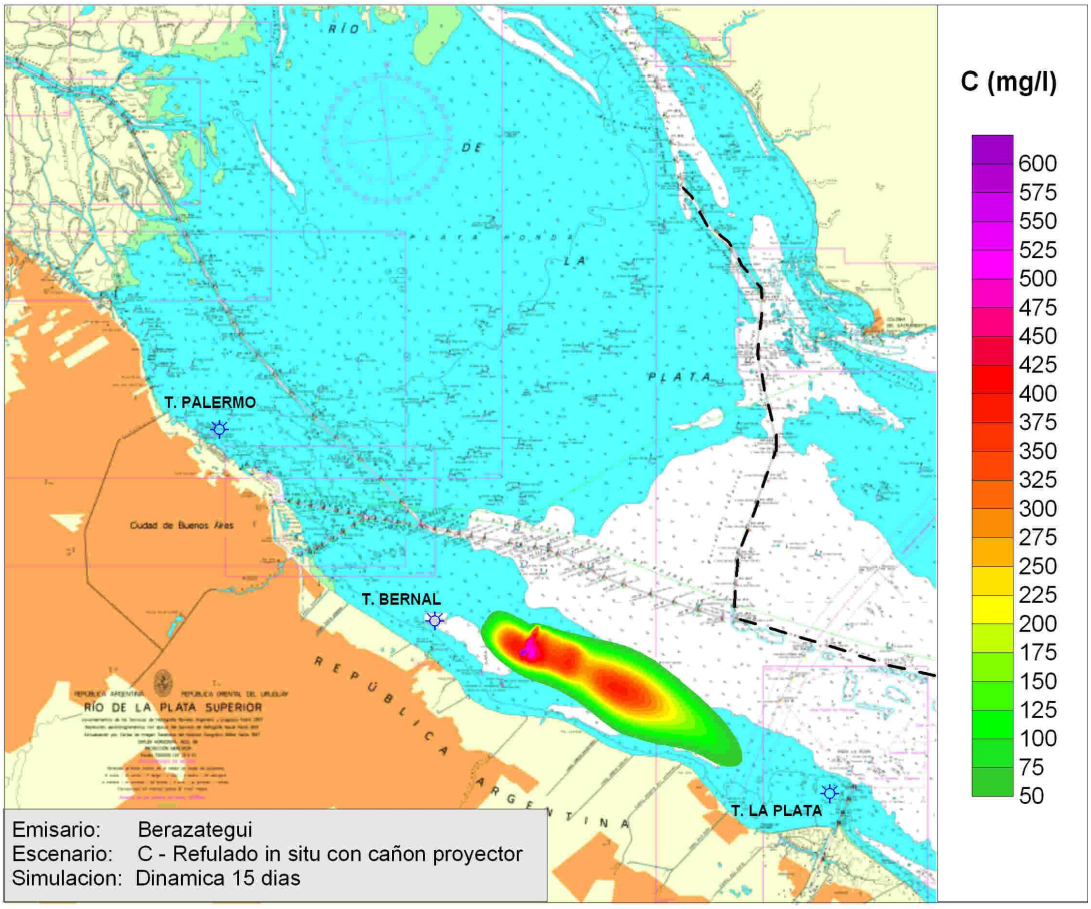

Figura A.6.6.3.2.11 – Distribución superficial de la concentración: día 6 hora 12.

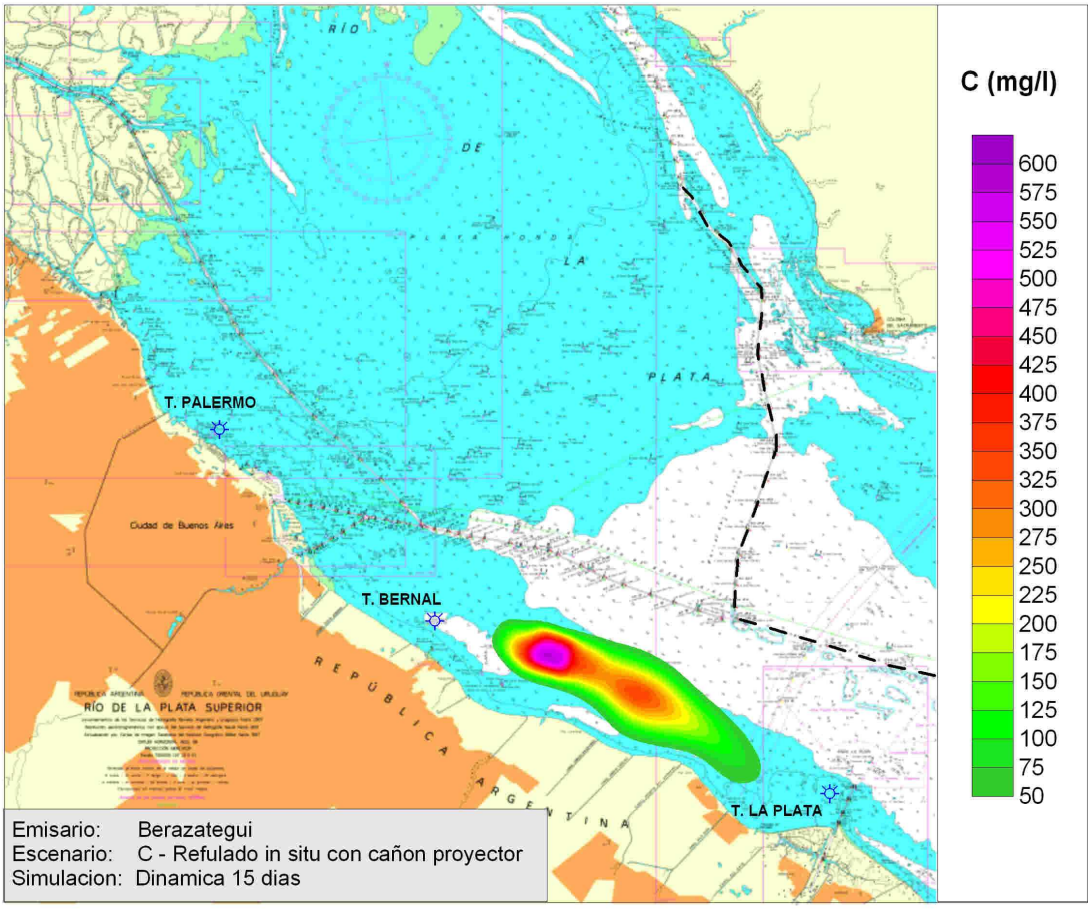

Figura A.6.6.3.2.12 – Distribución superficial de la concentración: día 6 hora 24.

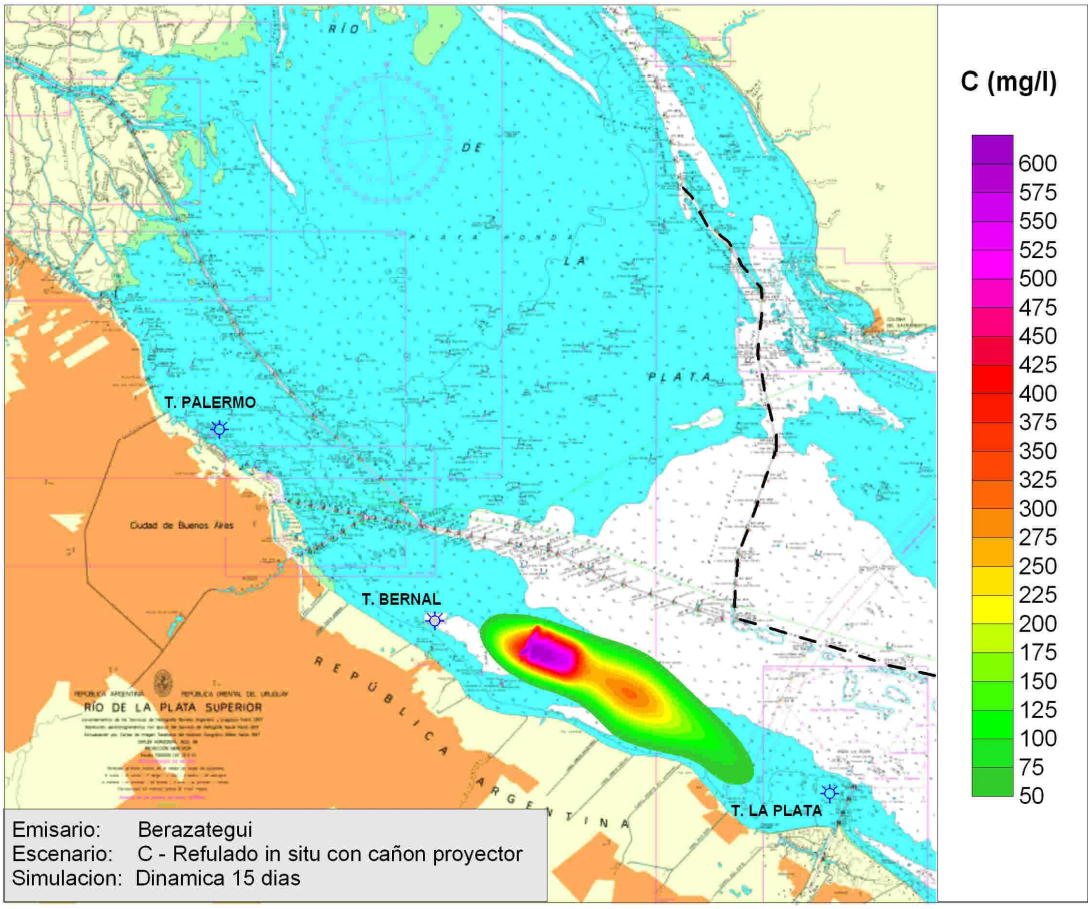

Figura A.6.6.3.2.13 – Distribución superficial de la concentración: día 7 hora 12.

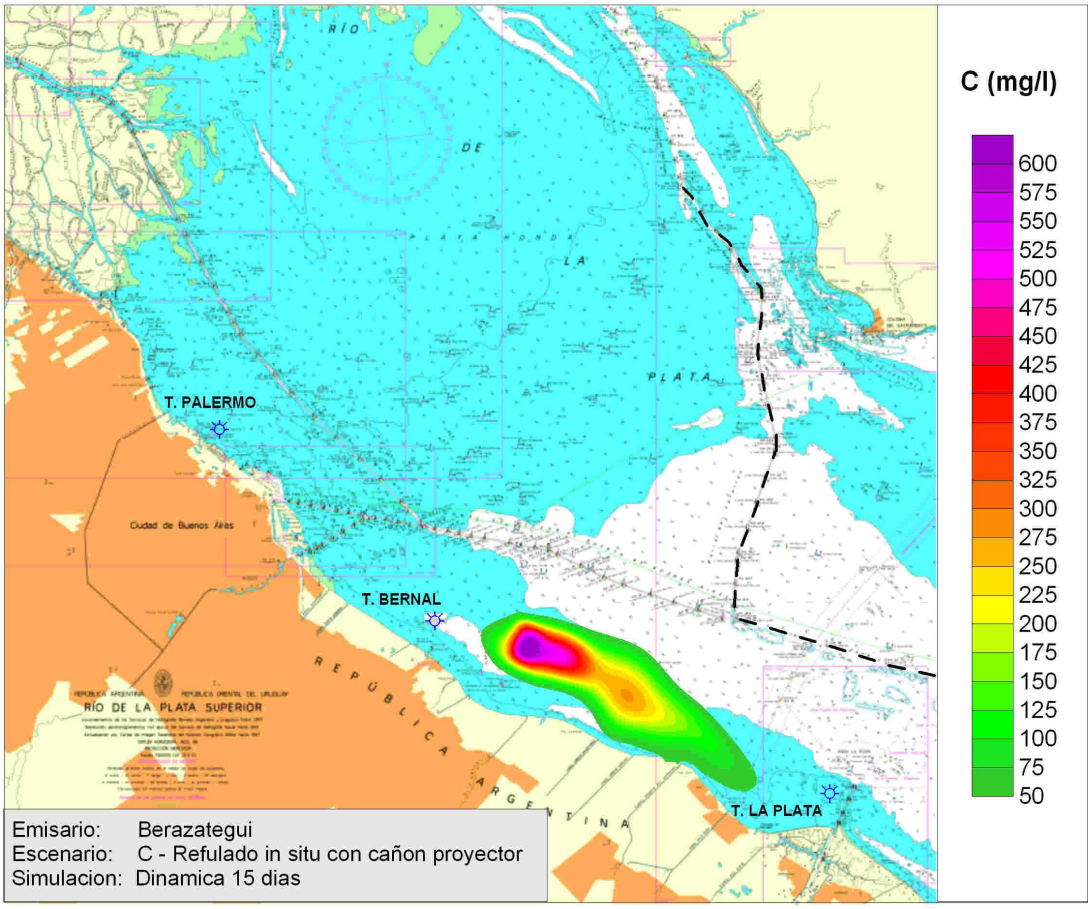

Figura A.6.6.3.2.14 – Distribución superficial de la concentración: día 7 hora 24.

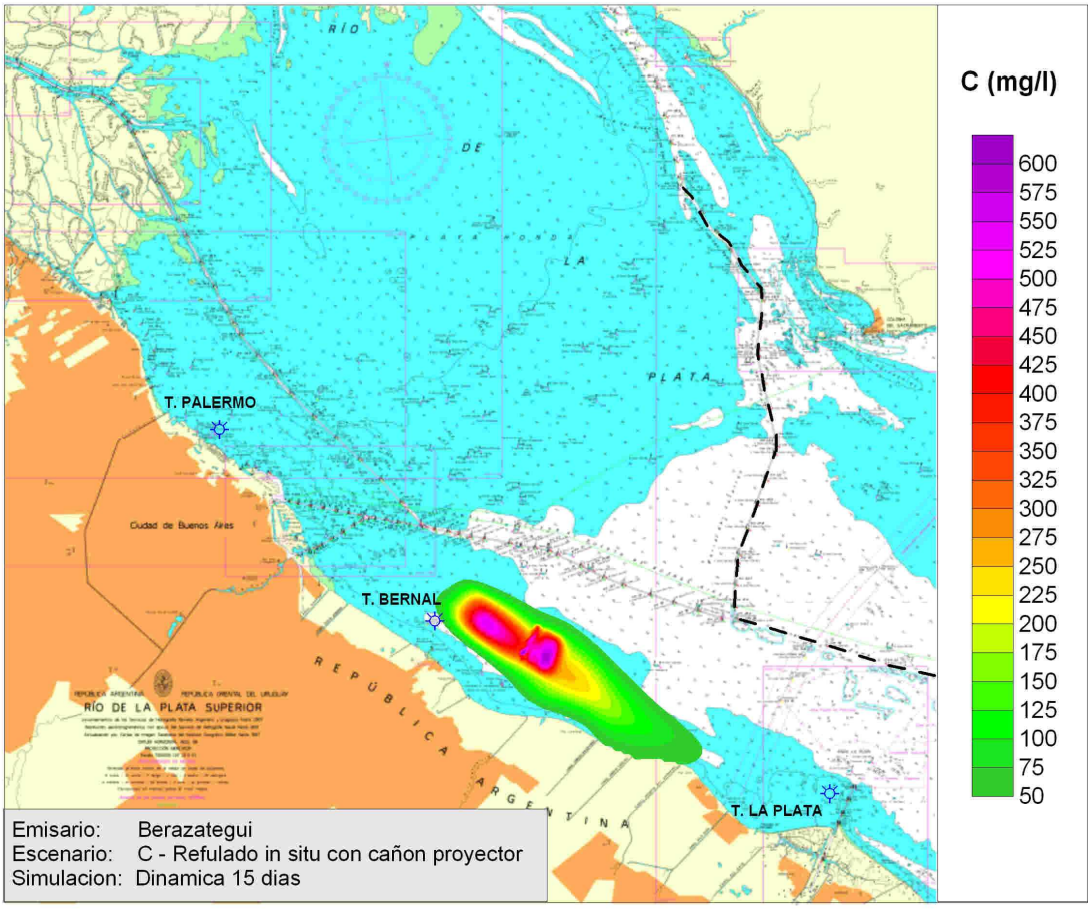

Figura A.6.6.3.2.15 – Distribución superficial de la concentración: día 8 hora 12.

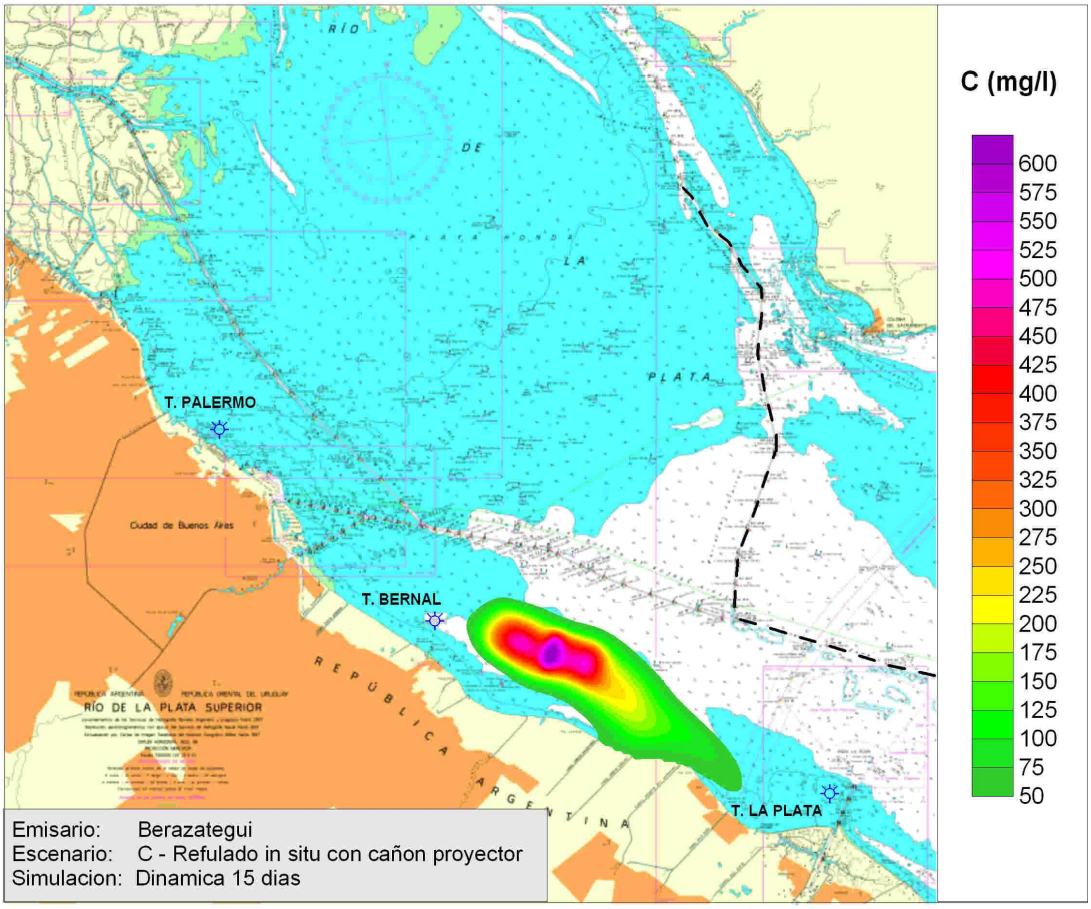

Figura A.6.6.3.2.16 – Distribución superficial de la concentración: día 8 hora 24.

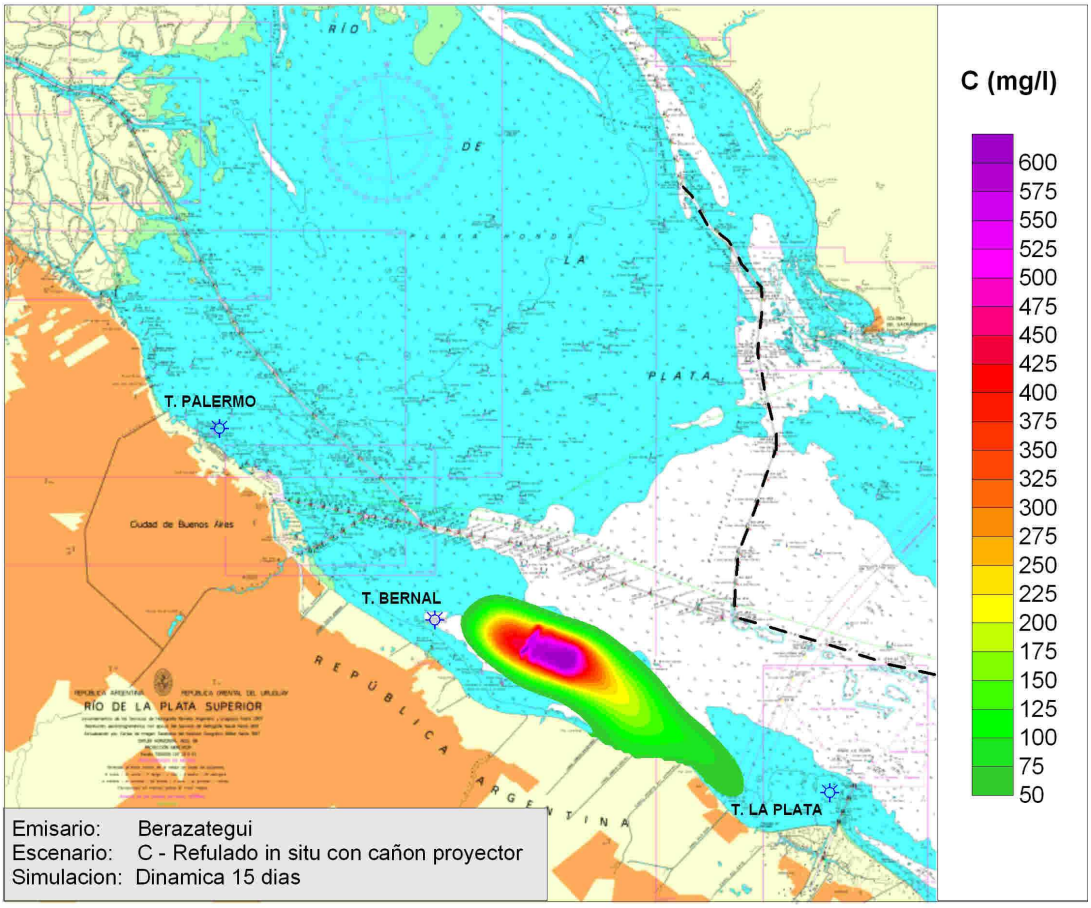

Figura A.6.6.3.2.17 – Distribución superficial de la concentración: día 9 hora 12.

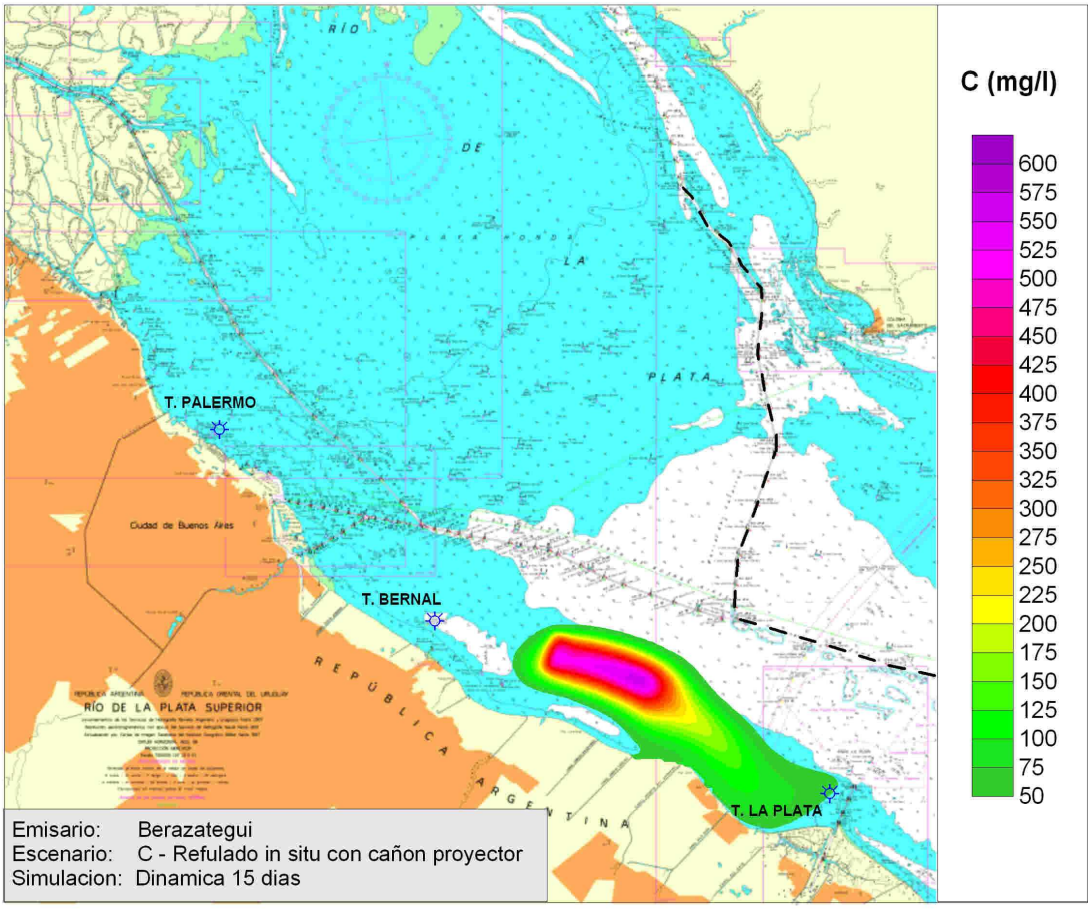

Figura A.6.6.3.2.18 – Distribución superficial de la concentración: día 9 hora 24.

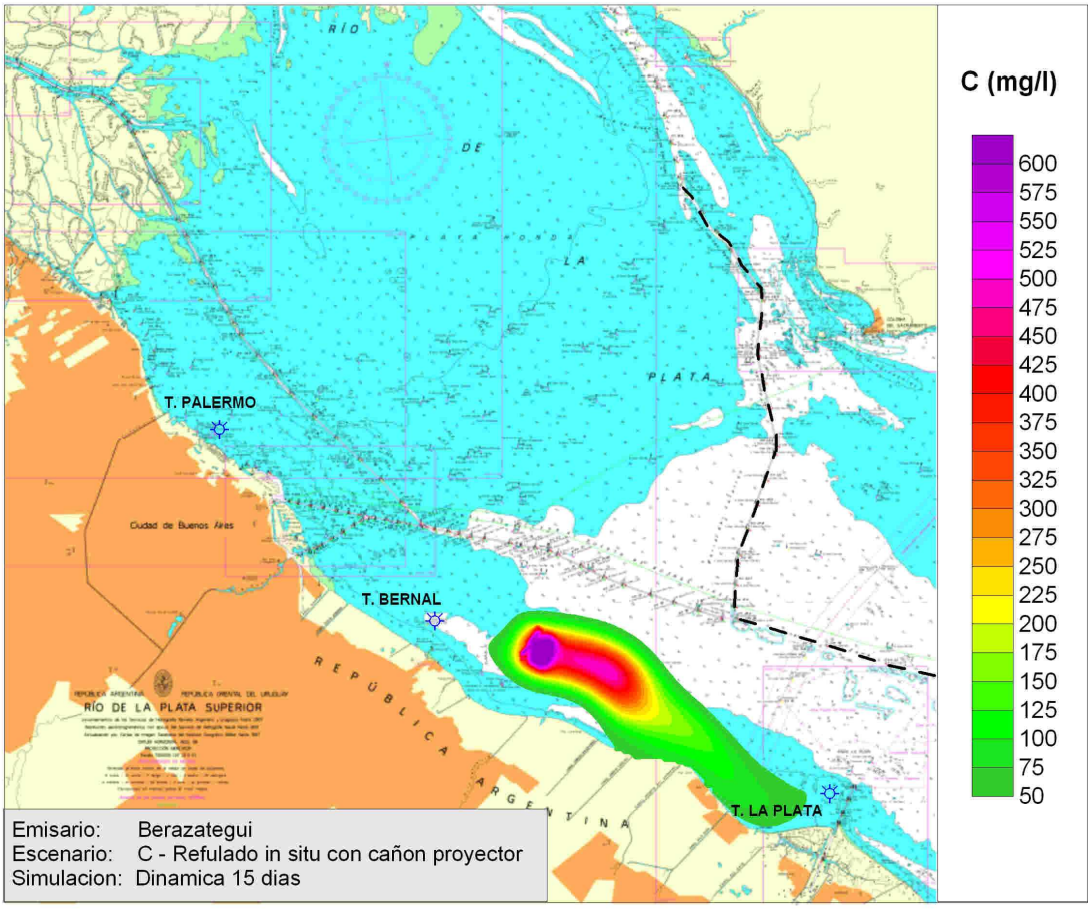

Figura A.6.6.3.2.19 – Distribución superficial de la concentración: día 10 hora 12.

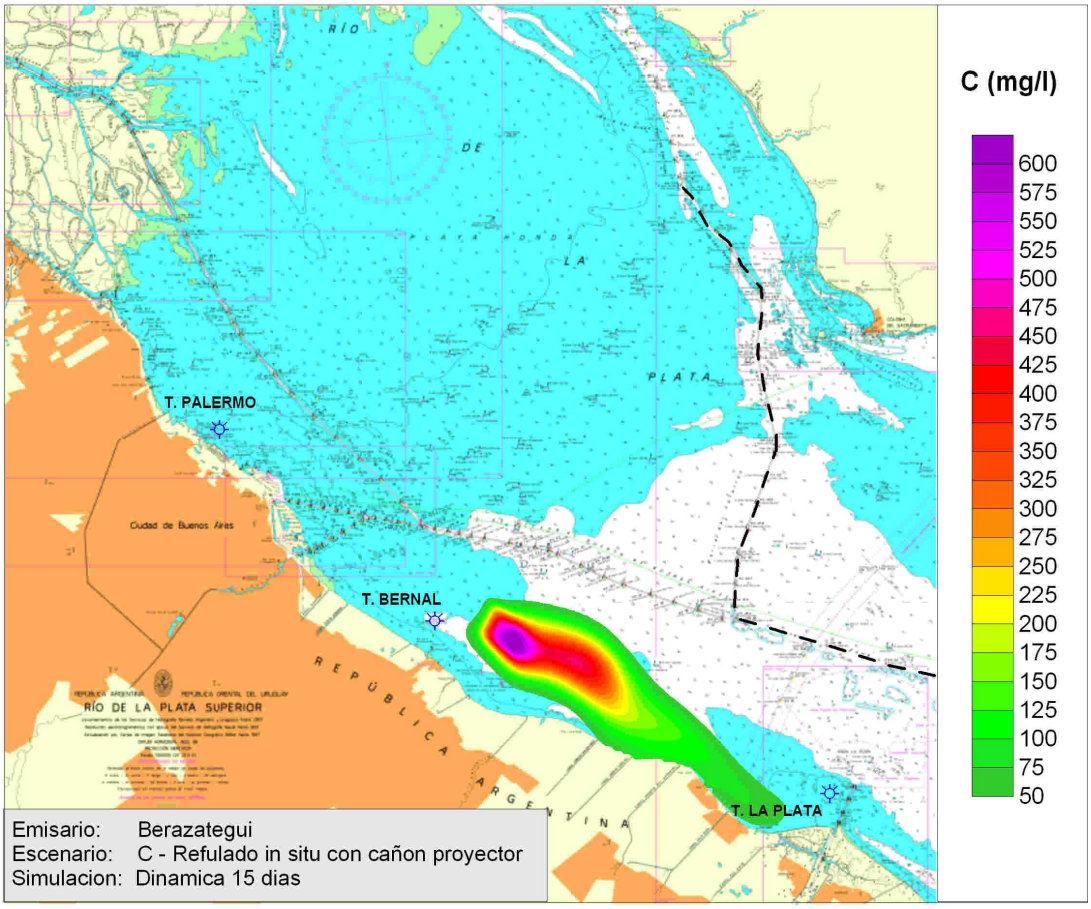

Figura A.6.6.3.2.20 – Distribución superficial de la concentración: día 10 hora 24.

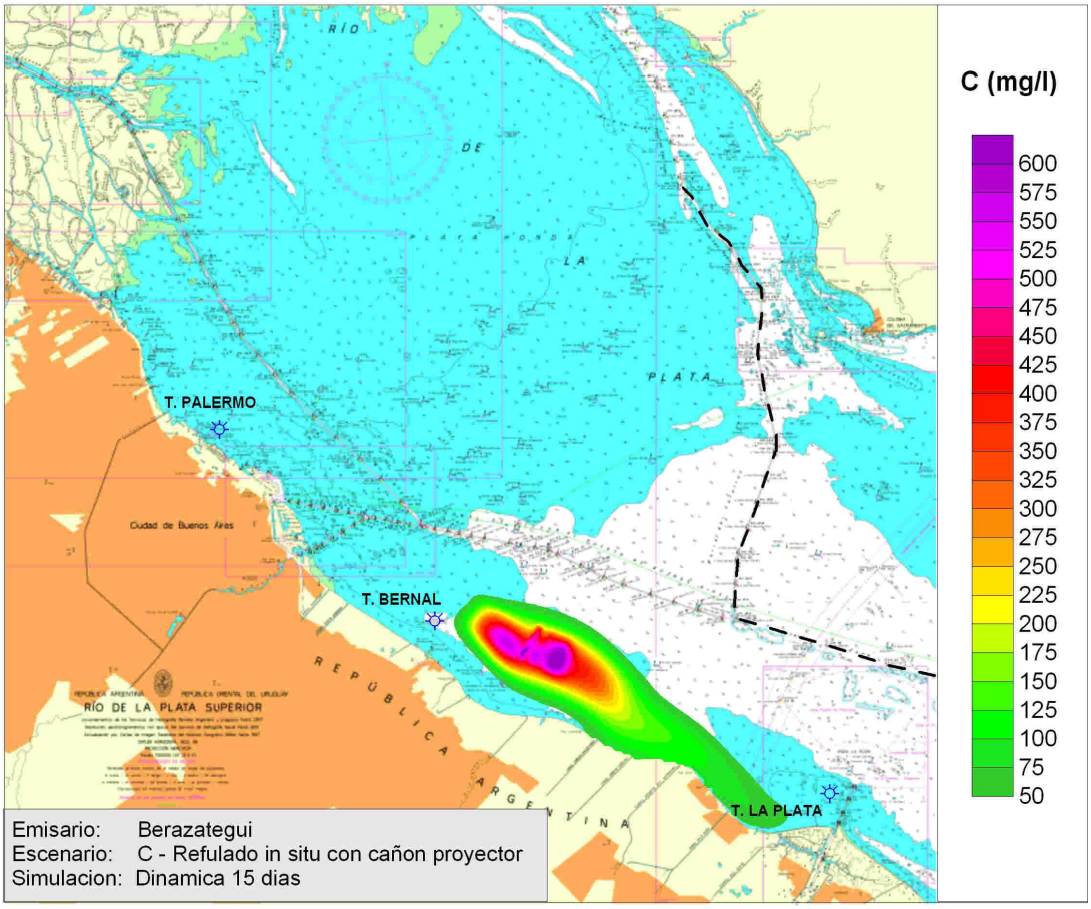

Figura A.6.6.3.2.21 – Distribución superficial de la concentración: día 11 hora 12.

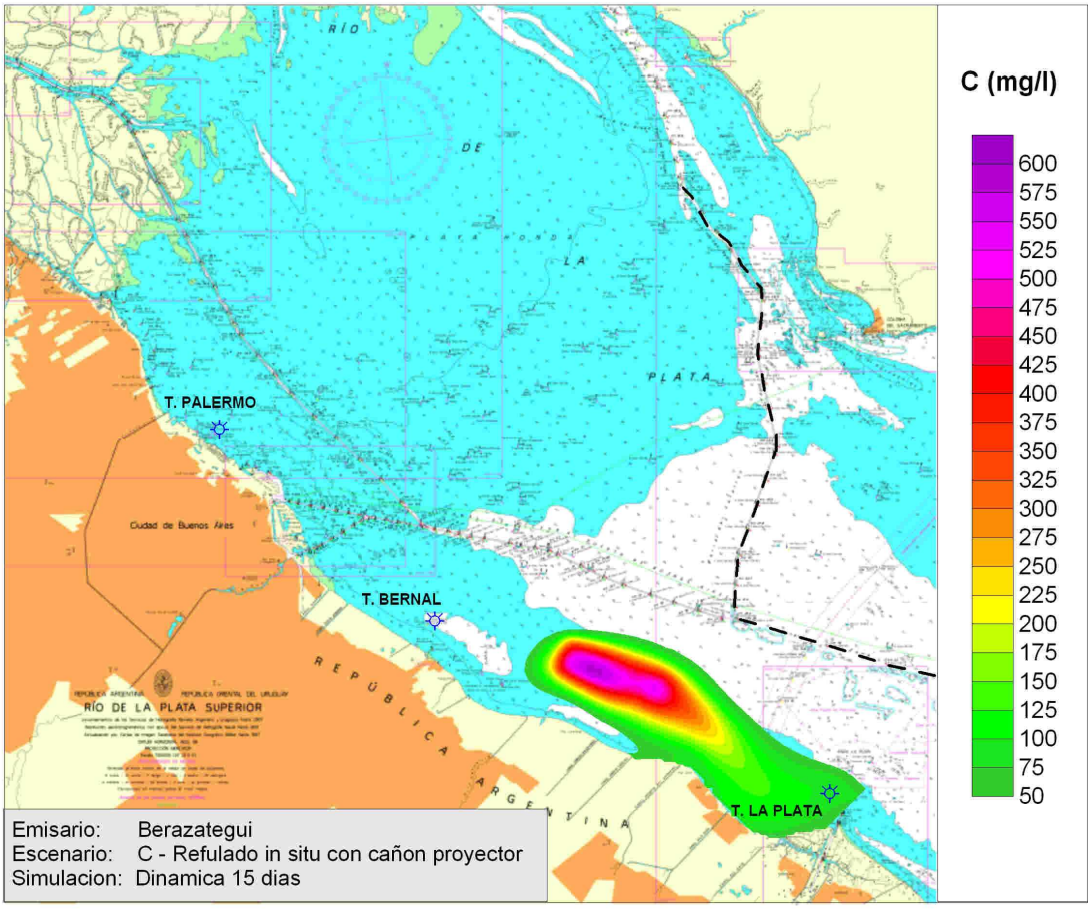

Figura A.6.6.3.2.22 – Distribución superficial de la concentración: día 11 hora 24.

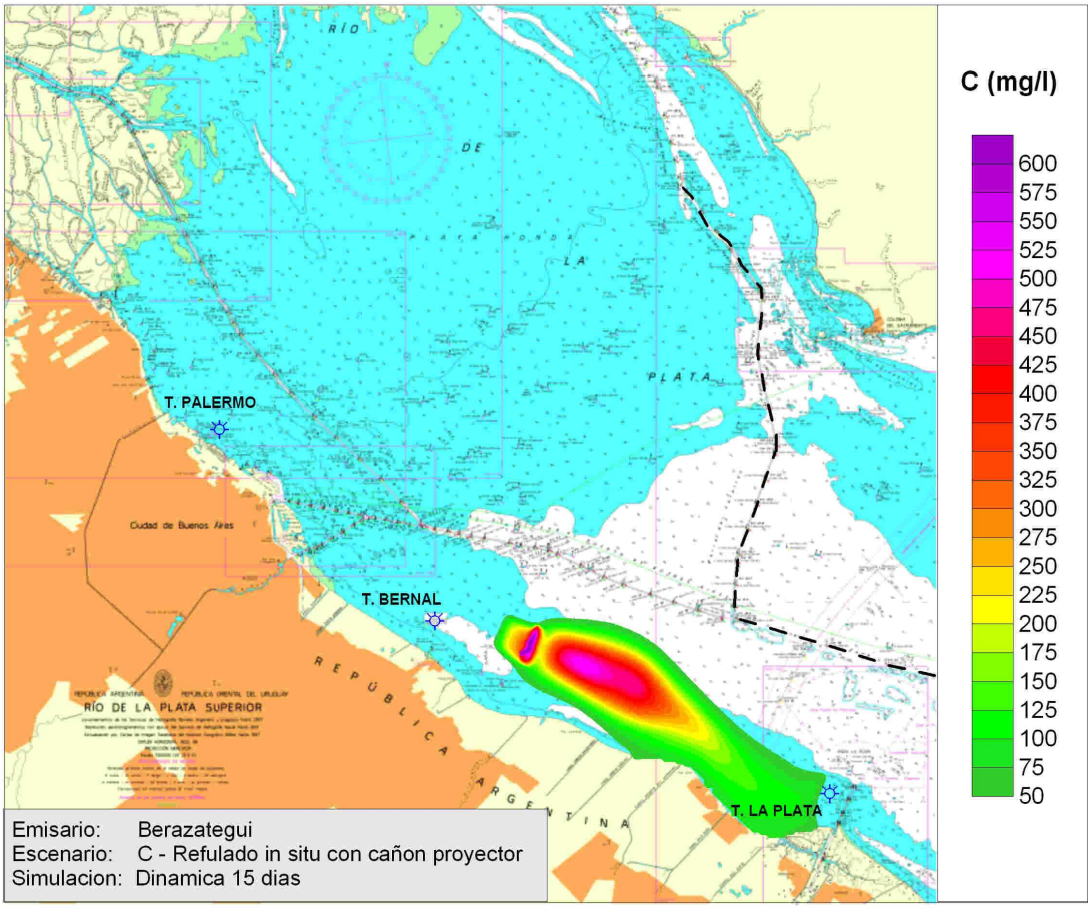

Figura A.6.6.3.2.23 – Distribución superficial de la concentración: día 12 hora 12.

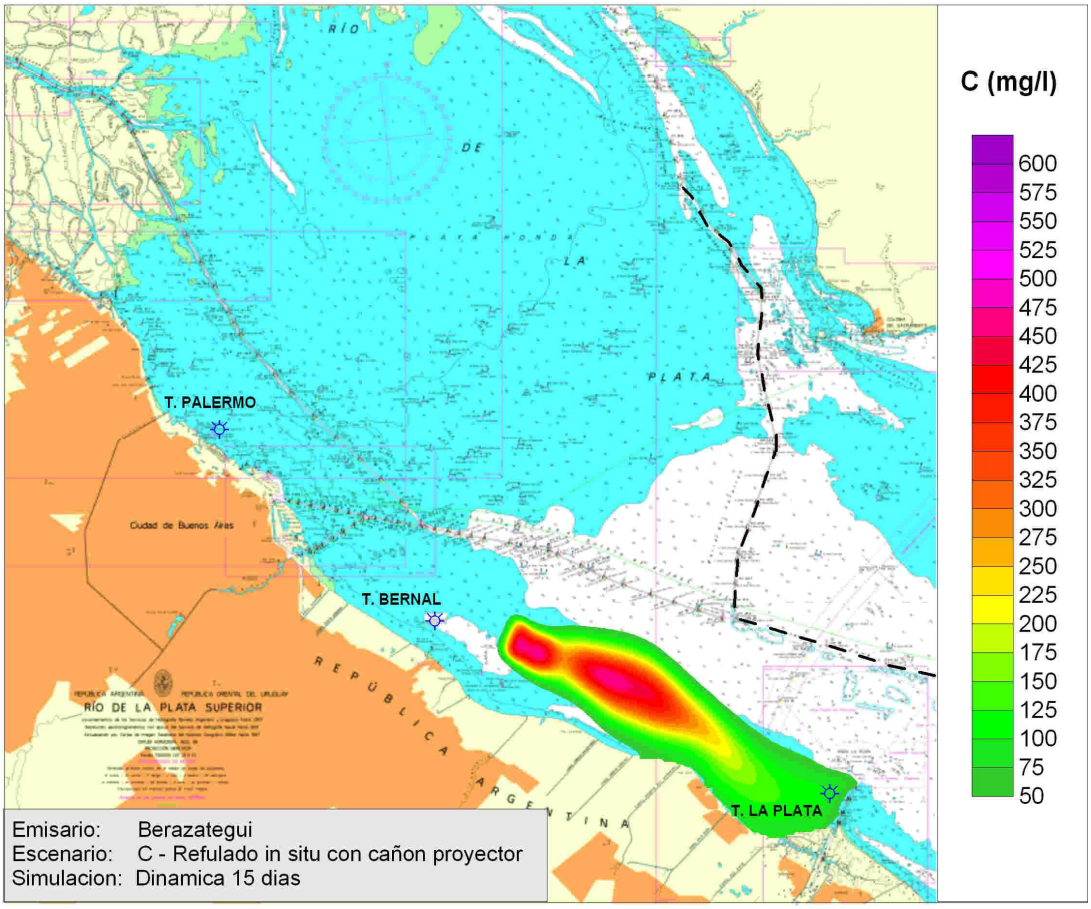

Figura A.6.6.3.2.24 – Distribución superficial de la concentración: día 12 hora 24.

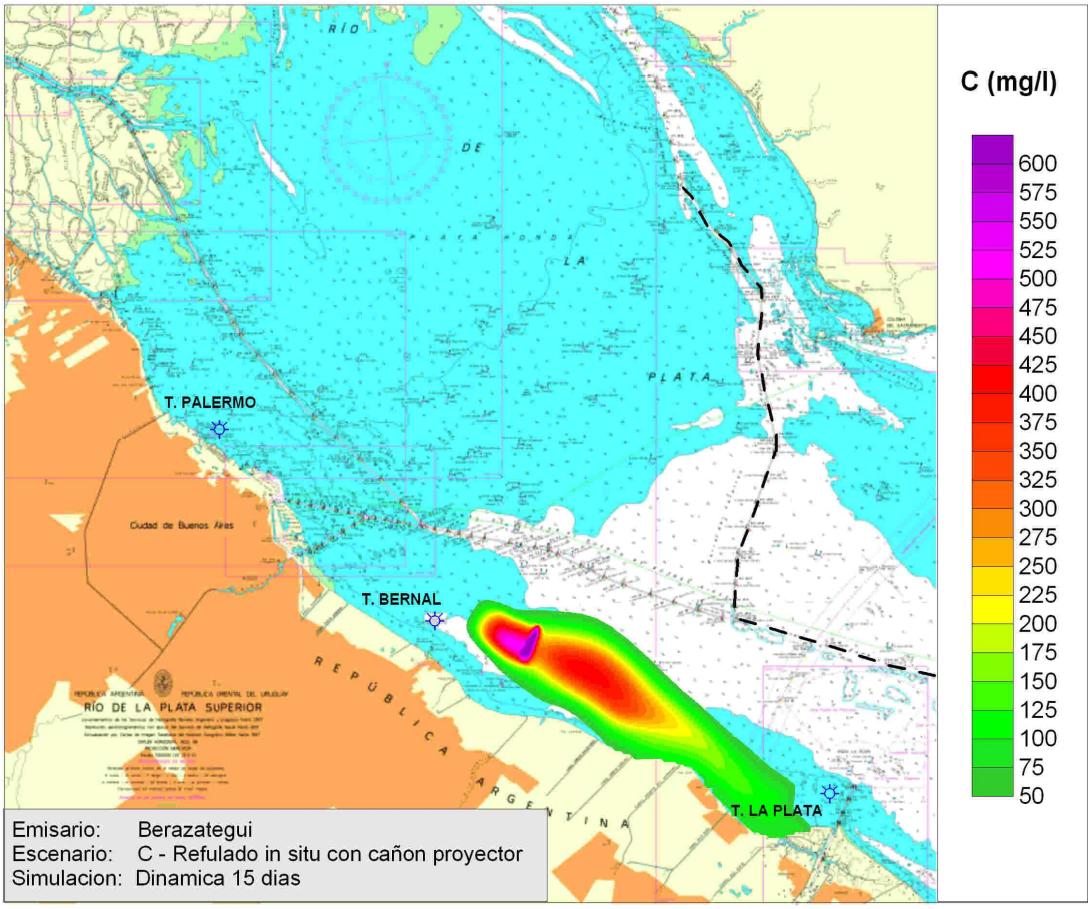

Figura A.6.6.3.2.25 – Distribución superficial de la concentración: día 13 hora 12.

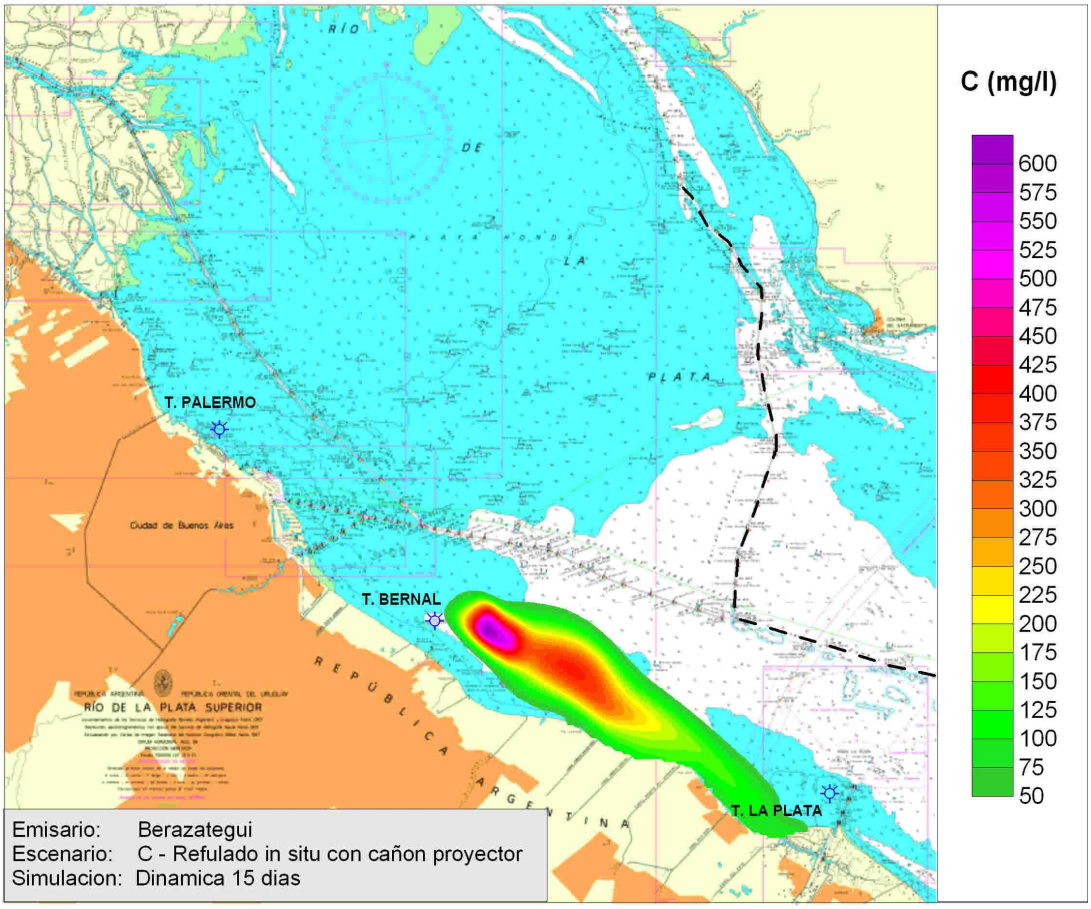

Figura A.6.6.3.2.26 – Distribución superficial de la concentración: día 13 hora 24.

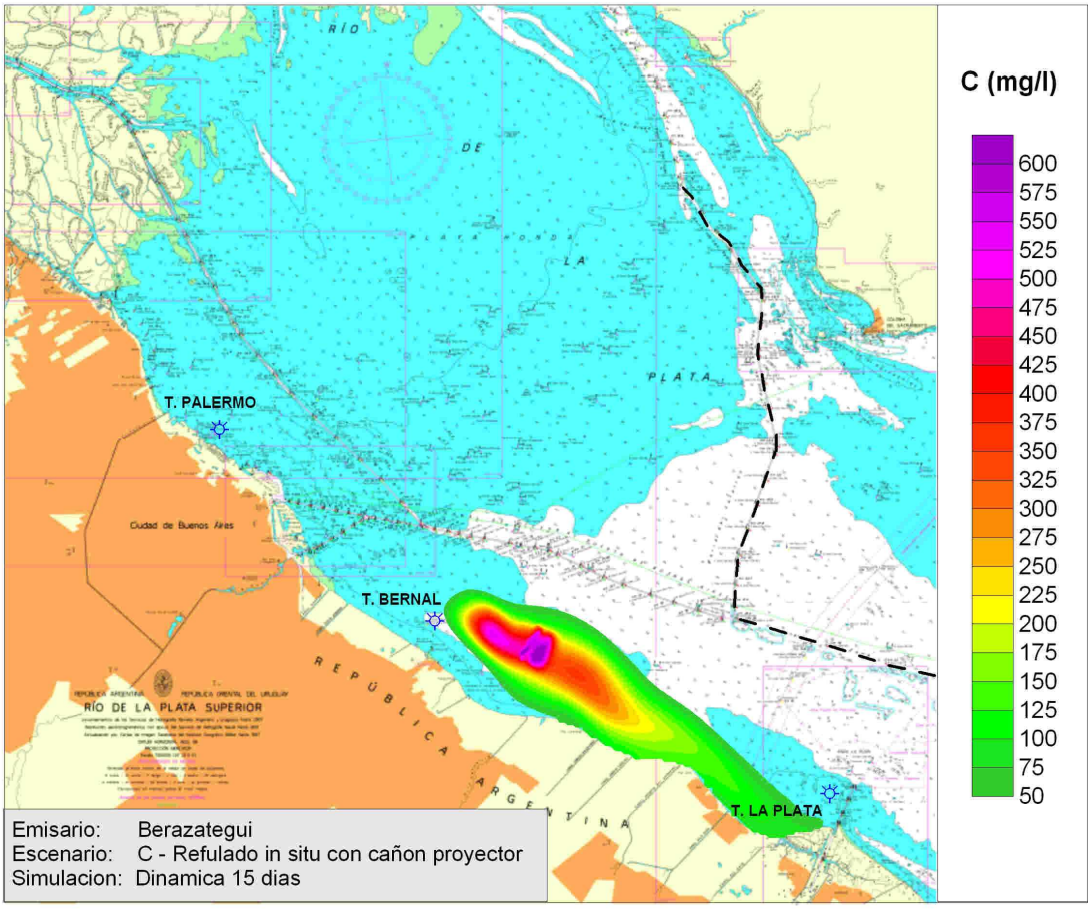

Figura A.6.6.3.2.27 – Distribución superficial de la concentración: día 14 hora 12.

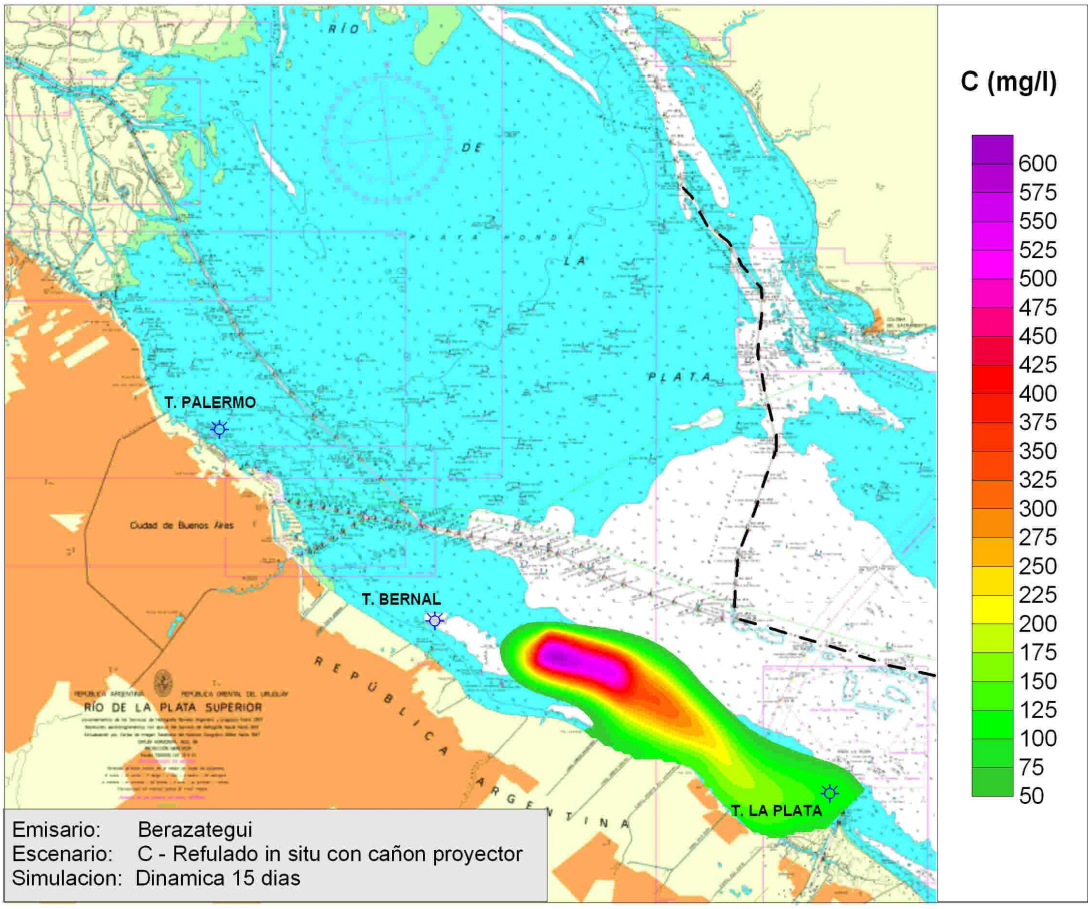

Figura A.6.6.3.2.28 – Distribución superficial de la concentración: día 14 hora 24.

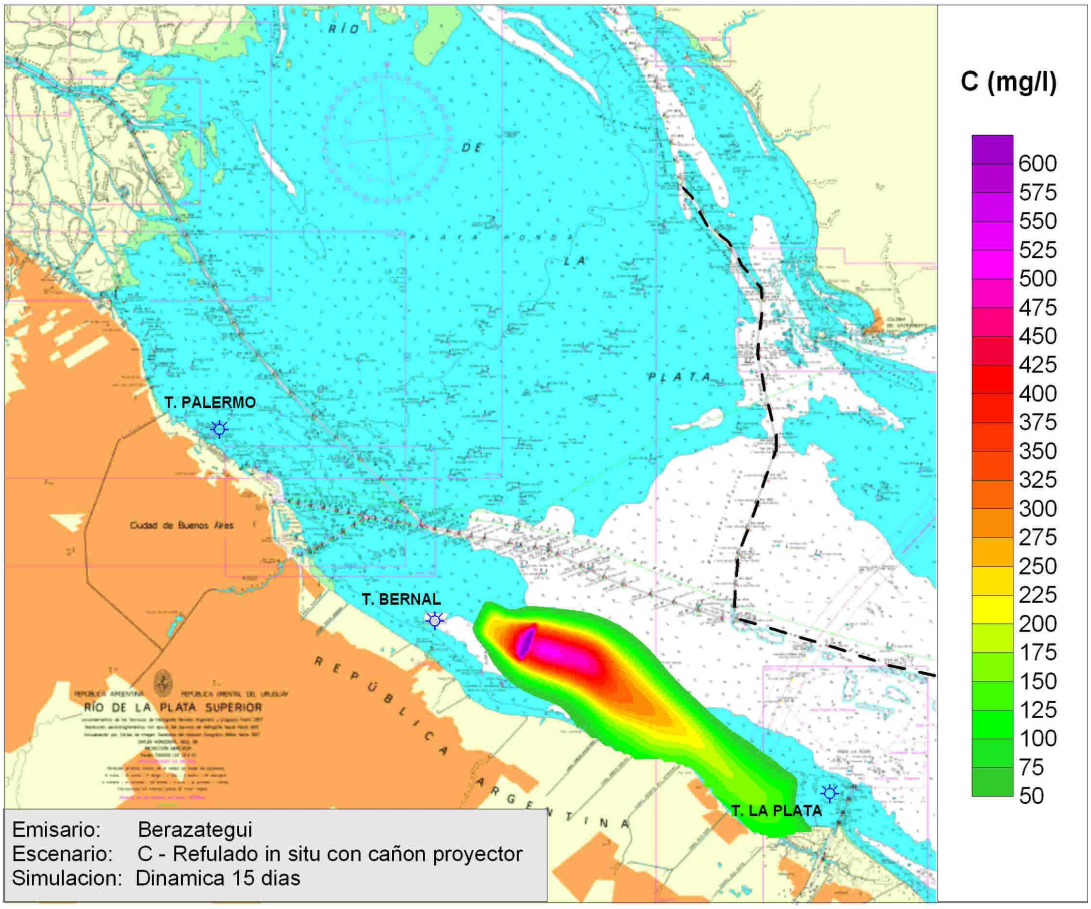

Figura A.6.6.3.2.29 – Distribución superficial de la concentración: día 15 hora 12.

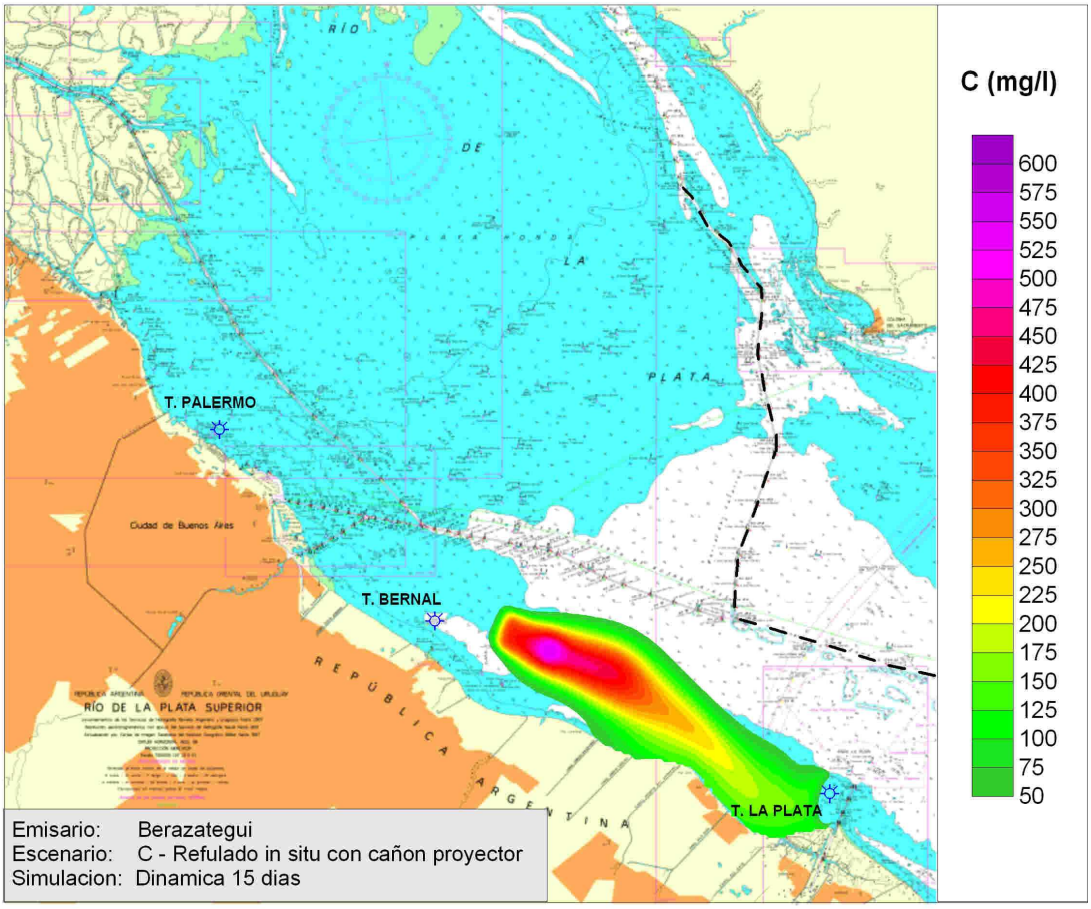

Figura A.6.6.3.2.30 – Distribución superficial de la concentración: día 15 hora 24.

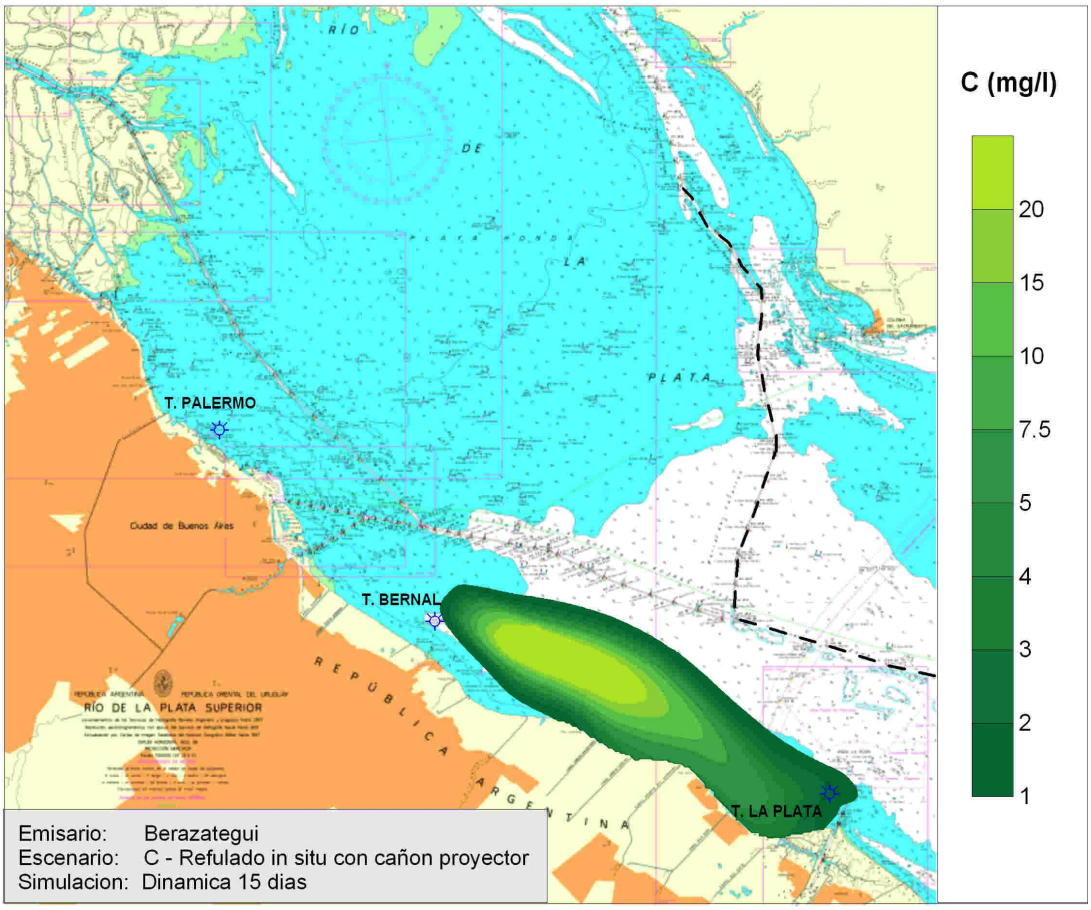

Figura A.6.6.3.2.31 – Distribución superficial de la concentración promedio durante los 15 días de la simulación.

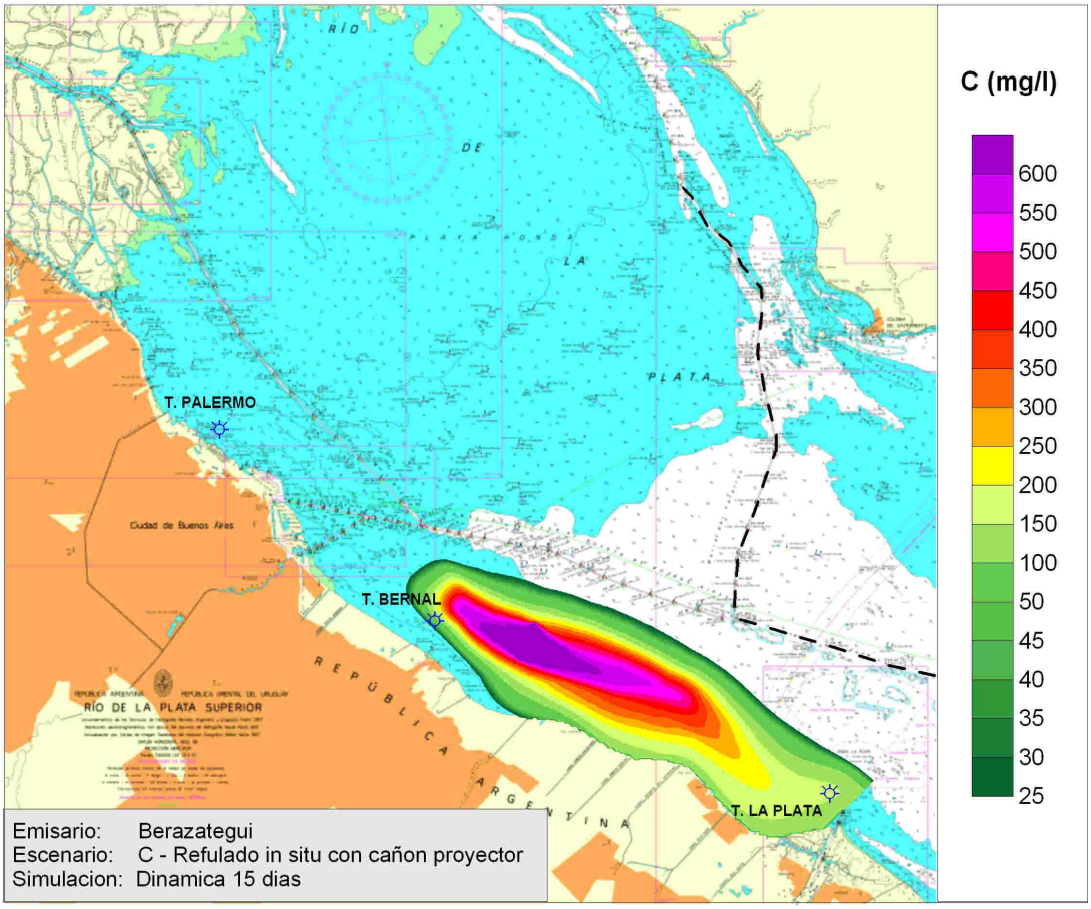

Figura A.6.6.3.2.32 – Distribución superficial de la concentración máxima durante los 15 días de la simulación.

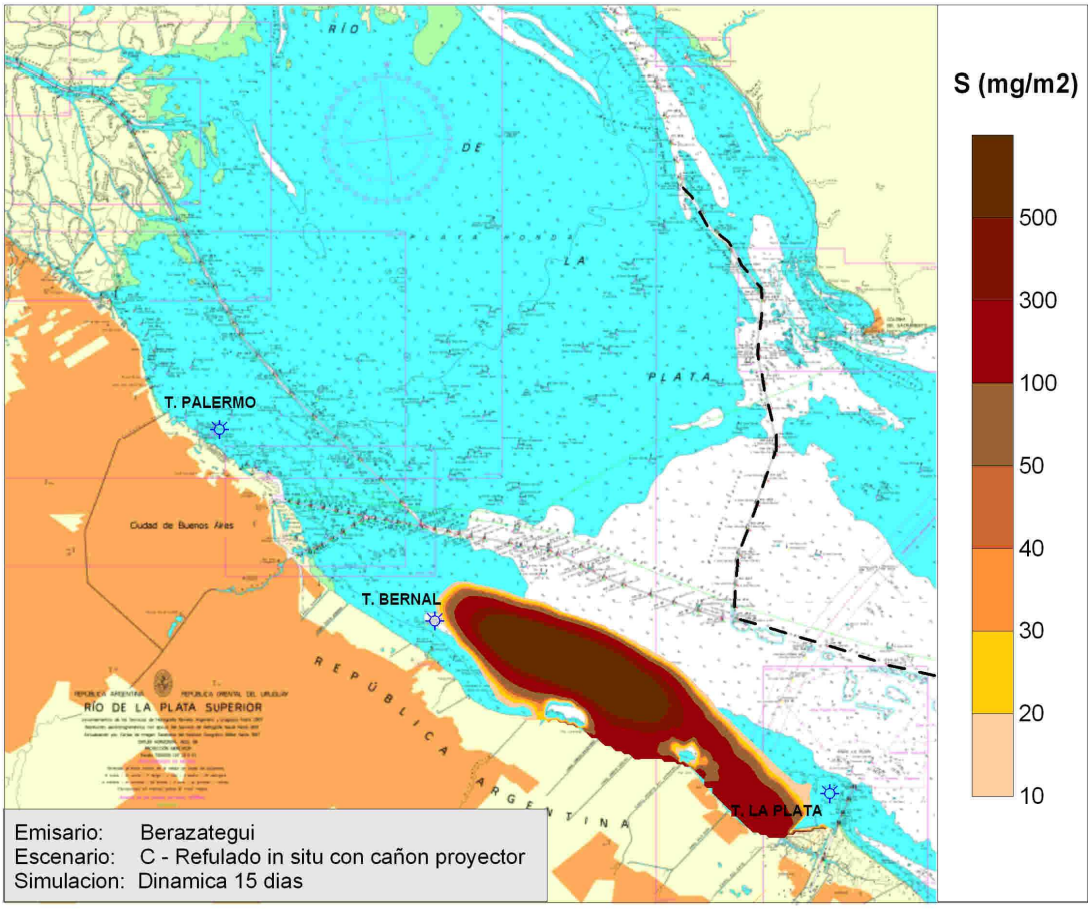

Figura A.6.6.3.2.33 – Distribución superficial de la masa sedimentada durante los 15 días de la simulación.

ANEXO 6.6.4.1

Tapada de zanja en emisario Berazategui

Evolución de parámetros en estaciones fijas.

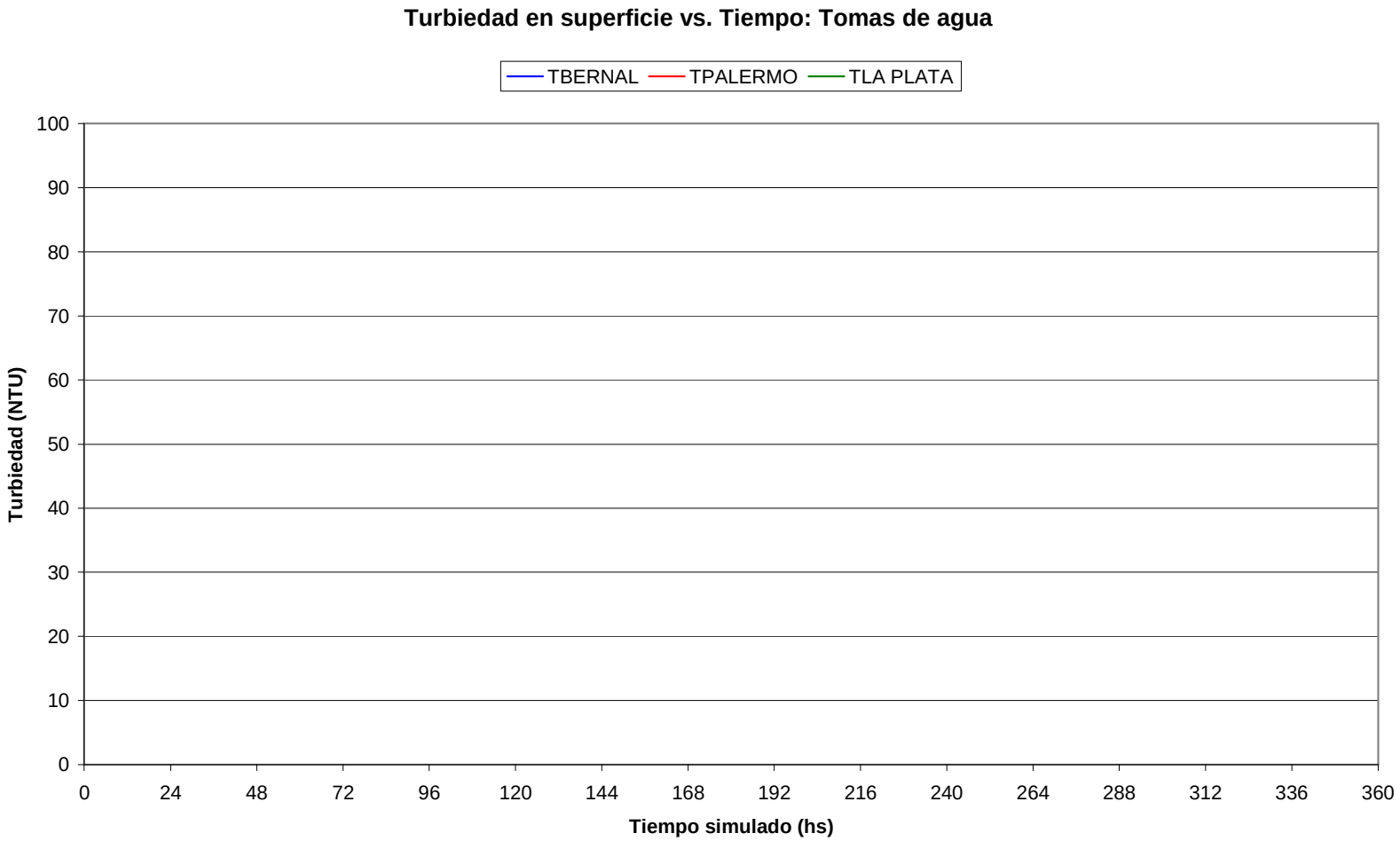

Figura A.6.6.4.1.1 – Turbiedad en tomas de agua. Capa superficial. No se observan niveles mensurables de sobre-concentración.

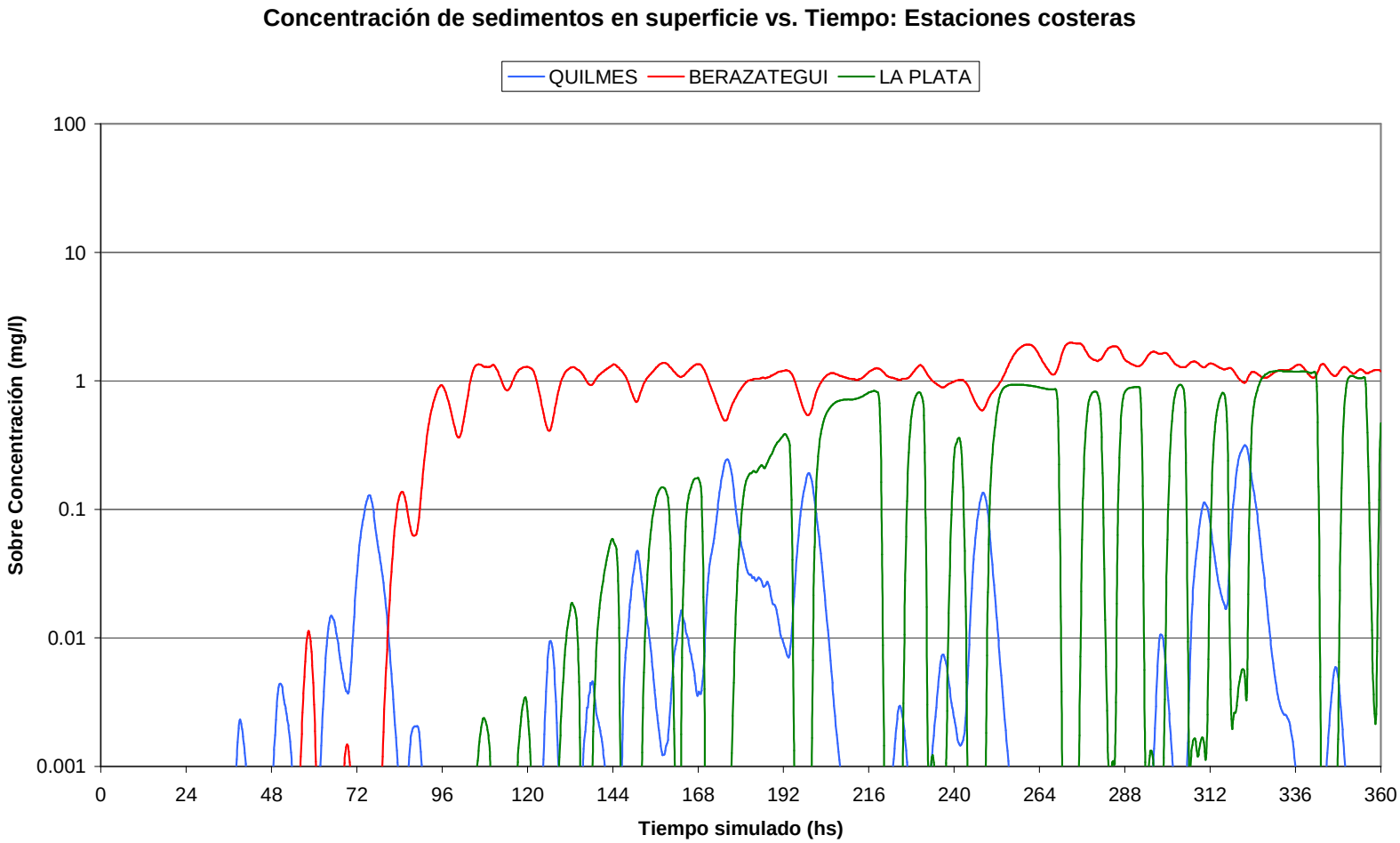

Figura A.6.6.4.1.2 – Concentración de sedimentos en áreas costeras. Capa superficial.

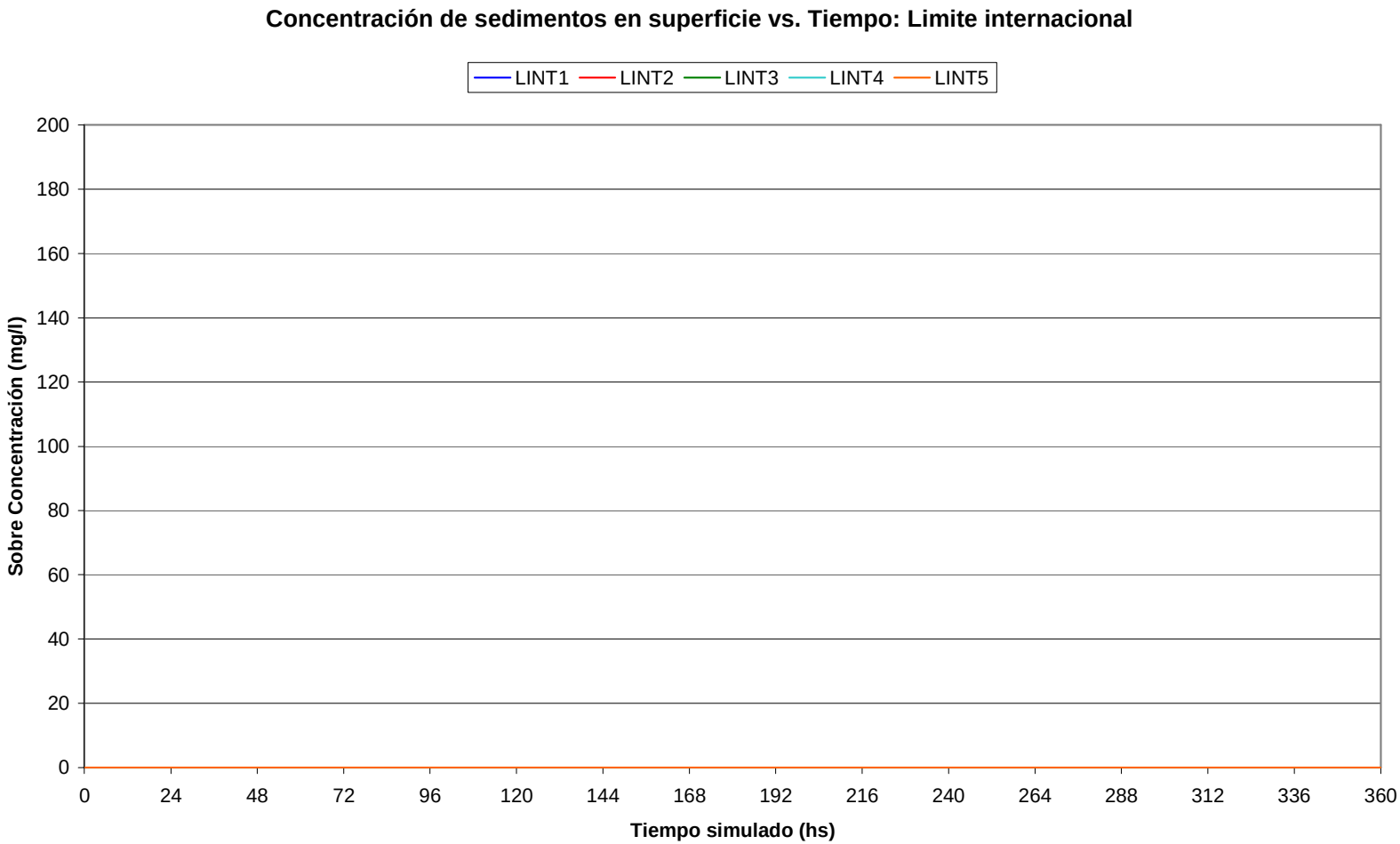

Figura A.6.6.4.1.3 – Concentración de sedimentos en el límite internacional. Capa superficial. No se observan niveles mensurables de sobre-concentración.

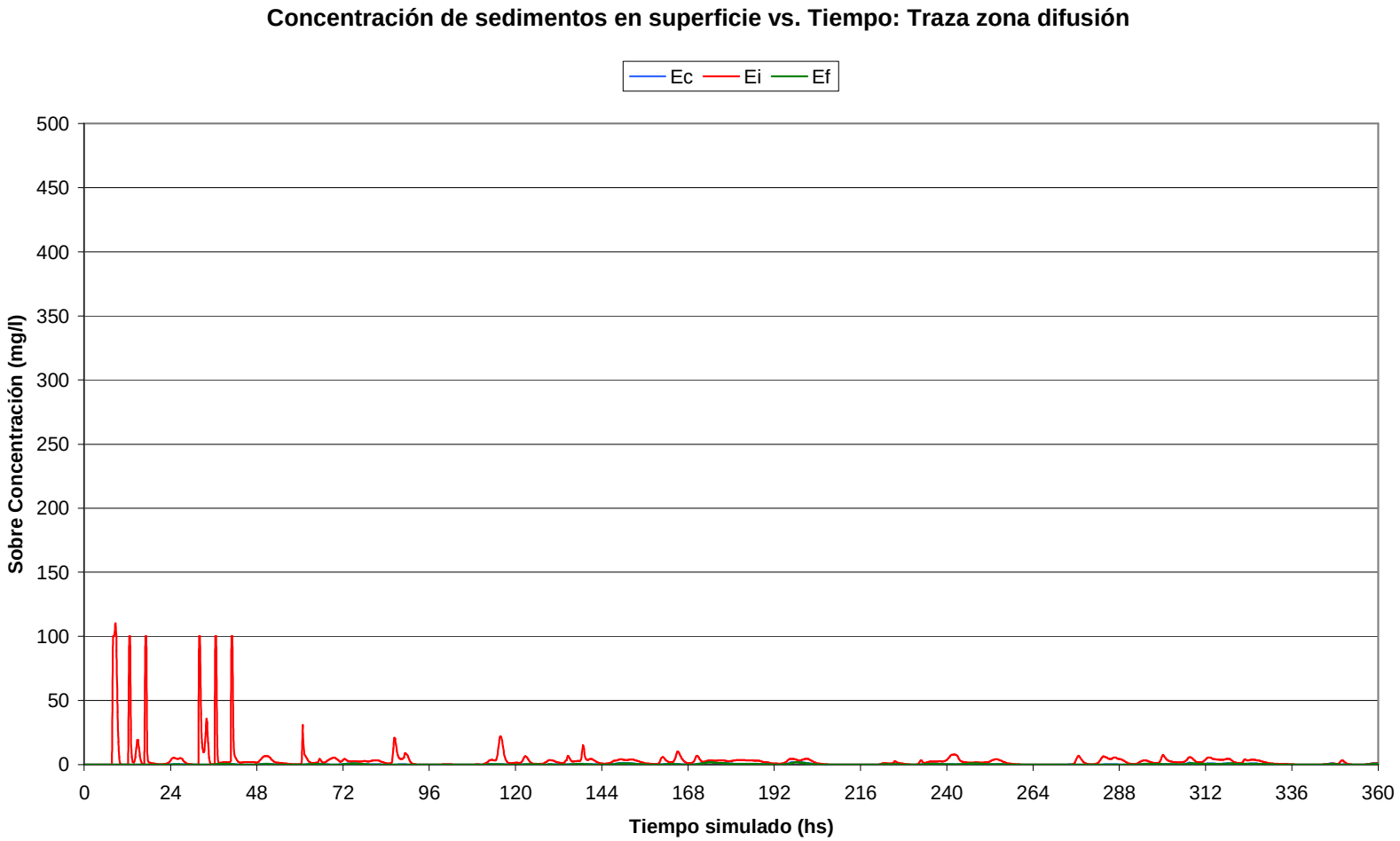

Figura A.6.6.4.1.4 – Concentración de sedimentos en la traza del emisario. Capa superficial.

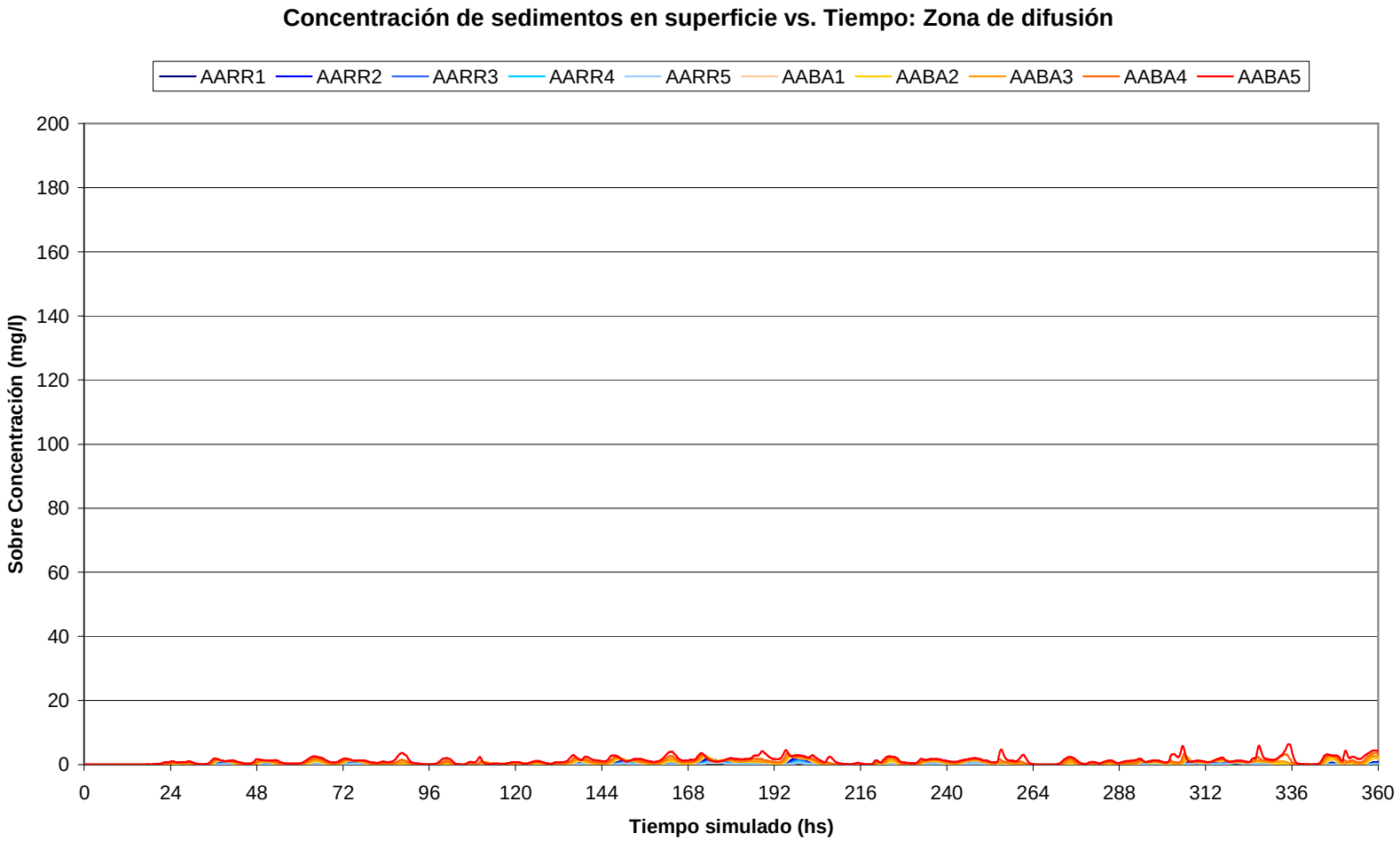

Figura A.6.6.4.1.5 – Concentración de sedimentos en la zona de difusión del emisario. Capa superficial.

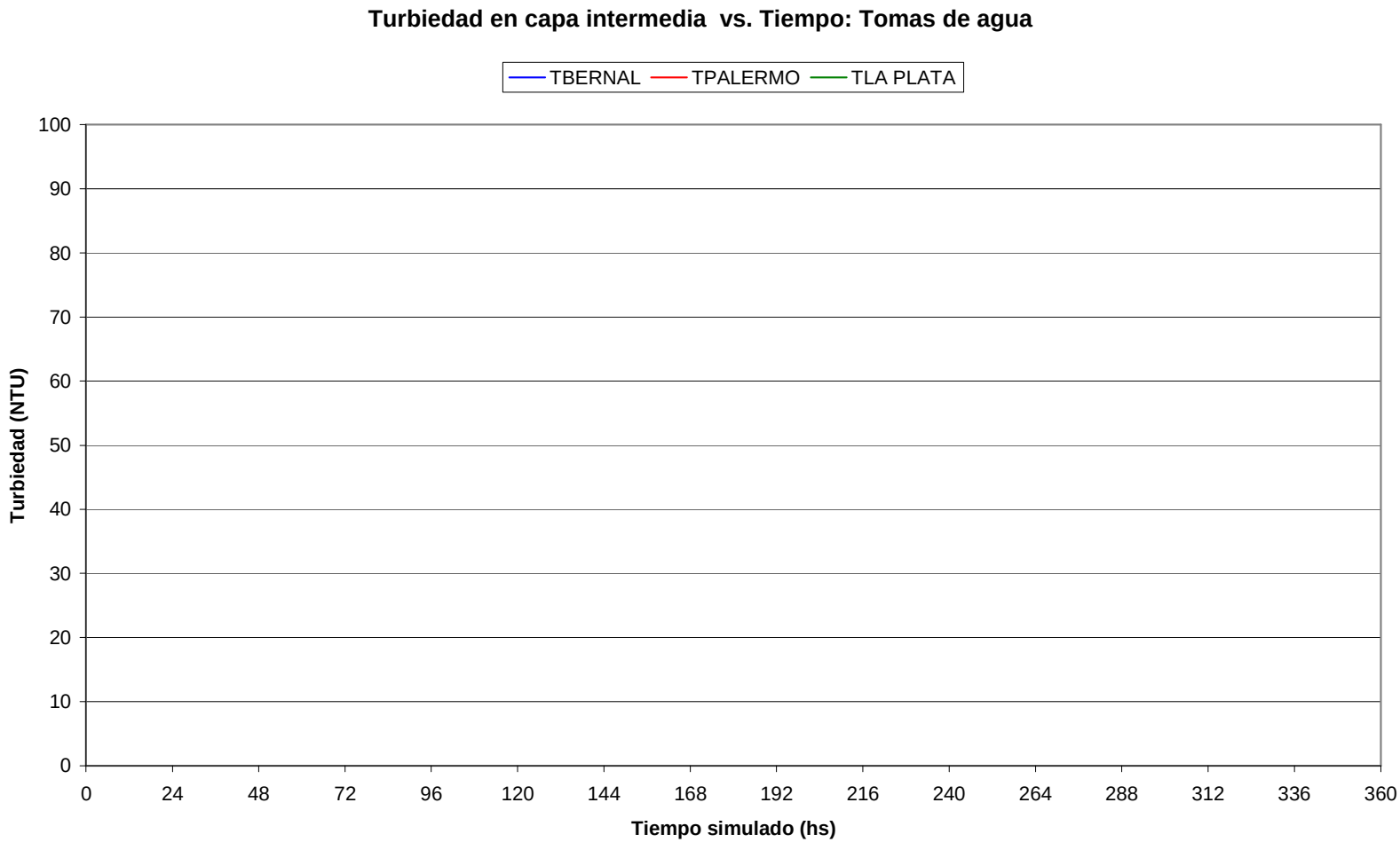

Figura A.6.6.4.1.6 – Turbiedad en tomas de agua. Capa intermedia. No se observan niveles mensurables de sobre-concentración.

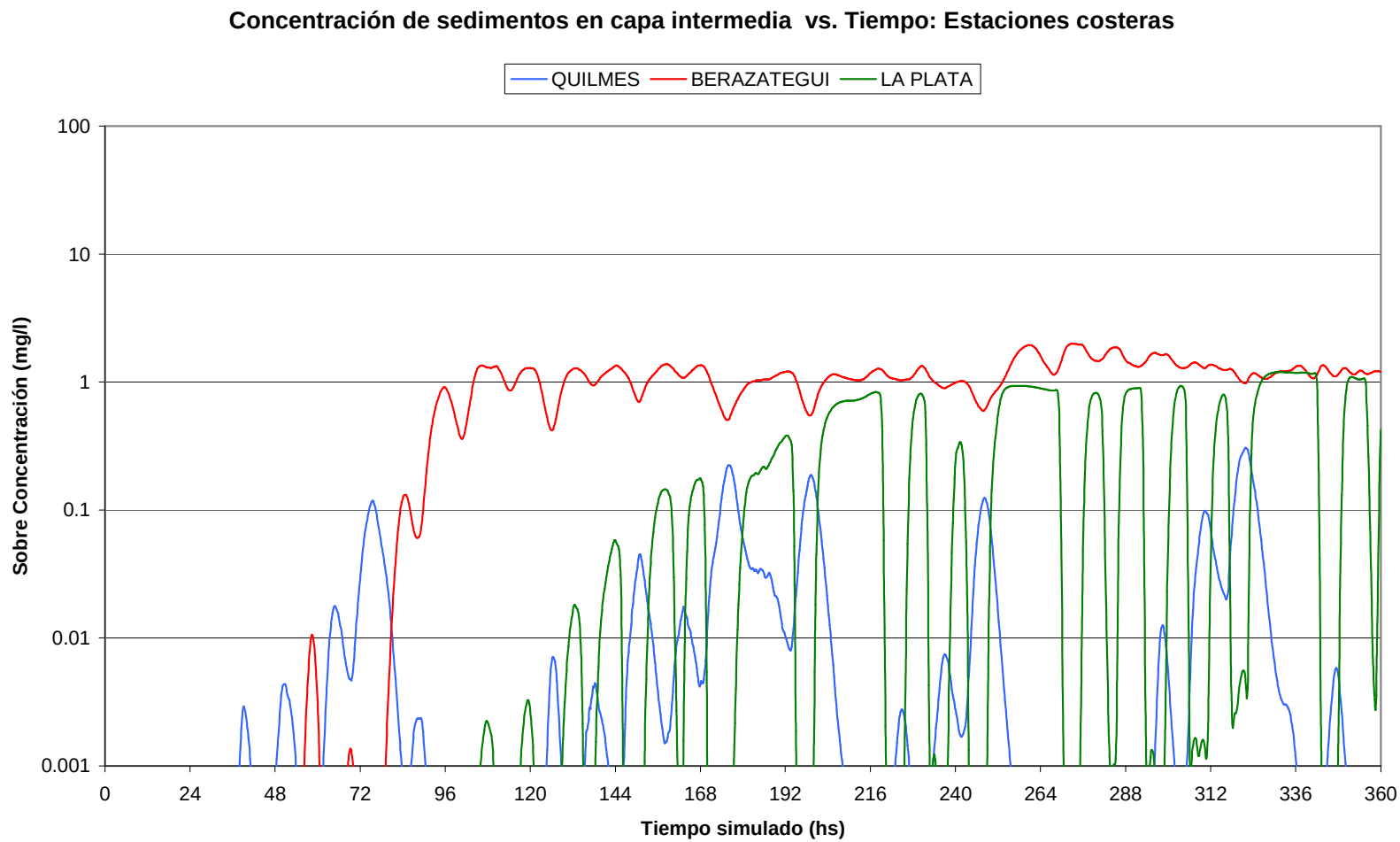

Figura A.6.6.4.1.7 – Concentración de sedimentos en áreas costeras. Capa intermedia.

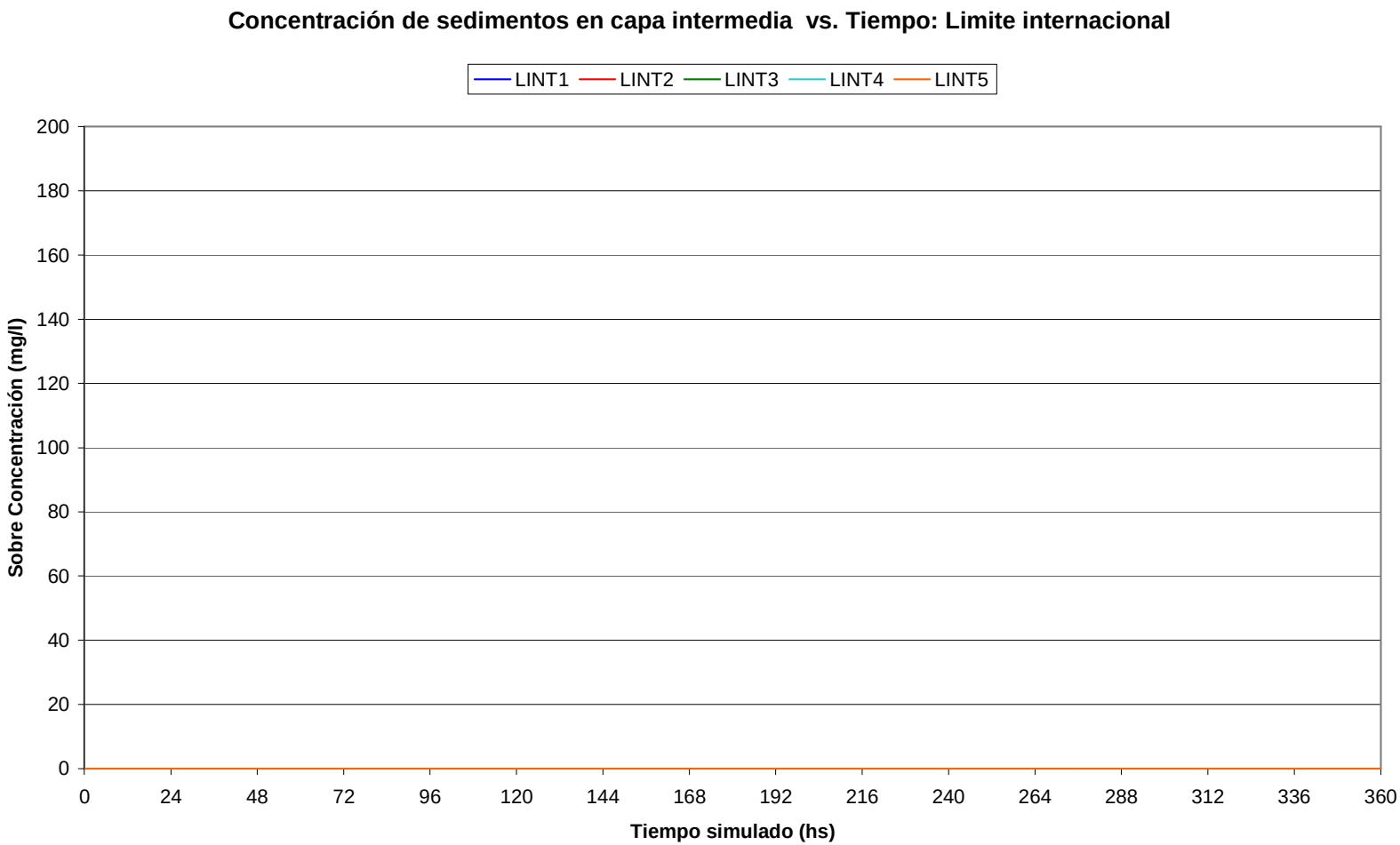

Figura A.6.6.4.1.8 – Concentración de sedimentos en el límite internacional. Capa intermedia. No se observan niveles mensurables de sobre-concentración.

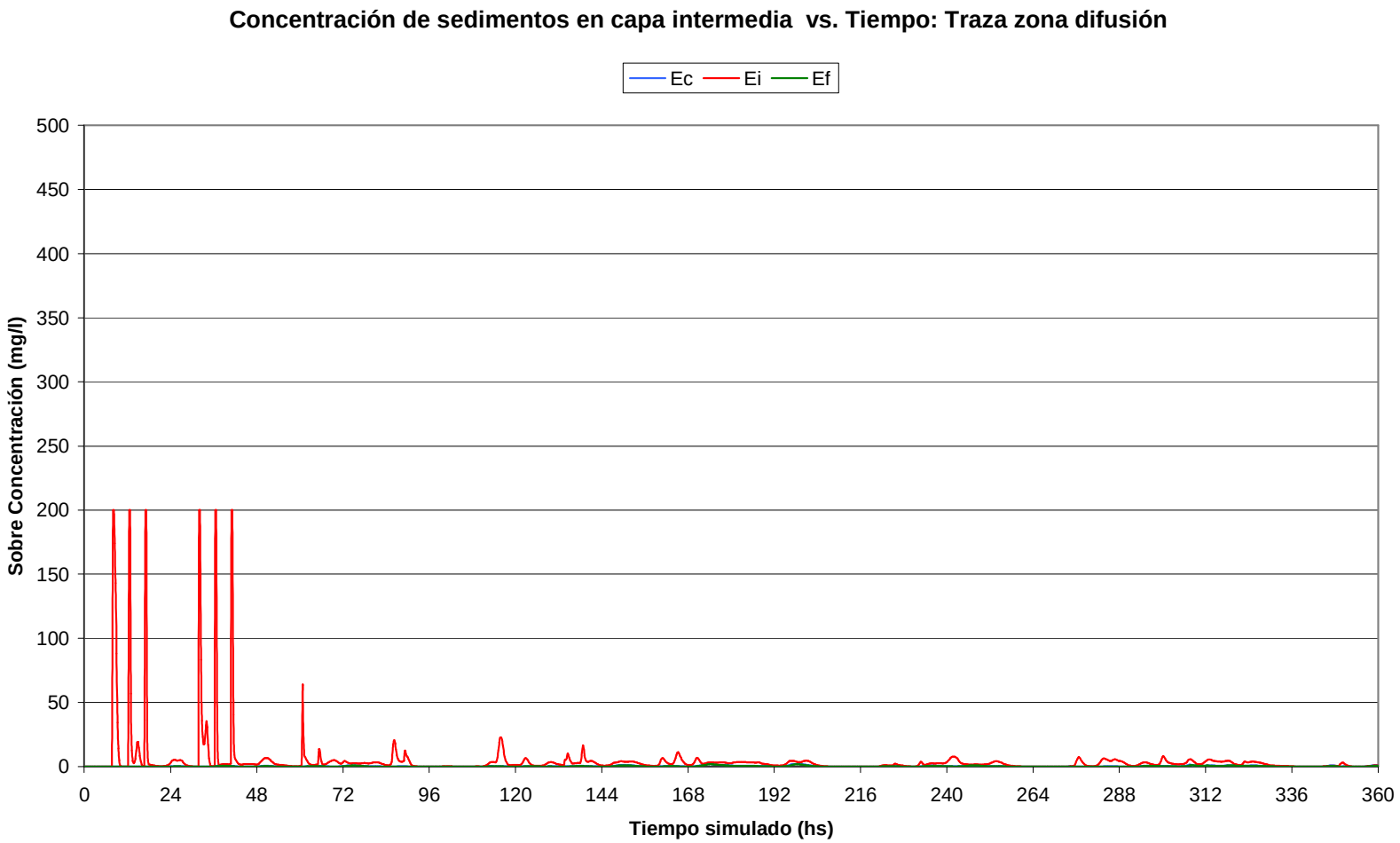

Figura A.6.6.4.1.9 – Concentración de sedimentos en la traza del emisario. Capa intermedia.

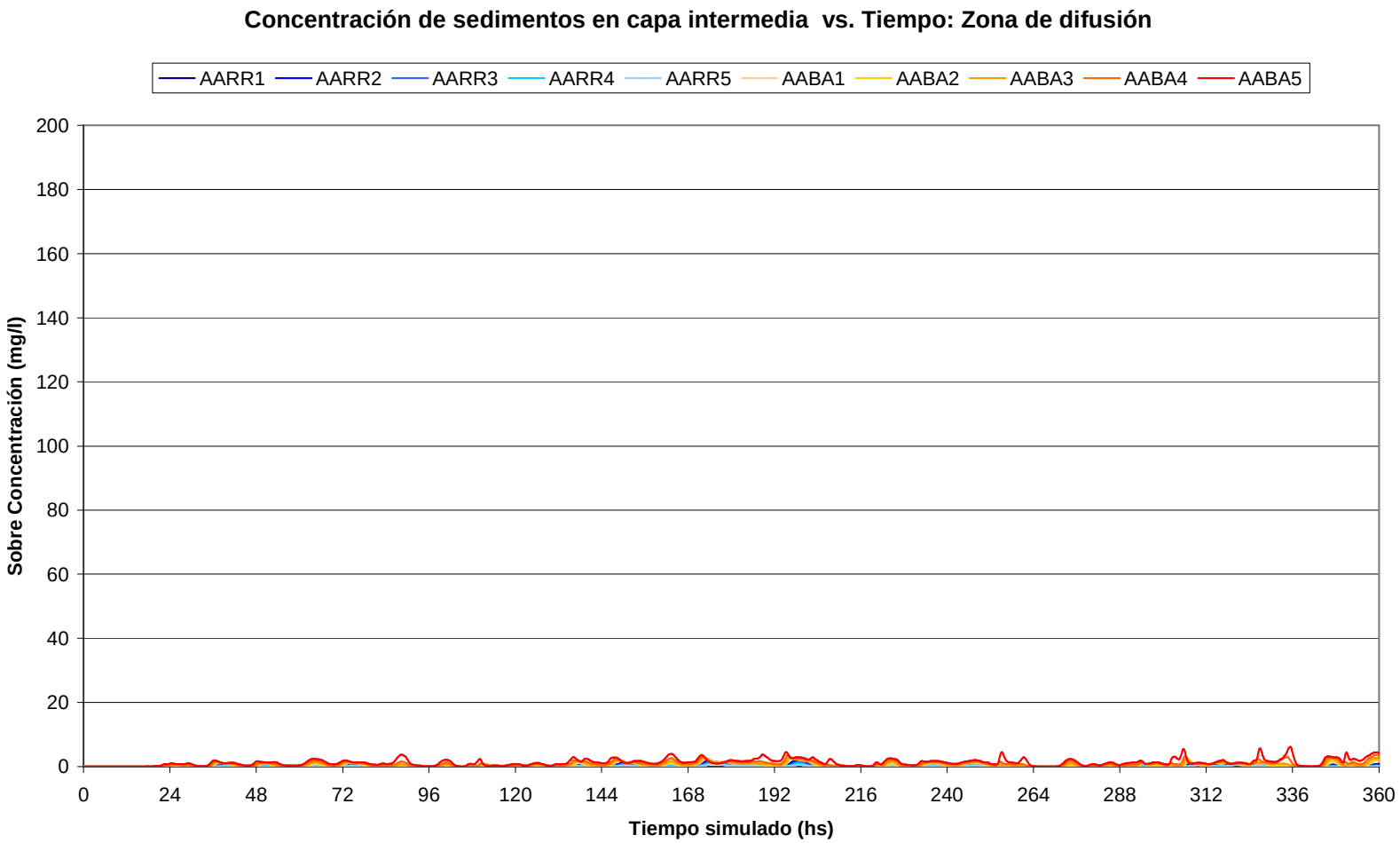

Figura A.6.6.4.1.10 – Concentración de sedimentos en la zona de difusión del emisario. Capa intermedia.

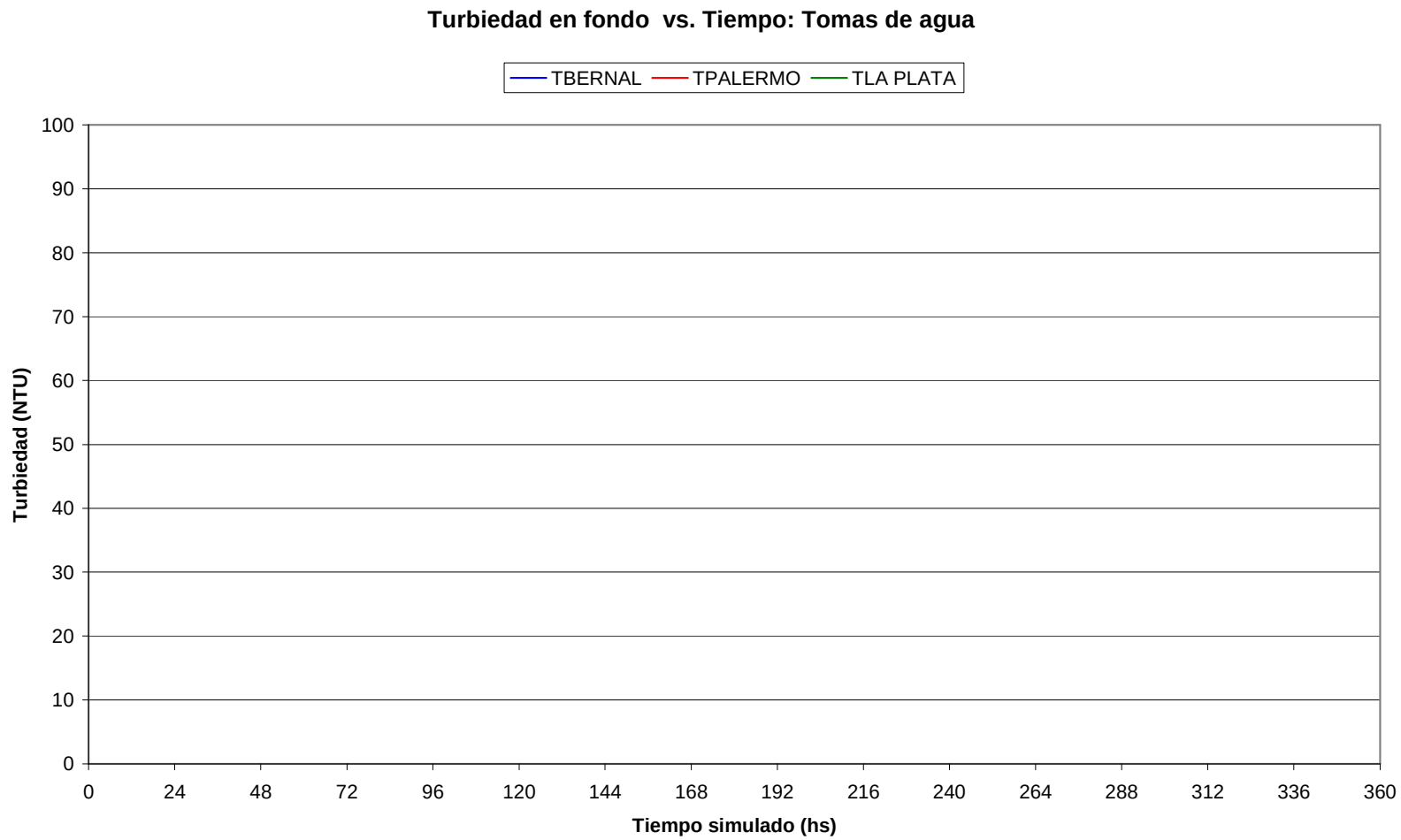

Figura A.6.6.4.1.11 – Turbiedad en tomas de agua. Capa de fondo. No se observan niveles mensurables de sobre-concentración.

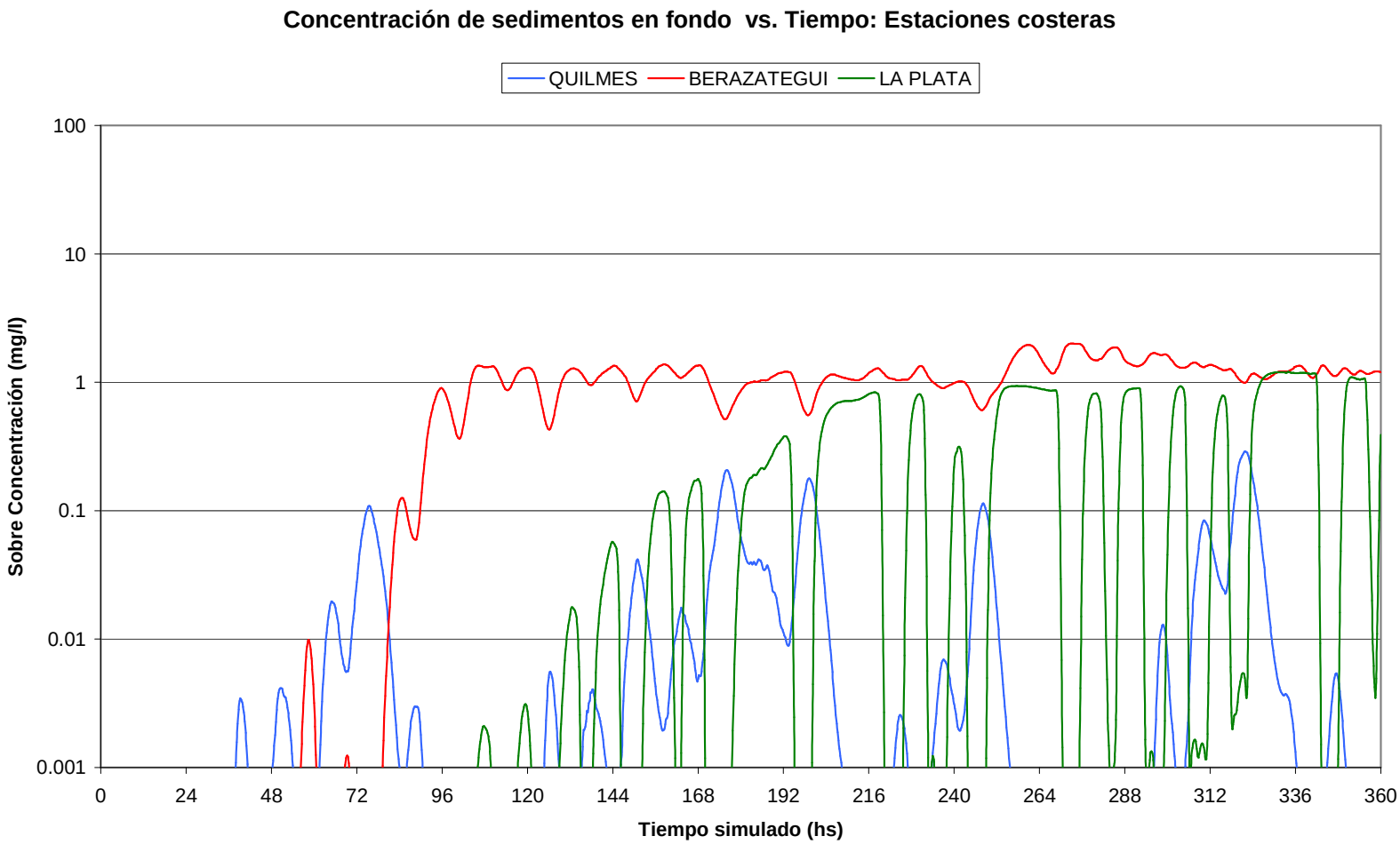

Figura A.6.6.4.1.12 – Concentración de sedimentos en áreas costeras. Capa de fondo.

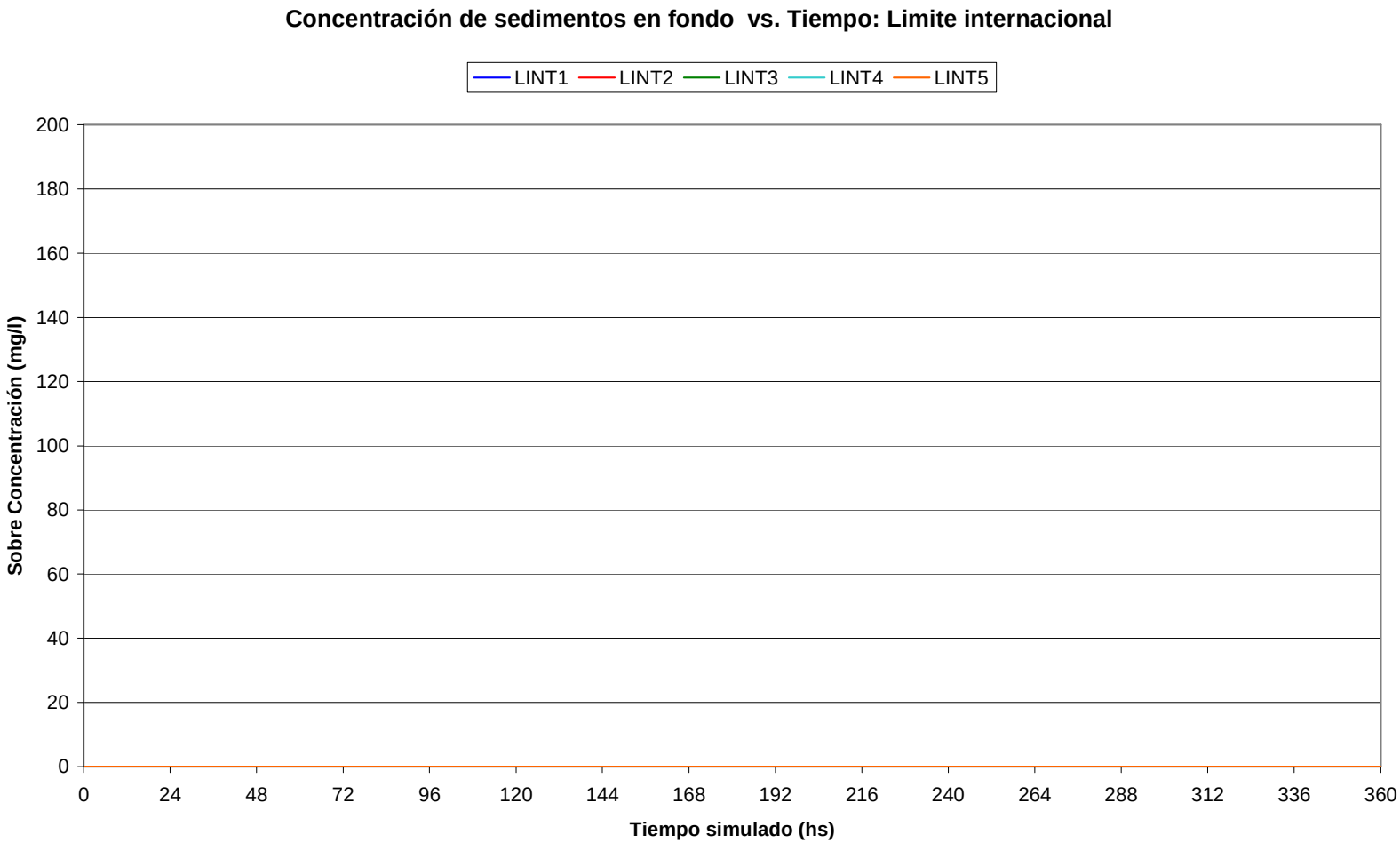

Figura A.6.6.4.1.13 – Concentración de sedimentos en el límite internacional. Capa de fondo. No se observan niveles mensurables de sobre-concentración.

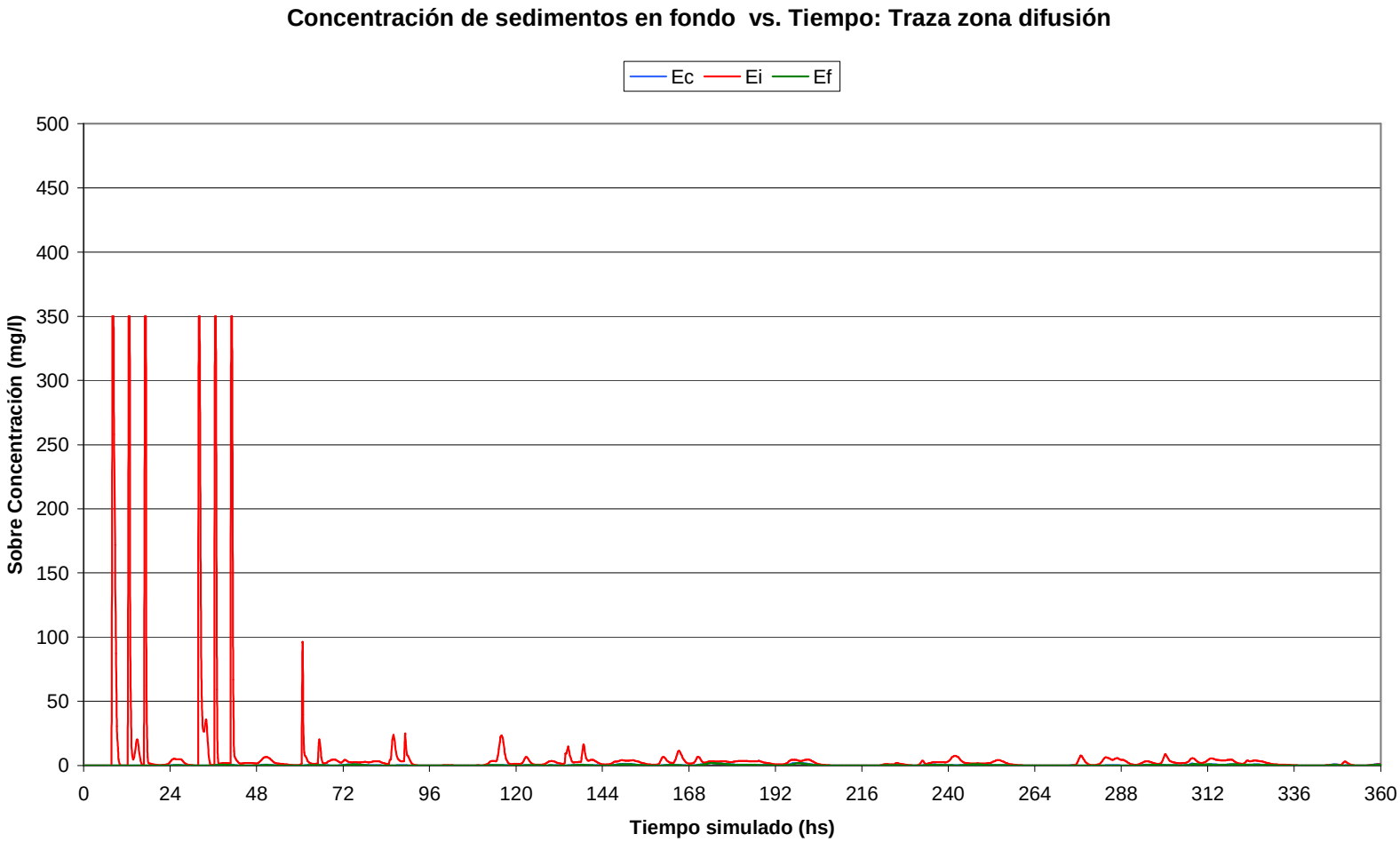

Figura A.6.6.4.1.14 – Concentración de sedimentos en la traza del emisario. Capa de fondo.

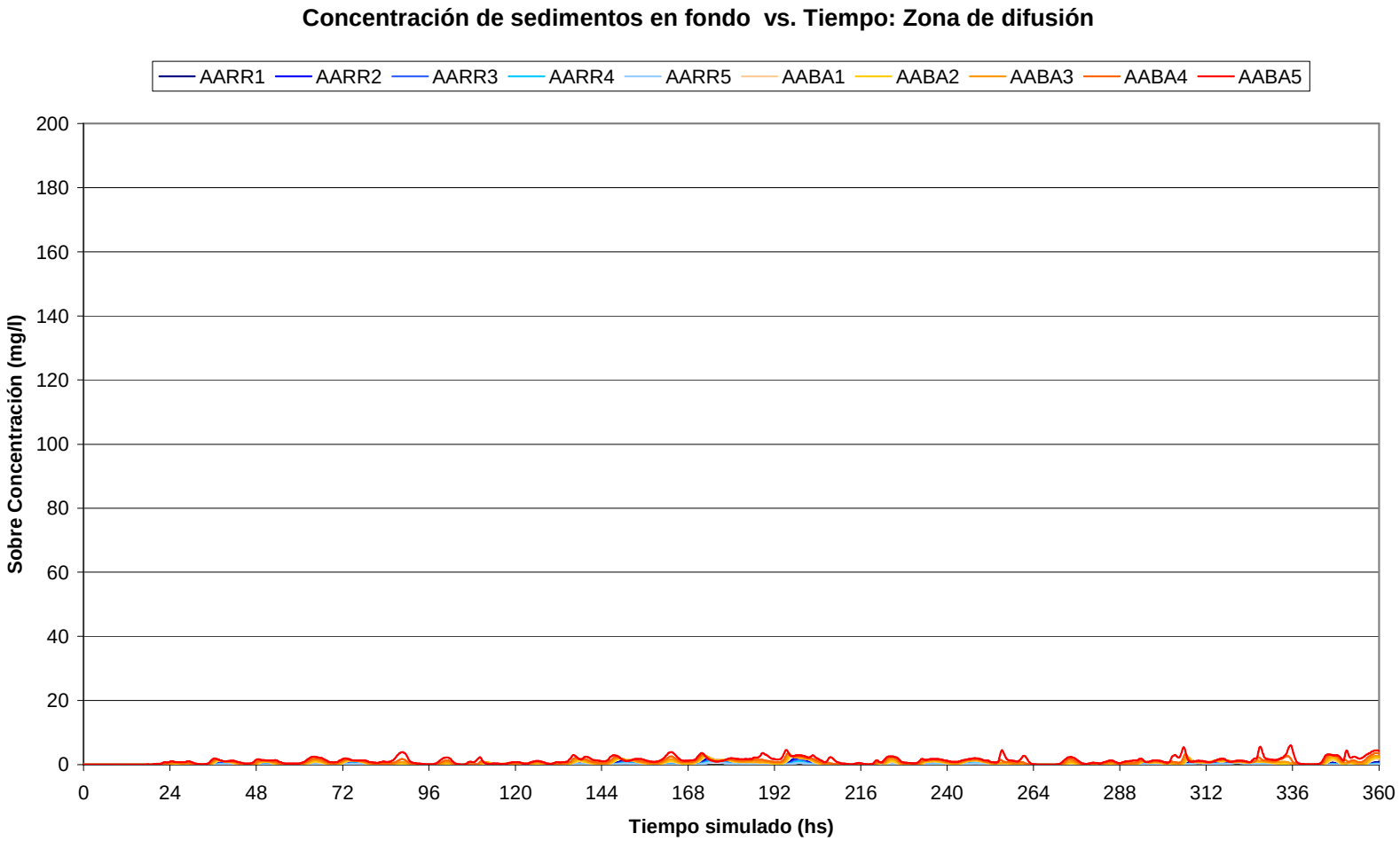

Figura A.6.6.4.1.15 – Concentración de sedimentos en la zona de difusión del emisario. Capa de fondo.

ANEXO 6.6.4.2

Tapada de zanja en emisario Berazategui.

Distribución espacial de concentraciones y material sedimentado.

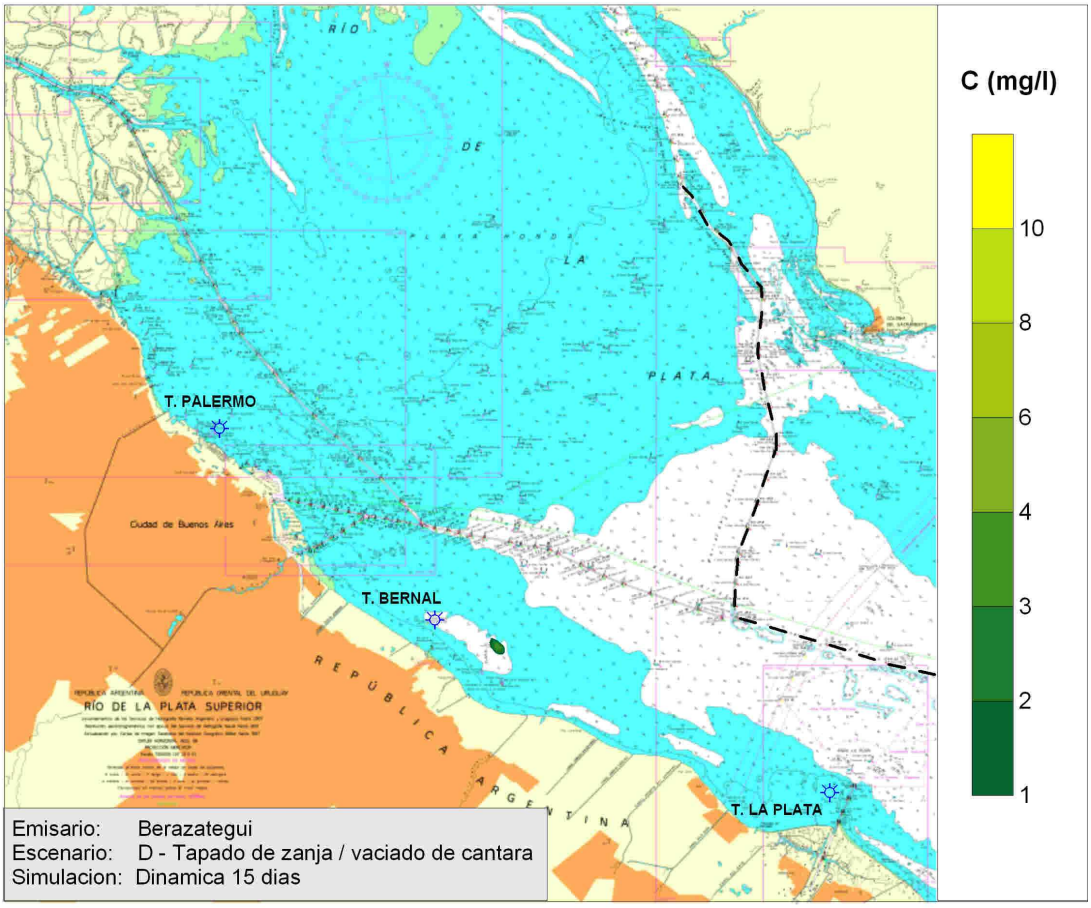

Figura A.6.6.4.2.1 – Distribución superficial de la concentración: día 1 hora 12.

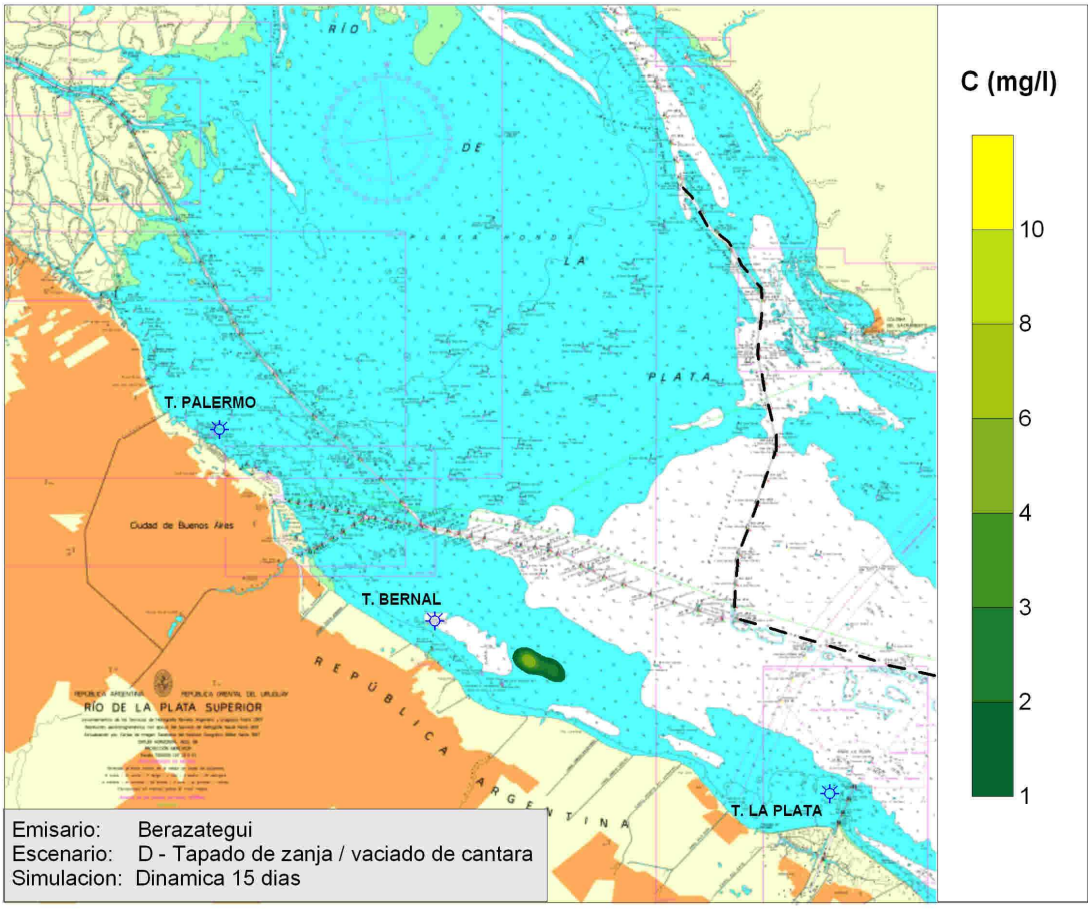

Figura A.6.6.4.2.2 – Distribución superficial de la concentración: día 1 hora 24.

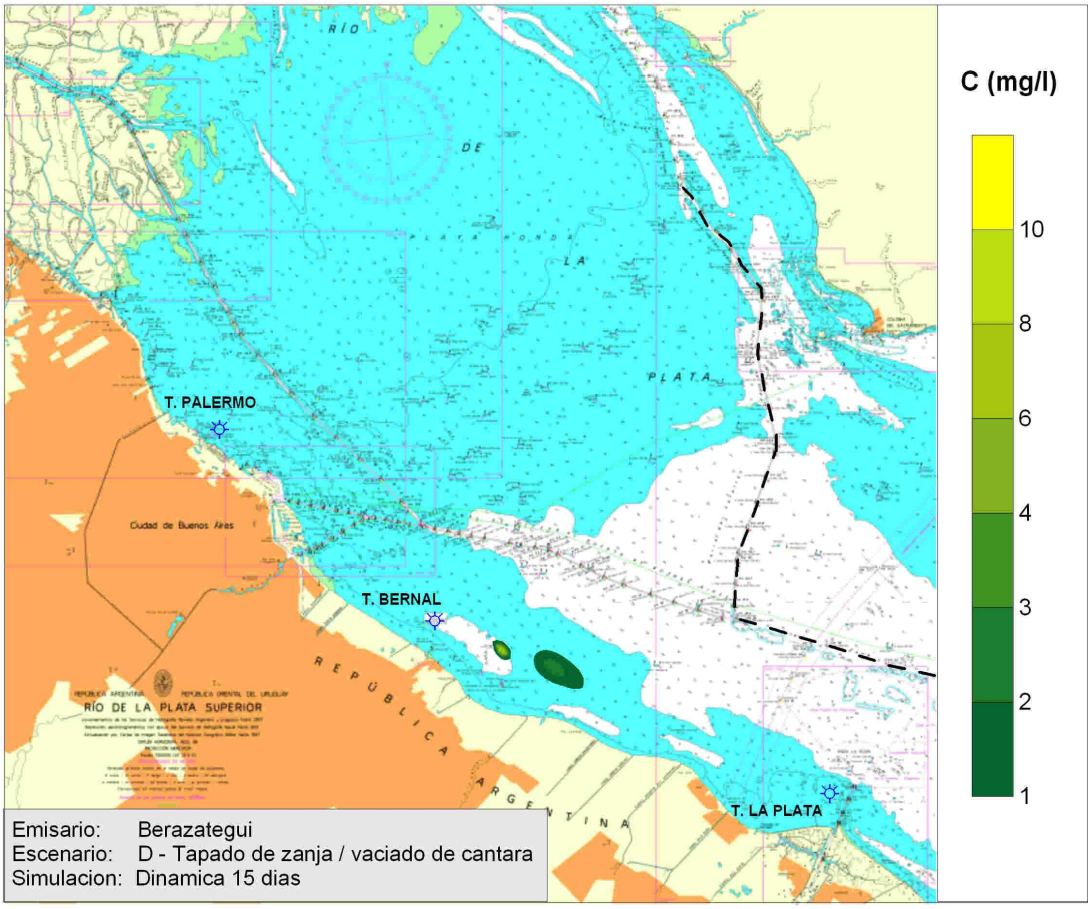

Figura A.6.6.4.2.3 – Distribución superficial de la concentración: día 2 hora 12.

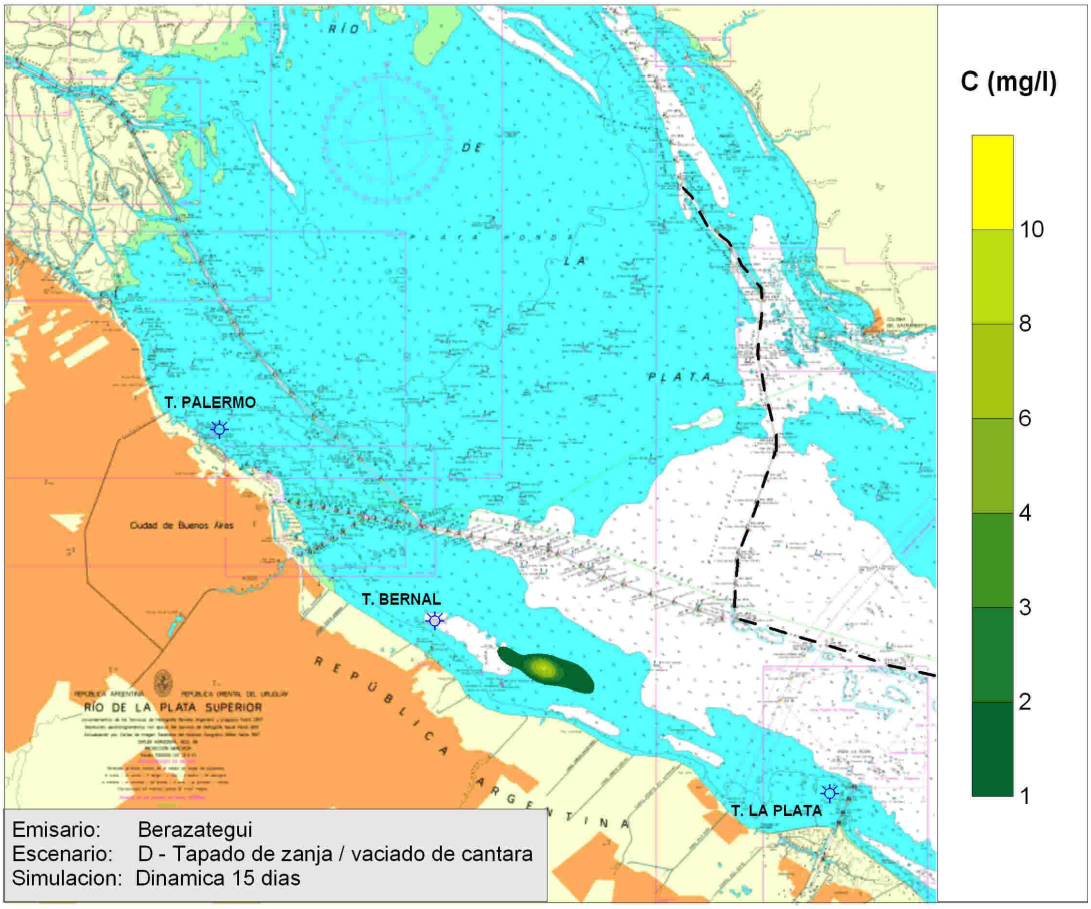

Figura A.6.6.4.2.4 – Distribución superficial de la concentración: día 2 hora 24.

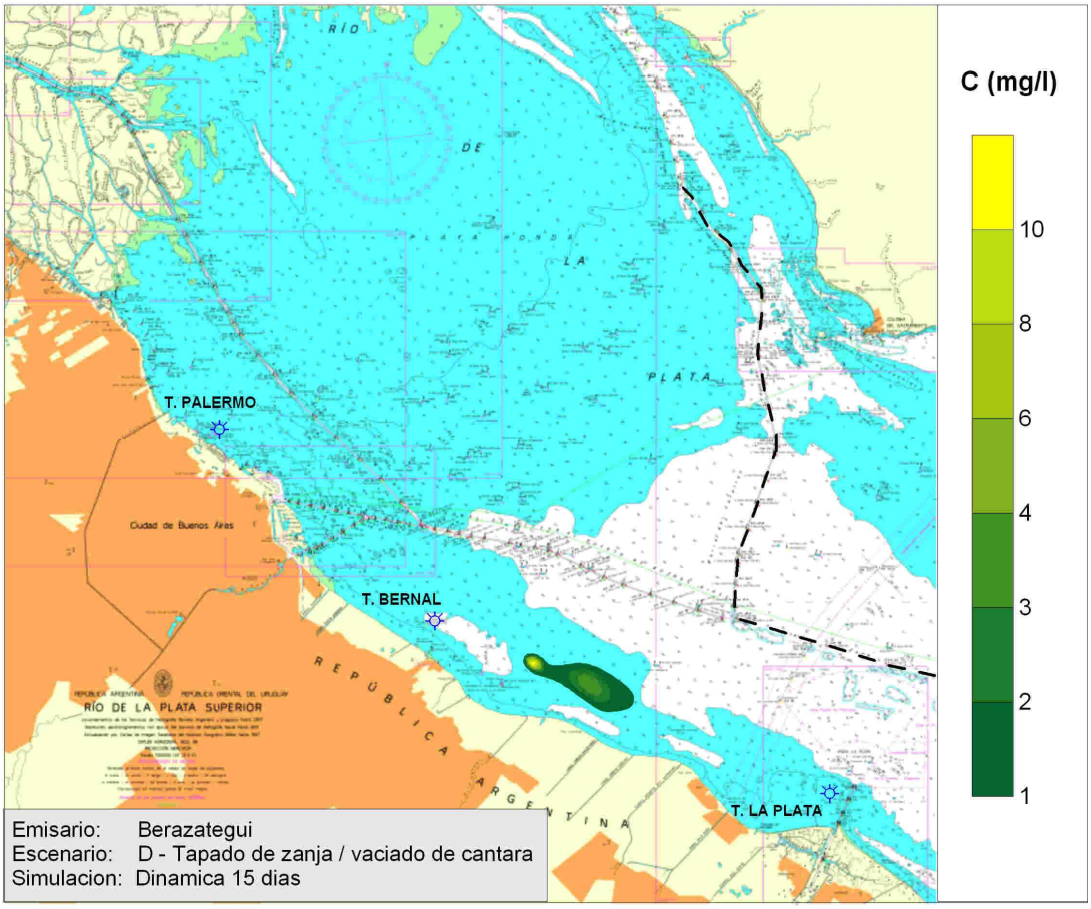

Figura A.6.6.4.2.5 – Distribución superficial de la concentración: día 3 hora 12.

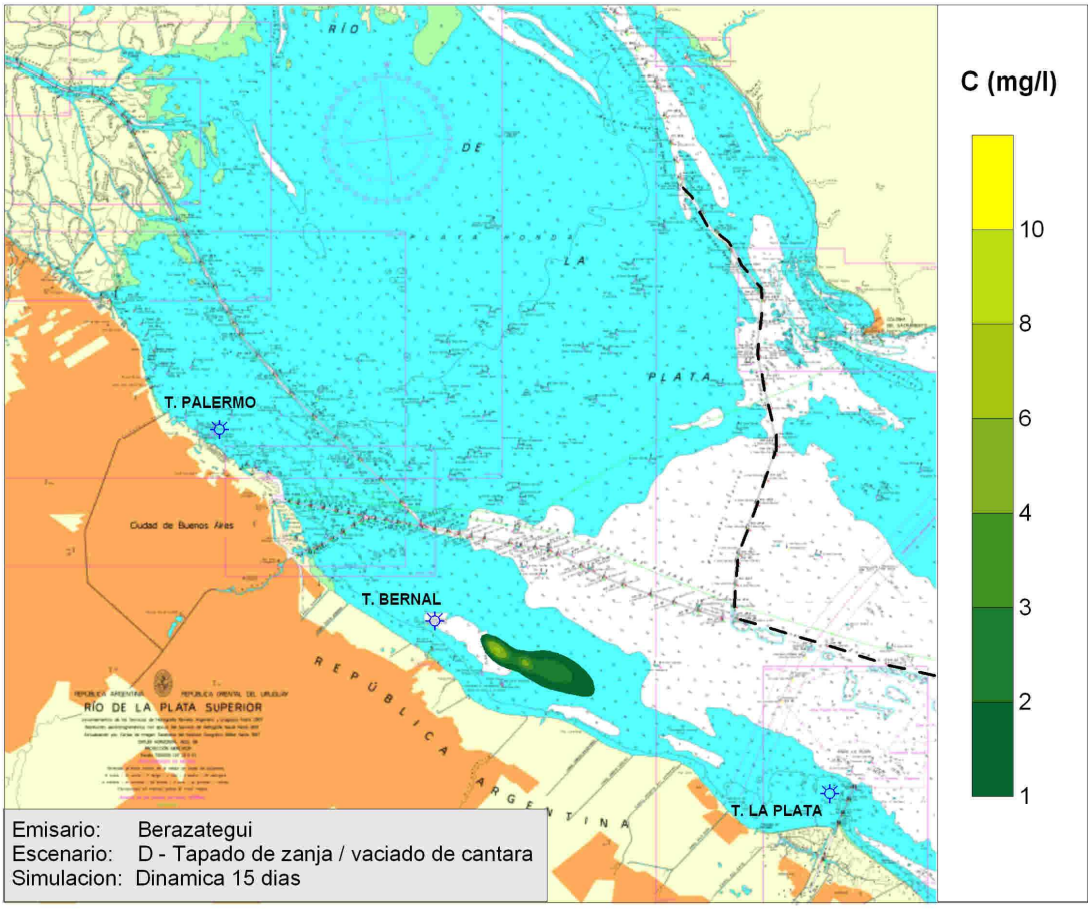

Figura A.6.6.4.2.6 – Distribución superficial de la concentración: día 3 hora 24.

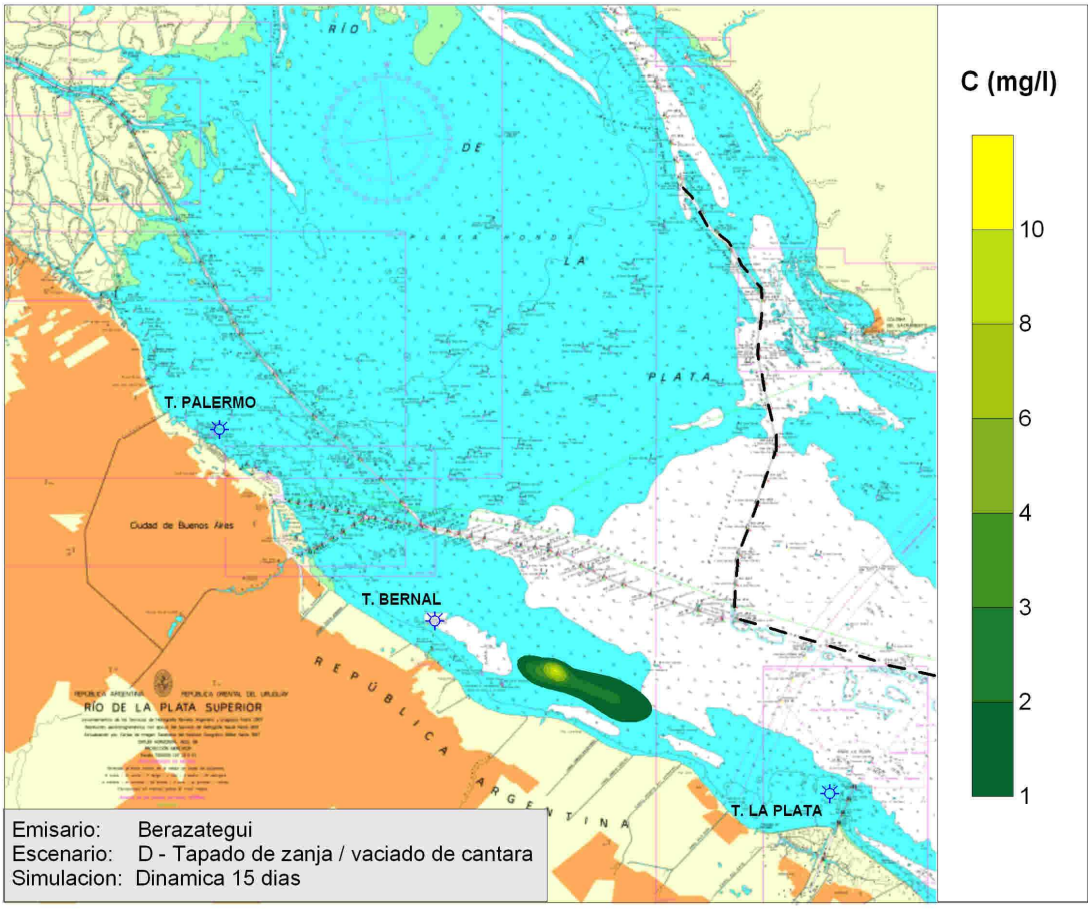

Figura A.6.6.4.2.7 – Distribución superficial de la concentración: día 4 hora 12.

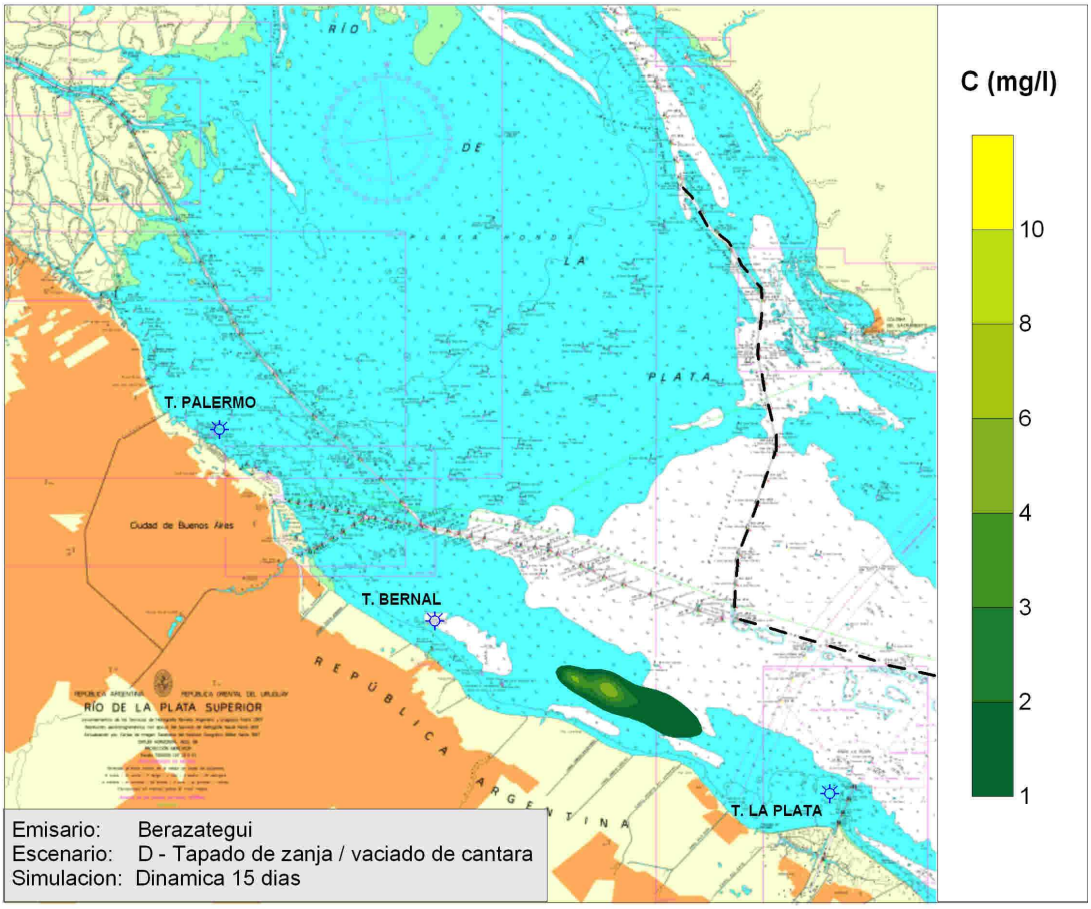

Figura A.6.6.4.2.8 – Distribución superficial de la concentración: día 4 hora 24.

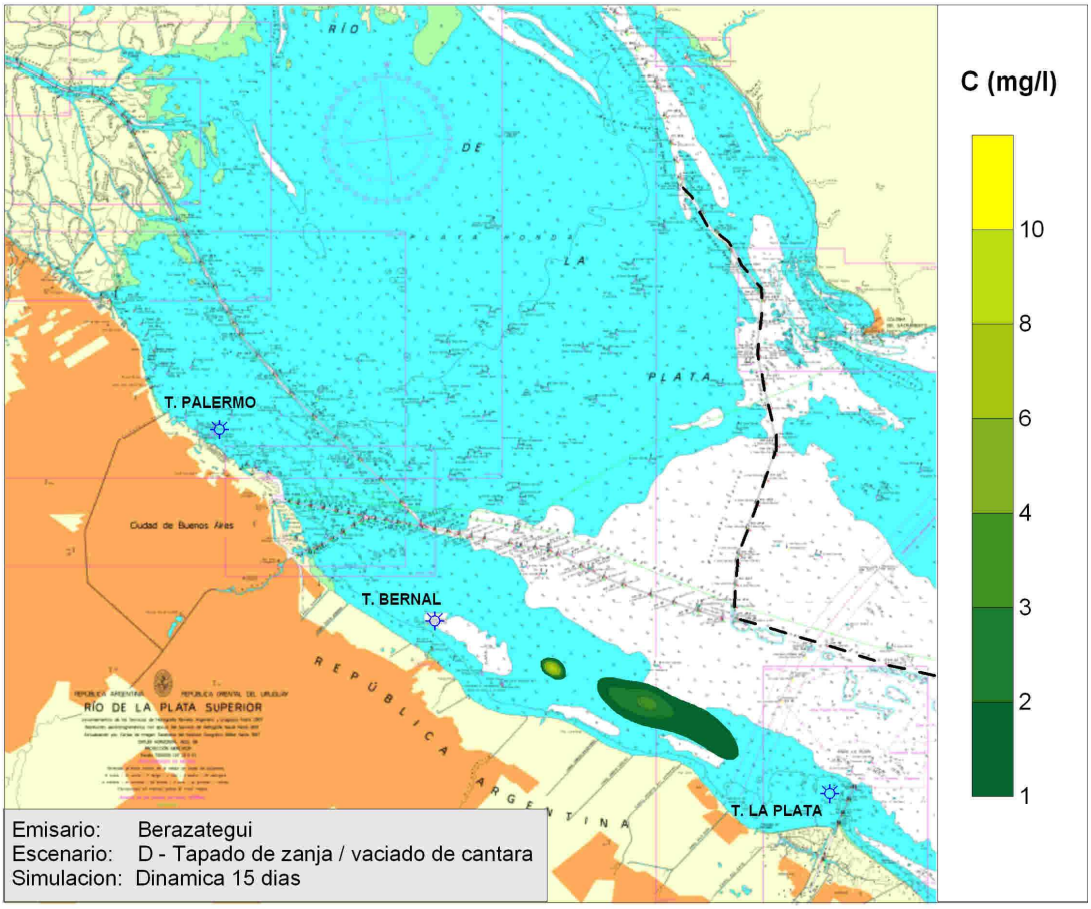

Figura A.6.6.4.2.9 – Distribución superficial de la concentración: día 5 hora 12.

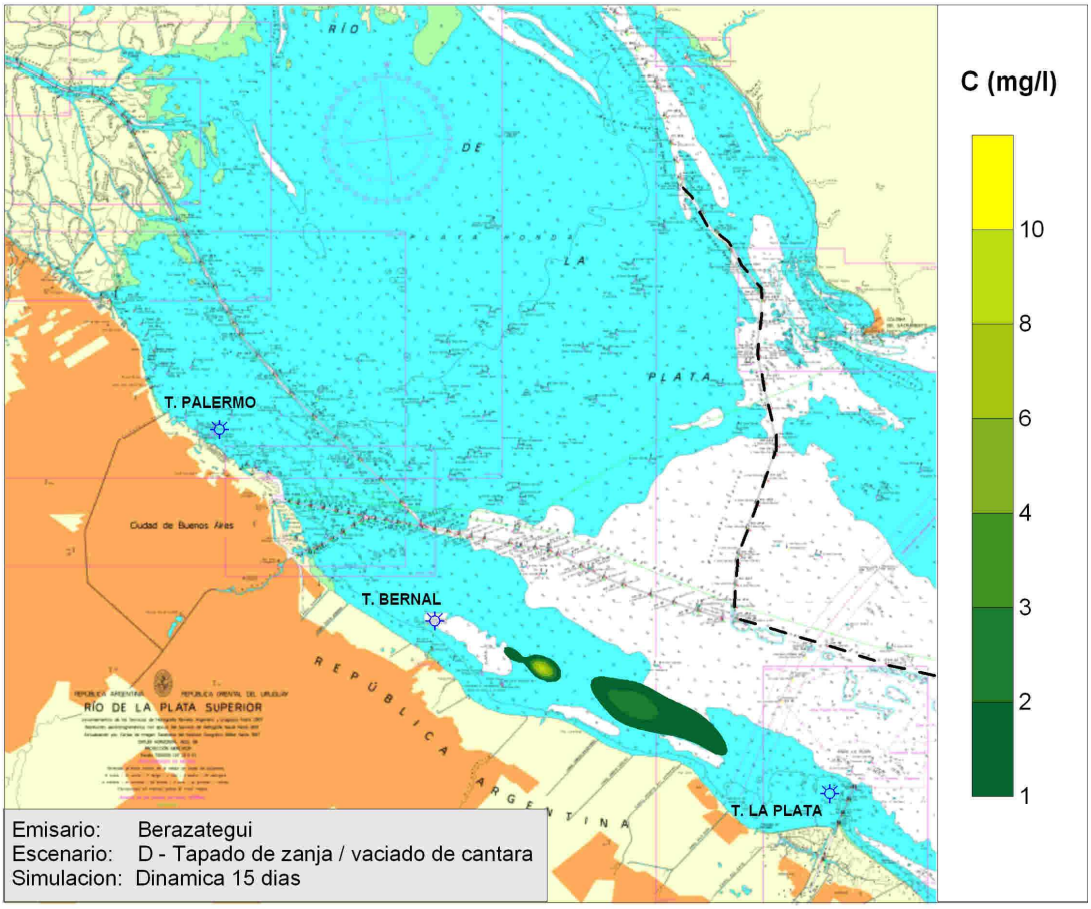

Figura A.6.6.4.2.10 – Distribución superficial de la concentración: día 5 hora 24.

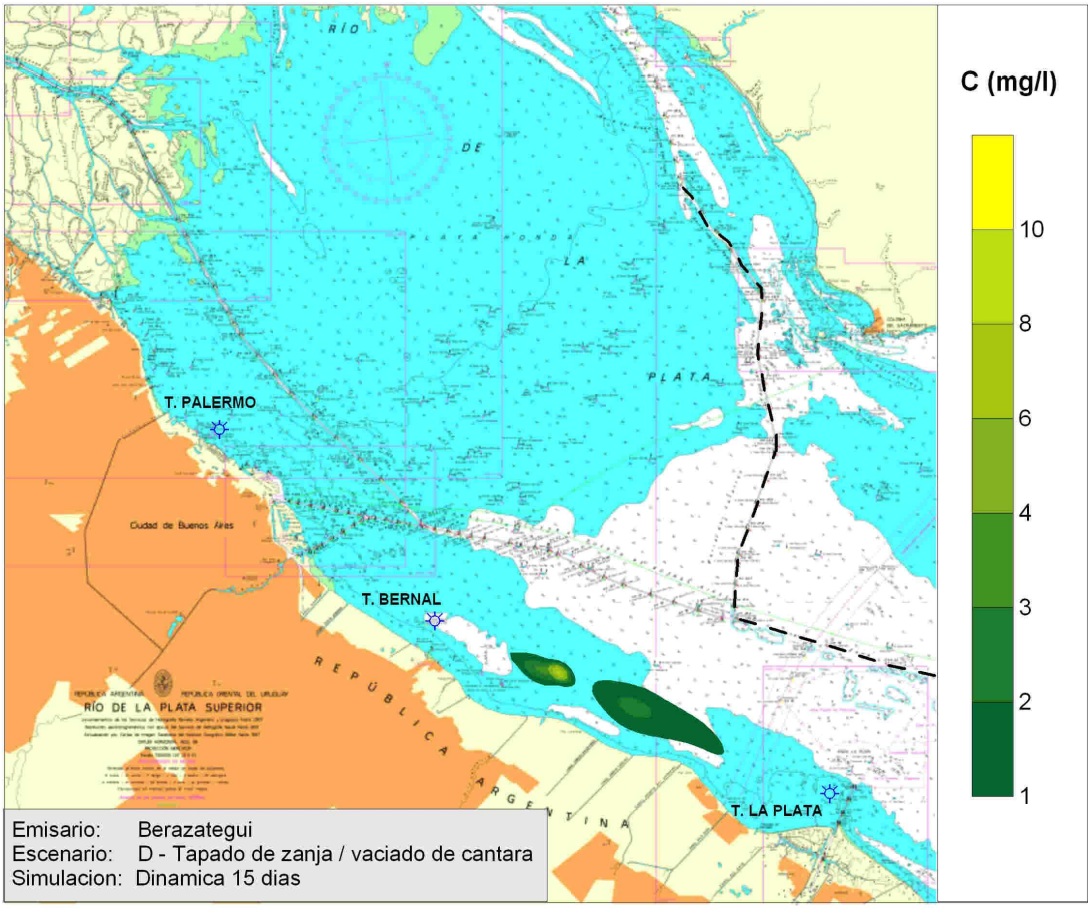

Figura A.6.6.4.2.11 – Distribución superficial de la concentración: día 6 hora 12.

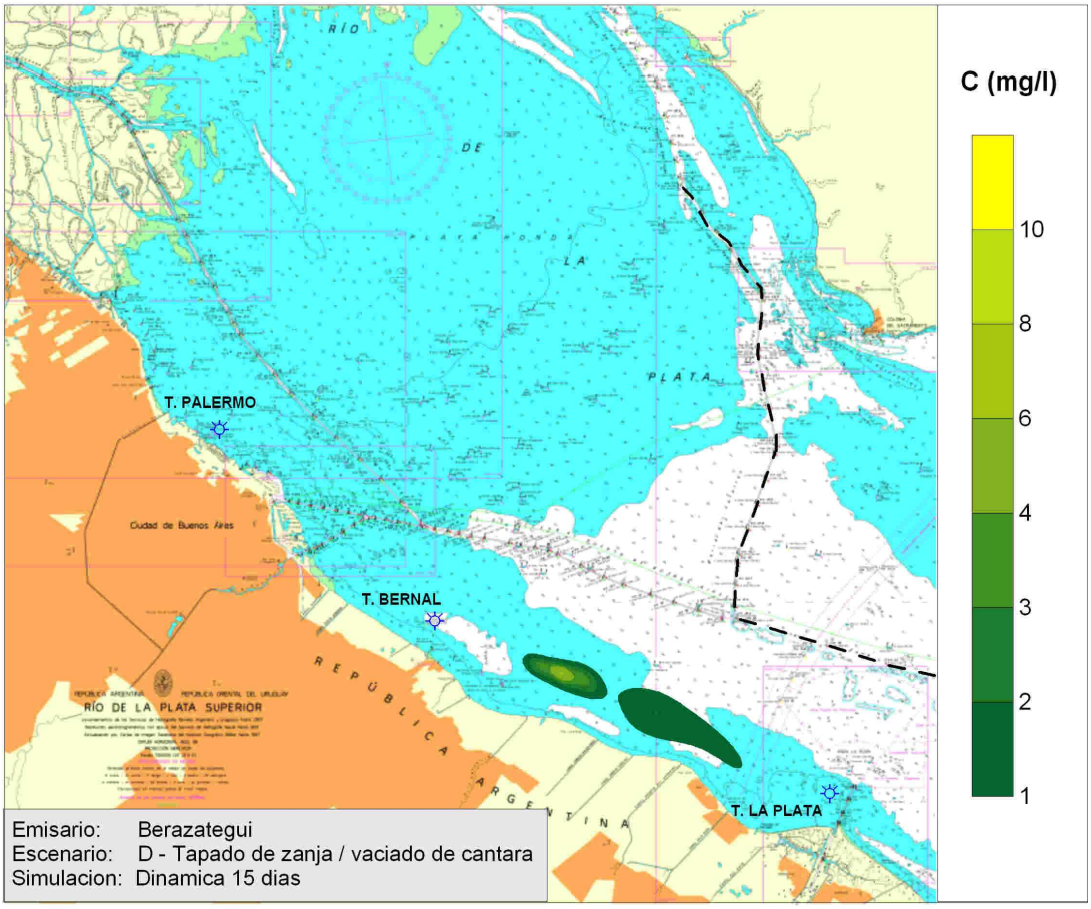

Figura A.6.6.4.2.12 – Distribución superficial de la concentración: día 6 hora 24.

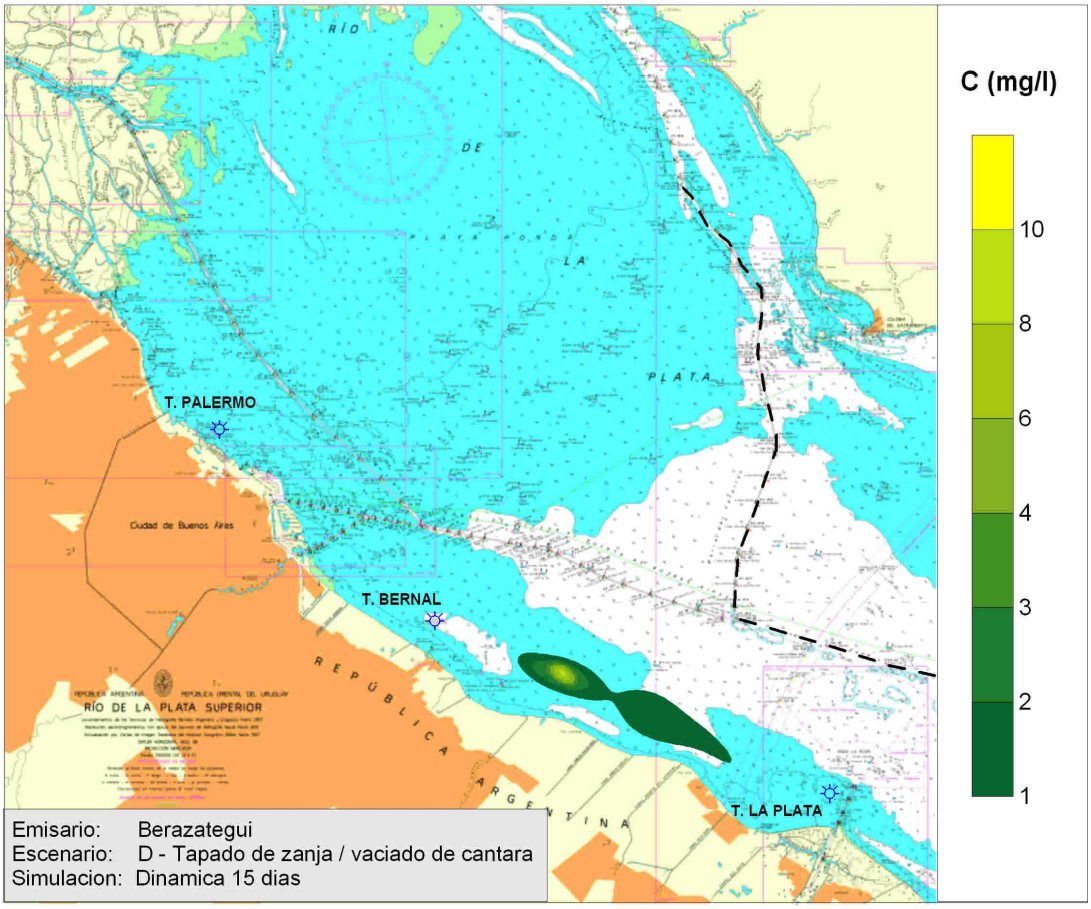

Figura A.6.6.4.2.13 – Distribución superficial de la concentración: día 7 hora 12.

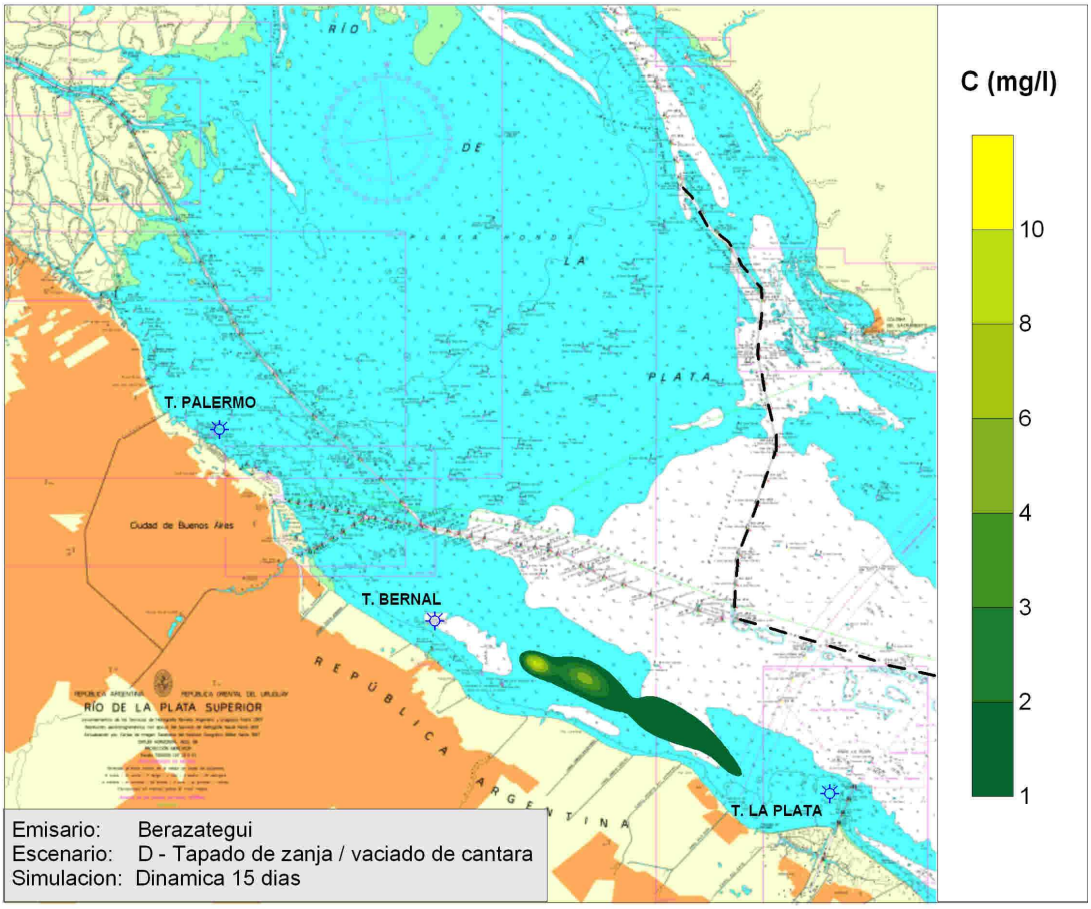

Figura A.6.6.4.2.14 – Distribución superficial de la concentración: día 7 hora 24.

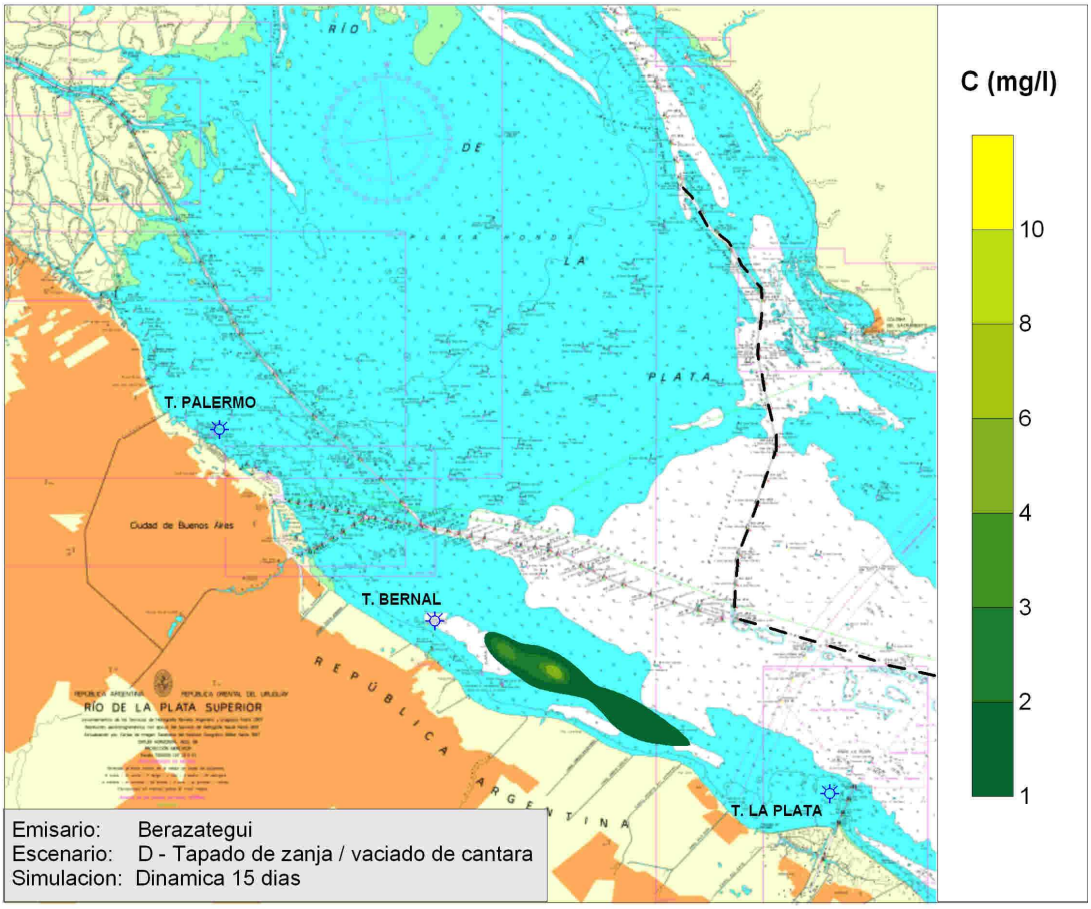

Figura A.6.6.4.2.15 – Distribución superficial de la concentración: día 8 hora 12.

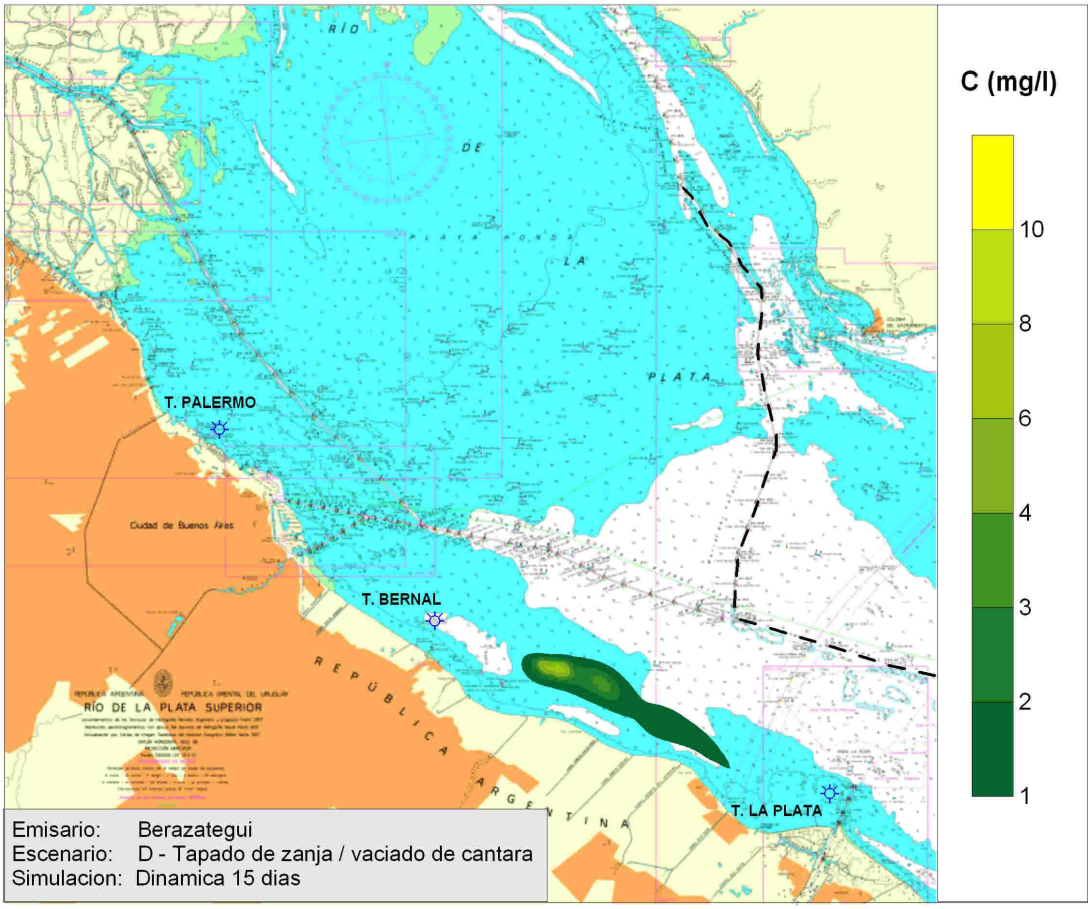

Figura A.6.6.4.2.16 – Distribución superficial de la concentración: día 8 hora 24.

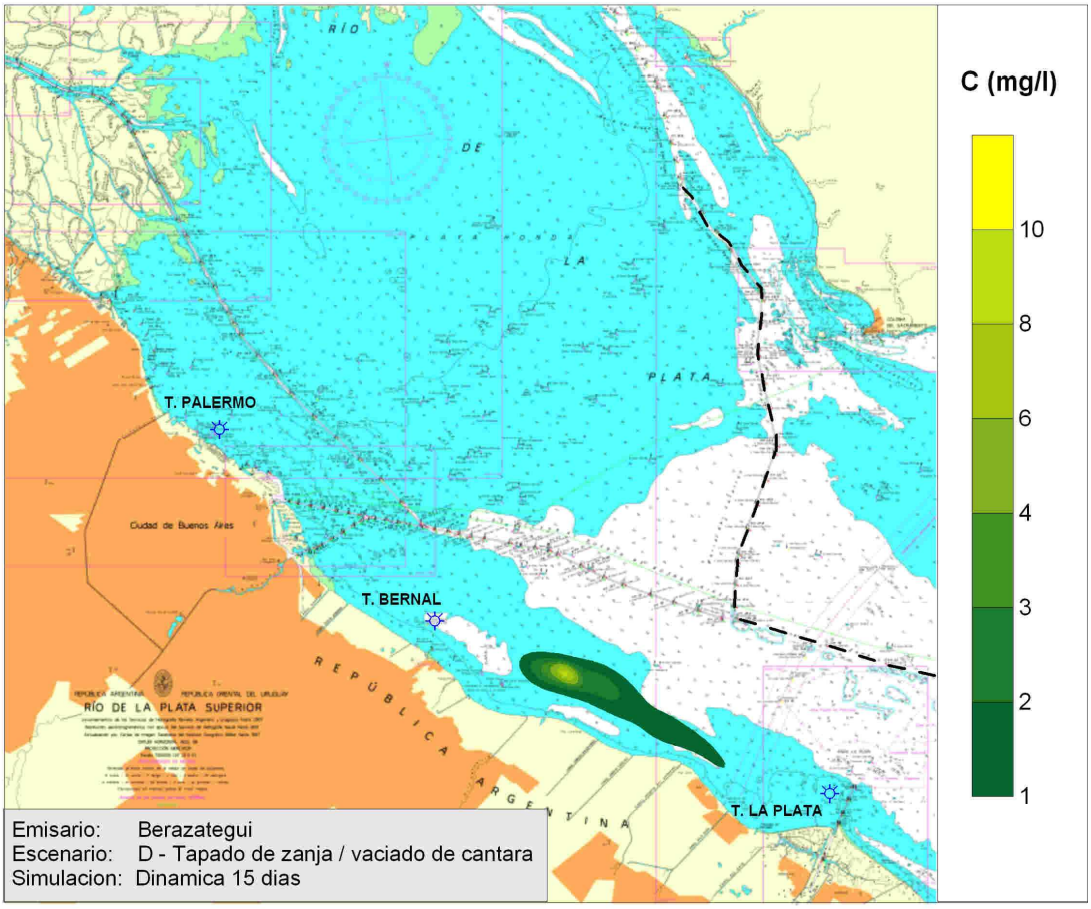

Figura A.6.6.4.2.17 – Distribución superficial de la concentración: día 9 hora 12.

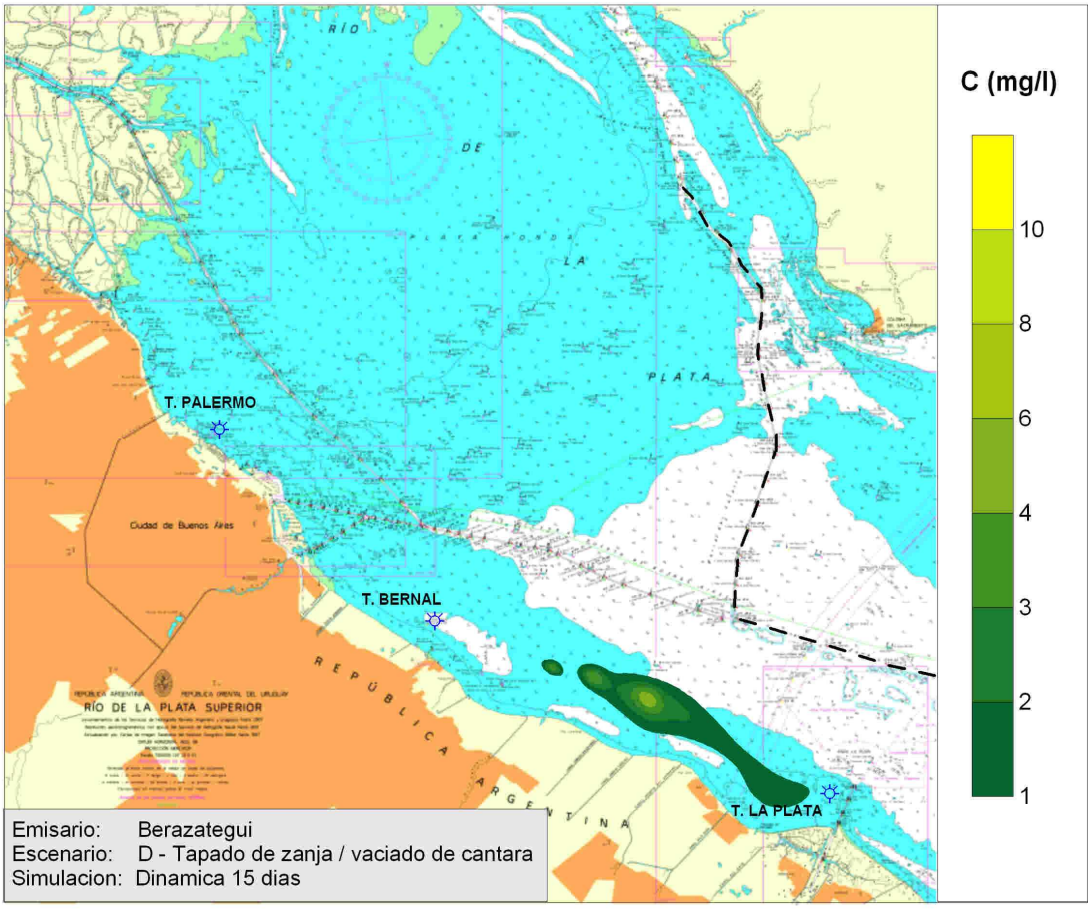

Figura A.6.6.4.2.18 – Distribución superficial de la concentración: día 9 hora 24.

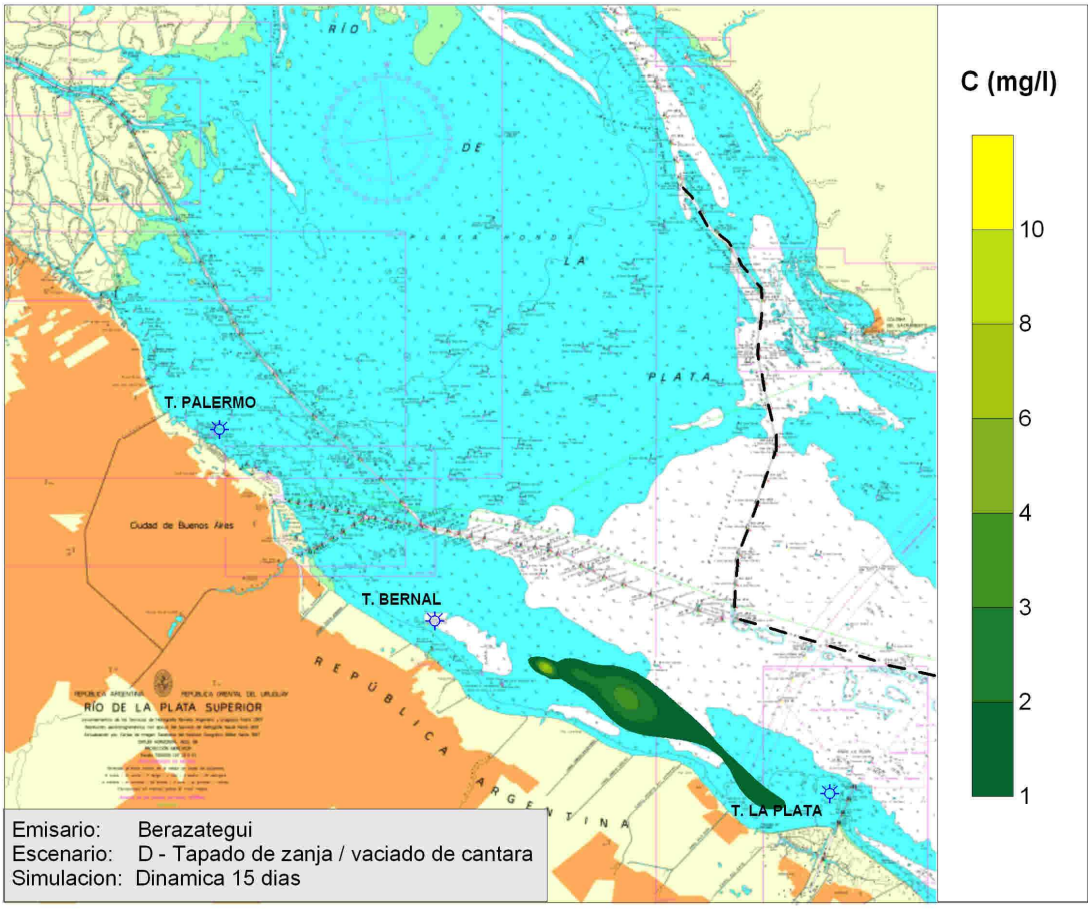

Figura A.6.6.4.2.19 – Distribución superficial de la concentración: día 10 hora 12.

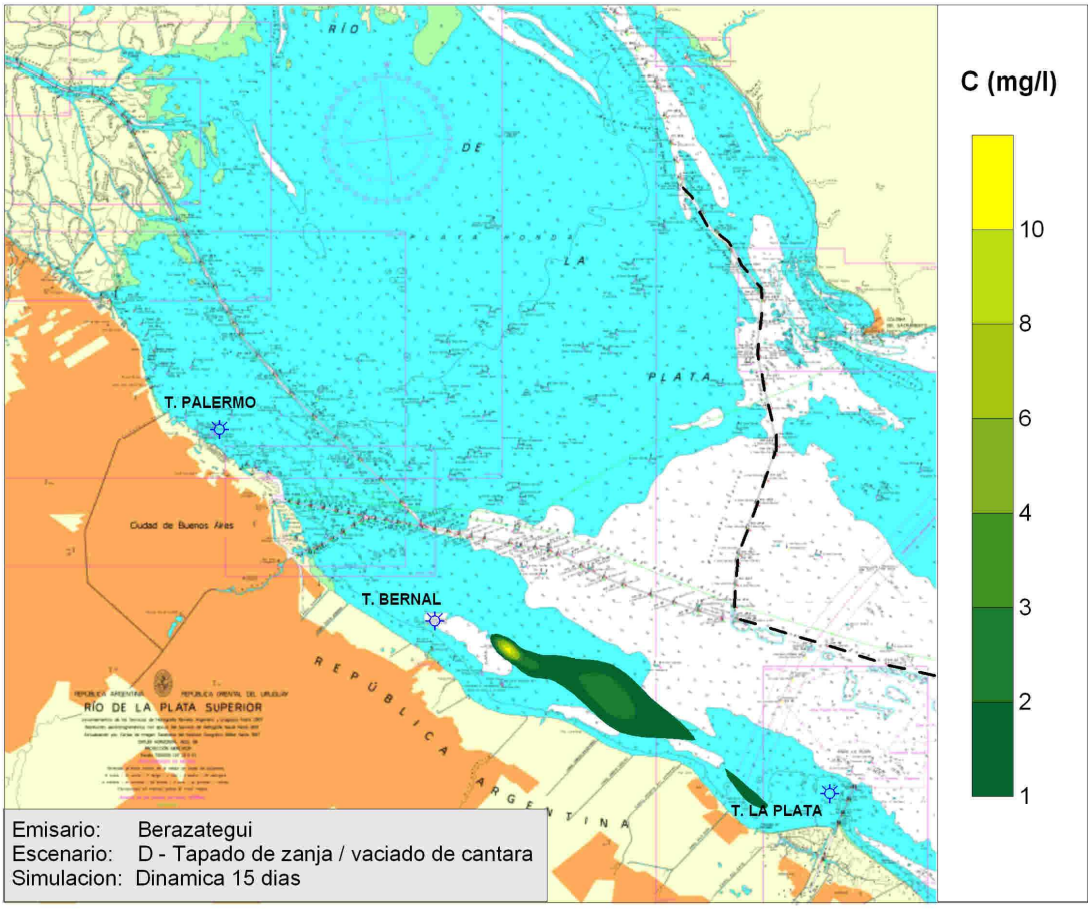

Figura A.6.6.4.2.20 – Distribución superficial de la concentración: día 10 hora 24.

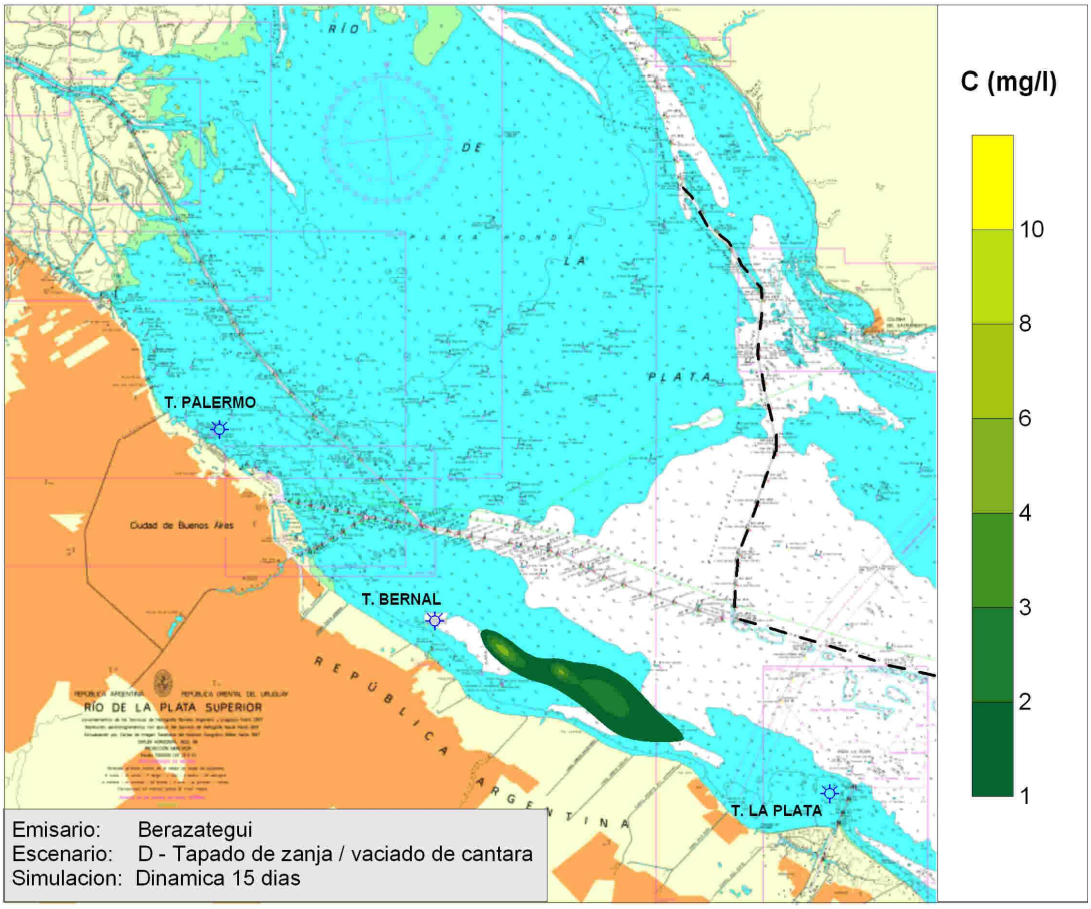

Figura A.6.6.4.2.21 – Distribución superficial de la concentración: día 11 hora 12.

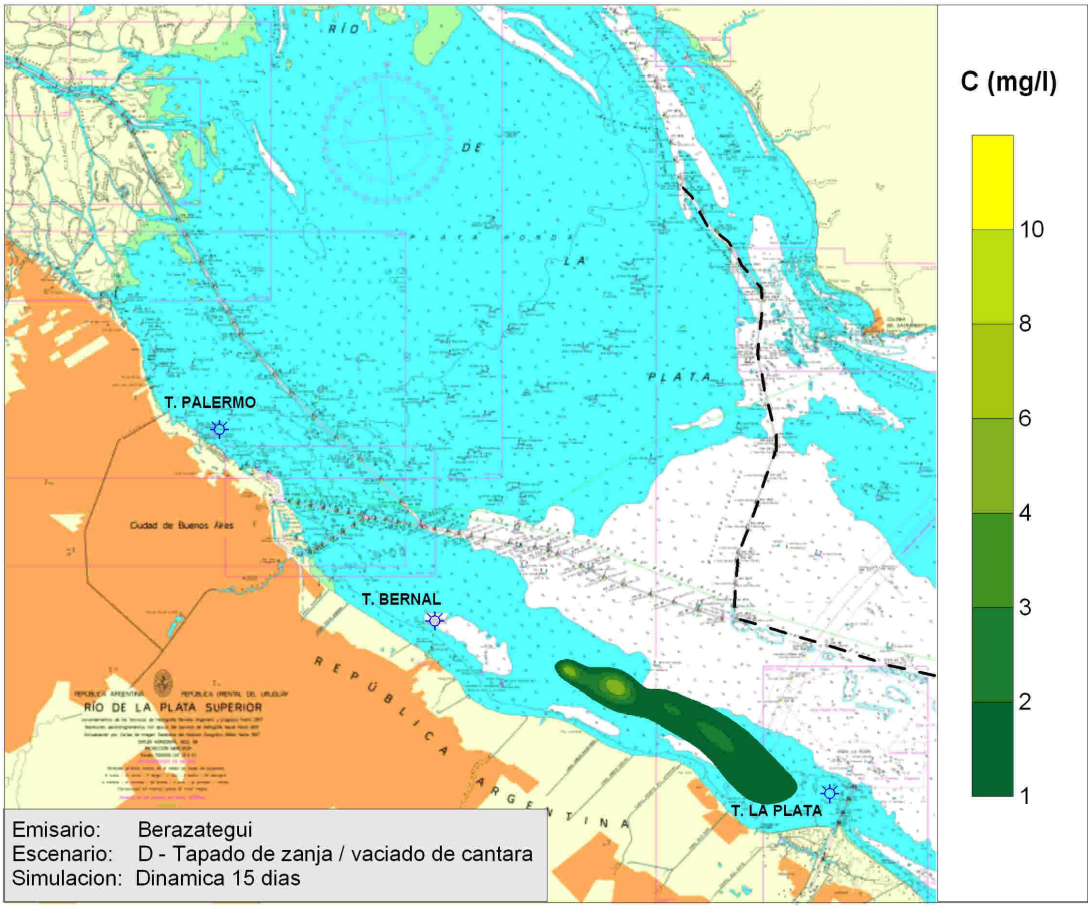

Figura A.6.6.4.2.22 – Distribución superficial de la concentración: día 11 hora 24.

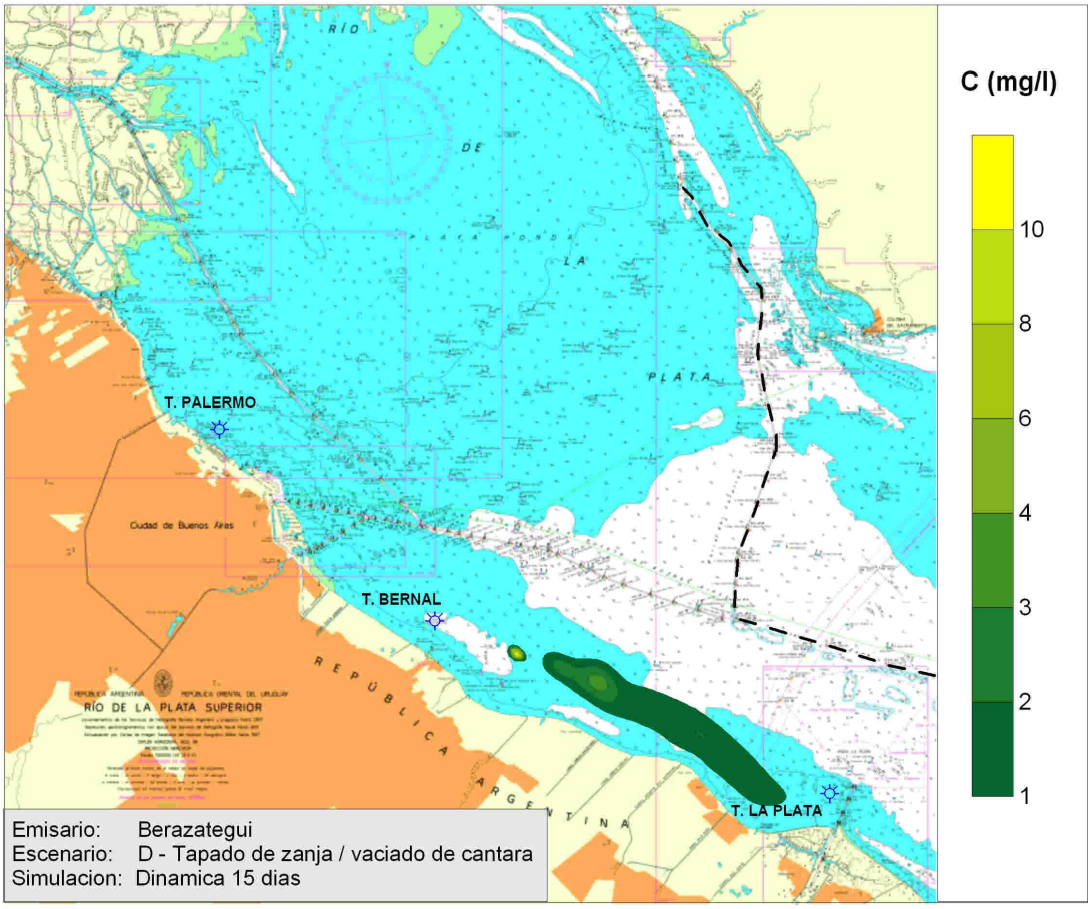

Figura A.6.6.4.2.23 – Distribución superficial de la concentración: día 12 hora 12.

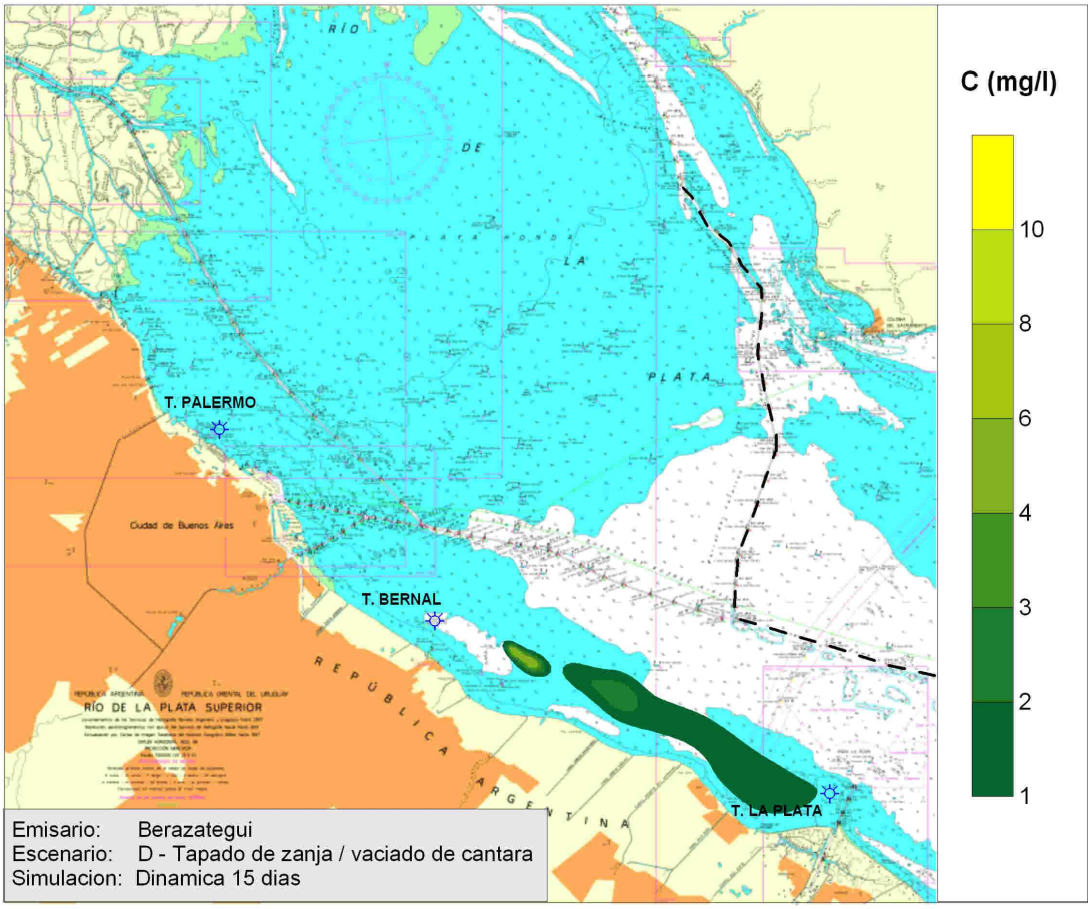

Figura A.6.6.4.2.24 – Distribución superficial de la concentración: día 12 hora 24.

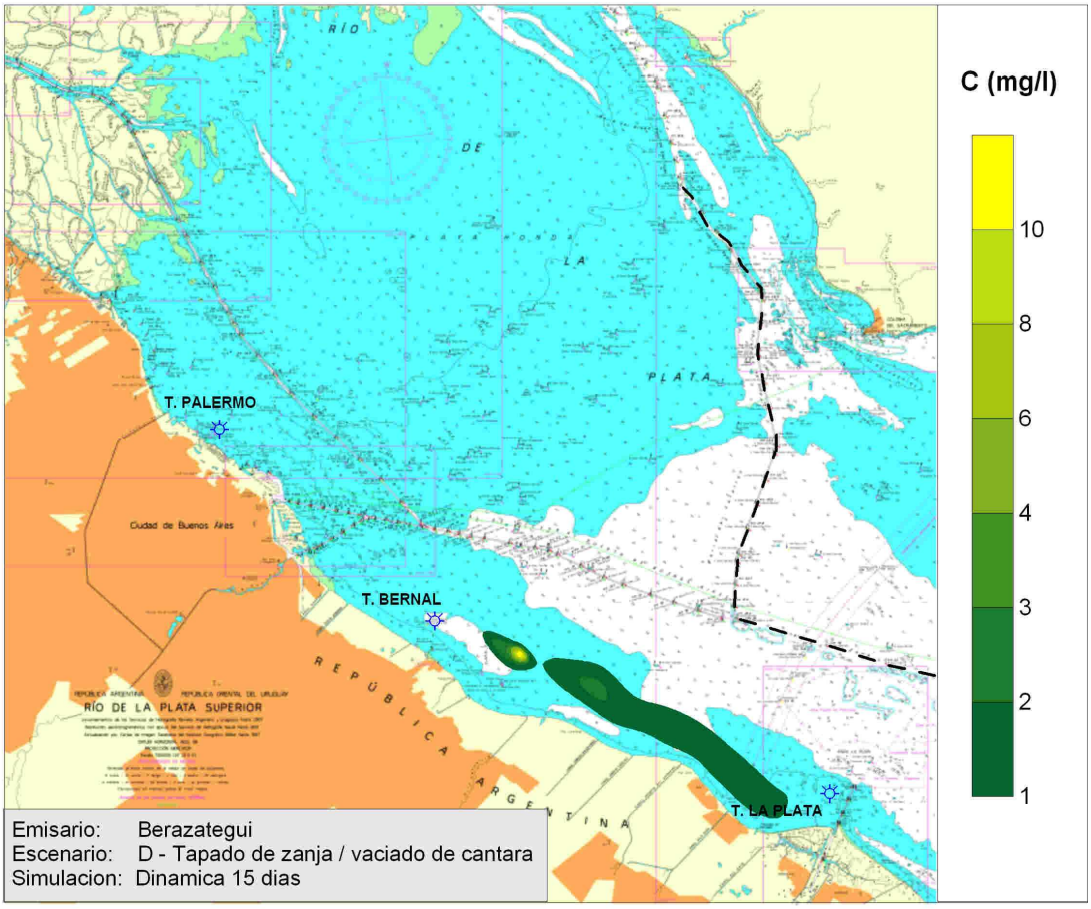

Figura A.6.6.4.2.25 – Distribución superficial de la concentración: día 13 hora 12.

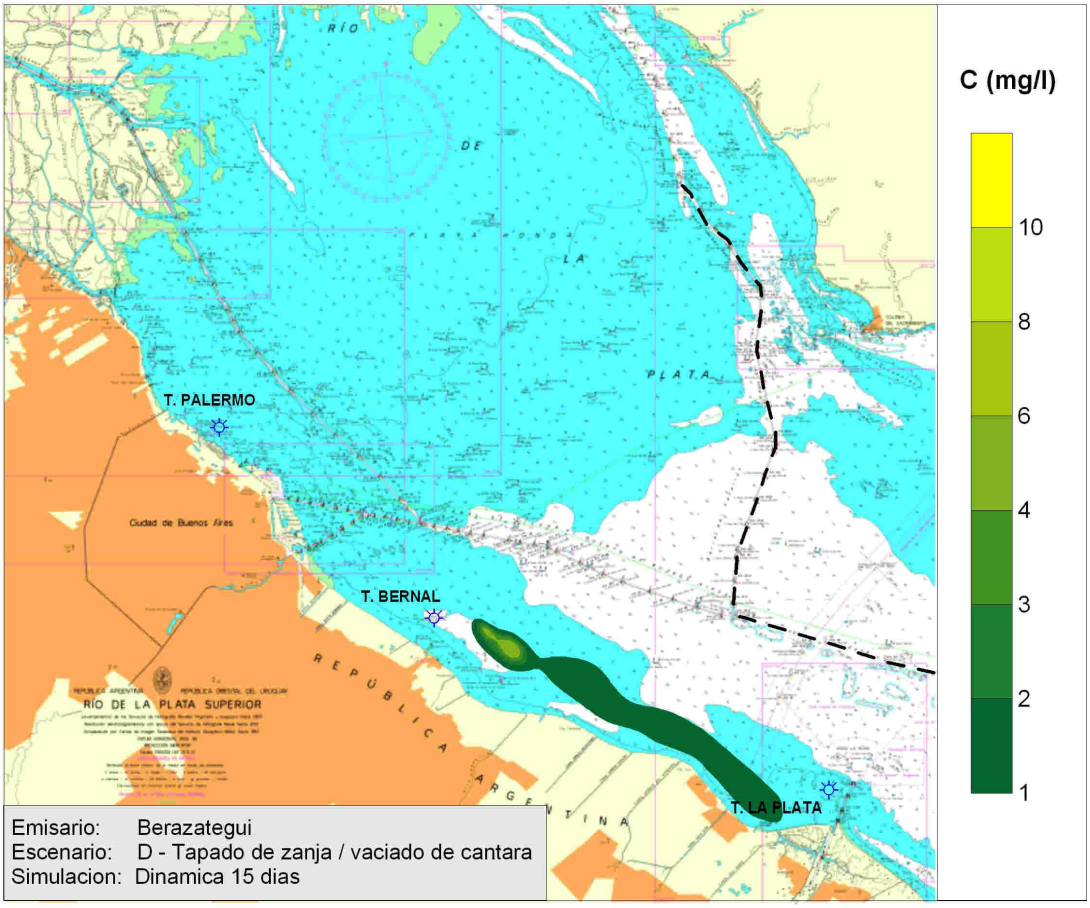

Figura A.6.6.4.2.26 – Distribución superficial de la concentración: día 13 hora 24.

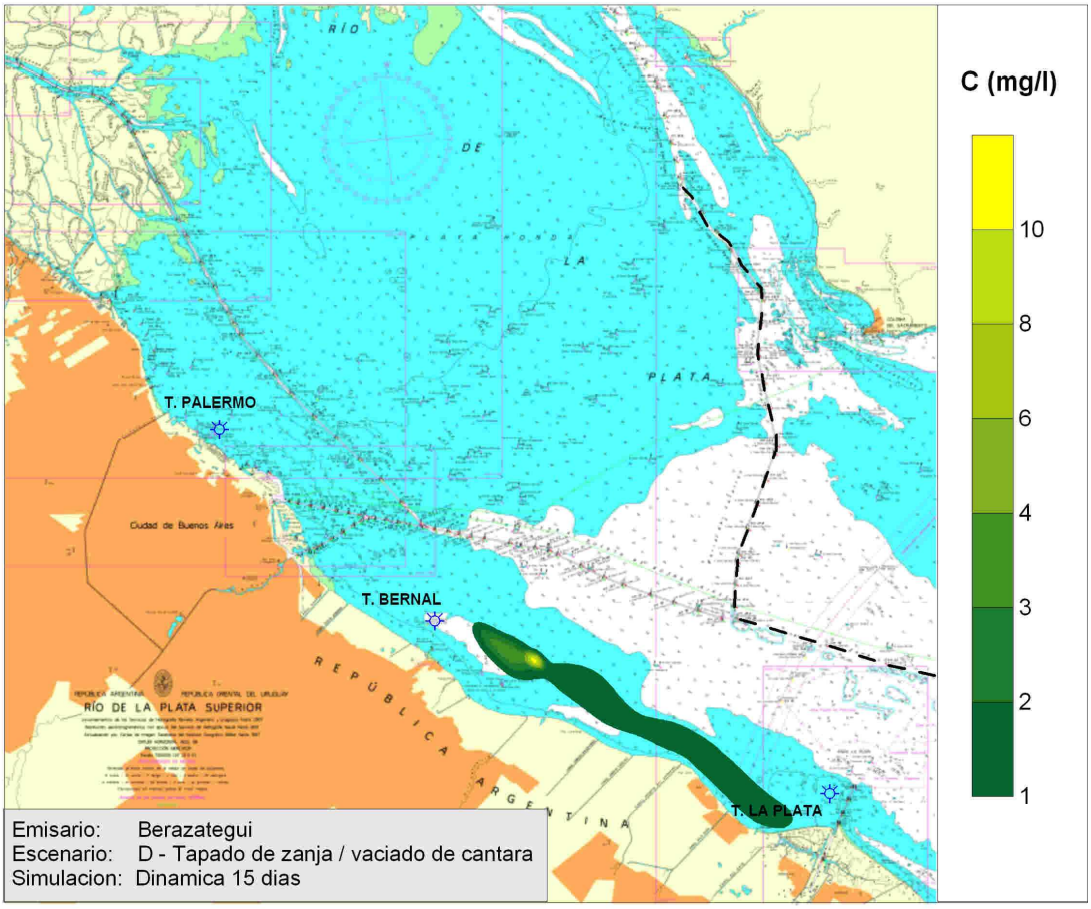

Figura A.6.6.4.2.27 – Distribución superficial de la concentración: día 14 hora 12.

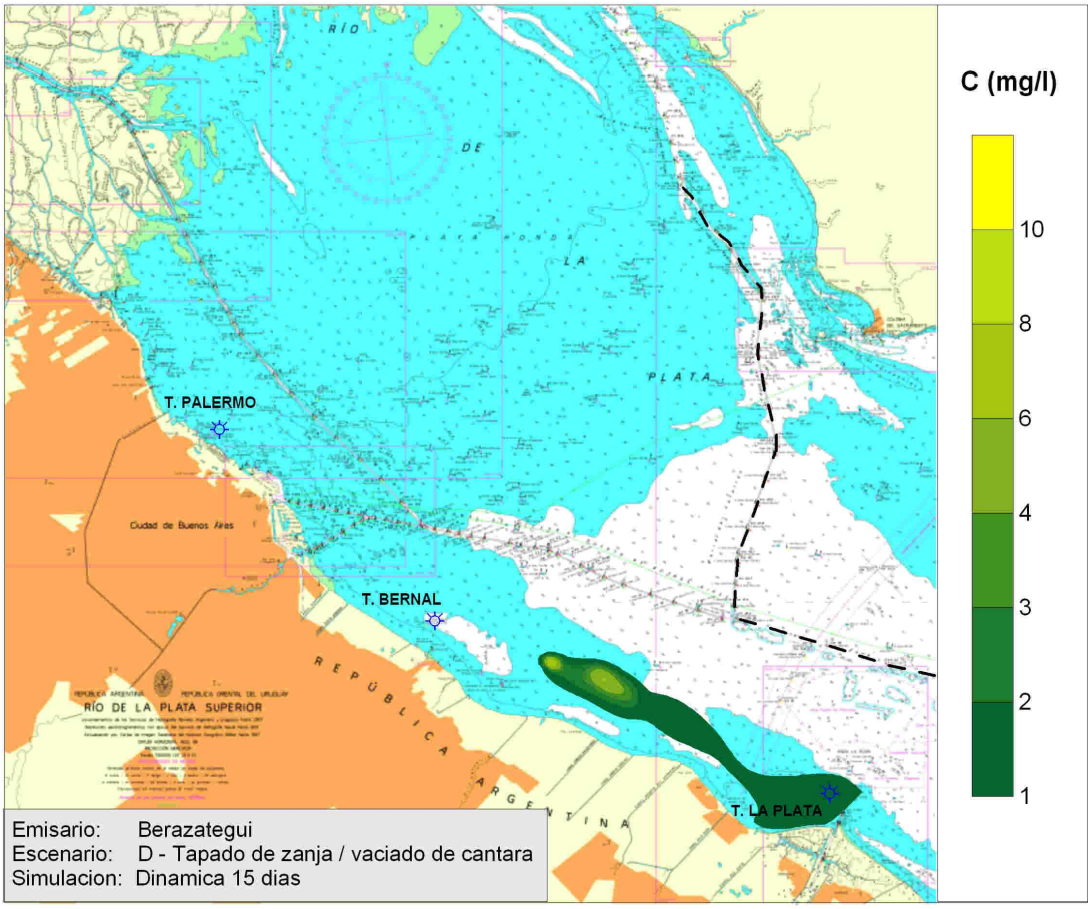

Figura A.6.6.4.2.28 – Distribución superficial de la concentración: día 14 hora 24.

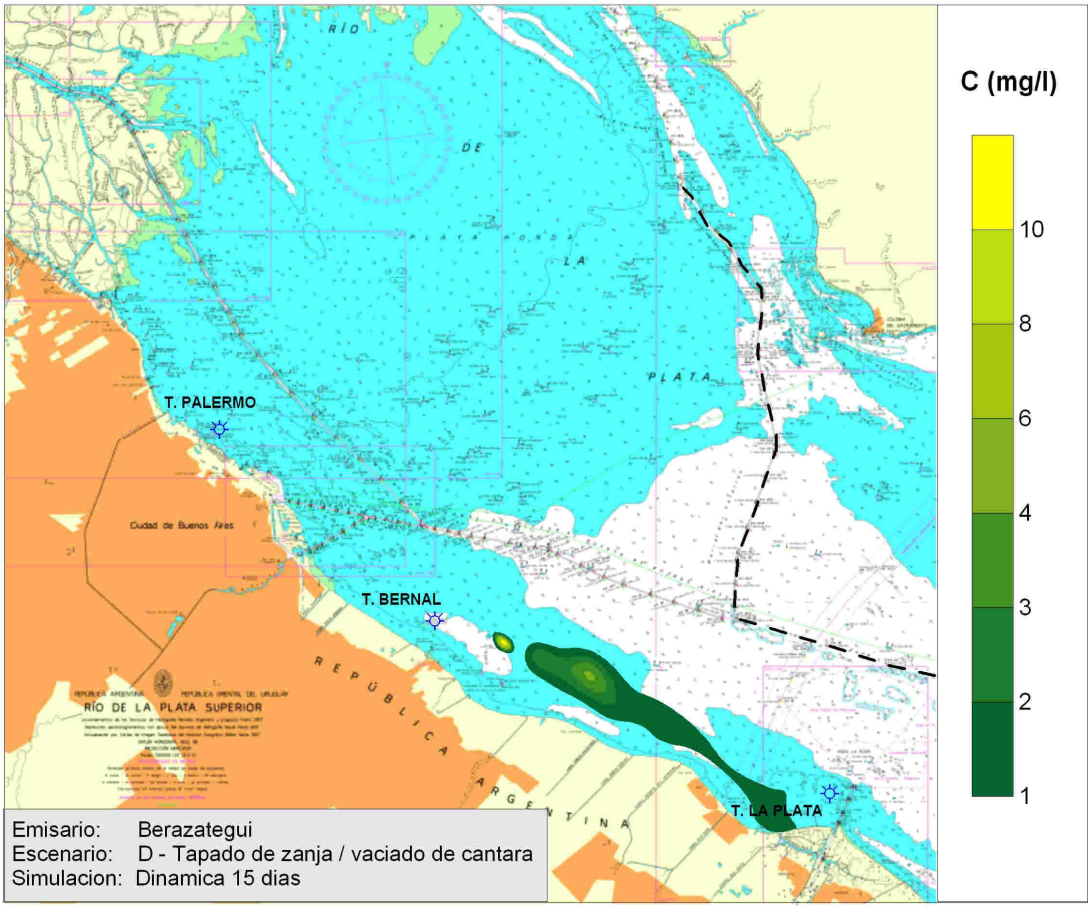

Figura A.6.6.4.2.29 – Distribución superficial de la concentración: día 15 hora 12.

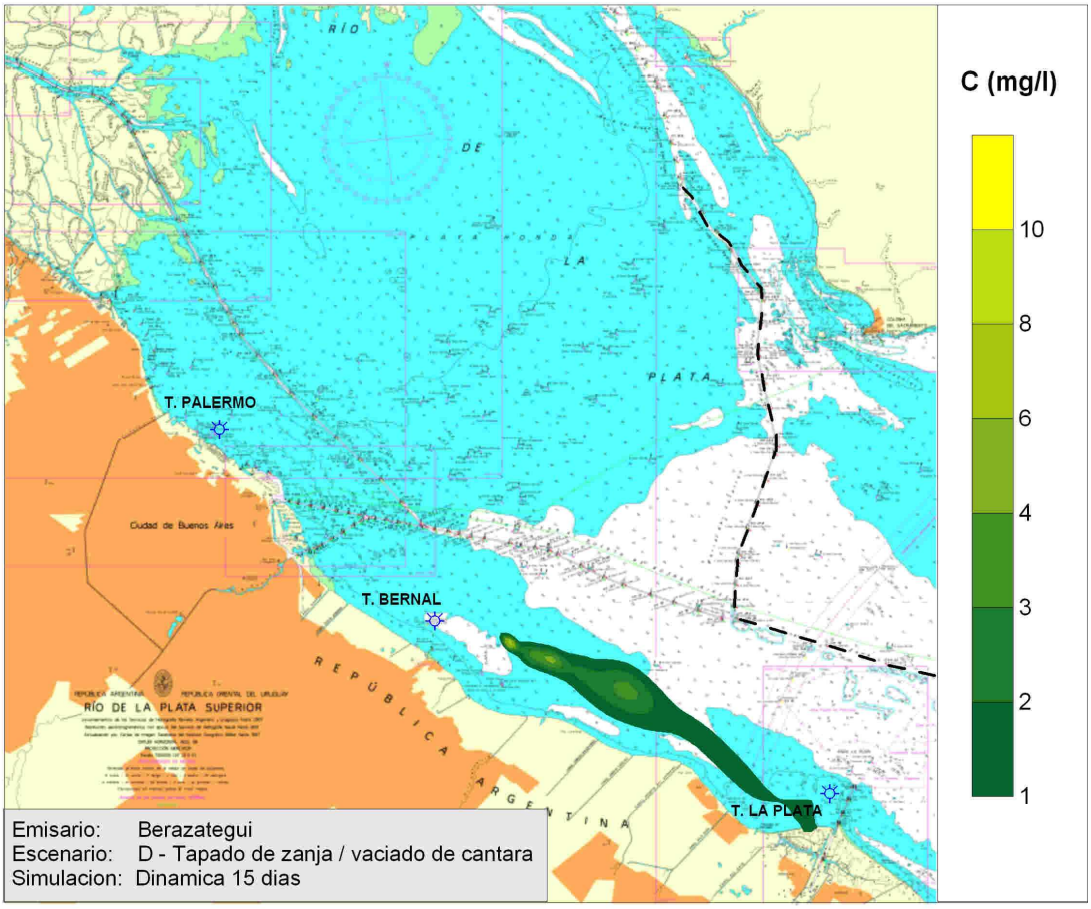

Figura A.6.6.4.2.30 – Distribución superficial de la concentración: día 15 hora 24.

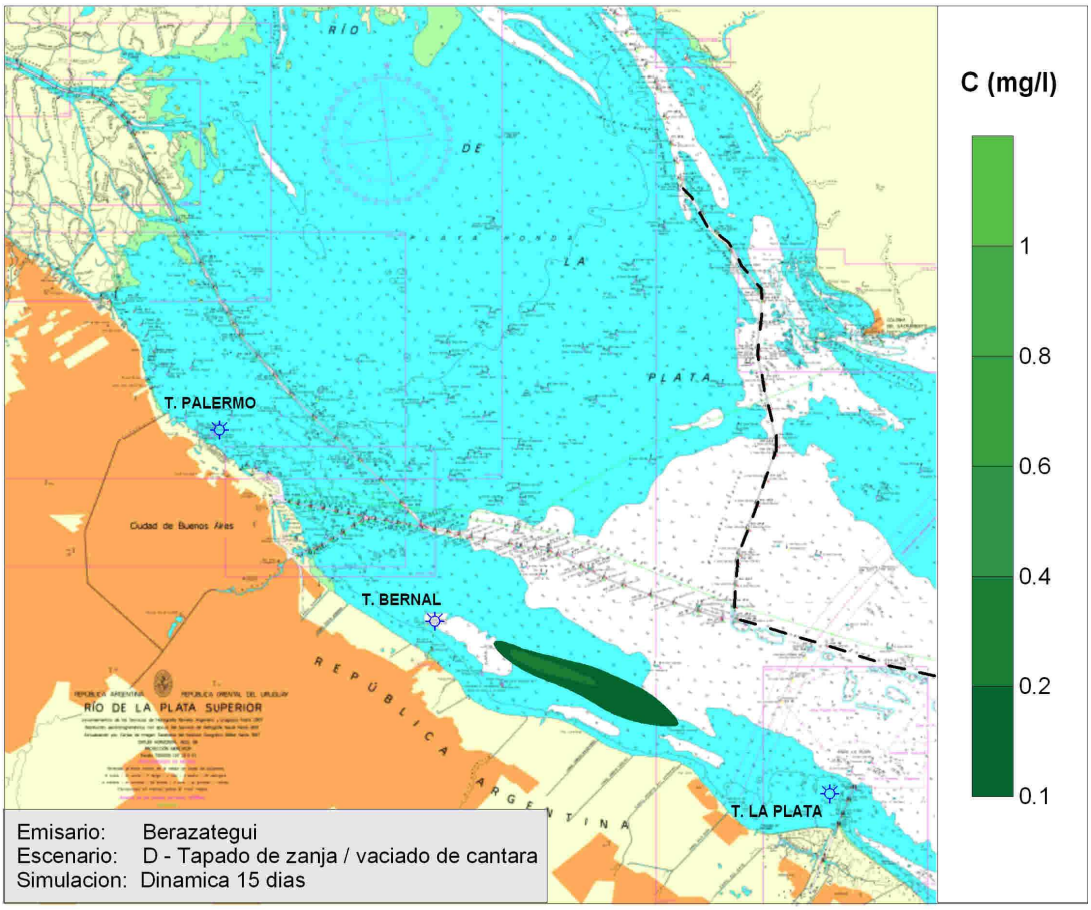

Figura A.6.6.4.2.31 – Distribución superficial de la concentración promedio durante los 15 días de la simulación.

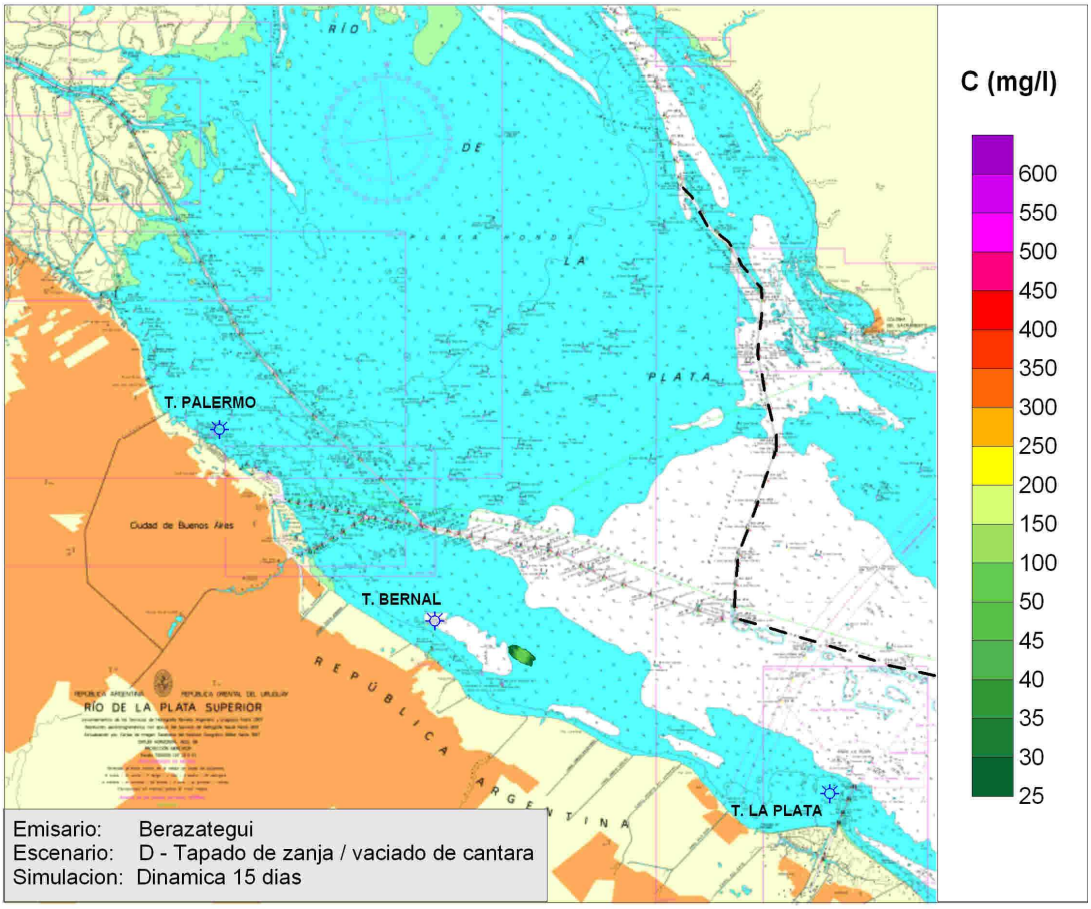

Figura A.6.6.4.2.32 – Distribución superficial de la concentración máxima durante los 15 días de la simulación.

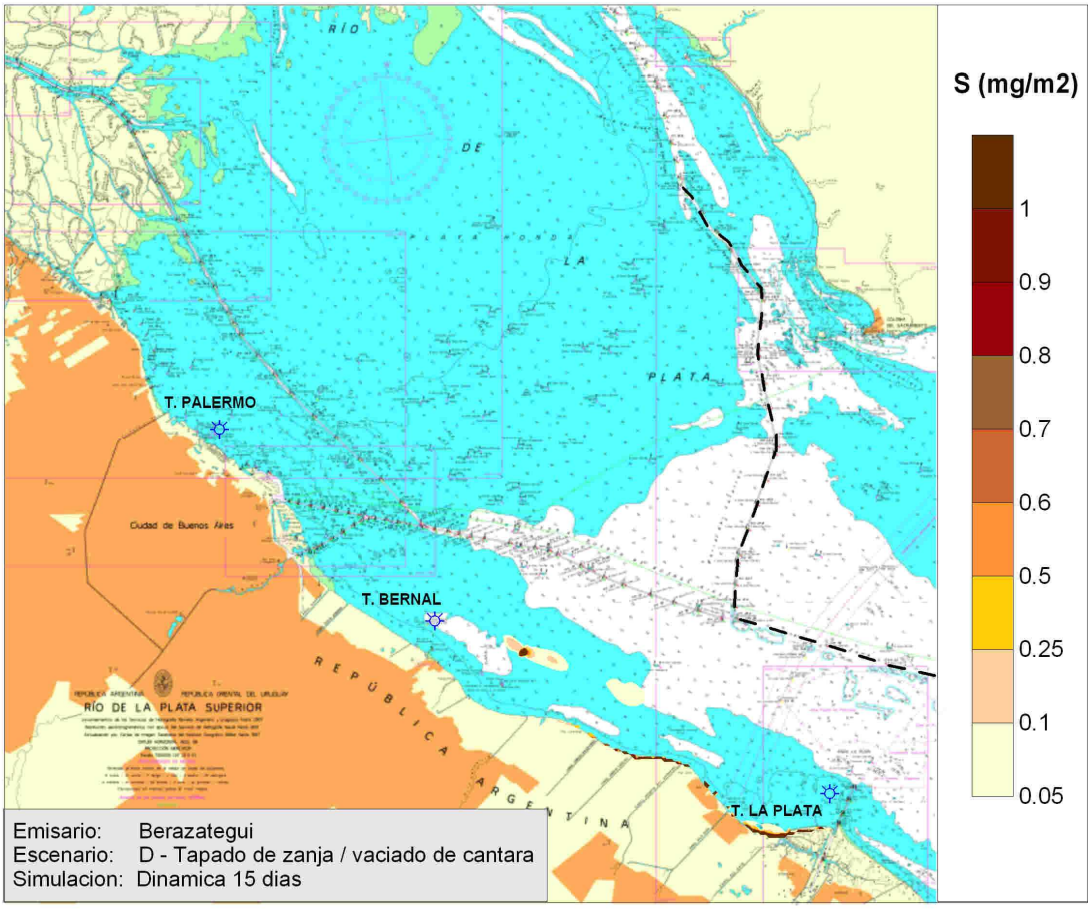

Figura A.6.6.4.2.33 – Distribución superficial de la masa sedimentada durante los 15 días de la simulación.

ANEXO 6.7.1.1

Análisis de sensibilidad para dragado con cortadora y vaciado por cañería satélite en emisario Berazategui

Evolución de parámetros en estaciones fijas.

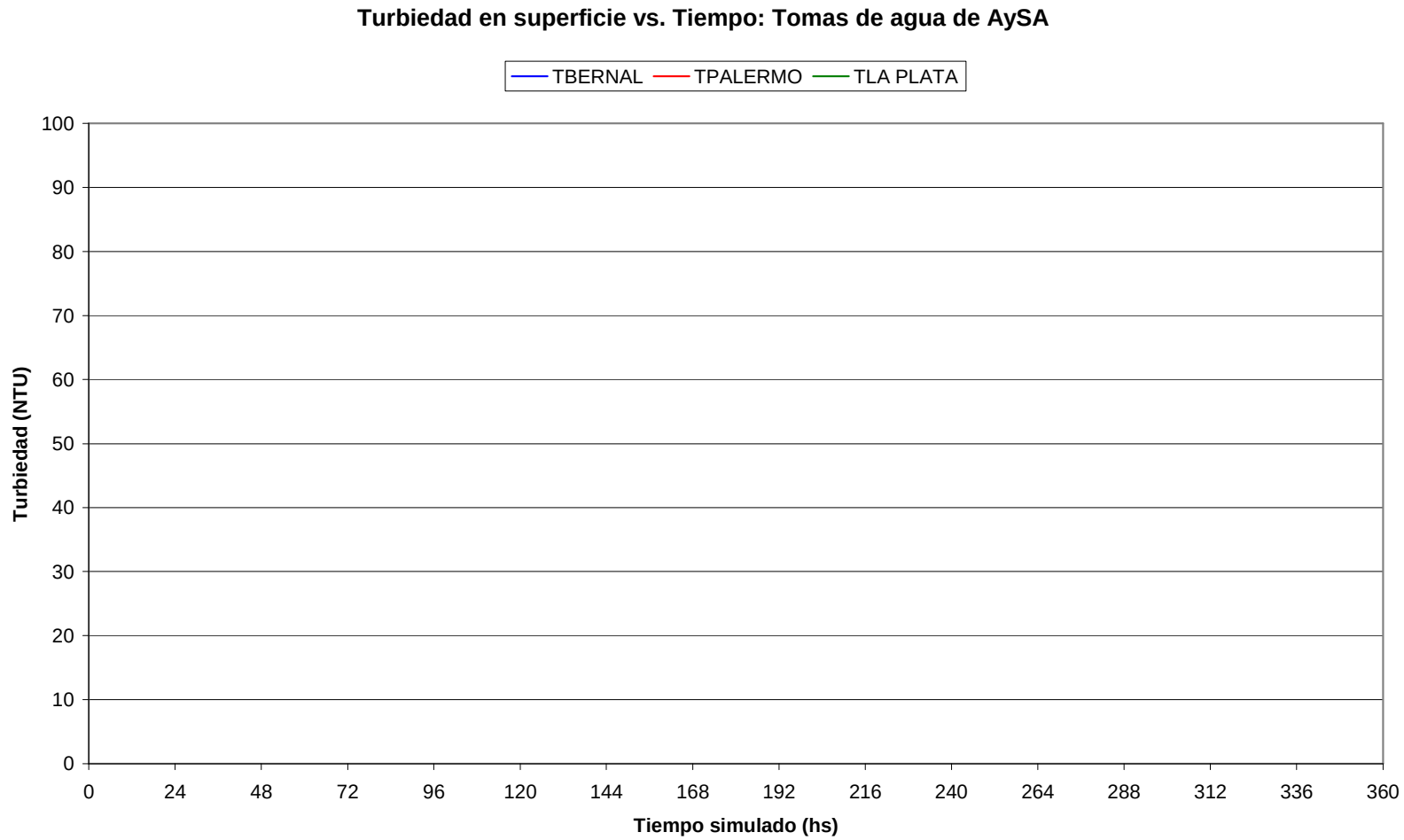

Figura A.6.7.1.1.1 – Turbiedad en tomas de agua. Capa superficial. No se observan niveles mensurables de sobre-concentración.

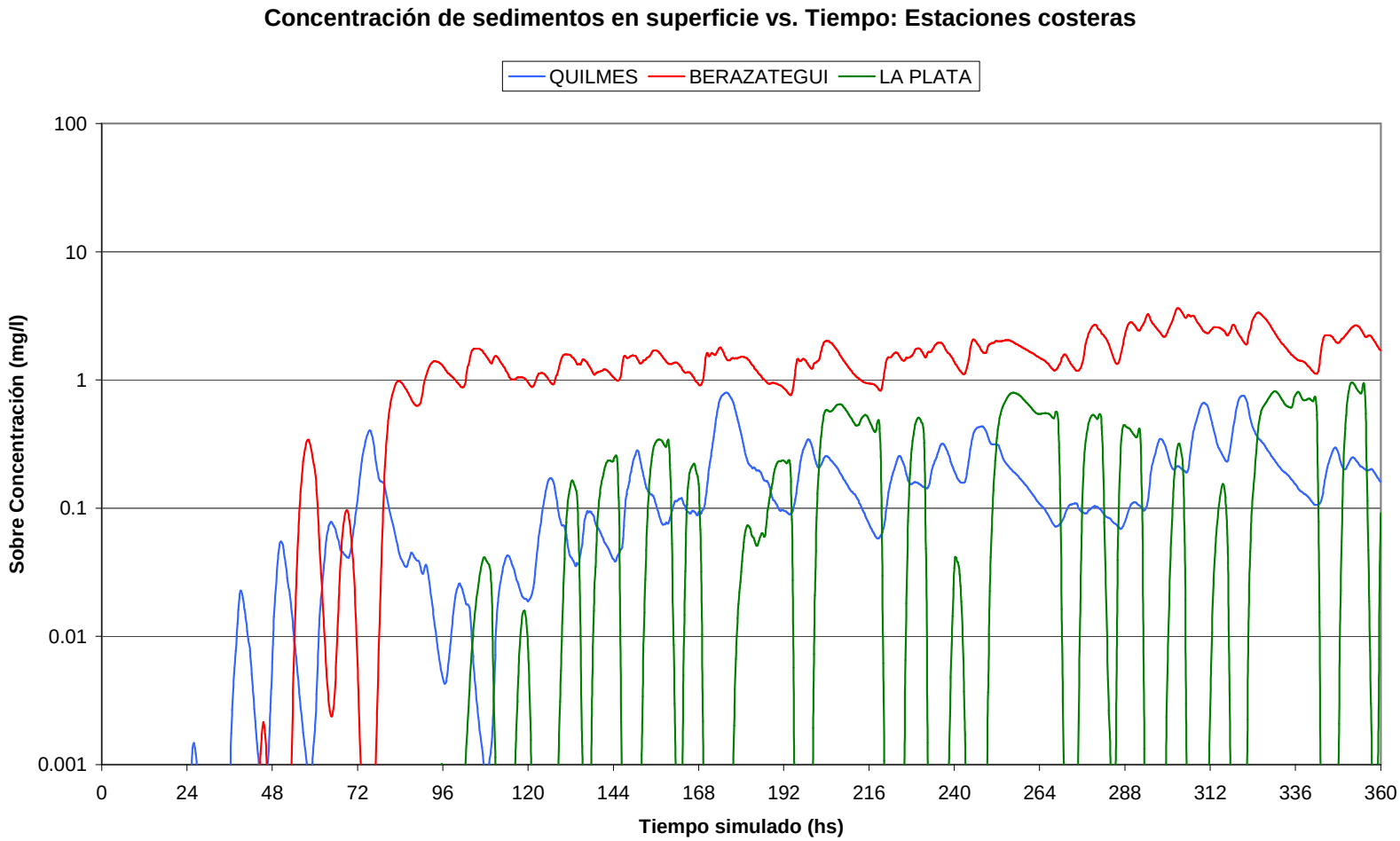

Figura A.6.7.1.1.2 – Concentración de sedimentos en áreas costeras. Capa superficial.

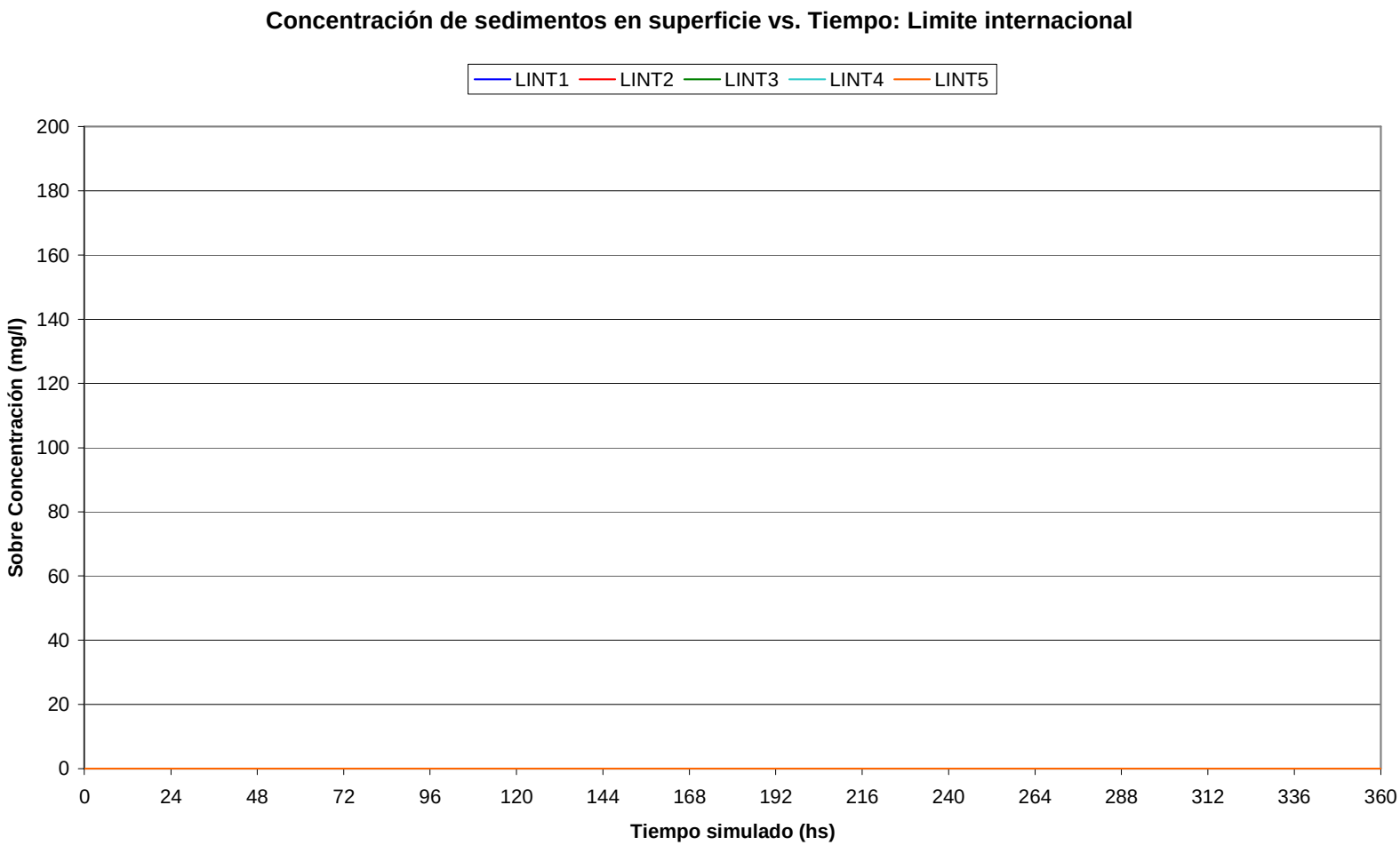

Figura A.6.7.1.1.3 – Concentración de sedimentos en el límite internacional. Capa superficial. No se observan niveles mensurables de sobre-concentración.

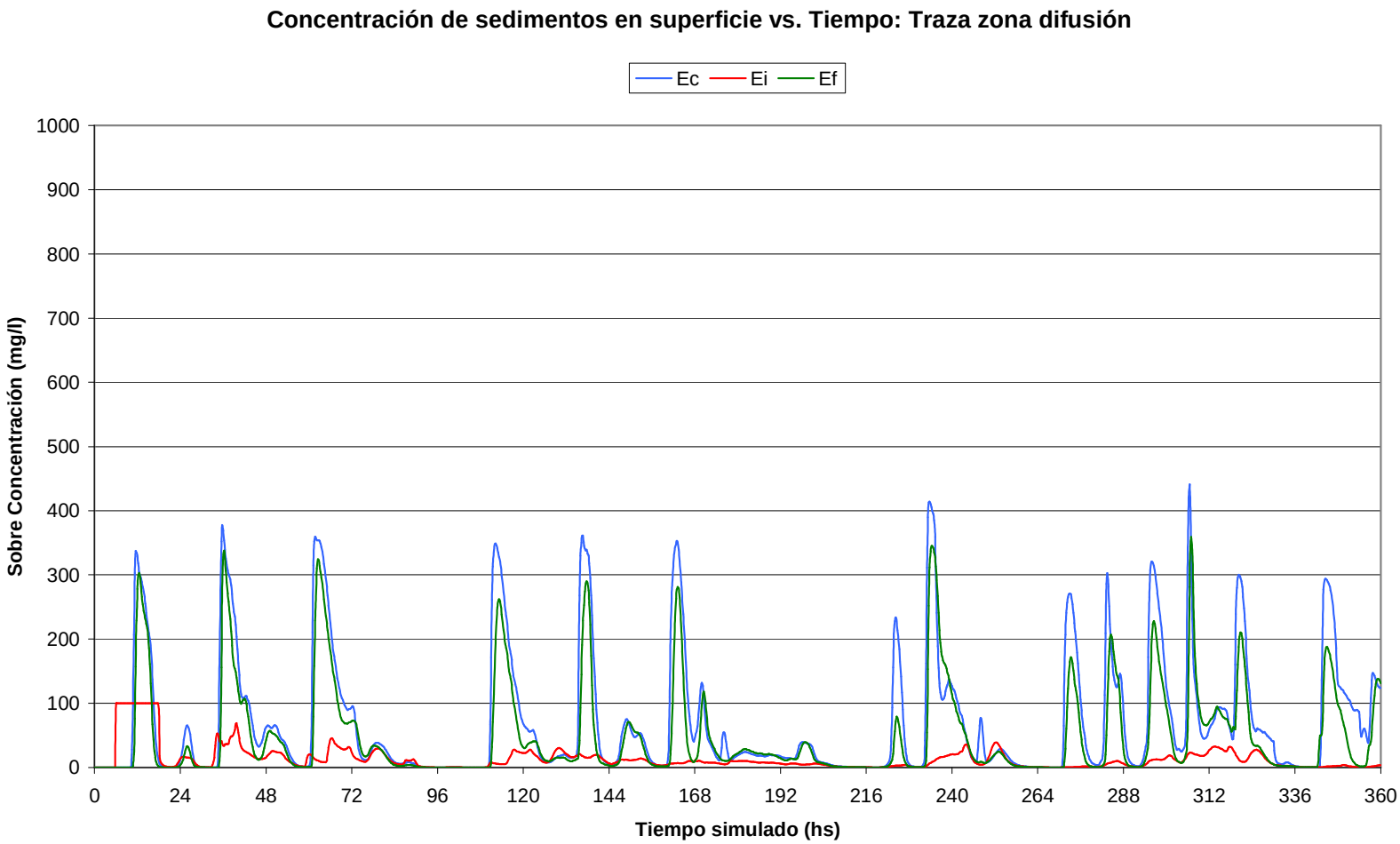

Figura A.6.7.1.1.4 – Concentración de sedimentos en la traza del emisario. Capa superficial.

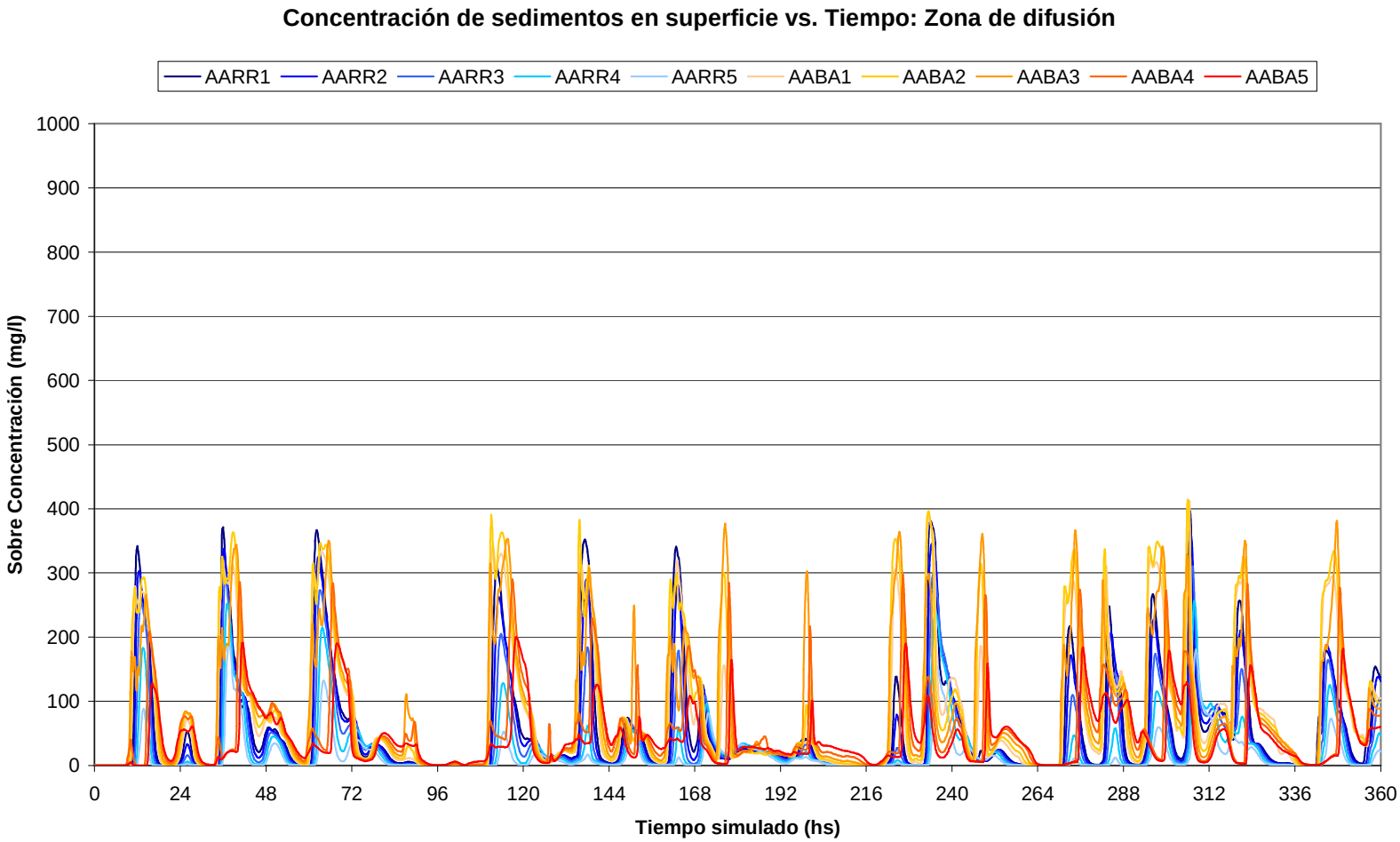

Figura A.6.7.1.1.5 – Concentración de sedimentos en la zona de difusión del emisario. Capa superficial.

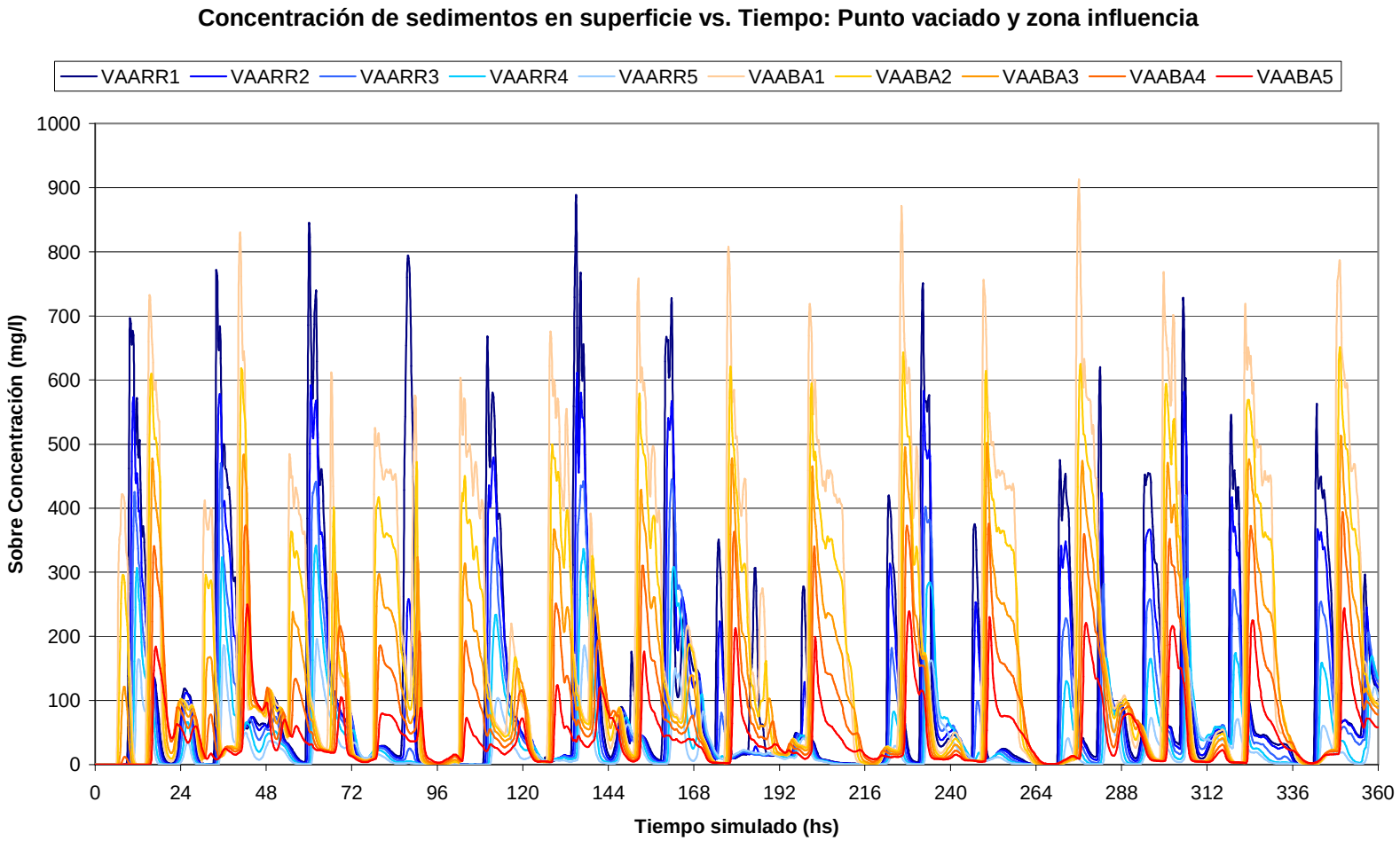

Figura A.6.7.1.1.6 – Concentración de sedimentos en la zona de refulado. Capa superficial.

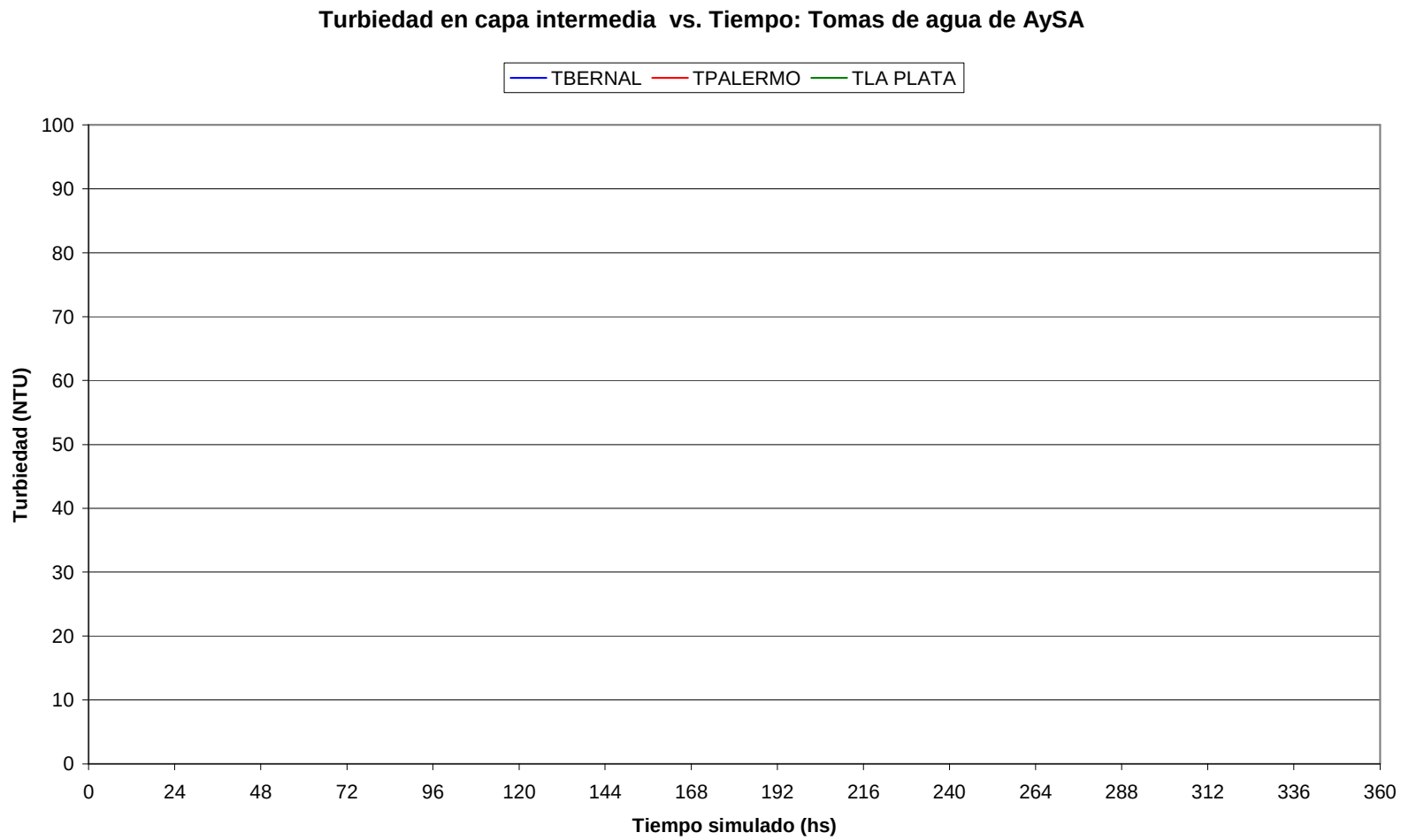

Figura A.6.7.1.1.7 – Turbiedad en tomas de agua. Capa intermedia. No se observan niveles mensurables de sobre-concentración.

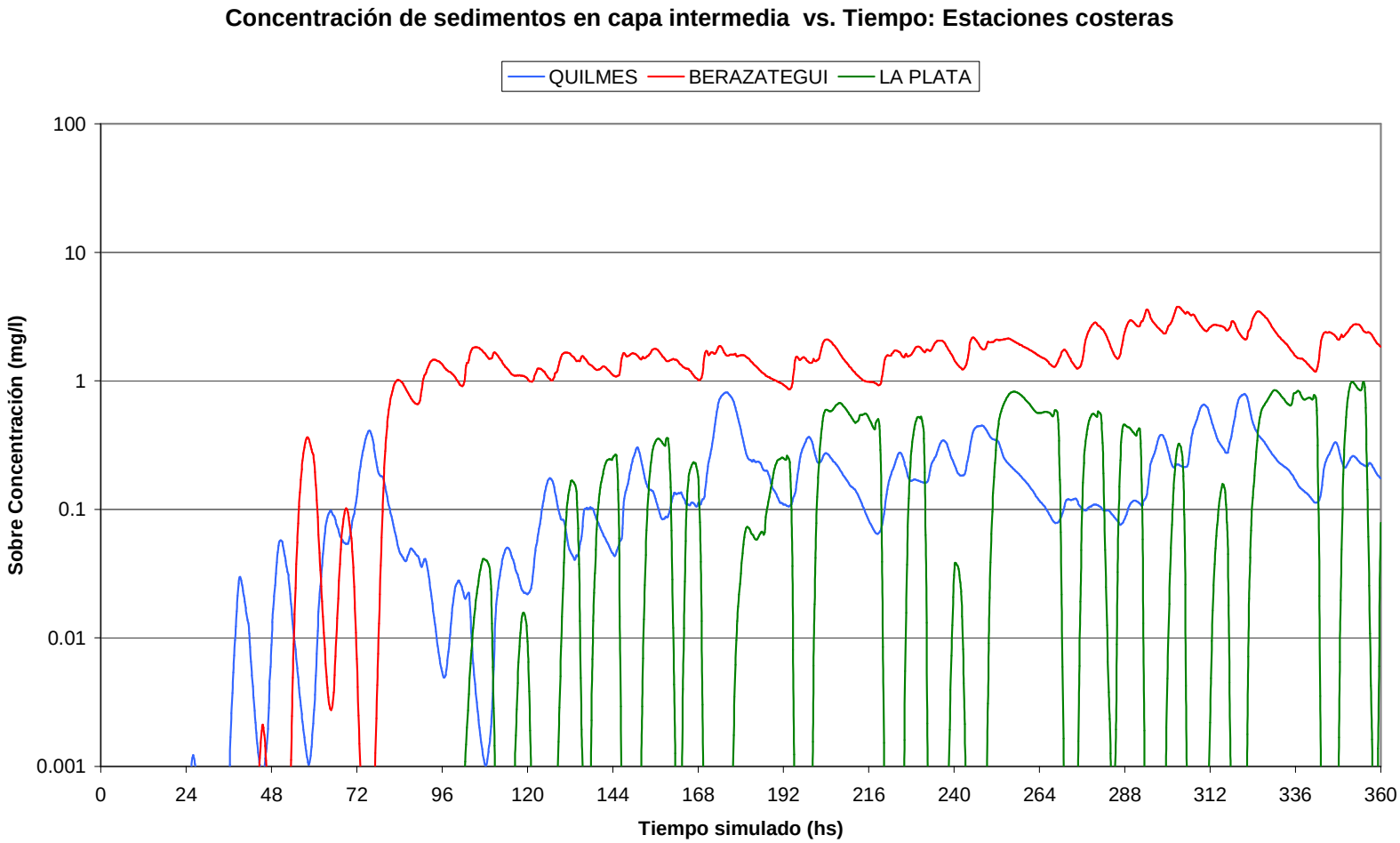

Figura A.6.7.1.1.8 – Concentración de sedimentos en áreas costeras. Capa intermedia.

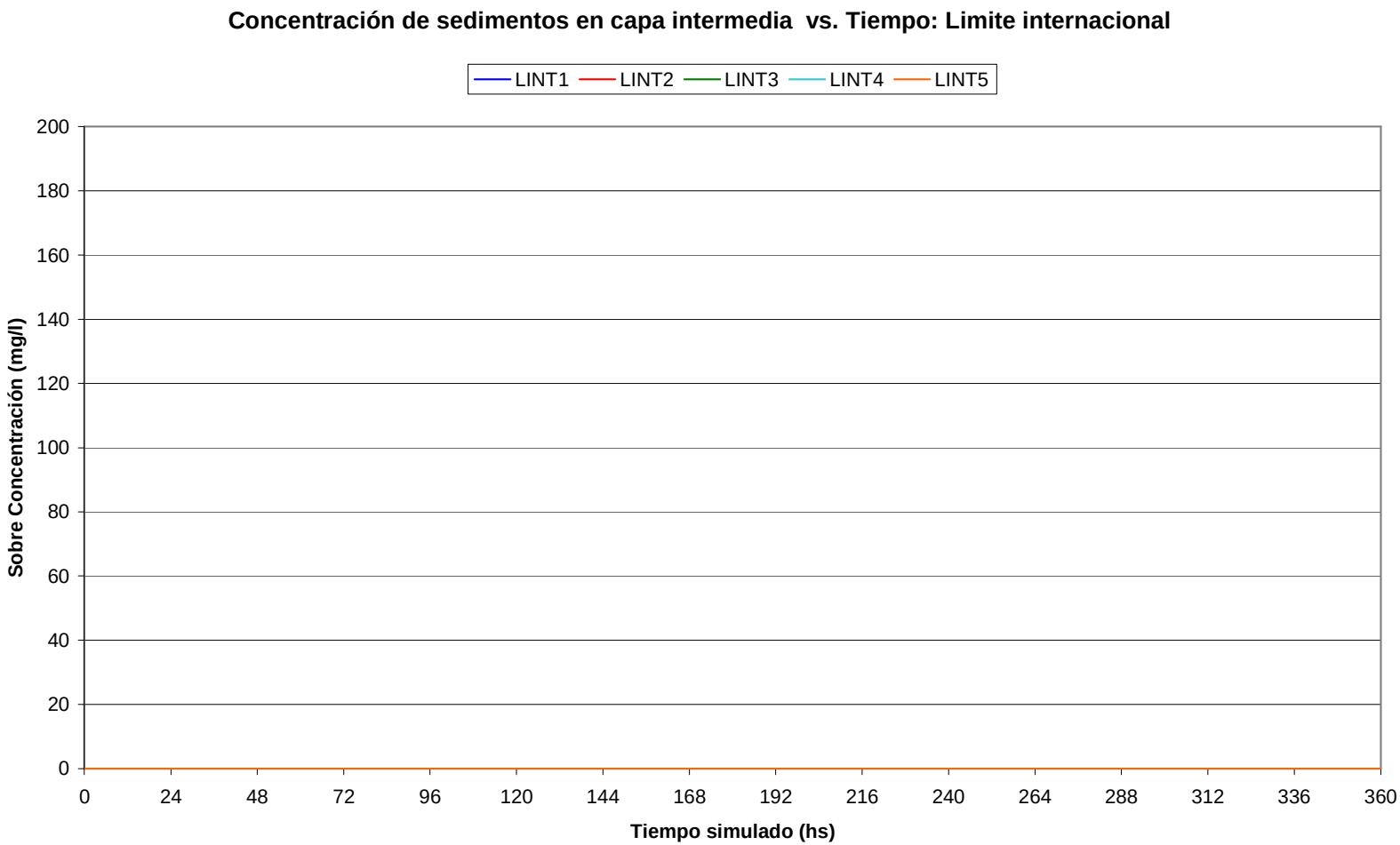

Figura A.6.7.1.1.9 – Concentración de sedimentos en el límite internacional. Capa intermedia. No se observan niveles mensurables de sobre-concentración.

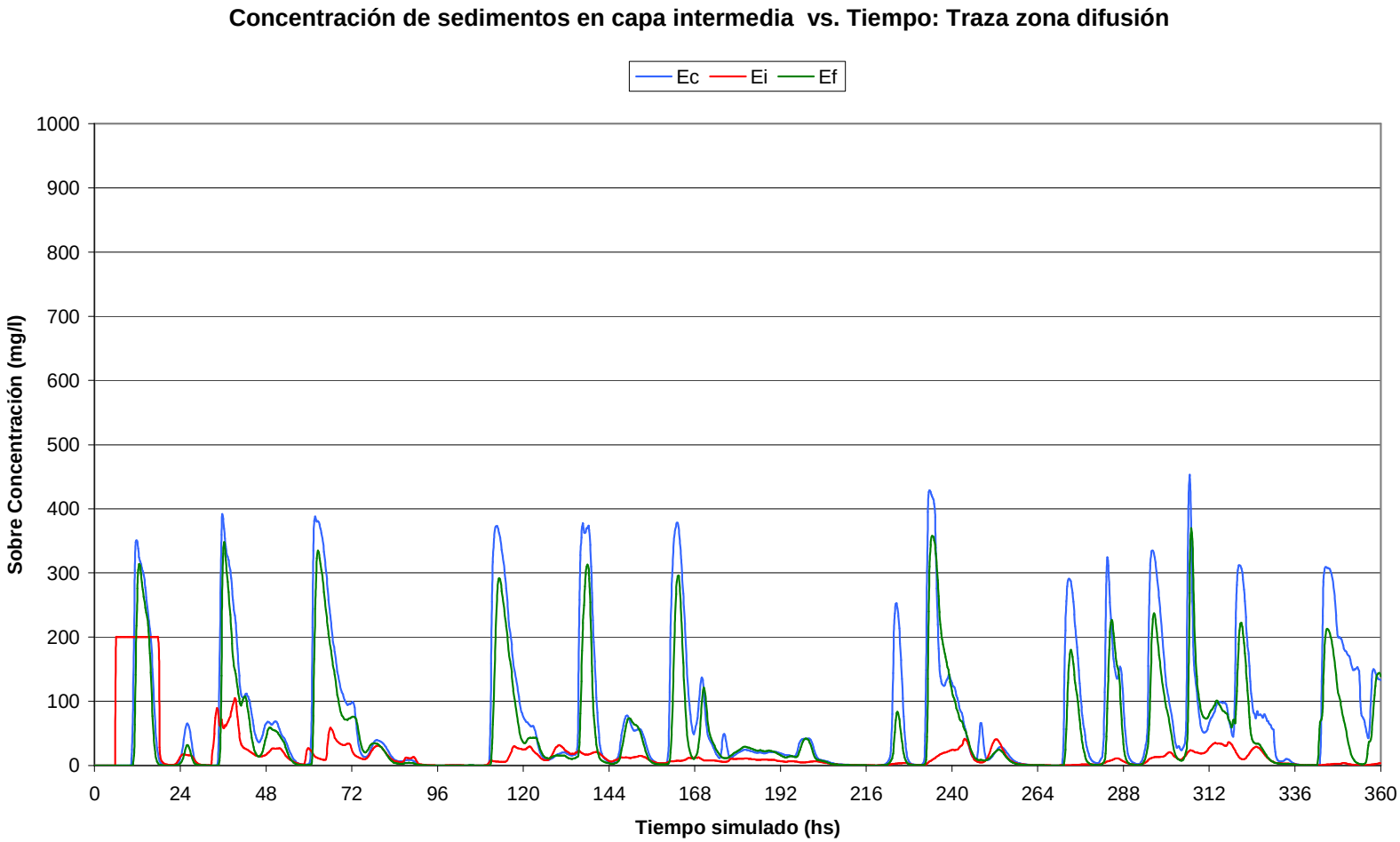

Figura A.6.7.1.1.10 – Concentración de sedimentos en la traza del emisario. Capa intermedia.

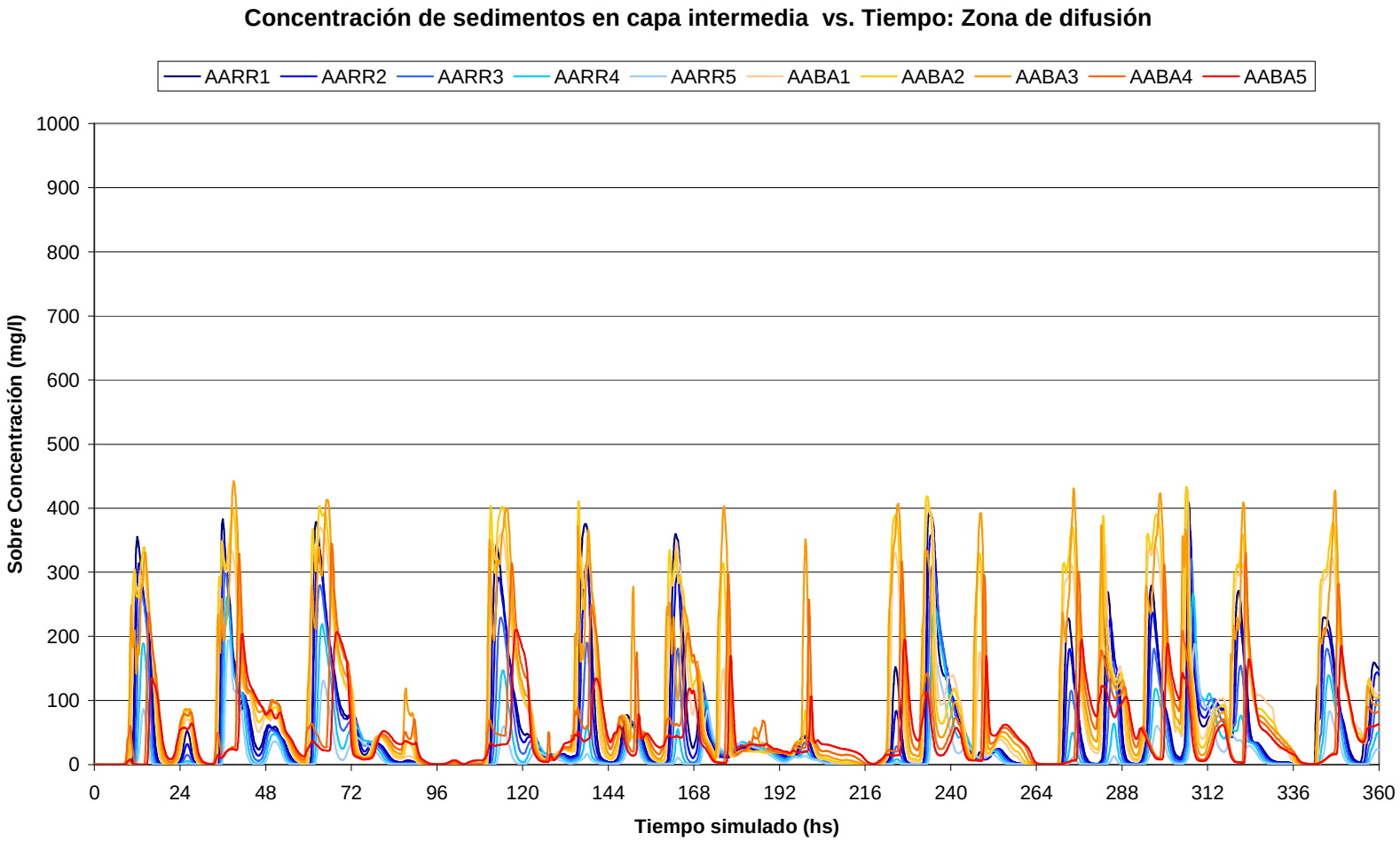

Figura A.6.7.1.1.11 – Concentración de sedimentos en la zona de difusión del emisario. Capa intermedia.

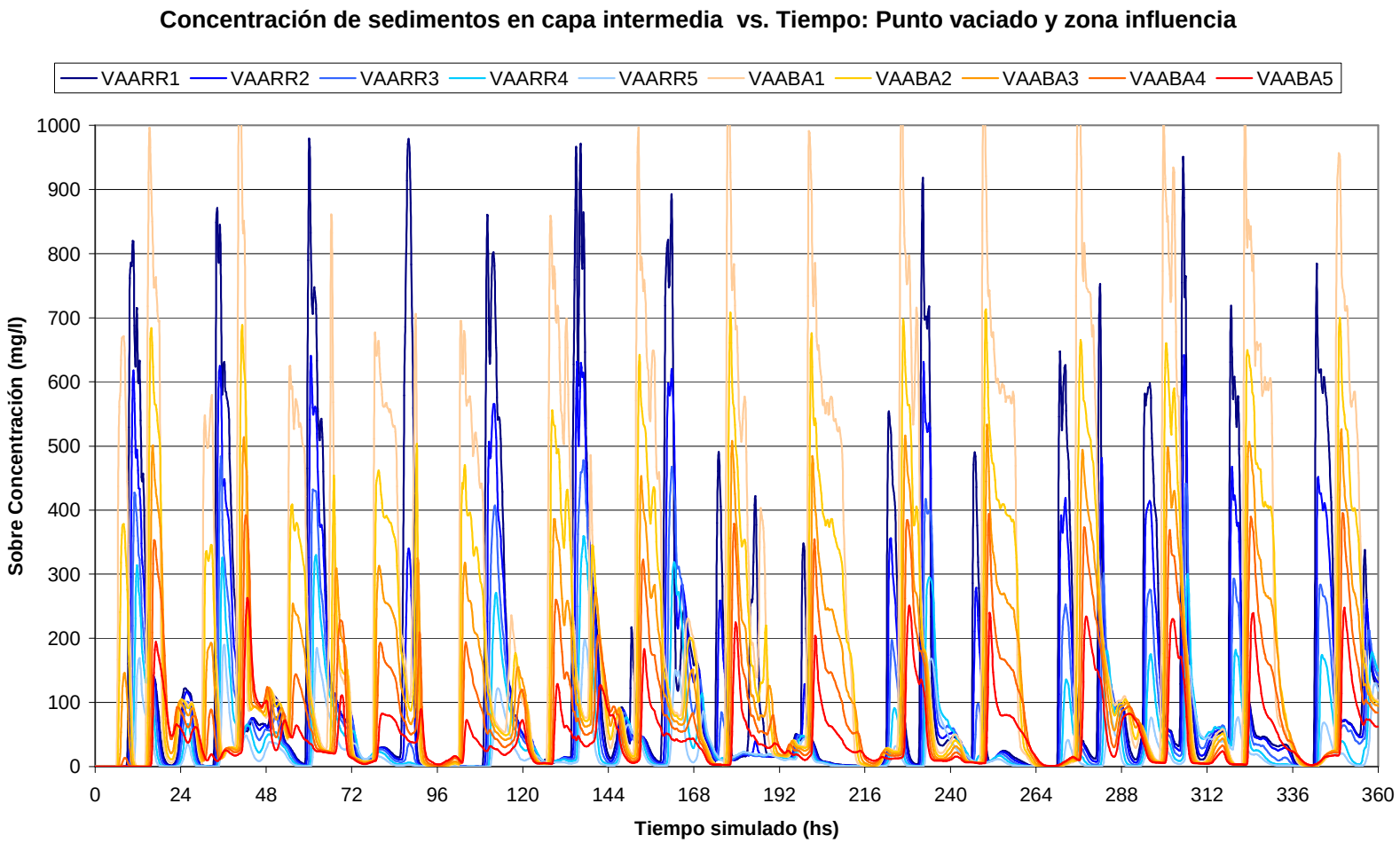

Figura A.6.7.1.1.12 – Concentración de sedimentos en la zona de refulado. Capa intermedia.

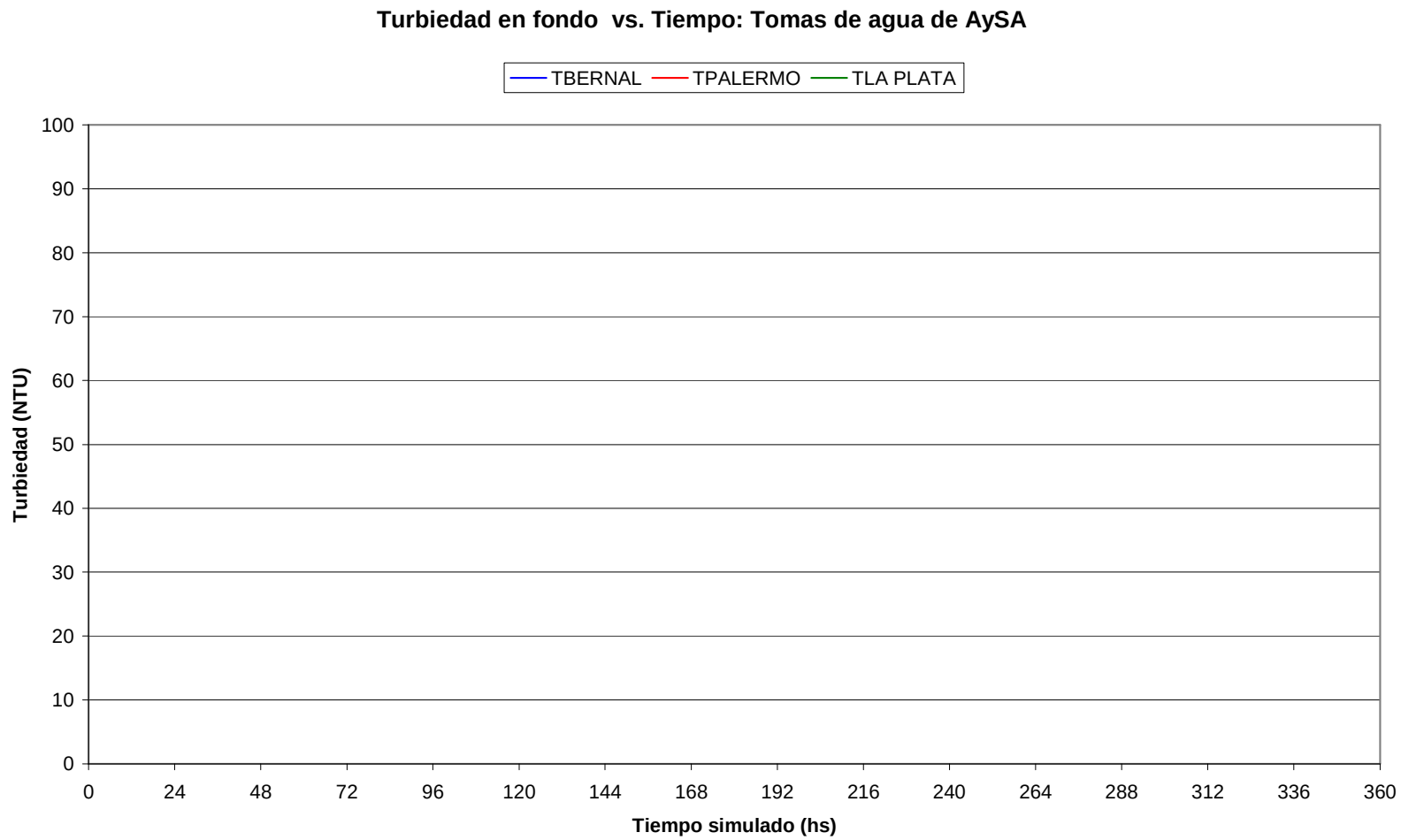

Figura A.6.7.1.1.13 – Turbiedad en tomas de agua. Capa de fondo. No se observan niveles mensurables de sobre-concentración.

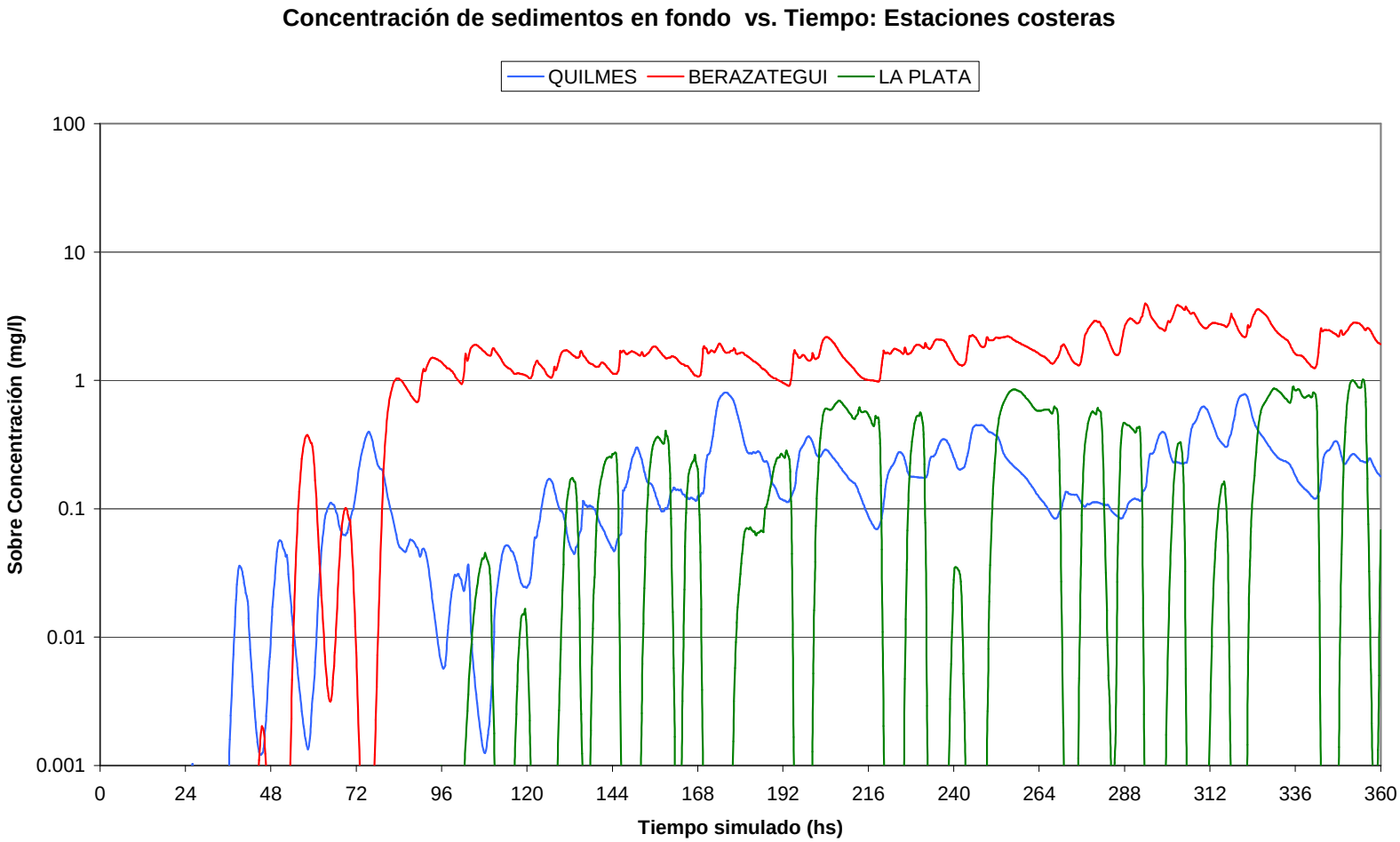

Figura A.6.7.1.1.14 – Concentración de sedimentos en áreas costeras. Capa de fondo.

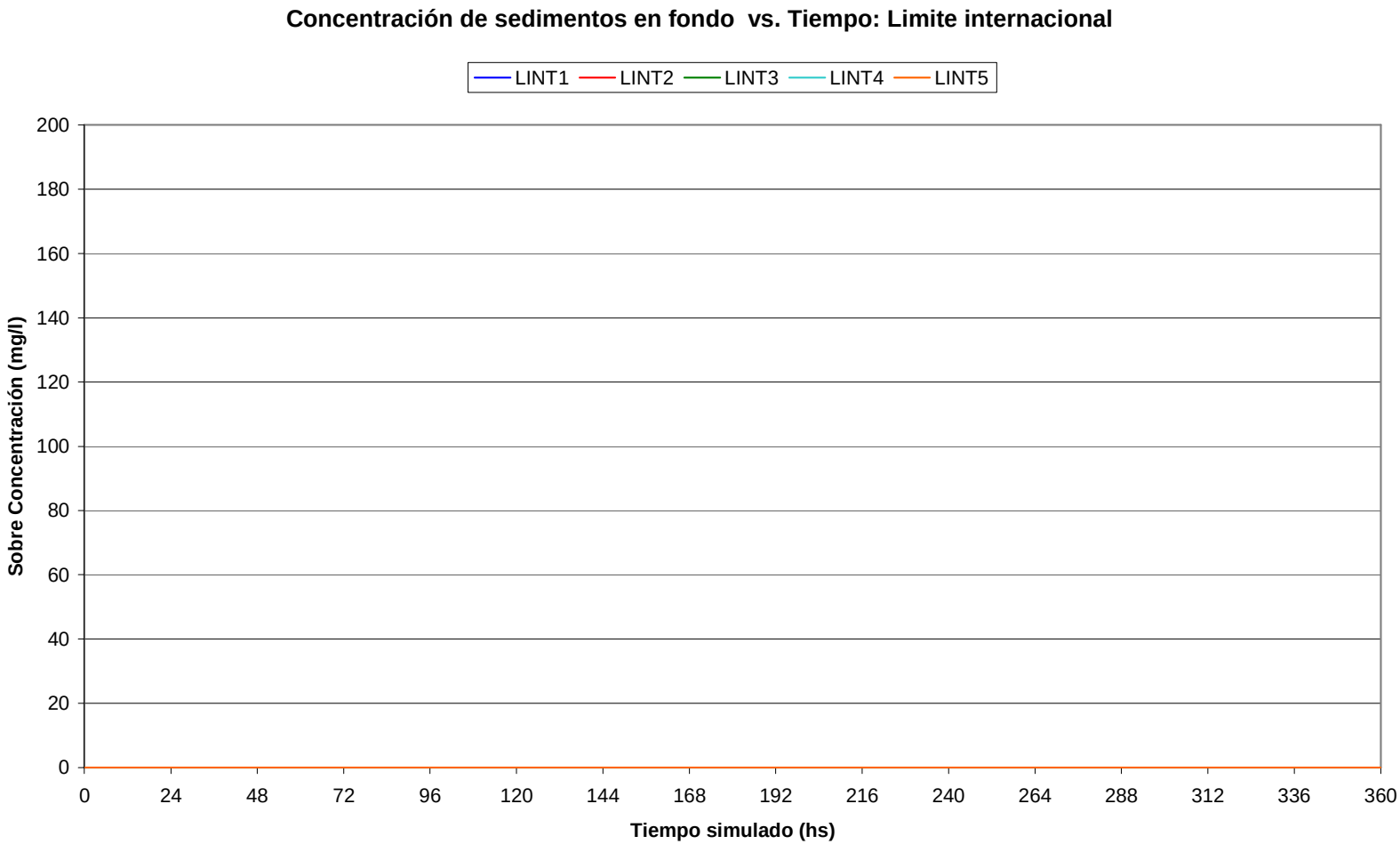

Figura A.6.7.1.1.15 – Concentración de sedimentos en el límite internacional. Capa de fondo. No se observan niveles mensurables de sobre-concentración.

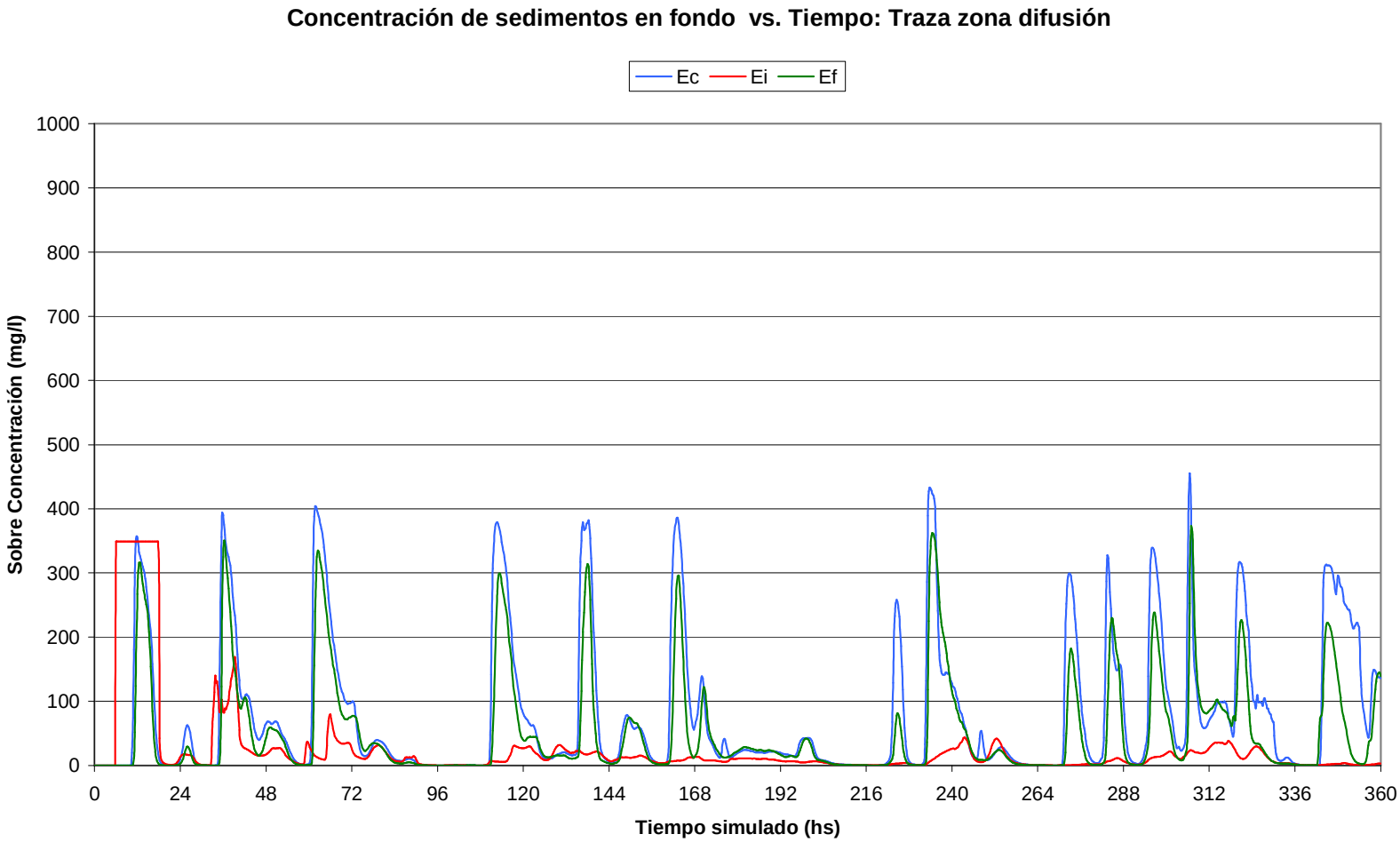

Figura A.6.7.1.1.16 – Concentración de sedimentos en la traza del emisario. Capa de fondo.

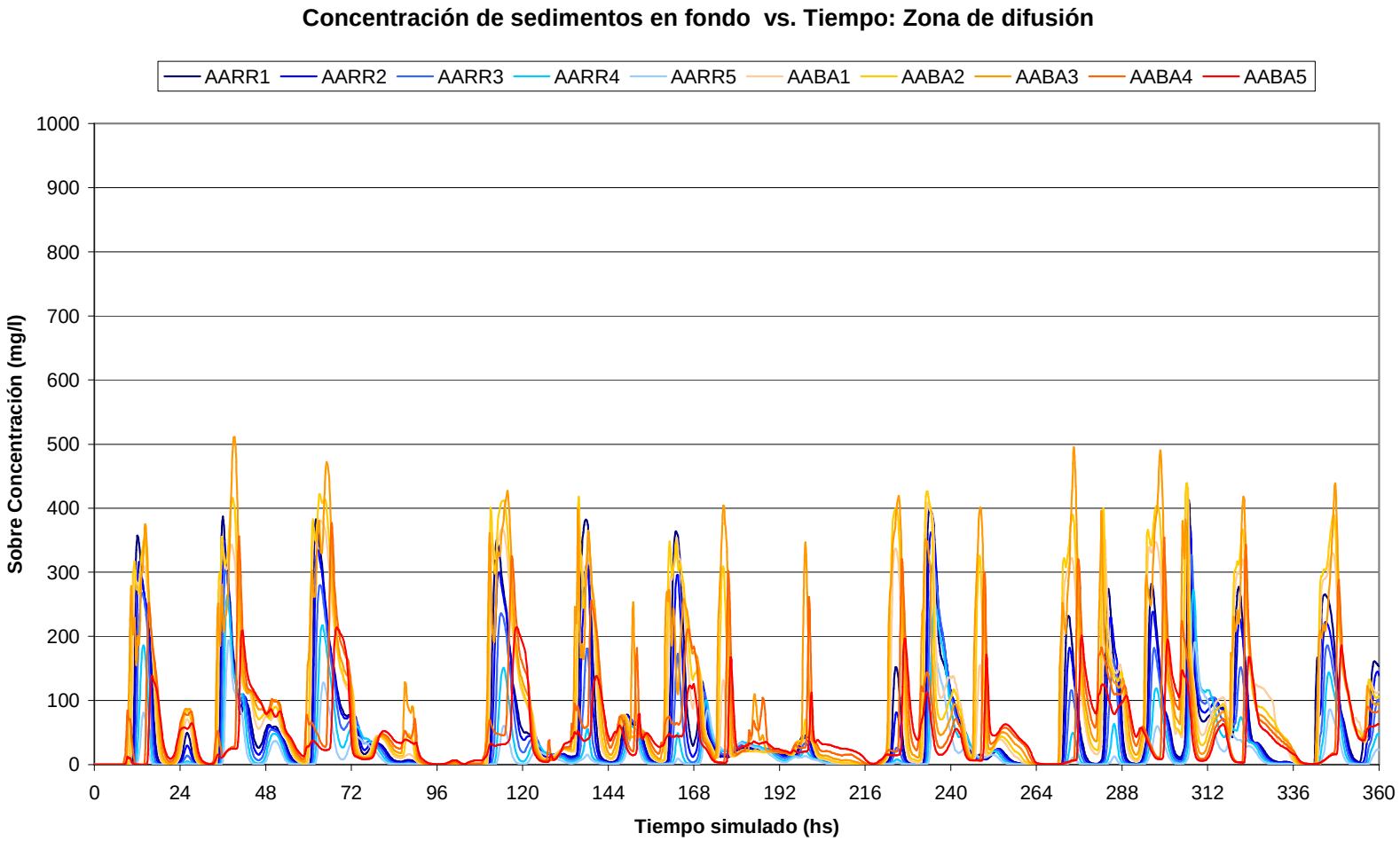

Figura A.6.7.1.1.17 – Concentración de sedimentos en la zona de difusión del emisario. Capa de fondo.

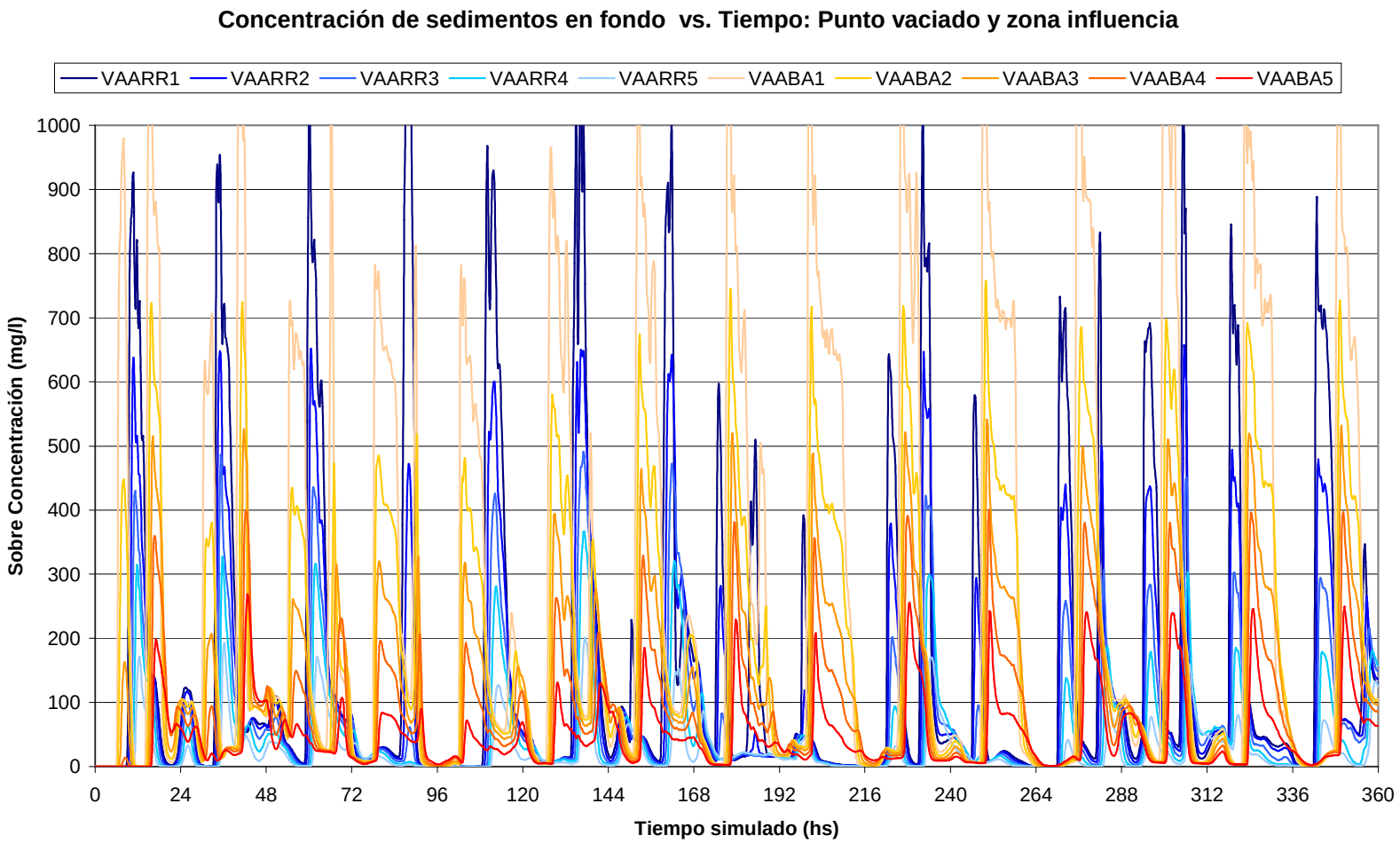

Figura A.6.7.1.1.18 – Concentración de sedimentos en la zona de refulado. Capa de fondo.

ANEXO 6.7.1.2

Análisis de sensibilidad para dragado con cortadora y vaciado por cañería satélite en emisario Berazategui.

Distribución espacial de concentraciones y material sedimentado.

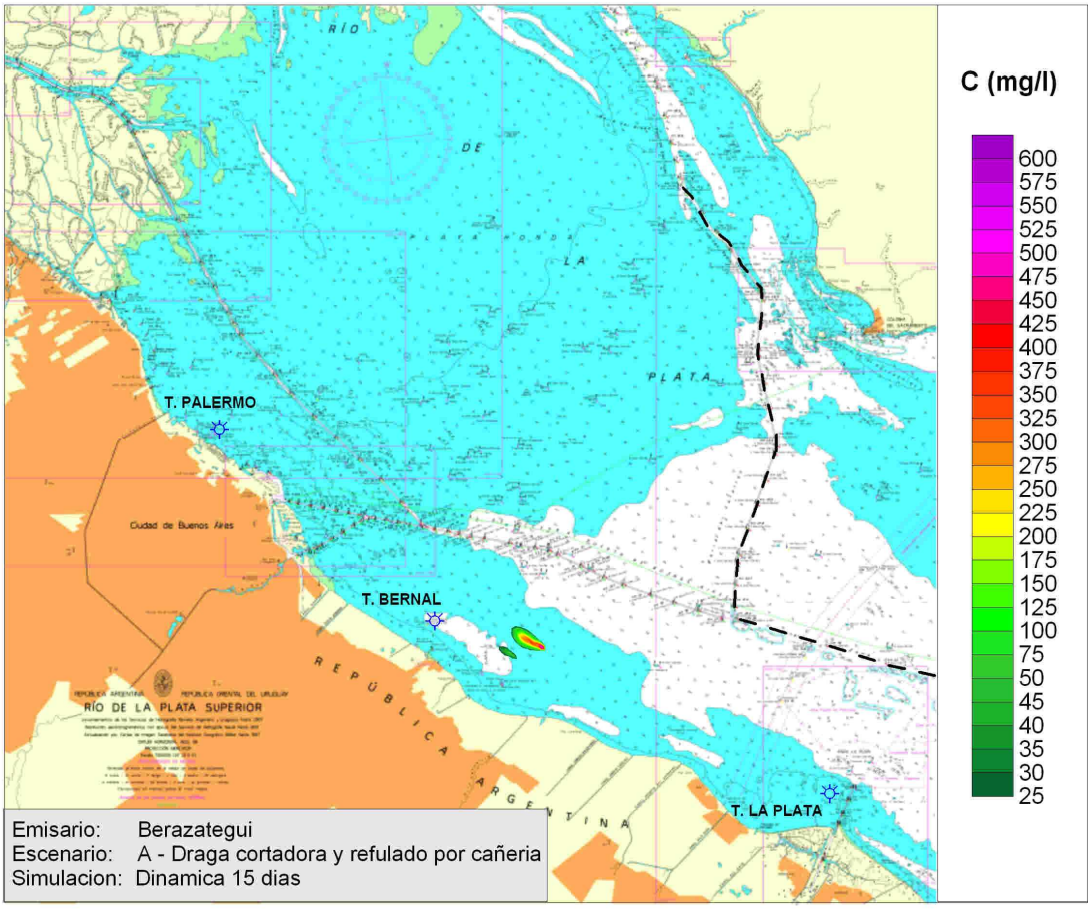

Figura A.6.7.1.2.1 – Distribución superficial de la concentración: día 1 hora 12.

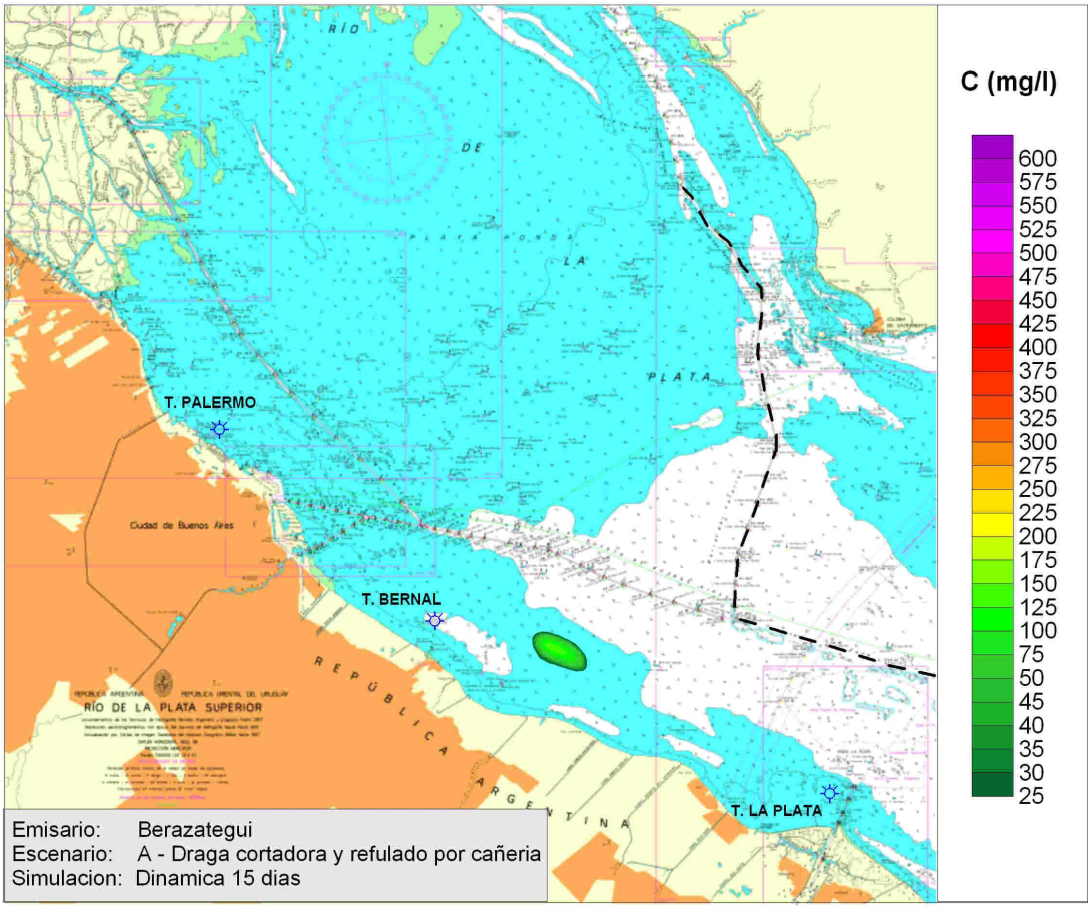

Figura A.6.7.1.2.2 – Distribución superficial de la concentración: día 1 hora 24.

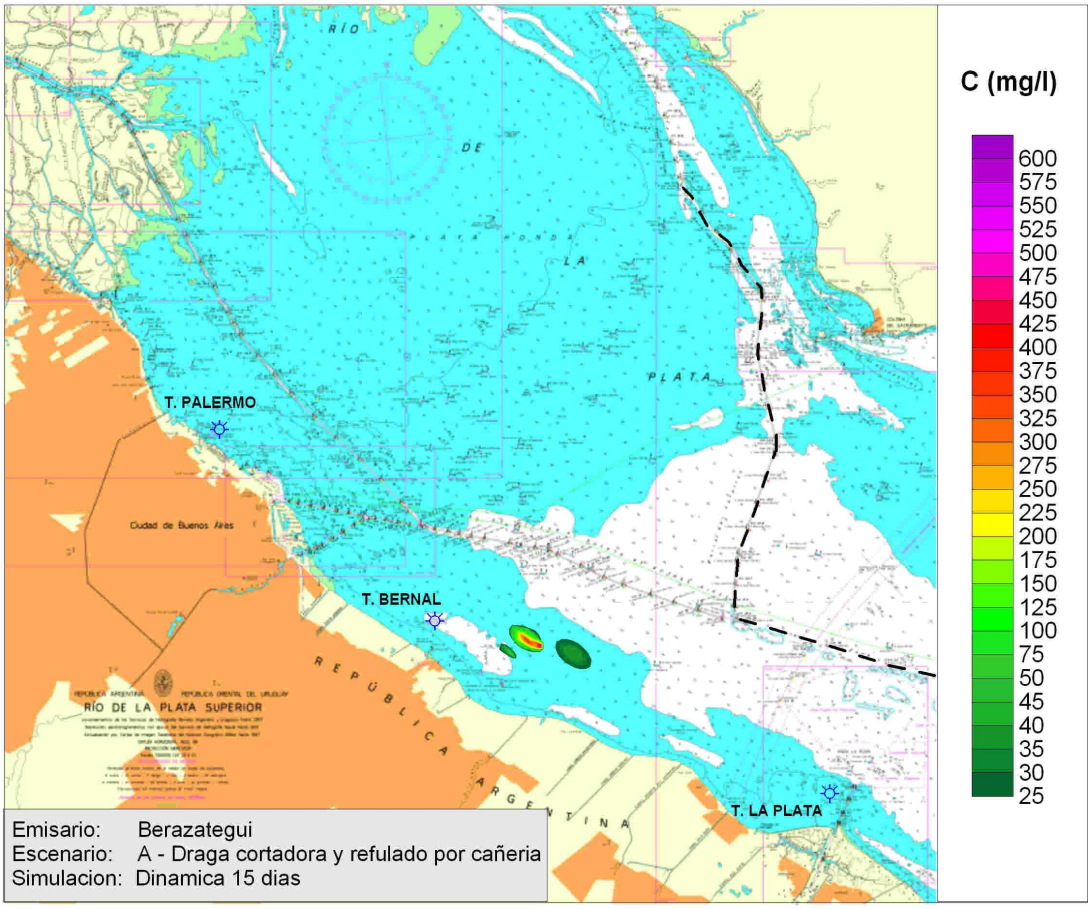

Figura A.6.7.1.2.3 – Distribución superficial de la concentración: día 2 hora 12.

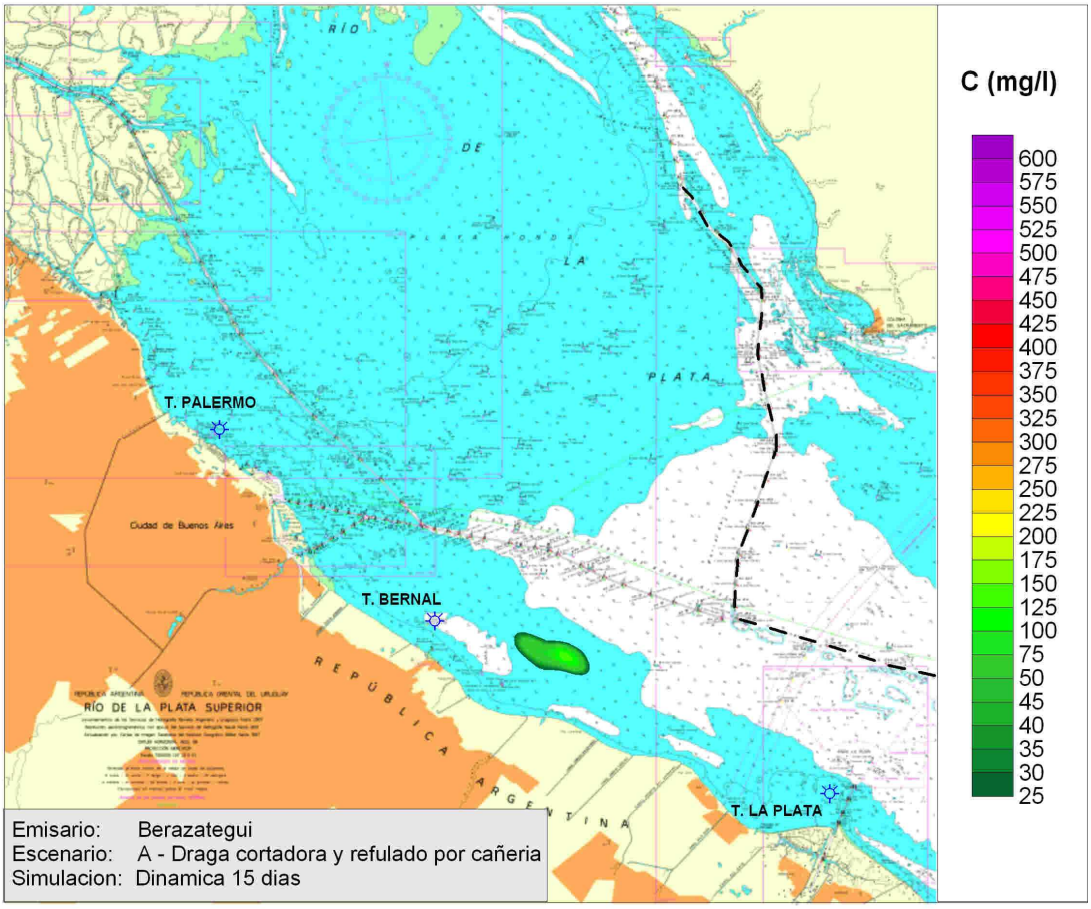

Figura A.6.7.1.2.4 – Distribución superficial de la concentración: día 2 hora 24.

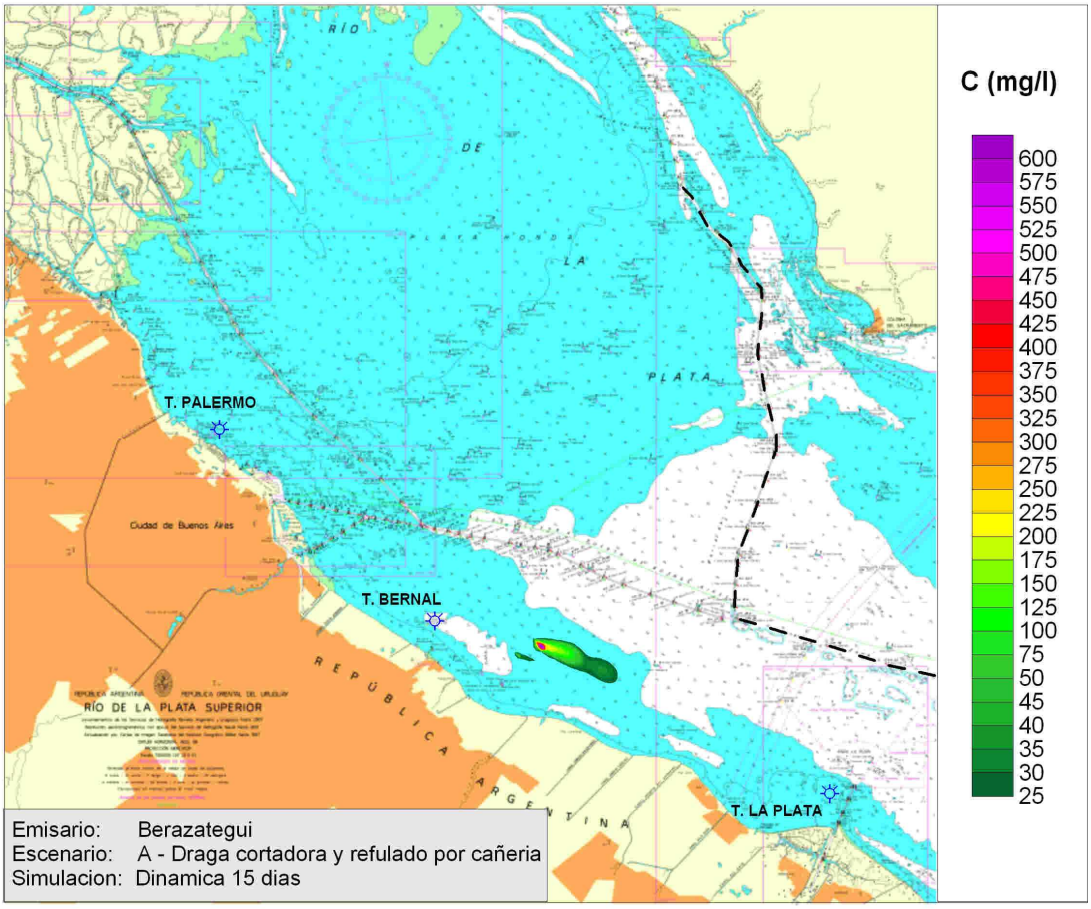

Figura A.6.7.1.2.5 – Distribución superficial de la concentración: día 3 hora 12.

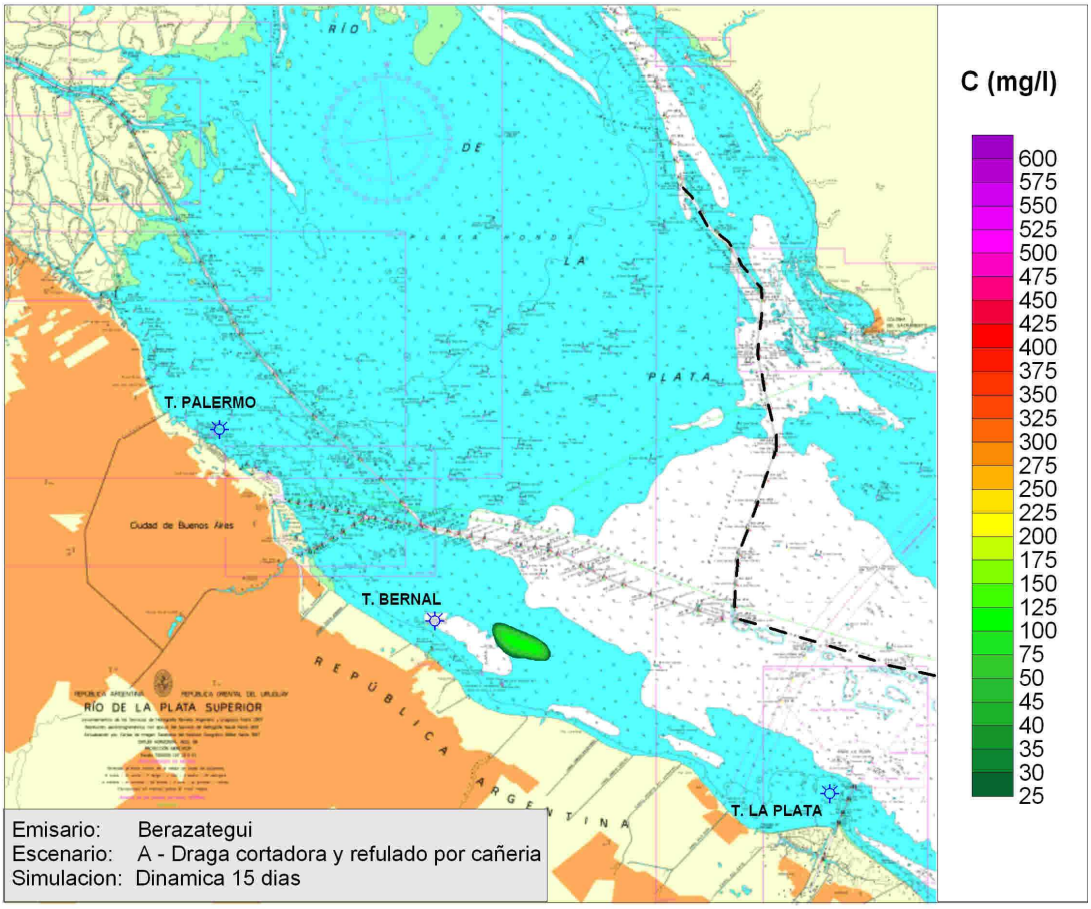

Figura A.6.7.1.2.6 – Distribución superficial de la concentración: día 3 hora 24.

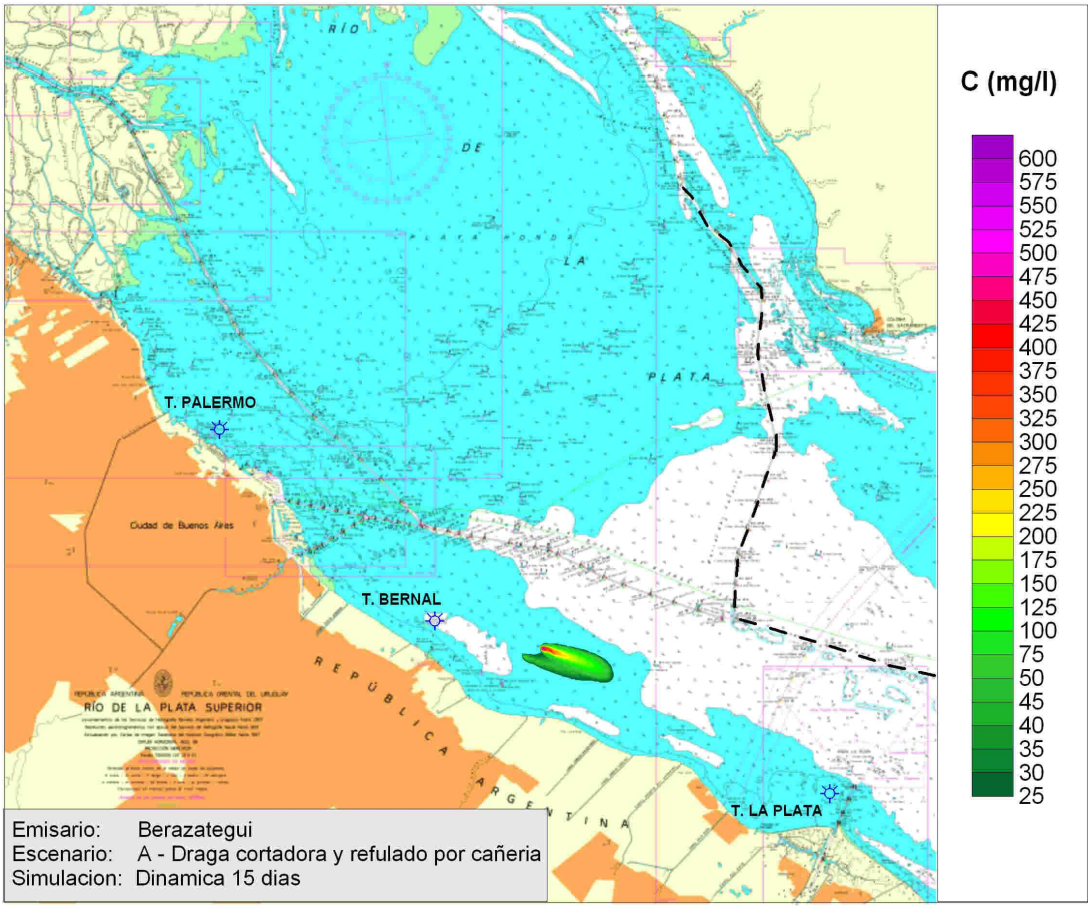

Figura A.6.7.1.2.7 – Distribución superficial de la concentración: día 4 hora 12.

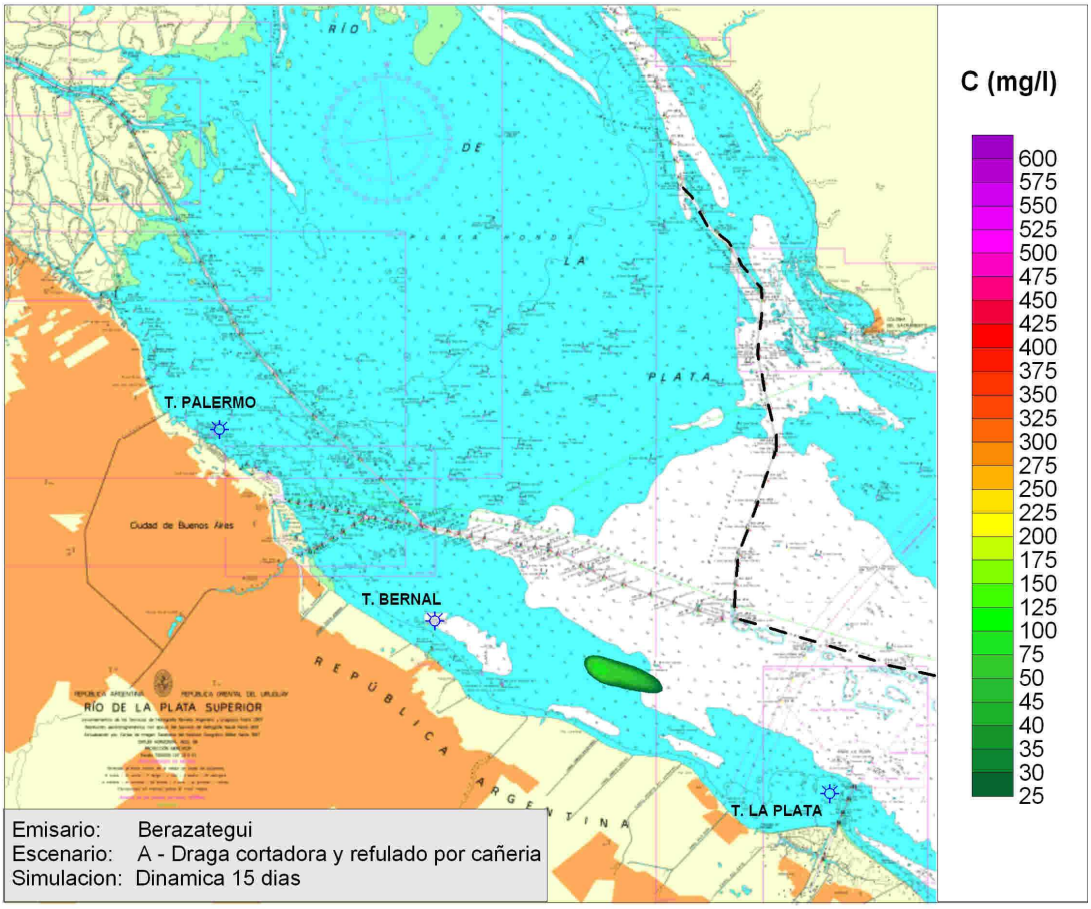

Figura A.6.7.1.2.8 – Distribución superficial de la concentración: día 4 hora 24.

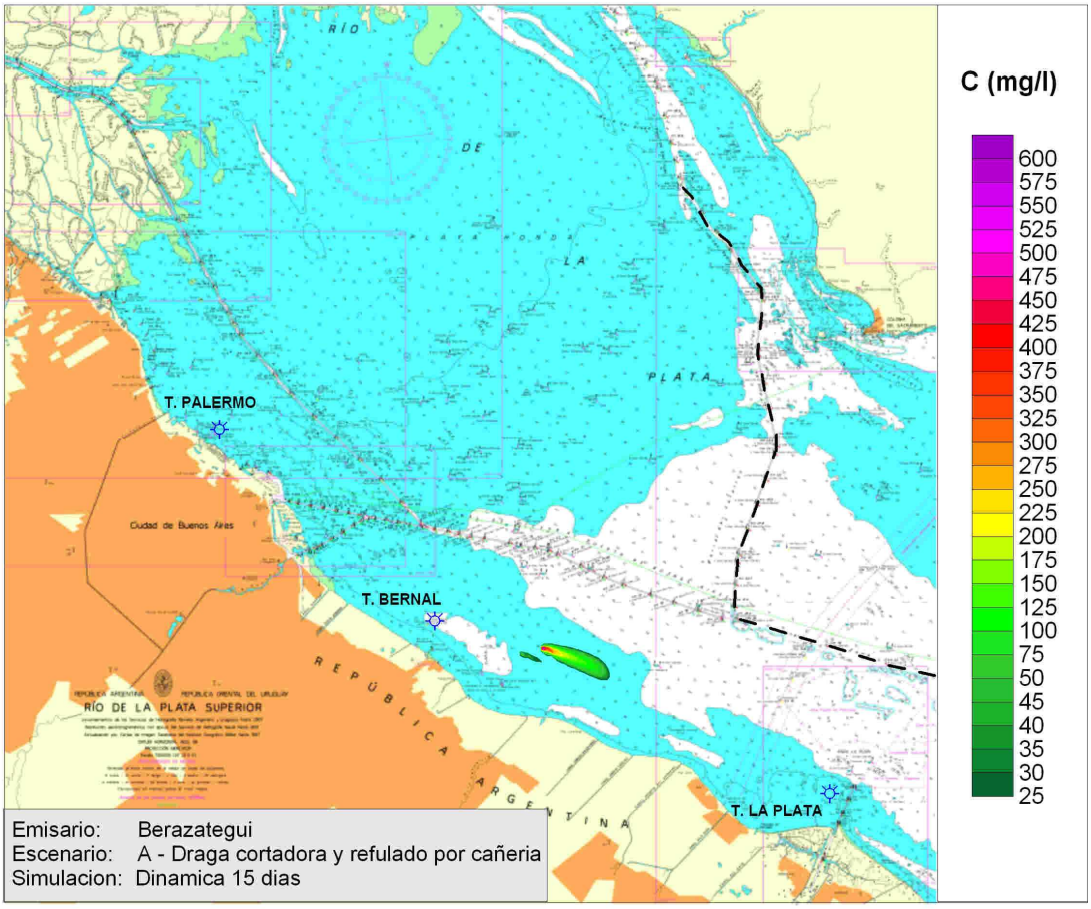

Figura A.6.7.1.2.9 – Distribución superficial de la concentración: día 5 hora 12.

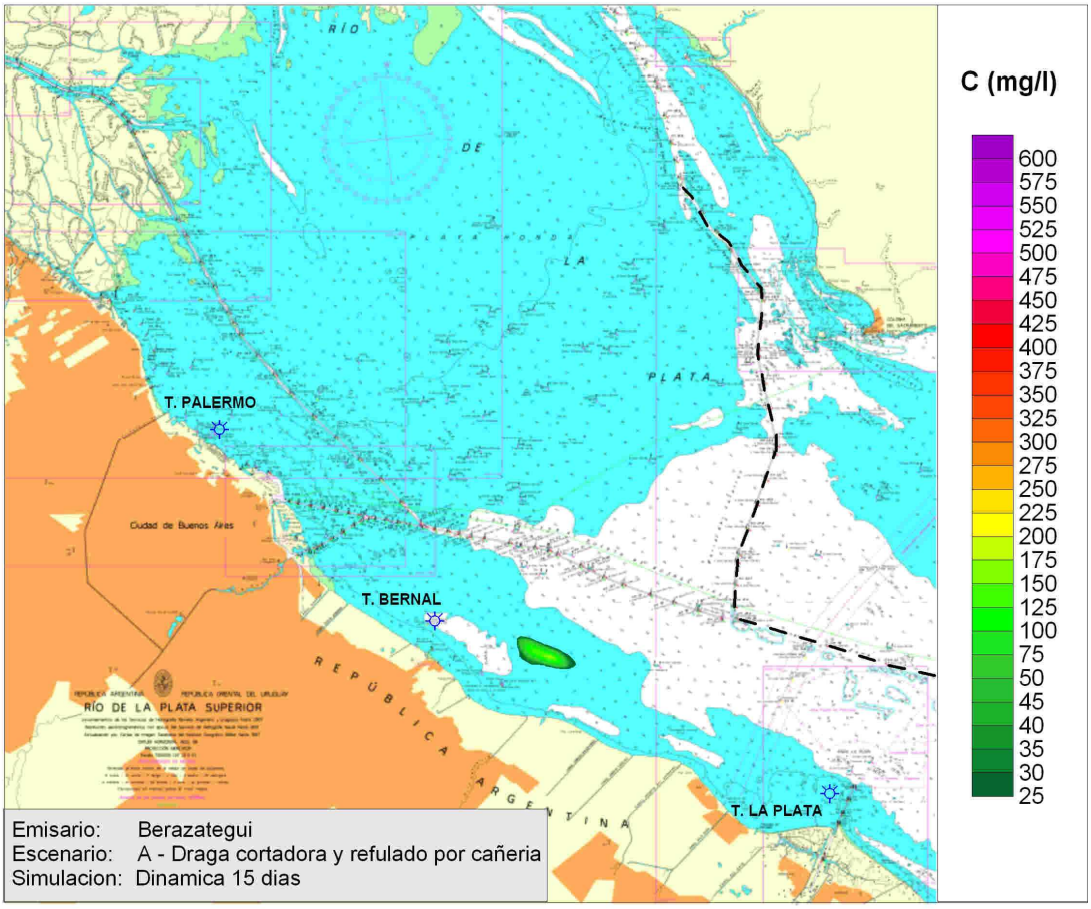

Figura A.6.7.1.2.10 – Distribución superficial de la concentración: día 5 hora 24.

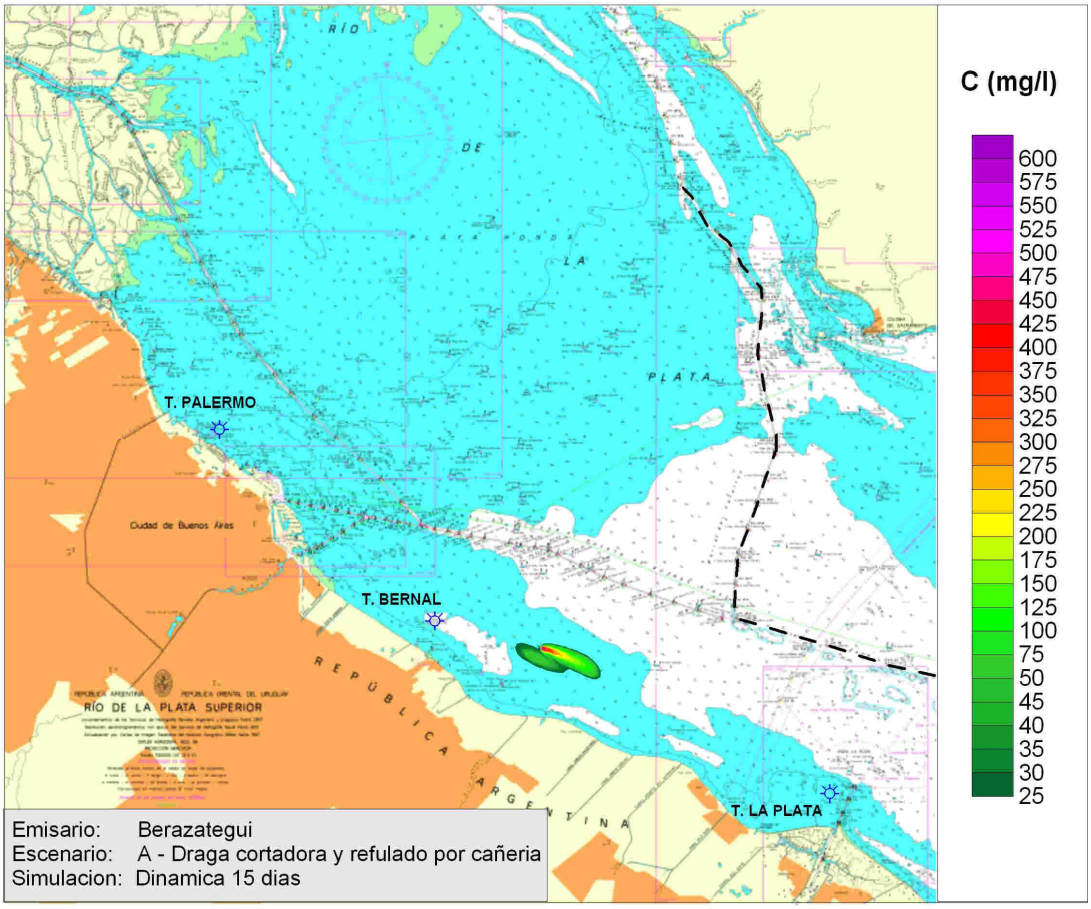

Figura A.6.7.1.2.11 – Distribución superficial de la concentración: día 6 hora 12.

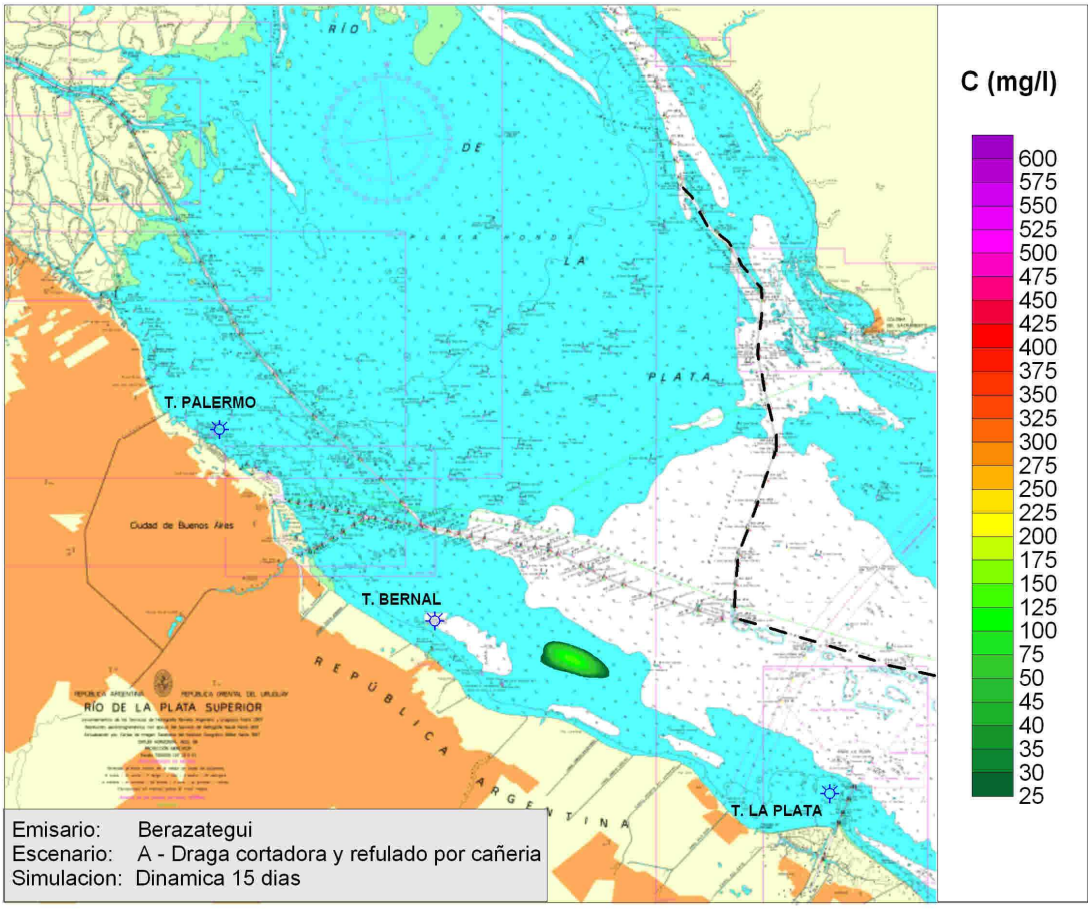

Figura A.6.7.1.2.12 – Distribución superficial de la concentración: día 6 hora 24.

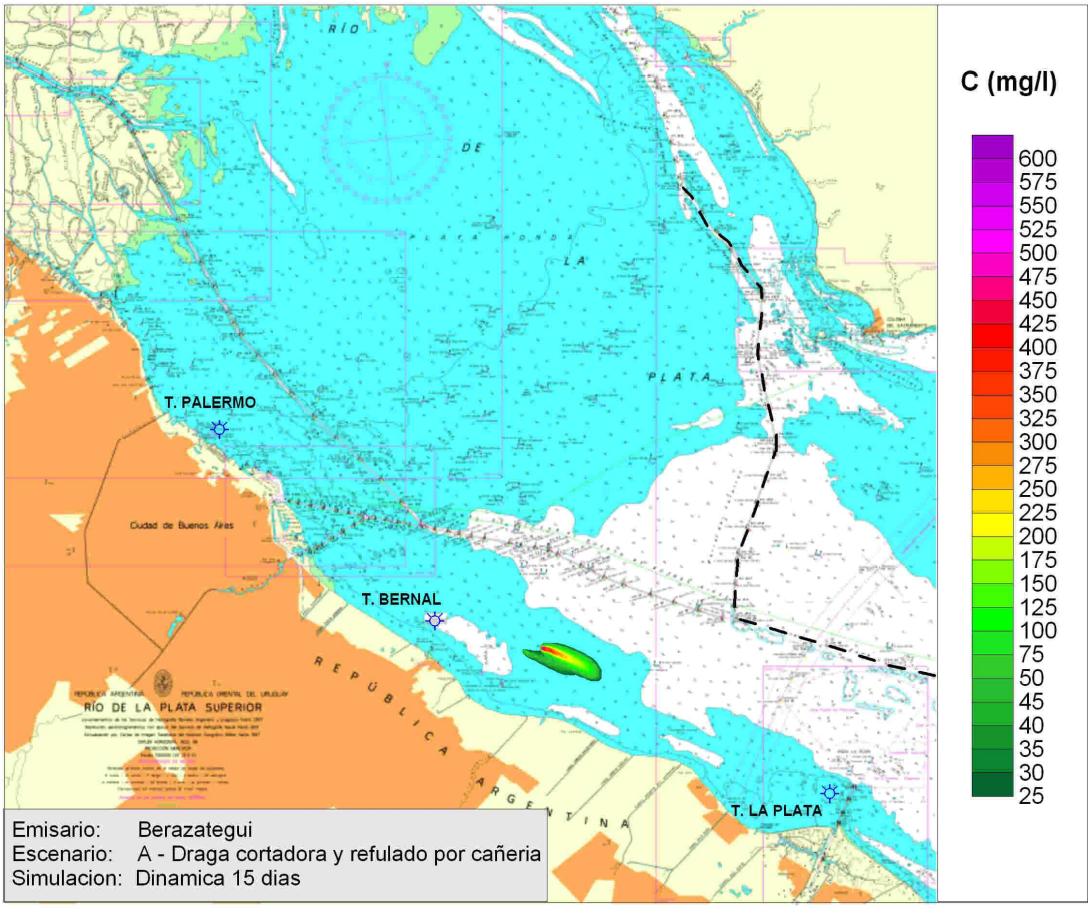

Figura A.6.7.1.2.13 – Distribución superficial de la concentración: día 7 hora 12.

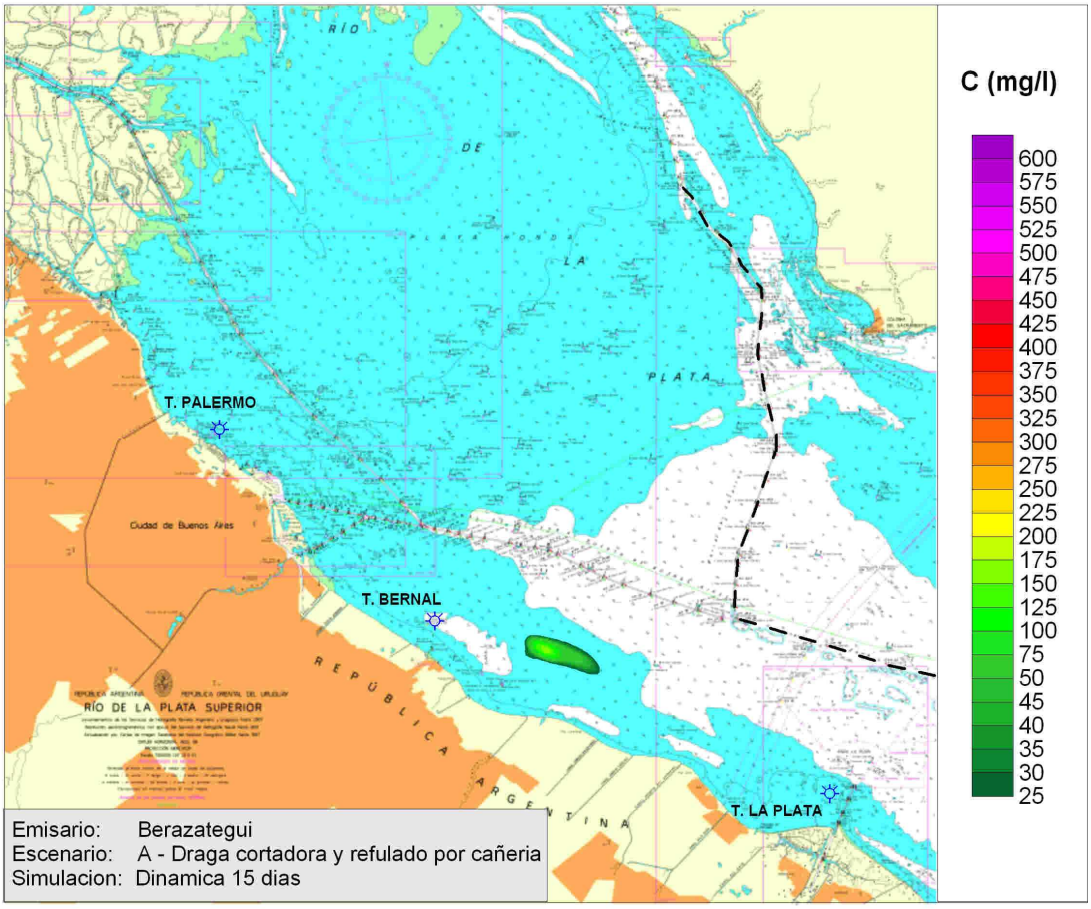

Figura A.6.7.1.2.14 – Distribución superficial de la concentración: día 7 hora 24.

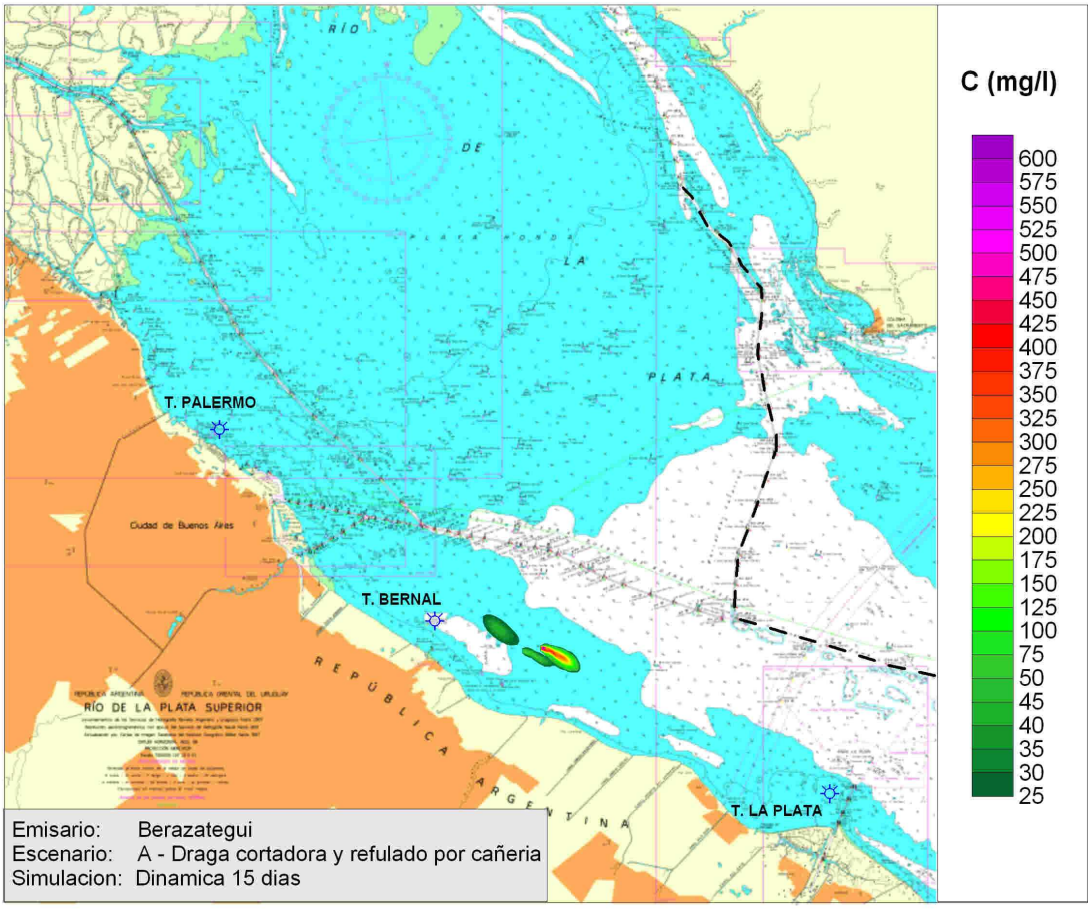

Figura A.6.7.1.2.15 – Distribución superficial de la concentración: día 8 hora 12.

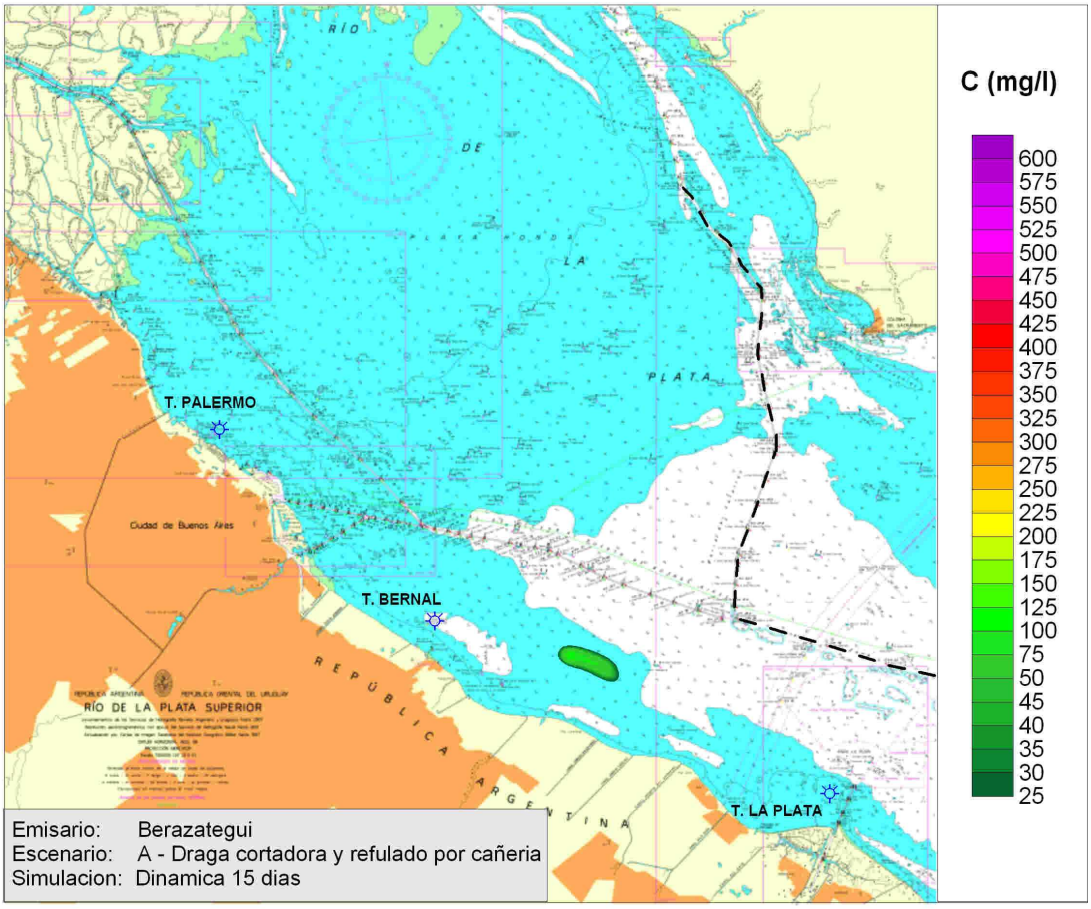

Figura A.6.7.1.2.16 – Distribución superficial de la concentración: día 8 hora 24.

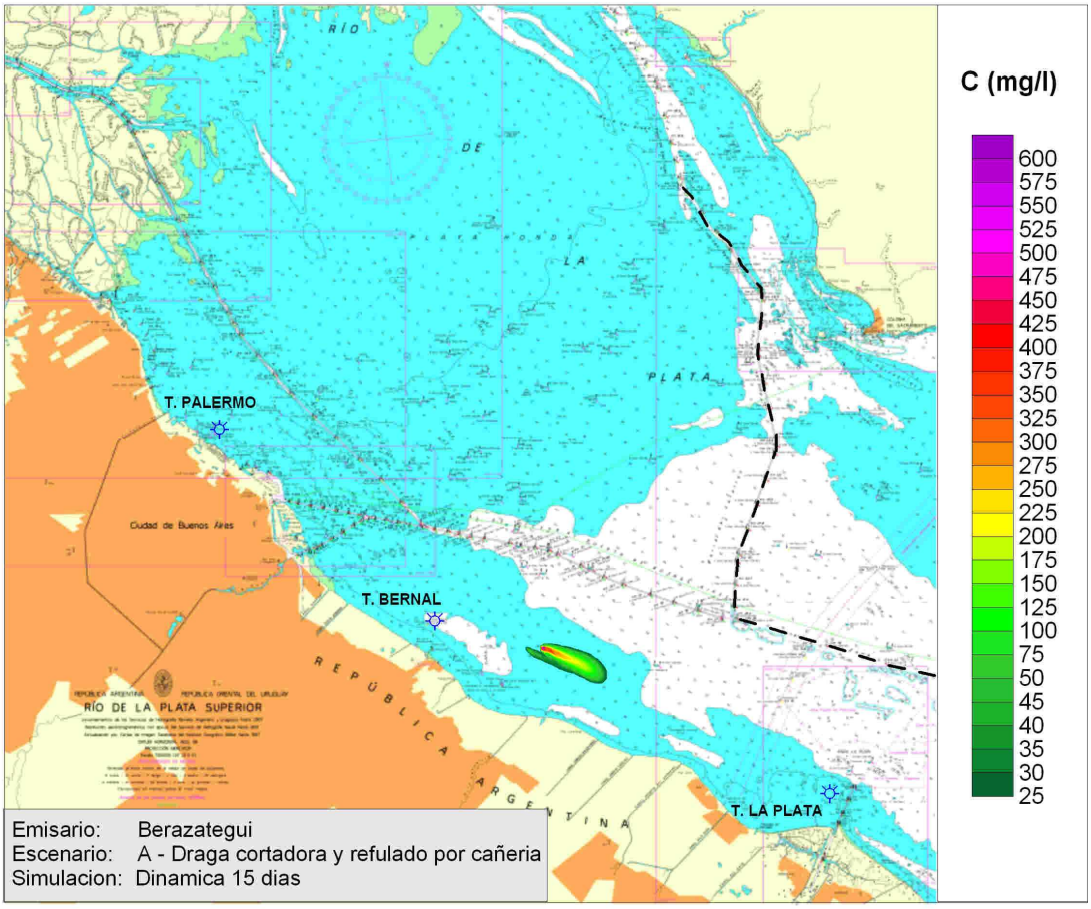

Figura A.6.7.1.2.17 – Distribución superficial de la concentración: día 9 hora 12.

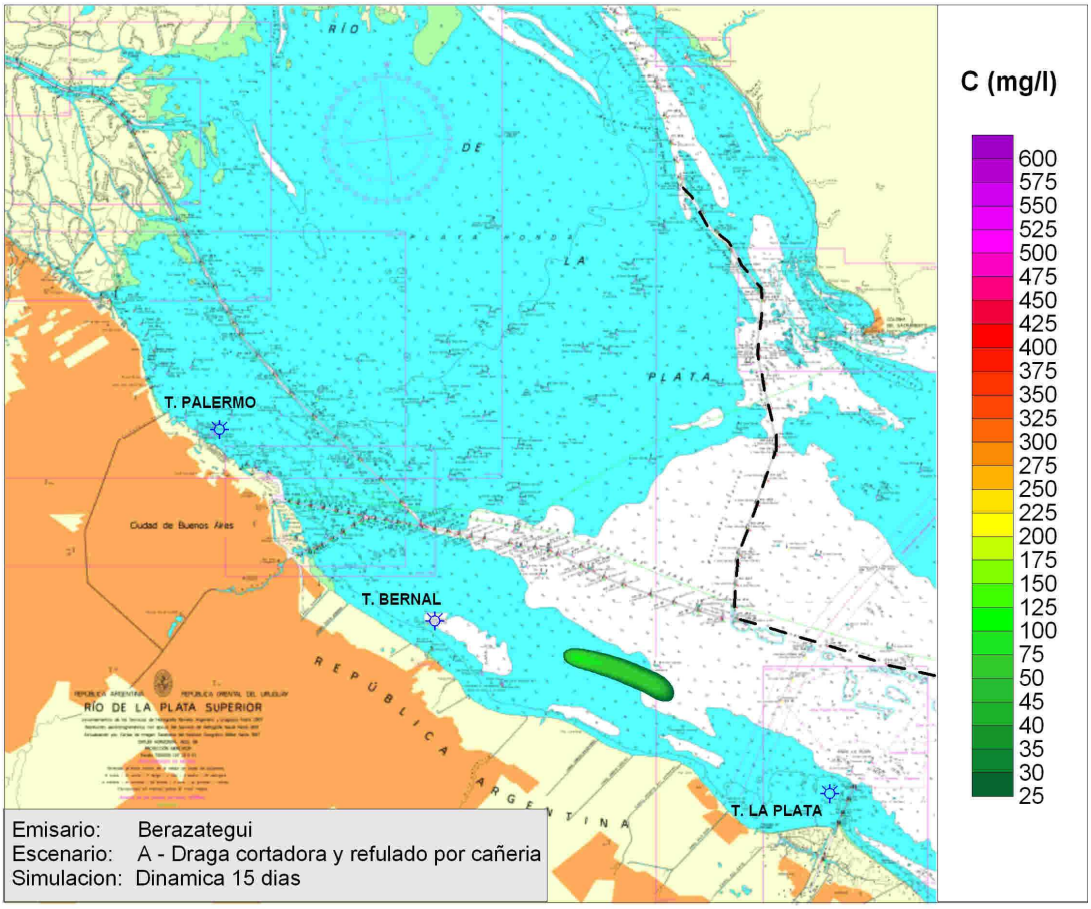

Figura A.6.7.1.2.18 – Distribución superficial de la concentración: día 9 hora 24.

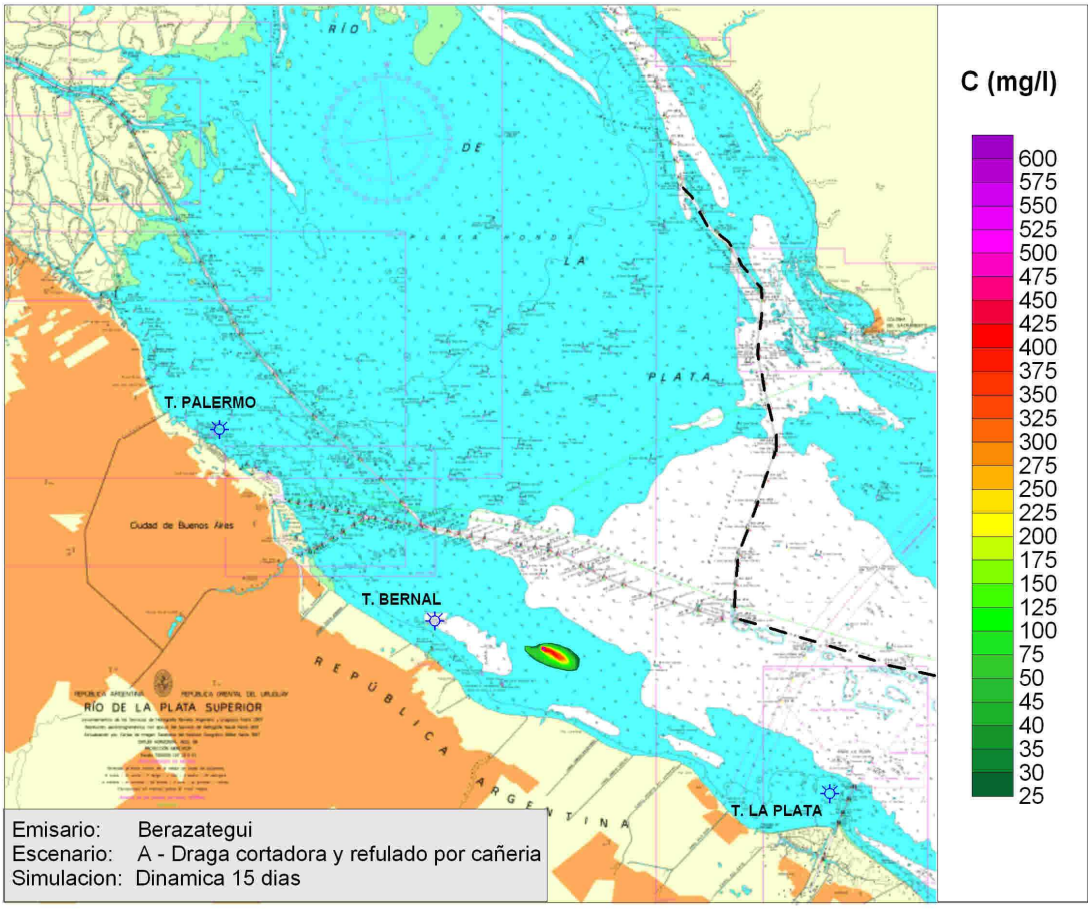

Figura A.6.7.1.2.19 – Distribución superficial de la concentración: día 10 hora 12.

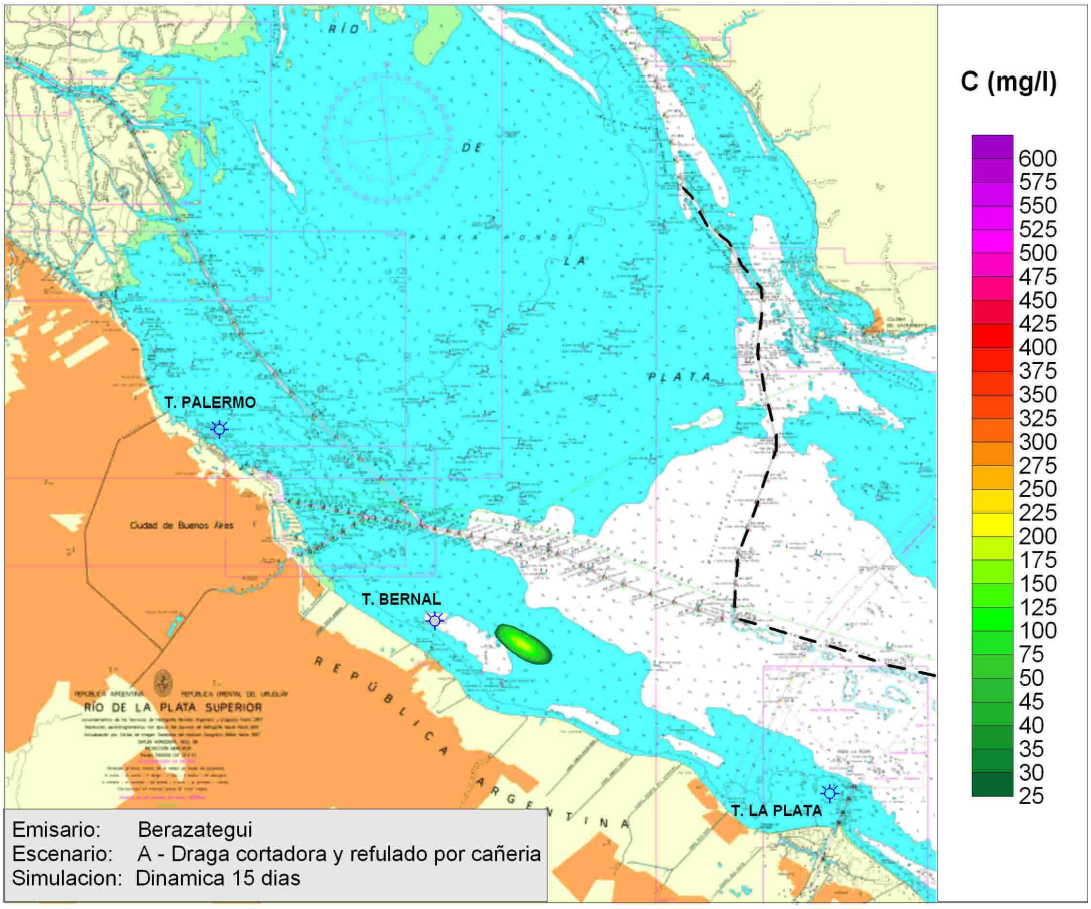

Figura A.6.7.1.2.20 – Distribución superficial de la concentración: día 10 hora 24.

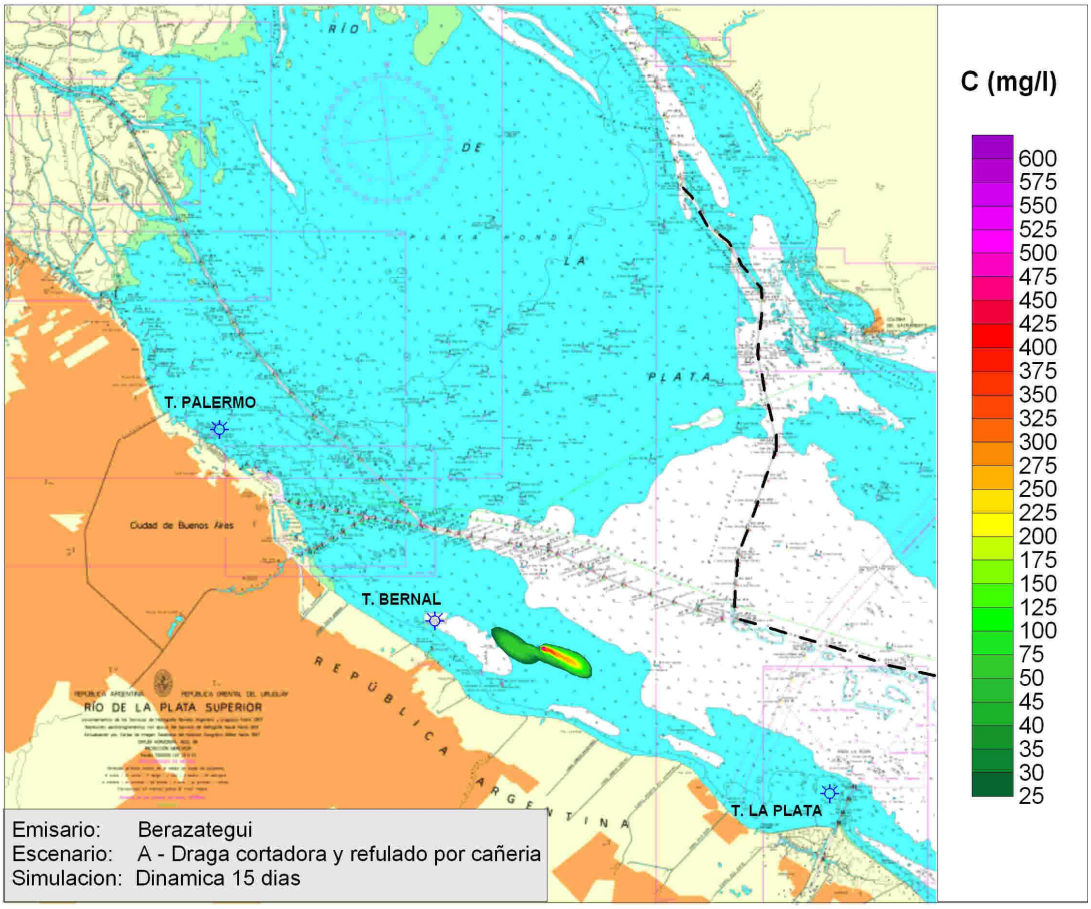

Figura A.6.7.1.2.21 – Distribución superficial de la concentración: día 11 hora 12.

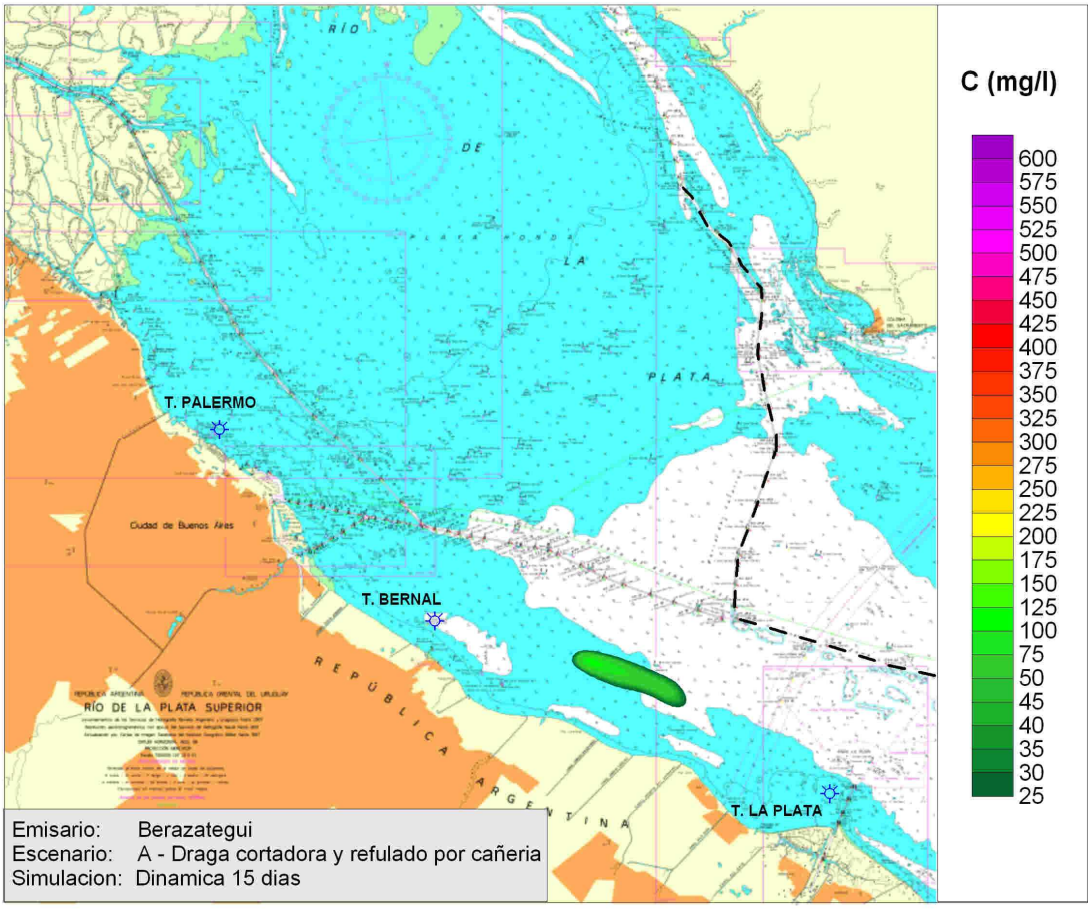

Figura A.6.7.1.2.22 – Distribución superficial de la concentración: día 11 hora 24.

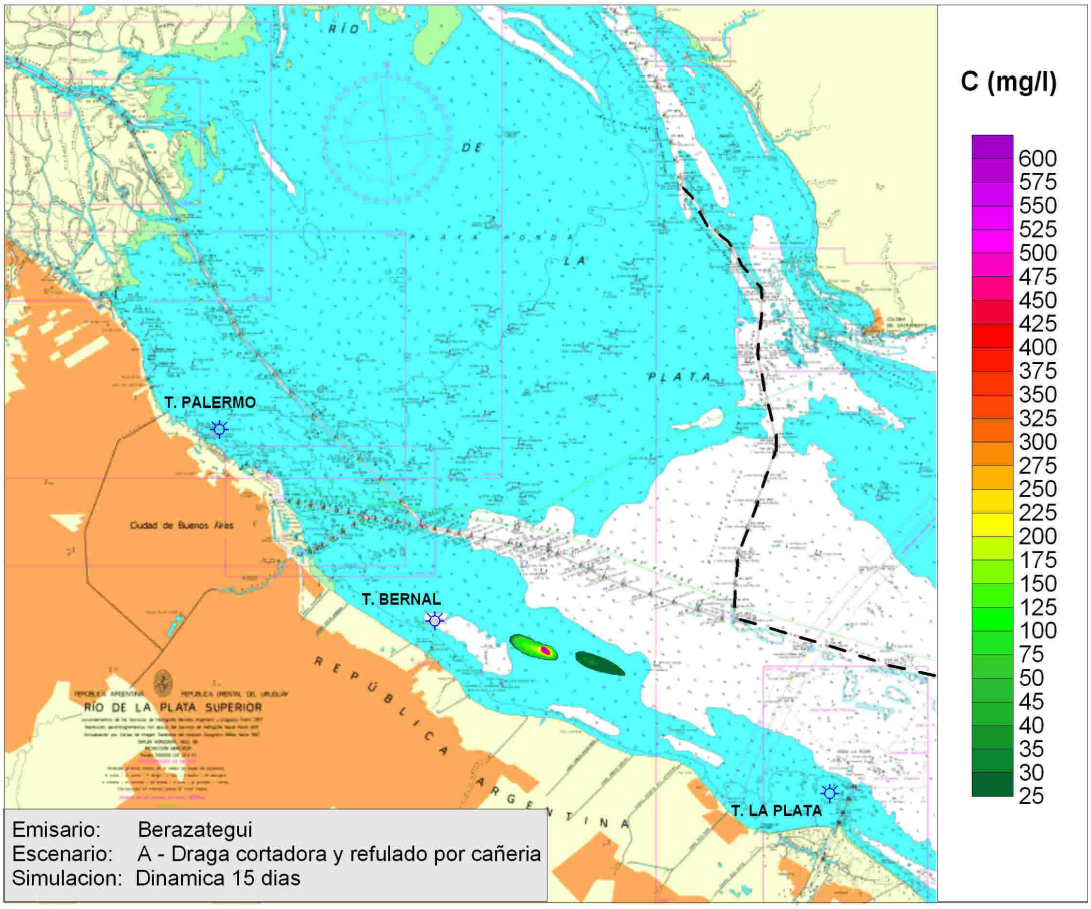

Figura A.6.7.1.2.23 – Distribución superficial de la concentración: día 12 hora 12.

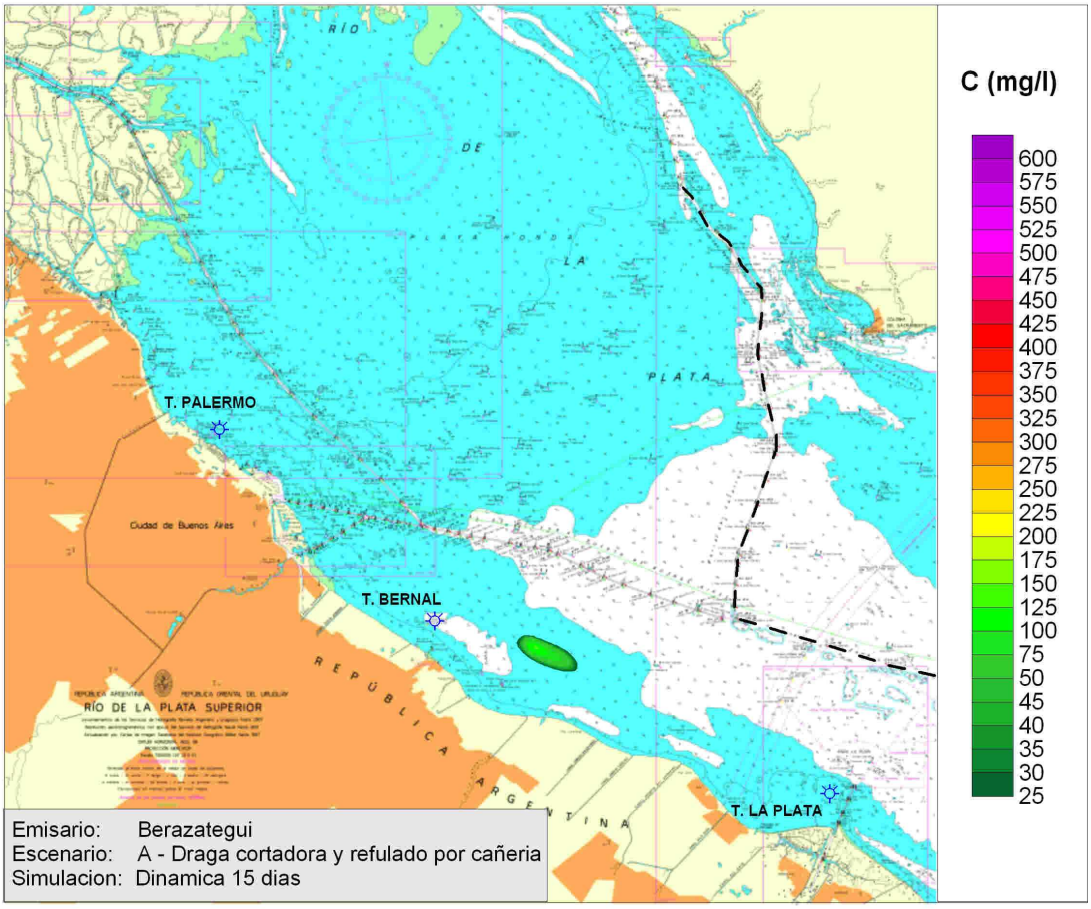

Figura A.6.7.1.2.24 – Distribución superficial de la concentración: día 12 hora 24.

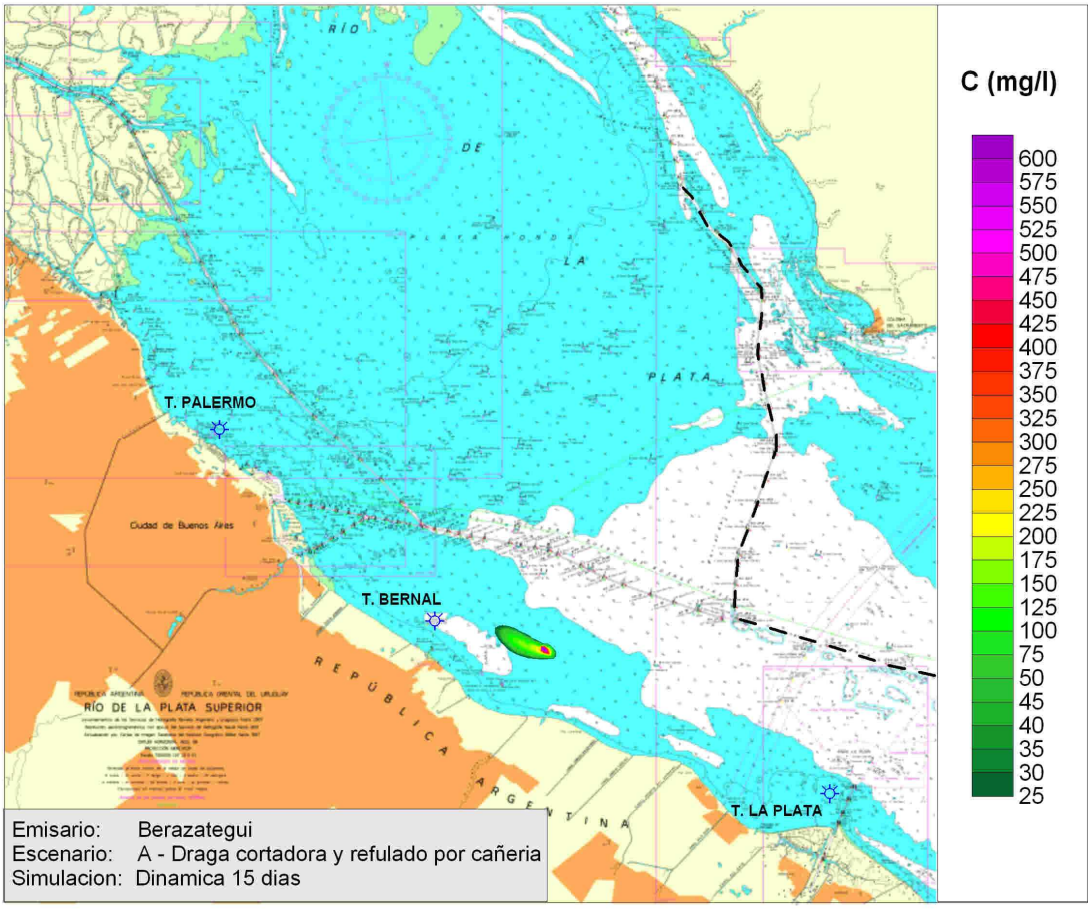

Figura A.6.7.1.2.25 – Distribución superficial de la concentración: día 13 hora 12.

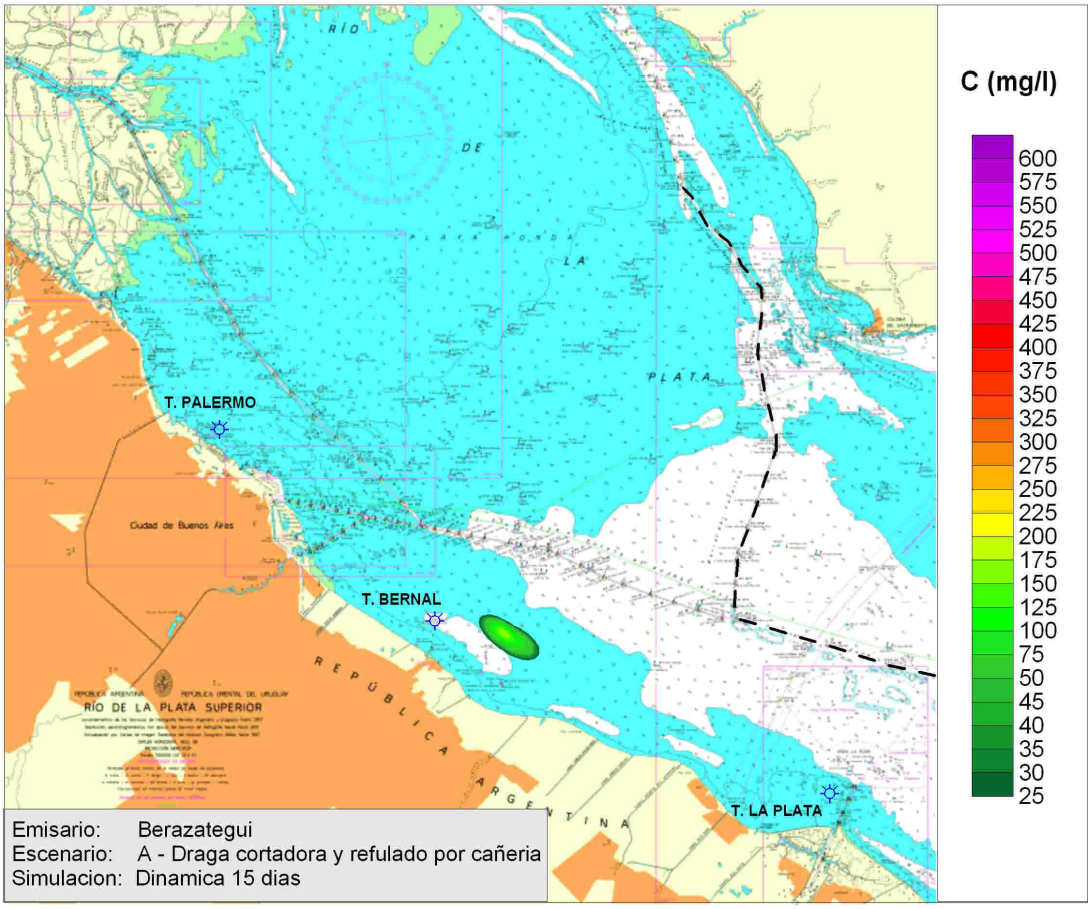

Figura A.6.7.1.2.26 – Distribución superficial de la concentración: día 13 hora 24.

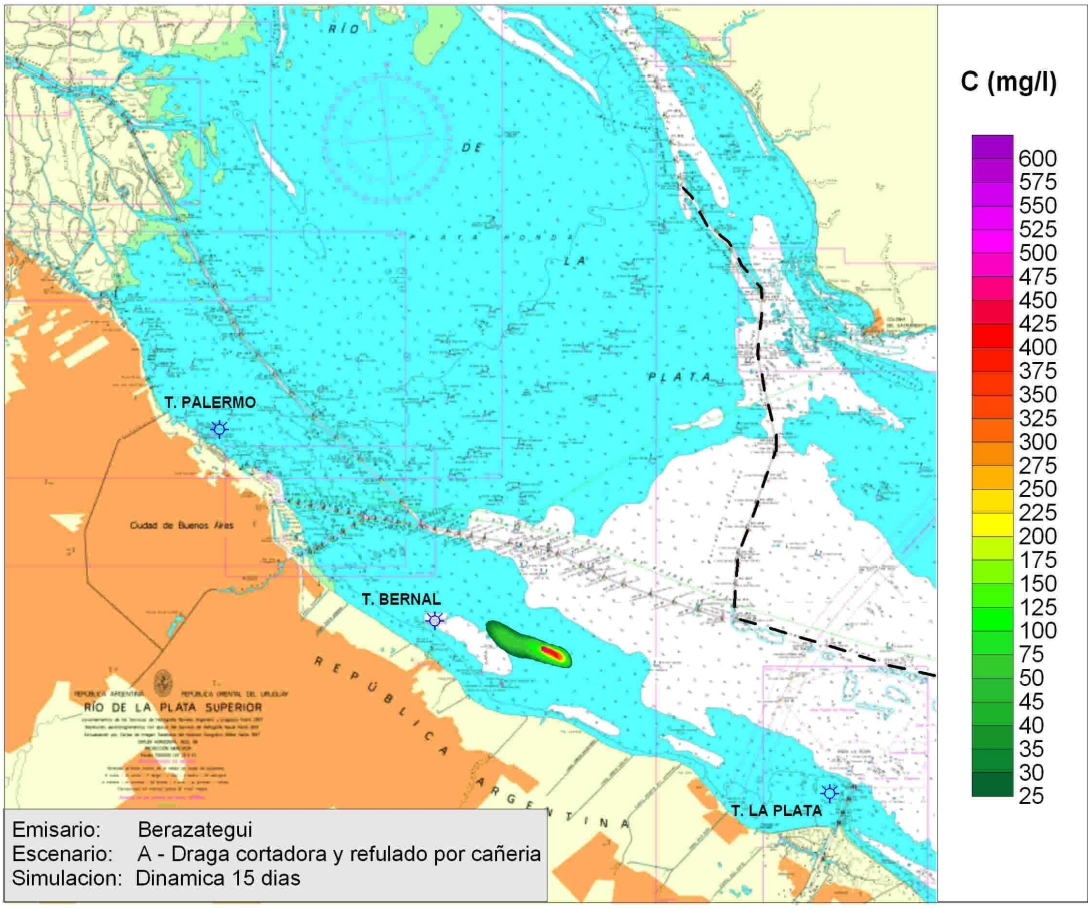

Figura A.6.7.1.2.27 – Distribución superficial de la concentración: día 14 hora 12.

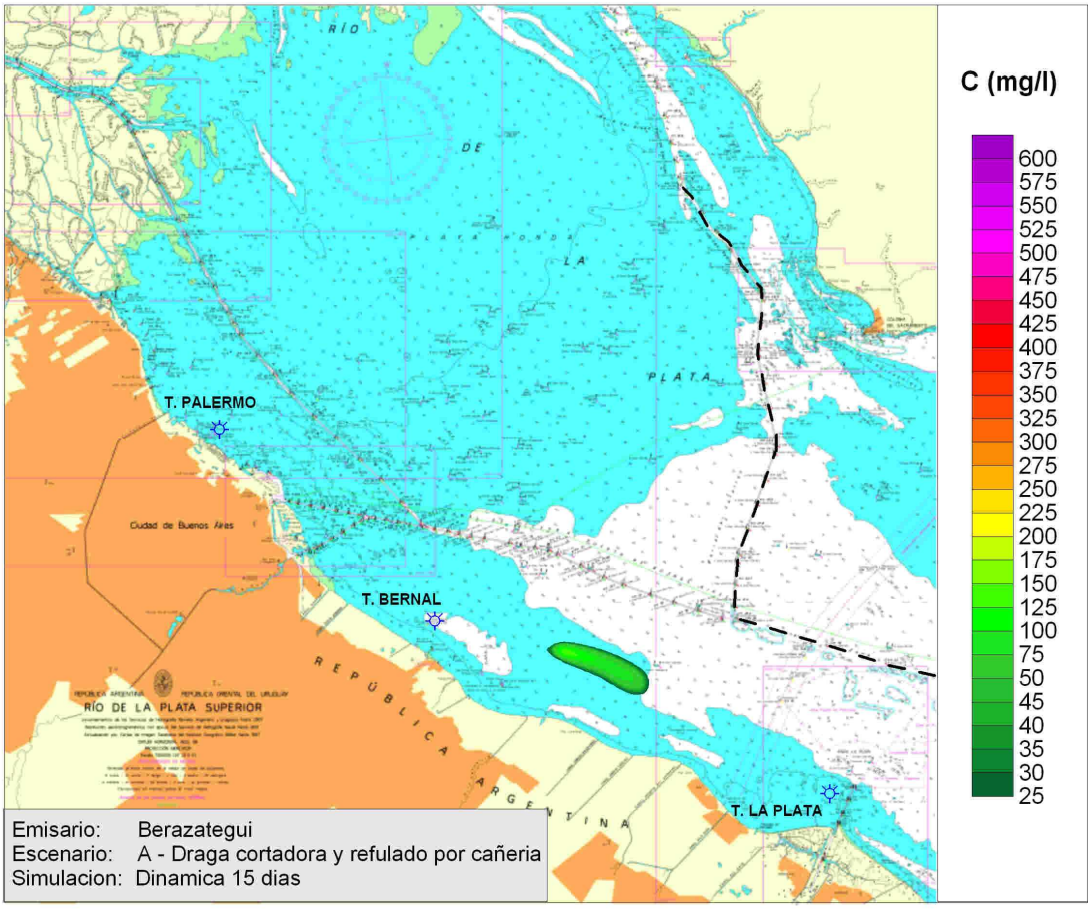

Figura A.6.7.1.2.28 – Distribución superficial de la concentración: día 14 hora 24.

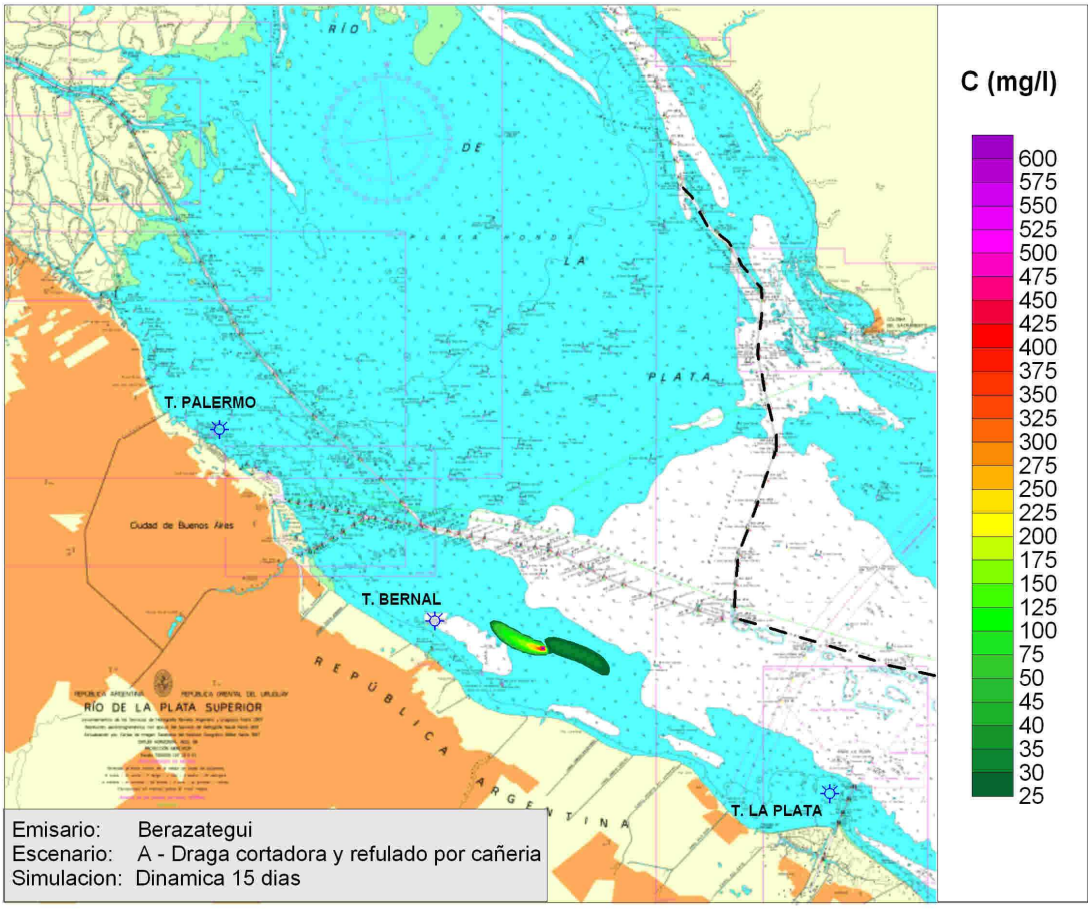

Figura A.6.7.1.2.29 – Distribución superficial de la concentración: día 15 hora 12.

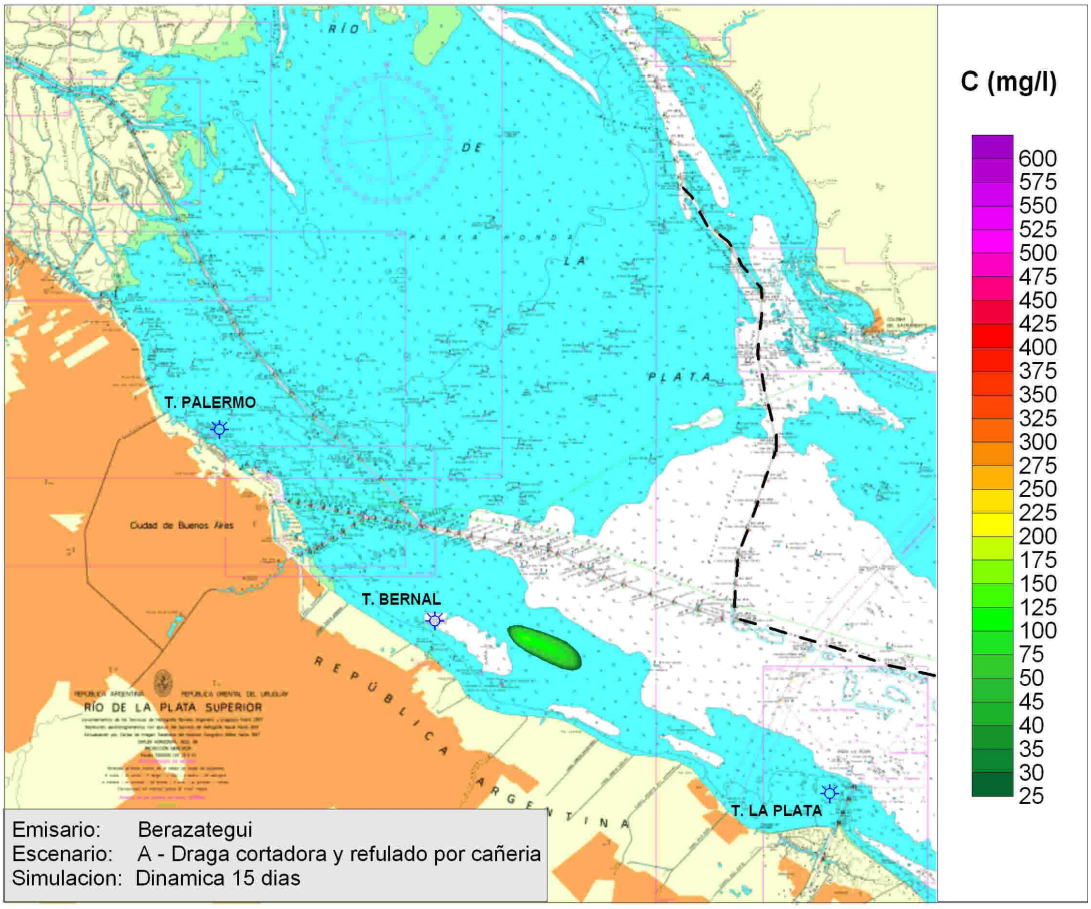

Figura A.6.7.1.2.30 – Distribución superficial de la concentración: día 15 hora 24.

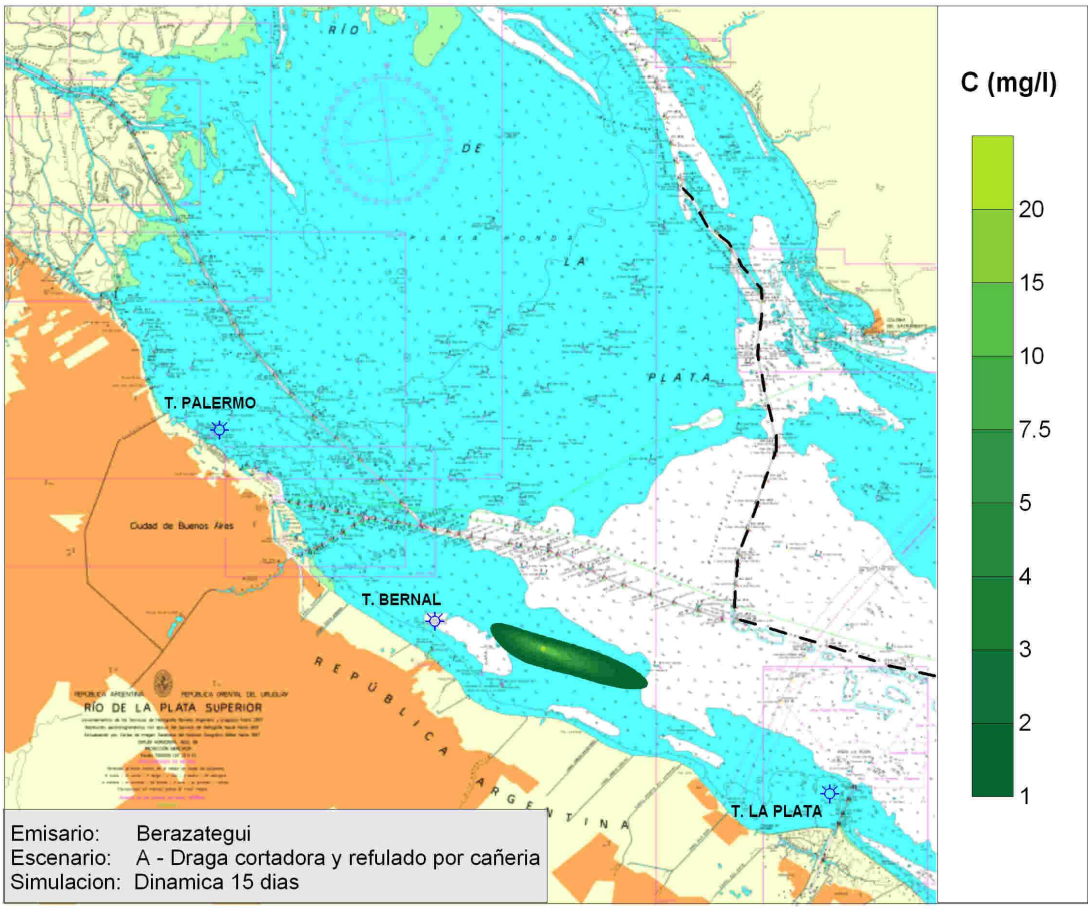

Figura A.6.7.1.2.31 – Distribución superficial de la concentración promedio durante los 15 días de la simulación.

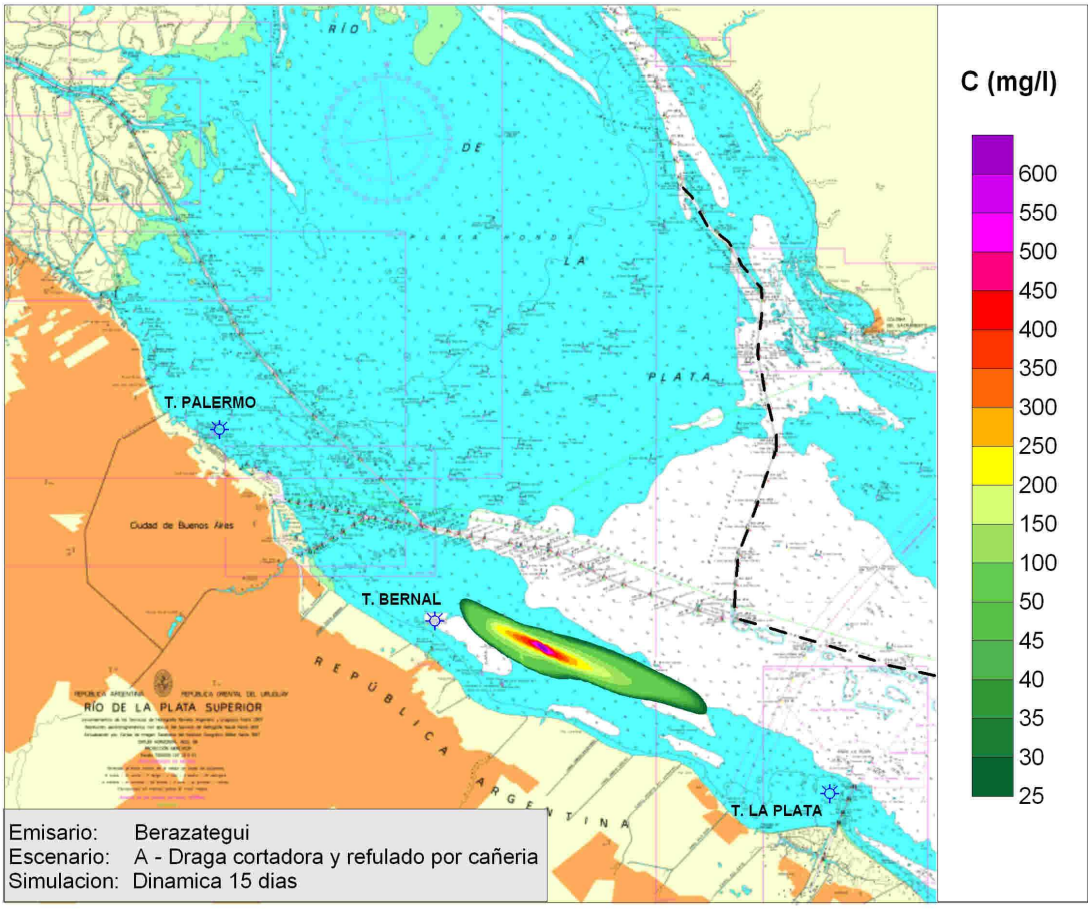

Figura A.6.7.1.2.32 – Distribución superficial de la concentración máxima durante los 15 días de la simulación.

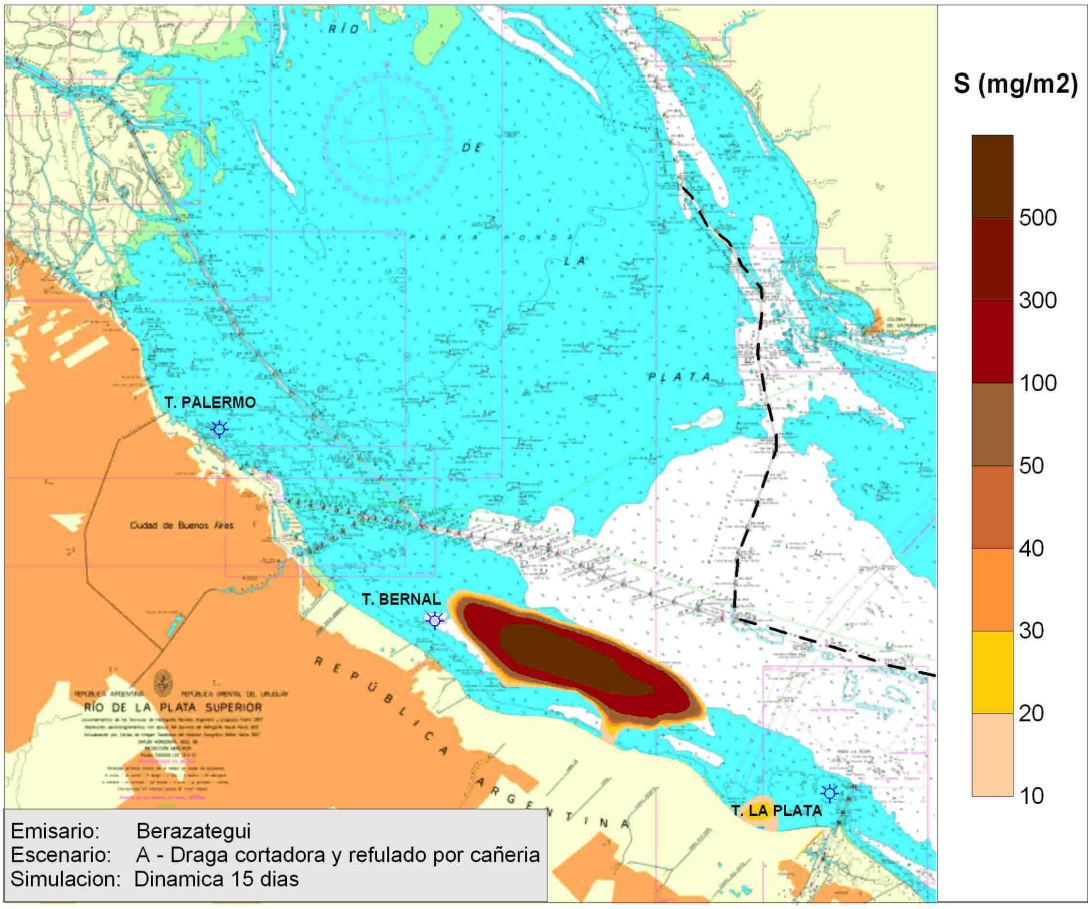

Figura A.6.7.1.2.33 – Distribución superficial de la masa sedimentada durante los 15 días de la simulación.

ANEXO 6.7.2.1

Análisis de sensibilidad para dragado con succión por arrastre y vaciado lateral mediante cañón proyector en emisario Berazategui.

Evolución de parámetros en estaciones fijas.

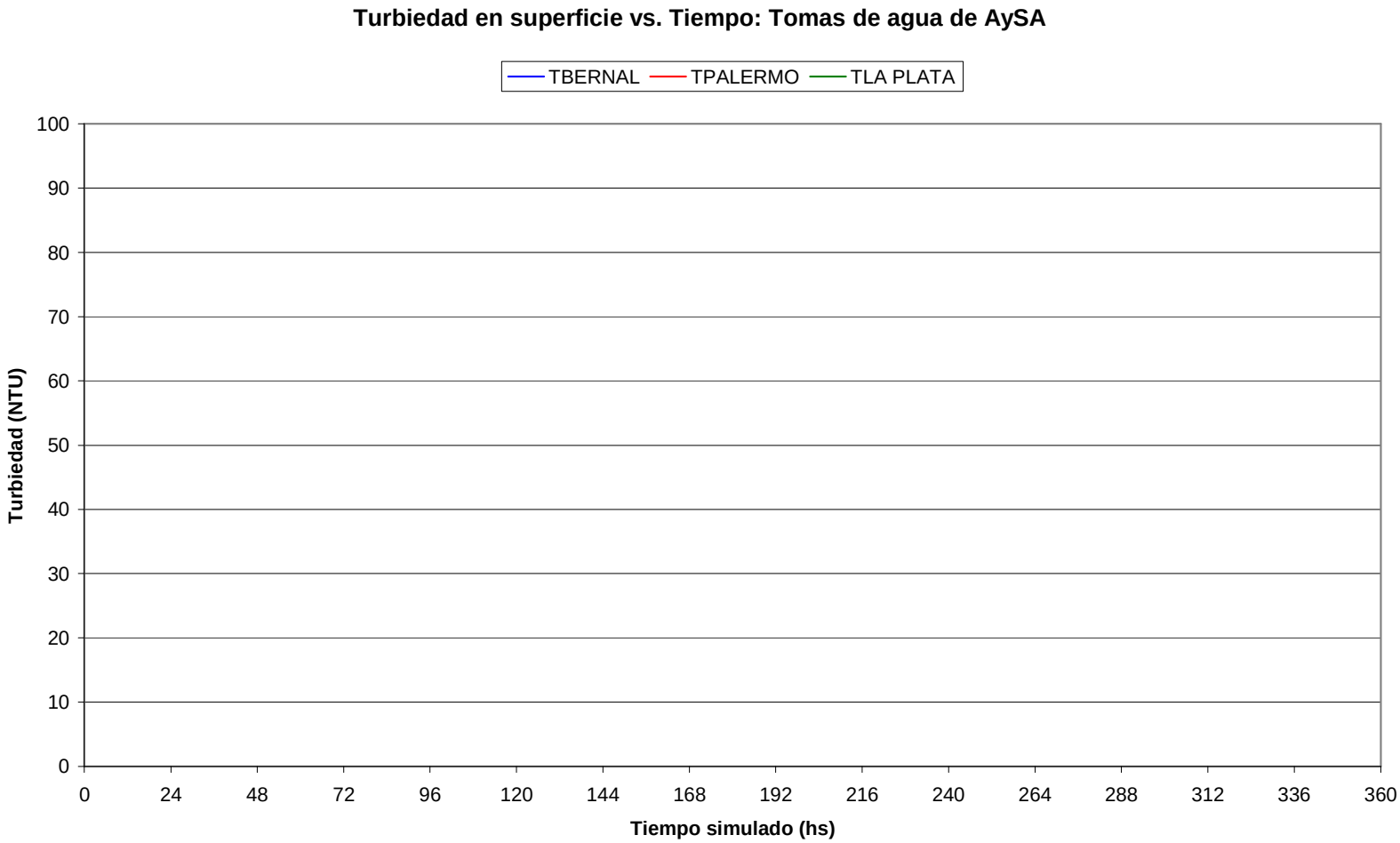

Figura A.6.7.2.1.1 – Turbiedad en tomas de agua. Capa superficial. No se observan niveles mensurables de sobre-concentración.

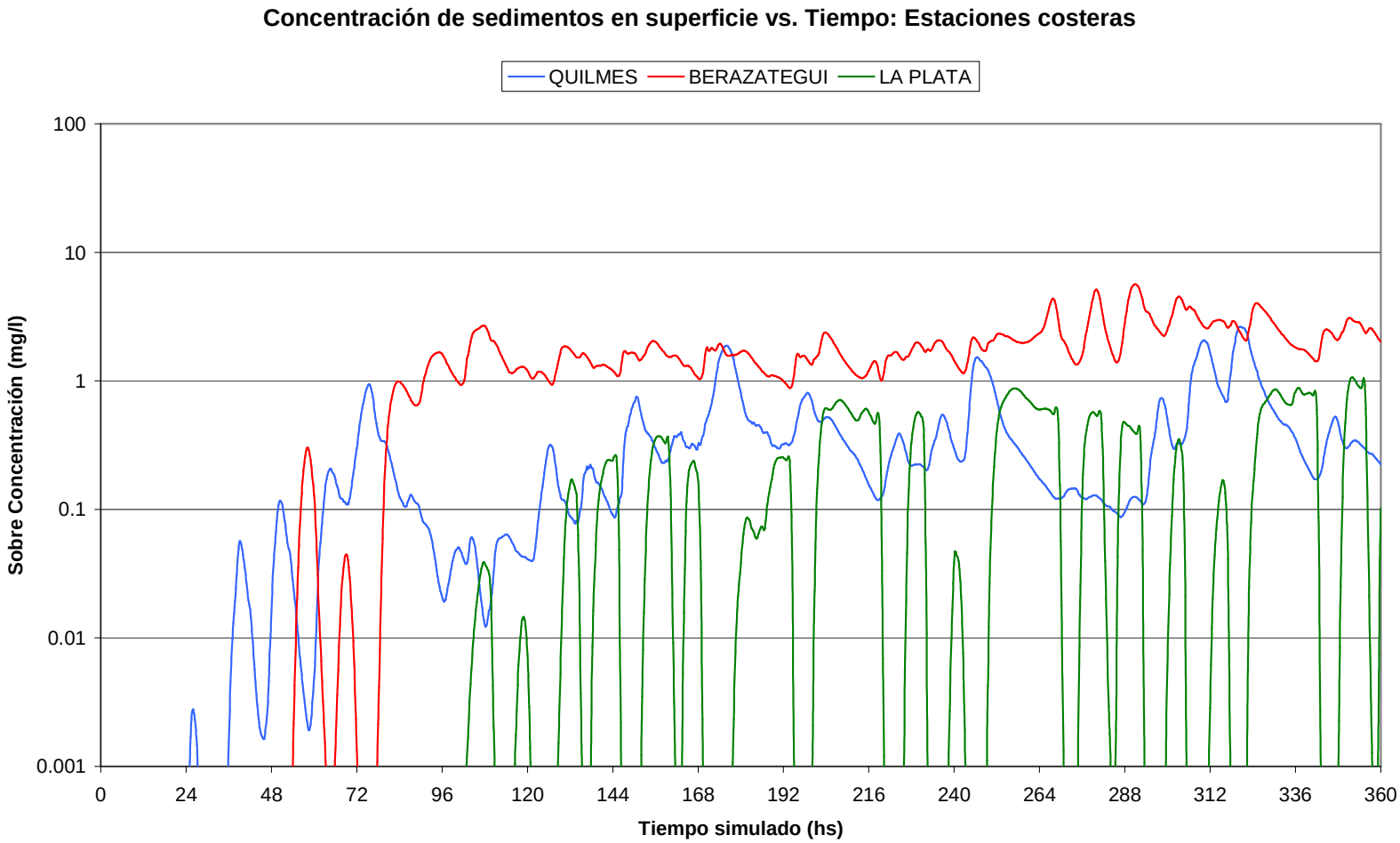

Figura A.6.7.2.1.2 – Concentración de sedimentos en áreas costeras. Capa superficial.

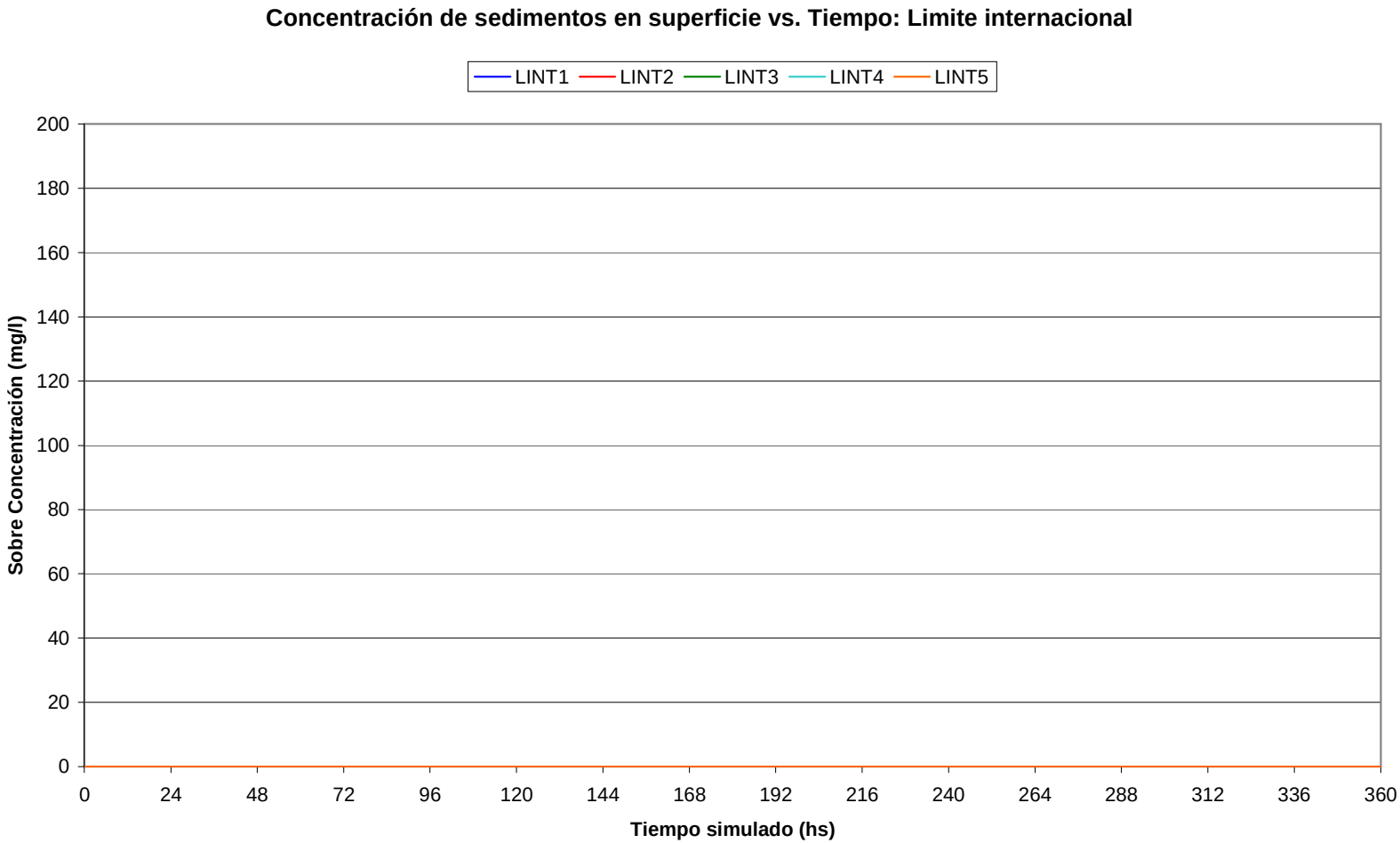

Figura A.6.7.2.1.3 – Concentración de sedimentos en el límite internacional. Capa superficial. No se observan niveles mensurables de sobre-concentración.

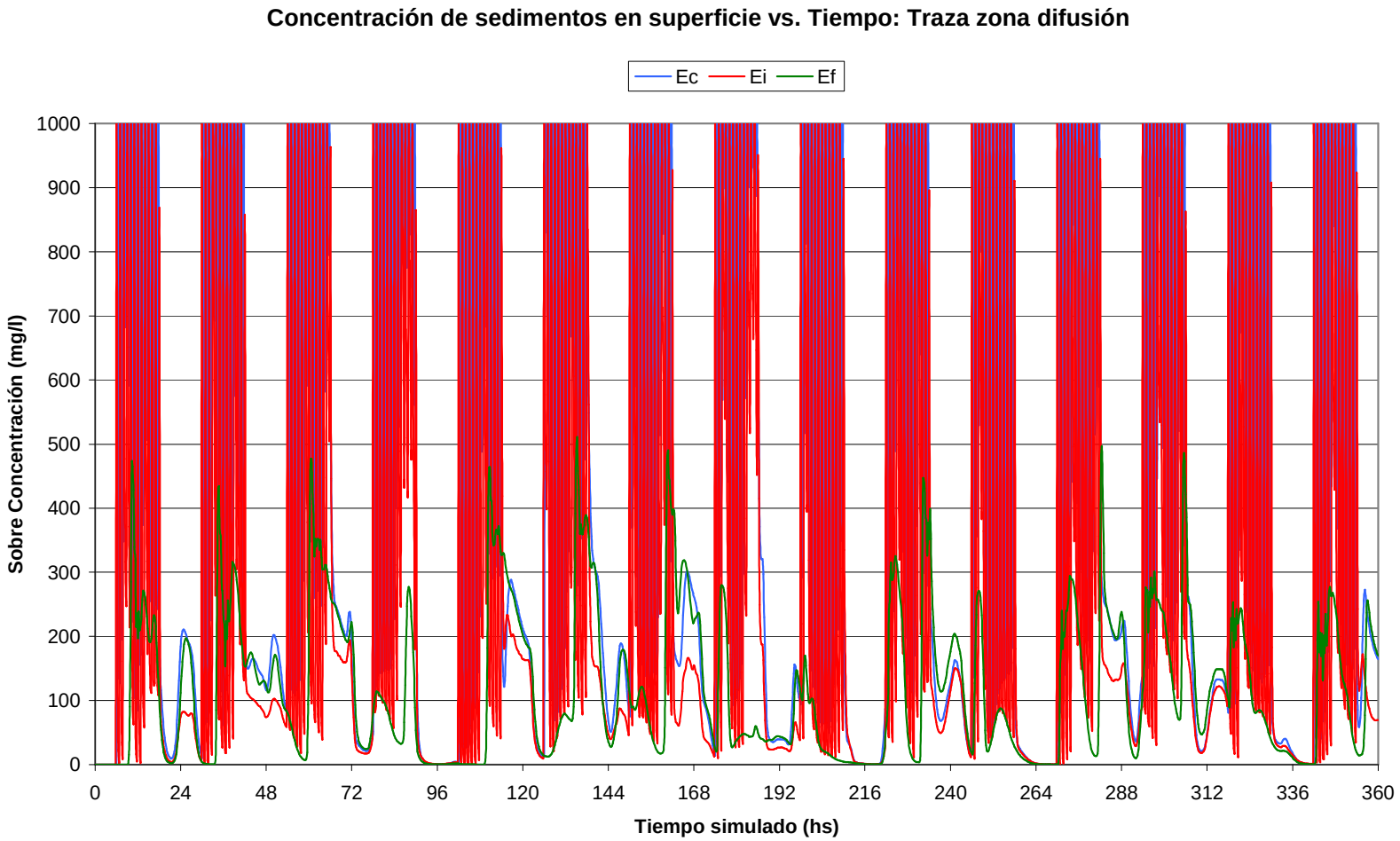

Figura A.6.7.2.1.4 – Concentración de sedimentos en la traza del emisario. Capa superficial.

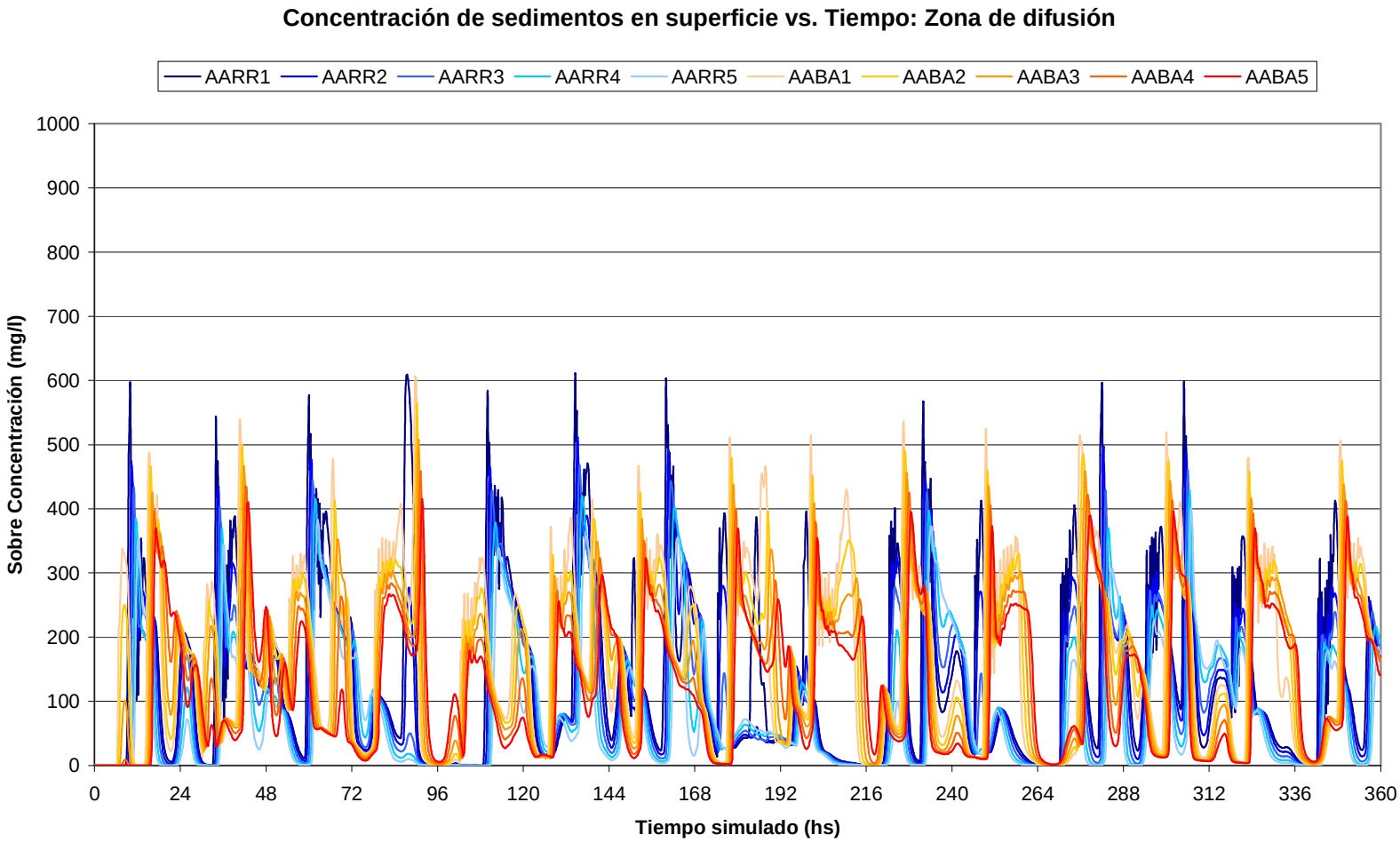

Figura A.6.7.2.1.5 – Concentración de sedimentos en la zona de difusión del emisario. Capa superficial.

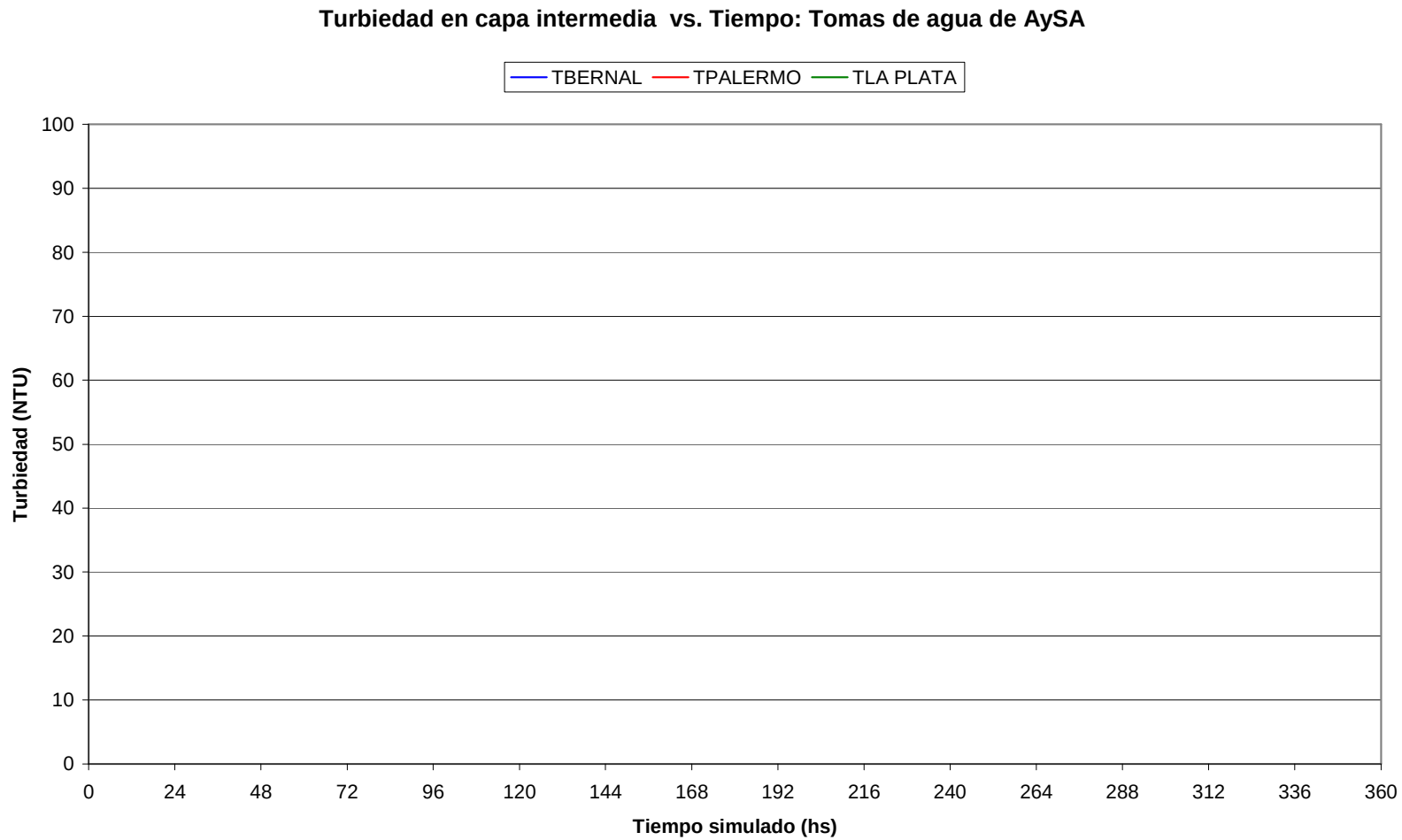

Figura A.6.7.2.1.6 – Turbiedad en tomas de agua. Capa intermedia. No se observan niveles mensurables de sobre-concentración.

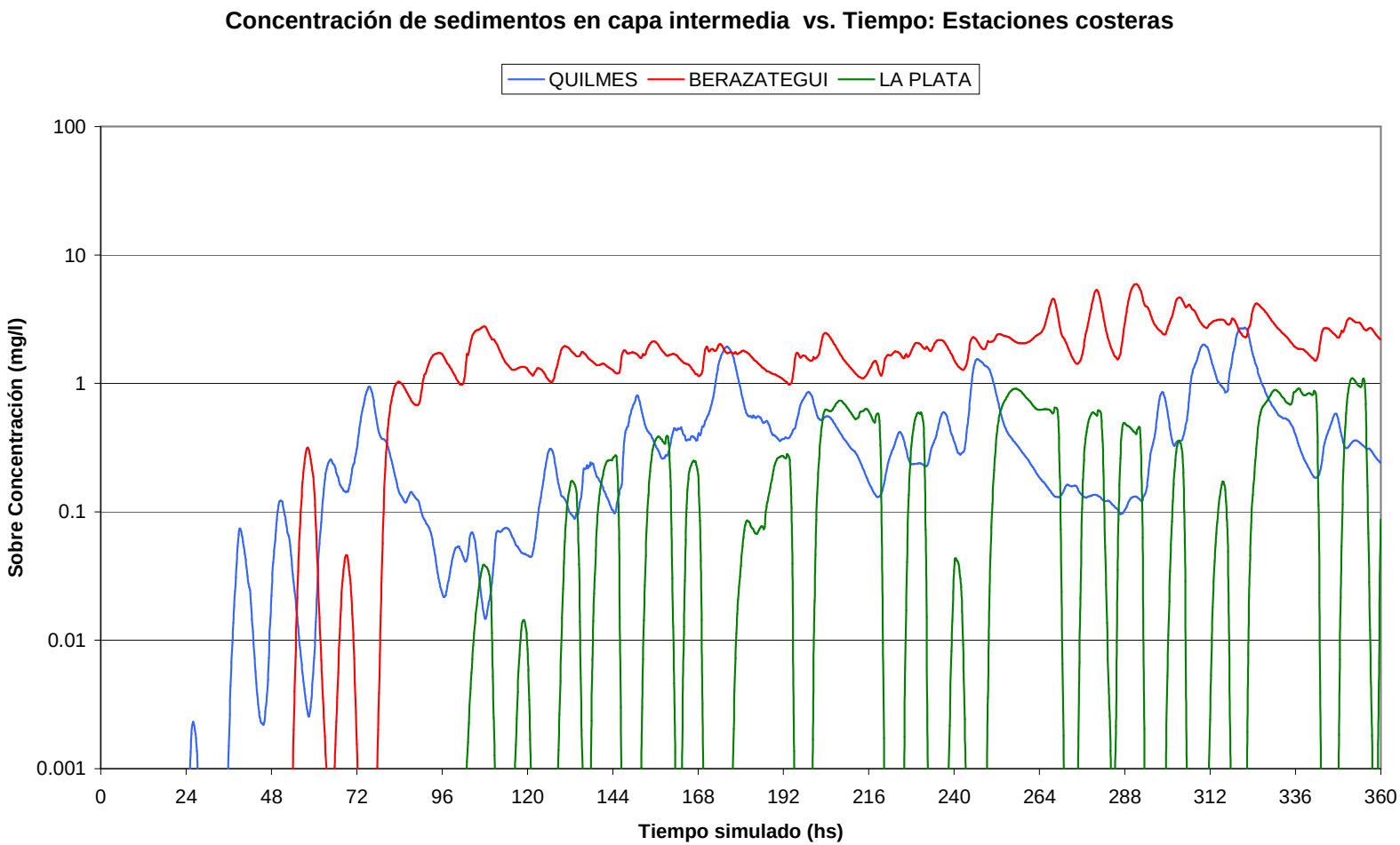

Figura A.6.7.2.1.7 – Concentración de sedimentos en áreas costeras. Capa intermedia.

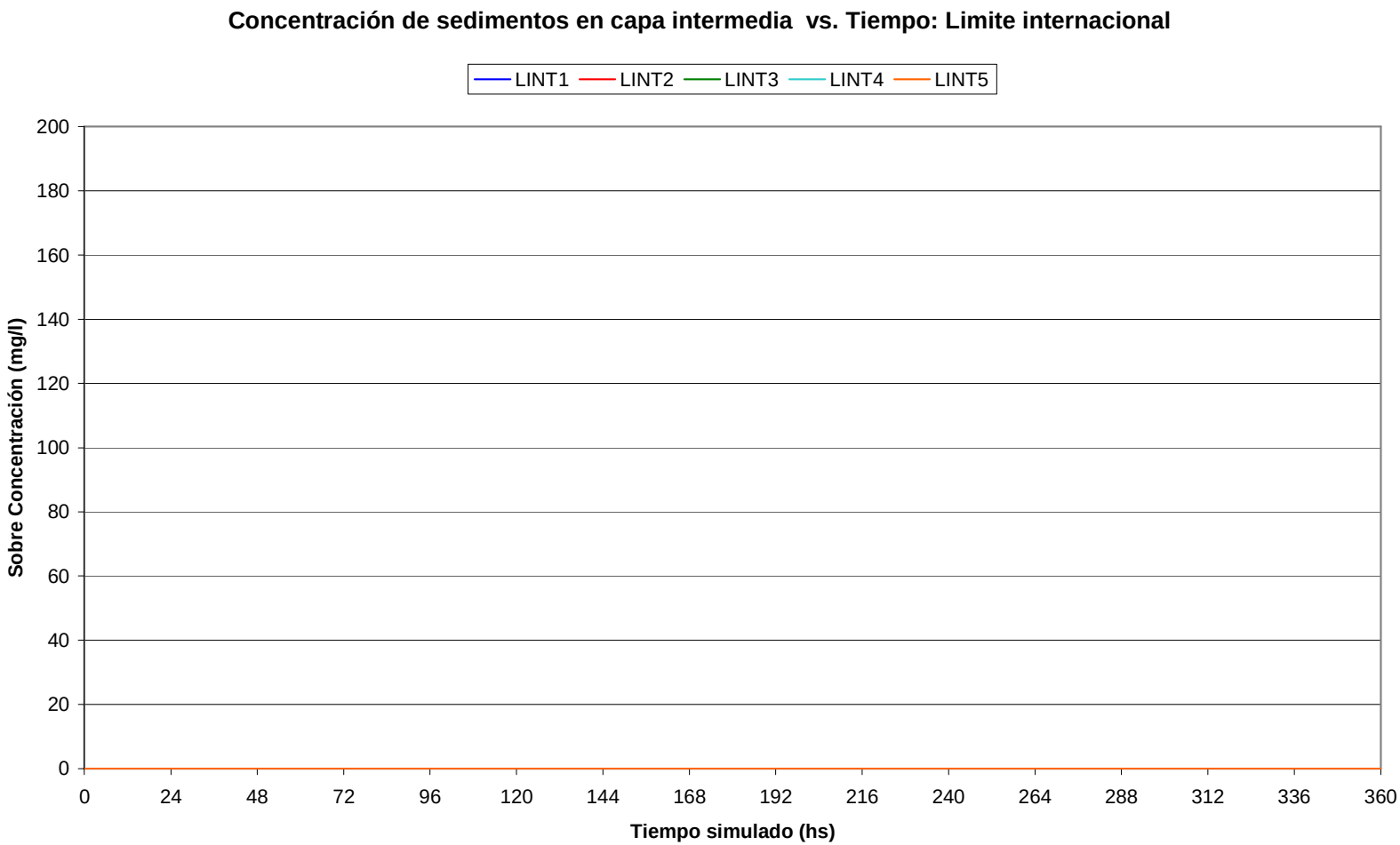

Figura A.6.7.2.1.8 – Concentración de sedimentos en el límite internacional. Capa intermedia. No se observan niveles mensurables de sobre-concentración.

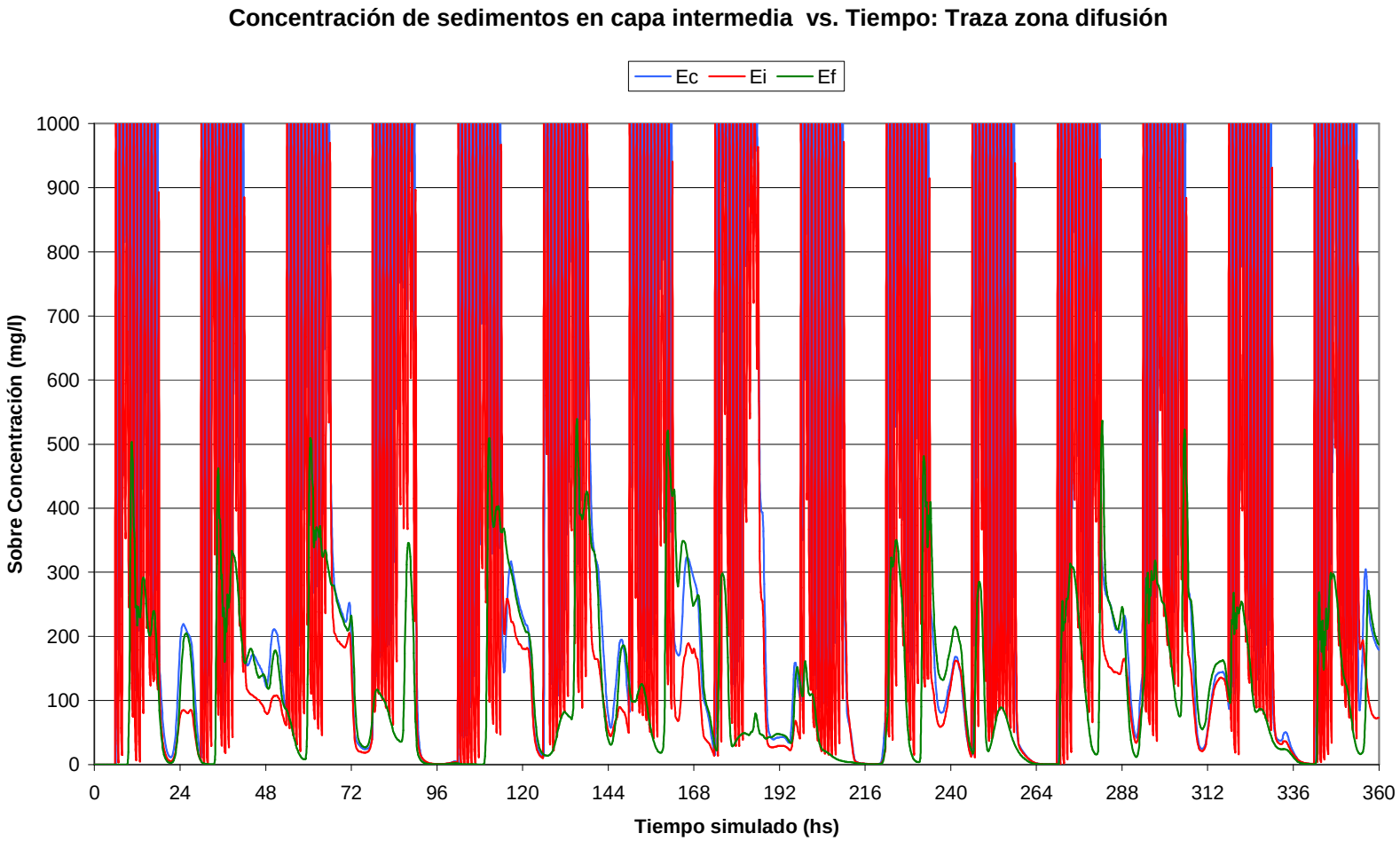

Figura A.6.7.2.1.9 – Concentración de sedimentos en la traza del emisario. Capa intermedia.

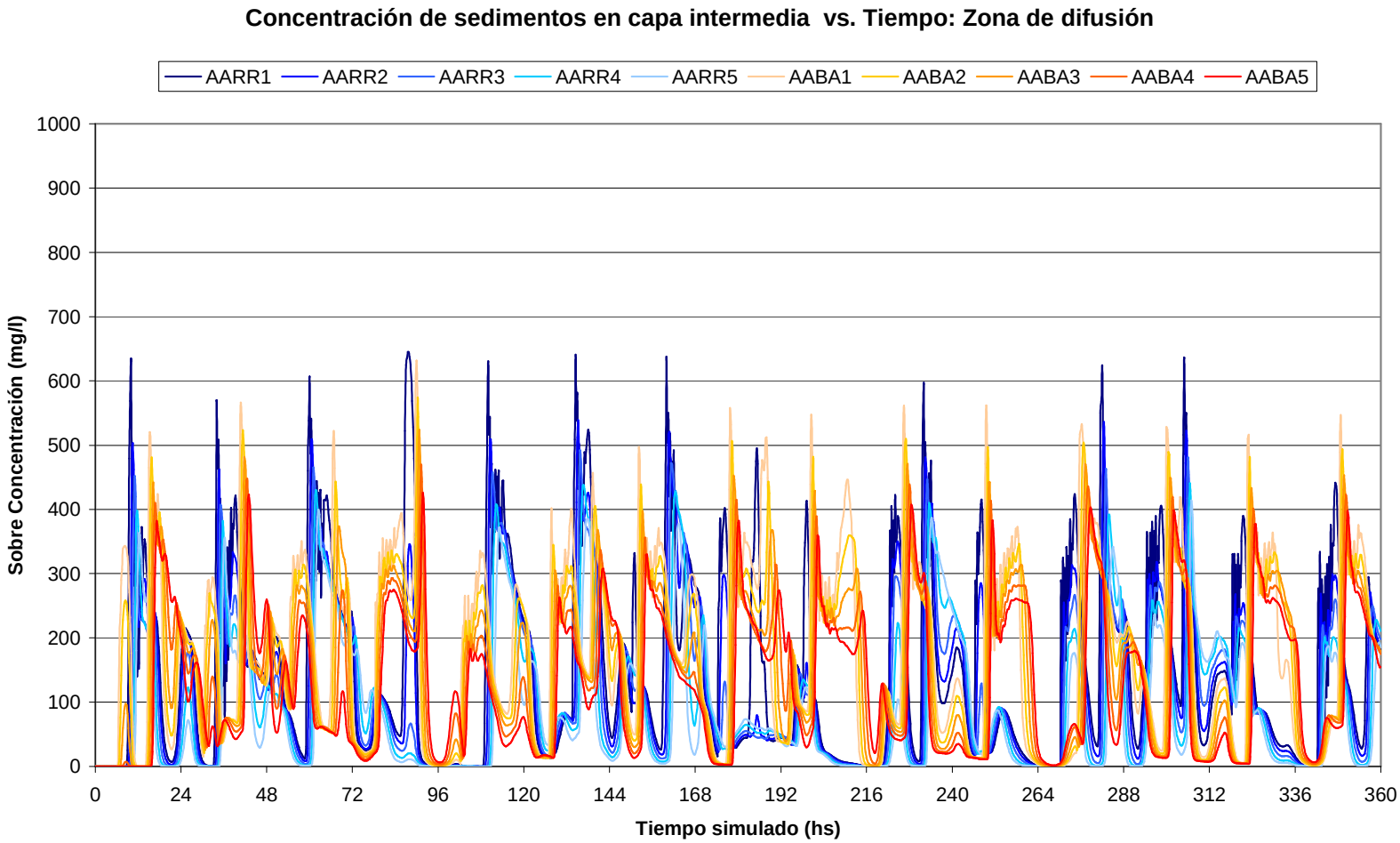

Figura A.6.7.2.1.10 – Concentración de sedimentos en la zona de difusión del emisario. Capa intermedia.

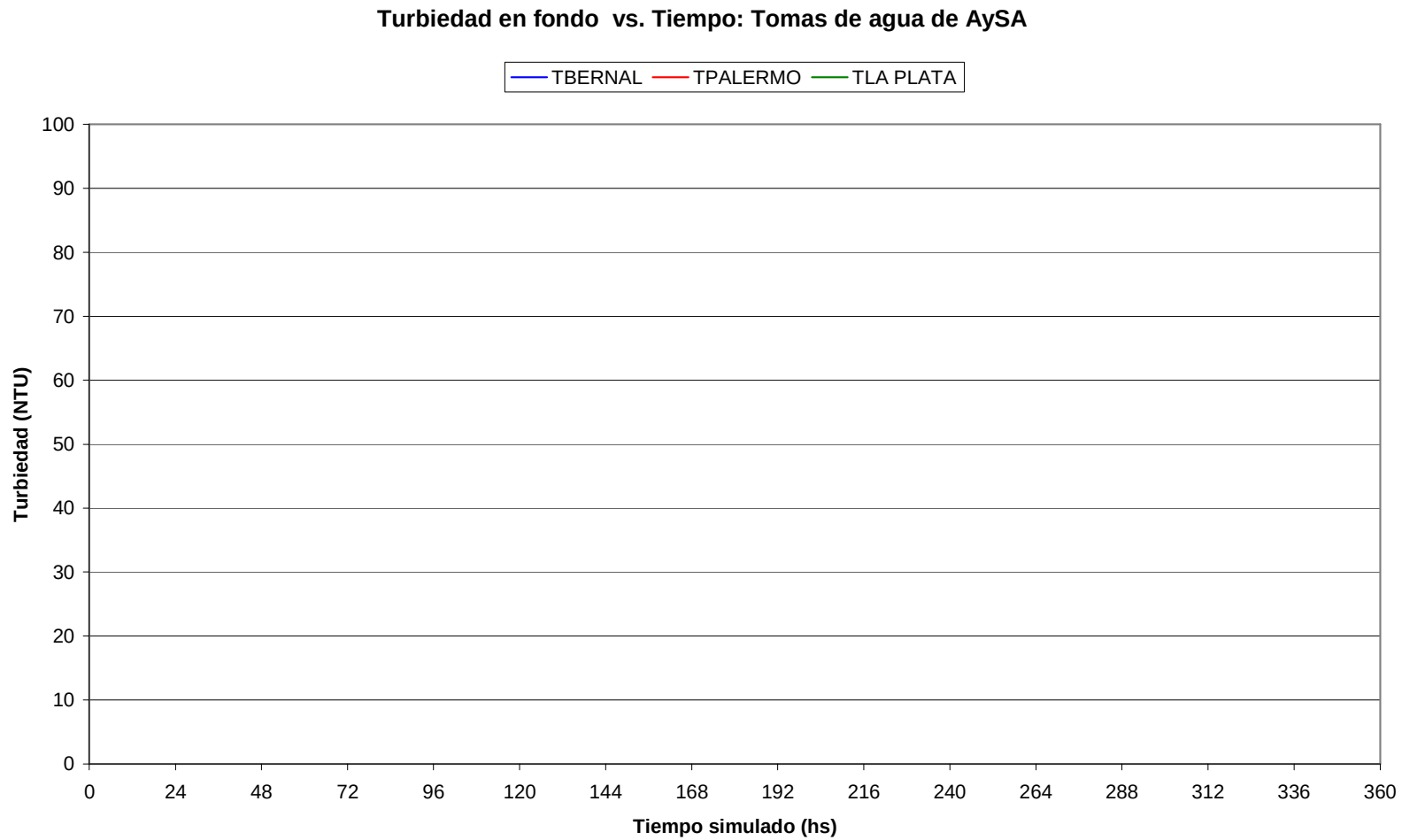

Figura A.6.7.2.1.11 – Turbiedad en tomas de agua. Capa de fondo. No se observan niveles mensurables de sobre-concentración.

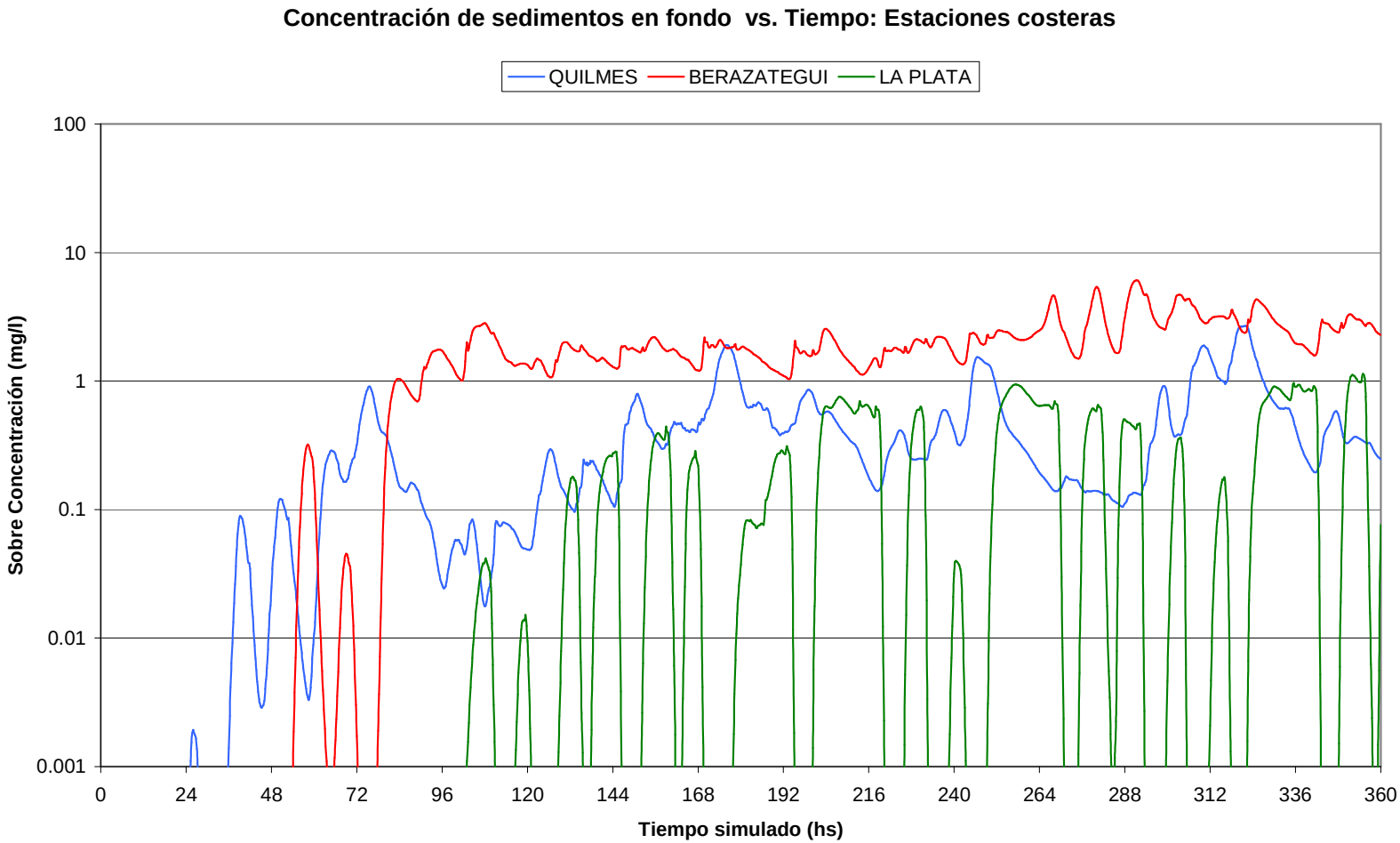

Figura A.6.7.2.1.12 – Concentración de sedimentos en áreas costeras. Capa de fondo.

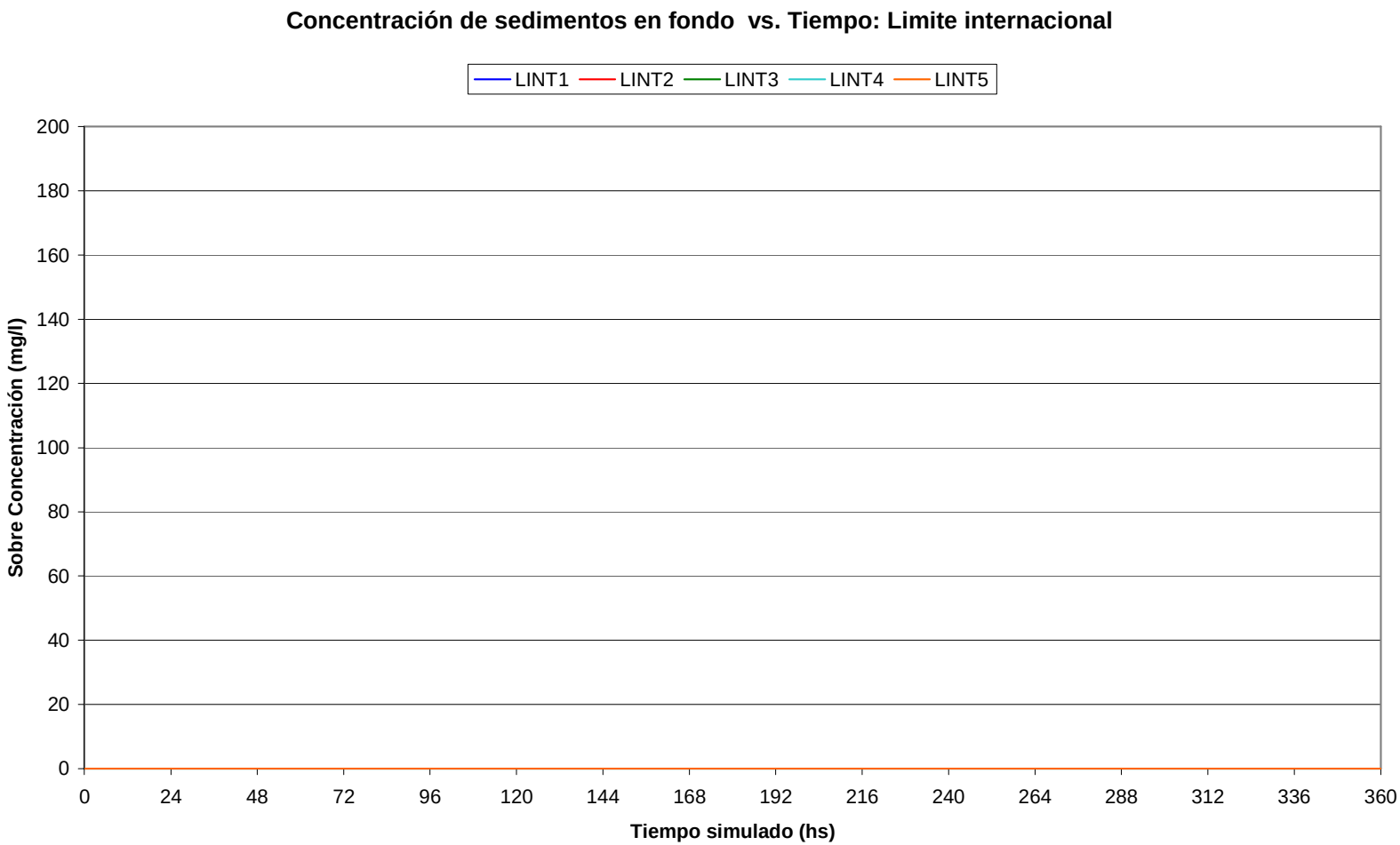

Figura A.6.7.2.1.13 – Concentración de sedimentos en el límite internacional. Capa de fondo. No se observan niveles mensurables de sobre-concentración.

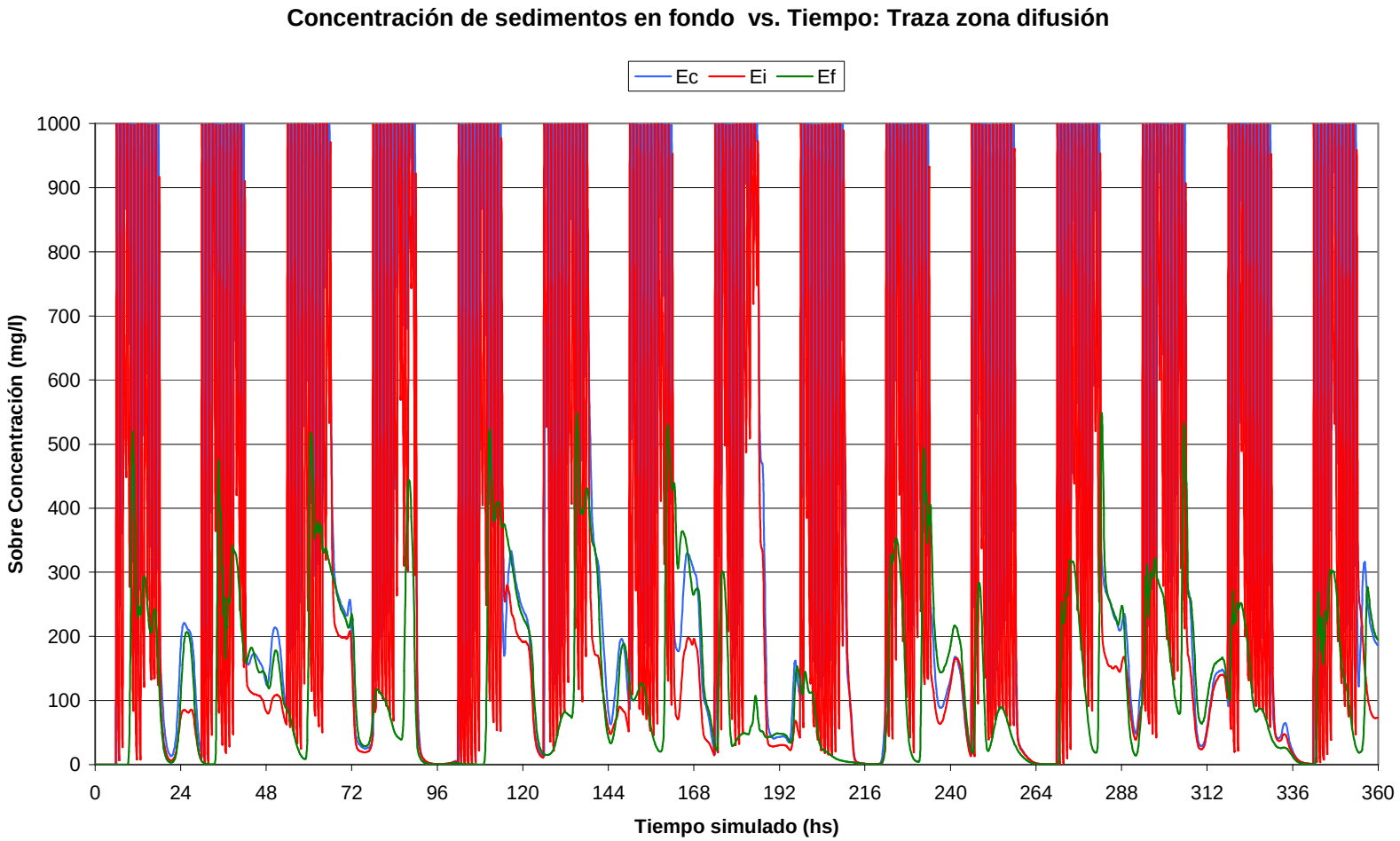

Figura A.6.7.2.1.14 – Concentración de sedimentos en la traza del emisario. Capa de fondo.

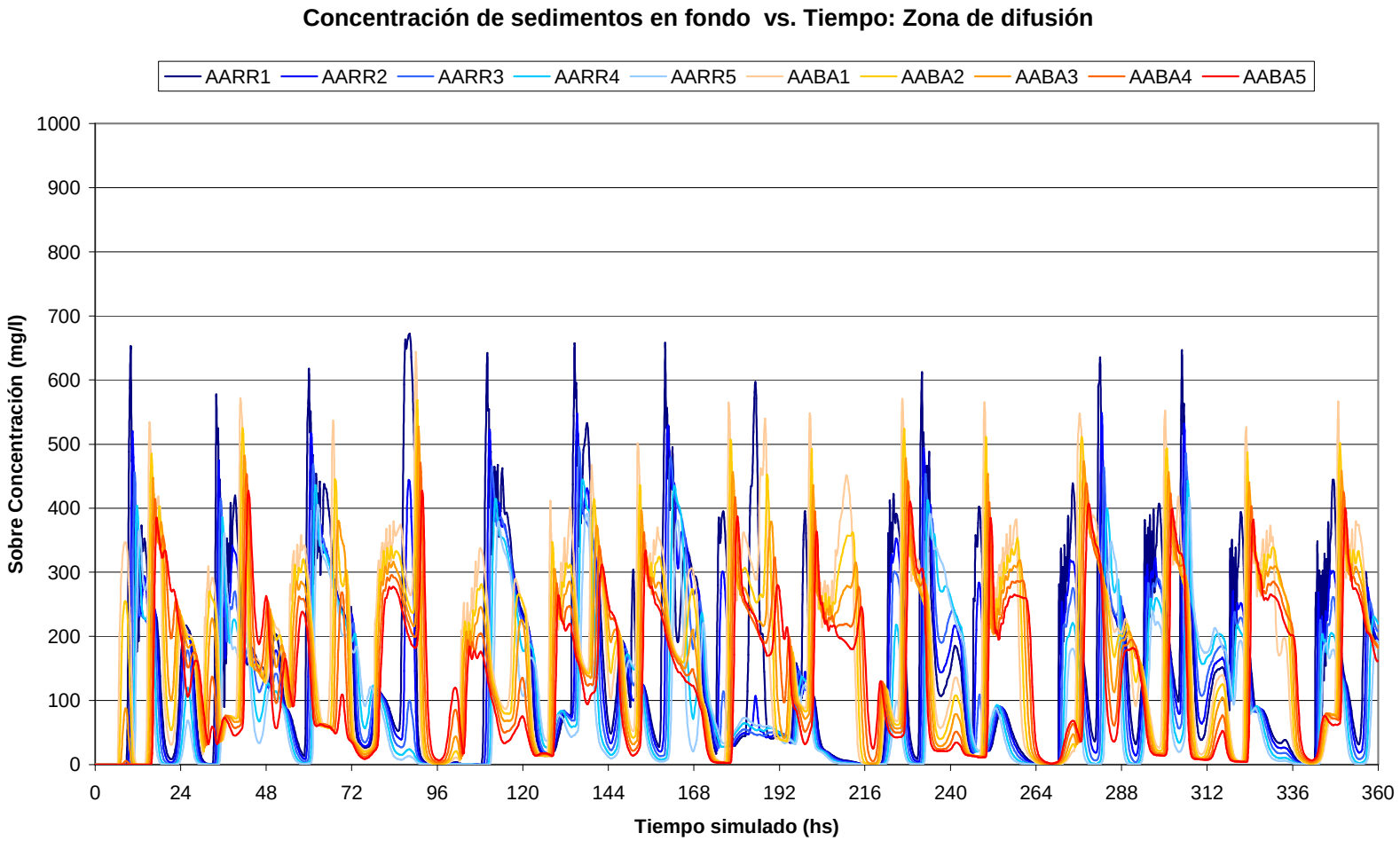

Figura A.6.7.2.1.15 – Concentración de sedimentos en la zona de difusión del emisario. Capa de fondo.

ANEXO 6.7.2.2

Análisis de sensibilidad para dragado con succión por arrastre y vaciado lateral mediante cañón proyector en emisario Berazategui.

Distribución espacial de concentraciones y material sedimentado.

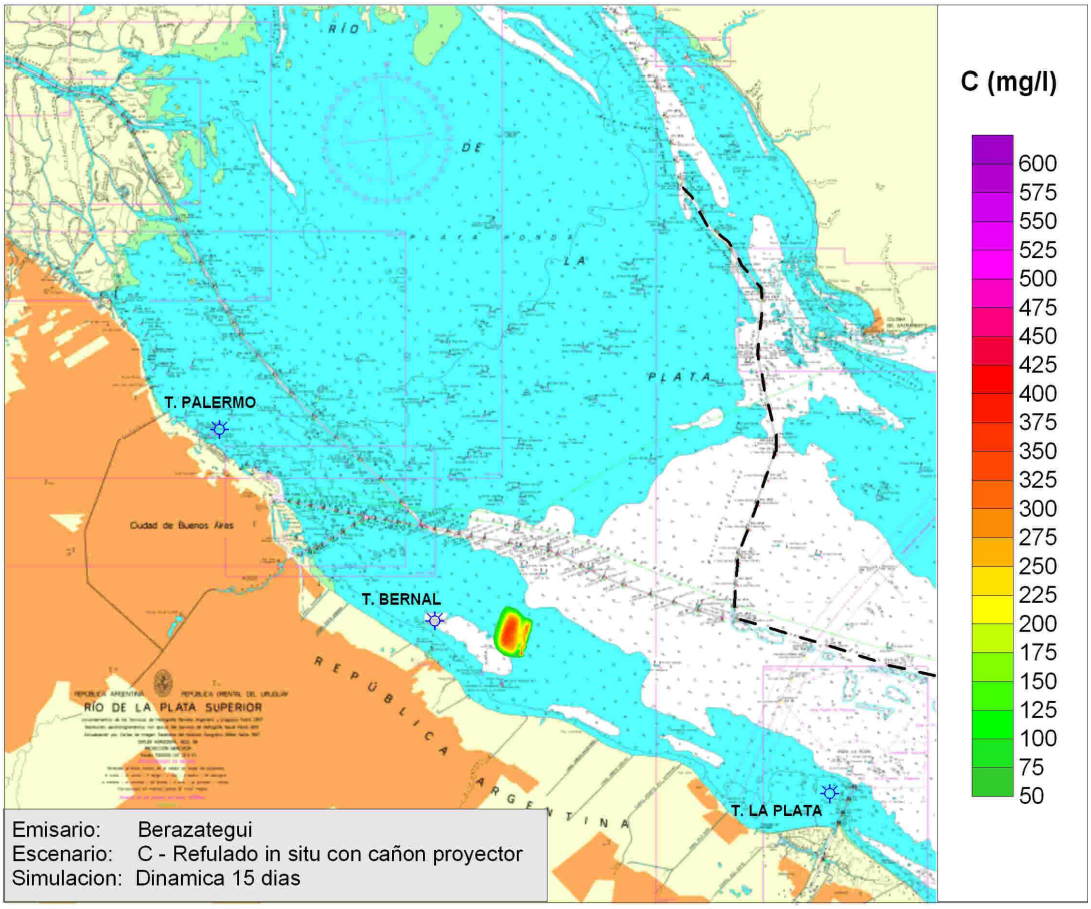

Figura A.6.7.2.2.1 – Distribución superficial de la concentración: día 1 hora 12.

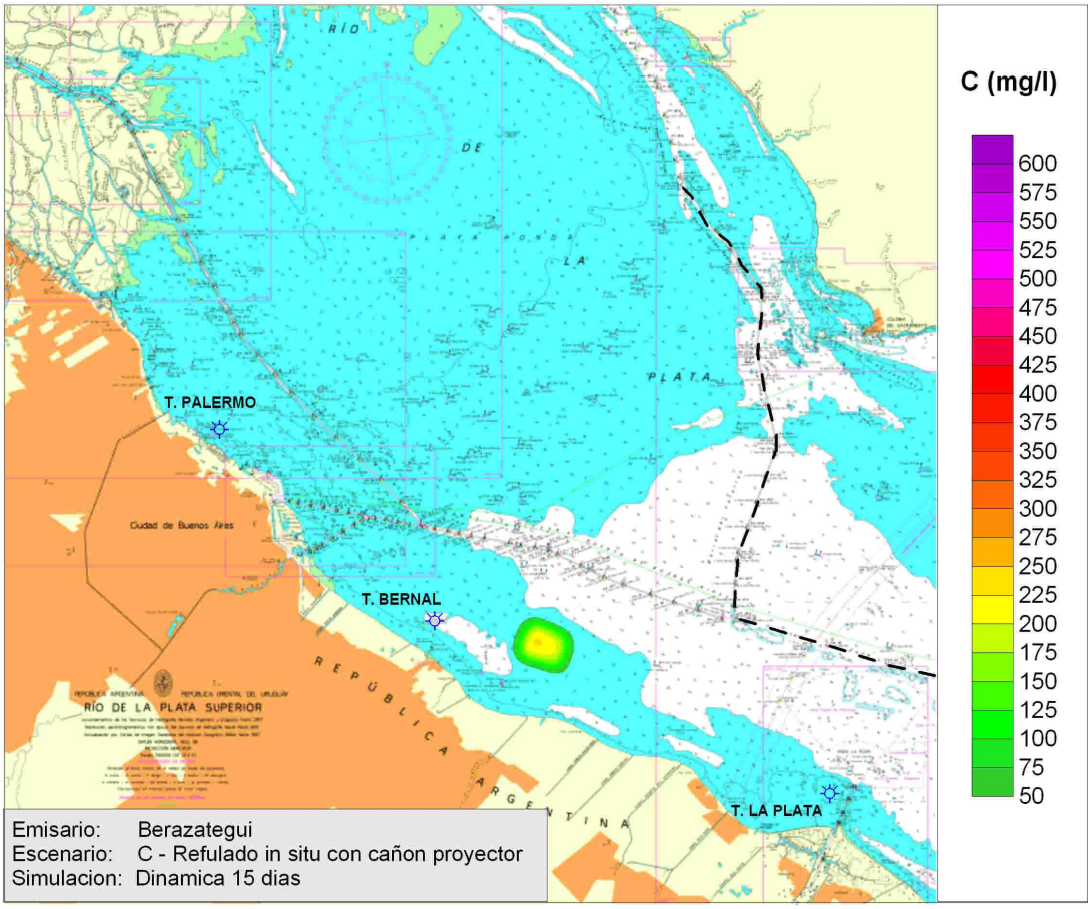

Figura A.6.7.2.2.2 – Distribución superficial de la concentración: día 1 hora 24.

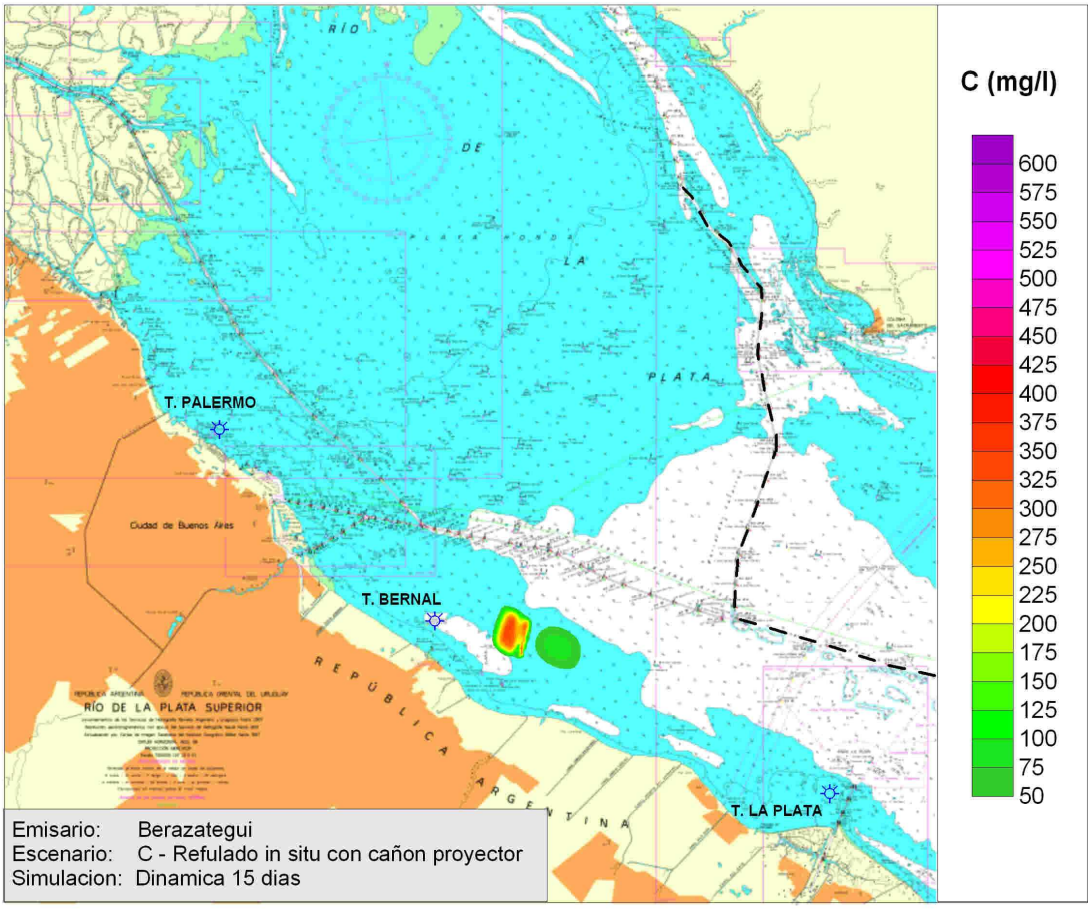

Figura A.6.7.2.2.3 – Distribución superficial de la concentración: día 2 hora 12.

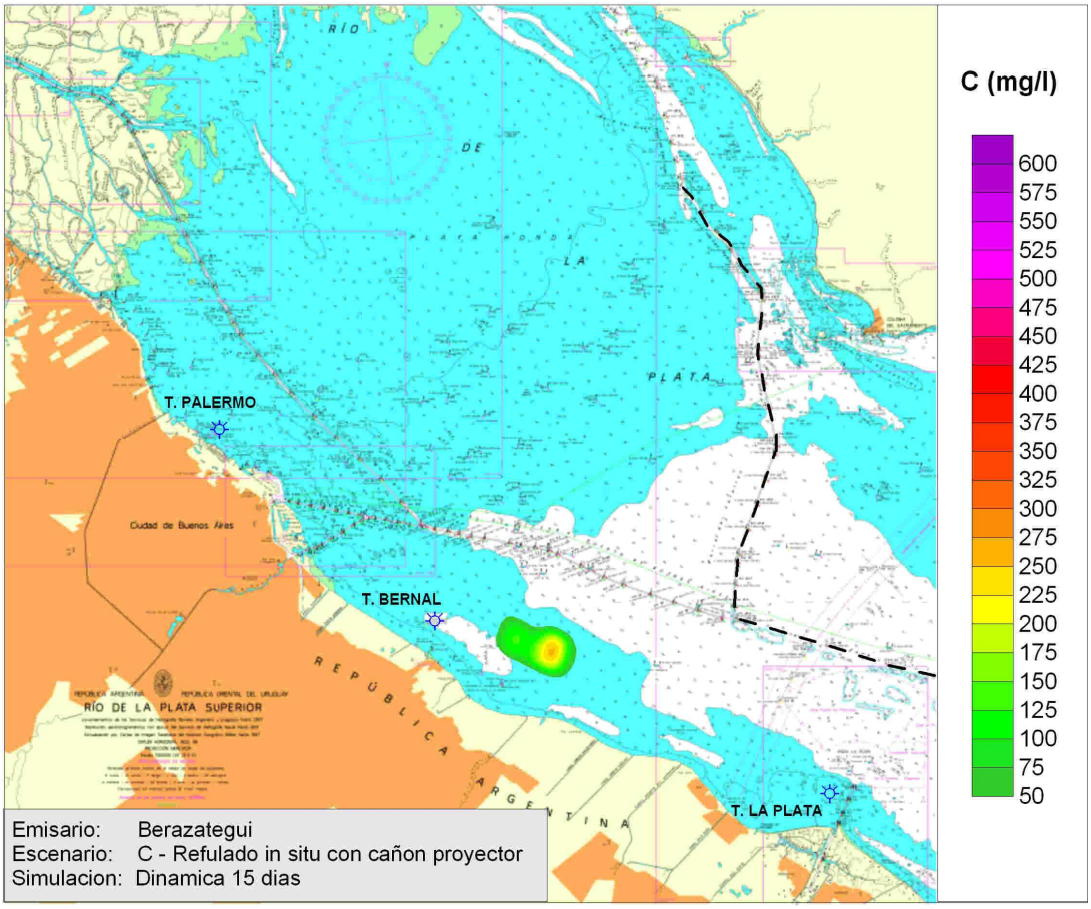

Figura A.6.7.2.2.4 – Distribución superficial de la concentración: día 2 hora 24.

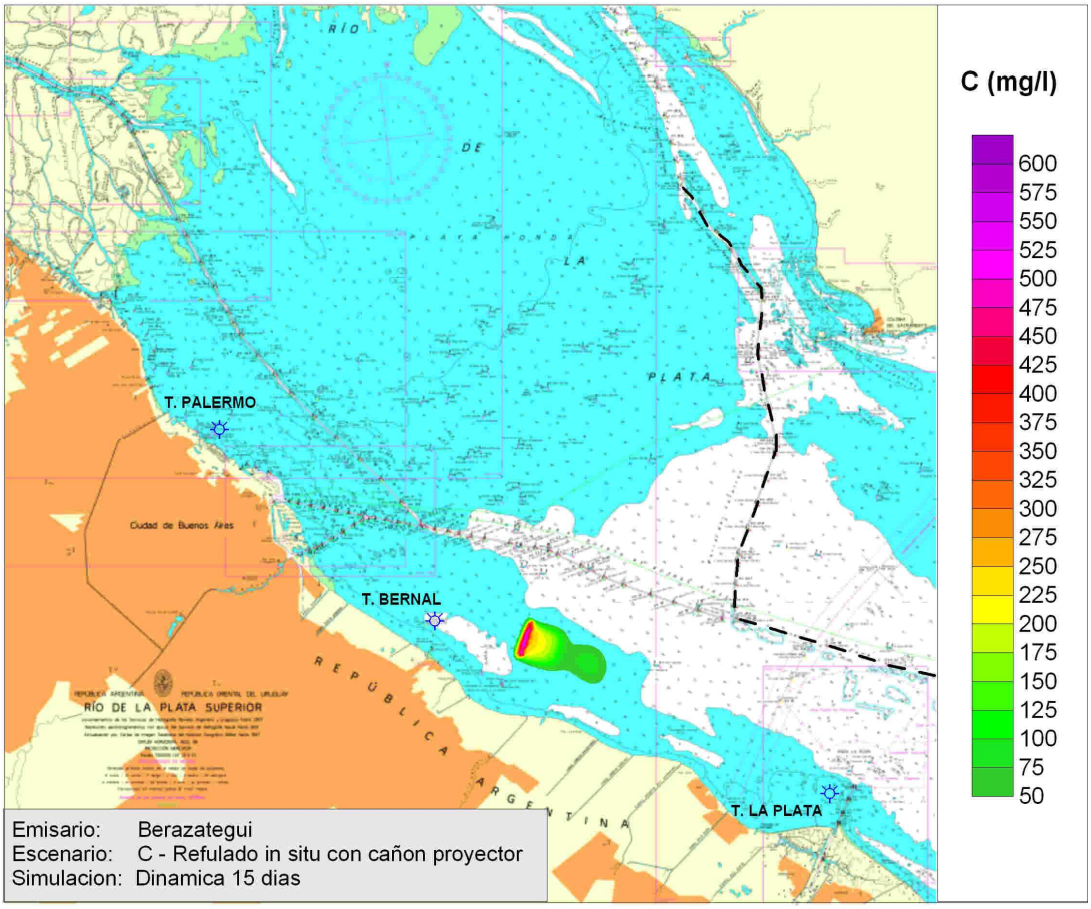

Figura A.6.7.2.2.5 – Distribución superficial de la concentración: día 3 hora 12.

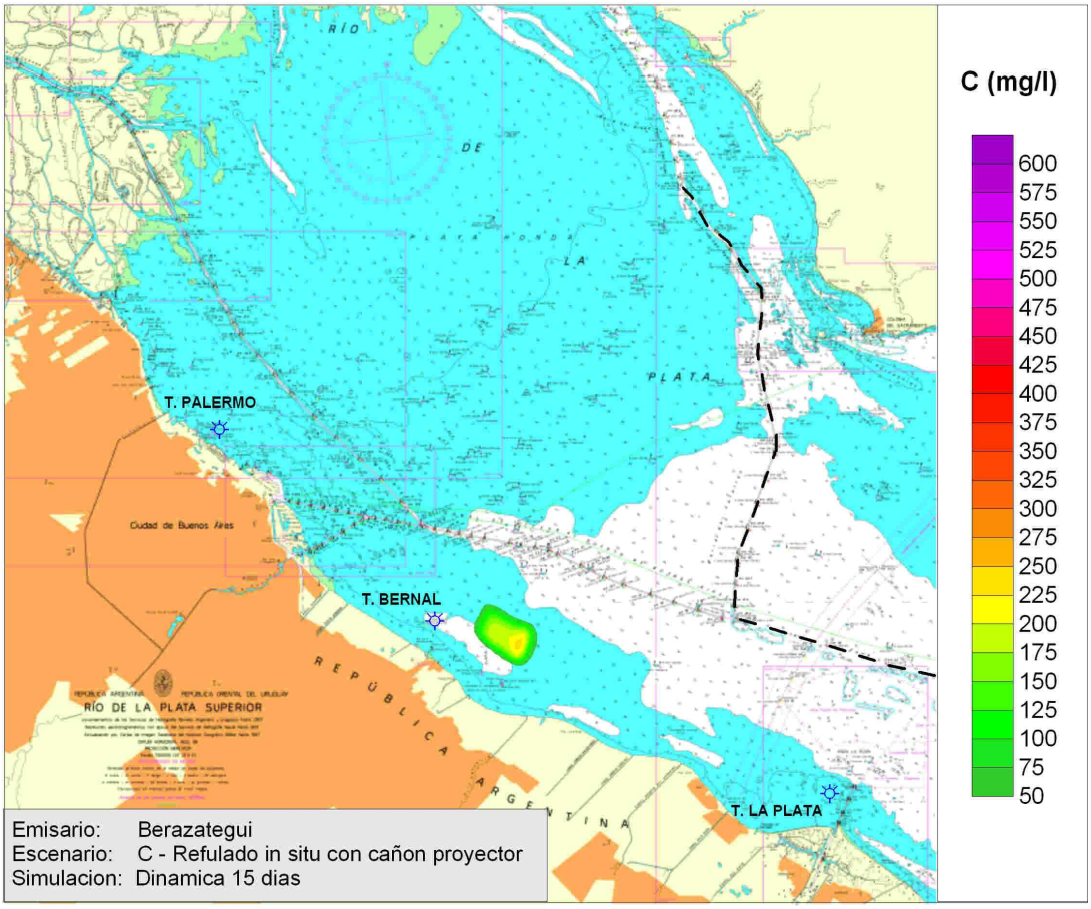

Figura A.6.7.2.2.6 – Distribución superficial de la concentración: día 3 hora 24.

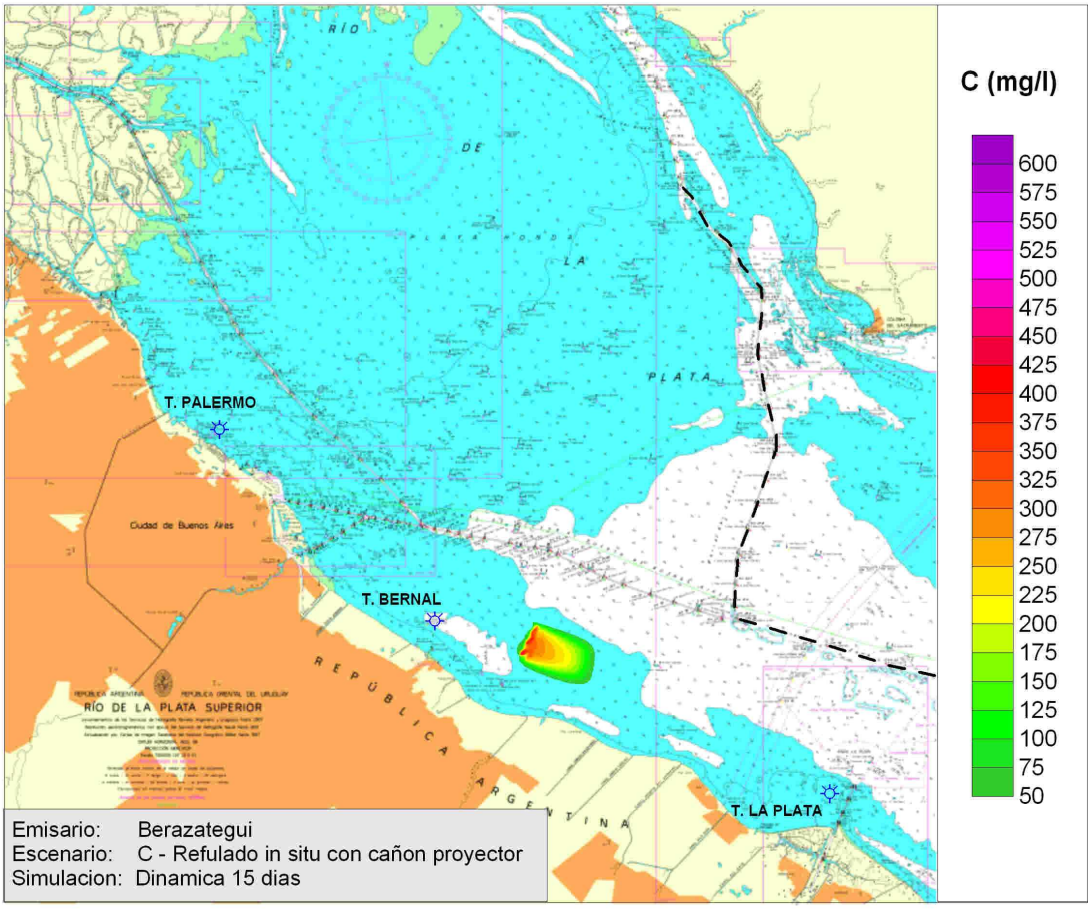

Figura A.6.7.2.2.7 – Distribución superficial de la concentración: día 4 hora 12.

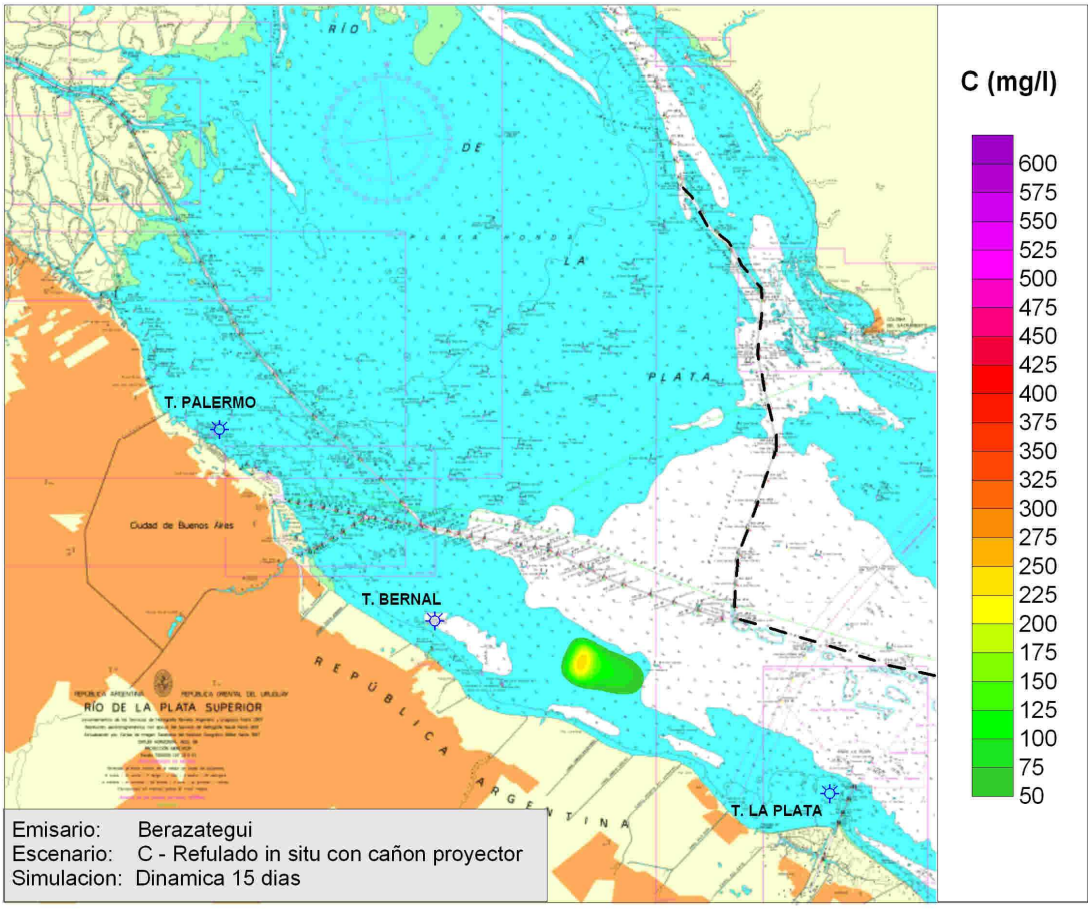

Figura A.6.7.2.2.8 – Distribución superficial de la concentración: día 4 hora 24.

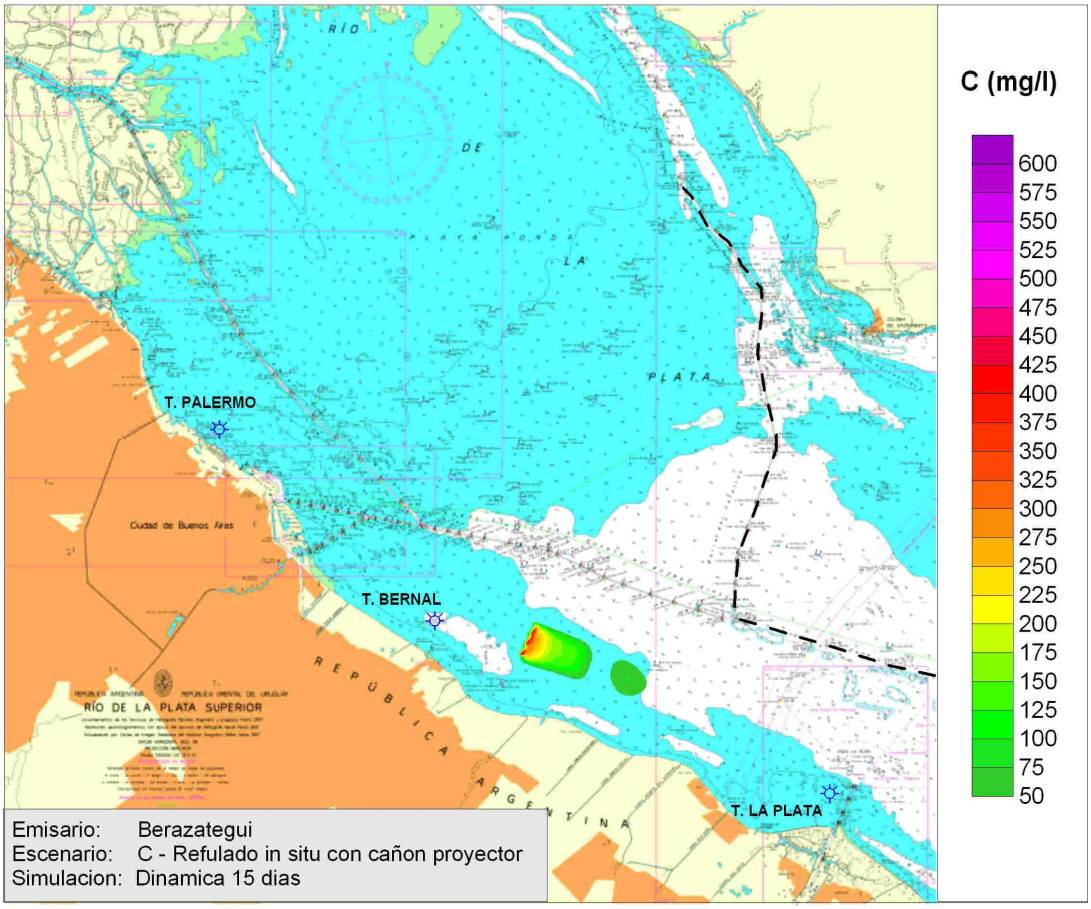

Figura A.6.7.2.2.9 – Distribución superficial de la concentración: día 5 hora 12.

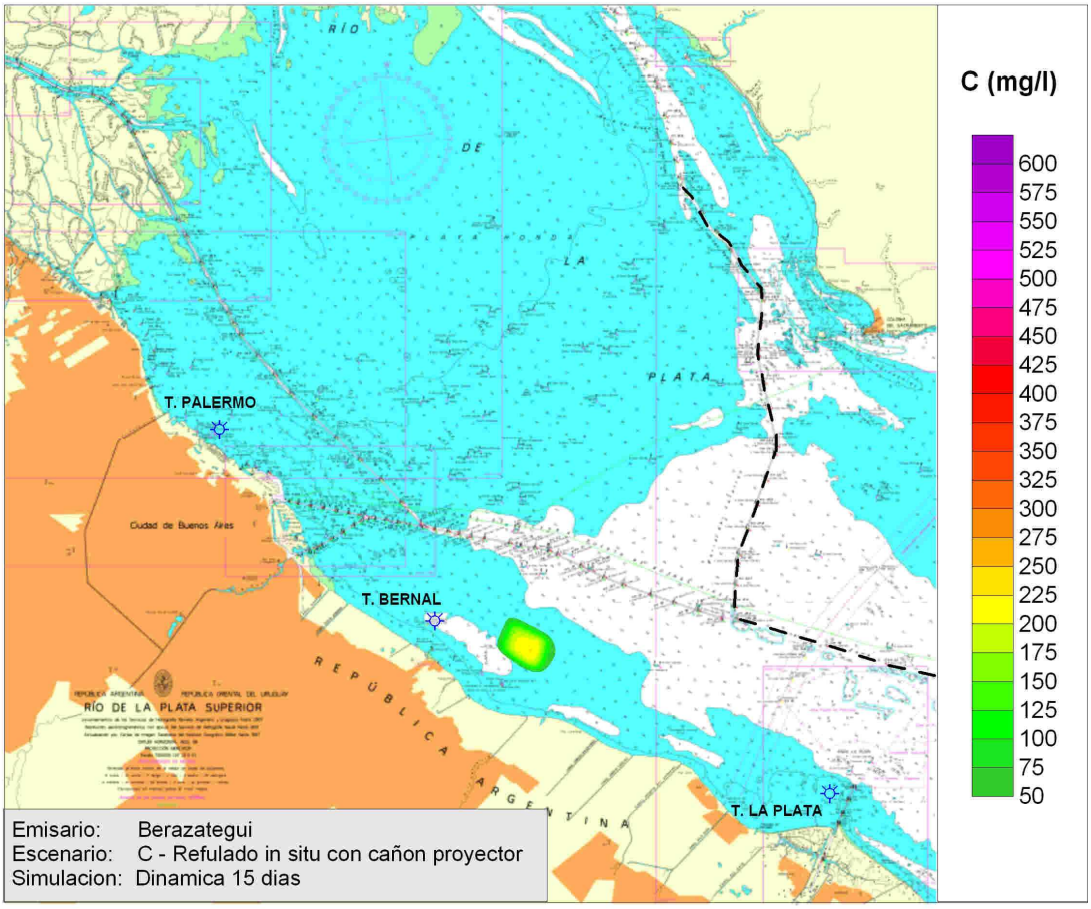

Figura A.6.7.2.2.10 – Distribución superficial de la concentración: día 5 hora 24.

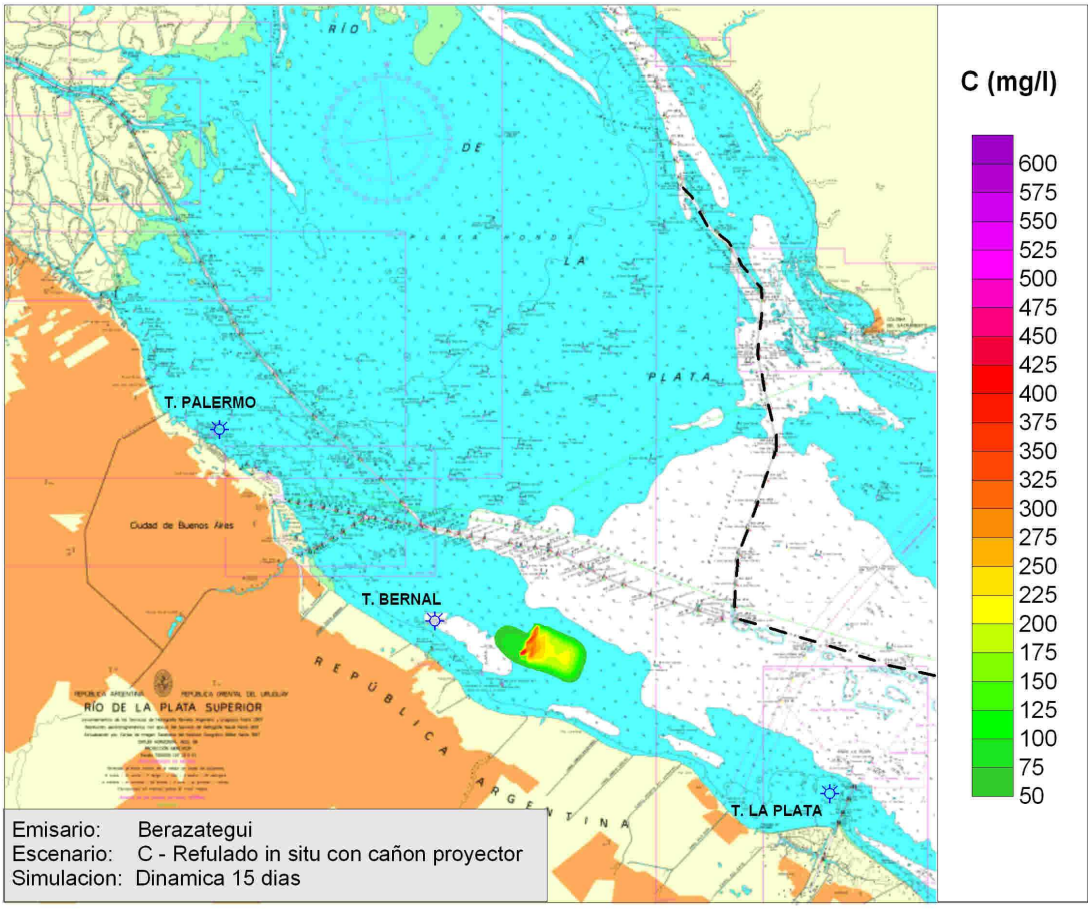

Figura A.6.7.2.2.11 – Distribución superficial de la concentración: día 6 hora 12.

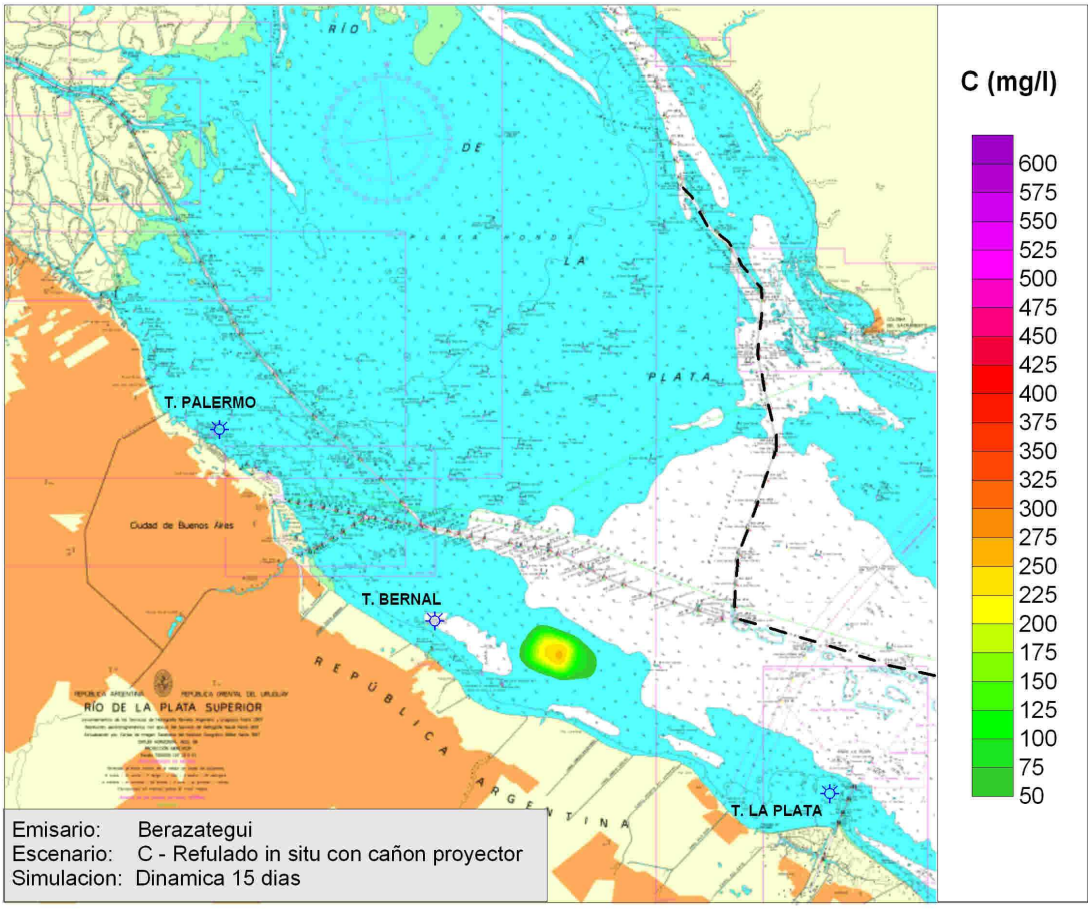

Figura A.6.7.2.2.12 – Distribución superficial de la concentración: día 6 hora 24.

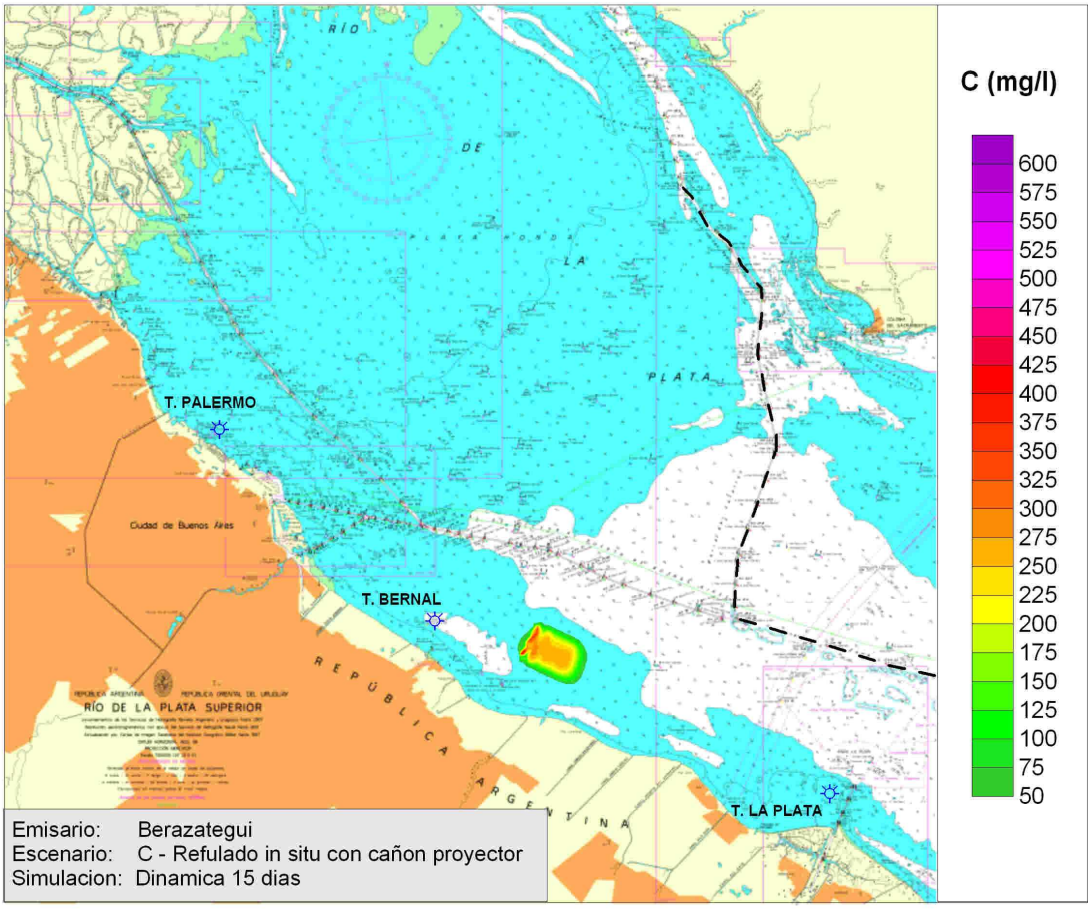

Figura A.6.7.2.2.13 – Distribución superficial de la concentración: día 7 hora 12.

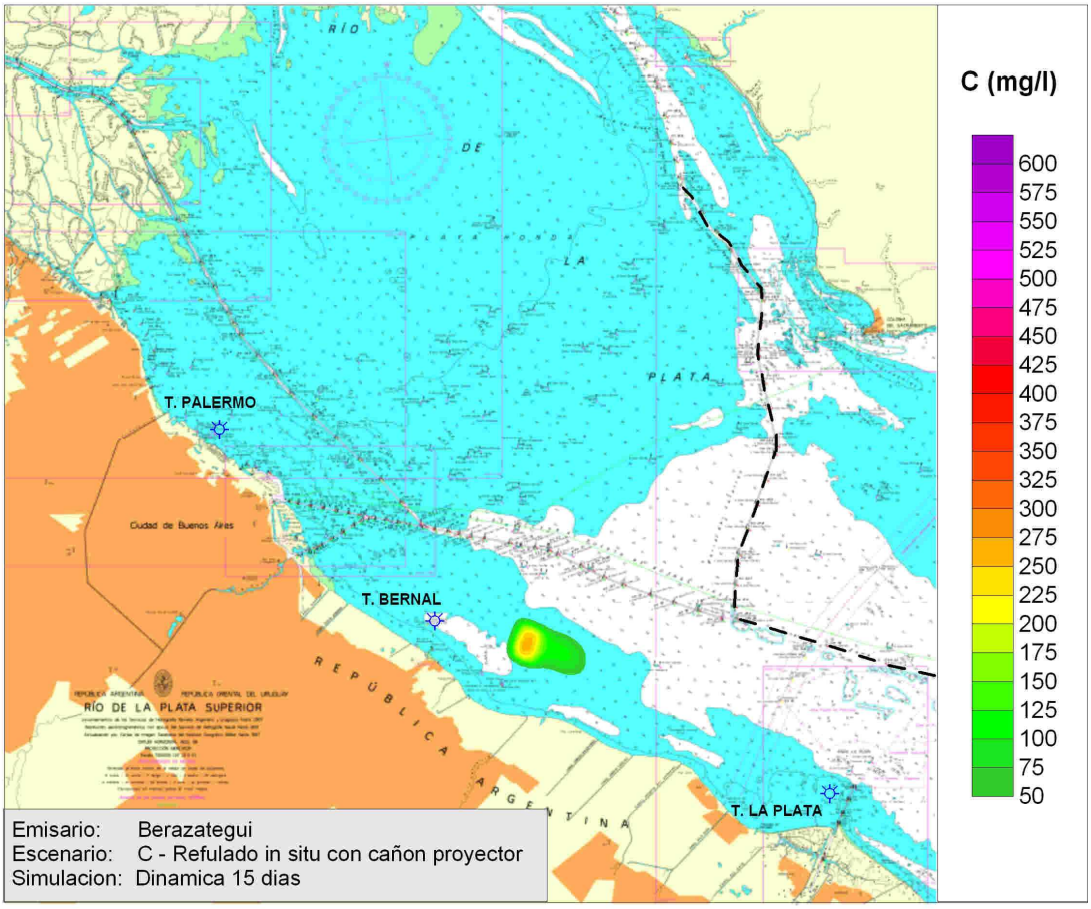

Figura A.6.7.2.2.14 – Distribución superficial de la concentración: día 7 hora 24.

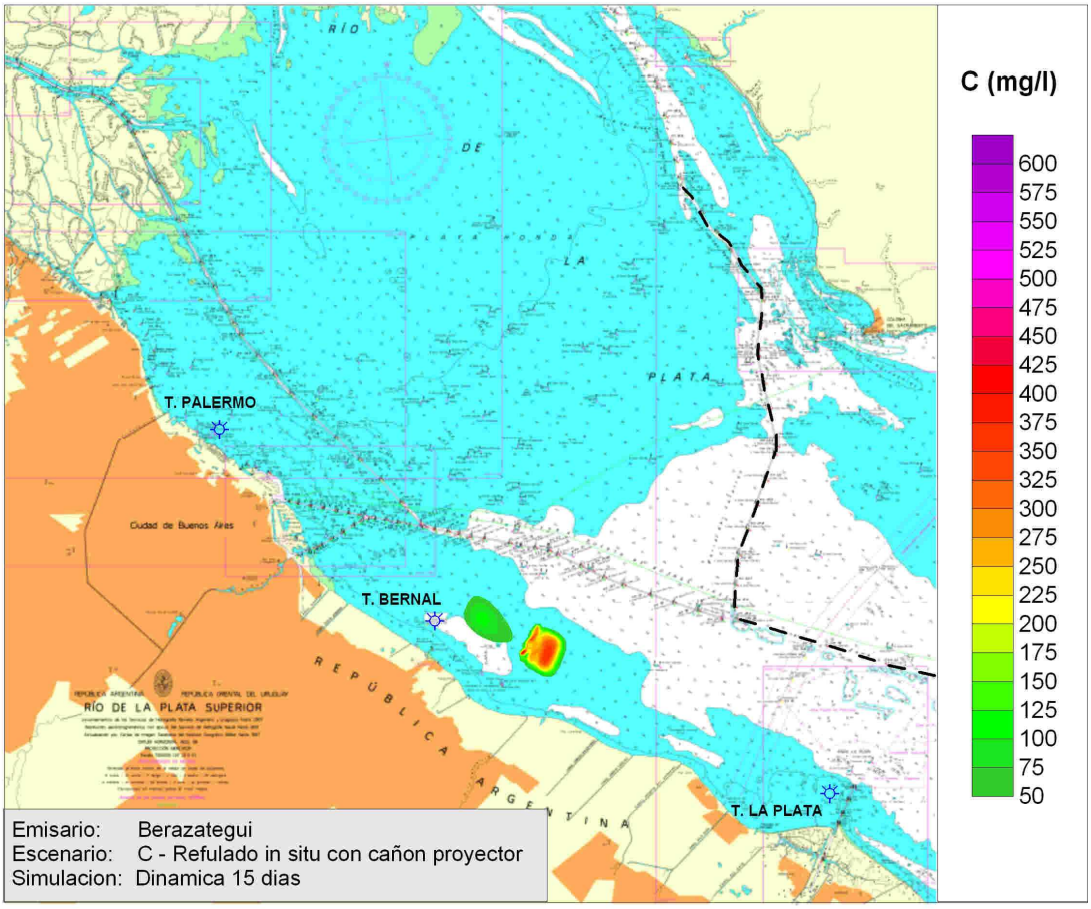

Figura A.6.7.2.2.15 – Distribución superficial de la concentración: día 8 hora 12.

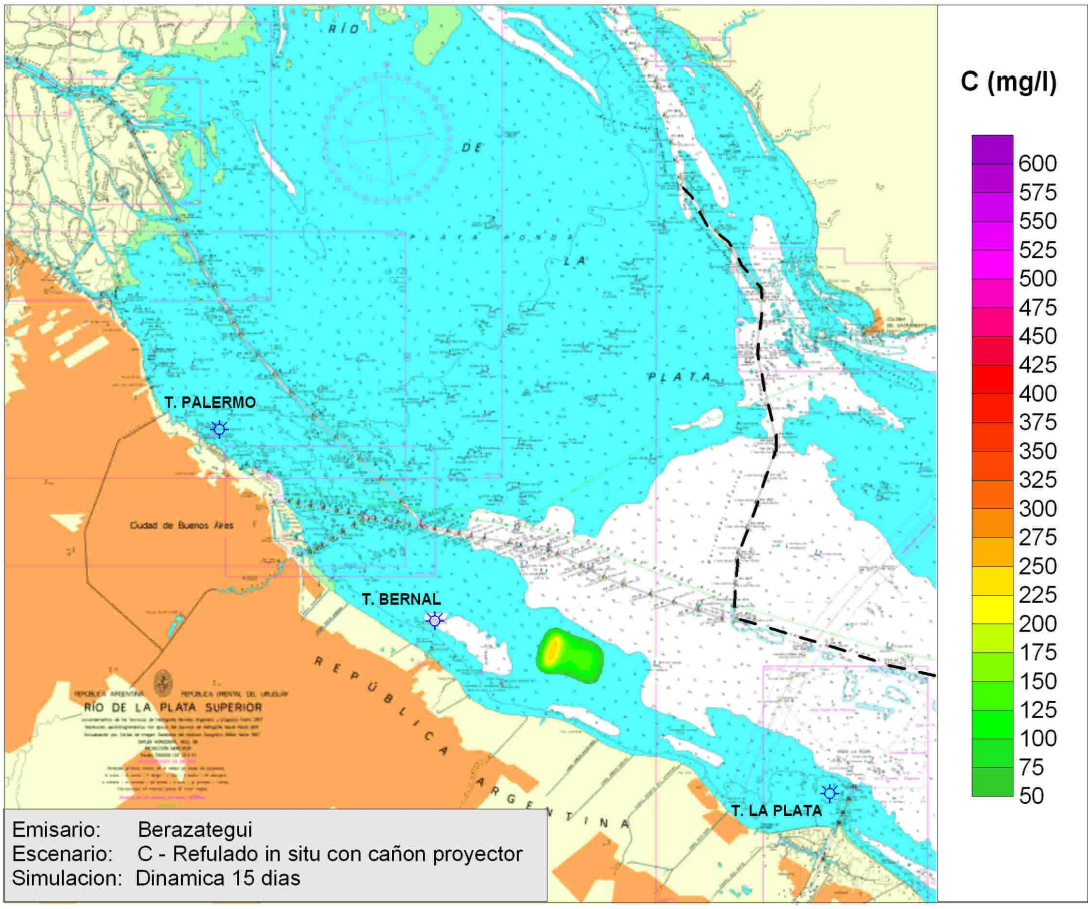

Figura A.6.7.2.2.16 – Distribución superficial de la concentración: día 8 hora 24.

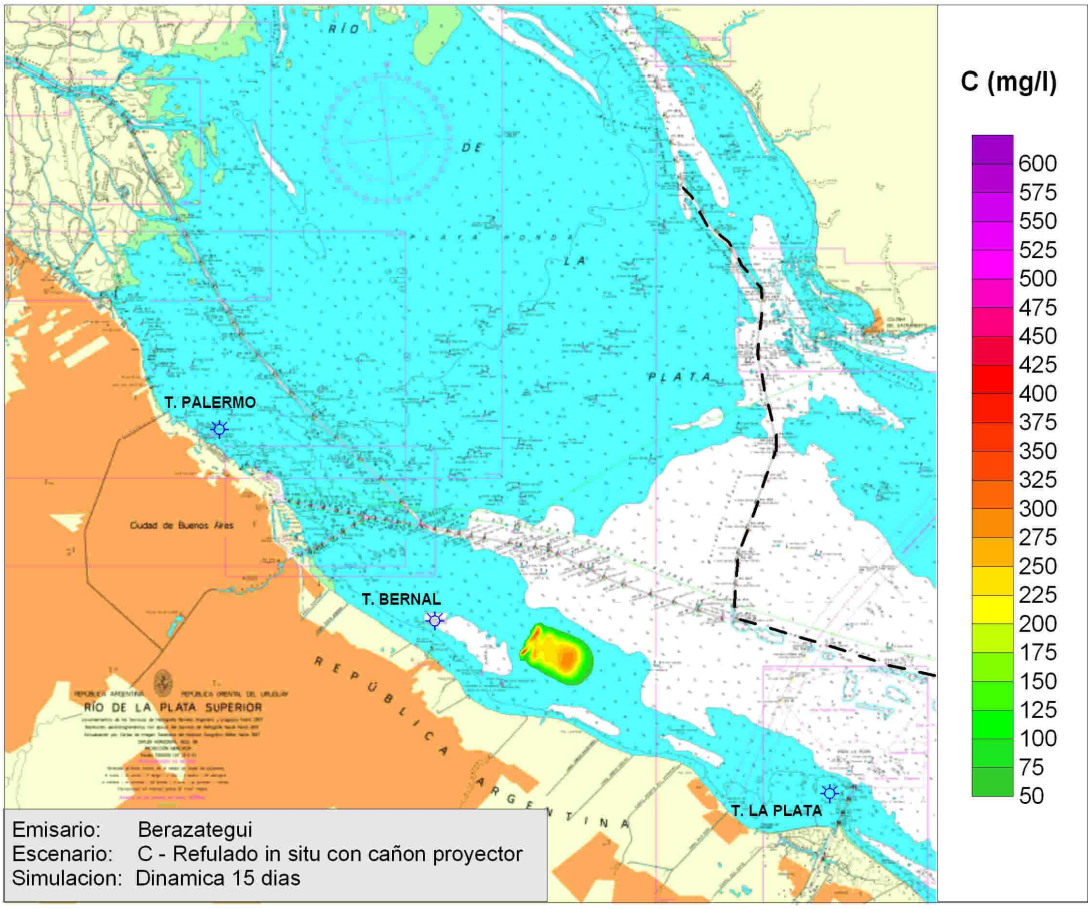

Figura A.6.7.2.2.17 – Distribución superficial de la concentración: día 9 hora 12.

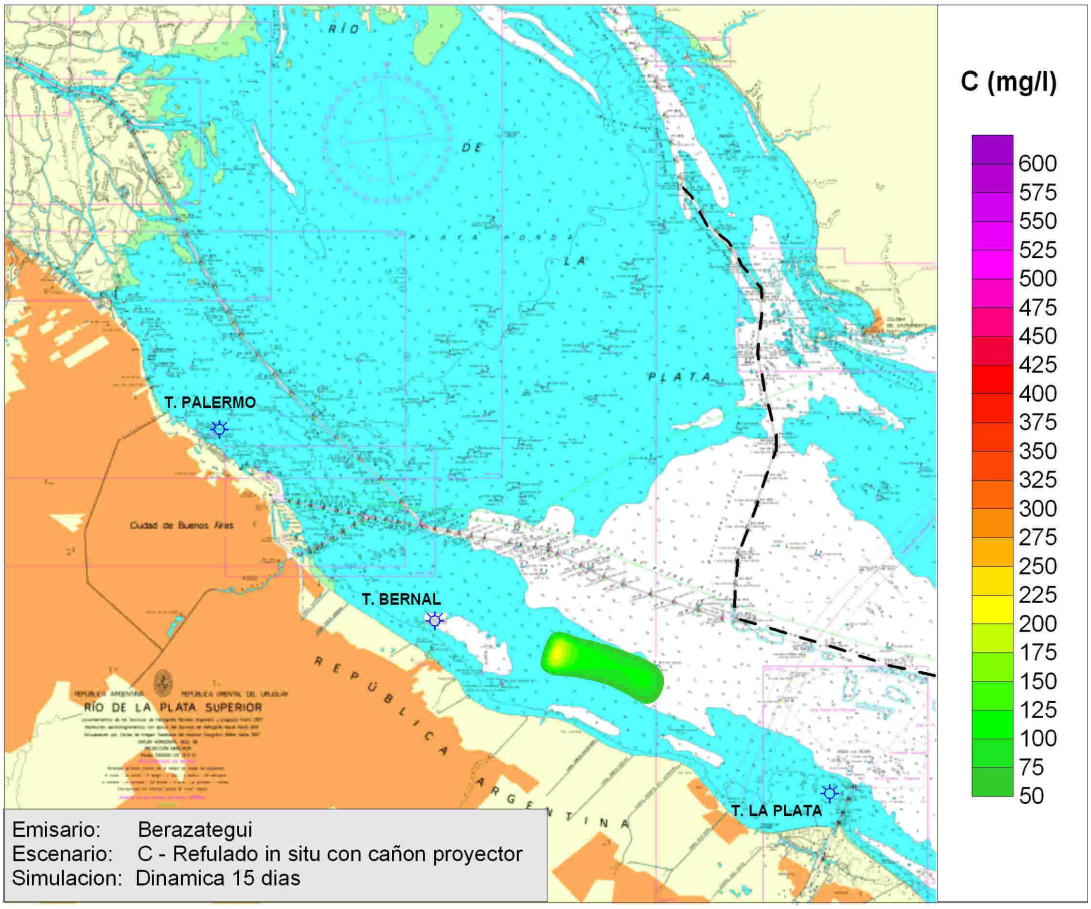

Figura A.6.7.2.2.18 – Distribución superficial de la concentración: día 9 hora 24.

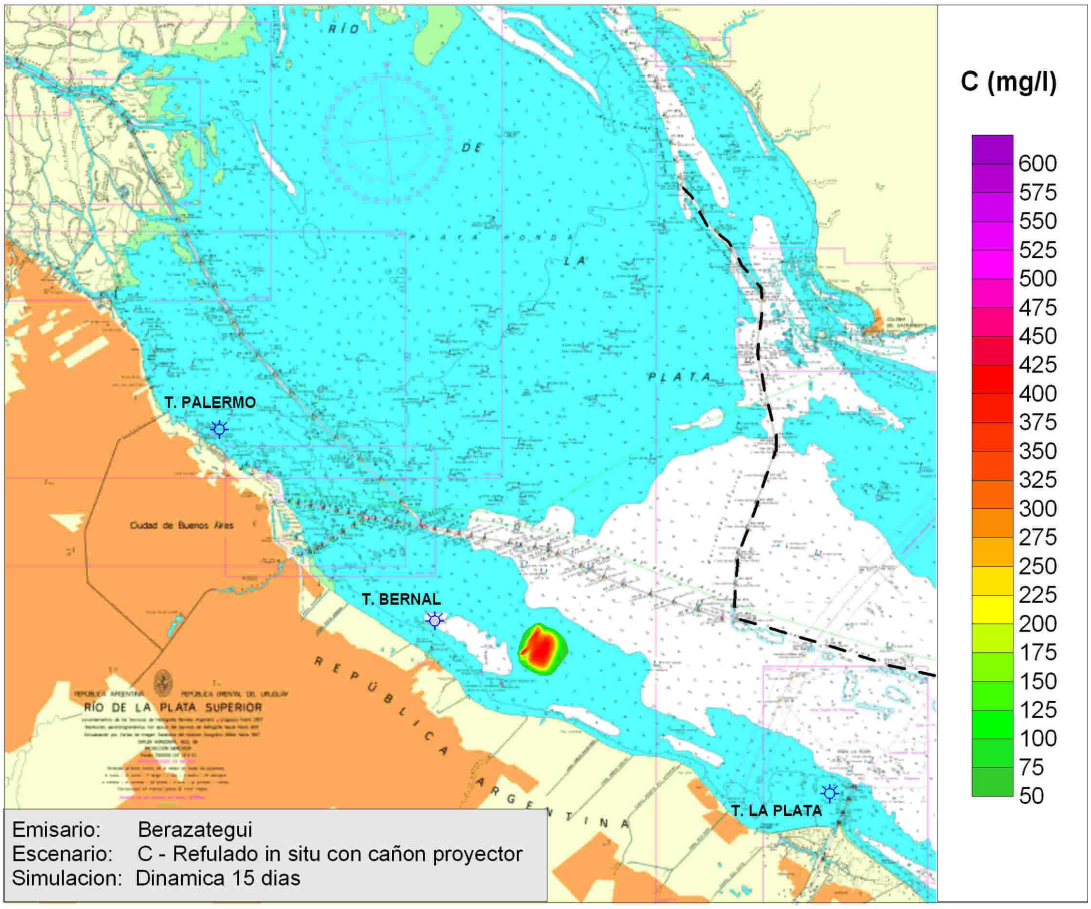

Figura A.6.7.2.2.19 – Distribución superficial de la concentración: día 10 hora 12.

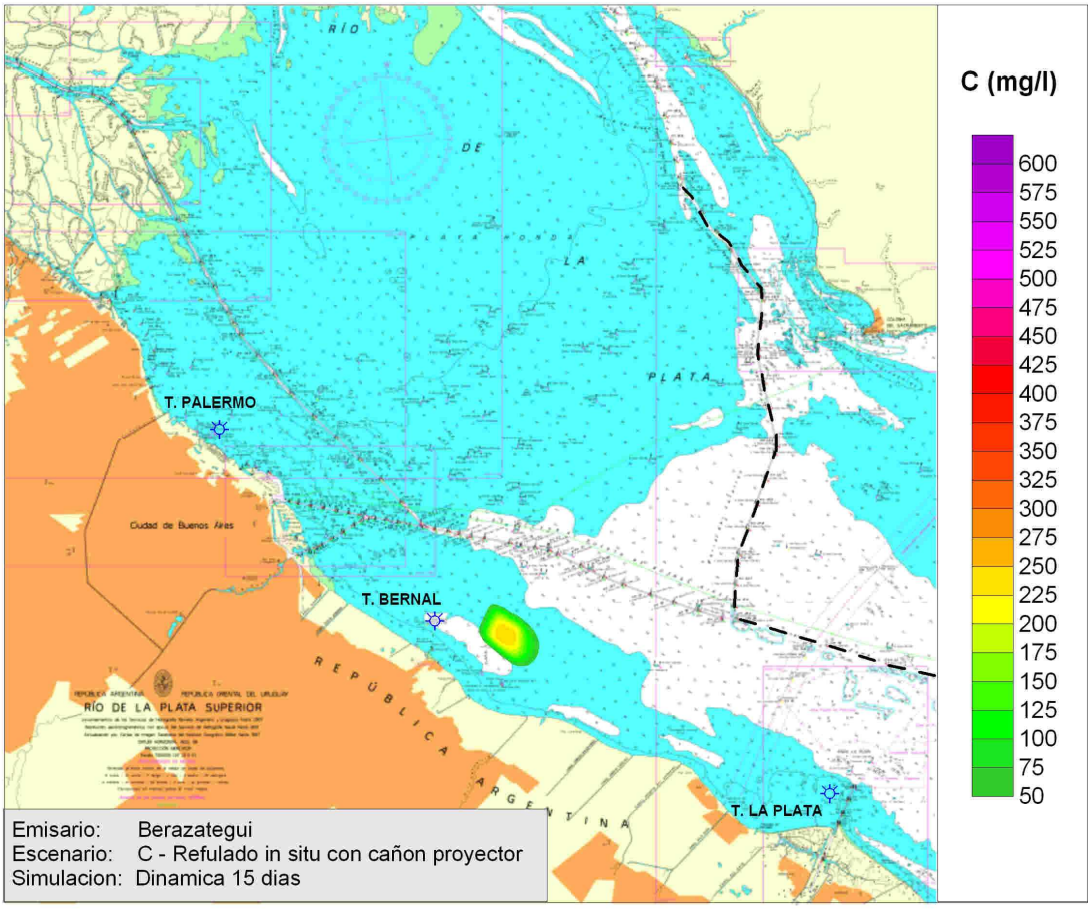

Figura A.6.7.2.2.20 – Distribución superficial de la concentración: día 10 hora 24.

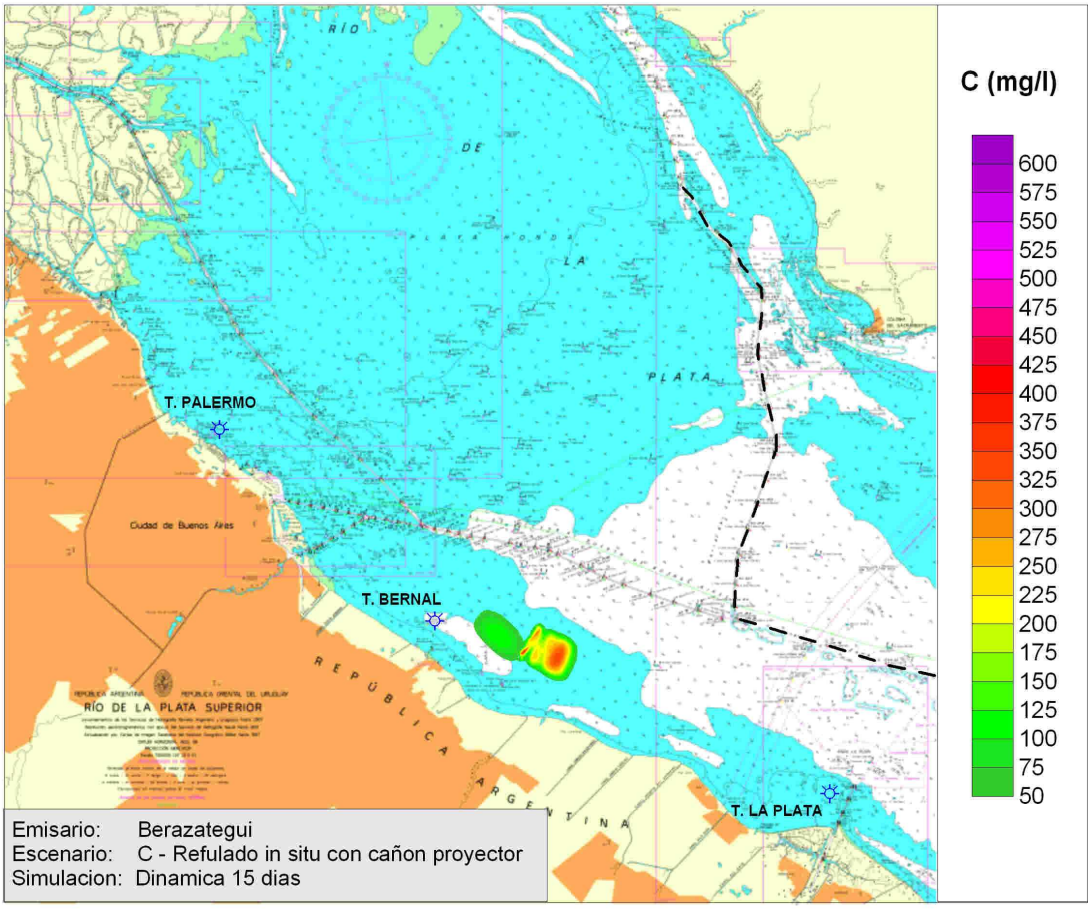

Figura A.6.7.2.2.21 – Distribución superficial de la concentración: día 11 hora 12.

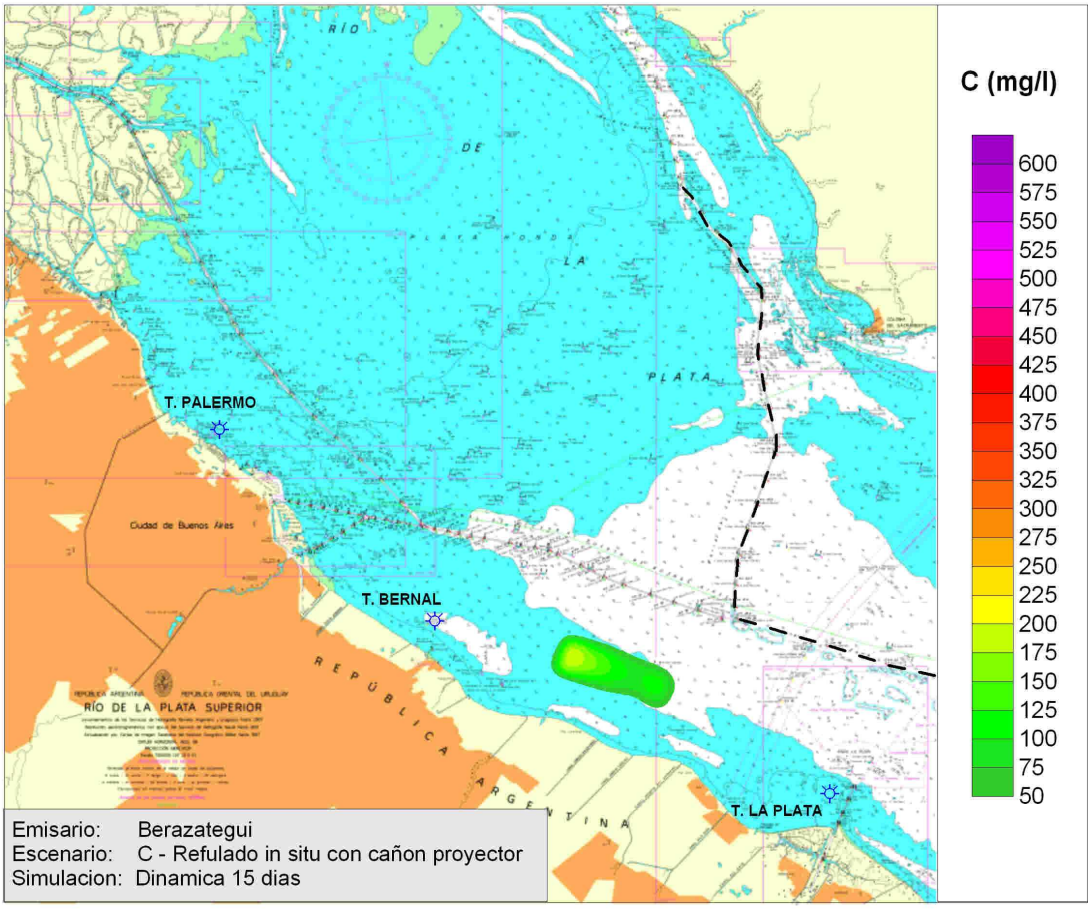

Figura A.6.7.2.2.22 – Distribución superficial de la concentración: día 11 hora 24.

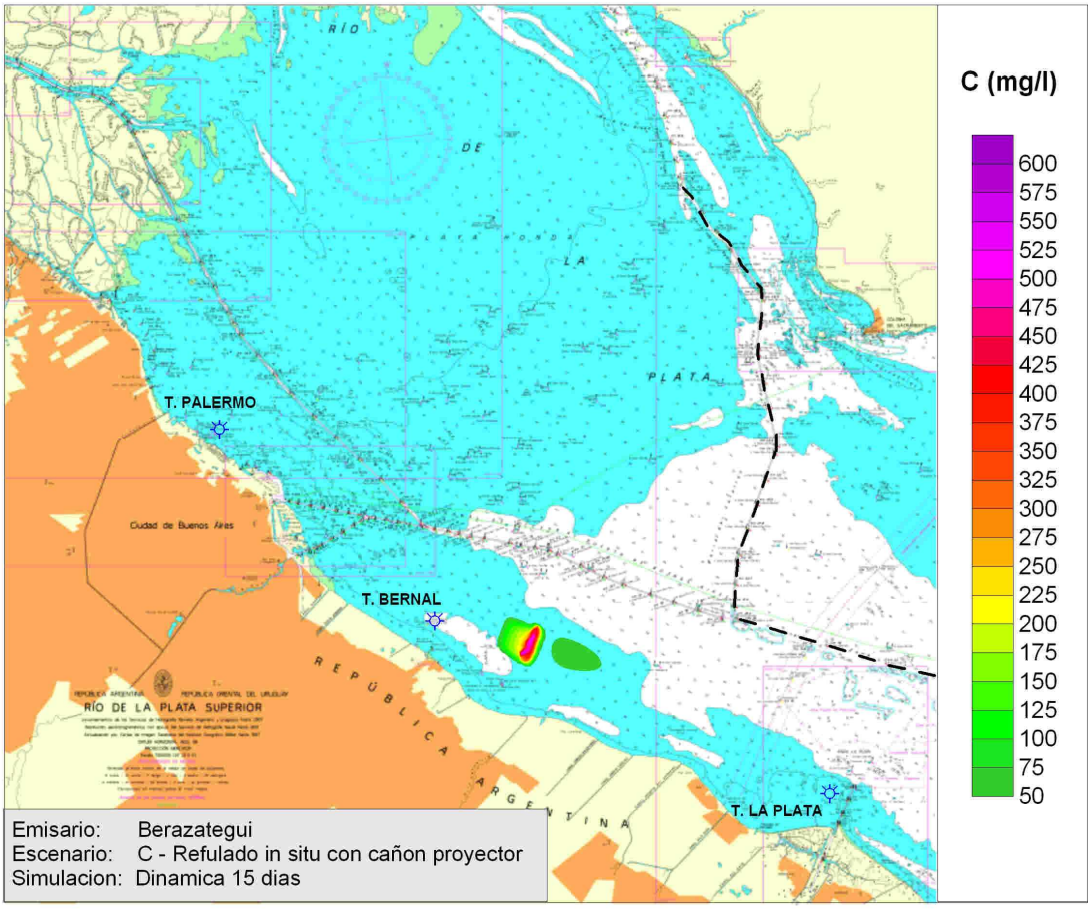

Figura A.6.7.2.2.23 – Distribución superficial de la concentración: día 12 hora 12.

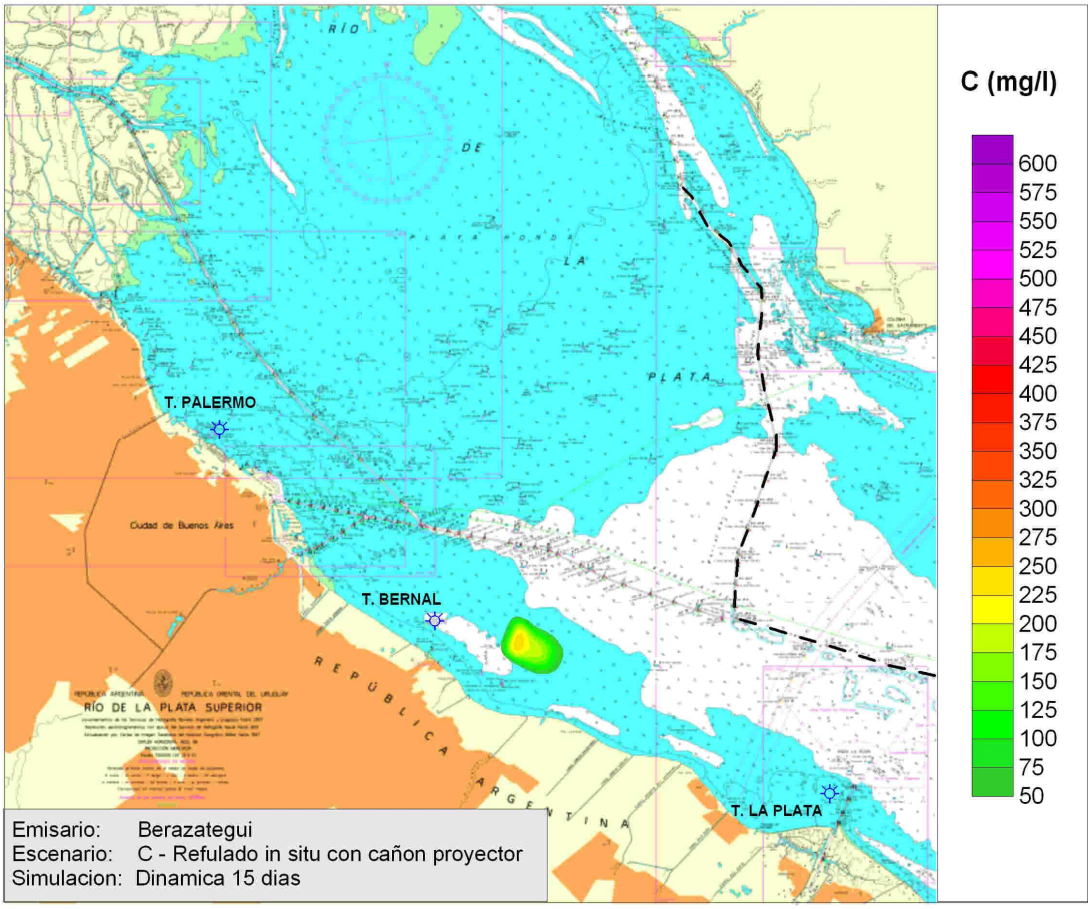

Figura A.6.7.2.2.24 – Distribución superficial de la concentración: día 12 hora 24.

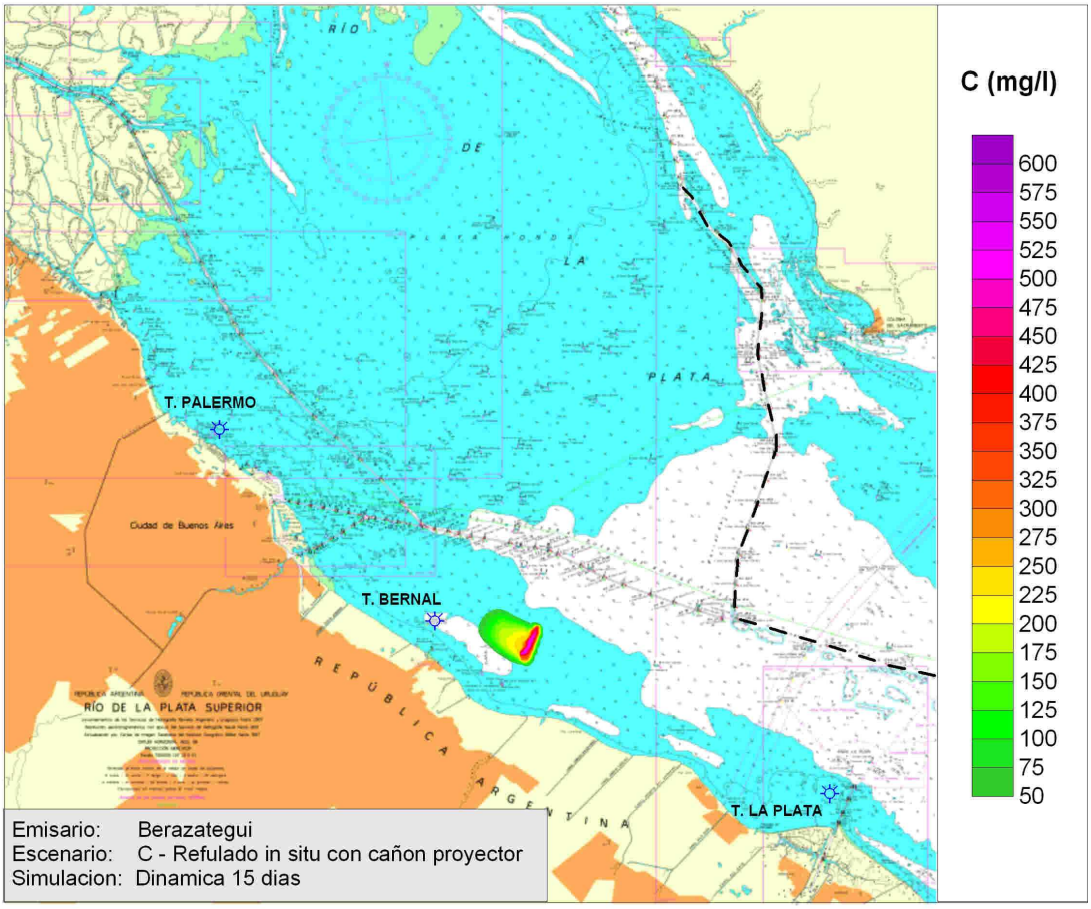

Figura A.6.7.2.2.25 – Distribución superficial de la concentración: día 13 hora 12.

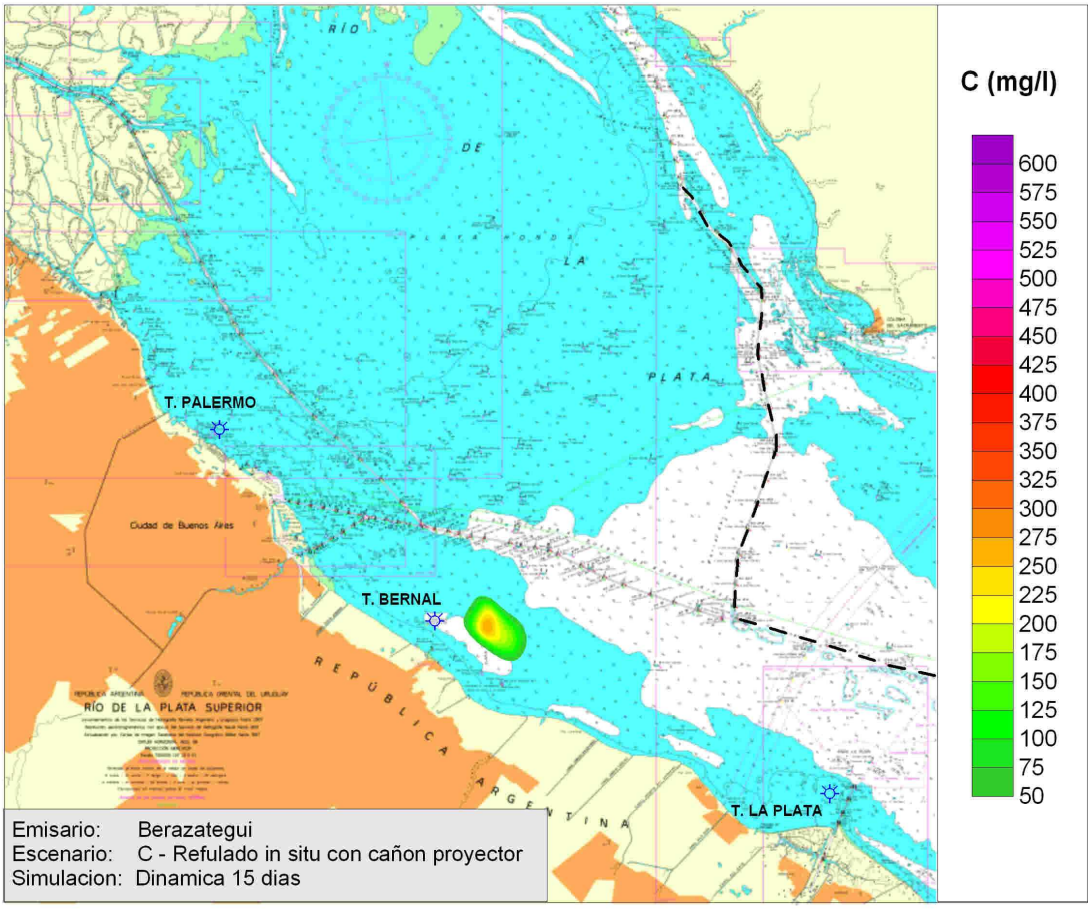

Figura A.6.7.2.2.26 – Distribución superficial de la concentración: día 13 hora 24.

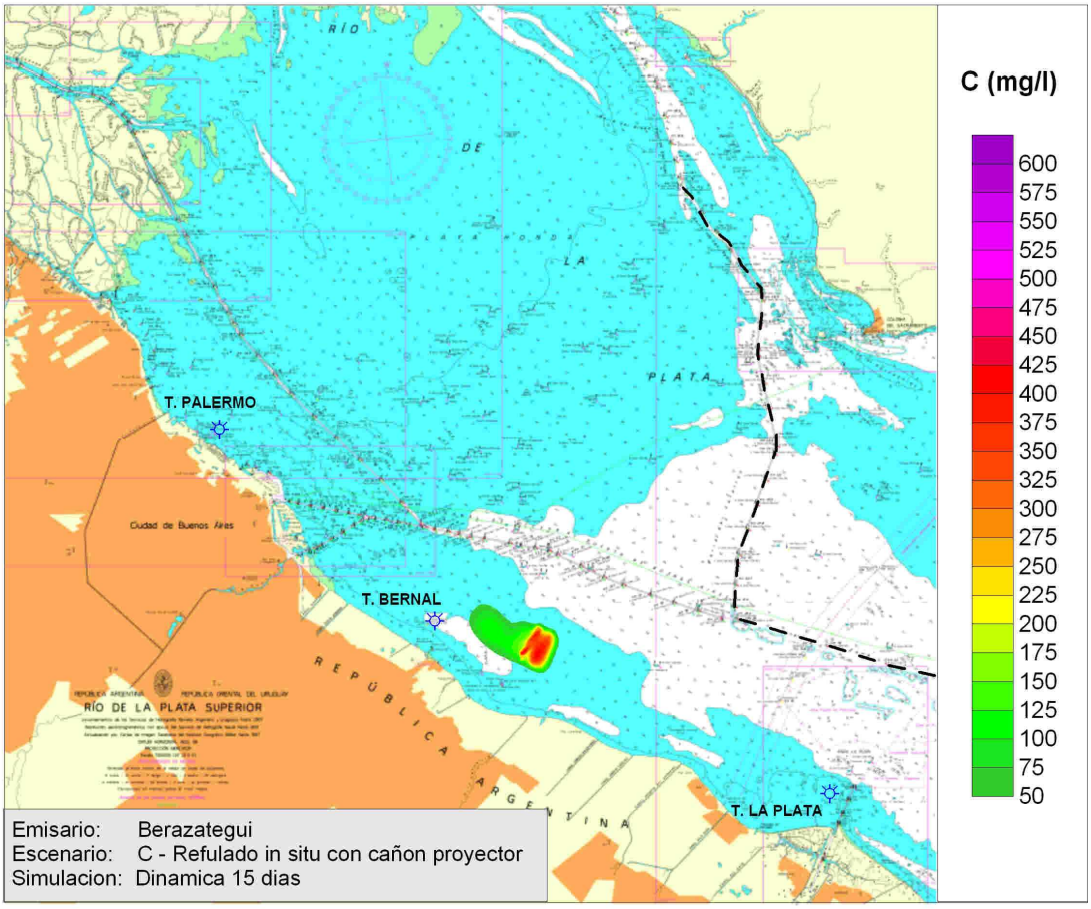

Figura A.6.7.2.2.27 – Distribución superficial de la concentración: día 14 hora 12.

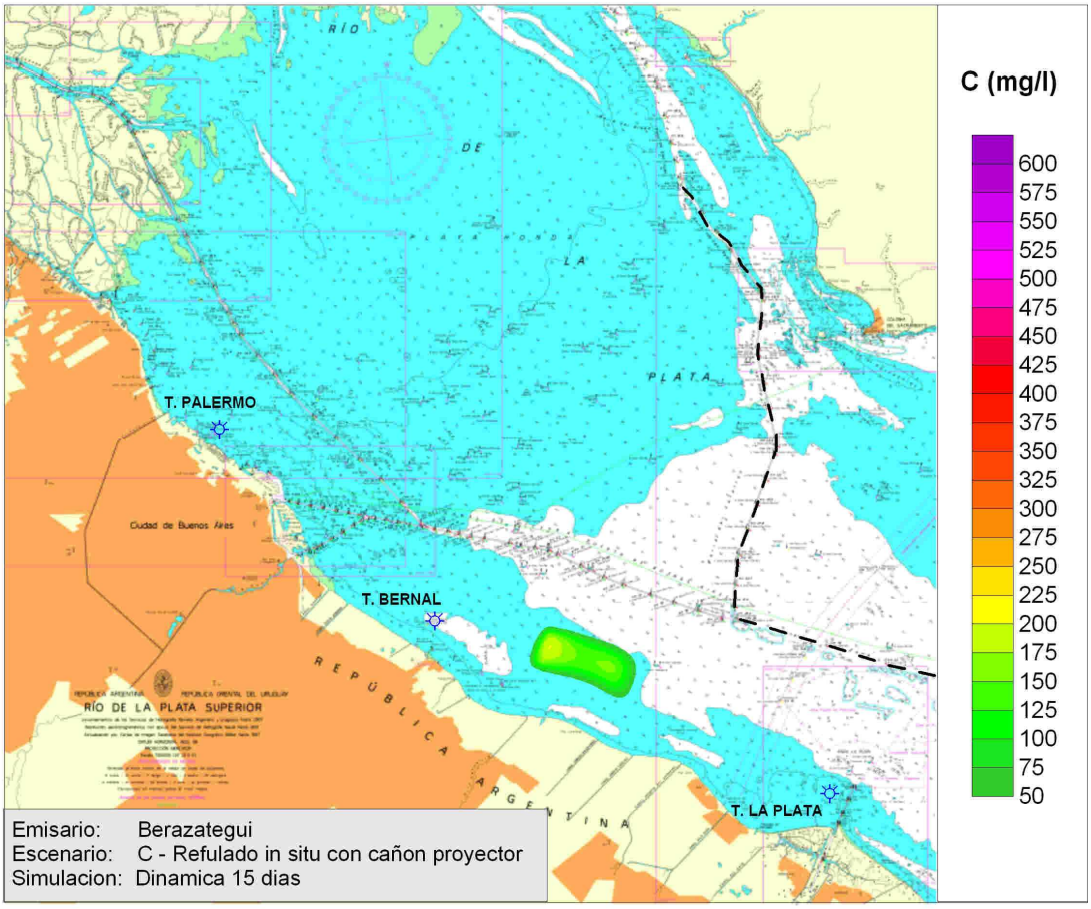

Figura A.6.7.2.2.28 – Distribución superficial de la concentración: día 14 hora 24.

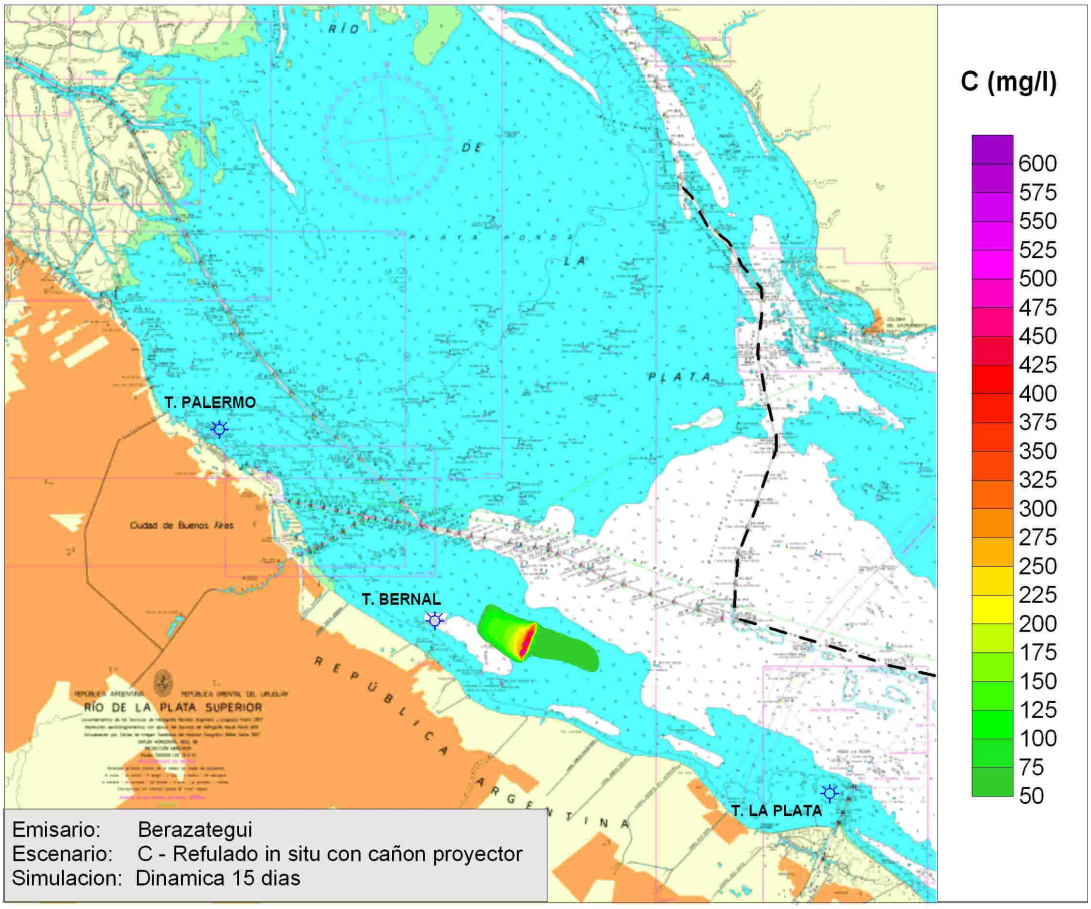

Figura A.6.7.2.2.29 – Distribución superficial de la concentración: día 15 hora 12.

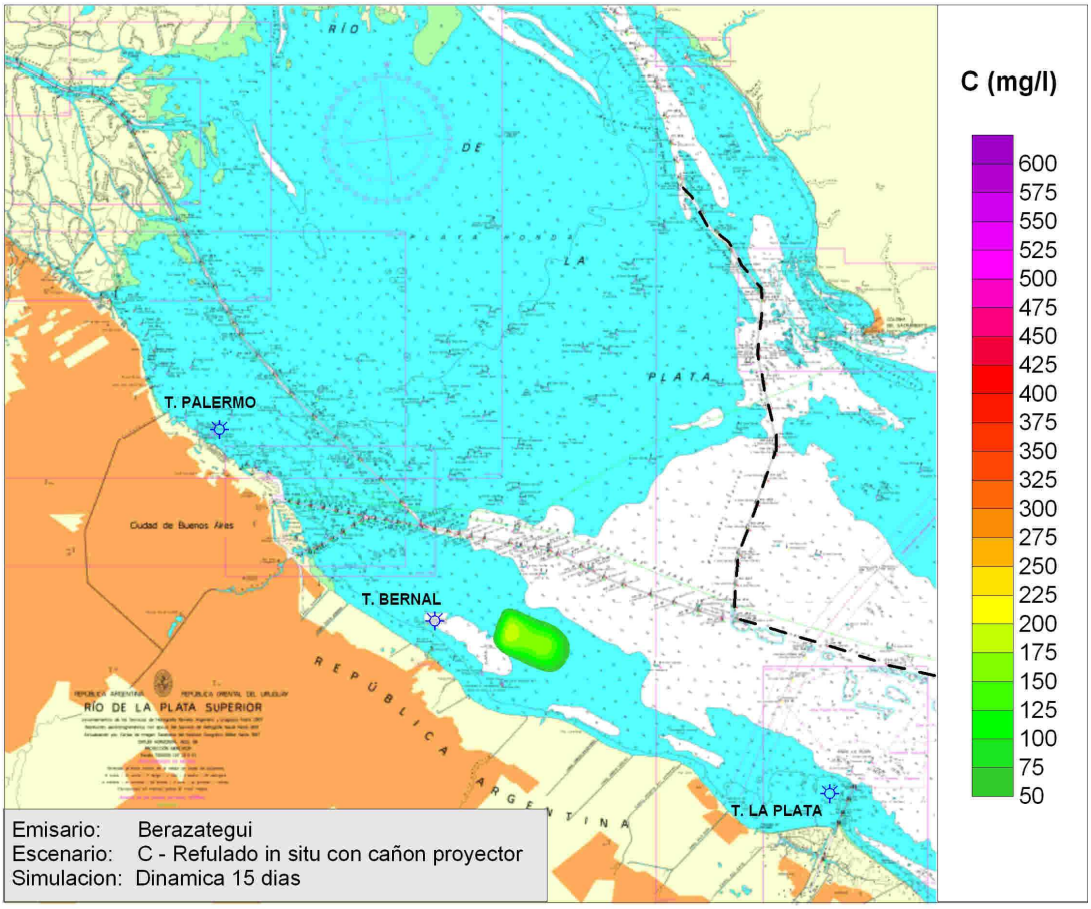

Figura A.6.7.2.2.30 – Distribución superficial de la concentración: día 15 hora 24.

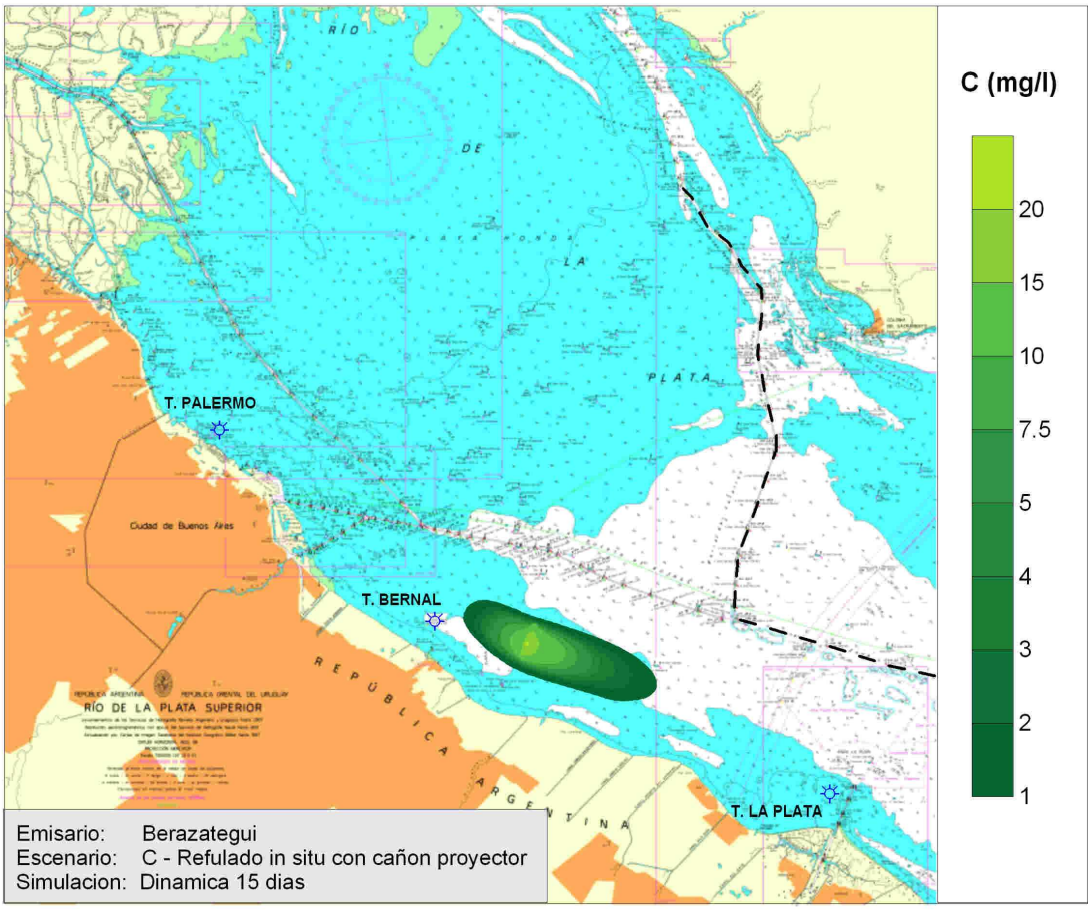

Figura A.6.7.2.2.31 – Distribución superficial de la concentración promedio durante los 15 días de la simulación.

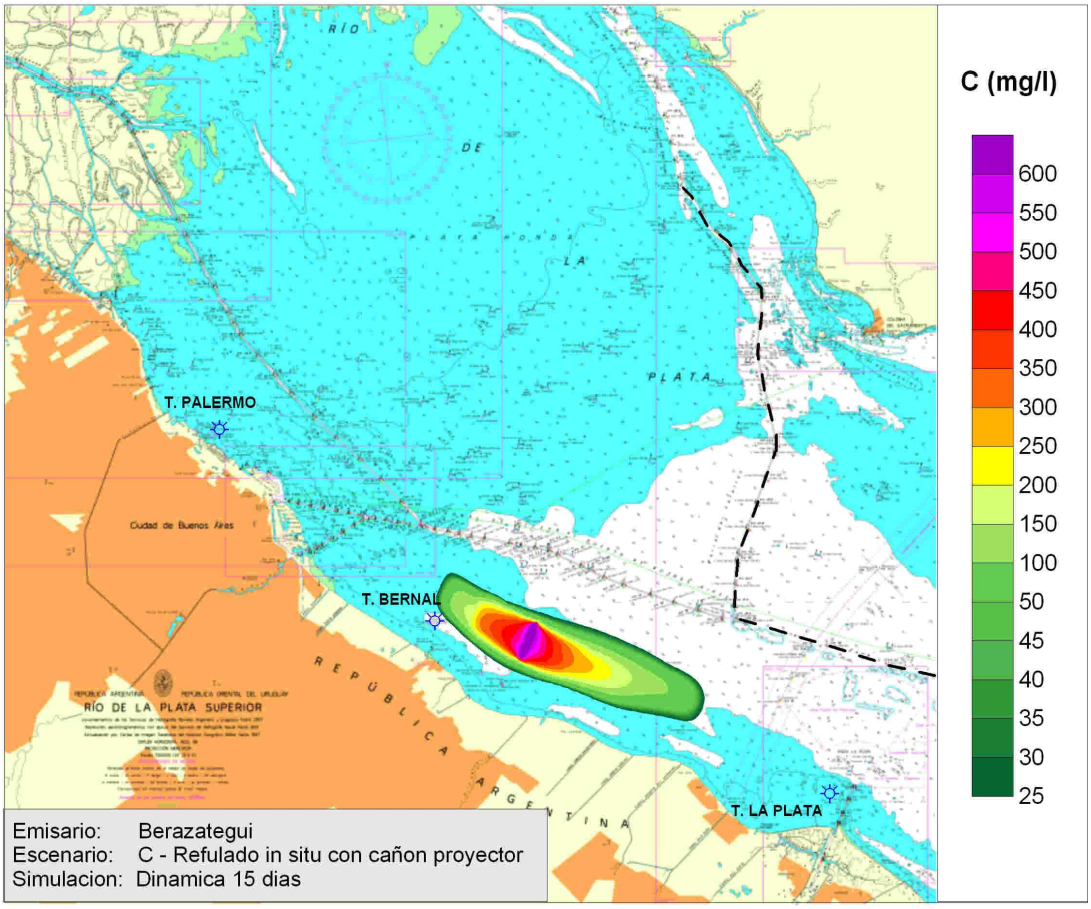

Figura A.6.7.2.2.32 – Distribución superficial de la concentración máxima durante los 15 días de la simulación.

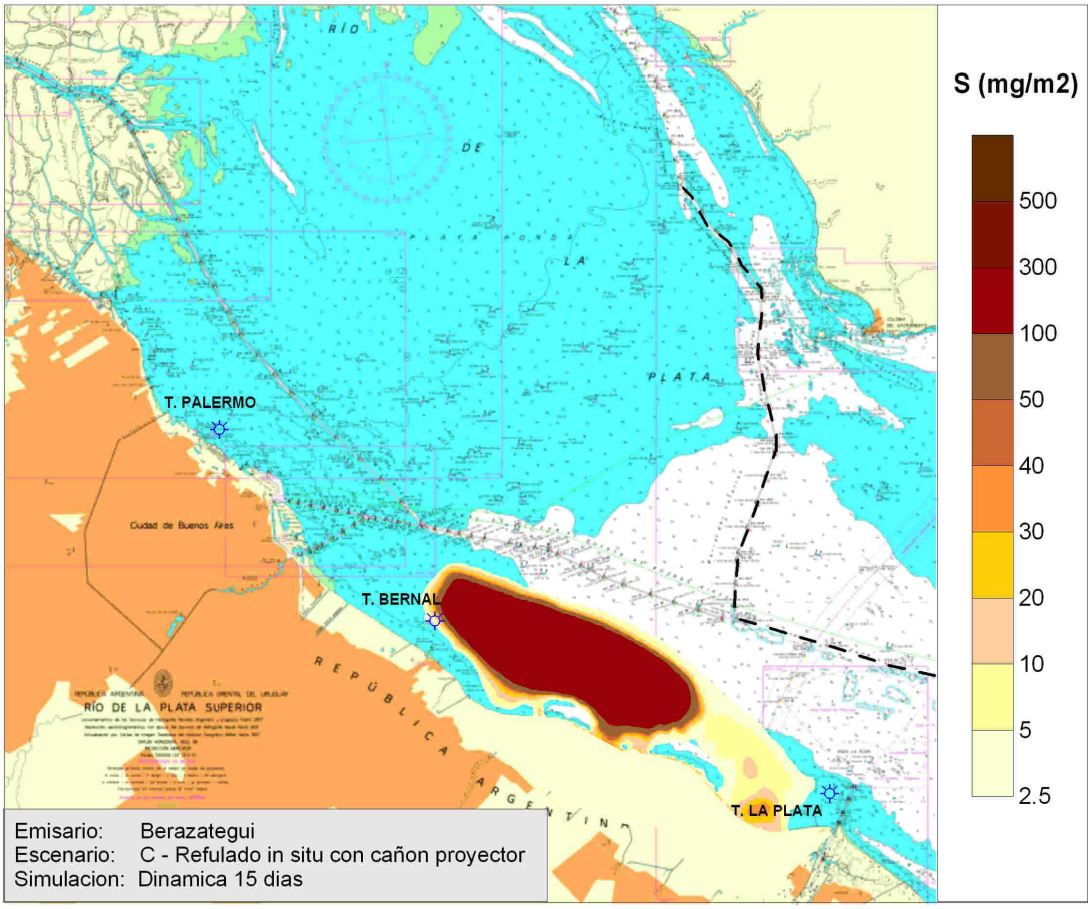

Figura A.6.7.2.2.33 – Distribución superficial de la masa sedimentada durante los 15 días de la simulación.

aysa

CCyA INGENIERIA

ANEXO 7.2.1

Esquema de estaciones de control para sistema de alerta temprana y red de monitoreo

REFERENCIAS

- Tomas de agua
- Control tomas
- Control limite internacional
- Limite internacional
- Control plumas emisario Riachuelo
- Control plumas emisario Berazategui